DOCUMENT	ÒRGAN	REGISTRE D'ENTRADA
DOCUMENT REGISTRE UNIFICAT ENTRADA	SERVEIS TECNICS	E2026005054

Codi Segur de Verificació:
62ffb294-fe9f-412a-95ff-e789b2359074
Origen: Administració
Identificador document: ES_L01081000_2026_28828185
Data d'impressió: 03/11/2026 13:44:57
Pàgina 1 de 247

SIGNATURES
1.- ESTEVE AYMERICH (R: J62755897), 27/07/2026 11:04

AJUNTAMENT D'OLERDOLA
Aquest document és una còpia simple del document electrònic original.

MODIFICACIÓ PROJECTE COBRIMENT PISTA

DE L'ESCOLA ROSSEND MONTANÉ A SANT PERE MOLANTA

MEMÒRIA

PROJECTE BÀSIC I EXECUTIU

AJUNTAMENT D'OLÈRDOLA

STEM arquitectes S.C.P.
ESTEVE AYMERICH, INÉS DE RIVERA, arquitectes
ÀNGEL OBIOL, col·laborador estructura; RAIMON VENDRELL, col·laborador pressupost
TON SALVADÓ, B. HERNÀNDEZ, P. MASSONI, R. MONTOYA, A. SIRI, G. CROUS, col.laboradors
[carrer Pallars 85, 2, 3 08018 Barcelona –tf. 647546712 / 661460618 –idr@coac.net]

MARÇ 2026

10/24

Firmado digitalmente por MIREIA MARIN TALARN - DNI 39715304P (TCAT)
Nombre de reconocimiento (DN): c=ES, o=Ajuntament d'Olèrdola, 2.5.4.97=VATES-P0814400H, ou=Empleat públic de nivell mig, sn=MARIN TALARN - DNI 39715304P, givenName=MIREIA, serialNumber=IDCES-39715304P, cn=MIREIA MARIN TALARN - DNI 39715304P (TCAT)
Motivo: Diligència: Per fer constar que el Ple de la Corporació en sessió ordinària de 4 d'agost de 2026 ha aprovat el present projecte modificat de cobriment de la pista de l'Escola de Sant Pere Molanta.
Fecha: 2026.11.03 13:55:52 +01'00'

40300058X
ESTEVE
AYMERICH (R:
J62755897)

40300058X ESTEVE AYMERICH (R: J62755897)
2.5.4.13=Ref:AEAT/AEAT0439/PUESTO 1/47426/22042026131418, serialNumber=IDCES-40300058X, givenName=ESTEVE, sn=AYMERICH SERRA, cn=40300058X ESTEVE AYMERICH (R: J62755897), 2.5.4.97=VATES-J62755897, o=STEM ARQUITECTES SOCIEDAD CIVIL PROFESIONAL, c=ES
2026.07.27 11:04:41 +02'00'

DOCUMENT
DOCUMENT REGISTRE UNIFICAT ENTRADA
ÒRGAN
SERVEIS TECNICS
REGISTRE D'ENTRADA
E2026005054
Codi Segur de Verificació:
62ffb294-fe9f-412a-95ff-e789b2359074
Origen: Administració
Identificador document: ES_L01081000_2026_28828185
Data d'impressió: 03/11/2026 13:44:57
Pàgina 2 de 247
SIGNATURES
1.- ESTEVE AYMERICH (R: J62755897), 27/07/2026 11:04

AJUNTAMENT D'OLERDOLA
Aquest document és una còpia simple del document electrònic original.

El present treball és propietat de l'Ajuntament d'Olèrdola, la redacció del qual ha estat encarregada a STEM arquitectes s.c.p.

DOCUMENT
DOCUMENT REGISTRE UNIFICAT ENTRADA
ÒRGAN
SERVEIS TECNICS
REGISTRE D'ENTRADA
E2026005054
Codi Segur de Verificació:
62ffb294-fe9f-412a-95ff-e789b2359074
Origen: Administració
Identificador document: ES_L01081000_2026_28828185
Data d'impressió: 03/11/2026 13:44:57
Pàgina 3 de 247
SIGNATURES
1.- ESTEVE AYMERICH (R: J62755897), 27/07/2026 11:04

ÍNDEX DE PLÀNOLS I DOCUMENTS ESCRITS

Documents escrits

MEMÒRIA DESCRIPTIVA

MD1. Antecedents
- Objecte del document
- Fitxa tècnica
- El concurs per al cobriment de la pista
- Justificació de la necessitat de modificació del projecte

MD2. El projecte
- La pista esportiva de l'escola de Sant Pere Molanta
- El cobriment de la pista
- La construcció d'una gran ombrel.la

MD3. Normativa vigent
- Normativa urbanística
- Normativa d'obligat compliment

MD4. Dades del projecte
- Superfícies construïdes
- Pressupost per al coneixement de l'administració

MEMÒRIA TÈCNICA

MT1. La construcció del projecte
- Moviment de terres
- Fonamentació i sistemes de contenció
- Sanejament
- Estructura metàl.lica
- Tancaments primaris
- Acabats exteriors
- Pintures
- Instal.lacions d'enllumenat
- Treballs no especificats

MT2. L'estructura
- Descripció de l'estructura
- Descripció de la fonamentació
- Característiques dels materials
- Característiques del terreny
- Accions considerades
- Coeficients de seguretat
- Hipòtesis de càlcul
- Mètodes de càlcul
- Programes de càlcul utilitzats
- Criteris de dimensionat
- Normativa utilitzada
- Manteniment de l'estructura
- Justificació del càlcul

MT3. Justificació Normativa d'obligat compliment
- Compliment del CTE
- Document bàsic de Seguretat d'Utilització DB-SUA
- Document bàsic de Salubritat DB-HS
- Document bàsic d'Estalvi Energètic DB-HE

AJUNTAMENT D'OLERDOLA
Aquest document és una còpia simple del document electrònic original.

DOCUMENT
DOCUMENT REGISTRE UNIFICAT ENTRADA
ÒRGAN
SERVEIS TECNICS
REGISTRE D'ENTRADA
E2026005054
Codi Segur de Verificació:
62ffb294-fe9f-412a-95ff-e789b2359074
Origen: Administració
Identificador document: ES_L01081000_2026_28828185
Data d'impressió: 03/11/2026 13:44:57
Pàgina 4 de 247
SIGNATURES
1.- ESTEVE AYMERICH (R: J62755897), 27/07/2026 11:04

Real Decreto 105/2008 i Decret 89/2010. Gestió de residus

MT4. Dades de l'obra
Manifestació d'obra completa
Classificació del contratista
Termini d'execució de les obres

MT5. Annex memòria
Pla de control de qualitat
Instruccions d'ús i manteniment

ANNEXOS AL PROJECTE

AN1. Estudi Geotècnic
AN2. Estudi Assolellament
AN3. Estudi reutilització enllumenat

PLEC DE CONDICIONS

PC1. Plec de condicions generals
Disposicions generals
Condicions facultatives
Condicions econòmiques

PC2. Plec generals de condicions tècniques
Part I: condicions d'execució de les unitats d'obra
Part II: condicions de recepció dels productes
Part III: gestió de residus de construcció o demolició a l'obra
Annexos

AMIDAMENTS I PRESSUPOST

AP1. Estat d'amidaments
AP2. Justificació de preus
Quadre de preus nº 1
Quadre de preus nº 2
Preus simples: mà d'obra, maquinària, materials
Preus elements compostos
Preus descomposats partides obra
AP3. Pressupost d'execució material
AP4. Resum del pressupost
Pressupost d'execució per contracte

AJUNTAMENT D'OLERDOLA
Aquest document és una còpia simple del document electrònic original.

DOCUMENT
DOCUMENT REGISTRE UNIFICAT ENTRADA
ÒRGAN
SERVEIS TECNICS
REGISTRE D'ENTRADA
E2026005054
Codi Segur de Verificació:
62ffb294-fe9f-412a-95ff-e789b2359074
Origen: Administració
Identificador document: ES_L01081000_2026_28828185
Data d'impressió: 03/11/2026 13:44:57
Pàgina 5 de 247
SIGNATURES
1.- ESTEVE AYMERICH (R: J62755897), 27/07/2026 11:04

Plànols

ARQUITECTURA

P.01	Emplaçament	1/2500
P.02	El projecte	1/200
P.03	Estat actual	1/100
P.04	Planta projecte	1/100
P.05	Geometria encavallada	1/50
P.06	Mòdul encavallada	1/50
P.07	Detall constructiu A	1/20
P.08	Detall constructiu B	1/20
P.09	Axonometria	1/20
P.10	Enderrocs i obra nova	1/100
P.11	Replanteig	1/100
P.12	Planta de fonaments i detalls	1/100
P.13	Planta estructura metàl.lica superior	1/100
P.14	Planta estructura metàl.lica inferior	1/100
P.15	Detalls estructura metàl.lica	1/10
P.16	Instal.lació elèctrica d'enllumenat	1/100

AJUNTAMENT D'OLERDOLA
Aquest document és una còpia simple del document electrònic original.

DOCUMENT
DOCUMENT REGISTRE UNIFICAT ENTRADA
ÒRGAN
SERVEIS TECNICS
REGISTRE D'ENTRADA
E2026005054
Codi Segur de Verificació:
62ffb294-fe9f-412a-95ff-e789b2359074
Origen: Administració
Identificador document: ES_L01081000_2026_28828185
Data d'impressió: 03/11/2026 13:44:57
Pàgina 6 de 247
SIGNATURES
1.- ESTEVE AYMERICH (R: J62755897), 27/07/2026 11:04

M E M Ò R I A D E S C R I P T I V A

[MODIFICACIÓ PROJECTE COBRIMENT PISTA - Sant Pere Molanta, març de 2026] - MD1.1

AJUNTAMENT D'OLERDOLA
Aquest document és una còpia simple del document electrònic original.

DOCUMENT
DOCUMENT REGISTRE UNIFICAT ENTRADA
ÒRGAN
SERVEIS TECNICS
REGISTRE D'ENTRADA
E2026005054
Codi Segur de Verificació:
62ffb294-fe9f-412a-95ff-e789b2359074
Origen: Administració
Identificador document: ES_L01081000_2026_28828185
Data d'impressió: 03/11/2026 13:44:57
Pàgina 7 de 247
SIGNATURES
1.- ESTEVE AYMERICH (R: J62755897), 27/07/2026 11:04

MD1. ANTECEDENTS

AJUNTAMENT D'OLERDOLA
Aquest document és una còpia simple del document electrònic original.

DOCUMENT
DOCUMENT REGISTRE UNIFICAT ENTRADA
ÒRGAN
SERVEIS TECNICS
REGISTRE D'ENTRADA
E2026005054
Codi Segur de Verificació:
62ffb294-fe9f-412a-95ff-e789b2359074
Origen: Administració
Identificador document: ES_L01081000_2026_28828185
Data d'impressió: 03/11/2026 13:44:57
Pàgina 8 de 247
SIGNATURES
1.- ESTEVE AYMERICH (R: J62755897), 27/07/2026 11:04

Objecte del document

El present document té per a objecte la modificació del projecte per a la construcció del cobriment d'una pista poliesportiva ja existent a l'Escola Rossend Montané de Sant Pere Molanta, al terme municipal d'Olèrdola. Aquest projecte inicial que fou redactar l'any 2013, l'Ajuntament el vol materialitzar enguany. No obstant, abans ha estat necessari adaptar-lo a les noves necessitats aparegudes a l'escola així com també als canvis que hi pugui haver hagut en la normativa.

L'Escola Rossend Montané de Sant Pere Molanta va ser construïda per la Generalitat de Catalunya a través de GISA, a partir d'un projecte redactat per l'arquitecte Gustau Gili el maig del 2008. L'escola es va construïr en dues fases -1a l'escola de primària i 2a el parvulari-. Les obres van començar el març del 2009, la primera fase es va acabar el juny el 2010 per a començar-hi ja el curs 2010-2011, i la segona fase es va acabar el juny del 2011, per a començar-hi el curs 2011-2012. La pista ja formava part de la primera fase.

El projecte del cobriment de la pista té l'origen en un concurs restringit que STEM arquitectes va guanyar el novembre del 2010, moment en el que malgrat que l'escola encara no estava completament acabada, la pista ja estava operativa a disposició de l'escola de primària.

El projecte parteix de la base que la intervenció sobre els elements construïts existents i sobre el pati veí a la pista sigui el mínim. Per tal d'aprofitar al màxim aquests elements existents, el projecte en planteja el desmuntatge i la posterior recol.locació, una vegada s'hagi construït la coberta.

AJUNTAMENT D'OLERDOLA
Aquest document és una còpia simple del document electrònic original.

DOCUMENT
DOCUMENT REGISTRE UNIFICAT ENTRADA
ÒRGAN
SERVEIS TECNICS
REGISTRE D'ENTRADA
E2026005054
Codi Segur de Verificació:
62ffb294-fe9f-412a-95ff-e789b2359074
Origen: Administració
Identificador document: ES_L01081000_2026_28828185
Data d'impressió: 03/11/2026 13:44:57
Pàgina 9 de 247
SIGNATURES
1.- ESTEVE AYMERICH (R: J62755897), 27/07/2026 11:04

Fitxa tècnica

Emplaçament:

Escola Rossend Montané
carrer Wilson cantonada carrer Sant Roc
Sant Pere Molanta (Olèrdola)

Client:

Ajuntament d'Olèrdola
Avinguda Catalunya, 12 -08734 Olèrdola
tf. 93 890 35 02
contacte:
Anna Rovira, arquitecte municipal: roviraman@diba.cat

Equip redactor:

STEM arquitectes s.c.p
Esteve Aymerich, Inés de Rivera, arquitectes
Plaça Sant Josep, 4 - 17004 Girona
tf. 647 54 67 12 - 661 46 06 18
idr@coac.net
stemagirona@coac.cat

Relació de col·laboradors:

Ton Salvadó	Arquitecte (col·laborador projecte arquitectònic)
Bernat Hernàndez	Arquitecte (col·laborador projecte arquitectònic)
Pol Massoni	Arquitecte (col·laborador projecte arquitectònic)
Ricardo Montoya	Arquitecte (col·laborador projecte arquitectònic)
Andrés Siri	Arquitecte (col·laborador projecte arquitectònic)
Àngel Obiol	Arquitecte (especialitat estructures)
Raimon Vendrell	Arquitecte Tècnic (especialitat control i amid. i pressup.)
Glòria Crous	Arquitecta Tècnica (especialitat control i amid. i pressup.)

AJUNTAMENT D'OLERDOLA
Aquest document és una còpia simple del document electrònic original.

DOCUMENT
DOCUMENT REGISTRE UNIFICAT ENTRADA
ÒRGAN
SERVEIS TECNICS
REGISTRE D'ENTRADA
E2026005054
Codi Segur de Verificació:
62ffb294-fe9f-412a-95ff-e789b2359074
Origen: Administració
Identificador document: ES_L01081000_2026_28828185
Data d'impressió: 03/11/2026 13:44:57
Pàgina 10 de 247
SIGNATURES
1.- ESTEVE AYMERICH (R: J62755897), 27/07/2026 11:04

El concurs per al cobriment de la pista

L'octubre del 2010 l'Ajuntament d'Olèrdola va convocar el concurs restringit per a la redacció del cobriment de la pista esportiva de l'Escola Rossend Montané a Sant Pere Molanta, que va ser lliurat el novembre del 2010. El gener del 2011 va ser adjudicat el projecte a STEM arquitectes. A la memòria del concurs descrivíem el projecte:

Proposem cobrir la pista existent de l'escola de Sant Pere Molanta, emfatitzant la prolongació del pati a través de la pista cap a les vinyes (urbanísticament protegides), però tamitzant el sol de sud-oest amb una gelosia feta amb 'pals de vinya', fent-la menys densa a l'altura de la vista per a facilitar la mirada cap al paisatge.

A partir de la pista existent, el projecte proposa cobrir l'àmbit de la pista afectant el mínim possible el construït, mitjançant uns pòrtics metàl.lics en gelosia asimètrics. La fonamentació principal dels pòrtics, la farem a l'àmbit de la grada encara per executar. A l'altre extrem amb una càrrega més repartida a través d'una perfileria en 'ziga-zaga', ens recolzarem en el mur existent de formigó. La coberta serà en sàndvitx de xapa, per a esmorteir el so de pluja. L'aigua es recollirà en un canaló interior connectat a un gran conducte de desaigua que atravessant els pòrtics portarà l'aigua a l'extrem on amb una gran gàrgola amb 'bec d'ànec' farà una cortina d'aigua que recollirem en una 'estora' de graves. En l'aspecte tècnic només cal esmentar que la pista comptarà amb la instal.lació d'un sistema de projectors suspesos de l'estructura que garantiran una llum nocturna de distribució homogènia.

La volumetria ve determinada per la seva dimensió en planta que permet una pista de hàndbol o dues pistes de bàsquet, i per l'altura de més de 7 metres sota estructura que exigeixen els esports bàsics (bàsquet i volei), ajustant però l'altura al nivell amb el volum dels vestidors (7,30 metres), col.locant el ràfec que protegeix les grades a l'altura de l'ala infantil, provocant el canvi de densitat de la gelosia de protecció solar alineada amb el volum del gimnàs... I per tant que a més de les activitats esportives, la seva condició amable permeti fer altres activitats escolars i sobretot per a la gent de Sant Pere Molanta. Com que la intervenció pràcticament no afecta al contacte amb el terra, es garanteix el mateix nivell d'accessibilitat que ja té la pista des del projecte de l'escola.

Posteriorment i a requeriment de l'Ajuntament en converses amb l'Escola i amb el Departament d'Ensenyament, durant el 2011, vàrem revisar el projecte per tal que el seu impacte en l'assolellament del pati i els horts fós menor, d'aquesta manera es va anar configurant la geometria final de la coberta.

AJUNTAMENT D'OLERDOLA
Aquest document és una còpia simple del document electrònic original.

DOCUMENT
DOCUMENT REGISTRE UNIFICAT ENTRADA
ÒRGAN
SERVEIS TECNICS
REGISTRE D'ENTRADA
E2026005054
Codi Segur de Verificació:
62ffb294-fe9f-412a-95ff-e789b2359074
Origen: Administració
Identificador document: ES_L01081000_2026_28828185
Data d'impressió: 03/11/2026 13:44:57
Pàgina 11 de 247
SIGNATURES
1.- ESTEVE AYMERICH (R: J62755897), 27/07/2026 11:04

Justificació de la necessitat de modificació del projecte

Atès que la data de redacció del projecte és de 2013, en el moment de voler iniciar les obres per a la construcció de la coberta ha estat necessaria prèviament una revisió de l'adaptació a la normativa vigent així com de l'import pressupostat per a l'obra. Però més enllà d'aquesta revisió rutinària el principal motiu que ha impulsat la redacció d'una modificació de projecte ha estat la necessitat d'assegurar espais d'ombra per a l'escola. Aquesta demanda que ja era present quan es va redactar el projecte inicial, enguany ha esdevingut imperiosa atès que durant la darrera dècada s'han evidenciat tant l'increment de la rigurositat del període calorós com la seva prolongació dins del cicle anual. Per això, el que el 2013 consistia principalment en un projecte d'una coberta per a protegir una pista esportiva que procurés no perjudicar l'assolellament de la resta de l'escola, en l'actual projecte modificat esdevé predominant la preocupació per la utilitat que pot adquirir com a umbracle. Un umbracle que proporcioni una protecció per millorar el dia a dia dels alumnes de l'Escola Rossen Muntané però que també ofereixi un refugi climàtic al poble de Sant Pere Molanta.

A partir d'aquesta premissa, abans de procedir a la redacció del projecte modificat s'ha estimat necessària una anàlisi exhaustiva del comportament al llarg de tot l'any de la coberta dissenyada enfront l'exposició solar. Per això, al primer estudi d'assolellament que ja es va fer durant la redacció del projecte inicial, s'hi ha volgut afegir un segon estudi encarregat a l'empresa ARQBAG. Aquest segon estudi que s'adjunta al projecte modificat com a document annex, ha servit per parametritzar les hores d'exposició solar d'alguns punts de la pista durant les diferents èpoques de l'any. Els resultats obtinguts han permès constatar que la coberta dissenyada, en termes generals, mostrava un bon comportament davant l'exposició solar. La seva geometria garantia un raonable assolellament del pati i horts del parvulari durant l'hivern així com també una bona insolació de la pista. Per contra, a l'estiu i amb el sol alt, exercia d'umbracle projectant la seva ombra a la major part de la pista. Per millorar encara aquesta funció protectora, l'estudi suggeria alguna actuació suplementària que s'ha recollit al present projecte modificat i més endavant es desenvolupa.

AJUNTAMENT D'OLERDOLA
Aquest document és una còpia simple del document electrònic original.

DOCUMENT
DOCUMENT REGISTRE UNIFICAT ENTRADA
ÒRGAN
SERVEIS TECNICS
REGISTRE D'ENTRADA
E2026005054
Codi Segur de Verificació:
62ffb294-fe9f-412a-95ff-e789b2359074
Origen: Administració
Identificador document: ES_L01081000_2026_28828185
Data d'impressió: 03/11/2026 13:44:57
Pàgina 12 de 247
SIGNATURES
1.- ESTEVE AYMERICH (R: J62755897), 27/07/2026 11:04

MD2. EL PROJECTE

AJUNTAMENT D'OLERDOLA
Aquest document és una còpia simple del document electrònic original.

DOCUMENT
DOCUMENT REGISTRE UNIFICAT ENTRADA
ÒRGAN
SERVEIS TECNICS
REGISTRE D'ENTRADA
E2026005054
Codi Segur de Verificació:
62ffb294-fe9f-412a-95ff-e789b2359074
Origen: Administració
Identificador document: ES_L01081000_2026_28828185
Data d'impressió: 03/11/2026 13:44:57
Pàgina 13 de 247
SIGNATURES
1.- ESTEVE AYMERICH (R: J62755897), 27/07/2026 11:04

La pista esportiva de l'escola de Sant Pere Molanta



[l'escola de Sant Pere Molanta, al Sud-Oest del poble]

L'escola Rossend Montané de Sant Pere Molanta, ocupa un solar a l'extrem sud-oest del nucli, a la cantonada entre els carrers Sant Roc i Wilson. La parcel·la de l'escola té una forma trapezoidal d'uns vuitanta metres de façana al carrer Wilson i uns setanta-cinc metres de fondària.

L'escola està disposada en L, col.locant el cos de primària en dues plantes, perpendicular al carrer Wilson i tancant gairebé el límit de la mitgera de llevant. Aquesta ala funciona en mòduls separats i connectats amb passeres tancades fins al cos de doble altura del gimnàs al final del tram. I el cos de parvulari només en planta baixa està disposat tancant la L i alineat amb el carrer Wilson.

Com a conseqüència el pati de l'escola ocupa l'àmbit restant, en dues plataformes. La primera com a pati del parvulari, és la zona més ajardinada i l'altra on hi ha la pista esportiva, que aprofitant la secció deprimida resol el desnivell amb una petita grada. L'àmbit de la pista té una forma trapezoidal, deixant al carrer Sant Roc el triangle resultant de l'ocupació de la pista.

AJUNTAMENT D'OLERDOLA
Aquest document és una còpia simple del document electrònic original.

DOCUMENT
DOCUMENT REGISTRE UNIFICAT ENTRADA
ÒRGAN
SERVEIS TECNICS
REGISTRE D'ENTRADA
E2026005054
Codi Segur de Verificació:
62ffb294-fe9f-412a-95ff-e789b2359074
Origen: Administració
Identificador document: ES_L01081000_2026_28828185
Data d'impressió: 03/11/2026 13:44:57
Pàgina 14 de 247
SIGNATURES
1.- ESTEVE AYMERICH (R: J62755897), 27/07/2026 11:04



[l'escola des de la cantonada nord-est, al carrer Wilson]



[la pista de l'escola des de la cantonada sud-oest al carrer Sant Roc durant la construcció de la segona fase]



[la pista de l'escola des del sud durant la construcció de la segona fase]



[la pista de l'escola des de l'interior de l'escola, tocant el gimnàs, durant la construcció de la segona fase]

AJUNTAMENT D'OLERDOLA
Aquest document és una còpia simple del document electrònic original.

DOCUMENT
DOCUMENT REGISTRE UNIFICAT ENTRADA
ÒRGAN
SERVEIS TECNICS
REGISTRE D'ENTRADA
E2026005054
Codi Segur de Verificació:
62ffb294-fe9f-412a-95ff-e789b2359074
Origen: Administració
Identificador document: ES_L01081000_2026_28828185
Data d'impressió: 03/11/2026 13:44:57
Pàgina 15 de 247
SIGNATURES
1.- ESTEVE AYMERICH (R: J62755897), 27/07/2026 11:04

El cobriment de la pista

Donada la pista, el projecte consistia en imaginar una coberta, que sent el més lleugera possible, permetés la major quantitat d'activitats escolars i extraescolars, fossin esportives o de lleure.

Físicament els límits de la coberta eren clars, el límit amb les vinyes, la grada i el final de la pista per la banda del gimnàs, deixant l'àmbit de les rampes que separen la pista de l'escola. Pel carrer, l'estació transformadora que fa de tap de les grades, es convertia en el límit físic per a l'estructura, impedint així cobrir completament tota la zona pavimentada, deixant aquest triangle a oest sense opció a ser ocupat. Tot i així, a la proposta definitiva s'ha estirat una mica la cubrició mitjançant el vol maxim que permeten les corretges que la suporten, per tal d'abastar millor l'àmbit de joc.

El projecte definitiu, respecte al del concurs, s'ha esforçat a reduir la volumetria per tal que projectés les mínimes ombres possibles sobre el pati del parvulari. I aquesta és la causa determinant de la volumetria final. Una sèrie de pòrtics metàl.lics en gelosia construeixen un àmbit de coberta, que garanteix en el punt més baix respecte el camp de joc una altura lliure de 7 metres, considerada l'altura adequada en termes d'entrenament i en la major part de competicions d'esports federats, fora de les d'abast internacional.

El resultat d'aquest treball ha estat una estructura de pòrtics que s'ancoren en l'àmbit de les grades i que gairebé com una canya de pescar, s'acaben recolzant sobre el pla de façana –en el mur de formigó de tancament- cap a les vinyes, sobre una estructura molt liviana, en forma de gelosia.

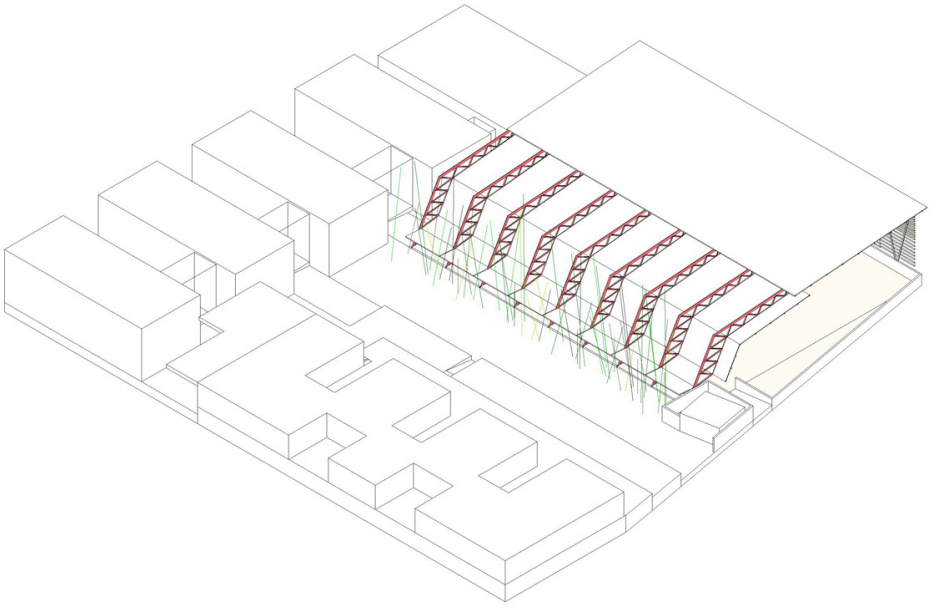

[resultat de la cubrició, part de l'estructura és aparent des de l'exterior per aconseguir un millor assolellamet]

AJUNTAMENT D'OLERDOLA
Aquest document és una còpia simple del document electrònic original.

DOCUMENT
DOCUMENT REGISTRE UNIFICAT ENTRADA
ÒRGAN
SERVEIS TECNICS
REGISTRE D'ENTRADA
E2026005054
Codi Segur de Verificació:
62ffb294-fe9f-412a-95ff-e789b2359074
Origen: Administració
Identificador document: ES_L01081000_2026_28828185
Data d'impressió: 03/11/2026 13:44:57
Pàgina 16 de 247
SIGNATURES
1.- ESTEVE AYMERICH (R: J62755897), 27/07/2026 11:04

La pell és la que defineix l'envolvent mínima, que acaba de reduir l'àmbit d'influència de l'assolellament. Des del pati del parvulari, una visera ens protegeix i emmarca les vistes cap a les vinyes a través de la pista. La pell de la coberta d'aquest primer tram està col.locada sota l'estructura, d'aquesta manera, només l'ombra dels pòrtics es projectarà sobre el pati. Quan ja no té influència sobre l'ombra, la pell de la coberta passa a la cara superior dels pòrtics, ja que és on estructuralment treballa millor i és més senzilla de resoldre constructivament. La visera del parvulari conté la canal de recollida de les aigües pluvials de tota la coberta atès que aquesta té un únic pendent.

Al projecte inicial de 2013, la façana cap a les vinyes s'acabava amb un pentinat de pals de vinya, recolzats sobre la gelosia estructural de suport dels pòrtics, per controlar i matitzar l'impacte del sol respecte la pista. També i per tal de verificar que la volumetria era la que menys podia perjudicar a l'assolellament del pati del parvulari i que les ombres sota la gran coberta eren les que es requerien per tal que l'activitat de lleure i esportiva fós l'adequada als diferents climes del cicle anual, ja es va fer un primer estudi d'ombres per així corroborar-ho.

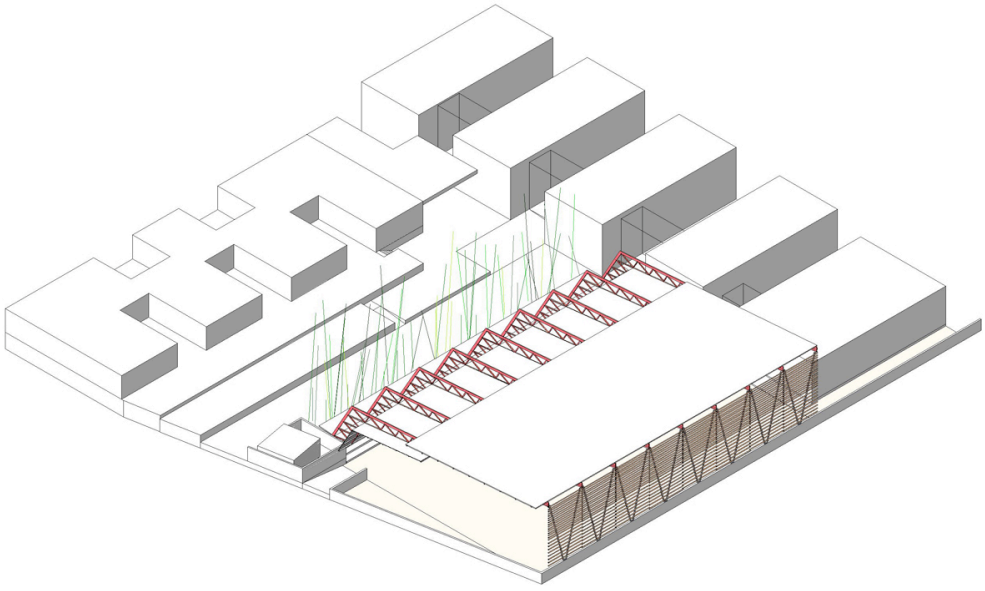

[la nova façana de l'escola cap a les vinyes, construeix una nova façana de l'escola que vol ser amable]

El present projecte modificat aprofundeix i posa més èmfasi en els aspectes que ja apuntava el projecte inicial sobre la incidència solar al llarg de tot l'any, a la pista i al pati de l'escola. Aquesta incidència del sol, s'analitza des dues perspectives, la del benefici que proporciona un bon asolellament a l'hivern i la de la necessària i imprescindible protecció que cal aconseguir a l'estiu.

AJUNTAMENT D'OLERDOLA
Aquest document és una còpia simple del document electrònic original.

DOCUMENT
DOCUMENT REGISTRE UNIFICAT ENTRADA
ÒRGAN
SERVEIS TECNICS
REGISTRE D'ENTRADA
E2026005054
Codi Segur de Verificació:
62ffb294-fe9f-412a-95ff-e789b2359074
Origen: Administració
Identificador document: ES_L01081000_2026_28828185
Data d'impressió: 03/11/2026 13:44:57
Pàgina 17 de 247
SIGNATURES
1.- ESTEVE AYMERICH (R: J62755897), 27/07/2026 11:04

ASSOLELLAMENT A L'HIVERN: LA COBERTA COM A PORXO OBERT

El projecte inicial de 2013 ja va estudiar amb profunditat el tema de l'assolellament i aportava informació gràfica de l'ombra que produïa la coberta sobre el pati del parvulari i sobre la pròpia pista en les diverses estacions de l'any (veure pàg.següent). Adicionalment, l'estudi realitzat enguany per ARBAG sobre aquesta mateixa qüestió (veure annex al projecte modificat), ratifica la bondat de les solucions previstes en el projecte inicial. La coberta, que per la banda del parvulari situa aproximadament 1/3 del vessant per sota l'estructura, fa la menor ombra possible al pati dels infants, inclús en els mesos hivernals quan el sol és més baix. Per contra, per l'altra banda, els 2/3 restants del vessant recuperen la seva posició convencional pel damunt de l'estructura. Això i el fet que la coberta sigui d'un sol pendent, fa que es comporti com un gran porxo, obrint-se cap els camps i aconseguint que el sol penetri fins al fons de la pista a l'hivern.

L'únic aspecte formal que es modifica sobre el projecte inicial és la substitució dels pals de vinya de la façana per unes lames metàl·liques, d'uns 40cm de profunditat. Es col·locaran suficienment espaiades i amb la inclinació precisa per no perjudicar l'assolellament de la pista a l'hivern i que amb la gelosia de pals de vinya no quedava garantit. En aquest mateix sentit, està prevista també la plantació d'una filera d'arbres paral·lela al mur de formigó de la façana sud. Es vol crear una pantalla vegetal d'arbres caducifolis que reforçarà la funció protectora de les lames atès que s'adaptarà de forma natural a la primavera i a la tardor amb el creixement i la pèrdua de la fulla. A l'estiu, farà la mateixa funció que les lames però a més proporcionarà frescor al seu voltant i a l'aparcament. Les lames seran l'única protecció durant els primers anys de creixement d'aquest arbrat.

PROTECCIÓ A L'ESTIU: LA COBERTA COM A UMBRACLE

Aquesta funció protectora de la coberta a l'estiu que al projecte inicial ja s'apuntava com a beneficiosa per a l'escola, a dia d'avui s'ha convertit en la principal motivació per a voler construir-la. Anàlogament a la situació d'hivern, l'estudi d'assolellament també valora positivament la geometria de la secció de la coberta. A l'estiu, atès que el sol de migdia està molt alt, la coberta projecta la seva ombra protectora sobre la major part de la pista. No obstant, a l'estar resolta amb un sol pendent per afavorir la màxima insolació a l'hivern, la façana sud-oest supera els 10 m d'alçària. L'estudi d'assolelallament recomana protegir aquesta façana adicionalment amb unes lames, per estalviar que no caigui la solana en una franja de la pista. Aquestes lames estaran separades uns 80cm entre cadascuna i es col·locaran amb una inclinació de 20º, per tal de fer la menor ombra possible a l'hivern.

Malgrat aquesta ombra que aportaran les lames a l'estiu, el projecte també preveu la plantació d'una filera d'arbres davant seu per crear una pantalla vegetal d'arbres caducifolis que reforci la protecccció sobre aquesta façana tan exposada. Les lames seran efectives des del primer moment però amb el pas dels anys, l'arbrat anirà agafant major protagonisme i acabarà esdevenint un filtre natural que a més d'ombra aportarà frescor a pista i aparcament.

AJUNTAMENT D'OLERDOLA
Aquest document és una còpia simple del document electrònic original.

AJUNTAMENT D'OLERDOLA
Aquest document és una còpia simple del document electrònic original.

Codi Segur de Verificació:
62ffb294-fe9f-412a-95ff-e789b2359074
Origen: Administració
Identificador document: ES_L01081000_2026_28828185
Data d'impressió: 03/11/2026 13:44:57
Pàgina 18 de 247

DOCUMENT
DOCUMENT REGISTRE UNIFICAT ENTRADA

ÒRGAN
SERVEIS TECNICS

SIGNATURES
1.- ESTEVE AYMERICH (R: J62755897), 27/07/2026 11:04

REGISTRE D'ENTRADA
E2026005054

21 setembre 9:00

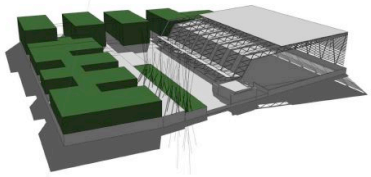

21 desembre 9:00

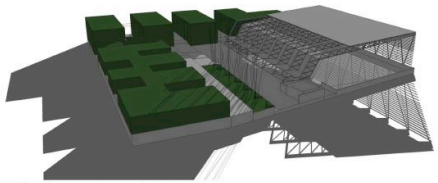

21 març 9:00

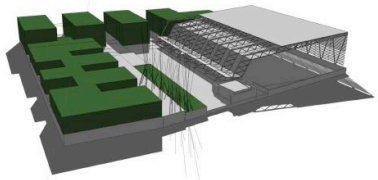

21 juny 9:00

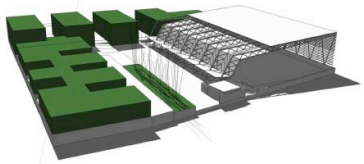

21 setembre 11:00

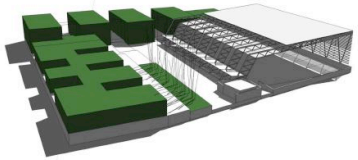

21 desembre 11:00

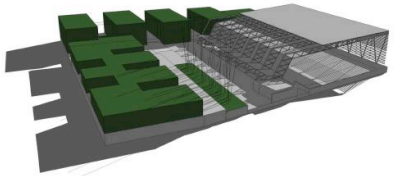

21 març 11:00

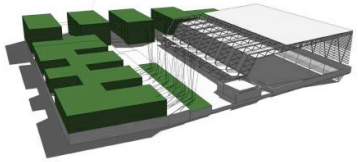

21 juny 11:00

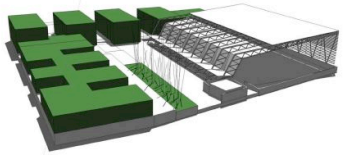

21 setembre 13:00

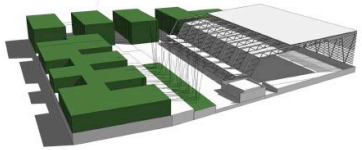

21 desembre 13:00

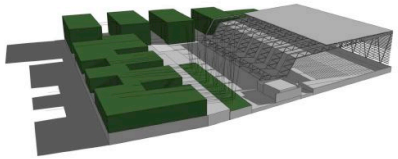

21 març 13:00

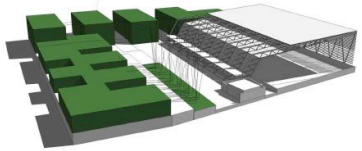

21 juny 13:00

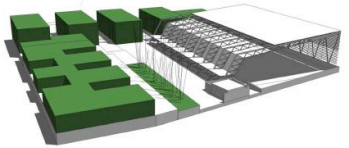

21 setembre 15:00

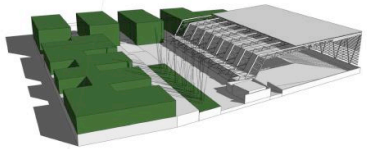

21 desembre 15:00

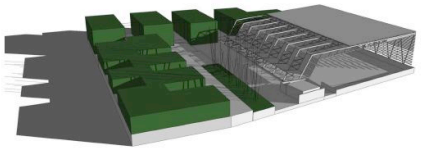

21 març 15:00

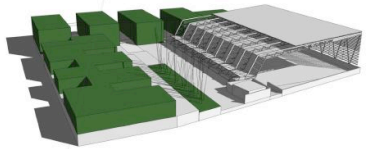

21 juny 15:00

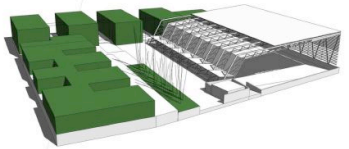

21 setembre 17:00

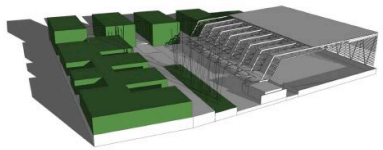

21 desembre 17:00

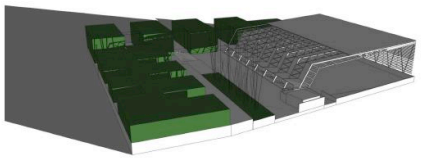

21 març 17:00

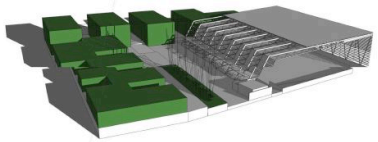

21 juny 17:00

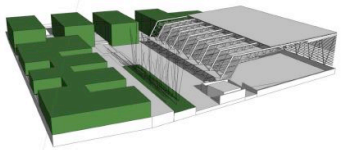

ANÀLISI D'OMBRES DURANT EL CICLE ANNUAL

DOCUMENT
DOCUMENT REGISTRE UNIFICAT ENTRADA
ÒRGAN
SERVEIS TECNICS
REGISTRE D'ENTRADA
E2026005054
Codi Segur de Verificació:
62ffb294-fe9f-412a-95ff-e789b2359074
Origen: Administració
Identificador document: ES_L01081000_2026_28828185
Data d'impressió: 03/11/2026 13:44:57
Pàgina 19 de 247
SIGNATURES
1.- ESTEVE AYMERICH (R: J62755897), 27/07/2026 11:04

La construcció d'una gran ombrel.la

Estructuralment la coberta consisteix en deu pòrtics –les infografies són del procés i només tenen nou pòrtics- formats per una gelosia metàl.lica, formada per una HEB-260 al cordó superior i dues UPN-260 al cordó inferior, connectats entre elles amb tubs circulars que van formant una triangulació en ziga-zaga fins que al darrer tram, per la cada vegada major proximitat entre el cordó superior i l'inferior, és fa més senzill resoldre-ho mitjançant dues xapes laterals contínues. Per afavorir la idea d'un gran porxo obert cap a les vinyes, els pòrtics són assimètrics. Es fan molt esbelts pel costat dels camps de vinyes mentre que l'encavallada és converteix en pilar pel costat del parvulari. El pilar s'inclina cap a la pista per afavorir l'assolellament del pati del parvulari a l'apartar-se'n, amb el cordó exterior com a prolongació natural de l'HEB 260 del cordó superior de l'encavallada. No obstant, el cordó interior sí que es diferencia de l'inferior fet amb dues UPN i es resol amb la mateixa HEB-260 que a l'exterior. Finalment, per no hipotecar l'espai i la visibilitat des de la grada, aquesta HEB interior es plega per ajuntar-se amb l'exterior, formant un únic suport fins els 2,5 m d'alçària, facilitant així l'entrega amb el darrer graó de formigó prefabricat. D'aquesta manera, únicament caldrà substituir aquest tram horitzontal de la grada mentre que els dos primers trams, es desmuntaran sencers i posteriorment es tornaran a recol·locar.

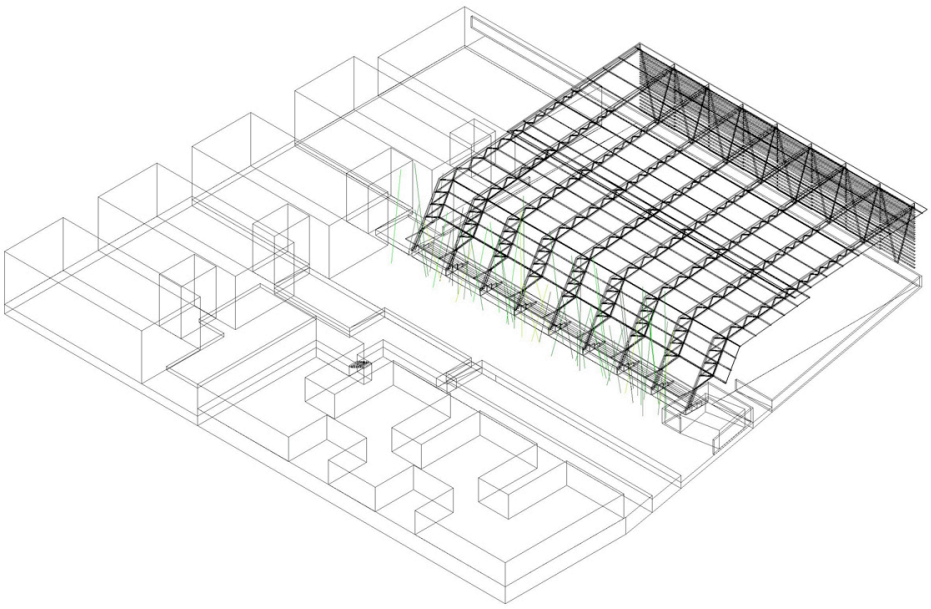

[la coberta tancada a nord i oberta cap al sud mirant cap al paisatge de vinyes]

AJUNTAMENT D'OLERDOLA
Aquest document és una còpia simple del document electrònic original.

DOCUMENT
DOCUMENT REGISTRE UNIFICAT ENTRADA
ÒRGAN
SERVEIS TECNICS
REGISTRE D'ENTRADA
E2026005054
Codi Segur de Verificació:
62ffb294-fe9f-412a-95ff-e789b2359074
Origen: Administració
Identificador document: ES_L01081000_2026_28828185
Data d'impressió: 03/11/2026 13:44:57
Pàgina 20 de 247
SIGNATURES
1.- ESTEVE AYMERICH (R: J62755897), 27/07/2026 11:04

Els pòrtics se suporten sobre una gelosia formada per un tub continu de 200x120 mm que fan el dibuix d'una sanefa. Els perfils horitzontals serveixen per recolzar-se damunt del muret de formigó existent a la part inferior i per suportar els pòrtics a la part superior. Els perfils inclinats són els pilars i a la vegada serveixen per arriostar tot el pla de façana, amb l'ajut de perfils horitzontals suplementaris per evitar el fimbreig.

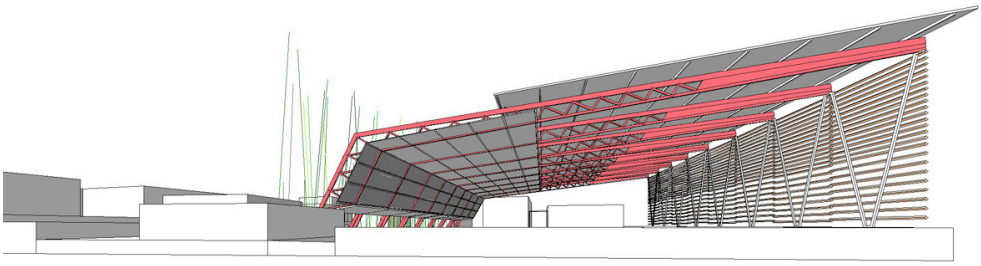

[l'aspecte més identitari de la pista des de l'interior, on s'evidencia el trencament de la coberta en dos trams]

La pell que com ja s'ha dit, vola pel lateral de ponent, es recolza sempre sobre tubs, quadrats quan descansa sobre del pòrtic i circulars quan es subjecta per sota. Aquests tubs de secció circular se suporten amb una pletina que penja primer de l'eix de la UPN-260 inferior i després de la HEB-260 del pilar, de tal manera que permet una bona trobada de la xapa de cubrició, per tal que el propi perfil fent de goteró condueix l'aigua de pluja. Tot l'entramat de coberta s'acaba amb unes triangulacions situades a les crugies dels extrems per aconseguir l'arriostrament horitzontal de l'estructura.

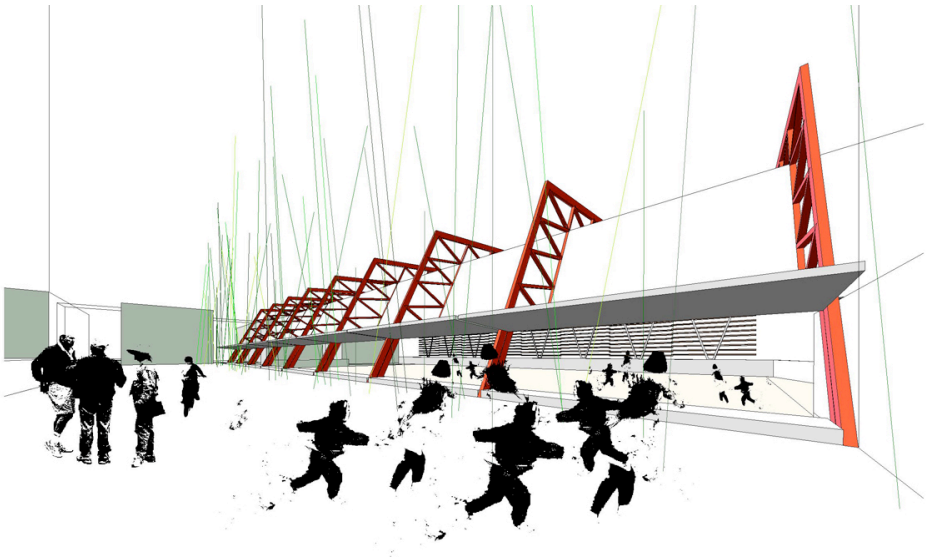

[la coberta tancada a nord i oberta cap al sud mirant cap al paisatge de vinyes, permetent lel millor assoleiament possible del pati del parvulari]

AJUNTAMENT D'OLERDOLA
Aquest document és una còpia simple del document electrònic original.

DOCUMENT
DOCUMENT REGISTRE UNIFICAT ENTRADA
ÒRGAN
SERVEIS TECNICS
REGISTRE D'ENTRADA
E2026005054
Codi Segur de Verificació:
62ffb294-fe9f-412a-95ff-e789b2359074
Origen: Administració
Identificador document: ES_L01081000_2026_28828185
Data d'impressió: 03/11/2026 13:44:57
Pàgina 21 de 247
SIGNATURES
1.- ESTEVE AYMERICH (R: J62755897), 27/07/2026 11:04

La xapa perfilada de cubrició és del tipus simètric, de tal manera que es comporta perfecte en totes les situacions que requereix el projecte, i el seu acabat és galvanitzat a les dues cares. No obstant, la coberta que se situa a la part superior de les encavallades, serà del tipus sandwitx format in situ per la qual cosa es disposarà una xapa nervada perforada a la part inferior, amb una ànima intermitja de llana de roca de 4cm de gruix, a fi d'obtenir un millor comportament tèrmic de l'umbracle i aconseguir un millor confort acústic. Aquest és un punt important en que es modifica el projecte inicial de 2013. De la mateixa manera, la coberta que es col·loca per sota les encavallades, en gran part també es revestirà inferiorment, mitjançant una xapa nervada perforada que contindrà també una ànima de llana de roca.

Amb la mateixa xapa es forma la visera que dona al pati del parvulari. Conté una canal que recull tota la pluja de la coberta i a través d'un baixant per pòrtic, l'aigua es condueix a la xarxa de sanejament ja existent que no cal redimensionar atès que recollirà el mateix cabal que fins ara.

La façana cap els camps, prevista amb pals de vinya al projecte inicial de 2013, finalment es resoldrà amb unes lames d'uns 40cm de profunditat, disposades cada 80cm amb una inclinació de 20º per assegurar una bona entrada del sol a l'hivern i que per contra, durant els mesos d'estiu, projectin la seva ombra a la pista. Les lames es fixaran mitjançant unions cargolades a platines d'espera previstes en els tubs estructurals que conformen la sanefa de la façana sud. Aquestes lames es confeccionaran a taller amb tub galvanitzat Ø 100mm, recobert de xapa perforada també galvanitzada, doblegada i cargolada. Les lames d'una crugia no estaran alineades amb la del costat ja que es desplaçaran 1/3 dels 80 cm de separació entre cadascuna.

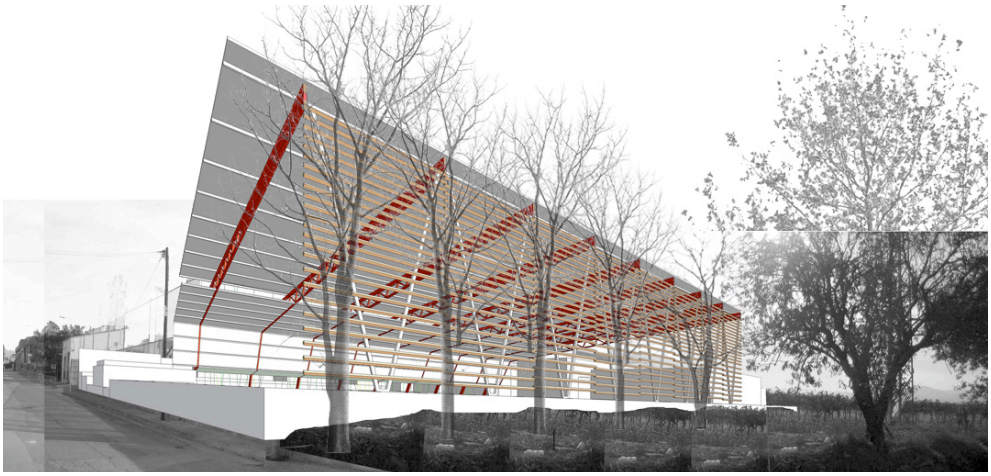

[la transparència de la façana protegida per les lames, li otorga una presència de proximitat amb el paisatge]

Una de les decisions estratègiques un cop definida la volumetria ha estat aprofitar sempre que ha estat possible els elements constructius existents. Així i començant per baix, es desmuntaran els dos primers trams de les grades de formigó prefabricades de tal manera que després sigui

AJUNTAMENT D'OLERDOLA
Aquest document és una còpia simple del document electrònic original.

DOCUMENT
DOCUMENT REGISTRE UNIFICAT ENTRADA
ÒRGAN
SERVEIS TECNICS
REGISTRE D'ENTRADA
E2026005054
Codi Segur de Verificació:
62ffb294-fe9f-412a-95ff-e789b2359074
Origen: Administració
Identificador document: ES_L01081000_2026_28828185
Data d'impressió: 03/11/2026 13:44:57
Pàgina 22 de 247
SIGNATURES
1.- ESTEVE AYMERICH (R: J62755897), 27/07/2026 11:04

possible tornar-los a muntar. Tan sols se substituirà el darrer replà de la grada per un de nou atès que cal trossejar-lo per tal que encaixi entre els pilars dels pòrtics. Amb aquest mateix criteri, les tanques tant la que està actualment sobre el muret de límit amb les vinyes com la que està encastada sobre les grades, es desmuntaran per ser reposicionades un cop acabat el muntatge de l'estructura de la coberta. La tanca a sud es recol·locarà sencera fixant els puntals verticals a uns elements de subjecció que s'hauran previst ancorats a la banda interior del mur de formigó. La tanca de les grades, es desmuntarà i es recol·locarà, prescindint dels puntals, damunt d'uns marcs previstos entre pòrtics formats per tub Ø 90 mm units per tres L-50, galvanitzats.

Finalment, per millorar encara la funció de la coberta com a umbracle, està prevista també la plantació d'una filera d'arbres paral·lela al mur de formigó de la façana sud. Es vol crear una pantalla vegetal d'arbres caducifolis que reforçarà la funció protectora de les lames atès que s'adaptarà de forma natural a la primavera i a la tardor amb el creixement i la pèrdua de la fulla. A l'estiu, farà la mateixa funció que les lames però a més proporcionarà frescor al seu voltant i a l'aparcament. Les lames seran l'única protecció durant els primers anys de creixement d'aquests arbres, que seran lledoners.

AJUNTAMENT D'OLERDOLA
Aquest document és una còpia simple del document electrònic original.

DOCUMENT
DOCUMENT REGISTRE UNIFICAT ENTRADA
ÒRGAN
SERVEIS TECNICS
REGISTRE D'ENTRADA
E2026005054
Codi Segur de Verificació:
62ffb294-fe9f-412a-95ff-e789b2359074
Origen: Administració
Identificador document: ES_L01081000_2026_28828185
Data d'impressió: 03/11/2026 13:44:57
Pàgina 23 de 247
SIGNATURES
1.- ESTEVE AYMERICH (R: J62755897), 27/07/2026 11:04

MD3. NORMATIVA VIGENT

AJUNTAMENT D'OLERDOLA
Aquest document és una còpia simple del document electrònic original.

DOCUMENT
DOCUMENT REGISTRE UNIFICAT ENTRADA
ÒRGAN
SERVEIS TECNICS
REGISTRE D'ENTRADA
E2026005054
Codi Segur de Verificació:
62ffb294-fe9f-412a-95ff-e789b2359074
Origen: Administració
Identificador document: ES_L01081000_2026_28828185
Data d'impressió: 03/11/2026 13:44:57
Pàgina 24 de 247
SIGNATURES
1.- ESTEVE AYMERICH (R: J62755897), 27/07/2026 11:04

Normativa urbanística

La classificació i qualificació urbanística de la parcel.la situada al carrer Sant Roc, on hi ha l'Escola Rossend Montané és la següent:

A. Segons el Pla d'Ordenació Urbanística Municipal d'Olèrdola, aprovat definitivament el seu text refós el 20 de setembre de 2007:

-classificació: sòl urbà

-qualificació: sistema d'equipaments, clau Ed: centres docents i els seus annexos esportius

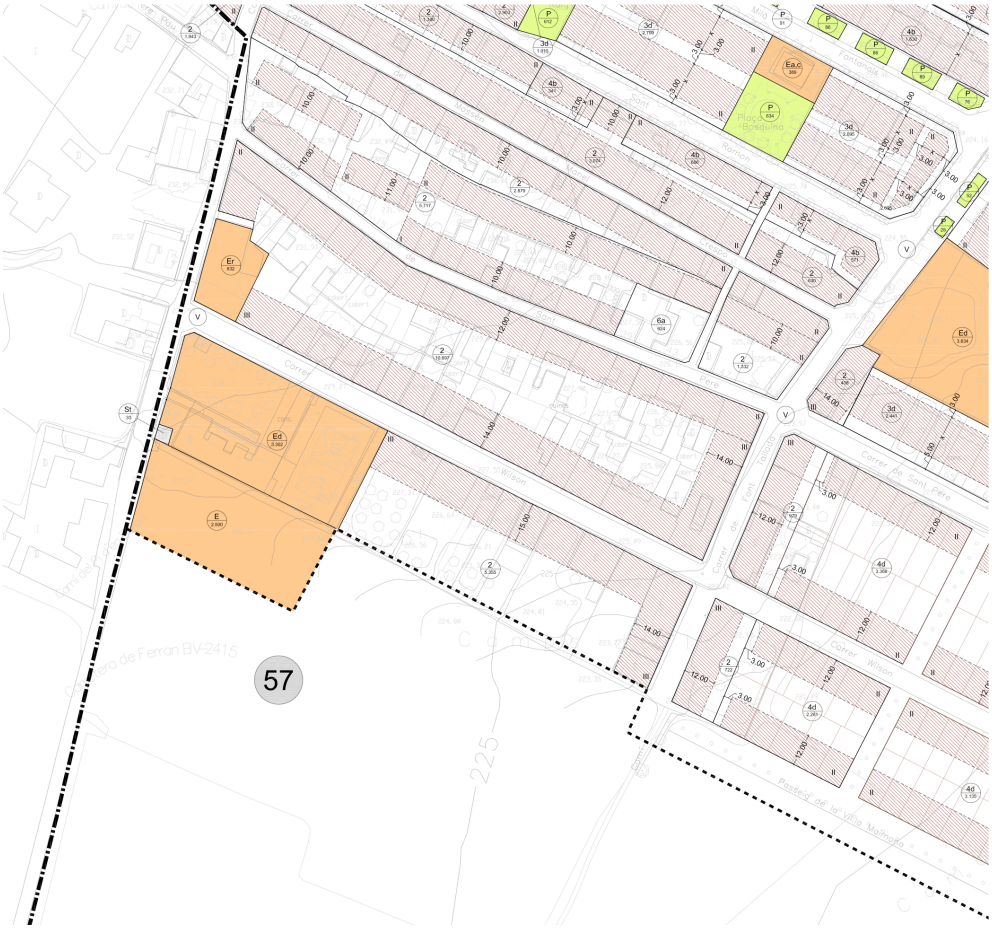

B. Les condicions d'ordenació i edificació seran les que estableix l'article 172 de la normativa urbanística del Pla d'Ordenació Urbanística Municipal d'Olèrdola, que es transcriu a continuació:

AJUNTAMENT D'OLERDOLA
Aquest document és una còpia simple del document electrònic original.

DOCUMENT
DOCUMENT REGISTRE UNIFICAT ENTRADA
ÒRGAN
SERVEIS TECNICS
REGISTRE D'ENTRADA
E2026005054
Codi Segur de Verificació:
62ffb294-fe9f-412a-95ff-e789b2359074
Origen: Administració
Identificador document: ES_L01081000_2026_28828185
Data d'impressió: 03/11/2026 13:44:57
Pàgina 25 de 247
SIGNATURES
1.- ESTEVE AYMERICH (R: J62755897), 27/07/2026 11:04

article 172. Condicions d'edificació

172.1 Les edificacions s'ajustaran a les necessitats funcionals dels diferents equipaments, al paisatge, al respecte a les condicions ambientals i a la integració en el sector en el qual siguin ubicats.

172.2 Per als equipaments situats (en les claus de Casc Antic i d'alineació a vial), tant en sòl urbà com en urbanitzable, regirà el tipus d'ordenació de la zona on sigui ubicat l'equipament i, en el seu cas, el de la zona contigua, respectant les seves condicions d'edificació.

172.3 Per a la resta de zones en sòl urbà i urbanitzable els equipaments regiran les següents condicions d'edificació

- *a. Altura màxima: 10 metres, que podran ultrapassar-se fins a un màxim de 12 metres quan ho justifiquin les característiques i finalitat de l'equipament*
- *b. Ocupació màxima de la parcel.la: 40%*
- *c. Coeficient d'edificabilitat net: 1 m2 st / m2 sòl*

172.4 Per als equipaments de titularitat pública que eventualment es puguin situar en sòl no urbanitzable, les condicions seran les adequades als requeriments estrictes de l'equipament. Per a la concreció de l'edificabilitat, i, en el seu cas, d'ús determinant, caldrà la redacció d'un pla especial.

172.5 Els projectes d'edificis d'equipaments públics contemplaran la incorporació de mesures medioambientals adequades a cada cas.

El cobriment de la pista esportiva, es troba dintre del recinte de l'escola i aquesta es troba contigua a la zona clau 2: residencial en consolidació, i per tant els paràmetres d'ordenació d'aquesta zona s'han aplicat a l'escola.

El cobriment de la pista es troba d'alguna manera ja fora de la zona i per tant entenem aplicable l'article 172.3. L'altura màxima de la coberta és de 11 metres i per tant estaríem en '*...fins a un màxim de 12 metres quan ho justifiquin les característiques i finalitat de l'equipament*', sent així ja que el cobriment de l'altura de joc exigeix aquesta altura de la construcció.

AJUNTAMENT D'OLERDOLA
Aquest document és una còpia simple del document electrònic original.

DOCUMENT
DOCUMENT REGISTRE UNIFICAT ENTRADA
ÒRGAN
SERVEIS TECNICS
REGISTRE D'ENTRADA
E2026005054
Codi Segur de Verificació:
62ffb294-fe9f-412a-95ff-e789b2359074
Origen: Administració
Identificador document: ES_L01081000_2026_28828185
Data d'impressió: 03/11/2026 13:44:57
Pàgina 26 de 247
SIGNATURES
1.- ESTEVE AYMERICH (R: J62755897), 27/07/2026 11:04

Normativa d'obligat compliment

AJUNTAMENT D'OLERDOLA
Aquest document és una còpia simple del document electrònic original.

DOCUMENT
DOCUMENT REGISTRE UNIFICAT ENTRADA
ÒRGAN
SERVEIS TECNICS
REGISTRE D'ENTRADA
E2026005054
Codi Segur de Verificació:
62ffb294-fe9f-412a-95ff-e789b2359074
Origen: Administració
Identificador document: ES_L01081000_2026_28828185
Data d'impressió: 03/11/2026 13:44:57
Pàgina 27 de 247
SIGNATURES
1.- ESTEVE AYMERICH (R: J62755897), 27/07/2026 11:04

Normativa tècnica general d'Edificació

Juliol 2025

El Decret 462/1971 del *Ministerio de la Vivienda* (BOE: 24/3/71): *"Normas sobre redacción de proyectos y dirección de obras de edificación"*, estableix que en la memòria i en el plec de prescripcions tècniques particulars de qualsevol projecte d'edificació es faci constar expressament l'observança de les *normas de la presidencia del gobierno* i les del *ministerio de la vivienda* sobre la construcció vigents.

És per això convenient que en la memòria figuri un paràgraf que faci al·lusió a l'esmentat decret i especifiqui que en el projecte s'han observat les normes vigents aplicables sobre construcció.

Així mateix, en el plec de prescripcions tècniques particulars s'inclourà una relació de les normes vigents aplicables sobre construcció i es remarcarà que en l'execució de l'obra s'observaran les mateixes.

El marc normatiu actual de l'edificació es basa en la Llei d'Ordenació de l'Edificació, que es desplega amb el Codi tècnic de l'Edificació, CTE, i es complementa amb la resta de reglaments i disposicions d'àmbit europeu, estatal, autonòmic i local. També, cal tenir present que, en molts casos, el text legal remet a altres normes, com UNE-EN, UNE, CEI, CEN.

Paral·lelament, per garantir les exigències de qualitat de l'edificació, les característiques tècniques dels productes, equips i sistemes que s'incorporin amb caràcter permanent als edificis, hauran de dur el marcatge CE, de conformitat amb el Reglament (UE) 2024/3110 i el Reglament (UE) 305/2011 pels quals s'estableixen condicions harmonitzades per a la comercialització de productes de construcció, i els Reglaments que els complementen.

En aquest document d'ajuda la normativa tècnica s'ha estructurat en relació als capítols del projecte per facilitar la seva aplicació. S'ordena en aspectes generals, requisits generals de l'edifici, sistemes constructius i, finalment, documentació complementària del projecte com la certificació energètica o el control de qualitat. S'identifica en color negre la normativa d'àmbit estatal, en color vermell la normativa de l'àmbit català i en color blau es preveuen les possibles ordenances i disposicions municipals.

Aquesta relació de normativa tècnica té caràcter genèric i caldrà adequar-la i completar-la en cada projecte en funció del seu abast i dels usos previstos.

Nota:

Color negre: legislació d'àmbit estatal
Color granate: legislació d'àmbit autonòmic
Color blau: legislació d'àmbit municipal

AJUNTAMENT D'OLERDOLA
Aquest document és una còpia simple del document electrònic original.

DOCUMENT
DOCUMENT REGISTRE UNIFICAT ENTRADA
ÒRGAN
SERVEIS TECNICS
REGISTRE D'ENTRADA
E2026005054
Codi Segur de Verificació:
62ffb294-fe9f-412a-95ff-e789b2359074
Origen: Administració
Identificador document: ES_L01081000_2026_28828185
Data d'impressió: 03/11/2026 13:44:57
Pàgina 28 de 247
SIGNATURES
1.- ESTEVE AYMERICH (R: J62755897), 27/07/2026 11:04

Normativa tècnica general d'Edificació

Aspectes generals

Ley de Ordenación de la Edificación, LOE

Ley 38/1999 (BOE: 06/11/99) i les seves posteriors modificacions

Código Técnico de la Edificación, CTE

RD 314/2006, de 17 de març de 2006 (BOE 28/03/2006), modificat per RD 1371/2007 (BOE 23/10/2007) i per RD 1675/2008 (BOE 18/10/2008), i les seves correccions d'errades (BOE 20/12/2007 i 25/01/2008)
Orden VIV 984/2009 (BOE 23/4/2009), i la seva correcció d'errades (BOE 23/09/2009)
RD 173/2010 pel qual es modifica el Codi Tècnic de l'Edificació, en matèria d'accessibilitat i no discriminació a persones amb discapacitat (BOE 11/03/2010)
Ley 8/2013 (BOE 27/6/2013)
Orden FOM/ 1635/2013, d'actualització del DB HE (BOE 12/09/2013) amb correcció d'errades (BOE 08/11/2013)
Orden FOM/588/2017, pel la qual es modifica el DB HE i el DB HS (BOE 23/06/2017)
RD 732/2019, de 20 de desembre de 2019, pel qual es modifica el Codi Tècnic de l'Edificació (BOE 27/12/2019)
RD 450/2022, de 14 de juny de 2022, pel qual es modifica el Codi Tècnic de l'Edificació (BOE 15/06/2022)

Reglamento Europeo de Productos de Construcción *(marcatge CE dels productes, equips i sistemes)*

Reglamento (UE) 2024/3110 (DOUE: 18/12/2024) (d'aplicació obligatòria parcialment a partir del 08/01/2026)

Reglamento (UE) 305/2011, i les seves posteriors modificacions (derogat parcialment pel R. 2024/3110 a partir del 08/01/2040)

Normas para la redacción de proyectos y dirección de obras de edificación

D 462/1971 (BOE: 24/3/71) i la seva posterior modificació

Normas sobre el libro de Ordenes y asistencias en obras de edificación

O 9/6/1971 (BOE: 17/6/71) i les seves posteriors modificacions

Certificado final de dirección de obras

D 462/1971 (BOE: 24/3/71) i la seva posterior modificació

REQUISITS BÀSICS DE QUALITAT DE L'EDIFICACIÓ

Ús de l'edifici

Habitatge

Llei de l'habitatge

Llei 18/2007 (DOGC: 9/1/2008) i correcció errades (DOGC 7/2/2008) i les seves posteriors modificacions

Condicions mínimes d'habitabilitat dels habitatges i la cèdula d'habitabilitat

D 141/2012 (DOGC 2/11/2012) i la seva posterior modificació

Acreditació de determinats requisits prèviament a l'inici de la construcció dels habitatges

D 282/91 (DOGC:15/01/92)

Altres usos

Segons reglamentacions específiques

Accessibilitat

Condiciones básicas de accesibilidad y no discriminación de las personas con discapacidad para el acceso y utilización de los espacios públicos urbanizados y edificaciones

RD 505/2007 (BOE 113 de l'11/5/2007) i la seva posterior modificació

CTE Part I Exigències bàsiques de seguretat d'utilització i accessibilitat, SUA

CTE DB Document Bàsic SUA Seguretat d'utilització i accessibilitat

RD 314/2006 (BOE 28/03/2006) i les seves posteriors modificacions

Llei d'accessibilitat

Llei 13/2014 (DOGC 4/11/2014) i la seva posterior modificació

Codi d'accessibilitat de Catalunya, de desplegament de la Llei 13/2014

AJUNTAMENT D'OLERDOLA
Aquest document és una còpia simple del document electrònic original.

DOCUMENT
DOCUMENT REGISTRE UNIFICAT ENTRADA
ÒRGAN
SERVEIS TECNICS
REGISTRE D'ENTRADA
E2026005054
Codi Segur de Verificació:
62ffb294-fe9f-412a-95ff-e789b2359074
Origen: Administració
Identificador document: ES_L01081000_2026_28828185
Data d'impressió: 03/11/2026 13:44:57
Pàgina 29 de 247
SIGNATURES
1.- ESTEVE AYMERICH (R: J62755897), 27/07/2026 11:04

D 209/2023 (DOGC 30/11/23) i la seva posterior correcció d'errades

Seguretat estructural

CTE Part I Exigències bàsiques de Seguretat Estructural, SE

CTE DB SE Document Bàsic Seguretat Estructural, Bases de càlcul

CTE DB SE AE Document Bàsic Accions a l'edificació
RD 314/2006 (BOE 28/03/2006) i les seves posteriors modificacions

Seguretat en cas d'incendi

CTE Part I Exigències bàsiques de seguretat en cas d'incendi, SI

CTE DB SI Document Bàsic Seguretat en cas d'Incendi
RD 314/2006 (BOE 28/03/2006) i les seves posteriors modificacions

Reglamento de seguridad contra incendios en los establecimientos industriales, RSCIEI
RD 164/2025, (BOE: 10/04/2025)

Prevenció i seguretat en matèria d'incendis en establiments, activitats, infraestructures i edificis.
Llei 3/2010 del 18 de febrer (DOGC: 10.03.10) i les seves posteriors modificacions

Instruccions tècniques complementàries, SPs
Ordre INT/322/2012, INT/323/2012 i INT/324/2012 (DOGC 25/10/2012)
Ordre ISP/19/2025, ISP/20/2025 i ISP/28/2025 (DOGC 24/02/2025, 03/03/2025)

Ordenança Municipal de protecció en cas d'incendi de Barcelona, OMCPI 2008 (només per projectes a Barcelona)

Seguretat d'utilització i accessibilitat

CTE Part I Exigències bàsiques de seguretat d'utilització i accessibilitat, SUA

CTE DB SUA Document Bàsic Seguretat d'Utilització i Accessibilitat

- **SUA-1 Seguretat enfront al risc de caigudes**
- **SUA-2 Seguretat enfront al risc d'impacte o enganxades**
- **SUA-3 Seguretat enfront al risc "d'aprisionament"**
- **SUA-5 Seguretat enfront al risc causat per situacions d'alta ocupació**
- **SUA-6 Seguretat enfront al risc d'ofegament**
- **SUA-7 Seguretat enfront al risc causat per vehicles en moviment**
- **SUA-8 Seguretat enfront al risc causat pel llamp**
- **SUA-9 Accessibilitat**

RD 314/2006 (BOE 28/03/2006) i les seves posteriors modificacions

Salubritat

CTE Part I Exigències bàsiques d'Habitabilitat Salubritat, HS

CTE DB HS Document Bàsic Salubritat

- **HS 1 Protecció enfront de la humitat**
- **HS 2 Recollida i evacuació de residus**
- **HS 3 Qualitat de l'aire interior**
- **HS 4 Subministrament d'aigua**
- **HS 5 Evacuació d'aigües**
- **HS 6 Protecció contra l'exposició al radó**

RD 314/2006 (BOE 28/03/2006) i les seves posteriors modificacions

Es regula l'adopció de criteris ambientals i d'ecoeficiència en els edificis
D 21/2006 (DOGC: 16/02/2006) I D 111/2009 (DOGC:16/7/2009)

AJUNTAMENT D'OLERDOLA
Aquest document és una còpia simple del document electrònic original.

DOCUMENT
DOCUMENT REGISTRE UNIFICAT ENTRADA
ÒRGAN
SERVEIS TECNICS
REGISTRE D'ENTRADA
E2026005054
Codi Segur de Verificació:
62ffb294-fe9f-412a-95ff-e789b2359074
Origen: Administració
Identificador document: ES_L01081000_2026_28828185
Data d'impressió: 03/11/2026 13:44:57
Pàgina 30 de 247
SIGNATURES
1.- ESTEVE AYMERICH (R: J62755897), 27/07/2026 11:04

Protecció enfront del soroll

CTE Part I Exigències bàsiques d'Habitabilitat Protecció davant del soroll, HR

CTE DB HR Document Bàsic Protecció davant del soroll
RD 314/2006 (BOE 28/03/2006) i les seves posteriors modificacions

Ley del ruido
Ley 37/2003 (BOE 276, 18.11.2003) i la seva posterior modificació

Zonificación acústica, objetivos de calidad y emisiones acústicas
RD 1367/2007 (BOE 23/10/2007) i la seva posterior modificació

Llei de protecció contra la contaminació acústica
Llei 16/2002 (DOGC 3675, 11.07.2002) i la seva posterior modificació

Reglament de la Llei 16/2002 de protecció contra la contaminació acústica
Decret 176/2009 (DOGC 5506, 16.11.2009) i les seves posteriors modificacions

Es regula l'adopció de criteris ambientals i d'ecoeficiència en els edificis
D 21/2006 (DOGC: 16/02/2006) i D 111/2009 (DOGC:16/7/2009)

Ordenances municipals

Estalvi d'energia

CTE Part I Exigències bàsiques d'estalvi d'energia, HE

CTE DB HE Document Bàsic Estalvi d'Energia

HE-0 Limitació del consum energètic

HE-1 Condicions per al control de la demanda energètica

HE-2 Condicions de les instal·lacions tèrmiques

HE-3 Condicions de les instal·lacions d'il·luminació

HE-4 Contribució mínima d'energia renovable per cobrir la demanda d'ACS

HE-5 Generació mínima d'energia elèctrica procedent de fonts renovables

HE-6 Dotacions mínimes per a la infraestructura de recàrrega de vehicles elèctrics

RD 314/2006 (BOE 28/03/2006) i les seves posteriors modificacions.

Es regula l'adopció de criteris ambientals i d'ecoeficiència en els edificis
D 21/2006 (DOGC: 16/02/2006) i D 111/2009 (DOGC:16/7/2009)

AJUNTAMENT D'OLERDOLA
Aquest document és una còpia simple del document electrònic original.

DOCUMENT
DOCUMENT REGISTRE UNIFICAT ENTRADA
ÒRGAN
SERVEIS TECNICS
REGISTRE D'ENTRADA
E2026005054
Codi Segur de Verificació:
62ffb294-fe9f-412a-95ff-e789b2359074
Origen: Administració
Identificador document: ES_L01081000_2026_28828185
Data d'impressió: 03/11/2026 13:44:57
Pàgina 31 de 247
SIGNATURES
1.- ESTEVE AYMERICH (R: J62755897), 27/07/2026 11:04

NORMATIVA DELS SISTEMES CONSTRUCTIUS DE L'EDIFICI

Sistemes estructurals

CTE DB SE Document Bàsic Seguretat Estructural, Bases de càlcul

CTE DB SE AE Document Bàsic Accions a l'edificació

CTE DB SE C Document Bàsic Fonaments

CTE DB SE A Document Bàsic Acer

CTE DB SE M Document Bàsic Fusta

CTE DB SE F Document Bàsic Fàbrica

CTE DB SI 6 Resistència al foc de l'estructura i Annexes C, D, E, F

RD 314/2006 (BOE 28/03/2006) i les seves posteriors modificacions.

NCSE-02 Norma de Construcción Sismorresistente. Parte general y edificación

RD 997/2002, de 27 de setembre (BOE: 11/10/02)

CE Codi Estructural

RD 470/2021, de 29 de juny, pel qual s'aprova el Codi Estructural i la seva correcció d'errors

NRE-AEOR-93 Norma reglamentària d'edificació sobre accions en l'edificació en les obres de rehabilitació estructural dels sostres d'edificis d'habitatges

O 18/1/94 (DOGC: 28/1/94)

Sistemes constructius

CTE DB HS 1 Protecció enfront de la humitat

CTE DB HS 6 Protecció contra l'exposició al radó

CTE DB HR Protecció davant del soroll

CTE DB HE 1 Condicions per al control de la demanda energètica

CTE DB SE AE Accions en l'edificació

CTE DB SE F Fàbrica i altres

CTE DB SI Seguretat en cas d'Incendi, SI 1 i SI 2, Annex F

CTE DB SUA Seguretat d'Utilització i Accessibilitat, SUA 1 i SUA 2

RD 314/2006 (BOE 28/03/2006) i les seves posteriors modificacions.

Codi d'accessibilitat de Catalunya, de desplegament de la Llei 13/2014

D 209/2023 (DOGC: 30/11/23) i la seva posterior correcció d'errades.

Es regula l'adopció de criteris ambientals i d'ecoeficiència en els edificis
D 21/2006 (DOGC: 16/02/2006) i D 111/2009 (DOGC:16/7/2009)

AJUNTAMENT D'OLERDOLA
Aquest document és una còpia simple del document electrònic original.

Codi Segur de Verificació:
62ffb294-fe9f-412a-95ff-e789b2359074
Origen: Administració
Identificador document: ES_L01081000_2026_28828185
Data d'impressió: 03/11/2026 13:44:57
Pàgina 32 de 247

SIGNATURES
1.- ESTEVE AYMERICH (R: J62755897), 27/07/2026 11:04

Instal·lacions d'ascensors

CTE DB SUA 9 Seguretat d'utilització i accessibilitat
RD 173/2010 (BOE 11.03.2010)

Codi d'Accessibilitat de Catalunya, de desplegament de la Llei 13/2014
D 209/2023 (DOGC 30/11/23) i la seva posterior correcció d'errades

CTE DB SI 4 Seguretat en cas d'incendi. Instal·lacions de protecció en cas d'incendi *(ascensor d'emergència)*
RD 173/2010 (BOE 11.03.2010)

Requisitos esenciales de seguridad para la comercialización de ascensores y componentes de seguridad de ascensores
RD 203/2016 (BOE: 25/5/2016)

Reglamento de aparatos de elevación y su manutención. Instrucciones Técnicas Complementarias
RD 2291/85 (BOE: 11/12/85) i les seves posteriors modificacions

Instrucción Técnica Complementaria ITC AEM 1 "Ascensores", que regula la puesta en servicio, modificación, mantenimiento e inspección de los ascensores, así como el incremento de la seguridad del parque de ascensores existente
RD 355/2024 (BOE 13/04/2024)

Normes per a la comercialització i posada en servei de les màquines
RD 1644/08 de 10 d'octubre (BOE 11.10.08) i la seva posterior modificació

Se autoriza la instalación de ascensores sin cuarto de máquinas
Resolución 3/4/97 (BOE: 23/4/97) i la seva posterior modificació

Se autoriza la instalación de ascensores con máquinas en foso
Resolución 10/09/98 (BOE: 25/9/98)

Seguretat industrial dels establiments, les instal·lacions i els productes
D 192/2023 (DOGC 09.11.2023)

AJUNTAMENT D'OLERDOLA
Aquest document és una còpia simple del document electrònic original.

DOCUMENT
DOCUMENT REGISTRE UNIFICAT ENTRADA
ÒRGAN
SERVEIS TECNICS
REGISTRE D'ENTRADA
E2026005054
Codi Segur de Verificació:
62ffb294-fe9f-412a-95ff-e789b2359074
Origen: Administració
Identificador document: ES_L01081000_2026_28828185
Data d'impressió: 03/11/2026 13:44:57
Pàgina 33 de 247
SIGNATURES
1.- ESTEVE AYMERICH (R: J62755897), 27/07/2026 11:04

Instal·lacions de recollida i evacuació de residus

CTE DB HS 2 Recollida i evacuació de residus
RD 314/2006 (BOE 28/03/2006) i les seves posteriors modificacions

Ordenances municipals

Instal·lacions d'aigua

CTE DB HS 4 Subministrament d'aigua
RD 314/2006 (BOE 28/03/2006) i les seves posteriors modificacions

Criterios técnico-sanitarios de la calidad del agua de consumo, su control y suministro
RD 3/2023, de 10 de gener (BOE 11/01/2023) i la seva correcció d'errades

Requisitos sanitarios para la prevención y el control de la legionelosis
RD 487/2022, de 21 de juny (BOE 22/06/2022) i la seva posterior modificació

Real Decreto 614/2024, de 2 de julio, por el que se modifica el Real Decreto 487/2022

Reglamento d'equips a pressió. Instruccions tècniques complementàries
RD 809/2021, de 21 de setembre (BOE 11/10/2021)

Es regula l'adopció de criteris ambientals i d'ecoeficiència en els edificis
D 21/2006 (DOGC 16/02/2006) I D111/2009 (DOGC:16/7/2009)

Condicions higienicosanitàries per a la prevenció i el control de la legionel·losi
D 352/2004 (DOGC 29/07/2004)

Mesures de foment per a l'estalvi d'aigua en determinats edificis i habitatges (d'aplicació obligatòria als edificis destinats a serveis públics de la Generalitat de Catalunya, així com en els habitatges finançats amb ajuts atorgats o gestionats per la Generalitat de Catalunya)
D 202/98 (DOGC 06/08/98)

Ordenances municipals

Instal·lacions d'aigua calenta sanitària

CTE DB HS 4 Subministrament d'aigua
RD 314/2006 (BOE 28/03/2006) i les seves posteriors modificacions

CTE DB HE 4 Contribució mínima d'energia renovable per cobrir la demanda d'ACS
RD 314/2006 (BOE 28/03/2006) i les seves posteriors modificacions

RITE Reglamento de Instalaciones Térmicas en los Edificios
RD 1027/2007 (BOE: 29/8/2007) i les seves posteriors modificacions

Requisitos sanitarios para la prevención y el control de la legionelosis
RD 487/2022, de 21 de juny (BOE 22/06/2022) i la seva posterior modificació

Condicions higienicosanitàries per a la prevenció i el control de la legionel·losi
D 352/2004 (DOGC 29/07/2004)

Es regula l'adopció de criteris ambientals i d'ecoeficiència en els edificis
D 21/2006 (DOGC 16/02/2006) I D111/2009 (DOGC:16/7/2009)

Instal·lacions d'evacuació

CTE DB HS 5 Evacuació d'aigües
RD 314/2006 (BOE 28/03/2006) i les seves posteriors modificacions

AJUNTAMENT D'OLERDOLA
Aquest document és una còpia simple del document electrònic original.

DOCUMENT
DOCUMENT REGISTRE UNIFICAT ENTRADA
ÒRGAN
SERVEIS TECNICS
REGISTRE D'ENTRADA
E2026005054
Codi Segur de Verificació:
62ffb294-fe9f-412a-95ff-e789b2359074
Origen: Administració
Identificador document: ES_L01081000_2026_28828185
Data d'impressió: 03/11/2026 13:44:57
Pàgina 34 de 247
SIGNATURES
1.- ESTEVE AYMERICH (R: J62755897), 27/07/2026 11:04

Es regula l'adopció de criteris ambientals i d'ecoeficiència en els edificis
D 21/2006 (DOGC 16/02/2006) I D111/2009 (DOGC16/7/2009)

Ordenances municipals

Instal·lacions de protecció contra el radó

CTE DB HS 6 Protecció contra l'exposició al radó
RD 732/2019, de 20 de desembre de 2019, pel qual es modifica el Codi Tècnic de l'Edificació (BOE 27/12/2019).

Instal·lacions tèrmiques

CTE DB HE 2 Condicions de les instal·lacions tèrmiques (remet al RITE)
RD 314/2006 (BOE 28/03/2006) i les seves posteriors modificacions.

RITE Reglamento de Instalaciones Térmicas en los Edificios
RD 1027/2007 (BOE: 29/8/2007) i les seves posteriors modificacions

Requisitos de diseño ecológico aplicables als productes relacionados con la energia
RD 187/2011 (BOE: 3/3/2011)

Requisitos sanitarios para la prevención y el control de la legionelosis
RD 487/2022, de 21 de juny (BOE 22/06/2022) i la seva posterior modificació

Reglamento de equipos a presión. Instrucciones técnicas complementarias
RD 809/2021, de 21 de setembre (BOE 11/10/2021)

Seguretat industrial dels establiments, les instal·lacions i els productes
D 192/2023 (DOGC 09.11.2023)

Condicions higienicosanitàries per a la prevenció i el control de la legionel·losi
D 352/2004 (DOGC 29/07/2004)

Ordenances municipals

Instal·lacions de ventilació

CTE DB HS 3 Qualitat de l'aire interior
RD 314/2006 (BOE 28/03/2006) i les seves posteriors modificacions.

RITE Reglamento de Instalaciones Térmicas en los Edificios
RD 1027/2007 (BOE: 29/8/2007 i les seves posteriors modificacions

CTE DB SI 3.7 Control de fums
RD 314/2006 (BOE 28/03/2006) i les seves posteriors modificacions.

Reglamento de seguridad contra incendios en los establecimientos industriales, RSCIEI
RD 164/2025, (BOE: 10/04/2025)

Ordenances municipals

Instal·lacions de combustibles

Gas natural i GLP

AJUNTAMENT D'OLERDOLA
Aquest document és una còpia simple del document electrònic original.

DOCUMENT
DOCUMENT REGISTRE UNIFICAT ENTRADA
ÒRGAN
SERVEIS TECNICS
REGISTRE D'ENTRADA
E2026005054
Codi Segur de Verificació:
62ffb294-fe9f-412a-95ff-e789b2359074
Origen: Administració
Identificador document: ES_L01081000_2026_28828185
Data d'impressió: 03/11/2026 13:44:57
Pàgina 35 de 247
SIGNATURES
1.- ESTEVE AYMERICH (R: J62755897), 27/07/2026 11:04

Reglamento técnico de distribución y utilización de combustibles gaseosos y sus instrucciones técnicas complementarias.

ITC-ICG 03 Instalaciones de almacenamiento de gases licuados del petróleo (GLP) en depósitos fijos

ITC-ICG 06 Instalaciones de almacenamiento de gases licuados del petróleo (GLP) para uso propio

ITC-ICG 07 Instalaciones receptoras de combustibles gaseosos

RD 919/2006 (BOE: 4/9/2006) i les seves posteriors modificacions

Reglamento general del servicio público de gases combustibles

D 2913/1973 (BOE: 21/11/73) i les seves posteriors modificacions, derogat en tot allò que contradiguin o s'oposin al que es disposa al "Reglamento técnico de distribución y utilización de combustibles gaseosos y sus instrucciones técnicas complementarias", aprovat pel RD 919/2006

Reglamento de redes y acometidas de combustibles gaseosos e instrucciones

O 18/11/74 (BOE: 6/12/74) i les seves posteriors modificacions, derogat en tot allò que contradiguin o s'oposin al que es disposa al "Reglamento técnico de distribución y utilización de combustibles gaseosos y sus instrucciones técnicas complementarias", aprovat pel RD 919/2006

Gas-oil

Instrucción Técnica Complementaria MI-IP-03 "Instalaciones Petrolíferas para uso propio"

RD 1523/1999 (BOE: 22/10/1999) i la seva posterior modificació

RD 1427/1997 (BOE: 23/10/1997) i les seves posteriors modificacions

Instal·lacions d'electricitat

REBT Reglamento electrotécnico para baja tensión. Instrucciones Técnicas Complementarias

RD 842/2002 (BOE 18/09/02) i les seves posteriors modificacions

Instrucción Técnica complementaria (ITC) BT 52 "Instalaciones con fines especiales. Infraestructura para la recarga de vehículos eléctricos", del Reglamento electrotécnico de baja tensión, y se modifican otras instrucciones técnicas complementarias del mismo.

RD 1053/2014 (BOE 31/12/2014) i la seva posterior modificació

CTE DB HE-5 Generació mínima d'energia elèctrica

RD 314/2006 (BOE 28/03/2006) i les seves posteriors modificacions.

Actividades de transporte, distribución, comercialización, suministro y procedimientos de autorización de instalaciones de energía eléctrica

RD 1955/2000 (BOE: 27/12/2000) i les seves posteriors modificacions. Obligació de centre de transformació, distàncies línies elèctriques

Reglamento de condiciones técnicas y garantías de seguridad en líneas eléctricas de alta tensión y sus instrucciones técnicas complementarias, ITC-LAT 01 a 09

RD 223/2008 (BOE: 19/3/2008) i les seves posteriors modificacions

Reglamento sobre condiciones técnicas y garantías de seguridad en centrales eléctricas y centros de transformación

RD 337/2014 (BOE: 9/6/2014) i les seves posteriors modificacions

Normas sobre ventilación y acceso de ciertos centros de transformación

Resolució 19/6/1984 (BOE: 26/6/84)

Conexión a red de instalaciones de producción de energía eléctrica de pequeña potencia

RD 1699/2011 (BOE: 8/12/2011) i les seves posteriors modificacions

Procediment administratiu aplicable a les instal·lacions solars fotovoltaiques connectades a la xarxa elèctrica

D 352/2001, de 18 de setembre (DOGC 02.01.02)

Normes Tècniques particulars de FECSA-ENDESA relatives a les instal·lacions de xarxa i a les instal·lacions d'enllaç

Resolució ECF/4548/2006 (DOGC 22/2/2007)

Especificacions particulars i projectes tipus d'Endesa Distribució Eléctrica, SLU.

Resolució de 5 de desembre de 2018 de la Direcció General d'Energia i Mines (BOE: 28/12/2018)

AJUNTAMENT D'OLERDOLA
Aquest document és una còpia simple del document electrònic original.

DOCUMENT
DOCUMENT REGISTRE UNIFICAT ENTRADA
ÒRGAN
SERVEIS TECNICS
REGISTRE D'ENTRADA
E2026005054
Codi Segur de Verificació:
62ffb294-fe9f-412a-95ff-e789b2359074
Origen: Administració
Identificador document: ES_L01081000_2026_28828185
Data d'impressió: 03/11/2026 13:44:57
Pàgina 36 de 247
SIGNATURES
1.- ESTEVE AYMERICH (R: J62755897), 27/07/2026 11:04

Seguretat industrial dels establiments, les instal·lacions i els productes
D 192/2023 (DOGC 09.11.2023)

Certificat sobre compliment de les distàncies reglamentàries d'obres i construccions a línies elèctriques
Resolució 4/11/1988 (DOGC 30/11/1988)

Vehicle elèctric

HE-6 Dotacions mínimes per a la infraestructura de recàrrega de vehicles elèctrics
RD 450/2022 (BOE 15/06/2022)

Instrucción Técnica complementaria (ITC) BT 52 "Instalaciones con fines especiales. Infraestructura para la recarga de vehículos eléctricos", del Reglamento electrotécnico de baja tensión, y se modifican otras instrucciones técnicas complementarias del mismo.
RD 1053/2014 (BOE 31/12/2014) i la seva posterior modificació

Instal·lacions fotovoltaiques

REBT Reglamento electrotécnico para baja tensión. Instrucciones Técnicas Complementarias
RD 842/2002 (BOE 18/09/02) i les seves posteriors modificacions

Condicions administratives, tècniques i econòmiques de l'autoconsum d'energia elèctrica
RD 244/2019 d'autoconsum (BOE 06/04/2019) i les seves posteriors modificacions

Ordenances municipals

Instal·lacions d'il·luminació

CTE DB HE-3 Condicions de les instal·lacions d'il·luminació
RD 314/2006 (BOE 28/03/2006) i les seves posteriors modificacions.

CTE DB SUA-4 Seguretat enfront al risc causat per il·luminació inadequada
RD 314/2006 (BOE 28/03/2006) i les seves posteriors modificacions.

REBT ITC-28 Instal·lacions en locals de pública concurrència
RD 842/2002 (BOE 18/09/02) i les seves posteriors modificacions

Llei d'ordenació ambiental de l'enllumenament per a la protecció del medi nocturn
Llei 6/2001 (DOGC 12/6/2001) i les seves posteriors modificacions

Instal·lacions de telecomunicacions

Infraestructuras comunes en los edificios para el acceso a los servicios de telecomunicación
RD Ley 1/98 de 27 de febrero (BOE: 28/02/98) i les seves posteriors modificacions

Reglamento regulador de las infraestructuras comunes de telecomunicaciones para el acceso a los servicios de telecomunicación en el interior de las edificaciones
RD 346/2011 (BOE 1/04/2011) i les seves posteriors modificacions

Orden ITC/1644/2011, por la que se desarrolla el reglamento regulador de las infraestructuras comunes de telecomunicaciones para el acceso a los servicios de telecomunicación en el interior de las edificaciones, aprobado por el RD 346/2011
ITC/1644/2011, de 10 de juny. (BOE 16/6/2011) i les seves posteriors modificacions

Procedimiento a seguir en las instalaciones colectivas de recepción de televisión en el proceso de su adecuación para la recepción de TDT y se modifican determinados aspectos administrativos y técnicos de las infraestructuras comunes de telecomunicación en el interior de los edificios
Ordre ITC/1077/2006 (BOE: 13/4/2006)

AJUNTAMENT D'OLERDOLA
Aquest document és una còpia simple del document electrònic original.

DOCUMENT
DOCUMENT REGISTRE UNIFICAT ENTRADA
ÒRGAN
SERVEIS TECNICS
REGISTRE D'ENTRADA
E2026005054
Codi Segur de Verificació:
62ffb294-fe9f-412a-95ff-e789b2359074
Origen: Administració
Identificador document: ES_L01081000_2026_28828185
Data d'impressió: 03/11/2026 13:44:57
Pàgina 37 de 247
SIGNATURES
1.- ESTEVE AYMERICH (R: J62755897), 27/07/2026 11:04

Instal·lacions de protecció contra incendis

RIPCI Reglamento de Instalaciones de Protección Contra Incendios
RD 513/2017 (BOE 12/6/2017) i les seves posteriors modificacions

CTE DB SI 4 Instal·lacions de protecció en cas d'incendi
RD 314/2006 (BOE 28/03/2006) i les seves posteriors modificacions.

Reglamento de seguridad contra incendios en los establecimientos industriales, RSCIEI
RD 164/2025, (BOE: 10/04/2025)

Instal·lacions de protecció al llamp

CTE DB SUA-8 i Annex B Seguretat enfront al risc causat per l'acció del llamp
RD 314/2006 (BOE 28/03/2006) i les seves posteriors modificacions.

Certificació energètica dels edificis

Procedimiento Básico para la certificación energética de los edificios
Real Decreto 390/2021 (BOE 02/06/2021)

Control de qualitat

Marc general

Código Técnico de la Edificación, CTE
RD 314/2006 (BOE 28/03/2006) i les seves posteriors modificacions.

CE Código Estructural. Capítulo 5. Bases generales para la gestión de la calidad de las estructuras
RD 470/2021, de 29 de juny (BOE 10/08/2021) i la seva correcció d'errors

Control de qualitat en l'edificació d'habitatges
D 375/1988 (DOGC: 28/12/88) i les seves posteriors modificacions

Normatives de productes, equips i sistemes (no exhaustiu)

Disposiciones para la libre circulación de los productos de construcción
Reglamento (UE) 2024/3110 (DOUE: 18/12/2024) (d'aplicació obligatòria parcialment a partir del 08/01/2026)
Reglamento (UE) 305/2011, i les seves posteriors modificacions (derogat parcialment pel R. 2024/3110 a partir del 08/01/2040)

Clasificación de los productos de construcción y de los elementos constructivos en función de sus propiedades de reacción y de resistencia frente al fuego
RD 842/2013 (BOE: 23/11/2013)

UC-85 recomanacions sobre l'ús de cendres volants en el formigó
O 12/4/1985 (DOGC: 3/5/85)

RC-16 Instrucción para la recepción de cementos
RD 256/2016 (BOE: 25/6/2016) i la seva posterior modificació

Criteris d'utilització en l'obra pública de determinats productes utilitzats en l'edificació
R 22/6/1998 (DOGC 3/8/98)

Gestió de residus de construcció i enderrocs

Regulador de la producción y gestión de los residuos de construcción y demolición

AJUNTAMENT D'OLERDOLA
Aquest document és una còpia simple del document electrònic original.

DOCUMENT
DOCUMENT REGISTRE UNIFICAT ENTRADA
ÒRGAN
SERVEIS TECNICS
REGISTRE D'ENTRADA
E2026005054
Codi Segur de Verificació:
62ffb294-fe9f-412a-95ff-e789b2359074
Origen: Administració
Identificador document: ES_L01081000_2026_28828185
Data d'impressió: 03/11/2026 13:44:57
Pàgina 38 de 247
SIGNATURES
1.- ESTEVE AYMERICH (R: J62755897), 27/07/2026 11:04

RD 105/2008, d'1 de febrer (BOE 13/02/2008)

Programa de Prevención y Gestión de Residus y Recursos de Catalunya (PRECAT 20)

RD 210/2018, del 6 d'abril (BOE 16/4/2018) i les seves posteriors modificacions

Residuos y suelos contaminados para una economía circular

Llei 7/2022, de 8 d'abril (BOE 09/04/2022)

Normas generales de valorización de materiales naturales excavados para su utilización en operaciones de relleno y obras distintas a aquellas en las que se generaron

Orden APM/1007/2017, de 10 d'octubre (BOE 21/10/2017)

Relación de actividades potencialmente contaminantes del suelo y los criterios y estándares para la declaración de suelos contaminados.

RD 9/2005 (BOE: 18/01/2005)

Text refós de la Llei reguladora dels residus

Decret Legislatiu 1/2009, de 21 de juliol (DOGC 28/7/2009) i les seves posteriors modificacions

Programa de gestió de residus de la construcció de Catalunya (PROGROC), es regula la producció i gestió de residus de la construcció i demolició, i el cànon sobre la deposició controlada dels residus de la construcció.

D 89/2010, 26 juliol (DOGC 6/07/2010) i les seves posteriors modificacions

Utilització dels àrids reciclats procedents de la valorització de residus de la construcció i demolició

ORDRE ACC/9/2023, de 23 de gener (DOGC 26/01/2023)

AJUNTAMENT D'OLERDOLA
Aquest document és una còpia simple del document electrònic original.

DOCUMENT
DOCUMENT REGISTRE UNIFICAT ENTRADA
ÒRGAN
SERVEIS TECNICS
REGISTRE D'ENTRADA
E2026005054
Codi Segur de Verificació:
62ffb294-fe9f-412a-95ff-e789b2359074
Origen: Administració
Identificador document: ES_L01081000_2026_28828185
Data d'impressió: 03/11/2026 13:44:57
Pàgina 39 de 247
SIGNATURES
1.- ESTEVE AYMERICH (R: J62755897), 27/07/2026 11:04

Llibre de l'edifici

Ley de Ordenación de la Edificación, LOE
Llei 38/1999 (BOE 06/11/99) i les seves posteriors modificacions

Código Técnico de la Edificación, CTE
RD 314/2006 (BOE 28/03/2006) i les seves posteriors modificacions

Llibre de l'edifici per a edificis d'habitatge
D 67/2015 (DOGC 7/8/2015)

AJUNTAMENT D'OLERDOLA
Aquest document és una còpia simple del document electrònic original.

DOCUMENT
DOCUMENT REGISTRE UNIFICAT ENTRADA
ÒRGAN
SERVEIS TECNICS
REGISTRE D'ENTRADA
E2026005054
Codi Segur de Verificació:
62ffb294-fe9f-412a-95ff-e789b2359074
Origen: Administració
Identificador document: ES_L01081000_2026_28828185
Data d'impressió: 03/11/2026 13:44:57
Pàgina 40 de 247
SIGNATURES
1.- ESTEVE AYMERICH (R: J62755897), 27/07/2026 11:04

MD4. DADES DEL PROJECTE

AJUNTAMENT D'OLERDOLA
Aquest document és una còpia simple del document electrònic original.

DOCUMENT
DOCUMENT REGISTRE UNIFICAT ENTRADA
ÒRGAN
SERVEIS TECNICS
REGISTRE D'ENTRADA
E2026005054
Codi Segur de Verificació:
62ffb294-fe9f-412a-95ff-e789b2359074
Origen: Administració
Identificador document: ES_L01081000_2026_28828185
Data d'impressió: 03/11/2026 13:44:57
Pàgina 41 de 247
SIGNATURES
1.- ESTEVE AYMERICH (R: J62755897), 27/07/2026 11:04

Superfícies construïdes

L'àmbit total del cobriment de la pista és de 1.590 m2

AJUNTAMENT D'OLERDOLA
Aquest document és una còpia simple del document electrònic original.

DOCUMENT
DOCUMENT REGISTRE UNIFICAT ENTRADA
ÒRGAN
SERVEIS TECNICS
REGISTRE D'ENTRADA
E2026005054
Codi Segur de Verificació:
62ffb294-fe9f-412a-95ff-e789b2359074
Origen: Administració
Identificador document: ES_L01081000_2026_28828185
Data d'impressió: 03/11/2026 13:44:57
Pàgina 42 de 247
SIGNATURES
1.- ESTEVE AYMERICH (R: J62755897), 27/07/2026 11:04

Pressupost per al coneixement de l'administració

TOTAL PRESSUPOST EXECUCIÓ MATERIAL	871.975,63 €
Despeses generals (13%)	113.356,83 €
Benefici industrial (6%)	52.318,54 €
TOTAL PRESSUPOST	1.037.651,00 €
IVA (21%)	217.906,71 €
TOTAL PRESSUPOST DE CONTRACTACIÓ	**1.255.557,71 €**

AJUNTAMENT D'OLERDOLA
Aquest document és una còpia simple del document electrònic original.

DOCUMENT
DOCUMENT REGISTRE UNIFICAT ENTRADA
ÒRGAN
SERVEIS TECNICS
REGISTRE D'ENTRADA
E2026005054
Codi Segur de Verificació:
62ffb294-fe9f-412a-95ff-e789b2359074
Origen: Administració
Identificador document: ES_L01081000_2026_28828185
Data d'impressió: 03/11/2026 13:44:57
Pàgina 43 de 247
SIGNATURES
1.- ESTEVE AYMERICH (R: J62755897), 27/07/2026 11:04

aquesta és l'última plana de la Memòria Descriptiva de la “Modificació del Projecte Bàsic i Executiu del Cobriment de la Pista Esportiva de l’Escola Rossend Muntané a Sant Pere Molanta”.

STEM arquitectes

Esteve Aymerich, Inés de Rivera,
arquitectes
Barcelona, març de 2026

AJUNTAMENT D'OLERDOLA
Aquest document és una còpia simple del document electrònic original.

DOCUMENT
DOCUMENT REGISTRE UNIFICAT ENTRADA
ÒRGAN
SERVEIS TECNICS
REGISTRE D'ENTRADA
E2026005054
Codi Segur de Verificació:
62ffb294-fe9f-412a-95ff-e789b2359074
Origen: Administració
Identificador document: ES_L01081000_2026_28828185
Data d'impressió: 03/11/2026 13:44:57
Pàgina 44 de 247
SIGNATURES
1.- ESTEVE AYMERICH (R: J62755897), 27/07/2026 11:04

M E M Ò R I A T È C N I C A

[MODIFICACIÓ PROJECTE COBRIMENT PISTA - Sant Pere Molanta, març de 2026] - MT0.1

AJUNTAMENT D'OLERDOLA
Aquest document és una còpia simple del document electrònic original.

DOCUMENT
DOCUMENT REGISTRE UNIFICAT ENTRADA
ÒRGAN
SERVEIS TECNICS
REGISTRE D'ENTRADA
E2026005054
Codi Segur de Verificació:
62ffb294-fe9f-412a-95ff-e789b2359074
Origen: Administració
Identificador document: ES_L01081000_2026_28828185
Data d'impressió: 03/11/2026 13:44:57
Pàgina 45 de 247
SIGNATURES
1.- ESTEVE AYMERICH (R: J62755897), 27/07/2026 11:04

MT1. LA CONSTRUCCIÓ DEL PROJECTE

AJUNTAMENT D'OLERDOLA
Aquest document és una còpia simple del document electrònic original.

DOCUMENT
DOCUMENT REGISTRE UNIFICAT ENTRADA
ÒRGAN
SERVEIS TECNICS
REGISTRE D'ENTRADA
E2026005054
Codi Segur de Verificació:
62ffb294-fe9f-412a-95ff-e789b2359074
Origen: Administració
Identificador document: ES_L01081000_2026_28828185
Data d'impressió: 03/11/2026 13:44:57
Pàgina 46 de 247
SIGNATURES
1.- ESTEVE AYMERICH (R: J62755897), 27/07/2026 11:04

Moviment de terres i enderrocs

extracció de grades prefabricades existents per a posterior recol.locació.
extracció de tanques i reixes existents per a posterior recol.locació.
extracció de torres projectors i reutilització dels projectors, fixats a corretges sostre.
retirada material esportiu amb reutilització d'elements no encastats al paviment (porteries).
enderroc de paviment de formigó amb tall de disc i martell piconador per desplaçament canal i grades.
excavació pous de fonamentació de 1,5 m. de fondària i 1,0m. d'amplada, amb mitjans mecànics, per fonament pilars estructura, càrrega sobre camió i transport de terres a abocador autoritzat.
excavació rases fonaments amb mitjans mecànics, càrrega sobre camió i transport de terres a abocador autoritzat, amb repàs de parets i sols.
excavació pous de recalçament de 1,5 m de fondària i 1,5x1,5 m en planta, amb mitjans mecànics, per reforçar puntualmentel fonament del mur de cotenció de la façana sud-oest.
excavació rases instal·lacions amb mitjans mecànics, amb càrrega del 50% de les terres pel seu transport i acopi dins la pròpia obra per una posterior reutilització. El 50% restant de les terres es deixaran al costat de la rasa per contribuïr al terraplenat posterior de la rasa.
transport de runa amb camió a fora de l'obra a abocador autoritzat, en compliment de la Llei de Gestió de Residus.
transport de terres amb camió a fora de l'obra a abocador autoritzat, en compliment de la Llei de Gestió de Residus.

Fonamentació i sistemes de contenció

sabates corregudes, com a fonament dels murets esglaonats de 40 cm. de gruix armat amb #1e12c/20 ambdues cares, de 100 i 140 cm d'amplària i 60 cm de profunditat, sobre 10 cm de formigó de neteja, amb formigó HA-25/F/20/XC2 i armades amb 6ø12 mm superior i inferior, 2ø12 de pell 1e12c/20, amb barres corrugades amb un recobriment mínim de 5 cm.
pous de recalçament com a fonament de recalçament del mur existent al límit sud-oest de la pista, de 1,5x1,5x1,4 m armat amb parrilla inferior #1e16c/20, sobre 10 cm de formigó de neteja, amb formigó HA-25/F/20/XC2, amb un recobriment mínim de 5 cm.
sabates corregudes, com a fonament dels murets de formigó massissat de 20 cm., de 40 cm d'amplària i 60 cm de profunditat, sobre 10 cm de formigó de neteja, amb formigó HA-25/F/20/XC2 a i armades amb 3ø12 mm superior i inferior, 2ø12 de pell 1e10c/20, amb barres corrugades amb un recobriment mínim de 5 cm.
xapa ancoratge pilars 2HEb-260 pista, amb platines 650x300 de 20mm de gruix, fixades amb 4 espàrrecss d'ancoratge Ø20mm de 70+15 cm de longitud.

Sanejament

Normativa d'aplicació i altres documents de referència

- Disposicions del CTE (Codi Tècnic de l'Edificació) en matèria de salubritat. I en concret la secció HS5 del Document Bàsic HS, Evacuació d'aigües.
- Disposicions de la Generalitat de Catalunya i el Consell Català de l'Esport, en els criteris per a la construcció de nous equipaments esportius.
- Normativa particular segons els tipus de canalització:
  - Tubs de PVC compliran la Norma UNE EN 1453-1:2000.
- Altres normatives vigents, específiques d'aquesta instal·lació

AJUNTAMENT D'OLERDOLA
Aquest document és una còpia simple del document electrònic original.

DOCUMENT
DOCUMENT REGISTRE UNIFICAT ENTRADA
ÒRGAN
SERVEIS TECNICS
REGISTRE D'ENTRADA
E2026005054
Codi Segur de Verificació:
62ffb294-fe9f-412a-95ff-e789b2359074
Origen: Administració
Identificador document: ES_L01081000_2026_28828185
Data d'impressió: 03/11/2026 13:44:57
Pàgina 47 de 247
SIGNATURES
1.- ESTEVE AYMERICH (R: J62755897), 27/07/2026 11:04

Disseny i posada en obra.

El projecte i dimensionat de les xarxes de desguàs es fa d'acord amb el "Código Técnico", Document Bàsic HS (Salubritat), Secció HS5, considerant que Olèrdola és a la zona pluviomètrica B, del plànol de l'Apèndix B d'aquesta Secció, i, que, a més, segons aquest plànol li correspon una isohieta de 50, el que vol dir, d'acord amb aquest mateix Apèndix, una Intensitat pluviomètrica de 110 mm/hora.

El dimensionat dels baixants i col·lectors d'aigües pluvials es realitza calculant la superfície de coberta o zona pavimentada acumulada, drenada pel tram corresponent, aplicant-li un factor de correcció f =1,10 (f=110/100 = 1,10) corresponent a la zona pluviomètrica en que es troba segons el CTE. Trobada la superfície corregida pel factor f, s'entra a les taules 4.8 (baixants d'aigües pluvials) i 4.9 (diàmetre dels col·lectors d'aigües pluvials), considerant, per a la xarxa horitzontal, un pendent mínima del 2,0% en tot els seu trams. Les taules esmentades donen els diàmetres resultants de l'aplicació del CTE HS5 per l'equipament esportiu de Sant Pere Molanta.

Els baixants de pluvials projectats seran interiors de PVC de 110 mm de diàmetre nominal.
Els col.lectors de pluvials projectats seran interiors de PVC de 160 mm de diàmetre nominal.

Descripció instal·lació

La nova xarxa de sanejament que recull tota l'aigua de pluja de la nova coberta està formada per una canal horitzontal de 41,60 m de llarg amb una secció equivalent de 840cm2 > ø160, i 10 baixants ø110 protegits a la cara interior del pilars. Un nou col.lector ø160, recollira les aigües dels baixants i la canal existent a la pista, actualment conectada al col.lector existent.

Estructura metàl.lica

---

bigues formades per un HEB-260 com a cordó superior i una parella de UPN-260 soldades, amb les ales cap a sota, en el cordó inferior. Els cordons es troben units per diagonals conformades amb tub ø90.5 mm. Quan el cantell de la bigues es redueix de forma significativa les diagonals son substituïdes per una xapa massissa d'acer.
pilars en gelosia estan formats per dos cordons HEB-260, separats 2.37m entre eixos, units amb diagonals de tub ø90.5 mm. Per la part inferior, per alliberar l'espai de la grada, el cordó interior es converteix en diagonal per unir-se amb el que baixa per l'exterior.
façana triangulada es resol amb tub rectangulars de 200x120mm i 8mm de gruix. i barres horitzontals per prevenir el fimbreig conformades amb tub ø100.5 mm.
estructura cargolada d'elements transportables amb una longitud màxima de 16 m. Es resoldran les unions de muntatge a l'obra mitjançant platines cargolades, tant pels elements principals (pòrtics) com pels secundaris (corretges).

Tancaments primaris

---

coberta damunt encavallades a base de sistema sandwitx format in situ, suportada per corretges metàl.liques (tub 90.90.5). Estarà composada per una planxa inferior nervada d'acer galvanitzat de 0,7mm de gruix i 48mm d'alçària, perforada a la part plana, i per una planxa superior d'acabat grecada d'acer galvanitzat de 0,6mm de gruix tipus Euromodul 44. Entre les dues planxes hi haurà una ànima de llana de roca muntada mitajançant perfils separadors de xapa galvanitzada de 1,5mm en forma de Z.

AJUNTAMENT D'OLERDOLA
Aquest document és una còpia simple del document electrònic original.

DOCUMENT
DOCUMENT REGISTRE UNIFICAT ENTRADA
ÒRGAN
SERVEIS TECNICS
REGISTRE D'ENTRADA
E2026005054
Codi Segur de Verificació:
62ffb294-fe9f-412a-95ff-e789b2359074
Origen: Administració
Identificador document: ES_L01081000_2026_28828185
Data d'impressió: 03/11/2026 13:44:57
Pàgina 48 de 247
SIGNATURES
1.- ESTEVE AYMERICH (R: J62755897), 27/07/2026 11:04

coberta sota encavallades a base d'un planxa simple grecada d'acer galvanitzat de 0,6mm de gruix tipus Euromodul 44, collada damunt corretges a base de tub ø100.5 (alternativament pot ser tub quadrat).
tractament acústic de part de la coberta situada a sota les encavallades mitjançant una planxa inferior nervada d'acer galvanitzat de 0,7mm de gruix i 48mm d'alçària, perforada a la part plana, contenint una ànima interior de llana de roca de 4cm de gruix. La planxa es collarà per sota les corretges mitjançant cargols autoroscants, com si es tractés d'unfals sostre.
remats i canal de planxa galvanitzada doblegada i retallada en greca, de 1,2 mm de gruix i un desembolupament de 75cm., amb unions mecàniques i segellat amb silicona.
gelosia de façana sud-oest, amb lames metàl·liques conformades mitjançant un element estructural de tub Ø90x2 mm + suports, galvanitzat en calent, revestit amb l'acabat de la lama, de xapa galvanitzada perforada, amb un desenvolupament de 75cm i fixada al tub mitjaçant cargols autorocants o bé roblonada. En cap cas s'empraran soldadures.

Acabats exteriors

---

tanca metàlica existent col.locada per la cara interior del mur amb perfils L 20x5 mm fixats mecànicament.
peça de formigó prefabricada de 465x110 cm i 10 cm. de cantell, amb el mateix acabat que les grades existents i un pendent mínim de 2%. Correspon al replà del darrer graó, que serà l'únic que es substituirà. Disposarà d'encaixos de 13cm a cada costat per poder entregar bé contra els pilars. Els alstres dos graons de la grada, s'hauran desmuntat al principi de l'obra, emmagatzemat i tornat a col·locar un cop acabada.

Pintures i proteccions

La protecció de l'estructura serà de grau C-3, la qual cosa implica una revisió ocular cada 3 anys i un manteniment general cada 10 anys. Cal remarcar que una part dels pòrtics restarà a la intempèrie, per fora la coberta, per tal de beneficiar l'assolellament del pati de l'escola.

estructura galvanitzada en calent aprofitant que l'estructura es dividirà en elements transportables i per tant submergibles en els tancs de zinc. Garanteix sobradament el grau de protecció C-3 i estalviarà el manteniment de l'estructura.

pintat a l'esmalt línies pista esportiva, de les diferents modalitats d'esports

Instal.lacions

ENLLUMENAT PISTA

Normativa d'aplicació i altres documents de referència
La il·luminació projectada complirà els criteris establerts per la Generalitat de Catalunya i el Consell Català de l'Esport, per la Norma UNE 12464.1 i pel CTE (DB-HE) .

L'enllumenat projectat a cada local complirà els requisits mínims exigits referents a:

- la il·luminància mitja horitzontal mantinguda (E_m)
- l'índex d'enlluernament unificat (UGRL).
- el valor de l'eficiència energètica de la instal·lació (VEEI) resultant.

AJUNTAMENT D'OLERDOLA
Aquest document és una còpia simple del document electrònic original.

DOCUMENT
DOCUMENT REGISTRE UNIFICAT ENTRADA
ÒRGAN
SERVEIS TECNICS
REGISTRE D'ENTRADA
E2026005054
Codi Segur de Verificació:
62ffb294-fe9f-412a-95ff-e789b2359074
Origen: Administració
Identificador document: ES_L01081000_2026_28828185
Data d'impressió: 03/11/2026 13:44:57
Pàgina 49 de 247
SIGNATURES
1.- ESTEVE AYMERICH (R: J62755897), 27/07/2026 11:04

Disseny i posada en obra.

La il·luminació mínima mitja establerta pels diferents organismes correspon a la següent:

- Pista 200 lux

Es reutilitzaran els actuals projectors instal·lats en 6 columnes al voltant del perímetre de la pista: Segons projecte de renovació de l'enllumenat de 2023, actualment la instal·lació disposa dels següents elements:
- costat grades (nord-est): repartits en tres columnes de 9 m d'alçària hi ha 3 projectors que il·luminen la pista i 4 projector que il·lumina cap a l'escola, tots de 190,7W.
- costat grades (sud-oest): repartits en tres columnes de 9 m d'alçària hi ha 3 projectors que il·luminen la pista i 1 projector que il·lumina cap a l'escola, tots de 190,7W. Adicionalment hi ha 3 lluminàries viaries orientades cap a l'aparcament, de 44,7W.

S'aprofitarà tota la instal·lació existent fins al quadre de comandament, que també es mantindrà completament. L'única cosa que es modificarà és la ubicació dels projectors i per tant, el darrer tram de cablejat fins a les lluminàries. Des dels actuals pericons que hi ha a peus de cadascuna de les columnes de projectors, quan s'enderroqui una franja de paviment per a poder refer el sanejament, s'aprofitarà també per passar conduccions fins als pilars dels pòrtics, per poder cablejar a continuació, des del pericó fins als projectors penjats a sota coberta així com també als projectors per il·luminar l'escola, fixats a d'altres elements de l'estructura de la coberta. Els projectors de pista de la banda de les grades, com que aniran a 7m d'alçària, s'instal·laran amb una inclinació de 15º mentre que els de la banda del mur de formigó, s'instal·laran horitzontals ja que estaran per sobre dels 10 m d'alçària.

Els circuits corresponents estaran formats, cada un, per cables de coure de tensió assignada 0.6/1 kV, RZ1-K no propagador d'incendis i amb emissió de fums i opacitat reduïda, amb aïllament de polietilè reticulat i coberta de poliolefina, segons UNE 21123 part 4 (1.999), i de secció 4 x 6 mm2, col·locat dins de tub de polietilè corrugat de 63 mm. de diàmetre, soterrat en una rasa. El conductor de protecció serà cable de coure de les mateixes característiques que el de potència abans esmentat, i de 6 mm2, en contacte amb la terra. Cada un dels circuïts esmentats subministra un numero de 4 projectors del total de 16, col·locats files de 2. El cable arriba fins la caixa estanca projectada a cada fila de llums, punt on es deriven els cables ES de 2x2,5 + 2,5 (t) mm2, que alimenten les làmpades dels projectors, col·locats al sostre de la coberta.

S'adjunta a l'apartat "Annexos al projecte" els plànols de l'actual instal·lació d'enllumenat i un estudi lumínic que en valida la seva reutilització.

Connexió a la presa de terra.

En el moment de passar el cablejat dels projectors s'aprofitarà també per connectar els pilars a la presa de terra de la instal·lació elèctrica. Les platines d'ancoratge dels pilars disposaran del correponent punt de connexió.

Treballs no especificats

Tots els treballs de detall i materials no reflectits en la present memòria, estat d'amidaments o plànols, s'executaran seguint les normes de la bona construcció i fixant-les en cada cas l'Arquitecte Director de l'obra.
La Direcció Facultativa es reserva la potestat de canviar o modificar tots els aspectes que cregui oportuns durant l'execució de l'obra, incloent els referents als fonaments i estructura si les circumstàncies de l'obra així ho aconsellessin.

AJUNTAMENT D'OLERDOLA
Aquest document és una còpia simple del document electrònic original.

DOCUMENT
DOCUMENT REGISTRE UNIFICAT ENTRADA
ÒRGAN
SERVEIS TECNICS
REGISTRE D'ENTRADA
E2026005054
Codi Segur de Verificació:
62ffb294-fe9f-412a-95ff-e789b2359074
Origen: Administració
Identificador document: ES_L01081000_2026_28828185
Data d'impressió: 03/11/2026 13:44:57
Pàgina 50 de 247
SIGNATURES
1.- ESTEVE AYMERICH (R: J62755897), 27/07/2026 11:04

Procés constructiu

Abans d'iniciar l'obra caldrà realitzat un plàning rigurós de l'obra que adeqüi els treballs a realitzar in situ a l'obra amb el gruix més important de treballs a realitzar a taller. Per tant, en primer lloc es prendran i comprobaran mides per tal de poder fabricar l'estructura. Aquesta es fabricarà amb elements transportables que no superin els 16,00 m de longitud i 3,5 m d'alçària. L'estructura haurà d'estar totalment consensuada i aprovada abans de començar-se a fabricar atès que la seva protecció sera de galvanitzat en calent i per tant, no es permetran soldadures a l'obra. El plàning haurà d'establir la data en que es pugui començar a muntar l'estructura a l'obra i a partir d'aquí, s'haurà de fixar el plàning de la resta de treballs de preparació a l'obra, bàsicament de fonamentació. La intenció és afectar el mínim possible l'escola i evitar llargs períodes d'inactivitat a l'obra per una mala coordinació entre els diferents treballs i industrials.

El projecte ha procurat en tot moment afectar mínimament els actuals elements constructius de l'escola i reutilitzar-los sempre que fos possible. Per tant, les primeres operacions que es portaran a terme abans de començar l'obra serà el desmuntatge de tots els elements que destorbin els treballs:
- desmuntatge porteries de handbol per ser reutilitzades i retirada de les 4 cistelles de basquet
- retirada columnes d'enllumenat, amb emmagatzematge dels projectors per ser reutilitzats
- desmuntatge grades, per ser reutilitzades per complet a excepció del replà més alt, de 1,10 m de profunditat, que serà substituït per un de nou a base de 9 trams que permetin un encaix senzill amb les arrencades dels pòrtics
- tall i enderroc d'una franja de paviment, amb retirada de l'actual canal de la pista paral·lela a la grada, per poder realitzar les noves connexions de sanejament i de cablejat elèctric que permetin connectar l'enllumenat que reposicionat a sota coberta
- desmuntatge de la tanca perimetral de darrera la grada i de damunt del mur sud-oest, per a ser posteriorment reutilitzada tant de forma completa com fragmentària.
- protecció pista amb una cap de sorra i una làmina geotèxtil

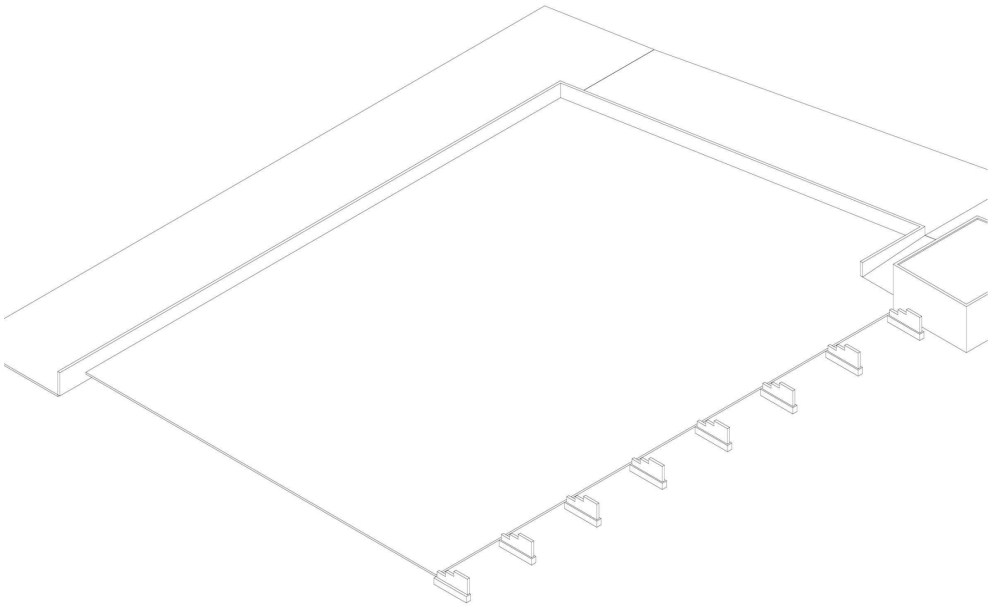

Un cop retirades les grades, es realitzaran els fonaments i murs per a l'ancoratge dels 9 pòrtics així com també els recalços del mur de sud-oest.

AJUNTAMENT D'OLERDOLA
Aquest document és una còpia simple del document electrònic original.

DOCUMENT
DOCUMENT REGISTRE UNIFICAT ENTRADA
ÒRGAN
SERVEIS TECNICS
REGISTRE D'ENTRADA
E2026005054
Codi Segur de Verificació:
62ffb294-fe9f-412a-95ff-e789b2359074
Origen: Administració
Identificador document: ES_L01081000_2026_28828185
Data d'impressió: 03/11/2026 13:44:57
Pàgina 51 de 247
SIGNATURES
1.- ESTEVE AYMERICH (R: J62755897), 27/07/2026 11:04

Mentre tant, a taller s'estarà executant l'estructura de la coberta consistent en 10 pòrtics que es descomposaran en quatre peces cadascun, aptes per poder ser galvanitzats en calent i poder ser transportats a l'obra.

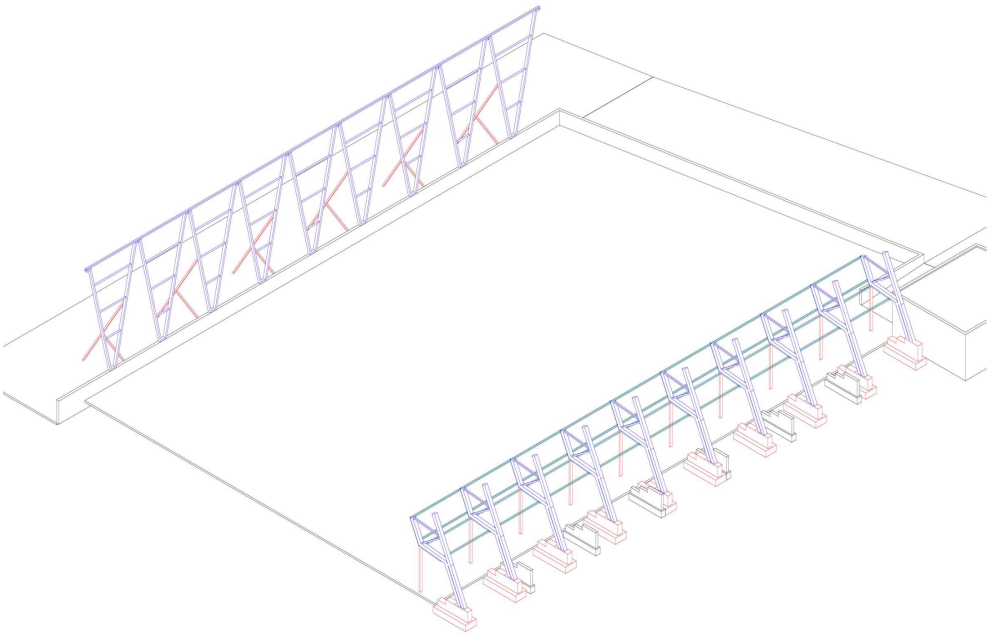

Una vegada realitzada la fonamentació i aixecats els murs d'ancoratge adoptant la forma esgraonada de la grada, es procedirà al muntatge dels pilars, tant dels que arrenquen del costat nord-est com dels que se sostenen en el mur de la façana sud-oest. Serà llavors quan ja es podran ensamblar les encavallades aprofitant l'espai de la pista, tranportades en tres peces.

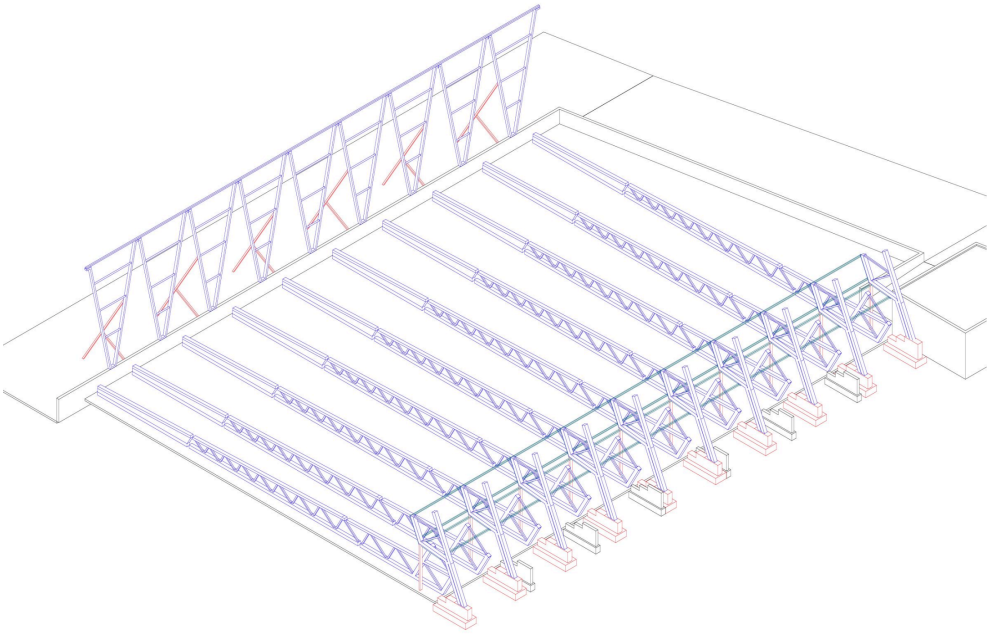

AJUNTAMENT D'OLERDOLA
Aquest document és una còpia simple del document electrònic original.

DOCUMENT
DOCUMENT REGISTRE UNIFICAT ENTRADA
ÒRGAN
SERVEIS TECNICS
REGISTRE D'ENTRADA
E2026005054
Codi Segur de Verificació:
62ffb294-fe9f-412a-95ff-e789b2359074
Origen: Administració
Identificador document: ES_L01081000_2026_28828185
Data d'impressió: 03/11/2026 13:44:57
Pàgina 52 de 247
SIGNATURES
1.- ESTEVE AYMERICH (R: J62755897), 27/07/2026 11:04

Durant el muntatge dels pòrtics, s'aniran col·locant simultàniament les corretges les quals ajudaran a configurar la geometria exacte de l'estructura. Una vegada ensamblades les encavallades, gràcies a les unions cargolades, ja es podran col·locar a lloc. Per aquest operació, s'empraran dues grues, per tal de poder penjar-les dels dos extrems i aconseguir que quan ocupin la seva posició, ja s'hagin deformat a l'entrar en càrrega.

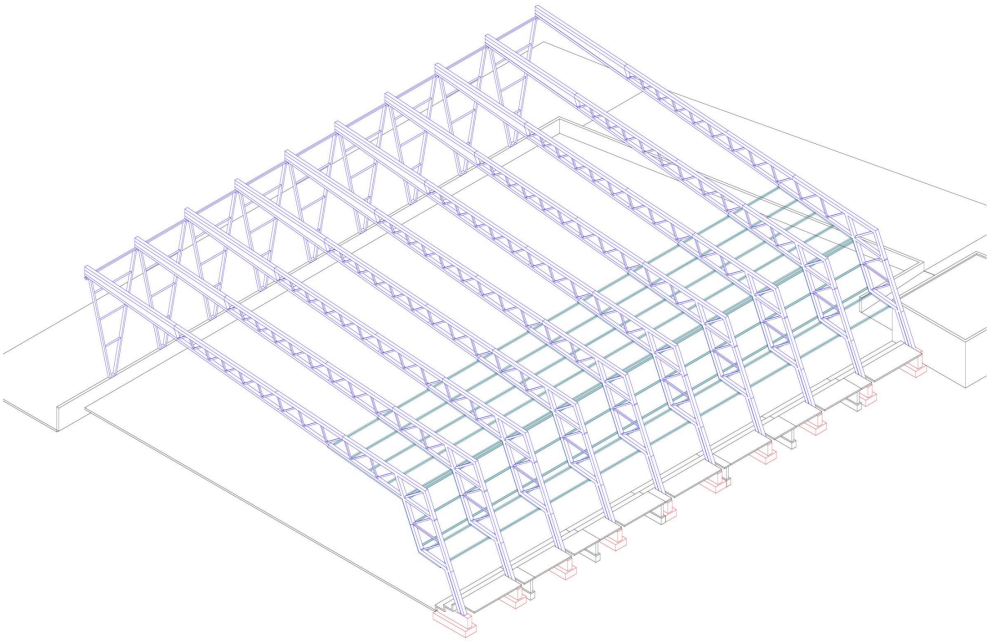

A partir d'aquest moment ja es podrà procedir a acabar tant els treballs de coberta com els de peu de pista. A coberta caldrà acabar de col·locar totes les corretges, la cubrició de planxa grecada galvanitzada i la canal de recollida d'aigües. A peu de pista, ja es podrà completar el sanejament per sota la grada fins connectar-lo als baixants de la canal, un per pòrtic. També fer les connexions dels actuals projectors que es recol·locaran penjant-los de la nova estructura.
Finalment, es podrà reparar el paviment afectat per la connexió del sanejament i recol·locar els dos primers graons de la grada reutilitzats així com el replà del tercer graó que serà de nova fabricació. Per acabar, només restarà penjar les noves 4 cistelles de basquet penjades de l'estructura. La plantació de l'arbrat es pot realitzar en el moment que resulti més oportú estacionalment, durant el decurs de l'obra.

AJUNTAMENT D'OLERDOLA
Aquest document és una còpia simple del document electrònic original.

DOCUMENT
DOCUMENT REGISTRE UNIFICAT ENTRADA
ÒRGAN
SERVEIS TECNICS
REGISTRE D'ENTRADA
E2026005054
Codi Segur de Verificació:
62ffb294-fe9f-412a-95ff-e789b2359074
Origen: Administració
Identificador document: ES_L01081000_2026_28828185
Data d'impressió: 03/11/2026 13:44:57
Pàgina 53 de 247
SIGNATURES
1.- ESTEVE AYMERICH (R: J62755897), 27/07/2026 11:04

MT2 L'ESTRUCTURA

AJUNTAMENT D'OLERDOLA
Aquest document és una còpia simple del document electrònic original.

DOCUMENT
DOCUMENT REGISTRE UNIFICAT ENTRADA
ÒRGAN
SERVEIS TECNICS
REGISTRE D'ENTRADA
E2026005054
Codi Segur de Verificació:
62ffb294-fe9f-412a-95ff-e789b2359074
Origen: Administració
Identificador document: ES_L01081000_2026_28828185
Data d'impressió: 03/11/2026 13:44:57
Pàgina 54 de 247
SIGNATURES
1.- ESTEVE AYMERICH (R: J62755897), 27/07/2026 11:04

Descripció de l'estructura

Aquesta memòria documenta tècnicament el projecte de cobriment de pista a Sant Pere Molanta (Olèrdola – Alt Penedès), centrant-se en la descripció de l'estructura.

Per resoldre aquesta coberta, amb una dimensió en planta de 43x35m, es disposa una estructura d'acer laminat amb la següent organització:

- En el sentit tranversal, amb un intereix de 4.65m, es disposen deu pòrtics conformats amb bigues en gelosia de cantell variable entre 1.50 i 0.50m i 35m de llum recolzades en un extrem en un pilar també en gelosia i, per l'oposat, en una façana triangulada.

La biga es construeix amb un HEB-260 com cordó superior i una parella de UPN-260 soldades, amb les ales cap a sota, en el cordó inferior. Els cordons es troben units per diagonals conformades amb tub rodo de 90mm de diàmetre i 5mm de gruix. Quan el cantell de la bigues es redueix de forma significativa les diagonals son substituïdes per una xapa massissa d'acer soldada entre els cordons superior i inferior, una a cada costat i enrasades amb el pla lateral.

Els cordons de les bigues s'han disposat presentant la màxima inèrcia en el sentit del pla de coberta per evitar efectes de pandeix lateral dels perfils sobretot en la zona d'unió de la biga amb el pilar en gelosia on la coberta es troba fixada al cordó inferior de la biga.

- En el sentit tranversal de les bigues es disposen fixades per sobre del cordó superior, amb un intereix aproximat de 2.00m, unes corretges resoltes amb tub quadrat de 90mm de costat i 5mm de gruix. En la zona més propera a la grada, on la coberta es fixa al cordó inferior de la biga, les corretges es resolen amb tub rodó de 100mm de diàmetre i 5mm de gruix disposat amb un intereix aproximat de 1.70m.

En els laterals de la coberta es col·loquen, en els requadres estructurals formats per les bigues i les corretges, unes diagonals les quals a la vegada que donen rigidesa a la coberta en el seu pla, controlen el pandeix lateral del cordó comprimit de les bigues i ajuden a la flexió de les corretges extremes que es troben mes sol·licitades que les dels trams interiors.

Aquestes diagonals també es disposen en la resta del requadres estructurals del perímetre de la coberta per garantir un comportament monolític de tot el conjunt.

El suport de la coberta, com ja se ha comentat, es resol per un costat amb pilars en gelosia i, per l'altre, amb una façana triangulada. La configuració del suports es la següent:

- Els pilars en gelosia estan formats per dos cordons HEB-260, separats 2.37m entre eixos, units amb diagonals de tub rodó de 90mm de diàmetre i 5mm de gruix similar al de les bigues. Per la part inferior, per alliberar l'espai de la grada, el cordó interior es converteix en diagonal per unir-se amb el que baixa per l'exterior.

Al igual que es produïa en la biga, els perfils HEB-260 es disposen presentant la seva màxima inèrcia en el sentit longitudinal de la edificació per, de aquesta forma, controlar millor el pandeix del conjunt.

- La façana triangulada es resol amb tub rectangulars de 200x120mm i 8mm de gruix. Com aquesta estructura te molta rigidesa en el plànol de façana els pilars en disposaran presentant la seva inèrcia principal en el sentit ortogonal. Per reduir la longitud de

AJUNTAMENT D'OLERDOLA
Aquest document és una còpia simple del document electrònic original.

DOCUMENT
DOCUMENT REGISTRE UNIFICAT ENTRADA
ÒRGAN
SERVEIS TECNICS
REGISTRE D'ENTRADA
E2026005054
Codi Segur de Verificació:
62ffb294-fe9f-412a-95ff-e789b2359074
Origen: Administració
Identificador document: ES_L01081000_2026_28828185
Data d'impressió: 03/11/2026 13:44:57
Pàgina 55 de 247
SIGNATURES
1.- ESTEVE AYMERICH (R: J62755897), 27/07/2026 11:04

pandeix dels pilars en la direcció feble es disposaran en el plànol de façana unes barres horitzontals conformades amb tub rodo de 100mm de diàmetre i 5mm de gruix.

L'estabilitat de l'edifici en front de les accions horitzontals generades per l'empenta del vent, les quals tindran una major intensitat en el sentit transversal, s'assolirà mitjançant la gran rigidesa de la unió dels pilars i les bigues en gelosia.

Cal destacar que, al actuar al pes propi de la estructura, la façana triangulada pot sofrir, per l'empenta del pòrtic, un desplom de 30mm. Per tant, per evitar aquest fet, s'aconsella recolzar el pòrtic mantenint-lo penjat de l'extrem del costat de la façana.

AJUNTAMENT D'OLERDOLA
Aquest document és una còpia simple del document electrònic original.

DOCUMENT
DOCUMENT REGISTRE UNIFICAT ENTRADA
ÒRGAN
SERVEIS TECNICS
REGISTRE D'ENTRADA
E2026005054
Codi Segur de Verificació:
62ffb294-fe9f-412a-95ff-e789b2359074
Origen: Administració
Identificador document: ES_L01081000_2026_28828185
Data d'impressió: 03/11/2026 13:44:57
Pàgina 56 de 247
SIGNATURES
1.- ESTEVE AYMERICH (R: J62755897), 27/07/2026 11:04

Descripció de la fonamentació

A l'existir superficialment un nivell resistent compost per argiles carbonatades amb nòduls, capaç de suportar una tensió de contacte de 2.00 kg/cm^2 la fonamentació es resoldrà amb sabates.

Com actualment ja existeixen en el solar un murs de contenció la fonamentació en resoldrà en cada costat dels pòrtics de forma diferent:

- En l'alineació de la façana triangulada existeix un mur de formigó de 20cm de gruix, amb la sabata cap a l'interior de la pista, el qual permet resoldre el desnivell existent entre aquesta i el carrer. El recolzament en aquests punt es resoldrà amb xapes d' acer fixades a la coronació del mur amb tacs químic, no mecànics, per evitar que la força d'expansió que generen aquests últims puguin obrir el mur.

- En la banda oposada també existeix un mur de contenció per resoldre el desnivell existent entre la part posterior de les grades i la pista. Per resoldre la fonamentació en aquest punt es planteja disposar, perpendicularment al anterior un muret esglaonats de 40cm de gruix. Aquest murets, els quals suportaran la grada, junt a uns altres de bloc de formigó de 20cm de gruix, s' uniran al mur existent mitjançant ancoratges d'acer corrugat fixats amb taladres reblerts amb resina epoxi.

AJUNTAMENT D'OLERDOLA
Aquest document és una còpia simple del document electrònic original.

DOCUMENT
DOCUMENT REGISTRE UNIFICAT ENTRADA
ÒRGAN
SERVEIS TECNICS
REGISTRE D'ENTRADA
E2026005054
Codi Segur de Verificació:
62ffb294-fe9f-412a-95ff-e789b2359074
Origen: Administració
Identificador document: ES_L01081000_2026_28828185
Data d'impressió: 03/11/2026 13:44:57
Pàgina 57 de 247
SIGNATURES
1.- ESTEVE AYMERICH (R: J62755897), 27/07/2026 11:04

Característiques dels materials

Els materials emprats per a la realització dels elements estructurals es detallen a continuació.

Formigó

S'utilitza per a la realització dels elements resolts amb formigó armat i formigó pretensat o postensat. Les seves característiques més rellevants i, a la vegada, considerades en els anàlisi adjunts, són les següents:

- Denominació i tipificació

FONAMENTS I MURS	
Tipificació:	**HA-30/F/20/XC2**
Característiques intrínseques: ▪ F_{ck}: ▪ Consistència: ▪ TMA: ▪ Tipus d'ambient:	 **25.0** Mpa **Fluida** **20**mm **XC2**
Contingut mínim de ciment:	**275** kg/m^3
Màxima relació A/C:	**0.60**
Resistència als 7 dies:	**17.0** Mpa

- Característiques mecàniques. Diagrama σ-ε de càlcul.

Per a la determinació del comportament de les peces de formigó i per a la seva comprovació s'ha adoptat el diagrama paràbola - rectangle, establert a l'annex A19.3.3 del Codi Estructural.

D'aquest diagrama, cal destacar el tram no lineal constituït per la rama parabòlica, d'equació:

$$\sigma_c = f_{cd}\left[1-\left(1-\frac{\varepsilon_c}{\varepsilon_{c2}}\right)^n\right] \qquad \text{para } 0 \le \varepsilon_c \le \varepsilon_{c2}$$

on:

n es la exponent d'acord amb la taula A19.3.1

σ_c es la tensió de compressió en el formigó

fcd es la resistència de càlcul a compressió del formigó, obtinguda després de l'aplicació sobre la resistència característica, fck, el coeficient de minoració de resistències, γf, detallant en l'apartat 4º de la present memòria, i

ε_c es la deformació a compressió del formigó

ε_{c2} es la deformació que es produeix a l'assolir la màxima resistència d'acord amb la taula A.19.3.1

així com el tram rectilini de la seva fase plàstica, l'equació de la qual és:

$$\sigma_c = f_{cd} \qquad \text{para } \varepsilon_{c2} \le \varepsilon_c \le \varepsilon_{cu2}$$

AJUNTAMENT D'OLERDOLA
Aquest document és una còpia simple del document electrònic original.

DOCUMENT
DOCUMENT REGISTRE UNIFICAT ENTRADA
ÒRGAN
SERVEIS TECNICS
REGISTRE D'ENTRADA
E2026005054
Codi Segur de Verificació:
62ffb294-fe9f-412a-95ff-e789b2359074
Origen: Administració
Identificador document: ES_L01081000_2026_28828185
Data d'impressió: 03/11/2026 13:44:57
Pàgina 58 de 247
SIGNATURES
1.- ESTEVE AYMERICH (R: J62755897), 27/07/2026 11:04

ε_{cu2} es la deformació de ruptura d'acord amb la taula A.19.3.1

- Característiques mecàniques. Mòdul de deformació longitudinal.

A nivell de deformacions han estat considerats els següents mòduls de deformació:

Mòdul d'elasticitat secant del formigó:

$$E_{cm} = 22000[(f_{cm,t})/10]^{0,3}$$

on $f_{cm,j}$ és la resistència mitja del formigó a l'edat de j dies, obtinguda mitjançant l'expressió:

$$f_{cm,t} = f_{ck,t} + 8 \text{ , en N/mm}^2 \text{ / Mpa.}$$

On:

$f_{cm,t}$ es el valor mig de la resistència a compressió del formigó sobre una proveta cilíndrica a *t* dies d'edat del formigó.

$f_{ck,t}$ es la resistència característica a compressió del formigó sobre proveta cilíndrica a *t* dies d'edat del formigó.

- Coeficient de Poisson.

S'ha considerat el valor 0.2.

- Coeficient de dilatació tèrmica.

S'ha considerat el valor 10^{-5} $(ºC)^{-1}$

- Coeficient de retracció.

Segons les indicacions de l'article 3.1.4 de l'annex 19 del Codi Estructural.

- Coeficient de fluència.

Segons les indicacions de l'article 3.1.4 de l'annex 19 del Codi Estructural.

- Assaigs i control.

Les característiques del material que es detalla, així com els assaigs als que ha d'ésser sotmès, resten especificats en els *Plec de Condicions per l'Execució i la Posta en Obra del Formigó Armat*.

Acer per armadures passives

S'utilitza per a la confecció del formigó armat i per a l'execució de tots els espàrrecs d'ancoratge dels elements d'estructura metàl·lica contra el formigó. La seva tipificació, segons la *EHE*, és: B-500-SD, acceptant-se també l'acer B-500S, que implica:

▪ Tipus d'acer:	duresa natural
▪ Límit elàstic, f_{yk}:	500 Mpa.
▪ B-500SD: ▪ B-500S:	Soldabilitat, alta ductilitat Soldabilitat
▪ Mòdul d'elasticitat, E:	210.000 Mpa.

- Diagrama σ-ε de càlcul.

El diagrama tensió - deformació considerat és el corresponent als acers de duresa natural que estableix l'article 3.2.7 de l'annex 19 del Codi Estructural.

AJUNTAMENT D'OLERDOLA
Aquest document és una còpia simple del document electrònic original.

DOCUMENT
DOCUMENT REGISTRE UNIFICAT ENTRADA
ÒRGAN
SERVEIS TECNICS
REGISTRE D'ENTRADA
E2026005054
Codi Segur de Verificació:
62ffb294-fe9f-412a-95ff-e789b2359074
Origen: Administració
Identificador document: ES_L01081000_2026_28828185
Data d'impressió: 03/11/2026 13:44:57
Pàgina 59 de 247
SIGNATURES
1.- ESTEVE AYMERICH (R: J62755897), 27/07/2026 11:04

En dit diagrama s'observa una llei trilineal, en la que el seu tram inclinat posseeix una pendent que és el mòdul de deformació longitudinal, de valor E=210.000 Mpa, vàlid per a intervals de tensió compresos entre $-f_{yd} < \sigma < f_{yd}$, sent f_{yd} la resistència de càlcul del material, obtinguda després d'aplicar sobre el seu límit elàstic els coeficients de minoració de resistència, γ_s.

- Característiques del material i assaigs.

Las característiques del material que es detalla, així com els assaigs als que s'haurà de sotmetre, queden especificats en els *Plecs de condicions per a l'Execució i la Posta en Obra del Formigó Armat* i en el pla de control adjunt.

Acer laminat

S'utilitza per a la confecció dels elements d'estructura metàl.lica, excepte els espàrrecs d'ancoratge i subjecció en formigó, per als quals s'utilitza acer B-500S.

Segons la norma "Documento Básico SE-A. Seguridad Estructural – Acero" es distingeixen les característiques dels materials per a perfils i xapes, per a cargols, rosques i volanderes, i per al material d'aportació.

Les característiques del material que es detalla, així com els assaigs a que s'hauria de sotmetre, queden especificats als *Plecs de Condicions per a l'execució i la posta en obra de l'estructura metàl.lica*.

- Acer per xapes i perfils

S'utilitzen els acers establerts a la norma UNE-EN 10025 (Productes laminats en calent d'acer no alejat, per a construccions metàl·liques d'us general), així com l'establert a les normes UNE-EN 10210-1:1994 relativa a Perfils buits per a construcció, acabats en calent, d'acer no alejat de gra fi, i UNE-EN 10219-1:1998 relativa a seccions buides d'acer estructural conformades en fred.

A la taula següent (DB SE-A-11, taula 4.1) s'especifiquen las característiques mecàniques mínimes dels acers UNE EN 10025, que són les que han estat utilitzades en els càlculs del present projecte d'estructura:

Espessor nominal t (mm)					**Temperatura de l'assaig Charpy**
DESIGNACIÓ	**Tensió de límit elàstic f_y (N/mm²)**			**Tensió ruptura F_u (N/mm²)**	
	t ≤16	**16< t ≤40**	**40< t ≤63**	**3≤ t ≤100**	**ºC**
S235JR					20
S235J0	235	225	215	360	0
S235J2					-20
S275JR					20
S275J0	275	265	255	410	0
S275J2					-20
S355JR					20
S355J0	355	345	335	470	0
S355J2					-20
S355K2					-20 (1)
S450J0	450	430	410	550	0

(1) Se li exigeix una energia mínima de 40J

AJUNTAMENT D'OLERDOLA
Aquest document és una còpia simple del document electrònic original.

DOCUMENT
DOCUMENT REGISTRE UNIFICAT ENTRADA
ÒRGAN
SERVEIS TECNICS
REGISTRE D'ENTRADA
E2026005054
Codi Segur de Verificació:
62ffb294-fe9f-412a-95ff-e789b2359074
Origen: Administració
Identificador document: ES_L01081000_2026_28828185
Data d'impressió: 03/11/2026 13:44:57
Pàgina 60 de 247
SIGNATURES
1.- ESTEVE AYMERICH (R: J62755897), 27/07/2026 11:04

Les següents són característiques comunes a tots els acers:

▪ Mòdul d'elasticitat, E	210.000 Mpa
▪ Mòdul d'elasticitat transversal, G	81.000 Mpa
▪ Coeficient de Poisson, v:	0.30
▪ Coeficient de dilatació tèrmica, λ:	1.2×10^{-5} (ºC)$^{-1}$
▪ Densitat	7.850 Kg/m^3.

A la taula següent (DB SE-A-12, taula 4.2) s'especifiquen els espessors màxims (en mm) de xapes per als quals no és necessari comprovar el comportament dúctil del material.
S'especifiquen les dimensions en funció de la temperatura mínima a la que seran sotmesos durant la vida útil de l'estructura.

Temperatura mínima									
	0 ºC			**-10 ºC**			**-20 ºC**		
Grau	**JR**	**J0**	**J2**	**JR**	**J0**	**J2**	**JR**	**J0**	**J2**
S235	50	75	105	40	60	90	35	50	75
S275	45	65	95	35	55	75	30	45	65
S355	35	50	75	25	40	60	20	35	50

Tots els acers esmentats i utilitzats en el present projecte d'estructura són soldables i únicament es requereix l'adopció de precaucions en el cas d'unions especials (entre xapes de gran espessor, d'espessors molt desiguals, en condicions molt difícils d'execució, etc.).

- Cargols, rosques i volanderes

Les característiques mecàniques dels acers per a cargols, rosques i volanderes s'han pres de la taula següent (DB SE-A-13, taula 4.3):

Classe	4.6	5.6	6.8	8.8	10.9
Tensió de límit elàstic f_y (N/mm^2)	240	300	480	640	900
Tensió de ruptura f_u (N/mm^2)	400	500	600	800	1000

- Materials d'aportació

Les característiques mecàniques dels materials d'aportació seran, en tot cas, superiors a les dels materials base.

- Resistència de càlcul

Es defineix resistència de càlcul, f_{yd}, al quocient de la tensió de límit elàstic i el coeficient de seguretat del material, definit en l'apartat corresponent.
$f_{yd}= f_y/\gamma_M$

Per al cas específic de les comprovacions de resistència última del material o la secció s'ha adoptat com a resistència de càlcul el valor:

$f_{ud}=f_u/\gamma_{M2}$

essent γ_{M2} el coeficient de seguretat per a resistència última.

AJUNTAMENT D'OLERDOLA
Aquest document és una còpia simple del document electrònic original.

DOCUMENT
DOCUMENT REGISTRE UNIFICAT ENTRADA
ÒRGAN
SERVEIS TECNICS
REGISTRE D'ENTRADA
E2026005054
Codi Segur de Verificació:
62ffb294-fe9f-412a-95ff-e789b2359074
Origen: Administració
Identificador document: ES_L01081000_2026_28828185
Data d'impressió: 03/11/2026 13:44:57
Pàgina 61 de 247
SIGNATURES
1.- ESTEVE AYMERICH (R: J62755897), 27/07/2026 11:04

Característiques del terreny

Característiques geotècniques dels materials

A continuació s'especifiquen les característiques del terreny que s'exposen en l'estudi geotècnic de referència 221617 realitzat per l'empresa APPLUS. de data octubre de 2007, per al projecte de ampliació del CEIP Rossend Muntaner al qual pertanyi la pista que es cobreix.

Nivell A. Llim argilós carbonat

Nivell B. Margues i sorres

Hidrologia i nivell freàtic

Segons l'estudi geotècnic, durant la realització de les prospeccions, es va detectar la presencia d'aigua a una profunditat aproximada de 11,00m.

Hidrologia i nivell freàtic

Segons els paràmetres indicats a la taula 27.1.b del capítol 7 del Codi Estructural, es pot classificar com "dèbilment agressiu" al formigó per presència de sulfats.

AJUNTAMENT D'OLERDOLA
Aquest document és una còpia simple del document electrònic original.

DOCUMENT
DOCUMENT REGISTRE UNIFICAT ENTRADA
ÒRGAN
SERVEIS TECNICS
REGISTRE D'ENTRADA
E2026005054
Codi Segur de Verificació:
62ffb294-fe9f-412a-95ff-e789b2359074
Origen: Administració
Identificador document: ES_L01081000_2026_28828185
Data d'impressió: 03/11/2026 13:44:57
Pàgina 62 de 247
SIGNATURES
1.- ESTEVE AYMERICH (R: J62755897), 27/07/2026 11:04

Accions considerades

La determinació de les accions sobre l'edifici i sobre la seva estructura s'ha realitzat tenint en consideració l'aplicació de les normatives relacionades en l'apartat corresponent d'aquest informe.

Segons el DB SE-AE "Acciones en la edificación", les accions i les forces que actuen sobre un edifici es poden agrupar en 3 categories: accions permanents, accions variables y accions accidentals.

La consideració particular de cadascuna d'elles es detalla en els següents subapartats, y respon a l'estipulat als apartats 2, 3 y 4 del *DB SE-AE*.

Accions permanents

S'inclouen dins d'aquesta categoria totes les accions la magnitud de les quals tingui una variació amb el temps menyspreable, o sigui monòtona fins arribar a un valor límit.

Accions variables

Són les accions que compleixen que la seva variació en el temps no és monòtona ni menyspreable respecte el valor mig. Es contemplen dins d'aquesta categoria les sobrecàrregues d'us, les accions sobre les baranes i elements divisoris, l'acció del vent, les accions tèrmiques i l'acció que produeix l'acumulació de neu.

- Sobrecàrregues d'ús

La sobrecàrrega d'ús és el pes de tot el que pot gravitar sobre l'edifici degut al seu ús.

S'ha considerat, pel càlcul dels esforços en els elements estructurals, l'aplicació d'una càrrega distribuïda uniformement, adoptant els valors característics de l'apartat 3.1 del DB SE-AE. Per les comprovacions locals de capacitat portant s'ha considerat una càrrega concentrada actuant a qualsevol punt de la zona afectada. Dita càrrega concentrada s'ha considerat actuant simultàniament amb la càrrega uniformement repartida en les zones d'ús de trànsit i aparcament de vehicles lleugers, i de manera independent i no simultània amb ella a la resta de casos descrits a la taula anterior.

En el cas de balcons volats s'ha considerat una sobrecàrrega lineal repartida actuant a les vores de valor 2kN/m.

Pel càlcul d'elements portants horitzontals i verticals s'ha realitzat la reducció de sobrecàrrega permesa en l'apartat 3.1.12 del DB SE-AE.

- Accions sobre baranes i elements divisoris

Pel càlcul dels elements estructurals de l'edifici s'ha tingut en compte l'aplicació d'una força horitzontal a una distància de 1.20 metres sobre la vora superior de l'element, generant un moment flector sobre els forjats en el cas de baranes. El valor de la força horitzontal s'ha determinat en base a l'estipulat a la taula 3.3 del DB SE-AE.

- Vent

Són les produïdes per la incidència del vent sobre els elements exposats a ell. Per a llur determinació es considera que aquest actua perpendicularment a la superfície exposada amb una pressió estàtica q_e que es pot expressar com a:

AJUNTAMENT D'OLERDOLA
Aquest document és una còpia simple del document electrònic original.

DOCUMENT
DOCUMENT REGISTRE UNIFICAT ENTRADA
ÒRGAN
SERVEIS TECNICS
REGISTRE D'ENTRADA
E2026005054
Codi Segur de Verificació:
62ffb294-fe9f-412a-95ff-e789b2359074
Origen: Administració
Identificador document: ES_L01081000_2026_28828185
Data d'impressió: 03/11/2026 13:44:57
Pàgina 63 de 247
SIGNATURES
1.- ESTEVE AYMERICH (R: J62755897), 27/07/2026 11:04

$q_e=q_b \cdot c_e \cdot c_p$, essent:

q_b= Pressió dinàmica del vent. c_e= Coeficient d'exposició, en funció de l'altura de l'edifici i del grau d'aspresa de l'entorn. c_p= Coeficient eòlic o de pressió, en funció de la forma.

Per a la determinació de la pressió dinàmica del vent (q_b) s'utilitza la simplificació proposada pel DB SE-AE per tot el territori espanyol, adoptant el valor de 0.5kN/m^2.

Per a la determinació del coeficient d'exposició s'ha considerat el grau d'aspresa de l'entorn i l'altura en cada punt segons la taula 3.3 del DB SE-AE.

Per a la determinació del coeficient eòlic o de pressió s'ha considerat l'esveltesa en el pla paral·lel al vent segons la taula 3.4 del DB SE-AE.

En el cas que es detalla, els paràmetres considerats han estat els que s'expliciten tot seguit:

Grau d' aspresa l'entorn considerat	IV
Altura màxima de l'edifici	10,00 m
Coeficient d'exposició (c_e (10,00m))	1,70
essió dinàmica del vent, q_b:	0,50 KN/m^2
beltesa en el pla paral·lel al vent:	0,25
oeficients eòlics: ▪ c_p: ▪ c_{p10}: ▪ c_s:	 + 0,70 - 0,10 - 0,30

Cal especificar que el coeficient d'exposició s'ha adaptat a l'altura dels diferents punts de l'edifici exposats al vent.

- Accions tèrmiques

Encara que la distancia entre eixos dels pilars extrems es de 43.00m els esforços tèrmics no han estat considerats perque, amb la gran esveltesa dels pilars, aquests seran menyspreables.

- Neu

Segons el DB SE-AE, el valor de la càrrega de neu per unitat de superfície pot determinar-se amb la fórmula:

$q_n = \mu \cdot s_k$; sent μ el coeficient de forma la coberta, i s_k el valor característic de la càrrega de neu sobre un terreny horitzontal.

En cobertes planes i terreny horitzontal el coeficient de forma pren el valor μ=1. A la localitat de Sant Pere Molanta (Olèrdola), el valor característic de la càrrega de neu pren el valor s_k=0,40 kN/m^2.

Amb aquests valors s'ha considerat una sobrecàrrega de neu en les zones desprotegides de valor 0,40 kN/m^2.

AJUNTAMENT D'OLERDOLA
Aquest document és una còpia simple del document electrònic original.

DOCUMENT
DOCUMENT REGISTRE UNIFICAT ENTRADA
ÒRGAN
SERVEIS TECNICS
REGISTRE D'ENTRADA
E2026005054
Codi Segur de Verificació:
62ffb294-fe9f-412a-95ff-e789b2359074
Origen: Administració
Identificador document: ES_L01081000_2026_28828185
Data d'impressió: 03/11/2026 13:44:57
Pàgina 64 de 247
SIGNATURES
1.- ESTEVE AYMERICH (R: J62755897), 27/07/2026 11:04

Accions accidentals

- Sisme

En la determinació de les accions sísmiques s'ha considerat la Norma de Construcción Sismorresistente: Parte General y Edificación, NCSE-02.

La norma esmentada, en el seu article 1.2., apartat 2on, estableix una classificació de les construccions en funció del seu ús, segons el criteri següent:

a) *De moderada importància:* són les que presenten una baixa probabilitat de que el seu col·lapse per causa d'un terratrèmol pugui causar víctimes, interrompre un servei primari o produir danys econòmics rellevants a tercers.

b) De normal importància: són aquelles la destrucció de les quals per causa d'un terratrèmol pot ocasionar víctimes, interrompre un servei col·lectiu o produir importants pèrdues econòmiques, sense que en cap cas es tracti d'un servei imprescindible ni pugui donar lloc a efectes catastròfics.

c) D'especial importància: són aquelles la destrucció de les quals per causa d'un terratrèmol pugui interrompre un servei imprescindible o donar lloc a efectes catastròfics.

Donades les característiques d'ús de l'edifici, aquest s'ha catalogat, segons l'anterior criteri, de **normal importància**.

L'estructura dissenyada disposa d'una capa superior armada, monolítica i enllaçada a l'estructura en la totalitat de la superfície de la planta, per tant es considera formada per pòrtics ben travats entre sí en totes les direccions.

Per altra banda, l'acceleració sísmica bàsica, a_b, te un valor, per la localitat de Sant Pere Molanta (Olèrdola), de 0.04g.

D'acord amb l'article 1.2.3 de la *NCSE-02*, donada la classificació de la construcció, la existència de pòrtics de trava en totes direccions i que l' acceleració sísmica bàsica és inferior a 0,08g, **NO** han estat considerades les repercussions produïdes per l'acció sísmica en l'estructura.

Estats de càrrega considerats

* COBERTA

- Tipus de forjat: Estructura metàl·lica

- Pes propi	0.50 KN/m^2
- Càrregues permanents	0.20 KN/m^2
- Sobrecàrrega d' ús	0.40 KN/m^2
- Sobrecàrrega de neu	0.40 KN/m^2
- Càrrega TOTAL	**1.50 KN/m^2**

AJUNTAMENT D'OLERDOLA
Aquest document és una còpia simple del document electrònic original.

DOCUMENT
DOCUMENT REGISTRE UNIFICAT ENTRADA
ÒRGAN
SERVEIS TECNICS
REGISTRE D'ENTRADA
E2026005054
Codi Segur de Verificació:
62ffb294-fe9f-412a-95ff-e789b2359074
Origen: Administració
Identificador document: ES_L01081000_2026_28828185
Data d'impressió: 03/11/2026 13:44:57
Pàgina 65 de 247
SIGNATURES
1.- ESTEVE AYMERICH (R: J62755897), 27/07/2026 11:04

Coeficients de seguretat

En la taula 2.1 del DB-SE-C es defineixen aquests coeficients que afecten tant a les característiques dels materials com a les accions que actuen en funció del tipus de fonamentació utilitzada.

Tabla 2.1. Coeficientes de seguridad parciales

Situación de dimensionado	Tipo		Materiales		Acciones	
			γ_R	γ_M	γ_E	γ_F
Persistente o transitoria	Hundimiento		3,0[1]	1,0	1,0	1,0
	Deslizamiento		1,5[2]	1,0	1,0	1,0
	Vuelco[2]					
		Acciones estabilizadoras	1,0	1,0	0,9[3]	1,0
		Acciones desestabilizadoras	1,0	1,0	1,8	1,0
	Estabilidad global		1,0	1,8	1,0	1,0
	Capacidad estructural		- [4]	- [4]	1,6[5]	1,0
	Pilotes					
		Arrancamiento	3,5	1,0	1,0	1,0
		Rotura horizontal	3,5	1,0	1,0	1,0
	Pantallas					
		Estabilidad fondo excavación	1,0	2,5[6]	1,0	1,0
		Sifonamiento	1,0	2,0	1,0	1,0
		Rotación o traslación				
		Equilibrio límite	1	1,0	0,6[7]	1,0
		Modelo de Winkler	1	1,0	0,6[7]	1,0
		Elementos finitos	1,0	1,5	1,0	1,0
Extraordinaria	Hundimiento		2,0[8]	1,0	1,0	1,0
	Deslizamiento		1,1[2]	1,0	1,0	1,0
	Vuelco[2]					
		Acciones estabilizadoras	1,0	1,0	0,9	1,0
		Acciones desestabilizadoras	1,0	1,0	1,2	1,0
	Estabilidad global		1,0	1,2	1,0	1,0
	Capacidad estructural		- [4]	- [4]	1,0	1,0
	Pilotes					
		Arrancamiento	2,3	1,0	1,0	1,0
		Rotura horizontal	2,3	1,0	1,0	1,0
	Pantallas					
		Rotación o traslación				
		Equilibrio límite	1,0	1,0	0,8	1,0
		Modelo de Winkler	1,0	1,0	0,8	1,0
		Elementos finitos	1,0	1,2	1,0	1,0

[1] En pilotes se refiere a métodos basados en ensayos de campo o fórmulas analíticas (largo plazo), para métodos basados en fórmulas analíticas (corto plazo), métodos basados en pruebas de carga hasta rotura y métodos basados en pruebas dinámicas de hinca con control electrónico de la hinca y contraste con pruebas de carga, se podrá tomar 2,0.

[2] De aplicación en cimentaciones directas y muros.

[3] En cimentaciones directas, salvo justificación en contrario, no se considerará el empuje pasivo.

AJUNTAMENT D'OLERDOLA
Aquest document és una còpia simple del document electrònic original.

DOCUMENT
DOCUMENT REGISTRE UNIFICAT ENTRADA
ÒRGAN
SERVEIS TECNICS
REGISTRE D'ENTRADA
E2026005054
Codi Segur de Verificació:
62ffb294-fe9f-412a-95ff-e789b2359074
Origen: Administració
Identificador document: ES_L01081000_2026_28828185
Data d'impressió: 03/11/2026 13:44:57
Pàgina 66 de 247
SIGNATURES
1.- ESTEVE AYMERICH (R: J62755897), 27/07/2026 11:04

Coeficients de minoració de resistències dels materials.

Els coeficients de minoració de resistència graven de forma distinta als elements en funció de diversos paràmetres, dels quals el més rellevant és el tipus de material que els constitueix. Per a cada cas es té:

Formigó armat.

Per a la determinació dels coeficients de minoració de resistència del formigó armat fa falta distingir el que s'aplica directament sobre el formigó, γ_c, i el que ho fa sobre l'acer d'armar i el de pretesar, γ_s. Donat que el nivell de control d'execució de l'obra és normal, els coeficients respectius són 1.50, 1.15 y 1.15, respectivament.

Acer laminat.

S' han adoptat els següents valors:
γ_{M0} = 1.05 relatiu a la resistència de la secció per a qualsevol classe.
γ_{M1} = 1.05 relatiu a fenòmens d'inestabilitat.
γ_{M2} = 1.25 relatiu a resistència a fractura de seccions sotmeses a tracció.

Es podran adoptar com a coeficients parcials γ_{M0} i γ_{M1} = 1, sempre i quan es compleixin les condicions establertes a l'article 6.1 de l'annex 22 del Codi Estructural.

Pel que fa a les unions es prendran els coeficients parcials de seguretat establerts a la taula A26.2.1 de l'annex 26 del Codi estructural la qual s'adjunta a continuació.

Resistencia de los elementos y las secciones transversales	γ_{M0} ; γ_{M1} ; γ_{M2} (véase el Anejo 22)
Resistencia de los tornillos	γ_{M2}=1,25
Resistencia de bulones	
Resistencia de soldaduras	
Resistencia de chapas	
Resistencia a deslizamiento - en estado limite ultimo (Categoría C) - en estado límite de servicio (Categoría B)	 γ_{M3}=1,25 $\gamma_{M3,ser}$=1,10
Resistencia de un tornillo de inyección	γ_{M4}=1,00
Resistencia de uniones en vigas en celosía de perfiles tubulares	γ_{M5}=1,00
Resistencia de bulones en estado límite de servicio	$\gamma_{M6,ser}$=1,00
Precarga de tornillos de alta resistencia	γ_{M7}=1,10
Resistencia del hormigón	γ_c (véase el Anejo 19)

Coeficients de majoració d'accions.

Paral·lelament als anteriors, els de majoració d'accions depenen del material. Amb aquest criteri s'observen els coeficients que a continuació es detallen.

AJUNTAMENT D'OLERDOLA
Aquest document és una còpia simple del document electrònic original.

DOCUMENT
DOCUMENT REGISTRE UNIFICAT ENTRADA
ÒRGAN
SERVEIS TECNICS
REGISTRE D'ENTRADA
E2026005054
Codi Segur de Verificació:
62ffb294-fe9f-412a-95ff-e789b2359074
Origen: Administració
Identificador document: ES_L01081000_2026_28828185
Data d'impressió: 03/11/2026 13:44:57
Pàgina 67 de 247
SIGNATURES
1.- ESTEVE AYMERICH (R: J62755897), 27/07/2026 11:04

Formigó armat.

Segons tipifica la *EHE* en el seu article 12, apartats 1 i 2, els coeficients de majoració considerats per a un nivell d'execució normal són els que es relacionen en la taula 1 per als *Estats Límit Últim* (ELU) i en la taula 2 per als *Estats Límit de Servei* (ELS).

Tipus d'Acció	Situació Persistent o transitòria		Situació accidental	
	Efecte Favorable	Efecte Desfavorable	Efecte Favorable	Efecte Desfavorable
Permanent	γ_G=1,00	γ_G=1,35	γ_G=1,00	γ_G=1,00
Pretesat	γ_P=1,00	γ_P=1,00	γ_P=1,00	γ_P=1,00
Permanent de valor no constant	γ_{G^*}=1,00	γ_{G^*}=1,50	γ_{G^*}=1,00	γ_{G^*}=1,00
Variable	γ_Q=0,00	γ_Q=1,50	γ_Q=0,00	γ_Q=1,00
Accidental	-	-	γ_A=1,00	γ_A=1,00

Taula 1: Coeficients de majoració de càrregues en elements de formigó armat i pretesat. Estats Límits Últims

Tipus d'Acció		Efecte favorable	Efecte desfavorable
Permanent		γ_G=1,00	γ_G=1,00
Pretesat	Armadura pretesa	γ_P=0,95	γ_P=1,05
	Armadura posttesa	γ_P=0,90	γ_P=1,10
Permanent de valor no constant		γ_{G^*}=1,00	γ_{G^*}=1,00
Variable		γ_Q=0.00	γ_Q=1.00

Taula 2: Coeficients de majoració de càrregues en elements de formigó armat i pretesat. Estats Límits de Servei.

Acer laminat

En relació als coeficients γ_c que graven en les estructures d'acer, es consideren els que estableix el Documento Básico SE Seguridad estructural, a la taula 4.1 del capítol 4.

Tipus de verificació		Situació Persistent o transitòria	
		Efecte desfavorable	Efecte favorable
Resistència	Permanents		
	Pes propi	1.35	0.80
	Empenta del terreny	1.35	0.70
	Pressió aigua	1.20	0.90
	Variable	1,50	1,00
Estabilitat		desestabilitzadora	estabilitzadora
	Permanents		
	Pes propi	1.10	0.90
	Empenta del terreny	1.35	0.80
	Pressió aigua	1.05	0.95
	Variable	1.50	0

Taula 3: Coeficients parcials γ de seguretat per a accions.

AJUNTAMENT D'OLERDOLA
Aquest document és una còpia simple del document electrònic original.

DOCUMENT
DOCUMENT REGISTRE UNIFICAT ENTRADA
ÒRGAN
SERVEIS TECNICS
REGISTRE D'ENTRADA
E2026005054
Codi Segur de Verificació:
62ffb294-fe9f-412a-95ff-e789b2359074
Origen: Administració
Identificador document: ES_L01081000_2026_28828185
Data d'impressió: 03/11/2026 13:44:57
Pàgina 68 de 247
SIGNATURES
1.- ESTEVE AYMERICH (R: J62755897), 27/07/2026 11:04

Hipòtesis de càlcul

Les hipòtesis de càlcul contemplades per a l'anàlisi de l'estructura que es presenta han estat diverses, en funció del material constituent d'un element o part de l'estructura, principalment. D'aquest mode es tenen els següents quadres d'hipòtesis considerades per a Estats Límit Últims (ELU) i Estats Límit de Servei (ELS).

Estructures de formigó armat.

Han estat considerades les que tipifica al Codi Estructural en l'article 6.4.3 de l'annex 18, segons el detall:

Per a Estats Límit Últims

Les situacions de projecte s'han abordat a partir dels següents criteris

Situacions persistents o transitòries:

$$\sum_{j\geq 1}\gamma_{G,j}G_{k,j}+\sum_{j\geq 1}\gamma_{G^*,j}G^*_{k,j}+\gamma_P P_k+\gamma_{Q,1}Q_{k,1}+\sum_{i>1}\gamma_{Q,i}\psi_{0,i}Q_{k,i}$$

O alternativament per els estats límit STR i GEO la expressió menys favorable de les següents:

$$\sum_{j\geq 1}\gamma_{G,j}G_{k,j}" + "\gamma_P P" + "\gamma_{Q,1}\Psi_{0,1}Q_{k,1}" + "\sum_{i>1}\gamma_{Q,i}\Psi_{0,i}Q_{k,i}$$

$$\sum_{j\geq 1}\xi_j\gamma_{G,j}G_{k,j}" + "\gamma_P P" + "\gamma_{Q,1}Q_{k,1}" + "\sum_{i>1}\gamma_{Q,i}\Psi_{0,i}Q_{k,i}$$

Situacions accidentals:

$$\sum_{j\geq 1}\gamma_{G,j}G_{k,j}+\sum_{j\geq 1}\gamma_{G^*,j}G^*_{k,j}+\gamma_P P_k+\gamma_A A_k+\gamma_{Q,1}\psi_{1,1}Q_{k,1}+\sum_{i>1}\gamma_{Q,i}\psi_{2,i}Q_{k,i}$$

Situacions sísmiques:

$$\sum_{j\geq 1}\gamma_{G,j}G_{k,j}+\sum_{j\geq 1}\gamma_{G^*,j}G^*_{k,j}+\gamma_P P_k+\gamma_A A_{E,k}+\sum_{i\geq 1}\gamma_{Q,i}\psi_{2,i}Q_{k,i}$$

Per a Estats Límit de Servei

Les diferents situacions de projecte en general s'han abordat amb els següents criteris

Combinació poc probable

$$\sum_{j\geq 1}\gamma_{G,j}G_{k,j}+\sum_{j\geq 1}\gamma_{G^*,j}G^*_{k,j}+\gamma_P P_k+\gamma_{Q,1}Q_{k,1}+\sum_{i>1}\gamma_{Q,i}\Psi_{0,1}Q_{k,i}$$

Combinació freqüent

$$\sum_{j\geq 1}\gamma_{G,j}G_{k,j}+\sum_{j\geq 1}\gamma_{G^*,j}G^*_{k,j}+\gamma_P P_k+\gamma_{Q,1}\Psi_{1,1}Q_{k,1}+\sum_{i>1}\gamma_{Q,i}\Psi_{2,i}Q_{k,i}$$

Combinació quasi permanent

$$\sum_{j\geq 1}\gamma_{G,j}G_{k,j}+\sum_{j\geq 1}\gamma_{G^*,j}G^*_{k,j}+\gamma_P P_k+\sum_{i>1}\gamma_{Q,i}\Psi_{2,i}Q_{k,i}$$

AJUNTAMENT D'OLERDOLA
Aquest document és una còpia simple del document electrònic original.

DOCUMENT
DOCUMENT REGISTRE UNIFICAT ENTRADA
ÒRGAN
SERVEIS TECNICS
REGISTRE D'ENTRADA
E2026005054
Codi Segur de Verificació:
62ffb294-fe9f-412a-95ff-e789b2359074
Origen: Administració
Identificador document: ES_L01081000_2026_28828185
Data d'impressió: 03/11/2026 13:44:57
Pàgina 69 de 247
SIGNATURES
1.- ESTEVE AYMERICH (R: J62755897), 27/07/2026 11:04

On:

$G_{k,j}$	Valor característic de les acciones permanents
P	Valor representatiu corresponent a la força de pretesat
$Q_{k,1}$	Valor característic de l'acció variable
$Q_{k,i}$	Valor característic de l'acció variable concomitant *i*
$Q_{k,l}$	Valor característic de l'acció variable predominant *l*
$\psi_{o,i}\, Q_{k,i}$	Valor representatiu de combinació de les accions variables concomitants
$\psi_{1,1}\, Q_{k,1}$	Valor representatiu freqüent de l'acció variable determinant
$\psi_{2,i}\, Q_{k,i}$	Valors representatius quasi permanents de les accions variables amb l'acció determinant o amb l'acció accidental
A	Valor de l'acció accidental
A_k	Valor característic de l'acció accidental
A_d	Valor de càlcul de l'acció accidental
$A_{E,k}$	Valor característic de l'acció sísmica
$A_{E,d}$	Valor de càlcul d'una acció sísmica

Estructures d'acer laminat

Han estat considerades les que tipifiquen la DB-SE ", Documento Básico SE Seguridad estructural" en el seu article 4.2.2 i 4.3.2, segons el detall:

Per a Estats Límit Últims

Les situacions de projecte s'han abordat a partir dels següents criteris
Situacions persistents o transitòries:

$$\sum_{j\geq 1} \gamma_{G,j} G_{k,j} + \gamma_{G^*} P + \gamma_{Q,1} Q_{k,1} + \sum_{i>1} \gamma_{Q,i} \psi_{0,i} Q_{k,i}$$

Situacions accidentals:

$$\sum_{j\geq 1} \gamma_{G,j} G_{k,j} + \gamma_{p^*} P + A_d + \gamma_{Q,1} \psi_{1,1} Q_{k,1} + \sum_{i>1} \gamma_{Q,i} \psi_{2,i} Q_{k,i}$$

Situacions sísmiques:

$$\sum_{j\geq 1} \gamma_{G,j} G_{k,j} + P + A_d + \sum_{i\geq 1} \gamma_{Q,i} \psi_{2,i} Q_{k,i}$$

Per a Estats Límit de Servei

Les diferents situacions de projecte en general s'han abordat amb els següents criteris

Combinació característica

$$\sum_{j\geq 1} G_{k,j} + P + Q_{k,1} + \sum_{i>1} \Psi_{0,i} Q_{k,i}$$

Combinació freqüent

$$\sum_{j\geq 1} G_{k,j} + P + \Psi_{1,1} Q_{k,1} + \sum_{i>1} \gamma_{Q,i} \Psi_{2,i} Q_{k,i}$$

Combinació quasi permanent

$$\sum_{j\geq 1} G_{k,j} + P + \sum_{i>1} \Psi_{2,i} Q_{k,i}$$

AJUNTAMENT D'OLERDOLA
Aquest document és una còpia simple del document electrònic original.

DOCUMENT
DOCUMENT REGISTRE UNIFICAT ENTRADA
ÒRGAN
SERVEIS TECNICS
REGISTRE D'ENTRADA
E2026005054
Codi Segur de Verificació:
62ffb294-fe9f-412a-95ff-e789b2359074
Origen: Administració
Identificador document: ES_L01081000_2026_28828185
Data d'impressió: 03/11/2026 13:44:57
Pàgina 70 de 247
SIGNATURES
1.- ESTEVE AYMERICH (R: J62755897), 27/07/2026 11:04

On:

$G_{k,j}$	Valor característic de les accions permanents
$G^{*}_{k,j}$	Valor característic de les accions permanents de valor no constant
$Q_{k,1}$	Valor característic de l'acció variable determinant
$\psi_{o,i}\, Q_{k,i}$	Valor representatiu de combinació de les accions variables concomitants
$\psi_{1,1}\, Q_{k,1}$	Valor representatiu freqüent de l'acció variable determinant
$\psi_{2,i}\, Q_{k,i}$	Valors representatius quasi permanents de les acciones variables amb l'acció determinant o amb l'acció accidental
A_k	Valor característic de l'acció accidental
$A_{E,k}$	Valor característic de l'acció sísmica

AJUNTAMENT D'OLERDOLA
Aquest document és una còpia simple del document electrònic original.

DOCUMENT
DOCUMENT REGISTRE UNIFICAT ENTRADA
ÒRGAN
SERVEIS TECNICS
REGISTRE D'ENTRADA
E2026005054
Codi Segur de Verificació:
62ffb294-fe9f-412a-95ff-e789b2359074
Origen: Administració
Identificador document: ES_L01081000_2026_28828185
Data d'impressió: 03/11/2026 13:44:57
Pàgina 71 de 247
SIGNATURES
1.- ESTEVE AYMERICH (R: J62755897), 27/07/2026 11:04

Mètodes de càlcul

Per a la determinació dels esforços en els elements estructurals s'han utilitzat, genèricament, els postulats bàsics de l'elasticitat i la resistència de materials.
D'altra banda, per a la comprovació de les seccions de formigó, s'han utilitzat les bases del càlcul en trencament, considerant que el material treballa en règim plàstic, contemplant, d'aquesta manera, les fissures per tracció i l'elastoplasticitat en compressió. Per a la comprovació de les seccions d'acer, en general s'utilitzen les bases del càlcul elàstic, encara que en algunes unions es contemplen puntualment les consideracions del càlcul elastoplàstic.

AJUNTAMENT D'OLERDOLA
Aquest document és una còpia simple del document electrònic original.

DOCUMENT
DOCUMENT REGISTRE UNIFICAT ENTRADA
ÒRGAN
SERVEIS TECNICS
REGISTRE D'ENTRADA
E2026005054
Codi Segur de Verificació:
62ffb294-fe9f-412a-95ff-e789b2359074
Origen: Administració
Identificador document: ES_L01081000_2026_28828185
Data d'impressió: 03/11/2026 13:44:57
Pàgina 72 de 247
SIGNATURES
1.- ESTEVE AYMERICH (R: J62755897), 27/07/2026 11:04

Programes de càlcul utilitzats

Pel càlcul d'esforços i posterior dimensionat d'estructures de formigó i acer s'ha utilitzat el programa *METAL3D*, de l'empresa *CYPE Ingenieros*, en la versió 2022, la qual incorpora el conjunt de la normativa aplicable del recent Codi Estructural.

AJUNTAMENT D'OLERDOLA
Aquest document és una còpia simple del document electrònic original.

DOCUMENT
DOCUMENT REGISTRE UNIFICAT ENTRADA
ÒRGAN
SERVEIS TECNICS
REGISTRE D'ENTRADA
E2026005054
Codi Segur de Verificació:
62ffb294-fe9f-412a-95ff-e789b2359074
Origen: Administració
Identificador document: ES_L01081000_2026_28828185
Data d'impressió: 03/11/2026 13:44:57
Pàgina 73 de 247
SIGNATURES
1.- ESTEVE AYMERICH (R: J62755897), 27/07/2026 11:04

Criteris de dimensionat

En el dimensionat dels elements que composen l'estructura ha estat considerada la satisfacció dels estats límits últims, ELU i els estats límits de servei, ELS, que es detallen a continuació:

- ELU d'equilibri: els efectes de càlcul estabilitzants sobrepassen als desestabilitzants.
- ELU d'esgotament enfront a les sol·licitacions: les forces internes capaces de desenvolupar-se en tota secció de l'estructura igualen o sobrepassen les forces de càlcul que les sol·liciten.
- ELU d' inestabilitat: les forces internes capaces de desenvolupar-se en tota secció de l'estructura igualen o sobrepassen les forces de càlcul que les sol·liciten sumades a les derivades dels efectes de segon ordre o de inestabilitat.
- ELS de fissuració (tant sols en elements de formigó armat i pretesat): l'obertura característica de les fissures, w_k, compleix amb els valors definits en l'article 49.2 de la EHE en funció de la classe d'exposició de l'element
- *ELS de deformació*: s' ha realitzat en base a l'establert a l'apartat 4.3.3 del DB SE. Això és:

En el cas de considerar la integritat dels elements constructius, considerant les deformacions que es produeixen després de la posada en obra de l'element (totes les càrregues excepte el pes propi de l'element estructural), limitant-les als valors exposats a la taula següent:

Tipus de tancament	**Valor fletxa/llum**
Pisos amb envans fràgils o paviments rígids sense juntes	1/500
Pisos amb envans ordinaris o paviments rígids amb juntes.	1/400
Resta dels casos	1/300

En el cas de tenir en compte el confort dels usuaris, considerant les deformacions produïdes per les accions de curta durada (accions variables), limitant-les a L/350 (essent L la llum de l'element).
En el cas de considerar l'aparència de l'obra, considerant les deformacions produïdes per qualsevol combinació d'accions quasipermanent, limitant-les a L/300.

- ELS *de* vibracions: Les estructures i els seus elements susceptibles de patir vibracions per efecte rítmic de les persones han estat dissenyats amb modes propis de vibració majors que els que es mostren a la taula següent.

Estructura	*Freqüència mínima (Hz)*
Gimnasos, palaus d'esports, estadis	8,0
Sales de festes i concerts sense seients	7,0
Centres comercials i locals de pública concurrència sense seients fixes.	5,0
Sales d'espectacles amb seients fixes.	3,4
Passeres.	4,5

La resta d'elements han estat dissenyats amb un primer mode de vibració de valor 3,00Hz.

AJUNTAMENT D'OLERDOLA
Aquest document és una còpia simple del document electrònic original.

DOCUMENT
DOCUMENT REGISTRE UNIFICAT ENTRADA
ÒRGAN
SERVEIS TECNICS
REGISTRE D'ENTRADA
E2026005054
Codi Segur de Verificació:
62ffb294-fe9f-412a-95ff-e789b2359074
Origen: Administració
Identificador document: ES_L01081000_2026_28828185
Data d'impressió: 03/11/2026 13:44:57
Pàgina 74 de 247
SIGNATURES
1.- ESTEVE AYMERICH (R: J62755897), 27/07/2026 11:04

Declaració de compliment dels documents bàsics

En el disseny i anàlisi dels elements estructurals descrits en el present document s'ha atès a totes les exigències i requeriments estipulats en el Codi Tècnic de l'Edificació (CTE), i en particular als Documents Bàsics que es citen a continuació:

DB-SE, "Documento Básico SE Seguridad estructural"
DB-SE-AE, "Documento Básico SE Seguridad estructural Acciones en la edificación"
DB-SE-C, "Documento Básico SE Seguridad estructural Cimientos"
DB-SE-A, "Documento Básico SE Seguridad estructural Acero"
DB-SE-F, "Documento Básico SE Seguridad estructural Fábrica"
DB-SE-SI, "Documento Básico Seguridad en caso de Incendio".

Pel que fa al cas particular del DB-SI, Seguretat en cas d'incendi, l'estructura de la pista consta d'uns pòrtics principals que sostenen una coberta lleugera suportada sobre corretges secundàries. Si es tractés d'un edifici tancat, els pòrtics principals haurien de complir una resitència al foc de 30 minuts (R-30). No obstant, al tractar-se d'una porxada oberta pels quatre costats, no es considera necessàri garantir una resistència al foc determinada més enllà de la que ja disposa la pròpia estructura gràcies a la massivitat dels seus perfils.

AJUNTAMENT D'OLERDOLA
Aquest document és una còpia simple del document electrònic original.

DOCUMENT
DOCUMENT REGISTRE UNIFICAT ENTRADA
ÒRGAN
SERVEIS TECNICS
REGISTRE D'ENTRADA
E2026005054
Codi Segur de Verificació:
62ffb294-fe9f-412a-95ff-e789b2359074
Origen: Administració
Identificador document: ES_L01081000_2026_28828185
Data d'impressió: 03/11/2026 13:44:57
Pàgina 75 de 247
SIGNATURES
1.- ESTEVE AYMERICH (R: J62755897), 27/07/2026 11:04

Manteniment de l'estructura

ELEMENTS CONSTITUÏTS PER ACER LAMINAT.

Les estructures d'acer tradicionalment són les que comporten major repercussió quant a les tasques relatives al seu manteniment, donada la major inestabilitat del material a tenor de la seva estructura molecular. Principalment, el manteniment haurà de fer front a l'oxidació i a la corrosió.

Per això, cap protegir l'estructura de la intempèrie mitjançant els elements constructius especificats en projecte, en les condicions que fixen els Plecs de Condicions adjunts.

Per preservar la seva durabilitat, l'estructura s'haurà de sotmetre a un programa d'inspecció i manteniment concret en base als següents preceptes:

1. Control general del comportament de l'estructura

   a) Inspecció convencional cada 10 anys. S'examinarà amb especial atenció, l'existència de símptomes de danys estructurals que es manifestin en danys en els elements inspeccionats (fissures en tancaments a causa de deformacions...). També s'identificaran danys potencials (humitats, condensacions, ús inadequat...).
   b) Inspecció cada 15 anys. Amb objecte de descobrir danys de caràcter fràgil, que encara no afectin a altres elements no estructurals (tancaments...).

      En aquest cas s'observaran situacions on puguin produir-se lliscaments no previstos d'unions cargolades, corrosions localitzades...

2. Control de l'estat de conservació del material.

Es distingirà segons la classificació de l'estructura, en funció de la seva exposició:

   a) *L'estructura metàl·lica o l'element és interior o no exposat a agents ambientals nocius. (Classes d'exposició C_1 i C_2 segons taula 6).* Haurà de realitzar-se una revisió de l'estructura cada cinc anys, detectant punts d'inici de l'oxidació.

      En ells i en la zona confrontant haurà d'aixecar-se el material degradat i protegir la zona deteriorada mitjançant la imprimació local de pintura antioxidant, com a mínim de les mateixes característiques que la utilitzada en l'obra.

      Cada 15 anys s'haurà de procedir a una revisió exhaustiva de tota l'estructura, realitzant un posterior pintat total de la mateixa amb un material com a mínim de les mateixes característiques que l'utilitzat en l'obra.

   b) *L'estructura metàl·lica o element és exterior o queda en un ambient d'agressivitat moderada. (Classe d'exposició C_3 segons taula 6).* Haurà de realitzar-se una revisió de l'estructura cada tres anys, detectant punts d'inici de l'oxidació.

      En ells i en la zona confrontant haurà d'aixecar-se el material degradat i protegir la zona deteriorada mitjançant la imprimació local de pintura antioxidant, com a mínim de les mateixes característiques que la utilitzada en l'obra.

      Cada 10 anys s'haurà de procedir a una revisió exhaustiva de tota l'estructura, realitzant un posterior pintat total de la mateixa amb un material com a mínim de les mateixes característiques que l'utilitzat en l'obra.

   c) *L'estructura metàl·lica és exterior i exposada a un ambient d'agressivitat elevada. (Classe d'exposició C_4 i C_5 segons taula 6).* Haurà de realitzar-se una revisió anual de l'estructura, detectant punts d'inici de l'oxidació.

AJUNTAMENT D'OLERDOLA
Aquest document és una còpia simple del document electrònic original.

DOCUMENT
DOCUMENT REGISTRE UNIFICAT ENTRADA
ÒRGAN
SERVEIS TECNICS
REGISTRE D'ENTRADA
E2026005054
Codi Segur de Verificació:
62ffb294-fe9f-412a-95ff-e789b2359074
Origen: Administració
Identificador document: ES_L01081000_2026_28828185
Data d'impressió: 03/11/2026 13:44:57
Pàgina 76 de 247
SIGNATURES
1.- ESTEVE AYMERICH (R: J62755897), 27/07/2026 11:04

En ells i en la zona confrontant haurà d'aixecar-se el material degradat i protegir la zona deteriorada mitjançant la imprimació local de pintura antioxidant, com a mínim de les mateixes característiques que la utilitzada en l'obra.

Cada cinc anys s'haurà de procedir a una revisió exhaustiva de tota l'estructura, realitzant un posterior pintat total de la mateixa amb un material com a mínim de les mateixes característiques que l'utilitzat en l'obra.

En el present cas la classe d'exposició és de tipus C3. Les inspeccions es coordinaran fent coincidir els dos conceptes: comportament de l'estructura i conservació del material.

Designación	Clase de exposición (corrosividad)	Pérdida de masa por unidad de superficie/pérdida de espesor (tras el primer año de exposición)				Ejemplos de ambientes típicos en un clima templado	
		Acero de bajo contenido en carbono		Cinc		Exterior	Interior
		Pérdida de masa g/m²	Pérdida de espesor µm	Pérdida de masa g/m²	Pérdida de espesor µm		
C I	muy baja	≤ 10	≤ 1,3	≤ 0,7	≤ 0,1	–	Edificios con calefacción y con atmósferas limpias, por ejemplo: oficinas, tiendas, colegios, hoteles.
C3	media	> 200 y hasta 400	> 25 y hasta 50	> 5 y hasta 15	> 0,7 y hasta 2,1	Atmósferas urbanas e industriales, con moderada contaminación de dióxido de azufre. Áreas costeras con baja salinidad.	Naves de fabricación con elevada humedad y con algo de contaminación del aire, por ejemplo: plantas de procesado de alimentos, lavanderías, plantas cerveceras, plantas lácteas. Interior de puentes-cajón.
C4	alta	> 400 y hasta 650	> 50 y hasta 80	> I5 y hasta 30	> 2,1 y hasta 4,2	Áreas industriales y áreas costeras con moderada salinidad.	Plantas químicas, piscinas, barcos costeros y astilleros.
C5	muy alta	> 650 y hasta 1.500	> 80 y hasta 200	> 30 y hasta 60	> 4,2 y hasta 8,4	Áreas industriales con elevada humedad y con atmósfera agresiva y áreas costeras con elevada salinidad.	Edificios o áreas con condensaciones casi permanentes, y con contaminación elevada.
CX	extrema	> 1.500 y hasta 5.500	> 200 y hasta 700	> 60 y hasta 180	> 8,4 y hasta 25	Áreas de ultramar con elevada salinidad y áreas industriales con humedad extrema y atmósfera agresiva y atmósferas subtropical y tropical.	Áreas industriales con humedad extrema y atmósfera agresiva.

ESTRUCTURES DE FORMIGÓ.

Les parts de l'estructura constituïdes per formigó armat s'hauran de sotmetre també a un programa de manteniment, de manera molt semblant al definit per a l'estructura metàl·lica, ja que el major número de patologies del formigó armat són conseqüència o es manifesten a l'iniciar-se el procés de corrosió de les seves armadures. Bàsicament, doncs, el manteniment haurà d'afrontar la prevenció de la l'oxidació i la corrosió d'aquests elements.

Per preservar la seva durabilitat, l'estructura s'haurà de sotmetre a un programa de manteniment concret en base als següents preceptes:

a) *L'estructura de formigó és interior (Classe d'exposició XC1 i XC3) segons taula 27.1.a del capítol 7 del Codi Estructural).* Serà necessària una revisió dels elements als dos anys d'haver estar construïts y després establir una revisió dels mateixos cada 10 anys amb objecte de detectar possibles fissures, carbonatacions o anomalies dels paraments.

Si aquestes fissures resulten visibles a l'observador, serà convenient injectar-les i protegir-les amb algun tipus de resina epoxi, per evitar l'oxidació de les armadures. Així

AJUNTAMENT D'OLERDOLA
Aquest document és una còpia simple del document electrònic original.

DOCUMENT
DOCUMENT REGISTRE UNIFICAT ENTRADA
ÒRGAN
SERVEIS TECNICS
REGISTRE D'ENTRADA
E2026005054
Codi Segur de Verificació:
62ffb294-fe9f-412a-95ff-e789b2359074
Origen: Administració
Identificador document: ES_L01081000_2026_28828185
Data d'impressió: 03/11/2026 13:44:57
Pàgina 77 de 247
SIGNATURES
1.- ESTEVE AYMERICH (R: J62755897), 27/07/2026 11:04

mateix, si s'observen zones amb profunditats de carbonatació anòmales, hauran de protegir-se mitjançant pintures protectores anti-carbonatació.

b) L'estructura de formigó és exterior o queda immersa en un ambient humit *(Classe d'exposició XC4 segons la taula 27.1.a i classe especifica d'exposició tipus XF1 i XF3 segons taula 27.1.a del capítol 7 del Codi Estructural).* En aquest cas serà precisa una revisió dels elements a l'any d'haver estat construïda i després establir una revisió dels mateixos cada dos anys amb objecte de detectar possibles fissuracions, carbonatacions o anomalies dels paraments.

   Si aquestes fissuracions resulten visibles a l'observador, serà convenient injectar-les y protegir-les amb algun tipus de resina epoxi, para evitar l'oxidació de les armadures. Així mateix, si s'observen zones amb profunditats de carbonatació anòmales, hauran de protegir-se mitjançant pintures protectores anti-carbonatació.

c) *L'estructura de formigó queda exposada a un ambient d'agressivitat elevada (Classe d'exposició XD1, XD2, XD3, XS1, XS2 i XS3 segons taula 27.1.a del capítol 7 del Codi Estructural).* Serà precisa una imprimació amb resina epoxi de tots els paraments dels seus elements després d'haver-se completat l'adormiment i procedir a una revisió al pas de sis mesos d'haver estat construït. Posteriorment se sotmetrà l'estructura a un programa de revisions bianual amb objecte de detectar possibles fissuracions, carbonatacions o anomalies dels paraments.

   Si aquestes fissures resulten visibles a l'observador, serà convenient injectar-les i protegir-les amb algun tipus de resina epoxi, per evitar l'oxidació de les armadures. Així mateix, si es s'observen zones amb profunditats de carbonatació anòmales, hauran de protegir-se mitjançant pintures protectores anti-carbonatació.

   Serà, a més, preceptiva una nova imprimació de pintura anticarbonatació cada cinc anys, llevat justificació expressa del fabricant de la pintura en relació a altre calendari, que no excedirà dels 10 anys.

AJUNTAMENT D'OLERDOLA
Aquest document és una còpia simple del document electrònic original.

DOCUMENT
DOCUMENT REGISTRE UNIFICAT ENTRADA
ÒRGAN
SERVEIS TECNICS
REGISTRE D'ENTRADA
E2026005054
Codi Segur de Verificació:
62ffb294-fe9f-412a-95ff-e789b2359074
Origen: Administració
Identificador document: ES_L01081000_2026_28828185
Data d'impressió: 03/11/2026 13:44:57
Pàgina 78 de 247
SIGNATURES
1.- ESTEVE AYMERICH (R: J62755897), 27/07/2026 11:04

Justificació del càlcul

AJUNTAMENT D'OLERDOLA
Aquest document és una còpia simple del document electrònic original.

DOCUMENT
DOCUMENT REGISTRE UNIFICAT ENTRADA
ÒRGAN
SERVEIS TECNICS
REGISTRE D'ENTRADA
E2026005054
Codi Segur de Verificació:
62ffb294-fe9f-412a-95ff-e789b2359074
Origen: Administració
Identificador document: ES_L01081000_2026_28828185
Data d'impressió: 03/11/2026 13:44:57
Pàgina 79 de 247
SIGNATURES
1.- ESTEVE AYMERICH (R: J62755897), 27/07/2026 11:04

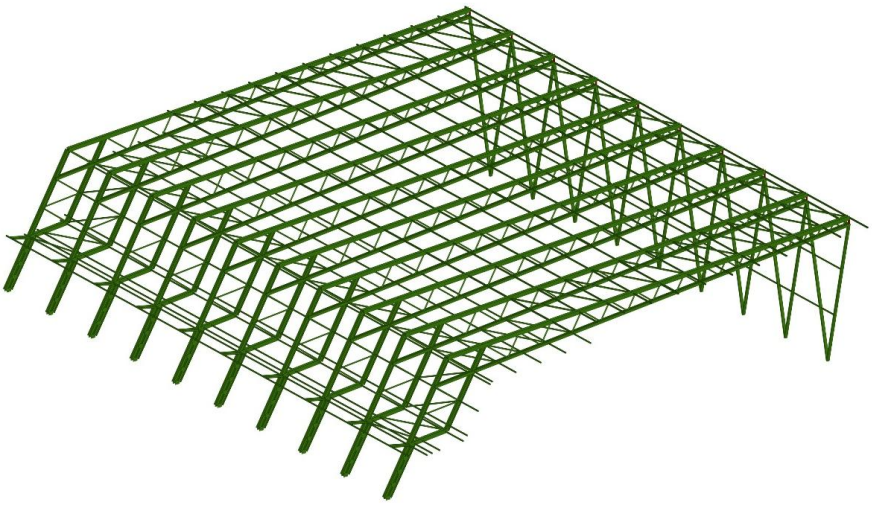

JUSTIFICACIÓ DE CÀLCUL

PROJECTE EXECUTIU DE COBRIMENT DE PISTA A ST.PERE MOLANTA
OLÈRDOLA-ALT PENEDÈS

Març de 2026

AJUNTAMENT D'OLERDOLA
Aquest document és una còpia simple del document electrònic original.

DOCUMENT
DOCUMENT REGISTRE UNIFICAT ENTRADA
ÒRGAN
SERVEIS TECNICS
REGISTRE D'ENTRADA
E2026005054
Codi Segur de Verificació:
62ffb294-fe9f-412a-95ff-e789b2359074
Origen: Administració
Identificador document: ES_L01081000_2026_28828185
Data d'impressió: 03/11/2026 13:44:57
Pàgina 80 de 247
SIGNATURES
1.- ESTEVE AYMERICH (R: J62755897), 27/07/2026 11:04

ÍNDICE

1. DATOS DE OBRA..... 2
1.1. Normas consideradas..... 2
1.2. Estados límite..... 2
1.2.1. Situaciones de proyecto..... 2
1.2.2. Combinaciones..... 3

2. ESTRUCTURA..... 5
2.1. Geometría..... 5
2.1.1. Barras..... 5
2.2. Resultados..... 61
2.2.1. Nudos..... 61
2.2.2. Barras..... 91

AJUNTAMENT D'OLERDOLA
Aquest document és una còpia simple del document electrònic original.

DOCUMENT
DOCUMENT REGISTRE UNIFICAT ENTRADA
ÒRGAN
SERVEIS TECNICS
REGISTRE D'ENTRADA
E2026005054
Codi Segur de Verificació:
62ffb294-fe9f-412a-95ff-e789b2359074
Origen: Administració
Identificador document: ES_L01081000_2026_28828185
Data d'impressió: 03/11/2026 13:44:57
Pàgina 81 de 247
SIGNATURES
1.- ESTEVE AYMERICH (R: J62755897), 27/07/2026 11:04

1. DATOS DE OBRA

1.1. Normas consideradas

Aceros laminados y armados: CTE DB SE-A

Categoría de uso: G2. Cubiertas accesibles únicamente para mantenimiento

1.2. Estados límite

E.L.U. de rotura. Acero laminado	CTE Cota de nieve: Altitud inferior o igual a 1000 m
Desplazamientos	Acciones características

1.2.1. Situaciones de proyecto

Para las distintas situaciones de proyecto, las combinaciones de acciones se definirán de acuerdo con los siguientes criterios:

- Con coeficientes de combinación

$$\sum_{j \geq 1} \gamma_{Gj} G_{kj} + \gamma_P P_k + \gamma_{Q1} \Psi_{p1} Q_{k1} + \sum_{i>1} \gamma_{Qi} \Psi_{ai} Q_{ki}$$

- Sin coeficientes de combinación

$$\sum_{j \geq 1} \gamma_{Gj} G_{kj} + \gamma_P P_k + \sum_{i \geq 1} \gamma_{Qi} Q_{ki}$$

- Donde:

G_k	Acción permanente
P_k	Acción de pretensado
Q_k	Acción variable
γ_G	Coeficiente parcial de seguridad de las acciones permanentes
γ_P	Coeficiente parcial de seguridad de la acción de pretensado
$\gamma_{Q,1}$	Coeficiente parcial de seguridad de la acción variable principal
$\gamma_{Q,i}$	Coeficiente parcial de seguridad de las acciones variables de acompañamiento
$\psi_{p,1}$	Coeficiente de combinación de la acción variable principal
$\psi_{a,i}$	Coeficiente de combinación de las acciones variables de acompañamiento

Para cada situación de proyecto y estado límite los coeficientes a utilizar serán:

E.L.U. de rotura. Acero laminado: CTE DB SE-A

AJUNTAMENT D'OLERDOLA
Aquest document és una còpia simple del document electrònic original.

DOCUMENT
DOCUMENT REGISTRE UNIFICAT ENTRADA
ÒRGAN
SERVEIS TECNICS
REGISTRE D'ENTRADA
E2026005054
Codi Segur de Verificació:
62ffb294-fe9f-412a-95ff-e789b2359074
Origen: Administració
Identificador document: ES_L01081000_2026_28828185
Data d'impressió: 03/11/2026 13:44:57
Pàgina 82 de 247
SIGNATURES
1.- ESTEVE AYMERICH (R: J62755897), 27/07/2026 11:04

Persistente o transitoria				
	Coeficientes parciales de seguridad (γ)		Coeficientes de combinación (ψ)	
	Favorable	Desfavorable	Principal (ψ_p)	Acompañamiento (ψ_a)
Carga permanente (G)	0.800	1.350	-	-
Sobrecarga (Q)	0.000	1.500	1.000	0.000
Viento (Q)	0.000	1.500	1.000	0.600
Nieve (Q)	0.000	1.500	1.000	0.500

Desplazamientos

Característica				
	Coeficientes parciales de seguridad (γ)		Coeficientes de combinación (ψ)	
	Favorable	Desfavorable	Principal (ψ_p)	Acompañamiento (ψ_a)
Carga permanente (G)	1.000	1.000	-	-
Sobrecarga (Q)	0.000	1.000	1.000	1.000
Viento (Q)	0.000	1.000	1.000	1.000
Nieve (Q)	0.000	1.000	1.000	1.000

1.2.2. Combinaciones

- Nombres de las hipótesis

PP	Peso propio
CP	CP
SU	SU
V+x	V+x
V-x	V-x
N	N

- E.L.U. de rotura. Acero laminado

AJUNTAMENT D'OLERDOLA
Aquest document és una còpia simple del document electrònic original.

Codi Segur de Verificació:
62ffb294-fe9f-412a-95ff-e789b2359074
Origen: Administració
Identificador document: ES_L01081000_2026_28828185
Data d'impressió: 03/11/2026 13:44:57
Pàgina 83 de 247

SIGNATURES
1.- ESTEVE AYMERICH (R: J62755897), 27/07/2026 11:04

AJUNTAMENT D'OLERDOLA
Aquest document és una còpia simple del document electrònic original.

Listados

Comb.	PP	CP	SU	V+x	V-x	N
1	0.800	0.800				
2	1.350	0.800				
3	0.800	1.350				
4	1.350	1.350				
5	0.800	0.800	1.500			
6	1.350	0.800	1.500			
7	0.800	1.350	1.500			
8	1.350	1.350	1.500			
9	0.800	0.800		1.500		
10	1.350	0.800		1.500		
11	0.800	1.350		1.500		
12	1.350	1.350		1.500		
13	0.800	0.800	1.500	0.900		
14	1.350	0.800	1.500	0.900		
15	0.800	1.350	1.500	0.900		
16	1.350	1.350	1.500	0.900		
17	0.800	0.800			1.500	
18	1.350	0.800			1.500	
19	0.800	1.350			1.500	
20	1.350	1.350			1.500	
21	0.800	0.800	1.500		0.900	
22	1.350	0.800	1.500		0.900	
23	0.800	1.350	1.500		0.900	
24	1.350	1.350	1.500		0.900	
25	0.800	0.800				1.500
26	1.350	0.800				1.500
27	0.800	1.350				1.500
28	1.350	1.350				1.500
29	0.800	0.800		0.900		1.500
30	1.350	0.800		0.900		1.500
31	0.800	1.350		0.900		1.500
32	1.350	1.350		0.900		1.500
33	0.800	0.800			0.900	1.500
34	1.350	0.800			0.900	1.500
35	0.800	1.350			0.900	1.500
36	1.350	1.350			0.900	1.500
37	0.800	0.800	1.500			0.750
38	1.350	0.800	1.500			0.750
39	0.800	1.350	1.500			0.750
40	1.350	1.350	1.500			0.750
41	0.800	0.800		1.500		0.750
42	1.350	0.800		1.500		0.750
43	0.800	1.350		1.500		0.750
44	1.350	1.350		1.500		0.750
45	0.800	0.800	1.500	0.900		0.750
46	1.350	0.800	1.500	0.900		0.750
47	0.800	1.350	1.500	0.900		0.750

DOCUMENT
DOCUMENT REGISTRE UNIFICAT ENTRADA
ÒRGAN
SERVEIS TECNICS
REGISTRE D'ENTRADA
E2026005054
Codi Segur de Verificació:
62ffb294-fe9f-412a-95ff-e789b2359074
Origen: Administració
Identificador document: ES_L01081000_2026_28828185
Data d'impressió: 03/11/2026 13:44:57
Pàgina 84 de 247
SIGNATURES
1.- ESTEVE AYMERICH (R: J62755897), 27/07/2026 11:04

Comb.	PP	CP	SU	V+x	V-x	N
48	1.350	1.350	1.500	0.900		0.750
49	0.800	0.800			1.500	0.750
50	1.350	0.800			1.500	0.750
51	0.800	1.350			1.500	0.750
52	1.350	1.350			1.500	0.750
53	0.800	0.800	1.500		0.900	0.750
54	1.350	0.800	1.500		0.900	0.750
55	0.800	1.350	1.500		0.900	0.750
56	1.350	1.350	1.500		0.900	0.750

- Desplazamientos

Comb.	PP	CP	SU	V+x	V-x	N
1	1.000	1.000				
2	1.000	1.000	1.000			
3	1.000	1.000		1.000		
4	1.000	1.000	1.000	1.000		
5	1.000	1.000			1.000	
6	1.000	1.000	1.000		1.000	
7	1.000	1.000				1.000
8	1.000	1.000	1.000			1.000
9	1.000	1.000		1.000		1.000
10	1.000	1.000	1.000	1.000		1.000
11	1.000	1.000			1.000	1.000
12	1.000	1.000	1.000		1.000	1.000

2. ESTRUCTURA

2.1. Geometría

2.1.1. Barras

2.1.1.1. Materiales utilizados

Materiales utilizados							
Material		E (kp/cm²)	ν	G (kp/cm²)	f_y (kp/cm²)	α_t (m/m°C)	γ (t/m³)
Tipo	Designación						
Acero laminado	S275	2140672.8	0.300	825688.1	2803.3	0.000012	7.850

Notación:
E: Módulo de elasticidad
n: Módulo de Poisson
G: Módulo de cortadura
f_y: Límite elástico
a_t: Coeficiente de dilatación
g: Peso específico

2.1.1.2. Descripción

AJUNTAMENT D'OLERDOLA
Aquest document és una còpia simple del document electrònic original.

Codi Segur de Verificació:
62ffb294-fe9f-412a-95ff-e789b2359074
Origen: Administració
Identificador document: ES_L01081000_2026_28828185
Data d'impressió: 03/11/2026 13:44:57
Pàgina 85 de 247

SIGNATURES
1.- ESTEVE AYMERICH (R: J62755897), 27/07/2026 11:04

Listados

Cobriment de pista a Sant Pere Molanta (Olèrdola)

Fecha: 10/03/26

Descripción									
Material		Barra (Ni/Nf)	Pieza (Ni/Nf)	Perfil(Serie)	Longitud (m)	β_{xy}	β_{xz}	$Lb_{Sup.}$ (m)	$Lb_{Inf.}$ (m)
Tipo	Designación								
Acero laminado	S275	N5/N2	N5/N2	TC 90x5 (TC)	2.433	1.00	1.00	-	-
		N2/N6	N2/N6	TC 90x5 (TC)	2.976	1.00	1.00	-	-
		N6/N3	N6/N3	TC 90x5 (TC)	2.431	1.00	1.00	-	-
		N7/N4	N7/N4	TC 125x5 (TC)	2.431	1.00	1.00	-	-
		N9/N8	N9/N8	TC 90x5 (TC)	2.286	1.00	1.00	-	-
		N9/N27	N9/N27	TC 90x5 (TC)	1.773	1.00	1.00	-	-
		N10/N27	N10/N27	TC 90x5 (TC)	2.120	1.00	1.00	-	-
		N10/N28	N10/N28	TC 90x5 (TC)	1.656	1.00	1.00	-	-
		N11/N28	N11/N28	TC 90x5 (TC)	1.981	1.00	1.00	-	-
		N11/N29	N11/N29	TC 90x5 (TC)	1.547	1.00	1.00	-	-
		N12/N29	N12/N29	TC 90x5 (TC)	1.850	1.00	1.00	-	-
		N12/N30	N12/N30	TC 90x5 (TC)	1.445	1.00	1.00	-	-
		N13/N30	N13/N30	TC 90x5 (TC)	1.728	1.00	1.00	-	-
		N13/N31	N13/N31	TC 90x5 (TC)	1.350	1.00	1.00	-	-
		N14/N31	N14/N31	TC 90x5 (TC)	1.615	1.00	1.00	-	-
		N14/N32	N14/N32	TC 90x5 (TC)	1.261	1.00	1.00	-	-
		N15/N32	N15/N32	TC 90x5 (TC)	1.508	1.00	1.00	-	-
		N15/N33	N15/N33	TC 90x5 (TC)	1.189	1.00	1.00	-	-
		N16/N33	N16/N33	TC 90x5 (TC)	1.408	1.00	1.00	-	-
		N16/N34	N16/N34	TC 90x5 (TC)	1.100	1.00	1.00	-	-
		N17/N34	N17/N34	TC 90x5 (TC)	1.324	1.00	1.00	-	-
		N17/N35	N17/N35	TC 90x5 (TC)	1.034	1.00	1.00	-	-
		N18/N35	N18/N35	TC 90x5 (TC)	1.217	1.00	1.00	-	-
		N18/N36	N18/N36	TC 90x5 (TC)	0.960	1.00	1.00	-	-
		N19/N36	N19/N36	TC 90x5 (TC)	1.148	1.00	1.00	-	-
		N19/N37	N19/N37	TC 90x5 (TC)	0.898	1.00	1.00	-	-
		N20/N37	N20/N37	TC 90x5 (TC)	1.073	1.00	1.00	-	-
		N20/N38	N20/N38	TC 90x5 (TC)	0.838	1.00	1.00	-	-
		N21/N38	N21/N38	TC 90x5 (TC)	1.002	1.00	1.00	-	-
		N21/N39	N21/N39	TC 90x5 (TC)	0.788	1.00	1.00	-	-
		N22/N39	N22/N39	TC 90x5 (TC)	0.935	1.00	1.00	-	-
		N22/N40	N22/N40	TC 90x5 (TC)	0.741	1.00	1.00	-	-
		N23/N40	N23/N40	TC 90x5 (TC)	0.873	1.00	1.00	-	-
		N23/N41	N23/N41	TC 90x5 (TC)	0.682	1.00	1.00	-	-
		N24/N41	N24/N41	TC 90x5 (TC)	0.815	1.00	1.00	-	-
		N24/N42	N24/N42	TC 90x5 (TC)	0.637	1.00	1.00	-	-
		N25/N42	N25/N42	TC 90x5 (TC)	0.762	1.00	1.00	-	-
		N25/N43	N25/N43	TC 90x5 (TC)	0.781	1.00	1.00	-	-
		N26/N43	N26/N43	CDC 90x5 (CDC)	0.475	1.00	1.00	-	-
		N431/N475	N431/N413	CC 200x120x8 (CC)	3.508	1.00	1.00	-	-
		N475/N457	N431/N413	CC 200x120x8 (CC)	3.508	1.00	1.00	-	-
		N457/N413	N431/N413	CC 200x120x8 (CC)	3.508	1.00	1.00	-	-

AJUNTAMENT D'OLERDOLA
Aquest document és una còpia simple del document electrònic original.

Codi Segur de Verificació:
62ffb294-fe9f-412a-95ff-e789b2359074
Origen: Administració
Identificador document: ES_L01081000_2026_28828185
Data d'impressió: 03/11/2026 13:44:57
Pàgina 86 de 247

SIGNATURES
1.- ESTEVE AYMERICH (R: J62755897), 27/07/2026 11:04

Listados

Cobriment de pista a Sant Pere Molanta (Olèrdola)

Fecha: 10/03/26

Descripción									
Material		Barra (Ni/Nf)	Pieza (Ni/Nf)	Perfil(Serie)	Longitud (m)	β_{xy}	β_{xz}	$Lb_{Sup.}$ (m)	$Lb_{Inf.}$ (m)
Tipo	Designación								
		N431/N474	N431/N370	CC 200x120x8 (CC)	3.508	1.00	1.00	-	-
		N474/N456	N431/N370	CC 200x120x8 (CC)	3.508	1.00	1.00	-	-
		N456/N370	N431/N370	CC 200x120x8 (CC)	3.508	1.00	1.00	-	-
		N432/N473	N432/N370	CC 200x120x8 (CC)	3.508	1.00	1.00	-	-
		N473/N455	N432/N370	CC 200x120x8 (CC)	3.508	1.00	1.00	-	-
		N455/N370	N432/N370	CC 200x120x8 (CC)	3.508	1.00	1.00	-	-
		N432/N472	N432/N327	CC 200x120x8 (CC)	3.508	1.00	1.00	-	-
		N472/N454	N432/N327	CC 200x120x8 (CC)	3.508	1.00	1.00	-	-
		N454/N327	N432/N327	CC 200x120x8 (CC)	3.508	1.00	1.00	-	-
		N433/N471	N433/N327	CC 200x120x8 (CC)	3.508	1.00	1.00	-	-
		N471/N453	N433/N327	CC 200x120x8 (CC)	3.508	1.00	1.00	-	-
		N453/N327	N433/N327	CC 200x120x8 (CC)	3.508	1.00	1.00	-	-
		N433/N470	N433/N284	CC 200x120x8 (CC)	3.508	1.00	1.00	-	-
		N470/N452	N433/N284	CC 200x120x8 (CC)	3.508	1.00	1.00	-	-
		N452/N284	N433/N284	CC 200x120x8 (CC)	3.508	1.00	1.00	-	-
		N434/N469	N434/N284	CC 200x120x8 (CC)	3.508	1.00	1.00	-	-
		N469/N451	N434/N284	CC 200x120x8 (CC)	3.508	1.00	1.00	-	-
		N451/N284	N434/N284	CC 200x120x8 (CC)	3.508	1.00	1.00	-	-
		N434/N468	N434/N241	CC 200x120x8 (CC)	3.508	1.00	1.00	-	-
		N468/N450	N434/N241	CC 200x120x8 (CC)	3.508	1.00	1.00	-	-
		N450/N241	N434/N241	CC 200x120x8 (CC)	3.508	1.00	1.00	-	-
		N435/N467	N435/N241	CC 200x120x8 (CC)	3.508	1.00	1.00	-	-
		N467/N449	N435/N241	CC 200x120x8 (CC)	3.508	1.00	1.00	-	-
		N449/N241	N435/N241	CC 200x120x8 (CC)	3.508	1.00	1.00	-	-
		N435/N466	N435/N198	CC 200x120x8 (CC)	3.508	1.00	1.00	-	-

AJUNTAMENT D'OLERDOLA
Aquest document és una còpia simple del document electrònic original.

Codi Segur de Verificació:
62ffb294-fe9f-412a-95ff-e789b2359074
Origen: Administració
Identificador document: ES_L01081000_2026_28828185
Data d'impressió: 03/11/2026 13:44:57
Pàgina 87 de 247

SIGNATURES
1.- ESTEVE AYMERICH (R: J62755897), 27/07/2026 11:04

Listados

Cobriment de pista a Sant Pere Molanta (Olèrdola)

Fecha: 10/03/26

Descripción									
Material		Barra (Ni/Nf)	Pieza (Ni/Nf)	Perfil(Serie)	Longitud (m)	β_{xy}	β_{xz}	$Lb_{Sup.}$ (m)	$Lb_{Inf.}$ (m)
Tipo	Designación								
		N466/N448	N435/N198	CC 200x120x8 (CC)	3.508	1.00	1.00	-	-
		N448/N198	N435/N198	CC 200x120x8 (CC)	3.508	1.00	1.00	-	-
		N436/N465	N436/N198	CC 200x120x8 (CC)	3.508	1.00	1.00	-	-
		N465/N447	N436/N198	CC 200x120x8 (CC)	3.508	1.00	1.00	-	-
		N447/N198	N436/N198	CC 200x120x8 (CC)	3.508	1.00	1.00	-	-
		N436/N464	N436/N155	CC 200x120x8 (CC)	3.508	1.00	1.00	-	-
		N464/N446	N436/N155	CC 200x120x8 (CC)	3.508	1.00	1.00	-	-
		N446/N155	N436/N155	CC 200x120x8 (CC)	3.508	1.00	1.00	-	-
		N437/N463	N437/N155	CC 200x120x8 (CC)	3.508	1.00	1.00	-	-
		N463/N445	N437/N155	CC 200x120x8 (CC)	3.508	1.00	1.00	-	-
		N445/N155	N437/N155	CC 200x120x8 (CC)	3.508	1.00	1.00	-	-
		N437/N462	N437/N112	CC 200x120x8 (CC)	3.508	1.00	1.00	-	-
		N462/N444	N437/N112	CC 200x120x8 (CC)	3.508	1.00	1.00	-	-
		N444/N112	N437/N112	CC 200x120x8 (CC)	3.508	1.00	1.00	-	-
		N438/N461	N438/N112	CC 200x120x8 (CC)	3.508	1.00	1.00	-	-
		N461/N443	N438/N112	CC 200x120x8 (CC)	3.508	1.00	1.00	-	-
		N443/N112	N438/N112	CC 200x120x8 (CC)	3.508	1.00	1.00	-	-
		N438/N460	N438/N69	CC 200x120x8 (CC)	3.508	1.00	1.00	-	-
		N460/N442	N438/N69	CC 200x120x8 (CC)	3.508	1.00	1.00	-	-
		N442/N69	N438/N69	CC 200x120x8 (CC)	3.508	1.00	1.00	-	-
		N439/N459	N439/N69	CC 200x120x8 (CC)	3.508	1.00	1.00	-	-
		N459/N441	N439/N69	CC 200x120x8 (CC)	3.508	1.00	1.00	-	-
		N441/N69	N439/N69	CC 200x120x8 (CC)	3.508	1.00	1.00	-	-
		N439/N458	N439/N26	CC 200x120x8 (CC)	3.508	1.00	1.00	-	-
		N458/N440	N439/N26	CC 200x120x8 (CC)	3.508	1.00	1.00	-	-

AJUNTAMENT D'OLERDOLA
Aquest document és una còpia simple del document electrònic original.

Codi Segur de Verificació:
62ffb294-fe9f-412a-95ff-e789b2359074
Origen: Administració
Identificador document: ES_L01081000_2026_28828185
Data d'impressió: 03/11/2026 13:44:57
Pàgina 88 de 247

SIGNATURES
1.- ESTEVE AYMERICH (R: J62755897), 27/07/2026 11:04

Listados

Cobriment de pista a Sant Pere Molanta (Olèrdola)

Fecha: 10/03/26

Descripción									
Material		Barra (Ni/Nf)	Pieza (Ni/Nf)	Perfil(Serie)	Longitud (m)	β_{xy}	β_{xz}	$Lb_{Sup.}$ (m)	$Lb_{Inf.}$ (m)
Tipo	Designación								
		N440/N26	N439/N26	CC 200x120x8 (CC)	3.508	1.00	1.00	-	-
		N440/N441	N440/N441	TC 100x5 (TC)	3.120	1.00	1.00	-	-
		N442/N443	N442/N443	TC 100x5 (TC)	3.120	1.00	1.00	-	-
		N444/N445	N444/N445	TC 100x5 (TC)	3.120	1.00	1.00	-	-
		N446/N447	N446/N447	TC 100x5 (TC)	3.120	1.00	1.00	-	-
		N448/N449	N448/N449	TC 100x5 (TC)	3.120	1.00	1.00	-	-
		N450/N451	N450/N451	TC 100x5 (TC)	3.120	1.00	1.00	-	-
		N452/N453	N452/N453	TC 100x5 (TC)	3.120	1.00	1.00	-	-
		N454/N455	N454/N455	TC 100x5 (TC)	3.120	1.00	1.00	-	-
		N456/N457	N456/N457	TC 100x5 (TC)	3.120	1.00	1.00	-	-
		N458/N459	N458/N459	TC 100x5 (TC)	1.560	1.00	1.00	-	-
		N460/N461	N460/N461	TC 100x5 (TC)	1.560	1.00	1.00	-	-
		N462/N463	N462/N463	TC 100x5 (TC)	1.560	1.00	1.00	-	-
		N464/N465	N464/N465	TC 100x5 (TC)	1.560	1.00	1.00	-	-
		N466/N467	N466/N467	TC 100x5 (TC)	1.560	1.00	1.00	-	-
		N468/N469	N468/N469	TC 100x5 (TC)	1.560	1.00	1.00	-	-
		N470/N471	N470/N471	TC 100x5 (TC)	1.560	1.00	1.00	-	-
		N472/N473	N472/N473	TC 100x5 (TC)	1.560	1.00	1.00	-	-
		N474/N475	N474/N475	TC 100x5 (TC)	1.560	1.00	1.00	-	-
		N441/N442	N441/N442	TC 100x5 (TC)	1.560	1.00	1.00	-	-
		N459/N460	N459/N460	TC 100x5 (TC)	3.120	1.00	1.00	-	-
		N461/N462	N461/N462	TC 100x5 (TC)	3.120	1.00	1.00	-	-
		N463/N464	N463/N464	TC 100x5 (TC)	3.120	1.00	1.00	-	-
		N465/N466	N465/N466	TC 100x5 (TC)	3.120	1.00	1.00	-	-
		N467/N468	N467/N468	TC 100x5 (TC)	3.120	1.00	1.00	-	-
		N469/N470	N469/N470	TC 100x5 (TC)	3.120	1.00	1.00	-	-
		N471/N472	N471/N472	TC 100x5 (TC)	3.120	1.00	1.00	-	-
		N473/N474	N473/N474	TC 100x5 (TC)	3.120	1.00	1.00	-	-
		N455/N456	N455/N456	TC 100x5 (TC)	1.560	1.00	1.00	-	-
		N453/N454	N453/N454	TC 100x5 (TC)	1.560	1.00	1.00	-	-
		N451/N452	N451/N452	TC 100x5 (TC)	1.560	1.00	1.00	-	-
		N449/N450	N449/N450	TC 100x5 (TC)	1.560	1.00	1.00	-	-
		N447/N448	N447/N448	TC 100x5 (TC)	1.560	1.00	1.00	-	-
		N445/N446	N445/N446	TC 100x5 (TC)	1.560	1.00	1.00	-	-
		N443/N444	N443/N444	TC 100x5 (TC)	1.560	1.00	1.00	-	-
		N1/N44	N1/N44	TC 100x5 (TC)	4.680	1.00	1.00	-	-
		N44/N87	N44/N87	TC 100x5 (TC)	4.680	1.00	1.00	-	-
		N87/N130	N87/N130	TC 100x5 (TC)	4.680	1.00	1.00	-	-
		N130/N173	N130/N173	TC 100x5 (TC)	4.680	1.00	1.00	-	-
		N173/N216	N173/N216	TC 100x5 (TC)	4.680	1.00	1.00	-	-
		N216/N259	N216/N259	TC 100x5 (TC)	4.680	1.00	1.00	-	-
		N259/N302	N259/N302	TC 100x5 (TC)	4.680	1.00	1.00	-	-
		N302/N345	N302/N345	TC 100x5 (TC)	4.680	1.00	1.00	-	-
		N345/N388	N345/N388	TC 100x5 (TC)	4.680	1.00	1.00	-	-
		N350/N393	N350/N393	TC 100x5 (TC)	4.680	1.00	1.00	-	-

AJUNTAMENT D'OLERDOLA
Aquest document és una còpia simple del document electrònic original.

Codi Segur de Verificació:
62ffb294-fe9f-412a-95ff-e789b2359074
Origen: Administració
Identificador document: ES_L01081000_2026_28828185
Data d'impressió: 03/11/2026 13:44:57
Pàgina 89 de 247

SIGNATURES
1.- ESTEVE AYMERICH (R: J62755897), 27/07/2026 11:04

Listados

Cobriment de pista a Sant Pere Molanta (Olèrdola)

Fecha: 10/03/26

Descripción									
Material		Barra (Ni/Nf)	Pieza (Ni/Nf)	Perfil(Serie)	Longitud (m)	β_{xy}	β_{xz}	$Lb_{Sup.}$ (m)	$Lb_{Inf.}$ (m)
Tipo	Designación								
		N307/N350	N307/N350	TC 100x5 (TC)	4.680	1.00	1.00	-	-
		N264/N307	N264/N307	TC 100x5 (TC)	4.680	1.00	1.00	-	-
		N221/N264	N221/N264	TC 100x5 (TC)	4.680	1.00	1.00	-	-
		N178/N221	N178/N221	TC 100x5 (TC)	4.680	1.00	1.00	-	-
		N135/N178	N135/N178	TC 100x5 (TC)	4.680	1.00	1.00	-	-
		N92/N135	N92/N135	TC 100x5 (TC)	4.680	1.00	1.00	-	-
		N49/N92	N49/N92	TC 100x5 (TC)	4.680	1.00	1.00	-	-
		N6/N49	N6/N49	TC 100x5 (TC)	4.680	1.00	1.00	-	-
		N11/N54	N11/N54	TC 100x5 (TC)	4.680	1.00	1.00	-	-
		N54/N97	N54/N97	TC 100x5 (TC)	4.680	1.00	1.00	-	-
		N97/N140	N97/N140	TC 100x5 (TC)	4.680	1.00	1.00	-	-
		N140/N183	N140/N183	TC 100x5 (TC)	4.680	1.00	1.00	-	-
		N183/N226	N183/N226	TC 100x5 (TC)	4.680	1.00	1.00	-	-
		N226/N269	N226/N269	TC 100x5 (TC)	4.680	1.00	1.00	-	-
		N269/N312	N269/N312	TC 100x5 (TC)	4.680	1.00	1.00	-	-
		N312/N355	N312/N355	TC 100x5 (TC)	4.680	1.00	1.00	-	-
		N355/N398	N355/N398	TC 100x5 (TC)	4.680	1.00	1.00	-	-
		N486/N487	N486/N487	TC 100x5 (TC)	4.680	1.00	1.00	-	-
		N487/N488	N487/N488	TC 100x5 (TC)	4.680	1.00	1.00	-	-
		N488/N489	N488/N489	TC 100x5 (TC)	4.680	1.00	1.00	-	-
		N489/N490	N489/N490	TC 100x5 (TC)	4.680	1.00	1.00	-	-
		N490/N491	N490/N491	TC 100x5 (TC)	4.680	1.00	1.00	-	-
		N491/N492	N491/N492	TC 100x5 (TC)	4.680	1.00	1.00	-	-
		N492/N493	N492/N493	TC 100x5 (TC)	4.680	1.00	1.00	-	-
		N493/N494	N493/N494	TC 100x5 (TC)	4.680	1.00	1.00	-	-
		N494/N495	N494/N495	TC 100x5 (TC)	4.680	1.00	1.00	-	-
		N496/N497	N496/N497	TC 100x5 (TC)	4.680	1.00	1.00	-	-
		N497/N498	N497/N498	TC 100x5 (TC)	4.680	1.00	1.00	-	-
		N498/N499	N498/N499	TC 100x5 (TC)	4.680	1.00	1.00	-	-
		N499/N500	N499/N500	TC 100x5 (TC)	4.680	1.00	1.00	-	-
		N500/N501	N500/N501	TC 100x5 (TC)	4.680	1.00	1.00	-	-
		N501/N502	N501/N502	TC 100x5 (TC)	4.680	1.00	1.00	-	-
		N502/N503	N502/N503	TC 100x5 (TC)	4.680	1.00	1.00	-	-
		N503/N504	N503/N504	TC 100x5 (TC)	4.680	1.00	1.00	-	-
		N504/N505	N504/N505	TC 100x5 (TC)	4.680	1.00	1.00	-	-
		N506/N507	N506/N507	TC 100x5 (TC)	4.680	1.00	1.00	-	-
		N507/N508	N507/N508	TC 100x5 (TC)	4.680	1.00	1.00	-	-
		N508/N509	N508/N509	TC 100x5 (TC)	4.680	1.00	1.00	-	-
		N509/N510	N509/N510	TC 100x5 (TC)	4.680	1.00	1.00	-	-
		N510/N511	N510/N511	TC 100x5 (TC)	4.680	1.00	1.00	-	-
		N511/N512	N511/N512	TC 100x5 (TC)	4.680	1.00	1.00	-	-
		N512/N513	N512/N513	TC 100x5 (TC)	4.680	1.00	1.00	-	-
		N513/N514	N513/N514	TC 100x5 (TC)	4.680	1.00	1.00	-	-
		N514/N515	N514/N515	TC 100x5 (TC)	4.680	1.00	1.00	-	-
		N28/N71	N28/N71	CDC 90x5 (CDC)	4.680	1.00	1.00	-	-

AJUNTAMENT D'OLERDOLA
Aquest document és una còpia simple del document electrònic original.

Codi Segur de Verificació:
62ffb294-fe9f-412a-95ff-e789b2359074
Origen: Administració
Identificador document: ES_L01081000_2026_28828185
Data d'impressió: 03/11/2026 13:44:57
Pàgina 90 de 247

SIGNATURES
1.- ESTEVE AYMERICH (R: J62755897), 27/07/2026 11:04

Listados

Cobriment de pista a Sant Pere Molanta (Olèrdola)

Fecha: 10/03/26

Descripción									
Material		Barra (Ni/Nf)	Pieza (Ni/Nf)	Perfil(Serie)	Longitud (m)	β_{xy}	β_{xz}	$Lb_{Sup.}$ (m)	$Lb_{Inf.}$ (m)
Tipo	Designación								
		N71/N114	N71/N114	CDC 90x5 (CDC)	4.680	1.00	1.00	-	-
		N114/N157	N114/N157	CDC 90x5 (CDC)	4.680	1.00	1.00	-	-
		N157/N200	N157/N200	CDC 90x5 (CDC)	4.680	1.00	1.00	-	-
		N200/N243	N200/N243	CDC 90x5 (CDC)	4.680	1.00	1.00	-	-
		N243/N286	N243/N286	CDC 90x5 (CDC)	4.680	1.00	1.00	-	-
		N286/N329	N286/N329	CDC 90x5 (CDC)	4.680	1.00	1.00	-	-
		N329/N372	N329/N372	CDC 90x5 (CDC)	4.680	1.00	1.00	-	-
		N372/N415	N372/N415	CDC 90x5 (CDC)	4.680	1.00	1.00	-	-
		N43/N86	N43/N86	CDC 90x5 (CDC)	4.680	1.00	1.00	-	-
		N86/N129	N86/N129	CDC 90x5 (CDC)	4.680	1.00	1.00	-	-
		N129/N172	N129/N172	CDC 90x5 (CDC)	4.680	1.00	1.00	-	-
		N172/N215	N172/N215	CDC 90x5 (CDC)	4.680	1.00	1.00	-	-
		N215/N258	N215/N258	CDC 90x5 (CDC)	4.680	1.00	1.00	-	-
		N258/N301	N258/N301	CDC 90x5 (CDC)	4.680	1.00	1.00	-	-
		N301/N344	N301/N344	CDC 90x5 (CDC)	4.680	1.00	1.00	-	-
		N344/N387	N344/N387	CDC 90x5 (CDC)	4.680	1.00	1.00	-	-
		N387/N430	N387/N430	CDC 90x5 (CDC)	4.680	1.00	1.00	-	-
		N517/N516	N517/N516	CDC 90x5 (CDC)	4.680	1.00	1.00	-	-
		N518/N517	N518/N517	CDC 90x5 (CDC)	4.680	1.00	1.00	-	-
		N519/N518	N519/N518	CDC 90x5 (CDC)	4.680	1.00	1.00	-	-
		N520/N519	N520/N519	CDC 90x5 (CDC)	4.680	1.00	1.00	-	-
		N521/N520	N521/N520	CDC 90x5 (CDC)	4.680	1.00	1.00	-	-
		N522/N521	N522/N521	CDC 90x5 (CDC)	4.680	1.00	1.00	-	-
		N523/N522	N523/N522	CDC 90x5 (CDC)	4.680	1.00	1.00	-	-
		N524/N523	N524/N523	CDC 90x5 (CDC)	4.680	1.00	1.00	-	-

AJUNTAMENT D'OLERDOLA
Aquest document és una còpia simple del document electrònic original.

Codi Segur de Verificació:
62ffb294-fe9f-412a-95ff-e789b2359074
Origen: Administració
Identificador document: ES_L01081000_2026_28828185
Data d'impressió: 03/11/2026 13:44:57
Pàgina 91 de 247

SIGNATURES
1.- ESTEVE AYMERICH (R: J62755897), 27/07/2026 11:04

Listados

Cobriment de pista a Sant Pere Molanta (Olèrdola)

Fecha: 10/03/26

Descripción									
Material		Barra (Ni/Nf)	Pieza (Ni/Nf)	Perfil(Serie)	Longitud (m)	β_{xy}	β_{xz}	$Lb_{Sup.}$ (m)	$Lb_{Inf.}$ (m)
Tipo	Designación								
		N525/N524	N525/N524	CDC 90x5 (CDC)	4.680	1.00	1.00	-	-
		N527/N526	N527/N526	CDC 90x5 (CDC)	4.680	1.00	1.00	-	-
		N528/N527	N528/N527	CDC 90x5 (CDC)	4.680	1.00	1.00	-	-
		N529/N528	N529/N528	CDC 90x5 (CDC)	4.680	1.00	1.00	-	-
		N530/N529	N530/N529	CDC 90x5 (CDC)	4.680	1.00	1.00	-	-
		N531/N530	N531/N530	CDC 90x5 (CDC)	4.680	1.00	1.00	-	-
		N532/N531	N532/N531	CDC 90x5 (CDC)	4.680	1.00	1.00	-	-
		N533/N532	N533/N532	CDC 90x5 (CDC)	4.680	1.00	1.00	-	-
		N534/N533	N534/N533	CDC 90x5 (CDC)	4.680	1.00	1.00	-	-
		N535/N534	N535/N534	CDC 90x5 (CDC)	4.680	1.00	1.00	-	-
		N537/N536	N537/N536	CDC 90x5 (CDC)	4.680	1.00	1.00	-	-
		N538/N537	N538/N537	CDC 90x5 (CDC)	4.680	1.00	1.00	-	-
		N539/N538	N539/N538	CDC 90x5 (CDC)	4.680	1.00	1.00	-	-
		N540/N539	N540/N539	CDC 90x5 (CDC)	4.680	1.00	1.00	-	-
		N541/N540	N541/N540	CDC 90x5 (CDC)	4.680	1.00	1.00	-	-
		N542/N541	N542/N541	CDC 90x5 (CDC)	4.680	1.00	1.00	-	-
		N543/N542	N543/N542	CDC 90x5 (CDC)	4.680	1.00	1.00	-	-
		N544/N543	N544/N543	CDC 90x5 (CDC)	4.680	1.00	1.00	-	-
		N545/N544	N545/N544	CDC 90x5 (CDC)	4.680	1.00	1.00	-	-
		N547/N546	N547/N546	CDC 90x5 (CDC)	4.680	1.00	1.00	-	-
		N548/N547	N548/N547	CDC 90x5 (CDC)	4.680	1.00	1.00	-	-
		N549/N548	N549/N548	CDC 90x5 (CDC)	4.680	1.00	1.00	-	-
		N550/N549	N550/N549	CDC 90x5 (CDC)	4.680	1.00	1.00	-	-
		N551/N550	N551/N550	CDC 90x5 (CDC)	4.680	1.00	1.00	-	-
		N552/N551	N552/N551	CDC 90x5 (CDC)	4.680	1.00	1.00	-	-

AJUNTAMENT D'OLERDOLA
Aquest document és una còpia simple del document electrònic original.

DOCUMENT
DOCUMENT REGISTRE UNIFICAT ENTRADA
ÒRGAN
SERVEIS TECNICS
REGISTRE D'ENTRADA
E2026005054

Codi Segur de Verificació:
62ffb294-fe9f-412a-95ff-e789b2359074
Origen: Administració
Identificador document: ES_L01081000_2026_28828185
Data d'impressió: 03/11/2026 13:44:57
Pàgina 92 de 247

SIGNATURES
1.- ESTEVE AYMERICH (R: J62755897), 27/07/2026 11:04

Descripción									
Material		Barra (Ni/Nf)	Pieza (Ni/Nf)	Perfil(Serie)	Longitud (m)	β_{xy}	β_{xz}	$Lb_{Sup.}$ (m)	$Lb_{Inf.}$ (m)
Tipo	Designación								
		N553/N552	N553/N552	CDC 90x5 (CDC)	4.680	1.00	1.00	-	-
		N554/N553	N554/N553	CDC 90x5 (CDC)	4.680	1.00	1.00	-	-
		N555/N554	N555/N554	CDC 90x5 (CDC)	4.680	1.00	1.00	-	-
		N557/N556	N557/N556	CDC 90x5 (CDC)	4.680	1.00	1.00	-	-
		N558/N557	N558/N557	CDC 90x5 (CDC)	4.680	1.00	1.00	-	-
		N559/N558	N559/N558	CDC 90x5 (CDC)	4.680	1.00	1.00	-	-
		N560/N559	N560/N559	CDC 90x5 (CDC)	4.680	1.00	1.00	-	-
		N561/N560	N561/N560	CDC 90x5 (CDC)	4.680	1.00	1.00	-	-
		N562/N561	N562/N561	CDC 90x5 (CDC)	4.680	1.00	1.00	-	-
		N563/N562	N563/N562	CDC 90x5 (CDC)	4.680	1.00	1.00	-	-
		N564/N563	N564/N563	CDC 90x5 (CDC)	4.680	1.00	1.00	-	-
		N565/N564	N565/N564	CDC 90x5 (CDC)	4.680	1.00	1.00	-	-
		N567/N566	N567/N566	CDC 90x5 (CDC)	4.680	1.00	1.00	-	-
		N568/N567	N568/N567	CDC 90x5 (CDC)	4.680	1.00	1.00	-	-
		N569/N568	N569/N568	CDC 90x5 (CDC)	4.680	1.00	1.00	-	-
		N570/N569	N570/N569	CDC 90x5 (CDC)	4.680	1.00	1.00	-	-
		N571/N570	N571/N570	CDC 90x5 (CDC)	4.680	1.00	1.00	-	-
		N572/N571	N572/N571	CDC 90x5 (CDC)	4.680	1.00	1.00	-	-
		N573/N572	N573/N572	CDC 90x5 (CDC)	4.680	1.00	1.00	-	-
		N574/N573	N574/N573	CDC 90x5 (CDC)	4.680	1.00	1.00	-	-
		N575/N574	N575/N574	CDC 90x5 (CDC)	4.680	1.00	1.00	-	-
		N577/N576	N577/N576	CDC 90x5 (CDC)	4.680	1.00	1.00	-	-
		N578/N577	N578/N577	CDC 90x5 (CDC)	4.680	1.00	1.00	-	-
		N579/N578	N579/N578	CDC 90x5 (CDC)	4.680	1.00	1.00	-	-
		N580/N579	N580/N579	CDC 90x5 (CDC)	4.680	1.00	1.00	-	-

AJUNTAMENT D'OLERDOLA
Aquest document és una còpia simple del document electrònic original.

Codi Segur de Verificació:
62ffb294-fe9f-412a-95ff-e789b2359074
Origen: Administració
Identificador document: ES_L01081000_2026_28828185
Data d'impressió: 03/11/2026 13:44:57
Pàgina 93 de 247

SIGNATURES
1.- ESTEVE AYMERICH (R: J62755897), 27/07/2026 11:04

Listados

Cobriment de pista a Sant Pere Molanta (Olèrdola)

Fecha: 10/03/26

Descripción									
Material		Barra (Ni/Nf)	Pieza (Ni/Nf)	Perfil(Serie)	Longitud (m)	β_{xy}	β_{xz}	$Lb_{Sup.}$ (m)	$Lb_{Inf.}$ (m)
Tipo	Designación								
		N581/N580	N581/N580	CDC 90x5 (CDC)	4.680	1.00	1.00	-	-
		N582/N581	N582/N581	CDC 90x5 (CDC)	4.680	1.00	1.00	-	-
		N583/N582	N583/N582	CDC 90x5 (CDC)	4.680	1.00	1.00	-	-
		N584/N583	N584/N583	CDC 90x5 (CDC)	4.680	1.00	1.00	-	-
		N585/N584	N585/N584	CDC 90x5 (CDC)	4.680	1.00	1.00	-	-
		N587/N586	N587/N586	CDC 90x5 (CDC)	4.680	1.00	1.00	-	-
		N588/N587	N588/N587	CDC 90x5 (CDC)	4.680	1.00	1.00	-	-
		N589/N588	N589/N588	CDC 90x5 (CDC)	4.680	1.00	1.00	-	-
		N590/N589	N590/N589	CDC 90x5 (CDC)	4.680	1.00	1.00	-	-
		N591/N590	N591/N590	CDC 90x5 (CDC)	4.680	1.00	1.00	-	-
		N592/N591	N592/N591	CDC 90x5 (CDC)	4.680	1.00	1.00	-	-
		N593/N592	N593/N592	CDC 90x5 (CDC)	4.680	1.00	1.00	-	-
		N594/N593	N594/N593	CDC 90x5 (CDC)	4.680	1.00	1.00	-	-
		N595/N594	N595/N594	CDC 90x5 (CDC)	4.680	1.00	1.00	-	-
		N597/N596	N597/N596	CDC 90x5 (CDC)	4.680	1.00	1.00	-	-
		N598/N597	N598/N597	CDC 90x5 (CDC)	4.680	1.00	1.00	-	-
		N599/N598	N599/N598	CDC 90x5 (CDC)	4.680	1.00	1.00	-	-
		N600/N599	N600/N599	CDC 90x5 (CDC)	4.680	1.00	1.00	-	-
		N601/N600	N601/N600	CDC 90x5 (CDC)	4.680	1.00	1.00	-	-
		N602/N601	N602/N601	CDC 90x5 (CDC)	4.680	1.00	1.00	-	-
		N603/N602	N603/N602	CDC 90x5 (CDC)	4.680	1.00	1.00	-	-
		N604/N603	N604/N603	CDC 90x5 (CDC)	4.680	1.00	1.00	-	-
		N605/N604	N605/N604	CDC 90x5 (CDC)	4.680	1.00	1.00	-	-
		N607/N606	N607/N606	CDC 90x5 (CDC)	4.680	1.00	1.00	-	-
		N608/N607	N608/N607	CDC 90x5 (CDC)	4.680	1.00	1.00	-	-

AJUNTAMENT D'OLERDOLA
Aquest document és una còpia simple del document electrònic original.

Codi Segur de Verificació:
62ffb294-fe9f-412a-95ff-e789b2359074
Origen: Administració
Identificador document: ES_L01081000_2026_28828185
Data d'impressió: 03/11/2026 13:44:57
Pàgina 94 de 247

SIGNATURES
1.- ESTEVE AYMERICH (R: J62755897), 27/07/2026 11:04

Listados

Cobriment de pista a Sant Pere Molanta (Olèrdola)

Fecha: 10/03/26

Descripción									
Material		Barra (Ni/Nf)	Pieza (Ni/Nf)	Perfil(Serie)	Longitud (m)	β_{xy}	β_{xz}	$Lb_{Sup.}$ (m)	$Lb_{Inf.}$ (m)
Tipo	Designación								
		N609/N608	N609/N608	CDC 90x5 (CDC)	4.680	1.00	1.00	-	-
		N610/N609	N610/N609	CDC 90x5 (CDC)	4.680	1.00	1.00	-	-
		N611/N610	N611/N610	CDC 90x5 (CDC)	4.680	1.00	1.00	-	-
		N612/N611	N612/N611	CDC 90x5 (CDC)	4.680	1.00	1.00	-	-
		N613/N612	N613/N612	CDC 90x5 (CDC)	4.680	1.00	1.00	-	-
		N614/N613	N614/N613	CDC 90x5 (CDC)	4.680	1.00	1.00	-	-
		N615/N614	N615/N614	CDC 90x5 (CDC)	4.680	1.00	1.00	-	-
		N616/N43	N616/N43	CDC 90x5 (CDC)	2.100	1.00	1.00	-	-
		N617/N525	N617/N525	CDC 90x5 (CDC)	2.100	1.00	1.00	-	-
		N618/N535	N618/N535	CDC 90x5 (CDC)	2.100	1.00	1.00	-	-
		N619/N545	N619/N545	CDC 90x5 (CDC)	2.100	1.00	1.00	-	-
		N620/N555	N620/N555	CDC 90x5 (CDC)	2.100	1.00	1.00	-	-
		N621/N565	N621/N565	CDC 90x5 (CDC)	2.100	1.00	1.00	-	-
		N622/N575	N622/N575	CDC 90x5 (CDC)	2.100	1.00	1.00	-	-
		N623/N585	N623/N585	CDC 90x5 (CDC)	2.100	1.00	1.00	-	-
		N624/N595	N624/N595	CDC 90x5 (CDC)	2.100	1.00	1.00	-	-
		N625/N605	N625/N605	CDC 90x5 (CDC)	2.100	1.00	1.00	-	-
		N626/N615	N626/N615	CDC 90x5 (CDC)	2.100	1.00	1.00	-	-
		N627/N28	N627/N28	CDC 90x5 (CDC)	2.100	1.00	1.00	-	-
		N628/N11	N628/N11	TC 100x5 (TC)	2.100	1.00	1.00	-	-
		N629/N486	N629/N486	TC 100x5 (TC)	2.100	1.00	1.00	-	-
		N630/N496	N630/N496	TC 100x5 (TC)	2.100	1.00	1.00	-	-
		N631/N506	N631/N506	TC 100x5 (TC)	2.100	1.00	1.00	-	-
		N632/N6	N632/N6	TC 100x5 (TC)	2.100	1.00	1.00	-	-
		N633/N1	N633/N1	TC 100x5 (TC)	2.100	1.00	1.00	-	-
		N516/N387	N516/N387	CDC 90x5 (CDC)	5.136	1.00	1.00	-	-
		N517/N344	N517/N344	CDC 90x5 (CDC)	5.136	1.00	1.00	-	-
		N518/N301	N518/N301	CDC 90x5 (CDC)	5.136	1.00	1.00	-	-

AJUNTAMENT D'OLERDOLA
Aquest document és una còpia simple del document electrònic original.

Codi Segur de Verificació:
62ffb294-fe9f-412a-95ff-e789b2359074
Origen: Administració
Identificador document: ES_L01081000_2026_28828185
Data d'impressió: 03/11/2026 13:44:57
Pàgina 95 de 247

SIGNATURES
1.- ESTEVE AYMERICH (R: J62755897), 27/07/2026 11:04

Listados

Cobriment de pista a Sant Pere Molanta (Olèrdola)

Fecha: 10/03/26

Descripción									
Material		Barra (Ni/Nf)	Pieza (Ni/Nf)	Perfil(Serie)	Longitud (m)	β_{xy}	β_{xz}	$Lb_{Sup.}$ (m)	$Lb_{Inf.}$ (m)
Tipo	Designación								
		N519/N258	N519/N258	CDC 90x5 (CDC)	5.136	1.00	1.00	-	-
		N520/N215	N520/N215	CDC 90x5 (CDC)	5.136	1.00	1.00	-	-
		N521/N172	N521/N172	CDC 90x5 (CDC)	5.136	1.00	1.00	-	-
		N522/N129	N522/N129	CDC 90x5 (CDC)	5.136	1.00	1.00	-	-
		N523/N86	N523/N86	CDC 90x5 (CDC)	5.136	1.00	1.00	-	-
		N524/N43	N524/N43	CDC 90x5 (CDC)	5.136	1.00	1.00	-	-
		N534/N525	N534/N525	CDC 90x5 (CDC)	5.136	1.00	1.00	-	-
		N544/N535	N544/N535	CDC 90x5 (CDC)	5.136	1.00	1.00	-	-
		N554/N545	N554/N545	CDC 90x5 (CDC)	5.136	1.00	1.00	-	-
		N564/N555	N564/N555	CDC 90x5 (CDC)	5.136	1.00	1.00	-	-
		N574/N565	N574/N565	CDC 90x5 (CDC)	5.136	1.00	1.00	-	-
		N584/N575	N584/N575	CDC 90x5 (CDC)	5.136	1.00	1.00	-	-
		N594/N585	N594/N585	CDC 90x5 (CDC)	5.136	1.00	1.00	-	-
		N604/N595	N604/N595	CDC 90x5 (CDC)	5.136	1.00	1.00	-	-
		N614/N605	N614/N605	CDC 90x5 (CDC)	5.136	1.00	1.00	-	-
		N526/N517	N526/N517	CDC 90x5 (CDC)	5.136	1.00	1.00	-	-
		N536/N527	N536/N527	CDC 90x5 (CDC)	5.136	1.00	1.00	-	-
		N546/N537	N546/N537	CDC 90x5 (CDC)	5.136	1.00	1.00	-	-
		N556/N547	N556/N547	CDC 90x5 (CDC)	5.136	1.00	1.00	-	-
		N566/N557	N566/N557	CDC 90x5 (CDC)	5.136	1.00	1.00	-	-
		N576/N567	N576/N567	CDC 90x5 (CDC)	5.136	1.00	1.00	-	-
		N586/N577	N586/N577	CDC 90x5 (CDC)	5.136	1.00	1.00	-	-
		N596/N587	N596/N587	CDC 90x5 (CDC)	5.136	1.00	1.00	-	-
		N606/N597	N606/N597	CDC 90x5 (CDC)	5.136	1.00	1.00	-	-
		N415/N607	N415/N607	CDC 90x5 (CDC)	5.136	1.00	1.00	-	-
		N495/N355	N495/N355	TC 100x5 (TC)	5.072	1.00	1.00	-	-

AJUNTAMENT D'OLERDOLA
Aquest document és una còpia simple del document electrònic original.

Codi Segur de Verificació:
62ffb294-fe9f-412a-95ff-e789b2359074
Origen: Administració
Identificador document: ES_L01081000_2026_28828185
Data d'impressió: 03/11/2026 13:44:57
Pàgina 96 de 247

SIGNATURES
1.- ESTEVE AYMERICH (R: J62755897), 27/07/2026 11:04

Listados

Cobriment de pista a Sant Pere Molanta (Olèrdola)

Fecha: 10/03/26

Descripción									
Material		Barra (Ni/Nf)	Pieza (Ni/Nf)	Perfil(Serie)	Longitud (m)	β_{xy}	β_{xz}	$Lb_{Sup.}$ (m)	$Lb_{Inf.}$ (m)
Tipo	Designación								
		N505/N494	N505/N494	TC 100x5 (TC)	5.072	1.00	1.00	-	-
		N515/N504	N515/N504	TC 100x5 (TC)	5.072	1.00	1.00	-	-
		N394/N514	N394/N514	TC 100x5 (TC)	5.072	1.00	1.00	-	-
		N351/N513	N351/N513	TC 100x5 (TC)	5.072	1.00	1.00	-	-
		N308/N512	N308/N512	TC 100x5 (TC)	5.072	1.00	1.00	-	-
		N265/N511	N265/N511	TC 100x5 (TC)	5.072	1.00	1.00	-	-
		N222/N510	N222/N510	TC 100x5 (TC)	5.072	1.00	1.00	-	-
		N179/N509	N179/N509	TC 100x5 (TC)	5.072	1.00	1.00	-	-
		N136/N508	N136/N508	TC 100x5 (TC)	5.072	1.00	1.00	-	-
		N93/N507	N93/N507	TC 100x5 (TC)	5.072	1.00	1.00	-	-
		N50/N506	N50/N506	TC 100x5 (TC)	5.072	1.00	1.00	-	-
		N507/N496	N507/N496	TC 100x5 (TC)	5.072	1.00	1.00	-	-
		N497/N486	N497/N486	TC 100x5 (TC)	5.072	1.00	1.00	-	-
		N487/N11	N487/N11	TC 100x5 (TC)	5.072	1.00	1.00	-	-
		N71/N615	N71/N615	CDC 90x5 (CDC)	5.136	1.00	1.00	-	-
		N48/N45	N48/N45	TC 90x5 (TC)	2.433	1.00	1.00	-	-
		N45/N49	N45/N49	TC 90x5 (TC)	2.976	1.00	1.00	-	-
		N49/N46	N49/N46	TC 90x5 (TC)	2.431	1.00	1.00	-	-
		N50/N47	N50/N47	TC 125x5 (TC)	2.431	1.00	1.00	-	-
		N52/N51	N52/N51	TC 90x5 (TC)	2.286	1.00	1.00	-	-
		N52/N70	N52/N70	TC 90x5 (TC)	1.773	1.00	1.00	-	-
		N53/N70	N53/N70	TC 90x5 (TC)	2.120	1.00	1.00	-	-
		N53/N71	N53/N71	TC 90x5 (TC)	1.656	1.00	1.00	-	-
		N54/N71	N54/N71	TC 90x5 (TC)	1.981	1.00	1.00	-	-
		N54/N72	N54/N72	TC 90x5 (TC)	1.547	1.00	1.00	-	-
		N55/N72	N55/N72	TC 90x5 (TC)	1.850	1.00	1.00	-	-
		N55/N73	N55/N73	TC 90x5 (TC)	1.445	1.00	1.00	-	-
		N56/N73	N56/N73	TC 90x5 (TC)	1.728	1.00	1.00	-	-
		N56/N74	N56/N74	TC 90x5 (TC)	1.350	1.00	1.00	-	-
		N57/N74	N57/N74	TC 90x5 (TC)	1.615	1.00	1.00	-	-
		N57/N75	N57/N75	TC 90x5 (TC)	1.261	1.00	1.00	-	-
		N58/N75	N58/N75	TC 90x5 (TC)	1.508	1.00	1.00	-	-
		N58/N76	N58/N76	TC 90x5 (TC)	1.189	1.00	1.00	-	-
		N59/N76	N59/N76	TC 90x5 (TC)	1.408	1.00	1.00	-	-
		N59/N77	N59/N77	TC 90x5 (TC)	1.100	1.00	1.00	-	-
		N60/N77	N60/N77	TC 90x5 (TC)	1.324	1.00	1.00	-	-
		N60/N78	N60/N78	TC 90x5 (TC)	1.034	1.00	1.00	-	-
		N61/N78	N61/N78	TC 90x5 (TC)	1.217	1.00	1.00	-	-
		N61/N79	N61/N79	TC 90x5 (TC)	0.960	1.00	1.00	-	-
		N62/N79	N62/N79	TC 90x5 (TC)	1.148	1.00	1.00	-	-
		N62/N80	N62/N80	TC 90x5 (TC)	0.898	1.00	1.00	-	-
		N63/N80	N63/N80	TC 90x5 (TC)	1.073	1.00	1.00	-	-
		N63/N81	N63/N81	TC 90x5 (TC)	0.838	1.00	1.00	-	-
		N64/N81	N64/N81	TC 90x5 (TC)	1.002	1.00	1.00	-	-
		N64/N82	N64/N82	TC 90x5 (TC)	0.788	1.00	1.00	-	-

AJUNTAMENT D'OLERDOLA
Aquest document és una còpia simple del document electrònic original.

Codi Segur de Verificació:
62ffb294-fe9f-412a-95ff-e789b2359074
Origen: Administració
Identificador document: ES_L01081000_2026_28828185
Data d'impressió: 03/11/2026 13:44:57
Pàgina 97 de 247

SIGNATURES
1.- ESTEVE AYMERICH (R: J62755897), 27/07/2026 11:04

Listados

Cobriment de pista a Sant Pere Molanta (Olèrdola)

Fecha: 10/03/26

Descripción									
Material		Barra (Ni/Nf)	Pieza (Ni/Nf)	Perfil(Serie)	Longitud (m)	β_{xy}	β_{xz}	$Lb_{Sup.}$ (m)	$Lb_{Inf.}$ (m)
Tipo	Designación								
		N65/N82	N65/N82	TC 90x5 (TC)	0.935	1.00	1.00	-	-
		N65/N83	N65/N83	TC 90x5 (TC)	0.741	1.00	1.00	-	-
		N66/N83	N66/N83	TC 90x5 (TC)	0.873	1.00	1.00	-	-
		N66/N84	N66/N84	TC 90x5 (TC)	0.682	1.00	1.00	-	-
		N67/N84	N67/N84	TC 90x5 (TC)	0.815	1.00	1.00	-	-
		N67/N85	N67/N85	TC 90x5 (TC)	0.637	1.00	1.00	-	-
		N68/N85	N68/N85	TC 90x5 (TC)	0.762	1.00	1.00	-	-
		N68/N86	N68/N86	TC 90x5 (TC)	0.781	1.00	1.00	-	-
		N69/N86	N69/N86	CDC 90x5 (CDC)	0.475	1.00	1.00	-	-
		N91/N88	N91/N88	TC 90x5 (TC)	2.433	1.00	1.00	-	-
		N88/N92	N88/N92	TC 90x5 (TC)	2.976	1.00	1.00	-	-
		N92/N89	N92/N89	TC 90x5 (TC)	2.431	1.00	1.00	-	-
		N93/N90	N93/N90	TC 125x5 (TC)	2.431	1.00	1.00	-	-
		N95/N94	N95/N94	TC 90x5 (TC)	2.286	1.00	1.00	-	-
		N95/N113	N95/N113	TC 90x5 (TC)	1.773	1.00	1.00	-	-
		N96/N113	N96/N113	TC 90x5 (TC)	2.120	1.00	1.00	-	-
		N96/N114	N96/N114	TC 90x5 (TC)	1.656	1.00	1.00	-	-
		N97/N114	N97/N114	TC 90x5 (TC)	1.981	1.00	1.00	-	-
		N97/N115	N97/N115	TC 90x5 (TC)	1.547	1.00	1.00	-	-
		N98/N115	N98/N115	TC 90x5 (TC)	1.850	1.00	1.00	-	-
		N98/N116	N98/N116	TC 90x5 (TC)	1.445	1.00	1.00	-	-
		N99/N116	N99/N116	TC 90x5 (TC)	1.728	1.00	1.00	-	-
		N99/N117	N99/N117	TC 90x5 (TC)	1.350	1.00	1.00	-	-
		N100/N117	N100/N117	TC 90x5 (TC)	1.615	1.00	1.00	-	-
		N100/N118	N100/N118	TC 90x5 (TC)	1.261	1.00	1.00	-	-
		N101/N118	N101/N118	TC 90x5 (TC)	1.508	1.00	1.00	-	-
		N101/N119	N101/N119	TC 90x5 (TC)	1.189	1.00	1.00	-	-
		N102/N119	N102/N119	TC 90x5 (TC)	1.408	1.00	1.00	-	-
		N102/N120	N102/N120	TC 90x5 (TC)	1.100	1.00	1.00	-	-
		N103/N120	N103/N120	TC 90x5 (TC)	1.324	1.00	1.00	-	-
		N103/N121	N103/N121	TC 90x5 (TC)	1.034	1.00	1.00	-	-
		N104/N121	N104/N121	TC 90x5 (TC)	1.217	1.00	1.00	-	-
		N104/N122	N104/N122	TC 90x5 (TC)	0.960	1.00	1.00	-	-
		N105/N122	N105/N122	TC 90x5 (TC)	1.148	1.00	1.00	-	-
		N105/N123	N105/N123	TC 90x5 (TC)	0.898	1.00	1.00	-	-
		N106/N123	N106/N123	TC 90x5 (TC)	1.073	1.00	1.00	-	-
		N106/N124	N106/N124	TC 90x5 (TC)	0.838	1.00	1.00	-	-
		N107/N124	N107/N124	TC 90x5 (TC)	1.002	1.00	1.00	-	-
		N107/N125	N107/N125	TC 90x5 (TC)	0.788	1.00	1.00	-	-
		N108/N125	N108/N125	TC 90x5 (TC)	0.935	1.00	1.00	-	-
		N108/N126	N108/N126	TC 90x5 (TC)	0.741	1.00	1.00	-	-
		N109/N126	N109/N126	TC 90x5 (TC)	0.873	1.00	1.00	-	-
		N109/N127	N109/N127	TC 90x5 (TC)	0.682	1.00	1.00	-	-
		N110/N127	N110/N127	TC 90x5 (TC)	0.815	1.00	1.00	-	-
		N110/N128	N110/N128	TC 90x5 (TC)	0.637	1.00	1.00	-	-

AJUNTAMENT D'OLERDOLA
Aquest document és una còpia simple del document electrònic original.

Codi Segur de Verificació:
62ffb294-fe9f-412a-95ff-e789b2359074
Origen: Administració
Identificador document: ES_L01081000_2026_28828185
Data d'impressió: 03/11/2026 13:44:57
Pàgina 98 de 247

SIGNATURES
1.- ESTEVE AYMERICH (R: J62755897), 27/07/2026 11:04

Listados

Cobriment de pista a Sant Pere Molanta (Olèrdola)

Fecha: 10/03/26

Descripción									
Material		Barra (Ni/Nf)	Pieza (Ni/Nf)	Perfil(Serie)	Longitud (m)	β_{xy}	β_{xz}	$Lb_{Sup.}$ (m)	$Lb_{Inf.}$ (m)
Tipo	Designación								
		N111/N128	N111/N128	TC 90x5 (TC)	0.762	1.00	1.00	-	-
		N111/N129	N111/N129	TC 90x5 (TC)	0.781	1.00	1.00	-	-
		N112/N129	N112/N129	CDC 90x5 (CDC)	0.475	1.00	1.00	-	-
		N134/N131	N134/N131	TC 90x5 (TC)	2.433	1.00	1.00	-	-
		N131/N135	N131/N135	TC 90x5 (TC)	2.976	1.00	1.00	-	-
		N135/N132	N135/N132	TC 90x5 (TC)	2.431	1.00	1.00	-	-
		N136/N133	N136/N133	TC 125x5 (TC)	2.431	1.00	1.00	-	-
		N138/N137	N138/N137	TC 90x5 (TC)	2.286	1.00	1.00	-	-
		N138/N156	N138/N156	TC 90x5 (TC)	1.773	1.00	1.00	-	-
		N139/N156	N139/N156	TC 90x5 (TC)	2.120	1.00	1.00	-	-
		N139/N157	N139/N157	TC 90x5 (TC)	1.656	1.00	1.00	-	-
		N140/N157	N140/N157	TC 90x5 (TC)	1.981	1.00	1.00	-	-
		N140/N158	N140/N158	TC 90x5 (TC)	1.547	1.00	1.00	-	-
		N141/N158	N141/N158	TC 90x5 (TC)	1.850	1.00	1.00	-	-
		N141/N159	N141/N159	TC 90x5 (TC)	1.445	1.00	1.00	-	-
		N142/N159	N142/N159	TC 90x5 (TC)	1.728	1.00	1.00	-	-
		N142/N160	N142/N160	TC 90x5 (TC)	1.350	1.00	1.00	-	-
		N143/N160	N143/N160	TC 90x5 (TC)	1.615	1.00	1.00	-	-
		N143/N161	N143/N161	TC 90x5 (TC)	1.261	1.00	1.00	-	-
		N144/N161	N144/N161	TC 90x5 (TC)	1.508	1.00	1.00	-	-
		N144/N162	N144/N162	TC 90x5 (TC)	1.189	1.00	1.00	-	-
		N145/N162	N145/N162	TC 90x5 (TC)	1.408	1.00	1.00	-	-
		N145/N163	N145/N163	TC 90x5 (TC)	1.100	1.00	1.00	-	-
		N146/N163	N146/N163	TC 90x5 (TC)	1.324	1.00	1.00	-	-
		N146/N164	N146/N164	TC 90x5 (TC)	1.034	1.00	1.00	-	-
		N147/N164	N147/N164	TC 90x5 (TC)	1.217	1.00	1.00	-	-
		N147/N165	N147/N165	TC 90x5 (TC)	0.960	1.00	1.00	-	-
		N148/N165	N148/N165	TC 90x5 (TC)	1.148	1.00	1.00	-	-
		N148/N166	N148/N166	TC 90x5 (TC)	0.898	1.00	1.00	-	-
		N149/N166	N149/N166	TC 90x5 (TC)	1.073	1.00	1.00	-	-
		N149/N167	N149/N167	TC 90x5 (TC)	0.838	1.00	1.00	-	-
		N150/N167	N150/N167	TC 90x5 (TC)	1.002	1.00	1.00	-	-
		N150/N168	N150/N168	TC 90x5 (TC)	0.788	1.00	1.00	-	-
		N151/N168	N151/N168	TC 90x5 (TC)	0.935	1.00	1.00	-	-
		N151/N169	N151/N169	TC 90x5 (TC)	0.741	1.00	1.00	-	-
		N152/N169	N152/N169	TC 90x5 (TC)	0.873	1.00	1.00	-	-
		N152/N170	N152/N170	TC 90x5 (TC)	0.682	1.00	1.00	-	-
		N153/N170	N153/N170	TC 90x5 (TC)	0.815	1.00	1.00	-	-
		N153/N171	N153/N171	TC 90x5 (TC)	0.637	1.00	1.00	-	-
		N154/N171	N154/N171	TC 90x5 (TC)	0.762	1.00	1.00	-	-
		N154/N172	N154/N172	TC 90x5 (TC)	0.781	1.00	1.00	-	-
		N155/N172	N155/N172	CDC 90x5 (CDC)	0.475	1.00	1.00	-	-
		N177/N174	N177/N174	TC 90x5 (TC)	2.433	1.00	1.00	-	-
		N174/N178	N174/N178	TC 90x5 (TC)	2.976	1.00	1.00	-	-

AJUNTAMENT D'OLERDOLA
Aquest document és una còpia simple del document electrònic original.

Codi Segur de Verificació:
62ffb294-fe9f-412a-95ff-e789b2359074
Origen: Administració
Identificador document: ES_L01081000_2026_28828185
Data d'impressió: 03/11/2026 13:44:57
Pàgina 99 de 247

SIGNATURES
1.- ESTEVE AYMERICH (R: J62755897), 27/07/2026 11:04

Listados

Cobriment de pista a Sant Pere Molanta (Olèrdola)

Fecha: 10/03/26

Descripción									
Material		Barra (Ni/Nf)	Pieza (Ni/Nf)	Perfil(Serie)	Longitud (m)	β_{xy}	β_{xz}	$Lb_{Sup.}$ (m)	$Lb_{Inf.}$ (m)
Tipo	Designación								
		N178/N175	N178/N175	TC 90x5 (TC)	2.431	1.00	1.00	-	-
		N179/N176	N179/N176	TC 125x5 (TC)	2.431	1.00	1.00	-	-
		N181/N180	N181/N180	TC 90x5 (TC)	2.286	1.00	1.00	-	-
		N181/N199	N181/N199	TC 90x5 (TC)	1.773	1.00	1.00	-	-
		N182/N199	N182/N199	TC 90x5 (TC)	2.120	1.00	1.00	-	-
		N182/N200	N182/N200	TC 90x5 (TC)	1.656	1.00	1.00	-	-
		N183/N200	N183/N200	TC 90x5 (TC)	1.981	1.00	1.00	-	-
		N183/N201	N183/N201	TC 90x5 (TC)	1.547	1.00	1.00	-	-
		N184/N201	N184/N201	TC 90x5 (TC)	1.850	1.00	1.00	-	-
		N184/N202	N184/N202	TC 90x5 (TC)	1.445	1.00	1.00	-	-
		N185/N202	N185/N202	TC 90x5 (TC)	1.728	1.00	1.00	-	-
		N185/N203	N185/N203	TC 90x5 (TC)	1.350	1.00	1.00	-	-
		N186/N203	N186/N203	TC 90x5 (TC)	1.615	1.00	1.00	-	-
		N186/N204	N186/N204	TC 90x5 (TC)	1.261	1.00	1.00	-	-
		N187/N204	N187/N204	TC 90x5 (TC)	1.508	1.00	1.00	-	-
		N187/N205	N187/N205	TC 90x5 (TC)	1.189	1.00	1.00	-	-
		N188/N205	N188/N205	TC 90x5 (TC)	1.408	1.00	1.00	-	-
		N188/N206	N188/N206	TC 90x5 (TC)	1.100	1.00	1.00	-	-
		N189/N206	N189/N206	TC 90x5 (TC)	1.324	1.00	1.00	-	-
		N189/N207	N189/N207	TC 90x5 (TC)	1.034	1.00	1.00	-	-
		N190/N207	N190/N207	TC 90x5 (TC)	1.217	1.00	1.00	-	-
		N190/N208	N190/N208	TC 90x5 (TC)	0.960	1.00	1.00	-	-
		N191/N208	N191/N208	TC 90x5 (TC)	1.148	1.00	1.00	-	-
		N191/N209	N191/N209	TC 90x5 (TC)	0.898	1.00	1.00	-	-
		N192/N209	N192/N209	TC 90x5 (TC)	1.073	1.00	1.00	-	-
		N192/N210	N192/N210	TC 90x5 (TC)	0.838	1.00	1.00	-	-
		N193/N210	N193/N210	TC 90x5 (TC)	1.002	1.00	1.00	-	-
		N193/N211	N193/N211	TC 90x5 (TC)	0.788	1.00	1.00	-	-
		N194/N211	N194/N211	TC 90x5 (TC)	0.935	1.00	1.00	-	-
		N194/N212	N194/N212	TC 90x5 (TC)	0.741	1.00	1.00	-	-
		N195/N212	N195/N212	TC 90x5 (TC)	0.873	1.00	1.00	-	-
		N195/N213	N195/N213	TC 90x5 (TC)	0.682	1.00	1.00	-	-
		N196/N213	N196/N213	TC 90x5 (TC)	0.815	1.00	1.00	-	-
		N196/N214	N196/N214	TC 90x5 (TC)	0.637	1.00	1.00	-	-
		N197/N214	N197/N214	TC 90x5 (TC)	0.762	1.00	1.00	-	-
		N197/N215	N197/N215	TC 90x5 (TC)	0.781	1.00	1.00	-	-
		N198/N215	N198/N215	CDC 90x5 (CDC)	0.475	1.00	1.00	-	-
		N220/N217	N220/N217	TC 90x5 (TC)	2.433	1.00	1.00	-	-
		N217/N221	N217/N221	TC 90x5 (TC)	2.976	1.00	1.00	-	-
		N221/N218	N221/N218	TC 90x5 (TC)	2.431	1.00	1.00	-	-
		N222/N219	N222/N219	TC 125x5 (TC)	2.431	1.00	1.00	-	-
		N224/N223	N224/N223	TC 90x5 (TC)	2.286	1.00	1.00	-	-
		N224/N242	N224/N242	TC 90x5 (TC)	1.773	1.00	1.00	-	-
		N225/N242	N225/N242	TC 90x5 (TC)	2.120	1.00	1.00	-	-
		N225/N243	N225/N243	TC 90x5 (TC)	1.656	1.00	1.00	-	-

AJUNTAMENT D'OLERDOLA
Aquest document és una còpia simple del document electrònic original.

Codi Segur de Verificació:
62ffb294-fe9f-412a-95ff-e789b2359074
Origen: Administració
Identificador document: ES_L01081000_2026_28828185
Data d'impressió: 03/11/2026 13:44:57
Pàgina 100 de 247

SIGNATURES
1.- ESTEVE AYMERICH (R: J62755897), 27/07/2026 11:04

Listados

Cobriment de pista a Sant Pere Molanta (Olèrdola)

Fecha: 10/03/26

Descripción									
Material		Barra (Ni/Nf)	Pieza (Ni/Nf)	Perfil(Serie)	Longitud (m)	β_{xy}	β_{xz}	$Lb_{Sup.}$ (m)	$Lb_{Inf.}$ (m)
Tipo	Designación								
		N226/N243	N226/N243	TC 90x5 (TC)	1.981	1.00	1.00	-	-
		N226/N244	N226/N244	TC 90x5 (TC)	1.547	1.00	1.00	-	-
		N227/N244	N227/N244	TC 90x5 (TC)	1.850	1.00	1.00	-	-
		N227/N245	N227/N245	TC 90x5 (TC)	1.445	1.00	1.00	-	-
		N228/N245	N228/N245	TC 90x5 (TC)	1.728	1.00	1.00	-	-
		N228/N246	N228/N246	TC 90x5 (TC)	1.350	1.00	1.00	-	-
		N229/N246	N229/N246	TC 90x5 (TC)	1.615	1.00	1.00	-	-
		N229/N247	N229/N247	TC 90x5 (TC)	1.261	1.00	1.00	-	-
		N230/N247	N230/N247	TC 90x5 (TC)	1.508	1.00	1.00	-	-
		N230/N248	N230/N248	TC 90x5 (TC)	1.189	1.00	1.00	-	-
		N231/N248	N231/N248	TC 90x5 (TC)	1.408	1.00	1.00	-	-
		N231/N249	N231/N249	TC 90x5 (TC)	1.100	1.00	1.00	-	-
		N232/N249	N232/N249	TC 90x5 (TC)	1.324	1.00	1.00	-	-
		N232/N250	N232/N250	TC 90x5 (TC)	1.034	1.00	1.00	-	-
		N233/N250	N233/N250	TC 90x5 (TC)	1.217	1.00	1.00	-	-
		N233/N251	N233/N251	TC 90x5 (TC)	0.960	1.00	1.00	-	-
		N234/N251	N234/N251	TC 90x5 (TC)	1.148	1.00	1.00	-	-
		N234/N252	N234/N252	TC 90x5 (TC)	0.898	1.00	1.00	-	-
		N235/N252	N235/N252	TC 90x5 (TC)	1.073	1.00	1.00	-	-
		N235/N253	N235/N253	TC 90x5 (TC)	0.838	1.00	1.00	-	-
		N236/N253	N236/N253	TC 90x5 (TC)	1.002	1.00	1.00	-	-
		N236/N254	N236/N254	TC 90x5 (TC)	0.788	1.00	1.00	-	-
		N237/N254	N237/N254	TC 90x5 (TC)	0.935	1.00	1.00	-	-
		N237/N255	N237/N255	TC 90x5 (TC)	0.741	1.00	1.00	-	-
		N238/N255	N238/N255	TC 90x5 (TC)	0.873	1.00	1.00	-	-
		N238/N256	N238/N256	TC 90x5 (TC)	0.682	1.00	1.00	-	-
		N239/N256	N239/N256	TC 90x5 (TC)	0.815	1.00	1.00	-	-
		N239/N257	N239/N257	TC 90x5 (TC)	0.637	1.00	1.00	-	-
		N240/N257	N240/N257	TC 90x5 (TC)	0.762	1.00	1.00	-	-
		N240/N258	N240/N258	TC 90x5 (TC)	0.781	1.00	1.00	-	-
		N241/N258	N241/N258	CDC 90x5 (CDC)	0.475	1.00	1.00	-	-
		N263/N260	N263/N260	TC 90x5 (TC)	2.433	1.00	1.00	-	-
		N260/N264	N260/N264	TC 90x5 (TC)	2.976	1.00	1.00	-	-
		N264/N261	N264/N261	TC 90x5 (TC)	2.431	1.00	1.00	-	-
		N265/N262	N265/N262	TC 125x5 (TC)	2.431	1.00	1.00	-	-
		N267/N266	N267/N266	TC 90x5 (TC)	2.286	1.00	1.00	-	-
		N267/N285	N267/N285	TC 90x5 (TC)	1.773	1.00	1.00	-	-
		N268/N285	N268/N285	TC 90x5 (TC)	2.120	1.00	1.00	-	-
		N268/N286	N268/N286	TC 90x5 (TC)	1.656	1.00	1.00	-	-
		N269/N286	N269/N286	TC 90x5 (TC)	1.981	1.00	1.00	-	-
		N269/N287	N269/N287	TC 90x5 (TC)	1.547	1.00	1.00	-	-
		N270/N287	N270/N287	TC 90x5 (TC)	1.850	1.00	1.00	-	-
		N270/N288	N270/N288	TC 90x5 (TC)	1.445	1.00	1.00	-	-
		N271/N288	N271/N288	TC 90x5 (TC)	1.728	1.00	1.00	-	-
		N271/N289	N271/N289	TC 90x5 (TC)	1.350	1.00	1.00	-	-

AJUNTAMENT D'OLERDOLA
Aquest document és una còpia simple del document electrònic original.

DOCUMENT
DOCUMENT REGISTRE UNIFICAT ENTRADA
ÒRGAN
SERVEIS TECNICS
REGISTRE D'ENTRADA
E2026005054
Codi Segur de Verificació:
62ffb294-fe9f-412a-95ff-e789b2359074
Origen: Administració
Identificador document: ES_L01081000_2026_28828185
Data d'impressió: 03/11/2026 13:44:57
Pàgina 101 de 247
SIGNATURES
1.- ESTEVE AYMERICH (R: J62755897), 27/07/2026 11:04

Descripción									
Material		Barra (Ni/Nf)	Pieza (Ni/Nf)	Perfil(Serie)	Longitud (m)	β_{xy}	β_{xz}	$Lb_{Sup.}$ (m)	$Lb_{Inf.}$ (m)
Tipo	Designación								
		N272/N289	N272/N289	TC 90x5 (TC)	1.615	1.00	1.00	-	-
		N272/N290	N272/N290	TC 90x5 (TC)	1.261	1.00	1.00	-	-
		N273/N290	N273/N290	TC 90x5 (TC)	1.508	1.00	1.00	-	-
		N273/N291	N273/N291	TC 90x5 (TC)	1.189	1.00	1.00	-	-
		N274/N291	N274/N291	TC 90x5 (TC)	1.408	1.00	1.00	-	-
		N274/N292	N274/N292	TC 90x5 (TC)	1.100	1.00	1.00	-	-
		N275/N292	N275/N292	TC 90x5 (TC)	1.324	1.00	1.00	-	-
		N275/N293	N275/N293	TC 90x5 (TC)	1.034	1.00	1.00	-	-
		N276/N293	N276/N293	TC 90x5 (TC)	1.217	1.00	1.00	-	-
		N276/N294	N276/N294	TC 90x5 (TC)	0.960	1.00	1.00	-	-
		N277/N294	N277/N294	TC 90x5 (TC)	1.148	1.00	1.00	-	-
		N277/N295	N277/N295	TC 90x5 (TC)	0.898	1.00	1.00	-	-
		N278/N295	N278/N295	TC 90x5 (TC)	1.073	1.00	1.00	-	-
		N278/N296	N278/N296	TC 90x5 (TC)	0.838	1.00	1.00	-	-
		N279/N296	N279/N296	TC 90x5 (TC)	1.002	1.00	1.00	-	-
		N279/N297	N279/N297	TC 90x5 (TC)	0.788	1.00	1.00	-	-
		N280/N297	N280/N297	TC 90x5 (TC)	0.935	1.00	1.00	-	-
		N280/N298	N280/N298	TC 90x5 (TC)	0.741	1.00	1.00	-	-
		N281/N298	N281/N298	TC 90x5 (TC)	0.873	1.00	1.00	-	-
		N281/N299	N281/N299	TC 90x5 (TC)	0.682	1.00	1.00	-	-
		N282/N299	N282/N299	TC 90x5 (TC)	0.815	1.00	1.00	-	-
		N282/N300	N282/N300	TC 90x5 (TC)	0.637	1.00	1.00	-	-
		N283/N300	N283/N300	TC 90x5 (TC)	0.762	1.00	1.00	-	-
		N283/N301	N283/N301	TC 90x5 (TC)	0.781	1.00	1.00	-	-
		N284/N301	N284/N301	CDC 90x5 (CDC)	0.475	1.00	1.00	-	-
		N306/N303	N306/N303	TC 90x5 (TC)	2.433	1.00	1.00	-	-
		N303/N307	N303/N307	TC 90x5 (TC)	2.976	1.00	1.00	-	-
		N307/N304	N307/N304	TC 90x5 (TC)	2.431	1.00	1.00	-	-
		N308/N305	N308/N305	TC 125x5 (TC)	2.431	1.00	1.00	-	-
		N310/N309	N310/N309	TC 90x5 (TC)	2.286	1.00	1.00	-	-
		N310/N328	N310/N328	TC 90x5 (TC)	1.773	1.00	1.00	-	-
		N311/N328	N311/N328	TC 90x5 (TC)	2.120	1.00	1.00	-	-
		N311/N329	N311/N329	TC 90x5 (TC)	1.656	1.00	1.00	-	-
		N312/N329	N312/N329	TC 90x5 (TC)	1.981	1.00	1.00	-	-
		N312/N330	N312/N330	TC 90x5 (TC)	1.547	1.00	1.00	-	-
		N313/N330	N313/N330	TC 90x5 (TC)	1.850	1.00	1.00	-	-
		N313/N331	N313/N331	TC 90x5 (TC)	1.445	1.00	1.00	-	-
		N314/N331	N314/N331	TC 90x5 (TC)	1.728	1.00	1.00	-	-
		N314/N332	N314/N332	TC 90x5 (TC)	1.350	1.00	1.00	-	-
		N315/N332	N315/N332	TC 90x5 (TC)	1.615	1.00	1.00	-	-
		N315/N333	N315/N333	TC 90x5 (TC)	1.261	1.00	1.00	-	-
		N316/N333	N316/N333	TC 90x5 (TC)	1.508	1.00	1.00	-	-
		N316/N334	N316/N334	TC 90x5 (TC)	1.189	1.00	1.00	-	-
		N317/N334	N317/N334	TC 90x5 (TC)	1.408	1.00	1.00	-	-
		N317/N335	N317/N335	TC 90x5 (TC)	1.100	1.00	1.00	-	-

AJUNTAMENT D'OLERDOLA
Aquest document és una còpia simple del document electrònic original.

Codi Segur de Verificació:
62ffb294-fe9f-412a-95ff-e789b2359074
Origen: Administració
Identificador document: ES_L01081000_2026_28828185
Data d'impressió: 03/11/2026 13:44:57
Pàgina 102 de 247

SIGNATURES
1.- ESTEVE AYMERICH (R: J62755897), 27/07/2026 11:04



Listados

Cobriment de pista a Sant Pere Molanta (Olèrdola)

Fecha: 10/03/26

Descripción									
Material		Barra (Ni/Nf)	Pieza (Ni/Nf)	Perfil(Serie)	Longitud (m)	β_{xy}	β_{xz}	$Lb_{Sup.}$ (m)	$Lb_{Inf.}$ (m)
Tipo	Designación								
		N318/N335	N318/N335	TC 90x5 (TC)	1.324	1.00	1.00	-	-
		N318/N336	N318/N336	TC 90x5 (TC)	1.034	1.00	1.00	-	-
		N319/N336	N319/N336	TC 90x5 (TC)	1.217	1.00	1.00	-	-
		N319/N337	N319/N337	TC 90x5 (TC)	0.960	1.00	1.00	-	-
		N320/N337	N320/N337	TC 90x5 (TC)	1.148	1.00	1.00	-	-
		N320/N338	N320/N338	TC 90x5 (TC)	0.898	1.00	1.00	-	-
		N321/N338	N321/N338	TC 90x5 (TC)	1.073	1.00	1.00	-	-
		N321/N339	N321/N339	TC 90x5 (TC)	0.838	1.00	1.00	-	-
		N322/N339	N322/N339	TC 90x5 (TC)	1.002	1.00	1.00	-	-
		N322/N340	N322/N340	TC 90x5 (TC)	0.788	1.00	1.00	-	-
		N323/N340	N323/N340	TC 90x5 (TC)	0.935	1.00	1.00	-	-
		N323/N341	N323/N341	TC 90x5 (TC)	0.741	1.00	1.00	-	-
		N324/N341	N324/N341	TC 90x5 (TC)	0.873	1.00	1.00	-	-
		N324/N342	N324/N342	TC 90x5 (TC)	0.682	1.00	1.00	-	-
		N325/N342	N325/N342	TC 90x5 (TC)	0.815	1.00	1.00	-	-
		N325/N343	N325/N343	TC 90x5 (TC)	0.637	1.00	1.00	-	-
		N326/N343	N326/N343	TC 90x5 (TC)	0.762	1.00	1.00	-	-
		N326/N344	N326/N344	TC 90x5 (TC)	0.781	1.00	1.00	-	-
		N327/N344	N327/N344	CDC 90x5 (CDC)	0.475	1.00	1.00	-	-
		N349/N346	N349/N346	TC 90x5 (TC)	2.433	1.00	1.00	-	-
		N346/N350	N346/N350	TC 90x5 (TC)	2.976	1.00	1.00	-	-
		N350/N347	N350/N347	TC 90x5 (TC)	2.431	1.00	1.00	-	-
		N351/N348	N351/N348	TC 125x5 (TC)	2.431	1.00	1.00	-	-
		N353/N352	N353/N352	TC 90x5 (TC)	2.286	1.00	1.00	-	-
		N353/N371	N353/N371	TC 90x5 (TC)	1.773	1.00	1.00	-	-
		N354/N371	N354/N371	TC 90x5 (TC)	2.120	1.00	1.00	-	-
		N354/N372	N354/N372	TC 90x5 (TC)	1.656	1.00	1.00	-	-
		N355/N372	N355/N372	TC 90x5 (TC)	1.981	1.00	1.00	-	-
		N355/N373	N355/N373	TC 90x5 (TC)	1.547	1.00	1.00	-	-
		N356/N373	N356/N373	TC 90x5 (TC)	1.850	1.00	1.00	-	-
		N356/N374	N356/N374	TC 90x5 (TC)	1.445	1.00	1.00	-	-
		N357/N374	N357/N374	TC 90x5 (TC)	1.728	1.00	1.00	-	-
		N357/N375	N357/N375	TC 90x5 (TC)	1.350	1.00	1.00	-	-
		N358/N375	N358/N375	TC 90x5 (TC)	1.615	1.00	1.00	-	-
		N358/N376	N358/N376	TC 90x5 (TC)	1.261	1.00	1.00	-	-
		N359/N376	N359/N376	TC 90x5 (TC)	1.508	1.00	1.00	-	-
		N359/N377	N359/N377	TC 90x5 (TC)	1.189	1.00	1.00	-	-
		N360/N377	N360/N377	TC 90x5 (TC)	1.408	1.00	1.00	-	-
		N360/N378	N360/N378	TC 90x5 (TC)	1.100	1.00	1.00	-	-
		N361/N378	N361/N378	TC 90x5 (TC)	1.324	1.00	1.00	-	-
		N361/N379	N361/N379	TC 90x5 (TC)	1.034	1.00	1.00	-	-
		N362/N379	N362/N379	TC 90x5 (TC)	1.217	1.00	1.00	-	-
		N362/N380	N362/N380	TC 90x5 (TC)	0.960	1.00	1.00	-	-
		N363/N380	N363/N380	TC 90x5 (TC)	1.148	1.00	1.00	-	-
		N363/N381	N363/N381	TC 90x5 (TC)	0.898	1.00	1.00	-	-

AJUNTAMENT D'OLERDOLA
Aquest document és una còpia simple del document electrònic original.

Codi Segur de Verificació:
62ffb294-fe9f-412a-95ff-e789b2359074
Origen: Administració
Identificador document: ES_L01081000_2026_28828185
Data d'impressió: 03/11/2026 13:44:57
Pàgina 103 de 247

SIGNATURES
1.- ESTEVE AYMERICH (R: J62755897), 27/07/2026 11:04



Listados

Cobriment de pista a Sant Pere Molanta (Olèrdola) Fecha: 10/03/26

Descripción									
Material		Barra (Ni/Nf)	Pieza (Ni/Nf)	Perfil(Serie)	Longitud (m)	β_{xy}	β_{xz}	$Lb_{Sup.}$ (m)	$Lb_{Inf.}$ (m)
Tipo	Designación								
		N364/N381	N364/N381	TC 90x5 (TC)	1.073	1.00	1.00	-	-
		N364/N382	N364/N382	TC 90x5 (TC)	0.838	1.00	1.00	-	-
		N365/N382	N365/N382	TC 90x5 (TC)	1.002	1.00	1.00	-	-
		N365/N383	N365/N383	TC 90x5 (TC)	0.788	1.00	1.00	-	-
		N366/N383	N366/N383	TC 90x5 (TC)	0.935	1.00	1.00	-	-
		N366/N384	N366/N384	TC 90x5 (TC)	0.741	1.00	1.00	-	-
		N367/N384	N367/N384	TC 90x5 (TC)	0.873	1.00	1.00	-	-
		N367/N385	N367/N385	TC 90x5 (TC)	0.682	1.00	1.00	-	-
		N368/N385	N368/N385	TC 90x5 (TC)	0.815	1.00	1.00	-	-
		N368/N386	N368/N386	TC 90x5 (TC)	0.637	1.00	1.00	-	-
		N369/N386	N369/N386	TC 90x5 (TC)	0.762	1.00	1.00	-	-
		N369/N387	N369/N387	TC 90x5 (TC)	0.781	1.00	1.00	-	-
		N370/N387	N370/N387	CDC 90x5 (CDC)	0.475	1.00	1.00	-	-
		N392/N389	N392/N389	TC 90x5 (TC)	2.433	1.00	1.00	-	-
		N389/N393	N389/N393	TC 90x5 (TC)	2.976	1.00	1.00	-	-
		N393/N390	N393/N390	TC 90x5 (TC)	2.431	1.00	1.00	-	-
		N394/N391	N394/N391	TC 125x5 (TC)	2.431	1.00	1.00	-	-
		N396/N395	N396/N395	TC 90x5 (TC)	2.286	1.00	1.00	-	-
		N396/N414	N396/N414	TC 90x5 (TC)	1.773	1.00	1.00	-	-
		N397/N414	N397/N414	TC 90x5 (TC)	2.120	1.00	1.00	-	-
		N397/N415	N397/N415	TC 90x5 (TC)	1.656	1.00	1.00	-	-
		N398/N415	N398/N415	TC 90x5 (TC)	1.981	1.00	1.00	-	-
		N398/N416	N398/N416	TC 90x5 (TC)	1.547	1.00	1.00	-	-
		N399/N416	N399/N416	TC 90x5 (TC)	1.850	1.00	1.00	-	-
		N399/N417	N399/N417	TC 90x5 (TC)	1.445	1.00	1.00	-	-
		N400/N417	N400/N417	TC 90x5 (TC)	1.728	1.00	1.00	-	-
		N400/N418	N400/N418	TC 90x5 (TC)	1.350	1.00	1.00	-	-
		N401/N418	N401/N418	TC 90x5 (TC)	1.615	1.00	1.00	-	-
		N401/N419	N401/N419	TC 90x5 (TC)	1.261	1.00	1.00	-	-
		N402/N419	N402/N419	TC 90x5 (TC)	1.508	1.00	1.00	-	-
		N402/N420	N402/N420	TC 90x5 (TC)	1.189	1.00	1.00	-	-
		N403/N420	N403/N420	TC 90x5 (TC)	1.408	1.00	1.00	-	-
		N403/N421	N403/N421	TC 90x5 (TC)	1.100	1.00	1.00	-	-
		N404/N421	N404/N421	TC 90x5 (TC)	1.324	1.00	1.00	-	-
		N404/N422	N404/N422	TC 90x5 (TC)	1.034	1.00	1.00	-	-
		N405/N422	N405/N422	TC 90x5 (TC)	1.217	1.00	1.00	-	-
		N405/N423	N405/N423	TC 90x5 (TC)	0.960	1.00	1.00	-	-
		N406/N423	N406/N423	TC 90x5 (TC)	1.148	1.00	1.00	-	-
		N406/N424	N406/N424	TC 90x5 (TC)	0.898	1.00	1.00	-	-
		N407/N424	N407/N424	TC 90x5 (TC)	1.073	1.00	1.00	-	-
		N407/N425	N407/N425	TC 90x5 (TC)	0.838	1.00	1.00	-	-
		N408/N425	N408/N425	TC 90x5 (TC)	1.002	1.00	1.00	-	-
		N408/N426	N408/N426	TC 90x5 (TC)	0.788	1.00	1.00	-	-
		N409/N426	N409/N426	TC 90x5 (TC)	0.935	1.00	1.00	-	-
		N409/N427	N409/N427	TC 90x5 (TC)	0.741	1.00	1.00	-	-

AJUNTAMENT D'OLERDOLA
Aquest document és una còpia simple del document electrònic original.

Codi Segur de Verificació:
62ffb294-fe9f-412a-95ff-e789b2359074
Origen: Administració
Identificador document: ES_L01081000_2026_28828185
Data d'impressió: 03/11/2026 13:44:57
Pàgina 104 de 247

SIGNATURES
1.- ESTEVE AYMERICH (R: J62755897), 27/07/2026 11:04

AJUNTAMENT D'OLERDOLA
Aquest document és una còpia simple del document electrònic original.

Listados

Descripción									
Material		Barra (Ni/Nf)	Pieza (Ni/Nf)	Perfil(Serie)	Longitud (m)	β_{xy}	β_{xz}	$Lb_{Sup.}$ (m)	$Lb_{Inf.}$ (m)
Tipo	Designación								
		N410/N427	N410/N427	TC 90x5 (TC)	0.873	1.00	1.00	-	-
		N410/N428	N410/N428	TC 90x5 (TC)	0.682	1.00	1.00	-	-
		N411/N428	N411/N428	TC 90x5 (TC)	0.815	1.00	1.00	-	-
		N411/N429	N411/N429	TC 90x5 (TC)	0.637	1.00	1.00	-	-
		N412/N429	N412/N429	TC 90x5 (TC)	0.762	1.00	1.00	-	-
		N412/N430	N412/N430	TC 90x5 (TC)	0.781	1.00	1.00	-	-
		N413/N430	N413/N430	CDC 90x5 (CDC)	0.475	1.00	1.00	-	-
		N391/N395	N391/N430	HE 260 B (HEB)	2.899	1.00	1.00	-	-
		N395/N414	N391/N430	HE 260 B (HEB)	2.728	1.00	1.00	-	-
		N414/N415	N391/N430	HE 260 B (HEB)	2.529	1.00	1.00	-	-
		N415/N606	N391/N430	HE 260 B (HEB)	2.115	1.00	1.00	-	-
		N606/N416	N391/N430	HE 260 B (HEB)	0.247	1.00	1.00	-	-
		N416/N596	N391/N430	HE 260 B (HEB)	1.868	1.00	1.00	-	-
		N596/N417	N391/N430	HE 260 B (HEB)	0.339	1.00	1.00	-	-
		N417/N586	N391/N430	HE 260 B (HEB)	1.776	1.00	1.00	-	-
		N586/N418	N391/N430	HE 260 B (HEB)	0.285	1.00	1.00	-	-
		N418/N576	N391/N430	HE 260 B (HEB)	1.830	1.00	1.00	-	-
		N576/N419	N391/N430	HE 260 B (HEB)	0.095	1.00	1.00	-	-
		N419/N420	N391/N430	HE 260 B (HEB)	1.818	1.00	1.00	-	-
		N420/N566	N391/N430	HE 260 B (HEB)	0.202	1.00	1.00	-	-
		N566/N421	N391/N430	HE 260 B (HEB)	1.478	1.00	1.00	-	-
		N421/N556	N391/N430	HE 260 B (HEB)	0.637	1.00	1.00	-	-
		N556/N422	N391/N430	HE 260 B (HEB)	0.942	1.00	1.00	-	-
		N422/N546	N391/N430	HE 260 B (HEB)	1.173	1.00	1.00	-	-
		N546/N423	N391/N430	HE 260 B (HEB)	0.277	1.00	1.00	-	-
		N423/N424	N391/N430	HE 260 B (HEB)	1.369	1.00	1.00	-	-
		N424/N536	N391/N430	HE 260 B (HEB)	0.469	1.00	1.00	-	-
		N536/N425	N391/N430	HE 260 B (HEB)	0.810	1.00	1.00	-	-

Codi Segur de Verificació:
62ffb294-fe9f-412a-95ff-e789b2359074
Origen: Administració
Identificador document: ES_L01081000_2026_28828185
Data d'impressió: 03/11/2026 13:44:57
Pàgina 105 de 247

SIGNATURES
1.- ESTEVE AYMERICH (R: J62755897), 27/07/2026 11:04

AJUNTAMENT D'OLERDOLA
Aquest document és una còpia simple del document electrònic original.

Listados

Descripción									
Material		Barra (Ni/Nf)	Pieza (Ni/Nf)	Perfil(Serie)	Longitud (m)	β_{xy}	β_{xz}	$Lb_{Sup.}$ (m)	$Lb_{Inf.}$ (m)
Tipo	Designación								
		N425/N426	N391/N430	HE 260 B (HEB)	1.205	1.00	1.00	-	-
		N426/N526	N391/N430	HE 260 B (HEB)	0.100	1.00	1.00	-	-
		N526/N427	N391/N430	HE 260 B (HEB)	1.034	1.00	1.00	-	-
		N427/N428	N391/N430	HE 260 B (HEB)	1.041	1.00	1.00	-	-
		N428/N516	N391/N430	HE 260 B (HEB)	0.040	1.00	1.00	-	-
		N516/N429	N391/N430	HE 260 B (HEB)	0.932	1.00	1.00	-	-
		N429/N430	N391/N430	HE 260 B (HEB)	1.183	1.00	1.00	-	-
		N4/N8	N4/N43	HE 260 B (HEB)	2.899	1.00	1.00	-	-
		N8/N27	N4/N43	HE 260 B (HEB)	2.728	1.00	1.00	-	-
		N27/N28	N4/N43	HE 260 B (HEB)	2.529	1.00	1.00	-	-
		N28/N615	N4/N43	HE 260 B (HEB)	2.115	1.00	1.00	-	-
		N615/N29	N4/N43	HE 260 B (HEB)	0.247	1.00	1.00	-	-
		N29/N605	N4/N43	HE 260 B (HEB)	1.868	1.00	1.00	-	-
		N605/N30	N4/N43	HE 260 B (HEB)	0.339	1.00	1.00	-	-
		N30/N595	N4/N43	HE 260 B (HEB)	1.776	1.00	1.00	-	-
		N595/N31	N4/N43	HE 260 B (HEB)	0.285	1.00	1.00	-	-
		N31/N585	N4/N43	HE 260 B (HEB)	1.830	1.00	1.00	-	-
		N585/N32	N4/N43	HE 260 B (HEB)	0.095	1.00	1.00	-	-
		N32/N33	N4/N43	HE 260 B (HEB)	1.818	1.00	1.00	-	-
		N33/N575	N4/N43	HE 260 B (HEB)	0.202	1.00	1.00	-	-
		N575/N34	N4/N43	HE 260 B (HEB)	1.478	1.00	1.00	-	-
		N34/N565	N4/N43	HE 260 B (HEB)	0.637	1.00	1.00	-	-
		N565/N35	N4/N43	HE 260 B (HEB)	0.942	1.00	1.00	-	-
		N35/N555	N4/N43	HE 260 B (HEB)	1.173	1.00	1.00	-	-
		N555/N36	N4/N43	HE 260 B (HEB)	0.277	1.00	1.00	-	-

Codi Segur de Verificació:
62ffb294-fe9f-412a-95ff-e789b2359074
Origen: Administració
Identificador document: ES_L01081000_2026_28828185
Data d'impressió: 03/11/2026 13:44:57
Pàgina 106 de 247

SIGNATURES
1.- ESTEVE AYMERICH (R: J62755897), 27/07/2026 11:04

Listados

Cobriment de pista a Sant Pere Molanta (Olèrdola)

Fecha: 10/03/26

Descripción									
Material		Barra (Ni/Nf)	Pieza (Ni/Nf)	Perfil(Serie)	Longitud (m)	β_{xy}	β_{xz}	$Lb_{Sup.}$ (m)	$Lb_{Inf.}$ (m)
Tipo	Designación								
		N36/N37	N4/N43	HE 260 B (HEB)	1.369	1.00	1.00	-	-
		N37/N545	N4/N43	HE 260 B (HEB)	0.469	1.00	1.00	-	-
		N545/N38	N4/N43	HE 260 B (HEB)	0.810	1.00	1.00	-	-
		N38/N39	N4/N43	HE 260 B (HEB)	1.205	1.00	1.00	-	-
		N39/N535	N4/N43	HE 260 B (HEB)	0.100	1.00	1.00	-	-
		N535/N40	N4/N43	HE 260 B (HEB)	1.034	1.00	1.00	-	-
		N40/N41	N4/N43	HE 260 B (HEB)	1.041	1.00	1.00	-	-
		N41/N525	N4/N43	HE 260 B (HEB)	0.040	1.00	1.00	-	-
		N525/N42	N4/N43	HE 260 B (HEB)	0.932	1.00	1.00	-	-
		N42/N43	N4/N43	HE 260 B (HEB)	1.183	1.00	1.00	-	-
		N47/N51	N47/N86	HE 260 B (HEB)	2.899	1.00	1.00	-	-
		N51/N70	N47/N86	HE 260 B (HEB)	2.728	1.00	1.00	-	-
		N70/N71	N47/N86	HE 260 B (HEB)	2.529	1.00	1.00	-	-
		N71/N614	N47/N86	HE 260 B (HEB)	2.115	1.00	1.00	-	-
		N614/N72	N47/N86	HE 260 B (HEB)	0.247	1.00	1.00	-	-
		N72/N604	N47/N86	HE 260 B (HEB)	1.868	1.00	1.00	-	-
		N604/N73	N47/N86	HE 260 B (HEB)	0.339	1.00	1.00	-	-
		N73/N594	N47/N86	HE 260 B (HEB)	1.776	1.00	1.00	-	-
		N594/N74	N47/N86	HE 260 B (HEB)	0.285	1.00	1.00	-	-
		N74/N584	N47/N86	HE 260 B (HEB)	1.830	1.00	1.00	-	-
		N584/N75	N47/N86	HE 260 B (HEB)	0.095	1.00	1.00	-	-
		N75/N76	N47/N86	HE 260 B (HEB)	1.818	1.00	1.00	-	-
		N76/N574	N47/N86	HE 260 B (HEB)	0.202	1.00	1.00	-	-
		N574/N77	N47/N86	HE 260 B (HEB)	1.478	1.00	1.00	-	-
		N77/N564	N47/N86	HE 260 B (HEB)	0.637	1.00	1.00	-	-

AJUNTAMENT D'OLERDOLA
Aquest document és una còpia simple del document electrònic original.

DOCUMENT
DOCUMENT REGISTRE UNIFICAT ENTRADA
ÒRGAN
SERVEIS TECNICS
REGISTRE D'ENTRADA
E2026005054
Codi Segur de Verificació:
62ffb294-fe9f-412a-95ff-e789b2359074
Origen: Administració
Identificador document: ES_L01081000_2026_28828185
Data d'impressió: 03/11/2026 13:44:57
Pàgina 107 de 247
SIGNATURES
1.- ESTEVE AYMERICH (R: J62755897), 27/07/2026 11:04

Descripción									
Material		Barra (Ni/Nf)	Pieza (Ni/Nf)	Perfil(Serie)	Longitud (m)	β_{xy}	β_{xz}	$Lb_{Sup.}$ (m)	$Lb_{Inf.}$ (m)
Tipo	Designación								
		N564/N78	N47/N86	HE 260 B (HEB)	0.942	1.00	1.00	-	-
		N78/N554	N47/N86	HE 260 B (HEB)	1.173	1.00	1.00	-	-
		N554/N79	N47/N86	HE 260 B (HEB)	0.277	1.00	1.00	-	-
		N79/N80	N47/N86	HE 260 B (HEB)	1.369	1.00	1.00	-	-
		N80/N544	N47/N86	HE 260 B (HEB)	0.469	1.00	1.00	-	-
		N544/N81	N47/N86	HE 260 B (HEB)	0.810	1.00	1.00	-	-
		N81/N82	N47/N86	HE 260 B (HEB)	1.205	1.00	1.00	-	-
		N82/N534	N47/N86	HE 260 B (HEB)	0.100	1.00	1.00	-	-
		N534/N83	N47/N86	HE 260 B (HEB)	1.034	1.00	1.00	-	-
		N83/N84	N47/N86	HE 260 B (HEB)	1.041	1.00	1.00	-	-
		N84/N524	N47/N86	HE 260 B (HEB)	0.040	1.00	1.00	-	-
		N524/N85	N47/N86	HE 260 B (HEB)	0.932	1.00	1.00	-	-
		N85/N86	N47/N86	HE 260 B (HEB)	1.183	1.00	1.00	-	-
		N90/N94	N90/N129	HE 260 B (HEB)	2.899	1.00	1.00	-	-
		N94/N113	N90/N129	HE 260 B (HEB)	2.728	1.00	1.00	-	-
		N113/N114	N90/N129	HE 260 B (HEB)	2.529	1.00	1.00	-	-
		N114/N613	N90/N129	HE 260 B (HEB)	2.115	1.00	1.00	-	-
		N613/N115	N90/N129	HE 260 B (HEB)	0.247	1.00	1.00	-	-
		N115/N603	N90/N129	HE 260 B (HEB)	1.868	1.00	1.00	-	-
		N603/N116	N90/N129	HE 260 B (HEB)	0.339	1.00	1.00	-	-
		N116/N593	N90/N129	HE 260 B (HEB)	1.776	1.00	1.00	-	-
		N593/N117	N90/N129	HE 260 B (HEB)	0.285	1.00	1.00	-	-
		N117/N583	N90/N129	HE 260 B (HEB)	1.830	1.00	1.00	-	-
		N583/N118	N90/N129	HE 260 B (HEB)	0.095	1.00	1.00	-	-
		N118/N119	N90/N129	HE 260 B (HEB)	1.818	1.00	1.00	-	-

AJUNTAMENT D'OLERDOLA
Aquest document és una còpia simple del document electrònic original.

DOCUMENT
DOCUMENT REGISTRE UNIFICAT ENTRADA
ÒRGAN
SERVEIS TECNICS
REGISTRE D'ENTRADA
E2026005054
Codi Segur de Verificació:
62ffb294-fe9f-412a-95ff-e789b2359074
Origen: Administració
Identificador document: ES_L01081000_2026_28828185
Data d'impressió: 03/11/2026 13:44:57
Pàgina 108 de 247
SIGNATURES
1.- ESTEVE AYMERICH (R: J62755897), 27/07/2026 11:04

Descripción									
Material		Barra (Ni/Nf)	Pieza (Ni/Nf)	Perfil(Serie)	Longitud (m)	β_{xy}	β_{xz}	$Lb_{Sup.}$ (m)	$Lb_{Inf.}$ (m)
Tipo	Designación								
		N119/N573	N90/N129	HE 260 B (HEB)	0.202	1.00	1.00	-	-
		N573/N120	N90/N129	HE 260 B (HEB)	1.478	1.00	1.00	-	-
		N120/N563	N90/N129	HE 260 B (HEB)	0.637	1.00	1.00	-	-
		N563/N121	N90/N129	HE 260 B (HEB)	0.942	1.00	1.00	-	-
		N121/N553	N90/N129	HE 260 B (HEB)	1.173	1.00	1.00	-	-
		N553/N122	N90/N129	HE 260 B (HEB)	0.277	1.00	1.00	-	-
		N122/N123	N90/N129	HE 260 B (HEB)	1.369	1.00	1.00	-	-
		N123/N543	N90/N129	HE 260 B (HEB)	0.469	1.00	1.00	-	-
		N543/N124	N90/N129	HE 260 B (HEB)	0.810	1.00	1.00	-	-
		N124/N125	N90/N129	HE 260 B (HEB)	1.205	1.00	1.00	-	-
		N125/N533	N90/N129	HE 260 B (HEB)	0.100	1.00	1.00	-	-
		N533/N126	N90/N129	HE 260 B (HEB)	1.034	1.00	1.00	-	-
		N126/N127	N90/N129	HE 260 B (HEB)	1.041	1.00	1.00	-	-
		N127/N523	N90/N129	HE 260 B (HEB)	0.040	1.00	1.00	-	-
		N523/N128	N90/N129	HE 260 B (HEB)	0.932	1.00	1.00	-	-
		N128/N129	N90/N129	HE 260 B (HEB)	1.183	1.00	1.00	-	-
		N133/N137	N133/N172	HE 260 B (HEB)	2.899	1.00	1.00	-	-
		N137/N156	N133/N172	HE 260 B (HEB)	2.728	1.00	1.00	-	-
		N156/N157	N133/N172	HE 260 B (HEB)	2.529	1.00	1.00	-	-
		N157/N612	N133/N172	HE 260 B (HEB)	2.115	1.00	1.00	-	-
		N612/N158	N133/N172	HE 260 B (HEB)	0.247	1.00	1.00	-	-
		N158/N602	N133/N172	HE 260 B (HEB)	1.868	1.00	1.00	-	-
		N602/N159	N133/N172	HE 260 B (HEB)	0.339	1.00	1.00	-	-
		N159/N592	N133/N172	HE 260 B (HEB)	1.776	1.00	1.00	-	-
		N592/N160	N133/N172	HE 260 B (HEB)	0.285	1.00	1.00	-	-

AJUNTAMENT D'OLERDOLA
Aquest document és una còpia simple del document electrònic original.

DOCUMENT
DOCUMENT REGISTRE UNIFICAT ENTRADA
ÒRGAN
SERVEIS TECNICS
REGISTRE D'ENTRADA
E2026005054

Codi Segur de Verificació:
62ffb294-fe9f-412a-95ff-e789b2359074
Origen: Administració
Identificador document: ES_L01081000_2026_28828185
Data d'impressió: 03/11/2026 13:44:57
Pàgina 109 de 247

SIGNATURES
1.- ESTEVE AYMERICH (R: J62755897), 27/07/2026 11:04

Descripción									
Material		Barra (Ni/Nf)	Pieza (Ni/Nf)	Perfil(Serie)	Longitud (m)	β_{xy}	β_{xz}	$Lb_{Sup.}$ (m)	$Lb_{Inf.}$ (m)
Tipo	Designación								
		N160/N582	N133/N172	HE 260 B (HEB)	1.830	1.00	1.00	-	-
		N582/N161	N133/N172	HE 260 B (HEB)	0.095	1.00	1.00	-	-
		N161/N162	N133/N172	HE 260 B (HEB)	1.818	1.00	1.00	-	-
		N162/N572	N133/N172	HE 260 B (HEB)	0.202	1.00	1.00	-	-
		N572/N163	N133/N172	HE 260 B (HEB)	1.478	1.00	1.00	-	-
		N163/N562	N133/N172	HE 260 B (HEB)	0.637	1.00	1.00	-	-
		N562/N164	N133/N172	HE 260 B (HEB)	0.942	1.00	1.00	-	-
		N164/N552	N133/N172	HE 260 B (HEB)	1.173	1.00	1.00	-	-
		N552/N165	N133/N172	HE 260 B (HEB)	0.277	1.00	1.00	-	-
		N165/N166	N133/N172	HE 260 B (HEB)	1.369	1.00	1.00	-	-
		N166/N542	N133/N172	HE 260 B (HEB)	0.469	1.00	1.00	-	-
		N542/N167	N133/N172	HE 260 B (HEB)	0.810	1.00	1.00	-	-
		N167/N168	N133/N172	HE 260 B (HEB)	1.205	1.00	1.00	-	-
		N168/N532	N133/N172	HE 260 B (HEB)	0.100	1.00	1.00	-	-
		N532/N169	N133/N172	HE 260 B (HEB)	1.034	1.00	1.00	-	-
		N169/N170	N133/N172	HE 260 B (HEB)	1.041	1.00	1.00	-	-
		N170/N522	N133/N172	HE 260 B (HEB)	0.040	1.00	1.00	-	-
		N522/N171	N133/N172	HE 260 B (HEB)	0.932	1.00	1.00	-	-
		N171/N172	N133/N172	HE 260 B (HEB)	1.183	1.00	1.00	-	-
		N176/N180	N176/N215	HE 260 B (HEB)	2.899	1.00	1.00	-	-
		N180/N199	N176/N215	HE 260 B (HEB)	2.728	1.00	1.00	-	-
		N199/N200	N176/N215	HE 260 B (HEB)	2.529	1.00	1.00	-	-
		N200/N611	N176/N215	HE 260 B (HEB)	2.115	1.00	1.00	-	-
		N611/N201	N176/N215	HE 260 B (HEB)	0.247	1.00	1.00	-	-
		N201/N601	N176/N215	HE 260 B (HEB)	1.868	1.00	1.00	-	-

AJUNTAMENT D'OLERDOLA
Aquest document és una còpia simple del document electrònic original.

Codi Segur de Verificació:
62ffb294-fe9f-412a-95ff-e789b2359074
Origen: Administració
Identificador document: ES_L01081000_2026_28828185
Data d'impressió: 03/11/2026 13:44:57
Pàgina 110 de 247

SIGNATURES
1.- ESTEVE AYMERICH (R: J62755897), 27/07/2026 11:04

AJUNTAMENT D'OLERDOLA
Aquest document és una còpia simple del document electrònic original.

Listados

Descripción									
Material		Barra (Ni/Nf)	Pieza (Ni/Nf)	Perfil(Serie)	Longitud (m)	β_{xy}	β_{xz}	$Lb_{Sup.}$ (m)	$Lb_{Inf.}$ (m)
Tipo	Designación								
		N601/N202	N176/N215	HE 260 B (HEB)	0.339	1.00	1.00	-	-
		N202/N591	N176/N215	HE 260 B (HEB)	1.776	1.00	1.00	-	-
		N591/N203	N176/N215	HE 260 B (HEB)	0.285	1.00	1.00	-	-
		N203/N581	N176/N215	HE 260 B (HEB)	1.830	1.00	1.00	-	-
		N581/N204	N176/N215	HE 260 B (HEB)	0.095	1.00	1.00	-	-
		N204/N205	N176/N215	HE 260 B (HEB)	1.818	1.00	1.00	-	-
		N205/N571	N176/N215	HE 260 B (HEB)	0.202	1.00	1.00	-	-
		N571/N206	N176/N215	HE 260 B (HEB)	1.478	1.00	1.00	-	-
		N206/N561	N176/N215	HE 260 B (HEB)	0.637	1.00	1.00	-	-
		N561/N207	N176/N215	HE 260 B (HEB)	0.942	1.00	1.00	-	-
		N207/N551	N176/N215	HE 260 B (HEB)	1.173	1.00	1.00	-	-
		N551/N208	N176/N215	HE 260 B (HEB)	0.277	1.00	1.00	-	-
		N208/N209	N176/N215	HE 260 B (HEB)	1.369	1.00	1.00	-	-
		N209/N541	N176/N215	HE 260 B (HEB)	0.469	1.00	1.00	-	-
		N541/N210	N176/N215	HE 260 B (HEB)	0.810	1.00	1.00	-	-
		N210/N211	N176/N215	HE 260 B (HEB)	1.205	1.00	1.00	-	-
		N211/N531	N176/N215	HE 260 B (HEB)	0.100	1.00	1.00	-	-
		N531/N212	N176/N215	HE 260 B (HEB)	1.034	1.00	1.00	-	-
		N212/N213	N176/N215	HE 260 B (HEB)	1.041	1.00	1.00	-	-
		N213/N521	N176/N215	HE 260 B (HEB)	0.040	1.00	1.00	-	-
		N521/N214	N176/N215	HE 260 B (HEB)	0.932	1.00	1.00	-	-
		N214/N215	N176/N215	HE 260 B (HEB)	1.183	1.00	1.00	-	-
		N219/N223	N219/N258	HE 260 B (HEB)	2.899	1.00	1.00	-	-
		N223/N242	N219/N258	HE 260 B (HEB)	2.728	1.00	1.00	-	-
		N242/N243	N219/N258	HE 260 B (HEB)	2.529	1.00	1.00	-	-

Codi Segur de Verificació:
62ffb294-fe9f-412a-95ff-e789b2359074
Origen: Administració
Identificador document: ES_L01081000_2026_28828185
Data d'impressió: 03/11/2026 13:44:57
Pàgina 111 de 247

SIGNATURES
1.- ESTEVE AYMERICH (R: J62755897), 27/07/2026 11:04

AJUNTAMENT D'OLERDOLA
Aquest document és una còpia simple del document electrònic original.

Listados

Descripción									
Material		Barra (Ni/Nf)	Pieza (Ni/Nf)	Perfil(Serie)	Longitud (m)	β_{xy}	β_{xz}	$Lb_{Sup.}$ (m)	$Lb_{Inf.}$ (m)
Tipo	Designación								
		N243/N610	N219/N258	HE 260 B (HEB)	2.115	1.00	1.00	-	-
		N610/N244	N219/N258	HE 260 B (HEB)	0.247	1.00	1.00	-	-
		N244/N600	N219/N258	HE 260 B (HEB)	1.868	1.00	1.00	-	-
		N600/N245	N219/N258	HE 260 B (HEB)	0.339	1.00	1.00	-	-
		N245/N590	N219/N258	HE 260 B (HEB)	1.776	1.00	1.00	-	-
		N590/N246	N219/N258	HE 260 B (HEB)	0.285	1.00	1.00	-	-
		N246/N580	N219/N258	HE 260 B (HEB)	1.830	1.00	1.00	-	-
		N580/N247	N219/N258	HE 260 B (HEB)	0.095	1.00	1.00	-	-
		N247/N248	N219/N258	HE 260 B (HEB)	1.818	1.00	1.00	-	-
		N248/N570	N219/N258	HE 260 B (HEB)	0.202	1.00	1.00	-	-
		N570/N249	N219/N258	HE 260 B (HEB)	1.478	1.00	1.00	-	-
		N249/N560	N219/N258	HE 260 B (HEB)	0.637	1.00	1.00	-	-
		N560/N250	N219/N258	HE 260 B (HEB)	0.942	1.00	1.00	-	-
		N250/N550	N219/N258	HE 260 B (HEB)	1.173	1.00	1.00	-	-
		N550/N251	N219/N258	HE 260 B (HEB)	0.277	1.00	1.00	-	-
		N251/N252	N219/N258	HE 260 B (HEB)	1.369	1.00	1.00	-	-
		N252/N540	N219/N258	HE 260 B (HEB)	0.469	1.00	1.00	-	-
		N540/N253	N219/N258	HE 260 B (HEB)	0.810	1.00	1.00	-	-
		N253/N254	N219/N258	HE 260 B (HEB)	1.205	1.00	1.00	-	-
		N254/N530	N219/N258	HE 260 B (HEB)	0.100	1.00	1.00	-	-
		N530/N255	N219/N258	HE 260 B (HEB)	1.034	1.00	1.00	-	-
		N255/N256	N219/N258	HE 260 B (HEB)	1.041	1.00	1.00	-	-
		N256/N520	N219/N258	HE 260 B (HEB)	0.040	1.00	1.00	-	-
		N520/N257	N219/N258	HE 260 B (HEB)	0.932	1.00	1.00	-	-
		N257/N258	N219/N258	HE 260 B (HEB)	1.183	1.00	1.00	-	-

DOCUMENT
DOCUMENT REGISTRE UNIFICAT ENTRADA
ÒRGAN
SERVEIS TECNICS
REGISTRE D'ENTRADA
E2026005054
Codi Segur de Verificació:
62ffb294-fe9f-412a-95ff-e789b2359074
Origen: Administració
Identificador document: ES_L01081000_2026_28828185
Data d'impressió: 03/11/2026 13:44:57
Pàgina 112 de 247
SIGNATURES
1.- ESTEVE AYMERICH (R: J62755897), 27/07/2026 11:04

Descripción									
Material		Barra (Ni/Nf)	Pieza (Ni/Nf)	Perfil(Serie)	Longitud (m)	β_{xy}	β_{xz}	$Lb_{Sup.}$ (m)	$Lb_{Inf.}$ (m)
Tipo	Designación								
		N262/N266	N262/N301	HE 260 B (HEB)	2.899	1.00	1.00	-	-
		N266/N285	N262/N301	HE 260 B (HEB)	2.728	1.00	1.00	-	-
		N285/N286	N262/N301	HE 260 B (HEB)	2.529	1.00	1.00	-	-
		N286/N609	N262/N301	HE 260 B (HEB)	2.115	1.00	1.00	-	-
		N609/N287	N262/N301	HE 260 B (HEB)	0.247	1.00	1.00	-	-
		N287/N599	N262/N301	HE 260 B (HEB)	1.868	1.00	1.00	-	-
		N599/N288	N262/N301	HE 260 B (HEB)	0.339	1.00	1.00	-	-
		N288/N589	N262/N301	HE 260 B (HEB)	1.776	1.00	1.00	-	-
		N589/N289	N262/N301	HE 260 B (HEB)	0.285	1.00	1.00	-	-
		N289/N579	N262/N301	HE 260 B (HEB)	1.830	1.00	1.00	-	-
		N579/N290	N262/N301	HE 260 B (HEB)	0.095	1.00	1.00	-	-
		N290/N291	N262/N301	HE 260 B (HEB)	1.818	1.00	1.00	-	-
		N291/N569	N262/N301	HE 260 B (HEB)	0.202	1.00	1.00	-	-
		N569/N292	N262/N301	HE 260 B (HEB)	1.478	1.00	1.00	-	-
		N292/N559	N262/N301	HE 260 B (HEB)	0.637	1.00	1.00	-	-
		N559/N293	N262/N301	HE 260 B (HEB)	0.942	1.00	1.00	-	-
		N293/N549	N262/N301	HE 260 B (HEB)	1.173	1.00	1.00	-	-
		N549/N294	N262/N301	HE 260 B (HEB)	0.277	1.00	1.00	-	-
		N294/N295	N262/N301	HE 260 B (HEB)	1.369	1.00	1.00	-	-
		N295/N539	N262/N301	HE 260 B (HEB)	0.469	1.00	1.00	-	-
		N539/N296	N262/N301	HE 260 B (HEB)	0.810	1.00	1.00	-	-
		N296/N297	N262/N301	HE 260 B (HEB)	1.205	1.00	1.00	-	-
		N297/N529	N262/N301	HE 260 B (HEB)	0.100	1.00	1.00	-	-
		N529/N298	N262/N301	HE 260 B (HEB)	1.034	1.00	1.00	-	-
		N298/N299	N262/N301	HE 260 B (HEB)	1.041	1.00	1.00	-	-

AJUNTAMENT D'OLERDOLA
Aquest document és una còpia simple del document electrònic original.

Codi Segur de Verificació:
62ffb294-fe9f-412a-95ff-e789b2359074
Origen: Administració
Identificador document: ES_L01081000_2026_28828185
Data d'impressió: 03/11/2026 13:44:57
Pàgina 113 de 247

SIGNATURES
1.- ESTEVE AYMERICH (R: J62755897), 27/07/2026 11:04

AJUNTAMENT D'OLERDOLA
Aquest document és una còpia simple del document electrònic original.

Listados

Descripción									
Material		Barra (Ni/Nf)	Pieza (Ni/Nf)	Perfil(Serie)	Longitud (m)	β_{xy}	β_{xz}	$Lb_{Sup.}$ (m)	$Lb_{Inf.}$ (m)
Tipo	Designación								
		N299/N519	N262/N301	HE 260 B (HEB)	0.040	1.00	1.00	-	-
		N519/N300	N262/N301	HE 260 B (HEB)	0.932	1.00	1.00	-	-
		N300/N301	N262/N301	HE 260 B (HEB)	1.183	1.00	1.00	-	-
		N305/N309	N305/N344	HE 260 B (HEB)	2.899	1.00	1.00	-	-
		N309/N328	N305/N344	HE 260 B (HEB)	2.728	1.00	1.00	-	-
		N328/N329	N305/N344	HE 260 B (HEB)	2.529	1.00	1.00	-	-
		N329/N608	N305/N344	HE 260 B (HEB)	2.115	1.00	1.00	-	-
		N608/N330	N305/N344	HE 260 B (HEB)	0.247	1.00	1.00	-	-
		N330/N598	N305/N344	HE 260 B (HEB)	1.868	1.00	1.00	-	-
		N598/N331	N305/N344	HE 260 B (HEB)	0.339	1.00	1.00	-	-
		N331/N588	N305/N344	HE 260 B (HEB)	1.776	1.00	1.00	-	-
		N588/N332	N305/N344	HE 260 B (HEB)	0.285	1.00	1.00	-	-
		N332/N578	N305/N344	HE 260 B (HEB)	1.830	1.00	1.00	-	-
		N578/N333	N305/N344	HE 260 B (HEB)	0.095	1.00	1.00	-	-
		N333/N334	N305/N344	HE 260 B (HEB)	1.818	1.00	1.00	-	-
		N334/N568	N305/N344	HE 260 B (HEB)	0.202	1.00	1.00	-	-
		N568/N335	N305/N344	HE 260 B (HEB)	1.478	1.00	1.00	-	-
		N335/N558	N305/N344	HE 260 B (HEB)	0.637	1.00	1.00	-	-
		N558/N336	N305/N344	HE 260 B (HEB)	0.942	1.00	1.00	-	-
		N336/N548	N305/N344	HE 260 B (HEB)	1.173	1.00	1.00	-	-
		N548/N337	N305/N344	HE 260 B (HEB)	0.277	1.00	1.00	-	-
		N337/N338	N305/N344	HE 260 B (HEB)	1.369	1.00	1.00	-	-
		N338/N538	N305/N344	HE 260 B (HEB)	0.469	1.00	1.00	-	-
		N538/N339	N305/N344	HE 260 B (HEB)	0.810	1.00	1.00	-	-
		N339/N340	N305/N344	HE 260 B (HEB)	1.205	1.00	1.00	-	-

Codi Segur de Verificació:
62ffb294-fe9f-412a-95ff-e789b2359074
Origen: Administració
Identificador document: ES_L01081000_2026_28828185
Data d'impressió: 03/11/2026 13:44:57
Pàgina 114 de 247

SIGNATURES
1.- ESTEVE AYMERICH (R: J62755897), 27/07/2026 11:04

AJUNTAMENT D'OLERDOLA
Aquest document és una còpia simple del document electrònic original.

Listados

Descripción									
Material		Barra (Ni/Nf)	Pieza (Ni/Nf)	Perfil(Serie)	Longitud (m)	β_{xy}	β_{xz}	$Lb_{Sup.}$ (m)	$Lb_{Inf.}$ (m)
Tipo	Designación								
		N340/N528	N305/N344	HE 260 B (HEB)	0.100	1.00	1.00	-	-
		N528/N341	N305/N344	HE 260 B (HEB)	1.034	1.00	1.00	-	-
		N341/N342	N305/N344	HE 260 B (HEB)	1.041	1.00	1.00	-	-
		N342/N518	N305/N344	HE 260 B (HEB)	0.040	1.00	1.00	-	-
		N518/N343	N305/N344	HE 260 B (HEB)	0.932	1.00	1.00	-	-
		N343/N344	N305/N344	HE 260 B (HEB)	1.183	1.00	1.00	-	-
		N348/N352	N348/N387	HE 260 B (HEB)	2.899	1.00	1.00	-	-
		N352/N371	N348/N387	HE 260 B (HEB)	2.728	1.00	1.00	-	-
		N371/N372	N348/N387	HE 260 B (HEB)	2.529	1.00	1.00	-	-
		N372/N607	N348/N387	HE 260 B (HEB)	2.115	1.00	1.00	-	-
		N607/N373	N348/N387	HE 260 B (HEB)	0.247	1.00	1.00	-	-
		N373/N597	N348/N387	HE 260 B (HEB)	1.868	1.00	1.00	-	-
		N597/N374	N348/N387	HE 260 B (HEB)	0.339	1.00	1.00	-	-
		N374/N587	N348/N387	HE 260 B (HEB)	1.776	1.00	1.00	-	-
		N587/N375	N348/N387	HE 260 B (HEB)	0.285	1.00	1.00	-	-
		N375/N577	N348/N387	HE 260 B (HEB)	1.830	1.00	1.00	-	-
		N577/N376	N348/N387	HE 260 B (HEB)	0.095	1.00	1.00	-	-
		N376/N377	N348/N387	HE 260 B (HEB)	1.818	1.00	1.00	-	-
		N377/N567	N348/N387	HE 260 B (HEB)	0.202	1.00	1.00	-	-
		N567/N378	N348/N387	HE 260 B (HEB)	1.478	1.00	1.00	-	-
		N378/N557	N348/N387	HE 260 B (HEB)	0.637	1.00	1.00	-	-
		N557/N379	N348/N387	HE 260 B (HEB)	0.942	1.00	1.00	-	-
		N379/N547	N348/N387	HE 260 B (HEB)	1.173	1.00	1.00	-	-
		N547/N380	N348/N387	HE 260 B (HEB)	0.277	1.00	1.00	-	-
		N380/N381	N348/N387	HE 260 B (HEB)	1.369	1.00	1.00	-	-

Codi Segur de Verificació:
62ffb294-fe9f-412a-95ff-e789b2359074
Origen: Administració
Identificador document: ES_L01081000_2026_28828185
Data d'impressió: 03/11/2026 13:44:57
Pàgina 115 de 247

SIGNATURES
1.- ESTEVE AYMERICH (R: J62755897), 27/07/2026 11:04

Listados

Cobriment de pista a Sant Pere Molanta (Olèrdola)

Fecha: 10/03/26

Descripción									
Material		Barra (Ni/Nf)	Pieza (Ni/Nf)	Perfil(Serie)	Longitud (m)	β_{xy}	β_{xz}	$Lb_{Sup.}$ (m)	$Lb_{Inf.}$ (m)
Tipo	Designación								
		N381/N537	N348/N387	HE 260 B (HEB)	0.469	1.00	1.00	-	-
		N537/N382	N348/N387	HE 260 B (HEB)	0.810	1.00	1.00	-	-
		N382/N383	N348/N387	HE 260 B (HEB)	1.205	1.00	1.00	-	-
		N383/N527	N348/N387	HE 260 B (HEB)	0.100	1.00	1.00	-	-
		N527/N384	N348/N387	HE 260 B (HEB)	1.034	1.00	1.00	-	-
		N384/N385	N348/N387	HE 260 B (HEB)	1.041	1.00	1.00	-	-
		N385/N517	N348/N387	HE 260 B (HEB)	0.040	1.00	1.00	-	-
		N517/N386	N348/N387	HE 260 B (HEB)	0.932	1.00	1.00	-	-
		N386/N387	N348/N387	HE 260 B (HEB)	1.183	1.00	1.00	-	-
		N390/N394	N390/N413	2xUPN 260([]) (UPN)	2.976	1.00	1.00	-	-
		N394/N763	N390/N413	2xUPN 260([]) (UPN)	0.100	1.00	1.00	-	-
		N763/N515	N390/N413	2xUPN 260([]) (UPN)	1.855	1.00	1.00	-	-
		N515/N396	N390/N413	2xUPN 260([]) (UPN)	0.845	1.00	1.00	-	-
		N396/N505	N390/N413	2xUPN 260([]) (UPN)	1.110	1.00	1.00	-	-
		N505/N397	N390/N413	2xUPN 260([]) (UPN)	1.486	1.00	1.00	-	-
		N397/N495	N390/N413	2xUPN 260([]) (UPN)	0.469	1.00	1.00	-	-
		N495/N398	N390/N413	2xUPN 260([]) (UPN)	1.955	1.00	1.00	-	-
		N398/N399	N390/N413	2xUPN 260([]) (UPN)	2.265	1.00	1.00	-	-
		N399/N400	N390/N413	2xUPN 260([]) (UPN)	2.116	1.00	1.00	-	-
		N400/N401	N390/N413	2xUPN 260([]) (UPN)	1.976	1.00	1.00	-	-
		N401/N402	N390/N413	2xUPN 260([]) (UPN)	1.846	1.00	1.00	-	-
		N402/N403	N390/N413	2xUPN 260([]) (UPN)	1.743	1.00	1.00	-	-
		N403/N405	N390/N413	2xUPN 260([]) (UPN)	3.109	1.00	1.00	-	-
		N405/N406	N390/N413	2xUPN 260([]) (UPN)	1.405	1.00	1.00	-	-
		N406/N407	N390/N413	2xUPN 260([]) (UPN)	1.313	1.00	1.00	-	-

AJUNTAMENT D'OLERDOLA
Aquest document és una còpia simple del document electrònic original.

Codi Segur de Verificació:
62ffb294-fe9f-412a-95ff-e789b2359074
Origen: Administració
Identificador document: ES_L01081000_2026_28828185
Data d'impressió: 03/11/2026 13:44:57
Pàgina 116 de 247

SIGNATURES
1.- ESTEVE AYMERICH (R: J62755897), 27/07/2026 11:04

Listados

Cobriment de pista a Sant Pere Molanta (Olèrdola)

Fecha: 10/03/26

Descripción									
Material		Barra (Ni/Nf)	Pieza (Ni/Nf)	Perfil(Serie)	Longitud (m)	β_{xy}	β_{xz}	$Lb_{Sup.}$ (m)	$Lb_{Inf.}$ (m)
Tipo	Designación								
		N407/N408	N390/N413	2xUPN 260([]) (UPN)	1.226	1.00	1.00	-	-
		N408/N409	N390/N413	2xUPN 260([]) (UPN)	1.156	1.00	1.00	-	-
		N409/N410	N390/N413	2xUPN 260([]) (UPN)	1.087	1.00	1.00	-	-
		N410/N411	N390/N413	2xUPN 260([]) (UPN)	0.998	1.00	1.00	-	-
		N411/N412	N390/N413	2xUPN 260([]) (UPN)	0.932	1.00	1.00	-	-
		N412/N413	N390/N413	2xUPN 260([]) (UPN)	0.572	1.00	1.00	-	-
		N3/N7	N3/N26	2xUPN 260([]) (UPN)	2.976	1.00	1.00	-	-
		N7/N754	N3/N26	2xUPN 260([]) (UPN)	0.100	1.00	1.00	-	-
		N754/N506	N3/N26	2xUPN 260([]) (UPN)	1.855	1.00	1.00	-	-
		N506/N9	N3/N26	2xUPN 260([]) (UPN)	0.845	1.00	1.00	-	-
		N9/N496	N3/N26	2xUPN 260([]) (UPN)	1.110	1.00	1.00	-	-
		N496/N10	N3/N26	2xUPN 260([]) (UPN)	1.486	1.00	1.00	-	-
		N10/N486	N3/N26	2xUPN 260([]) (UPN)	0.469	1.00	1.00	-	-
		N486/N11	N3/N26	2xUPN 260([]) (UPN)	1.955	1.00	1.00	-	-
		N11/N12	N3/N26	2xUPN 260([]) (UPN)	2.265	1.00	1.00	-	-
		N12/N13	N3/N26	2xUPN 260([]) (UPN)	2.116	1.00	1.00	-	-
		N13/N14	N3/N26	2xUPN 260([]) (UPN)	1.976	1.00	1.00	-	-
		N14/N15	N3/N26	2xUPN 260([]) (UPN)	1.846	1.00	1.00	-	-
		N15/N16	N3/N26	2xUPN 260([]) (UPN)	1.743	1.00	1.00	-	-
		N16/N18	N3/N26	2xUPN 260([]) (UPN)	3.109	1.00	1.00	-	-
		N18/N19	N3/N26	2xUPN 260([]) (UPN)	1.405	1.00	1.00	-	-
		N19/N20	N3/N26	2xUPN 260([]) (UPN)	1.313	1.00	1.00	-	-
		N20/N21	N3/N26	2xUPN 260([]) (UPN)	1.226	1.00	1.00	-	-
		N21/N22	N3/N26	2xUPN 260([]) (UPN)	1.156	1.00	1.00	-	-
		N22/N23	N3/N26	2xUPN 260([]) (UPN)	1.087	1.00	1.00	-	-

AJUNTAMENT D'OLERDOLA
Aquest document és una còpia simple del document electrònic original.

DOCUMENT
DOCUMENT REGISTRE UNIFICAT ENTRADA
ÒRGAN
SERVEIS TECNICS
REGISTRE D'ENTRADA
E2026005054
Codi Segur de Verificació:
62ffb294-fe9f-412a-95ff-e789b2359074
Origen: Administració
Identificador document: ES_L01081000_2026_28828185
Data d'impressió: 03/11/2026 13:44:57
Pàgina 117 de 247
SIGNATURES
1.- ESTEVE AYMERICH (R: J62755897), 27/07/2026 11:04

Descripción									
Material		Barra (Ni/Nf)	Pieza (Ni/Nf)	Perfil(Serie)	Longitud (m)	β_{xy}	β_{xz}	$Lb_{Sup.}$ (m)	$Lb_{Inf.}$ (m)
Tipo	Designación								
		N23/N24	N3/N26	2xUPN 260([]) (UPN)	0.998	1.00	1.00	-	-
		N24/N25	N3/N26	2xUPN 260([]) (UPN)	0.932	1.00	1.00	-	-
		N25/N26	N3/N26	2xUPN 260([]) (UPN)	0.572	1.00	1.00	-	-
		N46/N50	N46/N69	2xUPN 260([]) (UPN)	2.976	1.00	1.00	-	-
		N50/N755	N46/N69	2xUPN 260([]) (UPN)	0.100	1.00	1.00	-	-
		N755/N507	N46/N69	2xUPN 260([]) (UPN)	1.855	1.00	1.00	-	-
		N507/N52	N46/N69	2xUPN 260([]) (UPN)	0.845	1.00	1.00	-	-
		N52/N497	N46/N69	2xUPN 260([]) (UPN)	1.110	1.00	1.00	-	-
		N497/N53	N46/N69	2xUPN 260([]) (UPN)	1.486	1.00	1.00	-	-
		N53/N487	N46/N69	2xUPN 260([]) (UPN)	0.469	1.00	1.00	-	-
		N487/N54	N46/N69	2xUPN 260([]) (UPN)	1.955	1.00	1.00	-	-
		N54/N55	N46/N69	2xUPN 260([]) (UPN)	2.265	1.00	1.00	-	-
		N55/N56	N46/N69	2xUPN 260([]) (UPN)	2.116	1.00	1.00	-	-
		N56/N57	N46/N69	2xUPN 260([]) (UPN)	1.976	1.00	1.00	-	-
		N57/N58	N46/N69	2xUPN 260([]) (UPN)	1.846	1.00	1.00	-	-
		N58/N59	N46/N69	2xUPN 260([]) (UPN)	1.743	1.00	1.00	-	-
		N59/N61	N46/N69	2xUPN 260([]) (UPN)	3.109	1.00	1.00	-	-
		N61/N62	N46/N69	2xUPN 260([]) (UPN)	1.405	1.00	1.00	-	-
		N62/N63	N46/N69	2xUPN 260([]) (UPN)	1.313	1.00	1.00	-	-
		N63/N64	N46/N69	2xUPN 260([]) (UPN)	1.226	1.00	1.00	-	-
		N64/N65	N46/N69	2xUPN 260([]) (UPN)	1.156	1.00	1.00	-	-
		N65/N66	N46/N69	2xUPN 260([]) (UPN)	1.087	1.00	1.00	-	-
		N66/N67	N46/N69	2xUPN 260([]) (UPN)	0.998	1.00	1.00	-	-
		N67/N68	N46/N69	2xUPN 260([]) (UPN)	0.932	1.00	1.00	-	-
		N68/N69	N46/N69	2xUPN 260([]) (UPN)	0.572	1.00	1.00	-	-

AJUNTAMENT D'OLERDOLA
Aquest document és una còpia simple del document electrònic original.

DOCUMENT
DOCUMENT REGISTRE UNIFICAT ENTRADA
ÒRGAN
SERVEIS TECNICS
REGISTRE D'ENTRADA
E2026005054
Codi Segur de Verificació:
62ffb294-fe9f-412a-95ff-e789b2359074
Origen: Administració
Identificador document: ES_L01081000_2026_28828185
Data d'impressió: 03/11/2026 13:44:57
Pàgina 118 de 247
SIGNATURES
1.- ESTEVE AYMERICH (R: J62755897), 27/07/2026 11:04

Descripción									
Material		Barra (Ni/Nf)	Pieza (Ni/Nf)	Perfil(Serie)	Longitud (m)	β_{xy}	β_{xz}	$Lb_{Sup.}$ (m)	$Lb_{Inf.}$ (m)
Tipo	Designación								
		N89/N93	N89/N112	2xUPN 260([]) (UPN)	2.976	1.00	1.00	-	-
		N93/N756	N89/N112	2xUPN 260([]) (UPN)	0.100	1.00	1.00	-	-
		N756/N508	N89/N112	2xUPN 260([]) (UPN)	1.855	1.00	1.00	-	-
		N508/N95	N89/N112	2xUPN 260([]) (UPN)	0.845	1.00	1.00	-	-
		N95/N498	N89/N112	2xUPN 260([]) (UPN)	1.110	1.00	1.00	-	-
		N498/N96	N89/N112	2xUPN 260([]) (UPN)	1.486	1.00	1.00	-	-
		N96/N488	N89/N112	2xUPN 260([]) (UPN)	0.469	1.00	1.00	-	-
		N488/N97	N89/N112	2xUPN 260([]) (UPN)	1.955	1.00	1.00	-	-
		N97/N98	N89/N112	2xUPN 260([]) (UPN)	2.265	1.00	1.00	-	-
		N98/N99	N89/N112	2xUPN 260([]) (UPN)	2.116	1.00	1.00	-	-
		N99/N100	N89/N112	2xUPN 260([]) (UPN)	1.976	1.00	1.00	-	-
		N100/N101	N89/N112	2xUPN 260([]) (UPN)	1.846	1.00	1.00	-	-
		N101/N102	N89/N112	2xUPN 260([]) (UPN)	1.743	1.00	1.00	-	-
		N102/N104	N89/N112	2xUPN 260([]) (UPN)	3.109	1.00	1.00	-	-
		N104/N105	N89/N112	2xUPN 260([]) (UPN)	1.405	1.00	1.00	-	-
		N105/N106	N89/N112	2xUPN 260([]) (UPN)	1.313	1.00	1.00	-	-
		N106/N107	N89/N112	2xUPN 260([]) (UPN)	1.226	1.00	1.00	-	-
		N107/N108	N89/N112	2xUPN 260([]) (UPN)	1.156	1.00	1.00	-	-
		N108/N109	N89/N112	2xUPN 260([]) (UPN)	1.087	1.00	1.00	-	-
		N109/N110	N89/N112	2xUPN 260([]) (UPN)	0.998	1.00	1.00	-	-
		N110/N111	N89/N112	2xUPN 260([]) (UPN)	0.932	1.00	1.00	-	-
		N111/N112	N89/N112	2xUPN 260([]) (UPN)	0.572	1.00	1.00	-	-
		N132/N136	N132/N155	2xUPN 260([]) (UPN)	2.976	1.00	1.00	-	-
		N136/N757	N132/N155	2xUPN 260([]) (UPN)	0.100	1.00	1.00	-	-
		N757/N509	N132/N155	2xUPN 260([]) (UPN)	1.855	1.00	1.00	-	-

AJUNTAMENT D'OLERDOLA
Aquest document és una còpia simple del document electrònic original.

Codi Segur de Verificació:
62ffb294-fe9f-412a-95ff-e789b2359074
Origen: Administració
Identificador document: ES_L01081000_2026_28828185
Data d'impressió: 03/11/2026 13:44:57
Pàgina 119 de 247

SIGNATURES
1.- ESTEVE AYMERICH (R: J62755897), 27/07/2026 11:04

Listados

Cobriment de pista a Sant Pere Molanta (Olèrdola)

Fecha: 10/03/26

Descripción									
Material		Barra (Ni/Nf)	Pieza (Ni/Nf)	Perfil(Serie)	Longitud (m)	β_{xy}	β_{xz}	$Lb_{Sup.}$ (m)	$Lb_{Inf.}$ (m)
Tipo	Designación								
		N509/N138	N132/N155	2xUPN 260([]) (UPN)	0.845	1.00	1.00	-	-
		N138/N499	N132/N155	2xUPN 260([]) (UPN)	1.110	1.00	1.00	-	-
		N499/N139	N132/N155	2xUPN 260([]) (UPN)	1.486	1.00	1.00	-	-
		N139/N489	N132/N155	2xUPN 260([]) (UPN)	0.469	1.00	1.00	-	-
		N489/N140	N132/N155	2xUPN 260([]) (UPN)	1.955	1.00	1.00	-	-
		N140/N141	N132/N155	2xUPN 260([]) (UPN)	2.265	1.00	1.00	-	-
		N141/N142	N132/N155	2xUPN 260([]) (UPN)	2.116	1.00	1.00	-	-
		N142/N143	N132/N155	2xUPN 260([]) (UPN)	1.976	1.00	1.00	-	-
		N143/N144	N132/N155	2xUPN 260([]) (UPN)	1.846	1.00	1.00	-	-
		N144/N145	N132/N155	2xUPN 260([]) (UPN)	1.743	1.00	1.00	-	-
		N145/N147	N132/N155	2xUPN 260([]) (UPN)	3.109	1.00	1.00	-	-
		N147/N148	N132/N155	2xUPN 260([]) (UPN)	1.405	1.00	1.00	-	-
		N148/N149	N132/N155	2xUPN 260([]) (UPN)	1.313	1.00	1.00	-	-
		N149/N150	N132/N155	2xUPN 260([]) (UPN)	1.226	1.00	1.00	-	-
		N150/N151	N132/N155	2xUPN 260([]) (UPN)	1.156	1.00	1.00	-	-
		N151/N152	N132/N155	2xUPN 260([]) (UPN)	1.087	1.00	1.00	-	-
		N152/N153	N132/N155	2xUPN 260([]) (UPN)	0.998	1.00	1.00	-	-
		N153/N154	N132/N155	2xUPN 260([]) (UPN)	0.932	1.00	1.00	-	-
		N154/N155	N132/N155	2xUPN 260([]) (UPN)	0.572	1.00	1.00	-	-
		N175/N179	N175/N198	2xUPN 260([]) (UPN)	2.976	1.00	1.00	-	-
		N179/N758	N175/N198	2xUPN 260([]) (UPN)	0.100	1.00	1.00	-	-
		N758/N510	N175/N198	2xUPN 260([]) (UPN)	1.855	1.00	1.00	-	-
		N510/N181	N175/N198	2xUPN 260([]) (UPN)	0.845	1.00	1.00	-	-
		N181/N500	N175/N198	2xUPN 260([]) (UPN)	1.110	1.00	1.00	-	-
		N500/N182	N175/N198	2xUPN 260([]) (UPN)	1.486	1.00	1.00	-	-

AJUNTAMENT D'OLERDOLA
Aquest document és una còpia simple del document electrònic original.

Codi Segur de Verificació:
62ffb294-fe9f-412a-95ff-e789b2359074
Origen: Administració
Identificador document: ES_L01081000_2026_28828185
Data d'impressió: 03/11/2026 13:44:57
Pàgina 120 de 247

SIGNATURES
1.- ESTEVE AYMERICH (R: J62755897), 27/07/2026 11:04

AJUNTAMENT D'OLERDOLA
Aquest document és una còpia simple del document electrònic original.

Listados

Cobriment de pista a Sant Pere Molanta (Olèrdola)

Fecha: 10/03/26

Descripción									
Material		Barra (Ni/Nf)	Pieza (Ni/Nf)	Perfil(Serie)	Longitud (m)	β_{xy}	β_{xz}	$Lb_{Sup.}$ (m)	$Lb_{Inf.}$ (m)
Tipo	Designación								
		N182/N490	N175/N198	2xUPN 260([]) (UPN)	0.469	1.00	1.00	-	-
		N490/N183	N175/N198	2xUPN 260([]) (UPN)	1.955	1.00	1.00	-	-
		N183/N184	N175/N198	2xUPN 260([]) (UPN)	2.265	1.00	1.00	-	-
		N184/N185	N175/N198	2xUPN 260([]) (UPN)	2.116	1.00	1.00	-	-
		N185/N186	N175/N198	2xUPN 260([]) (UPN)	1.976	1.00	1.00	-	-
		N186/N187	N175/N198	2xUPN 260([]) (UPN)	1.846	1.00	1.00	-	-
		N187/N188	N175/N198	2xUPN 260([]) (UPN)	1.743	1.00	1.00	-	-
		N188/N190	N175/N198	2xUPN 260([]) (UPN)	3.109	1.00	1.00	-	-
		N190/N191	N175/N198	2xUPN 260([]) (UPN)	1.405	1.00	1.00	-	-
		N191/N192	N175/N198	2xUPN 260([]) (UPN)	1.313	1.00	1.00	-	-
		N192/N193	N175/N198	2xUPN 260([]) (UPN)	1.226	1.00	1.00	-	-
		N193/N194	N175/N198	2xUPN 260([]) (UPN)	1.156	1.00	1.00	-	-
		N194/N195	N175/N198	2xUPN 260([]) (UPN)	1.087	1.00	1.00	-	-
		N195/N196	N175/N198	2xUPN 260([]) (UPN)	0.998	1.00	1.00	-	-
		N196/N197	N175/N198	2xUPN 260([]) (UPN)	0.932	1.00	1.00	-	-
		N197/N198	N175/N198	2xUPN 260([]) (UPN)	0.572	1.00	1.00	-	-
		N218/N222	N218/N241	2xUPN 260([]) (UPN)	2.976	1.00	1.00	-	-
		N222/N759	N218/N241	2xUPN 260([]) (UPN)	0.100	1.00	1.00	-	-
		N759/N511	N218/N241	2xUPN 260([]) (UPN)	1.855	1.00	1.00	-	-
		N511/N224	N218/N241	2xUPN 260([]) (UPN)	0.845	1.00	1.00	-	-
		N224/N501	N218/N241	2xUPN 260([]) (UPN)	1.110	1.00	1.00	-	-
		N501/N225	N218/N241	2xUPN 260([]) (UPN)	1.486	1.00	1.00	-	-
		N225/N491	N218/N241	2xUPN 260([]) (UPN)	0.469	1.00	1.00	-	-
		N491/N226	N218/N241	2xUPN 260([]) (UPN)	1.955	1.00	1.00	-	-
		N226/N227	N218/N241	2xUPN 260([]) (UPN)	2.265	1.00	1.00	-	-

Codi Segur de Verificació:
62ffb294-fe9f-412a-95ff-e789b2359074
Origen: Administració
Identificador document: ES_L01081000_2026_28828185
Data d'impressió: 03/11/2026 13:44:57
Pàgina 121 de 247

SIGNATURES
1.- ESTEVE AYMERICH (R: J62755897), 27/07/2026 11:04

Listados

Cobriment de pista a Sant Pere Molanta (Olèrdola)

Fecha: 10/03/26

Descripción									
Material		Barra (Ni/Nf)	Pieza (Ni/Nf)	Perfil(Serie)	Longitud (m)	β_{xy}	β_{xz}	$Lb_{Sup.}$ (m)	$Lb_{Inf.}$ (m)
Tipo	Designación								
		N227/N228	N218/N241	2xUPN 260([]) (UPN)	2.116	1.00	1.00	-	-
		N228/N229	N218/N241	2xUPN 260([]) (UPN)	1.976	1.00	1.00	-	-
		N229/N230	N218/N241	2xUPN 260([]) (UPN)	1.846	1.00	1.00	-	-
		N230/N231	N218/N241	2xUPN 260([]) (UPN)	1.743	1.00	1.00	-	-
		N231/N233	N218/N241	2xUPN 260([]) (UPN)	3.109	1.00	1.00	-	-
		N233/N234	N218/N241	2xUPN 260([]) (UPN)	1.405	1.00	1.00	-	-
		N234/N235	N218/N241	2xUPN 260([]) (UPN)	1.313	1.00	1.00	-	-
		N235/N236	N218/N241	2xUPN 260([]) (UPN)	1.226	1.00	1.00	-	-
		N236/N237	N218/N241	2xUPN 260([]) (UPN)	1.156	1.00	1.00	-	-
		N237/N238	N218/N241	2xUPN 260([]) (UPN)	1.087	1.00	1.00	-	-
		N238/N239	N218/N241	2xUPN 260([]) (UPN)	0.998	1.00	1.00	-	-
		N239/N240	N218/N241	2xUPN 260([]) (UPN)	0.932	1.00	1.00	-	-
		N240/N241	N218/N241	2xUPN 260([]) (UPN)	0.572	1.00	1.00	-	-
		N261/N265	N261/N284	2xUPN 260([]) (UPN)	2.976	1.00	1.00	-	-
		N265/N760	N261/N284	2xUPN 260([]) (UPN)	0.100	1.00	1.00	-	-
		N760/N512	N261/N284	2xUPN 260([]) (UPN)	1.855	1.00	1.00	-	-
		N512/N267	N261/N284	2xUPN 260([]) (UPN)	0.845	1.00	1.00	-	-
		N267/N502	N261/N284	2xUPN 260([]) (UPN)	1.110	1.00	1.00	-	-
		N502/N268	N261/N284	2xUPN 260([]) (UPN)	1.486	1.00	1.00	-	-
		N268/N492	N261/N284	2xUPN 260([]) (UPN)	0.469	1.00	1.00	-	-
		N492/N269	N261/N284	2xUPN 260([]) (UPN)	1.955	1.00	1.00	-	-
		N269/N270	N261/N284	2xUPN 260([]) (UPN)	2.265	1.00	1.00	-	-
		N270/N271	N261/N284	2xUPN 260([]) (UPN)	2.116	1.00	1.00	-	-
		N271/N272	N261/N284	2xUPN 260([]) (UPN)	1.976	1.00	1.00	-	-
		N272/N273	N261/N284	2xUPN 260([]) (UPN)	1.846	1.00	1.00	-	-

AJUNTAMENT D'OLERDOLA
Aquest document és una còpia simple del document electrònic original.

DOCUMENT
DOCUMENT REGISTRE UNIFICAT ENTRADA
ÒRGAN
SERVEIS TECNICS
REGISTRE D'ENTRADA
E2026005054
Codi Segur de Verificació:
62ffb294-fe9f-412a-95ff-e789b2359074
Origen: Administració
Identificador document: ES_L01081000_2026_28828185
Data d'impressió: 03/11/2026 13:44:57
Pàgina 122 de 247
SIGNATURES
1.- ESTEVE AYMERICH (R: J62755897), 27/07/2026 11:04

Descripción									
Material		Barra (Ni/Nf)	Pieza (Ni/Nf)	Perfil(Serie)	Longitud (m)	β_{xy}	β_{xz}	$Lb_{Sup.}$ (m)	$Lb_{Inf.}$ (m)
Tipo	Designación								
		N273/N274	N261/N284	2xUPN 260([]) (UPN)	1.743	1.00	1.00	-	-
		N274/N276	N261/N284	2xUPN 260([]) (UPN)	3.109	1.00	1.00	-	-
		N276/N277	N261/N284	2xUPN 260([]) (UPN)	1.405	1.00	1.00	-	-
		N277/N278	N261/N284	2xUPN 260([]) (UPN)	1.313	1.00	1.00	-	-
		N278/N279	N261/N284	2xUPN 260([]) (UPN)	1.226	1.00	1.00	-	-
		N279/N280	N261/N284	2xUPN 260([]) (UPN)	1.156	1.00	1.00	-	-
		N280/N281	N261/N284	2xUPN 260([]) (UPN)	1.087	1.00	1.00	-	-
		N281/N282	N261/N284	2xUPN 260([]) (UPN)	0.998	1.00	1.00	-	-
		N282/N283	N261/N284	2xUPN 260([]) (UPN)	0.932	1.00	1.00	-	-
		N283/N284	N261/N284	2xUPN 260([]) (UPN)	0.572	1.00	1.00	-	-
		N304/N308	N304/N327	2xUPN 260([]) (UPN)	2.976	1.00	1.00	-	-
		N308/N761	N304/N327	2xUPN 260([]) (UPN)	0.100	1.00	1.00	-	-
		N761/N513	N304/N327	2xUPN 260([]) (UPN)	1.855	1.00	1.00	-	-
		N513/N310	N304/N327	2xUPN 260([]) (UPN)	0.845	1.00	1.00	-	-
		N310/N503	N304/N327	2xUPN 260([]) (UPN)	1.110	1.00	1.00	-	-
		N503/N311	N304/N327	2xUPN 260([]) (UPN)	1.486	1.00	1.00	-	-
		N311/N493	N304/N327	2xUPN 260([]) (UPN)	0.469	1.00	1.00	-	-
		N493/N312	N304/N327	2xUPN 260([]) (UPN)	1.955	1.00	1.00	-	-
		N312/N313	N304/N327	2xUPN 260([]) (UPN)	2.265	1.00	1.00	-	-
		N313/N314	N304/N327	2xUPN 260([]) (UPN)	2.116	1.00	1.00	-	-
		N314/N315	N304/N327	2xUPN 260([]) (UPN)	1.976	1.00	1.00	-	-
		N315/N316	N304/N327	2xUPN 260([]) (UPN)	1.846	1.00	1.00	-	-
		N316/N317	N304/N327	2xUPN 260([]) (UPN)	1.743	1.00	1.00	-	-
		N317/N319	N304/N327	2xUPN 260([]) (UPN)	3.109	1.00	1.00	-	-
		N319/N320	N304/N327	2xUPN 260([]) (UPN)	1.405	1.00	1.00	-	-

AJUNTAMENT D'OLERDOLA
Aquest document és una còpia simple del document electrònic original.

Codi Segur de Verificació:
62ffb294-fe9f-412a-95ff-e789b2359074
Origen: Administració
Identificador document: ES_L01081000_2026_28828185
Data d'impressió: 03/11/2026 13:44:57
Pàgina 123 de 247

SIGNATURES
1.- ESTEVE AYMERICH (R: J62755897), 27/07/2026 11:04

Listados

Cobriment de pista a Sant Pere Molanta (Olèrdola)

Fecha: 10/03/26

Descripción									
Material		Barra (Ni/Nf)	Pieza (Ni/Nf)	Perfil(Serie)	Longitud (m)	β_{xy}	β_{xz}	$Lb_{Sup.}$ (m)	$Lb_{Inf.}$ (m)
Tipo	Designación								
		N320/N321	N304/N327	2xUPN 260([]) (UPN)	1.313	1.00	1.00	-	-
		N321/N322	N304/N327	2xUPN 260([]) (UPN)	1.226	1.00	1.00	-	-
		N322/N323	N304/N327	2xUPN 260([]) (UPN)	1.156	1.00	1.00	-	-
		N323/N324	N304/N327	2xUPN 260([]) (UPN)	1.087	1.00	1.00	-	-
		N324/N325	N304/N327	2xUPN 260([]) (UPN)	0.998	1.00	1.00	-	-
		N325/N326	N304/N327	2xUPN 260([]) (UPN)	0.932	1.00	1.00	-	-
		N326/N327	N304/N327	2xUPN 260([]) (UPN)	0.572	1.00	1.00	-	-
		N347/N351	N347/N370	2xUPN 260([]) (UPN)	2.976	1.00	1.00	-	-
		N351/N762	N347/N370	2xUPN 260([]) (UPN)	0.100	1.00	1.00	-	-
		N762/N514	N347/N370	2xUPN 260([]) (UPN)	1.855	1.00	1.00	-	-
		N514/N353	N347/N370	2xUPN 260([]) (UPN)	0.845	1.00	1.00	-	-
		N353/N504	N347/N370	2xUPN 260([]) (UPN)	1.110	1.00	1.00	-	-
		N504/N354	N347/N370	2xUPN 260([]) (UPN)	1.486	1.00	1.00	-	-
		N354/N494	N347/N370	2xUPN 260([]) (UPN)	0.469	1.00	1.00	-	-
		N494/N355	N347/N370	2xUPN 260([]) (UPN)	1.955	1.00	1.00	-	-
		N355/N356	N347/N370	2xUPN 260([]) (UPN)	2.265	1.00	1.00	-	-
		N356/N357	N347/N370	2xUPN 260([]) (UPN)	2.116	1.00	1.00	-	-
		N357/N358	N347/N370	2xUPN 260([]) (UPN)	1.976	1.00	1.00	-	-
		N358/N359	N347/N370	2xUPN 260([]) (UPN)	1.846	1.00	1.00	-	-
		N359/N360	N347/N370	2xUPN 260([]) (UPN)	1.743	1.00	1.00	-	-
		N360/N362	N347/N370	2xUPN 260([]) (UPN)	3.109	1.00	1.00	-	-
		N362/N363	N347/N370	2xUPN 260([]) (UPN)	1.405	1.00	1.00	-	-
		N363/N364	N347/N370	2xUPN 260([]) (UPN)	1.313	1.00	1.00	-	-
		N364/N365	N347/N370	2xUPN 260([]) (UPN)	1.226	1.00	1.00	-	-
		N365/N366	N347/N370	2xUPN 260([]) (UPN)	1.156	1.00	1.00	-	-

AJUNTAMENT D'OLERDOLA
Aquest document és una còpia simple del document electrònic original.

Codi Segur de Verificació:
62ffb294-fe9f-412a-95ff-e789b2359074
Origen: Administració
Identificador document: ES_L01081000_2026_28828185
Data d'impressió: 03/11/2026 13:44:57
Pàgina 124 de 247

SIGNATURES
1.- ESTEVE AYMERICH (R: J62755897), 27/07/2026 11:04

AJUNTAMENT D'OLERDOLA
Aquest document és una còpia simple del document electrònic original.

Listados

Descripción									
Material		Barra (Ni/Nf)	Pieza (Ni/Nf)	Perfil(Serie)	Longitud (m)	β_{xy}	β_{xz}	$Lb_{Sup.}$ (m)	$Lb_{Inf.}$ (m)
Tipo	Designación								
		N366/N367	N347/N370	2xUPN 260([]) (UPN)	1.087	1.00	1.00	-	-
		N367/N368	N347/N370	2xUPN 260([]) (UPN)	0.998	1.00	1.00	-	-
		N368/N369	N347/N370	2xUPN 260([]) (UPN)	0.932	1.00	1.00	-	-
		N369/N370	N347/N370	2xUPN 260([]) (UPN)	0.572	1.00	1.00	-	-
		N26/N69	N26/N69	CDC 100x6 (CDC)	4.680	1.00	1.00	-	-
		N69/N112	N69/N112	CDC 100x6 (CDC)	4.680	1.00	1.00	-	-
		N112/N155	N112/N155	CDC 100x6 (CDC)	4.680	1.00	1.00	-	-
		N155/N198	N155/N198	CDC 100x6 (CDC)	4.680	1.00	1.00	-	-
		N198/N241	N198/N241	CDC 100x6 (CDC)	4.680	1.00	1.00	-	-
		N241/N284	N241/N284	CDC 100x6 (CDC)	4.680	1.00	1.00	-	-
		N284/N327	N284/N327	CDC 100x6 (CDC)	4.680	1.00	1.00	-	-
		N327/N370	N327/N370	CDC 100x6 (CDC)	4.680	1.00	1.00	-	-
		N370/N413	N370/N413	CDC 100x6 (CDC)	4.680	1.00	1.00	-	-
		N388/N389	N388/N389	HE 260 B (HEB)	2.053	1.00	1.00	-	-
		N389/N390	N389/N390	HE 260 B (HEB)	2.033	1.00	1.00	-	-
		N390/N391	N390/N391	HE 260 B (HEB)	2.033	1.00	1.00	-	-
		N1/N2	N1/N2	HE 260 B (HEB)	2.053	1.00	1.00	-	-
		N2/N3	N2/N3	HE 260 B (HEB)	2.033	1.00	1.00	-	-
		N3/N4	N3/N4	HE 260 B (HEB)	2.033	1.00	1.00	-	-
		N44/N45	N44/N45	HE 260 B (HEB)	2.053	1.00	1.00	-	-
		N45/N46	N45/N46	HE 260 B (HEB)	2.033	1.00	1.00	-	-
		N46/N47	N46/N47	HE 260 B (HEB)	2.033	1.00	1.00	-	-
		N87/N88	N87/N88	HE 260 B (HEB)	2.053	1.00	1.00	-	-
		N88/N89	N88/N89	HE 260 B (HEB)	2.033	1.00	1.00	-	-
		N89/N90	N89/N90	HE 260 B (HEB)	2.033	1.00	1.00	-	-

DOCUMENT
DOCUMENT REGISTRE UNIFICAT ENTRADA
ÒRGAN
SERVEIS TECNICS
REGISTRE D'ENTRADA
E2026005054
Codi Segur de Verificació:
62ffb294-fe9f-412a-95ff-e789b2359074
Origen: Administració
Identificador document: ES_L01081000_2026_28828185
Data d'impressió: 03/11/2026 13:44:57
Pàgina 125 de 247
SIGNATURES
1.- ESTEVE AYMERICH (R: J62755897), 27/07/2026 11:04

Descripción									
Material		Barra (Ni/Nf)	Pieza (Ni/Nf)	Perfil(Serie)	Longitud (m)	β_{xy}	β_{xz}	$Lb_{Sup.}$ (m)	$Lb_{Inf.}$ (m)
Tipo	Designación								
		N130/N131	N130/N131	HE 260 B (HEB)	2.053	1.00	1.00	-	-
		N131/N132	N131/N132	HE 260 B (HEB)	2.033	1.00	1.00	-	-
		N132/N133	N132/N133	HE 260 B (HEB)	2.033	1.00	1.00	-	-
		N173/N174	N173/N174	HE 260 B (HEB)	2.053	1.00	1.00	-	-
		N174/N175	N174/N175	HE 260 B (HEB)	2.033	1.00	1.00	-	-
		N175/N176	N175/N176	HE 260 B (HEB)	2.033	1.00	1.00	-	-
		N216/N217	N216/N217	HE 260 B (HEB)	2.053	1.00	1.00	-	-
		N217/N218	N217/N218	HE 260 B (HEB)	2.033	1.00	1.00	-	-
		N218/N219	N218/N219	HE 260 B (HEB)	2.033	1.00	1.00	-	-
		N259/N260	N259/N260	HE 260 B (HEB)	2.053	1.00	1.00	-	-
		N260/N261	N260/N261	HE 260 B (HEB)	2.033	1.00	1.00	-	-
		N261/N262	N261/N262	HE 260 B (HEB)	2.033	1.00	1.00	-	-
		N302/N303	N302/N303	HE 260 B (HEB)	2.053	1.00	1.00	-	-
		N303/N304	N303/N304	HE 260 B (HEB)	2.033	1.00	1.00	-	-
		N304/N305	N304/N305	HE 260 B (HEB)	2.033	1.00	1.00	-	-
		N345/N346	N345/N346	HE 260 B (HEB)	2.053	1.00	1.00	-	-
		N346/N347	N346/N347	HE 260 B (HEB)	2.033	1.00	1.00	-	-
		N347/N348	N347/N348	HE 260 B (HEB)	2.033	1.00	1.00	-	-
		N5/N788	N5/N6	HE 260 B (HEB)	0.340	1.00	1.00	-	-
		N788/N6	N5/N6	HE 260 B (HEB)	1.713	1.00	1.00	-	-
		N6/N764	N6/N7	HE 260 B (HEB)	1.883	1.00	1.00	-	-
		N764/N7	N6/N7	HE 260 B (HEB)	0.150	1.00	1.00	-	-
		N7/N8	N7/N8	HE 260 B (HEB)	1.899	1.00	1.00	-	-
		N48/N789	N48/N49	HE 260 B (HEB)	0.340	1.00	1.00	-	-
		N789/N49	N48/N49	HE 260 B (HEB)	1.713	1.00	1.00	-	-

AJUNTAMENT D'OLERDOLA
Aquest document és una còpia simple del document electrònic original.

DOCUMENT
DOCUMENT REGISTRE UNIFICAT ENTRADA
ÒRGAN
SERVEIS TECNICS
REGISTRE D'ENTRADA
E2026005054
Codi Segur de Verificació:
62ffb294-fe9f-412a-95ff-e789b2359074
Origen: Administració
Identificador document: ES_L01081000_2026_28828185
Data d'impressió: 03/11/2026 13:44:57
Pàgina 126 de 247
SIGNATURES
1.- ESTEVE AYMERICH (R: J62755897), 27/07/2026 11:04

Descripción									
Material		Barra (Ni/Nf)	Pieza (Ni/Nf)	Perfil(Serie)	Longitud (m)	β_{xy}	β_{xz}	$Lb_{Sup.}$ (m)	$Lb_{Inf.}$ (m)
Tipo	Designación								
		N49/N765	N49/N50	HE 260 B (HEB)	1.883	1.00	1.00	-	-
		N765/N50	N49/N50	HE 260 B (HEB)	0.150	1.00	1.00	-	-
		N50/N51	N50/N51	HE 260 B (HEB)	1.899	1.00	1.00	-	-
		N91/N790	N91/N92	HE 260 B (HEB)	0.340	1.00	1.00	-	-
		N790/N92	N91/N92	HE 260 B (HEB)	1.713	1.00	1.00	-	-
		N92/N766	N92/N93	HE 260 B (HEB)	1.883	1.00	1.00	-	-
		N766/N93	N92/N93	HE 260 B (HEB)	0.150	1.00	1.00	-	-
		N93/N94	N93/N94	HE 260 B (HEB)	1.899	1.00	1.00	-	-
		N134/N791	N134/N135	HE 260 B (HEB)	0.340	1.00	1.00	-	-
		N791/N135	N134/N135	HE 260 B (HEB)	1.713	1.00	1.00	-	-
		N135/N767	N135/N136	HE 260 B (HEB)	1.883	1.00	1.00	-	-
		N767/N136	N135/N136	HE 260 B (HEB)	0.150	1.00	1.00	-	-
		N136/N137	N136/N137	HE 260 B (HEB)	1.899	1.00	1.00	-	-
		N177/N792	N177/N178	HE 260 B (HEB)	0.340	1.00	1.00	-	-
		N792/N178	N177/N178	HE 260 B (HEB)	1.713	1.00	1.00	-	-
		N178/N768	N178/N179	HE 260 B (HEB)	1.883	1.00	1.00	-	-
		N768/N179	N178/N179	HE 260 B (HEB)	0.150	1.00	1.00	-	-
		N179/N180	N179/N180	HE 260 B (HEB)	1.899	1.00	1.00	-	-
		N220/N793	N220/N221	HE 260 B (HEB)	0.340	1.00	1.00	-	-
		N793/N221	N220/N221	HE 260 B (HEB)	1.713	1.00	1.00	-	-
		N221/N769	N221/N222	HE 260 B (HEB)	1.883	1.00	1.00	-	-
		N769/N222	N221/N222	HE 260 B (HEB)	0.150	1.00	1.00	-	-
		N222/N223	N222/N223	HE 260 B (HEB)	1.899	1.00	1.00	-	-
		N263/N794	N263/N264	HE 260 B (HEB)	0.340	1.00	1.00	-	-
		N794/N264	N263/N264	HE 260 B (HEB)	1.713	1.00	1.00	-	-

AJUNTAMENT D'OLERDOLA
Aquest document és una còpia simple del document electrònic original.

Codi Segur de Verificació:
62ffb294-fe9f-412a-95ff-e789b2359074
Origen: Administració
Identificador document: ES_L01081000_2026_28828185
Data d'impressió: 03/11/2026 13:44:57
Pàgina 127 de 247

SIGNATURES
1.- ESTEVE AYMERICH (R: J62755897), 27/07/2026 11:04

Listados

Cobriment de pista a Sant Pere Molanta (Olèrdola) Fecha: 10/03/26

Descripción									
Material		Barra (Ni/Nf)	Pieza (Ni/Nf)	Perfil(Serie)	Longitud (m)	β_{xy}	β_{xz}	$Lb_{Sup.}$ (m)	$Lb_{Inf.}$ (m)
Tipo	Designación								
		N264/N770	N264/N265	HE 260 B (HEB)	1.883	1.00	1.00	-	-
		N770/N265	N264/N265	HE 260 B (HEB)	0.150	1.00	1.00	-	-
		N265/N266	N265/N266	HE 260 B (HEB)	1.899	1.00	1.00	-	-
		N306/N795	N306/N307	HE 260 B (HEB)	0.340	1.00	1.00	-	-
		N795/N307	N306/N307	HE 260 B (HEB)	1.713	1.00	1.00	-	-
		N307/N771	N307/N308	HE 260 B (HEB)	1.883	1.00	1.00	-	-
		N771/N308	N307/N308	HE 260 B (HEB)	0.150	1.00	1.00	-	-
		N308/N309	N308/N309	HE 260 B (HEB)	1.899	1.00	1.00	-	-
		N349/N796	N349/N350	HE 260 B (HEB)	0.340	1.00	1.00	-	-
		N796/N350	N349/N350	HE 260 B (HEB)	1.713	1.00	1.00	-	-
		N350/N772	N350/N351	HE 260 B (HEB)	1.883	1.00	1.00	-	-
		N772/N351	N350/N351	HE 260 B (HEB)	0.150	1.00	1.00	-	-
		N351/N352	N351/N352	HE 260 B (HEB)	1.899	1.00	1.00	-	-
		N392/N797	N392/N393	HE 260 B (HEB)	0.340	1.00	1.00	-	-
		N797/N393	N392/N393	HE 260 B (HEB)	1.713	1.00	1.00	-	-
		N393/N773	N393/N394	HE 260 B (HEB)	1.883	1.00	1.00	-	-
		N773/N394	N393/N394	HE 260 B (HEB)	0.150	1.00	1.00	-	-
		N394/N395	N394/N395	HE 260 B (HEB)	1.899	1.00	1.00	-	-
		N1/N476	N1/N476	2xUPN 100()-() (UPN)	1.437	1.00	1.00	-	-
		N44/N477	N44/N477	2xUPN 100()-() (UPN)	1.437	1.00	1.00	-	-
		N87/N478	N87/N478	2xUPN 100()-() (UPN)	1.437	1.00	1.00	-	-
		N130/N479	N130/N479	2xUPN 100()-() (UPN)	1.437	1.00	1.00	-	-
		N173/N480	N173/N480	2xUPN 100()-() (UPN)	1.437	1.00	1.00	-	-
		N216/N481	N216/N481	2xUPN 100()-() (UPN)	1.437	1.00	1.00	-	-
		N259/N482	N259/N482	2xUPN 100()-() (UPN)	1.437	1.00	1.00	-	-

AJUNTAMENT D'OLERDOLA
Aquest document és una còpia simple del document electrònic original.

Codi Segur de Verificació:
62ffb294-fe9f-412a-95ff-e789b2359074
Origen: Administració
Identificador document: ES_L01081000_2026_28828185
Data d'impressió: 03/11/2026 13:44:57
Pàgina 128 de 247

SIGNATURES
1.- ESTEVE AYMERICH (R: J62755897), 27/07/2026 11:04

Listados

Cobriment de pista a Sant Pere Molanta (Olèrdola)

Fecha: 10/03/26

Descripción									
Material		Barra (Ni/Nf)	Pieza (Ni/Nf)	Perfil(Serie)	Longitud (m)	β_{xy}	β_{xz}	$Lb_{Sup.}$ (m)	$Lb_{Inf.}$ (m)
Tipo	Designación								
		N302/N483	N302/N483	2xUPN 100(]-[) (UPN)	1.437	1.00	1.00	-	-
		N345/N484	N345/N484	2xUPN 100(]-[) (UPN)	1.437	1.00	1.00	-	-
		N388/N485	N388/N485	2xUPN 100(]-[) (UPN)	1.437	1.00	1.00	-	-
		N484/N485	N484/N485	TC 100x5 (TC)	4.680	1.00	1.00	-	-
		N483/N484	N483/N484	TC 100x5 (TC)	4.680	1.00	1.00	-	-
		N482/N483	N482/N483	TC 100x5 (TC)	4.680	1.00	1.00	-	-
		N481/N482	N481/N482	TC 100x5 (TC)	4.680	1.00	1.00	-	-
		N480/N481	N480/N481	TC 100x5 (TC)	4.680	1.00	1.00	-	-
		N479/N480	N479/N480	TC 100x5 (TC)	4.680	1.00	1.00	-	-
		N478/N479	N478/N479	TC 100x5 (TC)	4.680	1.00	1.00	-	-
		N477/N478	N477/N478	TC 100x5 (TC)	4.680	1.00	1.00	-	-
		N476/N477	N476/N477	TC 100x5 (TC)	4.680	1.00	1.00	-	-
		N634/N476	N634/N476	TC 100x5 (TC)	2.100	1.00	1.00	-	-
		N644/N724	N644/N388	HE 260 B (HEB)	0.928	1.00	1.00	-	-
		N724/N684	N644/N388	HE 260 B (HEB)	0.928	1.00	1.00	-	-
		N684/N704	N644/N388	HE 260 B (HEB)	0.928	1.00	1.00	-	-
		N704/N388	N644/N388	HE 260 B (HEB)	0.928	1.00	1.00	-	-
		N635/N715	N635/N1	HE 260 B (HEB)	0.928	1.00	1.00	-	-
		N715/N675	N635/N1	HE 260 B (HEB)	0.928	1.00	1.00	-	-
		N675/N695	N635/N1	HE 260 B (HEB)	0.928	1.00	1.00	-	-
		N695/N1	N635/N1	HE 260 B (HEB)	0.928	1.00	1.00	-	-
		N636/N716	N636/N44	HE 260 B (HEB)	0.928	1.00	1.00	-	-
		N716/N676	N636/N44	HE 260 B (HEB)	0.928	1.00	1.00	-	-
		N676/N696	N636/N44	HE 260 B (HEB)	0.928	1.00	1.00	-	-
		N696/N44	N636/N44	HE 260 B (HEB)	0.928	1.00	1.00	-	-
		N637/N717	N637/N87	HE 260 B (HEB)	0.928	1.00	1.00	-	-
		N717/N677	N637/N87	HE 260 B (HEB)	0.928	1.00	1.00	-	-
		N677/N697	N637/N87	HE 260 B (HEB)	0.928	1.00	1.00	-	-
		N697/N87	N637/N87	HE 260 B (HEB)	0.928	1.00	1.00	-	-
		N638/N718	N638/N130	HE 260 B (HEB)	0.928	1.00	1.00	-	-

AJUNTAMENT D'OLERDOLA
Aquest document és una còpia simple del document electrònic original.

DOCUMENT
DOCUMENT REGISTRE UNIFICAT ENTRADA
ÒRGAN
SERVEIS TECNICS
REGISTRE D'ENTRADA
E2026005054

Codi Segur de Verificació:
62ffb294-fe9f-412a-95ff-e789b2359074
Origen: Administració
Identificador document: ES_L01081000_2026_28828185
Data d'impressió: 03/11/2026 13:44:57
Pàgina 129 de 247

SIGNATURES
1.- ESTEVE AYMERICH (R: J62755897), 27/07/2026 11:04

Descripción									
Material		Barra (Ni/Nf)	Pieza (Ni/Nf)	Perfil(Serie)	Longitud (m)	β_{xy}	β_{xz}	$Lb_{Sup.}$ (m)	$Lb_{Inf.}$ (m)
Tipo	Designación								
		N718/N678	N638/N130	HE 260 B (HEB)	0.928	1.00	1.00	-	-
		N678/N698	N638/N130	HE 260 B (HEB)	0.928	1.00	1.00	-	-
		N698/N130	N638/N130	HE 260 B (HEB)	0.928	1.00	1.00	-	-
		N639/N719	N639/N173	HE 260 B (HEB)	0.928	1.00	1.00	-	-
		N719/N679	N639/N173	HE 260 B (HEB)	0.928	1.00	1.00	-	-
		N679/N699	N639/N173	HE 260 B (HEB)	0.928	1.00	1.00	-	-
		N699/N173	N639/N173	HE 260 B (HEB)	0.928	1.00	1.00	-	-
		N640/N720	N640/N216	HE 260 B (HEB)	0.928	1.00	1.00	-	-
		N720/N680	N640/N216	HE 260 B (HEB)	0.928	1.00	1.00	-	-
		N680/N700	N640/N216	HE 260 B (HEB)	0.928	1.00	1.00	-	-
		N700/N216	N640/N216	HE 260 B (HEB)	0.928	1.00	1.00	-	-
		N641/N721	N641/N259	HE 260 B (HEB)	0.928	1.00	1.00	-	-
		N721/N681	N641/N259	HE 260 B (HEB)	0.928	1.00	1.00	-	-
		N681/N701	N641/N259	HE 260 B (HEB)	0.928	1.00	1.00	-	-
		N701/N259	N641/N259	HE 260 B (HEB)	0.928	1.00	1.00	-	-
		N642/N722	N642/N302	HE 260 B (HEB)	0.928	1.00	1.00	-	-
		N722/N682	N642/N302	HE 260 B (HEB)	0.928	1.00	1.00	-	-
		N682/N702	N642/N302	HE 260 B (HEB)	0.928	1.00	1.00	-	-
		N702/N302	N642/N302	HE 260 B (HEB)	0.928	1.00	1.00	-	-
		N643/N723	N643/N345	HE 260 B (HEB)	0.928	1.00	1.00	-	-
		N723/N683	N643/N345	HE 260 B (HEB)	0.928	1.00	1.00	-	-
		N683/N703	N643/N345	HE 260 B (HEB)	0.928	1.00	1.00	-	-
		N703/N345	N643/N345	HE 260 B (HEB)	0.928	1.00	1.00	-	-
		N654/N734	N654/N664	HE 260 B (HEB)	0.932	1.00	1.00	-	-
		N734/N694	N654/N664	HE 260 B (HEB)	0.932	1.00	1.00	-	-

AJUNTAMENT D'OLERDOLA
Aquest document és una còpia simple del document electrònic original.

Codi Segur de Verificació:
62ffb294-fe9f-412a-95ff-e789b2359074
Origen: Administració
Identificador document: ES_L01081000_2026_28828185
Data d'impressió: 03/11/2026 13:44:57
Pàgina 130 de 247

SIGNATURES
1.- ESTEVE AYMERICH (R: J62755897), 27/07/2026 11:04



Listados

Descripción									
Material		Barra (Ni/Nf)	Pieza (Ni/Nf)	Perfil(Serie)	Longitud (m)	β_{xy}	β_{xz}	$Lb_{Sup.}$ (m)	$Lb_{Inf.}$ (m)
Tipo	Designación								
		N694/N714	N654/N664	HE 260 B (HEB)	0.932	1.00	1.00	-	-
		N714/N664	N654/N664	HE 260 B (HEB)	0.980	1.00	1.00	-	-
		N645/N725	N645/N655	HE 260 B (HEB)	0.932	1.00	1.00	-	-
		N725/N685	N645/N655	HE 260 B (HEB)	0.932	1.00	1.00	-	-
		N685/N705	N645/N655	HE 260 B (HEB)	0.932	1.00	1.00	-	-
		N705/N655	N645/N655	HE 260 B (HEB)	0.980	1.00	1.00	-	-
		N646/N726	N646/N656	HE 260 B (HEB)	0.932	1.00	1.00	-	-
		N726/N686	N646/N656	HE 260 B (HEB)	0.932	1.00	1.00	-	-
		N686/N706	N646/N656	HE 260 B (HEB)	0.932	1.00	1.00	-	-
		N706/N656	N646/N656	HE 260 B (HEB)	0.980	1.00	1.00	-	-
		N647/N727	N647/N657	HE 260 B (HEB)	0.932	1.00	1.00	-	-
		N727/N687	N647/N657	HE 260 B (HEB)	0.932	1.00	1.00	-	-
		N687/N707	N647/N657	HE 260 B (HEB)	0.932	1.00	1.00	-	-
		N707/N657	N647/N657	HE 260 B (HEB)	0.980	1.00	1.00	-	-
		N648/N728	N648/N658	HE 260 B (HEB)	0.932	1.00	1.00	-	-
		N728/N688	N648/N658	HE 260 B (HEB)	0.932	1.00	1.00	-	-
		N688/N708	N648/N658	HE 260 B (HEB)	0.932	1.00	1.00	-	-
		N708/N658	N648/N658	HE 260 B (HEB)	0.980	1.00	1.00	-	-
		N649/N729	N649/N659	HE 260 B (HEB)	0.932	1.00	1.00	-	-
		N729/N689	N649/N659	HE 260 B (HEB)	0.932	1.00	1.00	-	-
		N689/N709	N649/N659	HE 260 B (HEB)	0.932	1.00	1.00	-	-
		N709/N659	N649/N659	HE 260 B (HEB)	0.980	1.00	1.00	-	-
		N650/N730	N650/N660	HE 260 B (HEB)	0.932	1.00	1.00	-	-
		N730/N690	N650/N660	HE 260 B (HEB)	0.932	1.00	1.00	-	-
		N690/N710	N650/N660	HE 260 B (HEB)	0.932	1.00	1.00	-	-

AJUNTAMENT D'OLERDOLA
Aquest document és una còpia simple del document electrònic original.

Codi Segur de Verificació:
62ffb294-fe9f-412a-95ff-e789b2359074
Origen: Administració
Identificador document: ES_L01081000_2026_28828185
Data d'impressió: 03/11/2026 13:44:57
Pàgina 131 de 247

SIGNATURES
1.- ESTEVE AYMERICH (R: J62755897), 27/07/2026 11:04

AJUNTAMENT D'OLERDOLA
Aquest document és una còpia simple del document electrònic original.

Listados

Descripción									
Material		Barra (Ni/Nf)	Pieza (Ni/Nf)	Perfil(Serie)	Longitud (m)	β_{xy}	β_{xz}	$Lb_{Sup.}$ (m)	$Lb_{Inf.}$ (m)
Tipo	Designación								
		N710/N660	N650/N660	HE 260 B (HEB)	0.980	1.00	1.00	-	-
		N651/N731	N651/N661	HE 260 B (HEB)	0.932	1.00	1.00	-	-
		N731/N691	N651/N661	HE 260 B (HEB)	0.932	1.00	1.00	-	-
		N691/N711	N651/N661	HE 260 B (HEB)	0.932	1.00	1.00	-	-
		N711/N661	N651/N661	HE 260 B (HEB)	0.980	1.00	1.00	-	-
		N652/N732	N652/N662	HE 260 B (HEB)	0.932	1.00	1.00	-	-
		N732/N692	N652/N662	HE 260 B (HEB)	0.932	1.00	1.00	-	-
		N692/N712	N652/N662	HE 260 B (HEB)	0.932	1.00	1.00	-	-
		N712/N662	N652/N662	HE 260 B (HEB)	0.980	1.00	1.00	-	-
		N653/N733	N653/N663	HE 260 B (HEB)	0.932	1.00	1.00	-	-
		N733/N693	N653/N663	HE 260 B (HEB)	0.932	1.00	1.00	-	-
		N693/N713	N653/N663	HE 260 B (HEB)	0.932	1.00	1.00	-	-
		N713/N663	N653/N663	HE 260 B (HEB)	0.980	1.00	1.00	-	-
		N644/N674	N644/N654	HE 260 B (HEB)	0.163	1.00	1.00	-	-
		N674/N654	N644/N654	HE 260 B (HEB)	0.163	1.00	1.00	-	-
		N635/N665	N635/N645	HE 260 B (HEB)	0.163	1.00	1.00	-	-
		N665/N645	N635/N645	HE 260 B (HEB)	0.163	1.00	1.00	-	-
		N636/N666	N636/N646	HE 260 B (HEB)	0.163	1.00	1.00	-	-
		N666/N646	N636/N646	HE 260 B (HEB)	0.163	1.00	1.00	-	-
		N637/N667	N637/N647	HE 260 B (HEB)	0.163	1.00	1.00	-	-
		N667/N647	N637/N647	HE 260 B (HEB)	0.163	1.00	1.00	-	-
		N638/N668	N638/N648	HE 260 B (HEB)	0.163	1.00	1.00	-	-
		N668/N648	N638/N648	HE 260 B (HEB)	0.163	1.00	1.00	-	-
		N639/N669	N639/N649	HE 260 B (HEB)	0.163	1.00	1.00	-	-
		N669/N649	N639/N649	HE 260 B (HEB)	0.163	1.00	1.00	-	-

DOCUMENT
DOCUMENT REGISTRE UNIFICAT ENTRADA
ÒRGAN
SERVEIS TECNICS
REGISTRE D'ENTRADA
E2026005054
Codi Segur de Verificació:
62ffb294-fe9f-412a-95ff-e789b2359074
Origen: Administració
Identificador document: ES_L01081000_2026_28828185
Data d'impressió: 03/11/2026 13:44:57
Pàgina 132 de 247
SIGNATURES
1.- ESTEVE AYMERICH (R: J62755897), 27/07/2026 11:04

Descripción									
Material		Barra (Ni/Nf)	Pieza (Ni/Nf)	Perfil(Serie)	Longitud (m)	β_{xy}	β_{xz}	$Lb_{Sup.}$ (m)	$Lb_{Inf.}$ (m)
Tipo	Designación								
		N640/N670	N640/N650	HE 260 B (HEB)	0.163	1.00	1.00	-	-
		N670/N650	N640/N650	HE 260 B (HEB)	0.163	1.00	1.00	-	-
		N641/N671	N641/N651	HE 260 B (HEB)	0.163	1.00	1.00	-	-
		N671/N651	N641/N651	HE 260 B (HEB)	0.163	1.00	1.00	-	-
		N642/N672	N642/N652	HE 260 B (HEB)	0.163	1.00	1.00	-	-
		N672/N652	N642/N652	HE 260 B (HEB)	0.163	1.00	1.00	-	-
		N643/N673	N643/N653	HE 260 B (HEB)	0.163	1.00	1.00	-	-
		N673/N653	N643/N653	HE 260 B (HEB)	0.163	1.00	1.00	-	-
		N684/N694	N684/N694	HE 260 B (HEB)	0.343	1.00	1.00	-	-
		N675/N685	N675/N685	HE 260 B (HEB)	0.343	1.00	1.00	-	-
		N676/N686	N676/N686	HE 260 B (HEB)	0.343	1.00	1.00	-	-
		N677/N687	N677/N687	HE 260 B (HEB)	0.343	1.00	1.00	-	-
		N678/N688	N678/N688	HE 260 B (HEB)	0.343	1.00	1.00	-	-
		N679/N689	N679/N689	HE 260 B (HEB)	0.343	1.00	1.00	-	-
		N680/N690	N680/N690	HE 260 B (HEB)	0.343	1.00	1.00	-	-
		N681/N691	N681/N691	HE 260 B (HEB)	0.343	1.00	1.00	-	-
		N682/N692	N682/N692	HE 260 B (HEB)	0.343	1.00	1.00	-	-
		N683/N693	N683/N693	HE 260 B (HEB)	0.343	1.00	1.00	-	-
		N704/N714	N704/N714	HE 260 B (HEB)	0.352	1.00	1.00	-	-
		N695/N705	N695/N705	HE 260 B (HEB)	0.352	1.00	1.00	-	-
		N696/N706	N696/N706	HE 260 B (HEB)	0.352	1.00	1.00	-	-
		N697/N707	N697/N707	HE 260 B (HEB)	0.352	1.00	1.00	-	-
		N698/N708	N698/N708	HE 260 B (HEB)	0.352	1.00	1.00	-	-
		N699/N709	N699/N709	HE 260 B (HEB)	0.352	1.00	1.00	-	-
		N700/N710	N700/N710	HE 260 B (HEB)	0.352	1.00	1.00	-	-

AJUNTAMENT D'OLERDOLA
Aquest document és una còpia simple del document electrònic original.

Codi Segur de Verificació:
62ffb294-fe9f-412a-95ff-e789b2359074
Origen: Administració
Identificador document: ES_L01081000_2026_28828185
Data d'impressió: 03/11/2026 13:44:57
Pàgina 133 de 247

SIGNATURES
1.- ESTEVE AYMERICH (R: J62755897), 27/07/2026 11:04

Listados

Cobriment de pista a Sant Pere Molanta (Olèrdola)

Fecha: 10/03/26

Descripción									
Material		Barra (Ni/Nf)	Pieza (Ni/Nf)	Perfil(Serie)	Longitud (m)	β_{xy}	β_{xz}	$Lb_{Sup.}$ (m)	$Lb_{Inf.}$ (m)
Tipo	Designación								
		N701/N711	N701/N711	HE 260 B (HEB)	0.352	1.00	1.00	-	-
		N702/N712	N702/N712	HE 260 B (HEB)	0.352	1.00	1.00	-	-
		N703/N713	N703/N713	HE 260 B (HEB)	0.352	1.00	1.00	-	-
		N724/N734	N724/N734	HE 260 B (HEB)	0.335	1.00	1.00	-	-
		N715/N725	N715/N725	HE 260 B (HEB)	0.335	1.00	1.00	-	-
		N716/N726	N716/N726	HE 260 B (HEB)	0.335	1.00	1.00	-	-
		N717/N727	N717/N727	HE 260 B (HEB)	0.335	1.00	1.00	-	-
		N718/N728	N718/N728	HE 260 B (HEB)	0.335	1.00	1.00	-	-
		N719/N729	N719/N729	HE 260 B (HEB)	0.335	1.00	1.00	-	-
		N720/N730	N720/N730	HE 260 B (HEB)	0.335	1.00	1.00	-	-
		N721/N731	N721/N731	HE 260 B (HEB)	0.335	1.00	1.00	-	-
		N722/N732	N722/N732	HE 260 B (HEB)	0.335	1.00	1.00	-	-
		N723/N733	N723/N733	HE 260 B (HEB)	0.335	1.00	1.00	-	-
		N393/N351	N393/N351	TC 100x5 (TC)	5.102	1.00	1.00	-	-
		N392/N350	N392/N350	TC 100x5 (TC)	5.110	1.00	1.00	-	-
		N813/N349	N813/N349	TC 100x5 (TC)	5.085	1.00	1.00	-	-
		N388/N812	N388/N812	TC 100x5 (TC)	4.783	1.00	1.00	-	-
		N49/N7	N49/N7	TC 100x5 (TC)	5.102	1.00	1.00	-	-
		N48/N6	N48/N6	TC 100x5 (TC)	5.110	1.00	1.00	-	-
		N805/N5	N805/N5	TC 100x5 (TC)	5.085	1.00	1.00	-	-
		N44/N804	N44/N804	TC 100x5 (TC)	4.783	1.00	1.00	-	-
		N813/N787	N813/N392	HE 260 B (HEB)	1.839	1.00	1.00	-	-
		N787/N392	N813/N392	HE 260 B (HEB)	0.150	1.00	1.00	-	-
		N388/N664	N388/N664	HE 260 B (HEB)	0.387	1.00	1.00	-	-
		N804/N778	N804/N5	HE 260 B (HEB)	1.839	1.00	1.00	-	-
		N778/N5	N804/N5	HE 260 B (HEB)	0.150	1.00	1.00	-	-
		N1/N655	N1/N655	HE 260 B (HEB)	0.387	1.00	1.00	-	-
		N805/N779	N805/N48	HE 260 B (HEB)	1.839	1.00	1.00	-	-
		N779/N48	N805/N48	HE 260 B (HEB)	0.150	1.00	1.00	-	-

AJUNTAMENT D'OLERDOLA
Aquest document és una còpia simple del document electrònic original.

Codi Segur de Verificació:
62ffb294-fe9f-412a-95ff-e789b2359074
Origen: Administració
Identificador document: ES_L01081000_2026_28828185
Data d'impressió: 03/11/2026 13:44:57
Pàgina 134 de 247

SIGNATURES
1.- ESTEVE AYMERICH (R: J62755897), 27/07/2026 11:04

Listados

Cobriment de pista a Sant Pere Molanta (Olèrdola)

Fecha: 10/03/26

Descripción									
Material		Barra (Ni/Nf)	Pieza (Ni/Nf)	Perfil(Serie)	Longitud (m)	β_{xy}	β_{xz}	$Lb_{Sup.}$ (m)	$Lb_{Inf.}$ (m)
Tipo	Designación								
		N44/N656	N44/N656	HE 260 B (HEB)	0.387	1.00	1.00	-	-
		N806/N780	N806/N91	HE 260 B (HEB)	1.839	1.00	1.00	-	-
		N780/N91	N806/N91	HE 260 B (HEB)	0.150	1.00	1.00	-	-
		N87/N657	N87/N657	HE 260 B (HEB)	0.387	1.00	1.00	-	-
		N807/N781	N807/N134	HE 260 B (HEB)	1.839	1.00	1.00	-	-
		N781/N134	N807/N134	HE 260 B (HEB)	0.150	1.00	1.00	-	-
		N130/N658	N130/N658	HE 260 B (HEB)	0.387	1.00	1.00	-	-
		N808/N782	N808/N177	HE 260 B (HEB)	1.839	1.00	1.00	-	-
		N782/N177	N808/N177	HE 260 B (HEB)	0.150	1.00	1.00	-	-
		N173/N659	N173/N659	HE 260 B (HEB)	0.387	1.00	1.00	-	-
		N809/N783	N809/N220	HE 260 B (HEB)	1.839	1.00	1.00	-	-
		N783/N220	N809/N220	HE 260 B (HEB)	0.150	1.00	1.00	-	-
		N216/N660	N216/N660	HE 260 B (HEB)	0.387	1.00	1.00	-	-
		N810/N784	N810/N263	HE 260 B (HEB)	1.839	1.00	1.00	-	-
		N784/N263	N810/N263	HE 260 B (HEB)	0.150	1.00	1.00	-	-
		N259/N661	N259/N661	HE 260 B (HEB)	0.387	1.00	1.00	-	-
		N811/N785	N811/N306	HE 260 B (HEB)	1.839	1.00	1.00	-	-
		N785/N306	N811/N306	HE 260 B (HEB)	0.150	1.00	1.00	-	-
		N302/N662	N302/N662	HE 260 B (HEB)	0.387	1.00	1.00	-	-
		N812/N786	N812/N349	HE 260 B (HEB)	1.839	1.00	1.00	-	-
		N786/N349	N812/N349	HE 260 B (HEB)	0.150	1.00	1.00	-	-
		N345/N663	N345/N663	HE 260 B (HEB)	0.387	1.00	1.00	-	-
		N430/N735	N430/N735	CDC 90x5 (CDC)	0.520	1.00	1.00	-	-
		N516/N736	N516/N736	CDC 90x5 (CDC)	0.520	1.00	1.00	-	-
		N526/N737	N526/N737	CDC 90x5 (CDC)	0.520	1.00	1.00	-	-

AJUNTAMENT D'OLERDOLA
Aquest document és una còpia simple del document electrònic original.

Codi Segur de Verificació:
62ffb294-fe9f-412a-95ff-e789b2359074
Origen: Administració
Identificador document: ES_L01081000_2026_28828185
Data d'impressió: 03/11/2026 13:44:57
Pàgina 135 de 247

SIGNATURES
1.- ESTEVE AYMERICH (R: J62755897), 27/07/2026 11:04

Listados

Cobriment de pista a Sant Pere Molanta (Olèrdola) Fecha: 10/03/26

Descripción									
Material		Barra (Ni/Nf)	Pieza (Ni/Nf)	Perfil(Serie)	Longitud (m)	β_{xy}	β_{xz}	$Lb_{Sup.}$ (m)	$Lb_{Inf.}$ (m)
Tipo	Designación								
		N536/N738	N536/N738	CDC 90x5 (CDC)	0.520	1.00	1.00	-	-
		N546/N739	N546/N739	CDC 90x5 (CDC)	0.520	1.00	1.00	-	-
		N556/N740	N556/N740	CDC 90x5 (CDC)	0.520	1.00	1.00	-	-
		N566/N741	N566/N741	CDC 90x5 (CDC)	0.520	1.00	1.00	-	-
		N576/N742	N576/N742	CDC 90x5 (CDC)	0.520	1.00	1.00	-	-
		N586/N743	N586/N743	CDC 90x5 (CDC)	0.520	1.00	1.00	-	-
		N596/N744	N596/N744	CDC 90x5 (CDC)	0.520	1.00	1.00	-	-
		N606/N745	N606/N745	CDC 90x5 (CDC)	0.520	1.00	1.00	-	-
		N415/N746	N415/N746	CDC 90x5 (CDC)	0.520	1.00	1.00	-	-
		N398/N747	N398/N747	TC 100x5 (TC)	0.520	1.00	1.00	-	-
		N495/N748	N495/N748	TC 100x5 (TC)	0.520	1.00	1.00	-	-
		N505/N749	N505/N749	TC 100x5 (TC)	0.520	1.00	1.00	-	-
		N515/N750	N515/N750	TC 100x5 (TC)	0.520	1.00	1.00	-	-
		N393/N751	N393/N751	TC 100x5 (TC)	0.520	1.00	1.00	-	-
		N388/N752	N388/N752	TC 100x5 (TC)	0.520	1.00	1.00	-	-
		N485/N753	N485/N753	TC 100x5 (TC)	0.520	1.00	1.00	-	-
		N762/N763	N762/N763	TC 100x5 (TC)	4.680	1.00	1.00	-	-
		N763/N774	N763/N774	TC 100x5 (TC)	0.520	1.00	1.00	-	-
		N761/N762	N761/N762	TC 100x5 (TC)	4.680	1.00	1.00	-	-
		N760/N761	N760/N761	TC 100x5 (TC)	4.680	1.00	1.00	-	-
		N759/N760	N759/N760	TC 100x5 (TC)	4.680	1.00	1.00	-	-
		N758/N759	N758/N759	TC 100x5 (TC)	4.680	1.00	1.00	-	-
		N757/N758	N757/N758	TC 100x5 (TC)	4.680	1.00	1.00	-	-
		N756/N757	N756/N757	TC 100x5 (TC)	4.680	1.00	1.00	-	-
		N755/N756	N755/N756	TC 100x5 (TC)	4.680	1.00	1.00	-	-
		N754/N755	N754/N755	TC 100x5 (TC)	4.680	1.00	1.00	-	-
		N775/N754	N775/N754	TC 100x5 (TC)	2.100	1.00	1.00	-	-
		N773/N776	N773/N776	TC 100x5 (TC)	0.520	1.00	1.00	-	-
		N772/N773	N772/N773	TC 100x5 (TC)	4.680	1.00	1.00	-	-
		N771/N772	N771/N772	TC 100x5 (TC)	4.680	1.00	1.00	-	-
		N770/N771	N770/N771	TC 100x5 (TC)	4.680	1.00	1.00	-	-
		N769/N770	N769/N770	TC 100x5 (TC)	4.680	1.00	1.00	-	-
		N768/N769	N768/N769	TC 100x5 (TC)	4.680	1.00	1.00	-	-
		N767/N768	N767/N768	TC 100x5 (TC)	4.680	1.00	1.00	-	-
		N766/N767	N766/N767	TC 100x5 (TC)	4.680	1.00	1.00	-	-
		N765/N766	N765/N766	TC 100x5 (TC)	4.680	1.00	1.00	-	-
		N764/N765	N764/N765	TC 100x5 (TC)	4.680	1.00	1.00	-	-
		N777/N764	N777/N764	TC 100x5 (TC)	2.100	1.00	1.00	-	-

AJUNTAMENT D'OLERDOLA
Aquest document és una còpia simple del document electrònic original.

Codi Segur de Verificació:
62ffb294-fe9f-412a-95ff-e789b2359074
Origen: Administració
Identificador document: ES_L01081000_2026_28828185
Data d'impressió: 03/11/2026 13:44:57
Pàgina 136 de 247

SIGNATURES
1.- ESTEVE AYMERICH (R: J62755897), 27/07/2026 11:04

Listados

Cobriment de pista a Sant Pere Molanta (Olèrdola)

Fecha: 10/03/26

Descripción									
Material		Barra (Ni/Nf)	Pieza (Ni/Nf)	Perfil(Serie)	Longitud (m)	β_{xy}	β_{xz}	$Lb_{Sup.}$ (m)	$Lb_{Inf.}$ (m)
Tipo	Designación								
		N798/N788	N798/N788	TC 100x5 (TC)	2.100	1.00	1.00	-	-
		N799/N778	N799/N778	TC 100x5 (TC)	2.100	1.00	1.00	-	-
		N788/N789	N788/N789	TC 100x5 (TC)	4.680	1.00	1.00	-	-
		N789/N790	N789/N790	TC 100x5 (TC)	4.680	1.00	1.00	-	-
		N790/N791	N790/N791	TC 100x5 (TC)	4.680	1.00	1.00	-	-
		N791/N792	N791/N792	TC 100x5 (TC)	4.680	1.00	1.00	-	-
		N792/N793	N792/N793	TC 100x5 (TC)	4.680	1.00	1.00	-	-
		N793/N794	N793/N794	TC 100x5 (TC)	4.680	1.00	1.00	-	-
		N794/N795	N794/N795	TC 100x5 (TC)	4.680	1.00	1.00	-	-
		N795/N796	N795/N796	TC 100x5 (TC)	4.680	1.00	1.00	-	-
		N796/N797	N796/N797	TC 100x5 (TC)	4.680	1.00	1.00	-	-
		N797/N800	N797/N800	TC 100x5 (TC)	0.520	1.00	1.00	-	-
		N787/N801	N787/N801	TC 100x5 (TC)	0.520	1.00	1.00	-	-
		N786/N787	N786/N787	TC 100x5 (TC)	4.680	1.00	1.00	-	-
		N785/N786	N785/N786	TC 100x5 (TC)	4.680	1.00	1.00	-	-
		N784/N785	N784/N785	TC 100x5 (TC)	4.680	1.00	1.00	-	-
		N783/N784	N783/N784	TC 100x5 (TC)	4.680	1.00	1.00	-	-
		N782/N783	N782/N783	TC 100x5 (TC)	4.680	1.00	1.00	-	-
		N781/N782	N781/N782	TC 100x5 (TC)	4.680	1.00	1.00	-	-
		N780/N781	N780/N781	TC 100x5 (TC)	4.680	1.00	1.00	-	-
		N779/N780	N779/N780	TC 100x5 (TC)	4.680	1.00	1.00	-	-
		N778/N779	N778/N779	TC 100x5 (TC)	4.680	1.00	1.00	-	-
		N802/N655	N802/N655	TC 100x5 (TC)	2.100	1.00	1.00	-	-
		N655/N656	N655/N656	TC 100x5 (TC)	4.680	1.00	1.00	-	-
		N656/N657	N656/N657	TC 100x5 (TC)	4.680	1.00	1.00	-	-
		N657/N658	N657/N658	TC 100x5 (TC)	4.680	1.00	1.00	-	-
		N658/N659	N658/N659	TC 100x5 (TC)	4.680	1.00	1.00	-	-
		N659/N660	N659/N660	TC 100x5 (TC)	4.680	1.00	1.00	-	-
		N660/N661	N660/N661	TC 100x5 (TC)	4.680	1.00	1.00	-	-
		N661/N662	N661/N662	TC 100x5 (TC)	4.680	1.00	1.00	-	-
		N662/N663	N662/N663	TC 100x5 (TC)	4.680	1.00	1.00	-	-
		N663/N664	N663/N664	TC 100x5 (TC)	4.680	1.00	1.00	-	-
		N664/N803	N664/N803	TC 100x5 (TC)	0.520	1.00	1.00	-	-
		N814/N804	N814/N804	TC 100x5 (TC)	2.100	1.00	1.00	-	-
		N804/N805	N804/N805	TC 100x5 (TC)	4.680	1.00	1.00	-	-
		N805/N806	N805/N806	TC 100x5 (TC)	4.680	1.00	1.00	-	-
		N806/N807	N806/N807	TC 100x5 (TC)	4.680	1.00	1.00	-	-
		N807/N808	N807/N808	TC 100x5 (TC)	4.680	1.00	1.00	-	-
		N808/N809	N808/N809	TC 100x5 (TC)	4.680	1.00	1.00	-	-
		N809/N810	N809/N810	TC 100x5 (TC)	4.680	1.00	1.00	-	-
		N810/N811	N810/N811	TC 100x5 (TC)	4.680	1.00	1.00	-	-
		N811/N812	N811/N812	TC 100x5 (TC)	4.680	1.00	1.00	-	-
		N812/N813	N812/N813	TC 100x5 (TC)	4.680	1.00	1.00	-	-
		N813/N815	N813/N815	TC 100x5 (TC)	0.520	1.00	1.00	-	-
		N664/N813	N664/N813	HE 260 B (HEB)	0.600	1.00	1.00	-	-

AJUNTAMENT D'OLERDOLA
Aquest document és una còpia simple del document electrònic original.

DOCUMENT
DOCUMENT REGISTRE UNIFICAT ENTRADA
ÒRGAN
SERVEIS TECNICS
REGISTRE D'ENTRADA
E2026005054
Codi Segur de Verificació:
62ffb294-fe9f-412a-95ff-e789b2359074
Origen: Administració
Identificador document: ES_L01081000_2026_28828185
Data d'impressió: 03/11/2026 13:44:57
Pàgina 137 de 247
SIGNATURES
1.- ESTEVE AYMERICH (R: J62755897), 27/07/2026 11:04

Descripción									
Material		Barra (Ni/Nf)	Pieza (Ni/Nf)	Perfil(Serie)	Longitud (m)	β_{xy}	β_{xz}	$Lb_{Sup.}$ (m)	$Lb_{Inf.}$ (m)
Tipo	Designación								
		N655/N804	N655/N804	HE 260 B (HEB)	0.600	1.00	1.00	-	-
		N656/N805	N656/N805	HE 260 B (HEB)	0.600	1.00	1.00	-	-
		N657/N806	N657/N806	HE 260 B (HEB)	0.600	1.00	1.00	-	-
		N658/N807	N658/N807	HE 260 B (HEB)	0.600	1.00	1.00	-	-
		N659/N808	N659/N808	HE 260 B (HEB)	0.600	1.00	1.00	-	-
		N660/N809	N660/N809	HE 260 B (HEB)	0.600	1.00	1.00	-	-
		N661/N810	N661/N810	HE 260 B (HEB)	0.600	1.00	1.00	-	-
		N662/N811	N662/N811	HE 260 B (HEB)	0.600	1.00	1.00	-	-
		N663/N812	N663/N812	HE 260 B (HEB)	0.600	1.00	1.00	-	-

Notación:
Ni: Nudo inicial
Nf: Nudo final
b_{xy}: Coeficiente de pandeo en el plano 'XY'
b_{xz}: Coeficiente de pandeo en el plano 'XZ'
$Lb_{Sup.}$: Separación entre arriostramientos del ala superior
$Lb_{Inf.}$: Separación entre arriostramientos del ala inferior

2.1.1.3. Características mecánicas

AJUNTAMENT D'OLERDOLA
Aquest document és una còpia simple del document electrònic original.

Codi Segur de Verificació:
62ffb294-fe9f-412a-95ff-e789b2359074
Origen: Administració
Identificador document: ES_L01081000_2026_28828185
Data d'impressió: 03/11/2026 13:44:57
Pàgina 138 de 247

SIGNATURES
1.- ESTEVE AYMERICH (R: J62755897), 27/07/2026 11:04

Listados

Cobriment de pista a Sant Pere Molanta (Olèrdola) Fecha: 10/03/26

Tipos de pieza	
Ref.	Piezas
1	N5/N2, N2/N6, N6/N3, N9/N8, N9/N27, N10/N27, N10/N28, N11/N28, N11/N29, N12/N29, N12/N30, N13/N30, N13/N31, N14/N31, N14/N32, N15/N32, N15/N33, N16/N33, N16/N34, N17/N34, N17/N35, N18/N35, N18/N36, N19/N36, N19/N37, N20/N37, N20/N38, N21/N38, N21/N39, N22/N39, N22/N40, N23/N40, N23/N41, N24/N41, N24/N42, N25/N42, N25/N43, N48/N45, N45/N49, N49/N46, N52/N51, N52/N70, N53/N70, N53/N71, N54/N71, N54/N72, N55/N72, N55/N73, N56/N73, N56/N74, N57/N74, N57/N75, N58/N75, N58/N76, N59/N76, N59/N77, N60/N77, N60/N78, N61/N78, N61/N79, N62/N79, N62/N80, N63/N80, N63/N81, N64/N81, N64/N82, N65/N82, N65/N83, N66/N83, N66/N84, N67/N84, N67/N85, N68/N85, N68/N86, N91/N88, N88/N92, N92/N89, N95/N94, N95/N113, N96/N113, N96/N114, N97/N114, N97/N115, N98/N115, N98/N116, N99/N116, N99/N117, N100/N117, N100/N118, N101/N118, N101/N119, N102/N119, N102/N120, N103/N120, N103/N121, N104/N121, N104/N122, N105/N122, N105/N123, N106/N123, N106/N124, N107/N124, N107/N125, N108/N125, N108/N126, N109/N126, N109/N127, N110/N127, N110/N128, N111/N128, N111/N129, N134/N131, N131/N135, N135/N132, N138/N137, N138/N156, N139/N156, N139/N157, N140/N157, N140/N158, N141/N158, N141/N159, N142/N159, N142/N160, N143/N160, N143/N161, N144/N161, N144/N162, N145/N162, N145/N163, N146/N163, N146/N164, N147/N164, N147/N165, N148/N165, N148/N166, N149/N166, N149/N167, N150/N167, N150/N168, N151/N168, N151/N169, N152/N169, N152/N170, N153/N170, N153/N171, N154/N171, N154/N172, N177/N174, N174/N178, N178/N175, N181/N180, N181/N199, N182/N199, N182/N200, N183/N200, N183/N201, N184/N201, N184/N202, N185/N202, N185/N203, N186/N203, N186/N204, N187/N204, N187/N205, N188/N205, N188/N206, N189/N206, N189/N207, N190/N207, N190/N208, N191/N208, N191/N209, N192/N209, N192/N210, N193/N210, N193/N211, N194/N211, N194/N212, N195/N212, N195/N213, N196/N213, N196/N214, N197/N214, N197/N215, N220/N217, N217/N221, N221/N218, N224/N223, N224/N242, N225/N242, N225/N243, N226/N243, N226/N244, N227/N244, N227/N245, N228/N245, N228/N246, N229/N246, N229/N247, N230/N247, N230/N248, N231/N248, N231/N249, N232/N249, N232/N250, N233/N250, N233/N251, N234/N251, N234/N252, N235/N252, N235/N253, N236/N253, N236/N254, N237/N254, N237/N255, N238/N255, N238/N256, N239/N256, N239/N257, N240/N257, N240/N258, N263/N260, N260/N264, N264/N261, N267/N266, N267/N285, N268/N285, N268/N286, N269/N286, N269/N287, N270/N287, N270/N288, N271/N288, N271/N289, N272/N289, N272/N290, N273/N290, N273/N291, N274/N291, N274/N292, N275/N292, N275/N293, N276/N293, N276/N294, N277/N294, N277/N295, N278/N295, N278/N296, N279/N296, N279/N297, N280/N297, N280/N298, N281/N298, N281/N299, N282/N299, N282/N300, N283/N300, N283/N301, N306/N303, N303/N307, N307/N304, N310/N309, N310/N328, N311/N328, N311/N329, N312/N329, N312/N330, N313/N330, N313/N331, N314/N331, N314/N332, N315/N332, N315/N333, N316/N333, N316/N334, N317/N334, N317/N335, N318/N335, N318/N336, N319/N336, N319/N337, N320/N337, N320/N338, N321/N338, N321/N339, N322/N339, N322/N340, N323/N340, N323/N341, N324/N341, N324/N342, N325/N342, N325/N343, N326/N343, N326/N344, N349/N346, N346/N350, N350/N347, N353/N352, N353/N371, N354/N371, N354/N372, N355/N372, N355/N373, N356/N373, N356/N374, N357/N374, N357/N375, N358/N375, N358/N376, N359/N376, N359/N377, N360/N377, N360/N378, N361/N378, N361/N379, N362/N379, N362/N380, N363/N380, N363/N381, N364/N381, N364/N382, N365/N382, N365/N383, N366/N383, N366/N384, N367/N384, N367/N385, N368/N385, N368/N386, N369/N386, N369/N387, N392/N389, N389/N393, N393/N390, N396/N395, N396/N414, N397/N414, N397/N415, N398/N415, N398/N416, N399/N416, N399/N417, N400/N417, N400/N418, N401/N418, N401/N419, N402/N419, N402/N420, N403/N420, N403/N421, N404/N421, N404/N422, N405/N422, N405/N423, N406/N423, N406/N424, N407/N424, N407/N425, N408/N425, N408/N426, N409/N426, N409/N427, N410/N427, N410/N428, N411/N428, N411/N429, N412/N429 y N412/N430
2	N7/N4, N50/N47, N93/N90, N136/N133, N179/N176, N222/N219, N265/N262, N308/N305, N351/N348 y N394/N391

AJUNTAMENT D'OLERDOLA
Aquest document és una còpia simple del document electrònic original.

Codi Segur de Verificació:
62ffb294-fe9f-412a-95ff-e789b2359074
Origen: Administració
Identificador document: ES_L01081000_2026_28828185
Data d'impressió: 03/11/2026 13:44:57
Pàgina 139 de 247

SIGNATURES
1.- ESTEVE AYMERICH (R: J62755897), 27/07/2026 11:04

Listados

Cobriment de pista a Sant Pere Molanta (Olèrdola) Fecha: 10/03/26

Tipos de pieza	
Ref.	Piezas
3	N26/N43, N28/N71, N71/N114, N114/N157, N157/N200, N200/N243, N243/N286, N286/N329, N329/N372, N372/N415, N43/N86, N86/N129, N129/N172, N172/N215, N215/N258, N258/N301, N301/N344, N344/N387, N387/N430, N517/N516, N518/N517, N519/N518, N520/N519, N521/N520, N522/N521, N523/N522, N524/N523, N525/N524, N527/N526, N528/N527, N529/N528, N530/N529, N531/N530, N532/N531, N533/N532, N534/N533, N535/N534, N537/N536, N538/N537, N539/N538, N540/N539, N541/N540, N542/N541, N543/N542, N544/N543, N545/N544, N547/N546, N548/N547, N549/N548, N550/N549, N551/N550, N552/N551, N553/N552, N554/N553, N555/N554, N557/N556, N558/N557, N559/N558, N560/N559, N561/N560, N562/N561, N563/N562, N564/N563, N565/N564, N567/N566, N568/N567, N569/N568, N570/N569, N571/N570, N572/N571, N573/N572, N574/N573, N575/N574, N577/N576, N578/N577, N579/N578, N580/N579, N581/N580, N582/N581, N583/N582, N584/N583, N585/N584, N587/N586, N588/N587, N589/N588, N590/N589, N591/N590, N592/N591, N593/N592, N594/N593, N595/N594, N597/N596, N598/N597, N599/N598, N600/N599, N601/N600, N602/N601, N603/N602, N604/N603, N605/N604, N607/N606, N608/N607, N609/N608, N610/N609, N611/N610, N612/N611, N613/N612, N614/N613, N615/N614, N616/N43, N617/N525, N618/N535, N619/N545, N620/N555, N621/N565, N622/N575, N623/N585, N624/N595, N625/N605, N626/N615, N627/N28, N516/N387, N517/N344, N518/N301, N519/N258, N520/N215, N521/N172, N522/N129, N523/N86, N524/N43, N534/N525, N544/N535, N554/N545, N564/N555, N574/N565, N584/N575, N594/N585, N604/N595, N614/N605, N526/N517, N536/N527, N546/N537, N556/N547, N566/N557, N576/N567, N586/N577, N596/N587, N606/N597, N415/N607, N71/N615, N69/N86, N112/N129, N155/N172, N198/N215, N241/N258, N284/N301, N327/N344, N370/N387, N413/N430, N430/N735, N516/N736, N526/N737, N536/N738, N546/N739, N556/N740, N566/N741, N576/N742, N586/N743, N596/N744, N606/N745 y N415/N746
4	N431/N413, N431/N370, N432/N370, N432/N327, N433/N327, N433/N284, N434/N284, N434/N241, N435/N241, N435/N198, N436/N198, N436/N155, N437/N155, N437/N112, N438/N112, N438/N69, N439/N69 y N439/N26
5	N440/N441, N442/N443, N444/N445, N446/N447, N448/N449, N450/N451, N452/N453, N454/N455, N456/N457, N458/N459, N460/N461, N462/N463, N464/N465, N466/N467, N468/N469, N470/N471, N472/N473, N474/N475, N441/N442, N459/N460, N461/N462, N463/N464, N465/N466, N467/N468, N469/N470, N471/N472, N473/N474, N455/N456, N453/N454, N451/N452, N449/N450, N447/N448, N445/N446, N443/N444, N1/N44, N44/N87, N87/N130, N130/N173, N173/N216, N216/N259, N259/N302, N302/N345, N345/N388, N350/N393, N307/N350, N264/N307, N221/N264, N178/N221, N135/N178, N92/N135, N49/N92, N6/N49, N11/N54, N54/N97, N97/N140, N140/N183, N183/N226, N226/N269, N269/N312, N312/N355, N355/N398, N486/N487, N487/N488, N488/N489, N489/N490, N490/N491, N491/N492, N492/N493, N493/N494, N494/N495, N496/N497, N497/N498, N498/N499, N499/N500, N500/N501, N501/N502, N502/N503, N503/N504, N504/N505, N506/N507, N507/N508, N508/N509, N509/N510, N510/N511, N511/N512, N512/N513, N513/N514, N514/N515, N628/N11, N629/N486, N630/N496, N631/N506, N632/N6, N633/N1, N495/N355, N505/N494, N515/N504, N394/N514, N351/N513, N308/N512, N265/N511, N222/N510, N179/N509, N136/N508, N93/N507, N50/N506, N507/N496, N497/N486, N487/N11, N484/N485, N483/N484, N482/N483, N481/N482, N480/N481, N479/N480, N478/N479, N477/N478, N476/N477, N634/N476, N393/N351, N392/N350, N813/N349, N388/N812, N49/N7, N48/N6, N805/N5, N44/N804, N398/N747, N495/N748, N505/N749, N515/N750, N393/N751, N388/N752, N485/N753, N762/N763, N763/N774, N761/N762, N760/N761, N759/N760, N758/N759, N757/N758, N756/N757, N755/N756, N754/N755, N775/N754, N773/N776, N772/N773, N771/N772, N770/N771, N769/N770, N768/N769, N767/N768, N766/N767, N765/N766, N764/N765, N777/N764, N798/N788, N799/N778, N788/N789, N789/N790, N790/N791, N791/N792, N792/N793, N793/N794, N794/N795, N795/N796, N796/N797, N797/N800, N787/N801, N786/N787, N785/N786, N784/N785, N783/N784, N782/N783, N781/N782, N780/N781, N779/N780, N778/N779, N802/N655, N655/N656, N656/N657, N657/N658, N658/N659, N659/N660, N660/N661, N661/N662, N662/N663, N663/N664, N664/N803, N814/N804, N804/N805, N805/N806, N806/N807, N807/N808, N808/N809, N809/N810, N810/N811, N811/N812, N812/N813 y N813/N815

AJUNTAMENT D'OLERDOLA
Aquest document és una còpia simple del document electrònic original.

Codi Segur de Verificació:
62ffb294-fe9f-412a-95ff-e789b2359074
Origen: Administració
Identificador document: ES_L01081000_2026_28828185
Data d'impressió: 03/11/2026 13:44:57
Pàgina 140 de 247

SIGNATURES
1.- ESTEVE AYMERICH (R: J62755897), 27/07/2026 11:04

Tipos de pieza	
Ref.	Piezas
6	N391/N430, N4/N43, N47/N86, N90/N129, N133/N172, N176/N215, N219/N258, N262/N301, N305/N344, N348/N387, N388/N389, N389/N390, N390/N391, N1/N2, N2/N3, N3/N4, N44/N45, N45/N46, N46/N47, N87/N88, N88/N89, N89/N90, N130/N131, N131/N132, N132/N133, N173/N174, N174/N175, N175/N176, N216/N217, N217/N218, N218/N219, N259/N260, N260/N261, N261/N262, N302/N303, N303/N304, N304/N305, N345/N346, N346/N347, N347/N348, N5/N6, N6/N7, N7/N8, N48/N49, N49/N50, N50/N51, N91/N92, N92/N93, N93/N94, N134/N135, N135/N136, N136/N137, N177/N178, N178/N179, N179/N180, N220/N221, N221/N222, N222/N223, N263/N264, N264/N265, N265/N266, N306/N307, N307/N308, N308/N309, N349/N350, N350/N351, N351/N352, N392/N393, N393/N394, N394/N395, N644/N388, N635/N1, N636/N44, N637/N87, N638/N130, N639/N173, N640/N216, N641/N259, N642/N302, N643/N345, N654/N664, N645/N655, N646/N656, N647/N657, N648/N658, N649/N659, N650/N660, N651/N661, N652/N662, N653/N663, N644/N654, N635/N645, N636/N646, N637/N647, N638/N648, N639/N649, N640/N650, N641/N651, N642/N652, N643/N653, N684/N694, N675/N685, N676/N686, N677/N687, N678/N688, N679/N689, N680/N690, N681/N691, N682/N692, N683/N693, N704/N714, N695/N705, N696/N706, N697/N707, N698/N708, N699/N709, N700/N710, N701/N711, N702/N712, N703/N713, N724/N734, N715/N725, N716/N726, N717/N727, N718/N728, N719/N729, N720/N730, N721/N731, N722/N732, N723/N733, N813/N392, N388/N664, N804/N5, N1/N655, N805/N48, N44/N656, N806/N91, N87/N657, N807/N134, N130/N658, N808/N177, N173/N659, N809/N220, N216/N660, N810/N263, N259/N661, N811/N306, N302/N662, N812/N349, N345/N663, N664/N813, N655/N804, N656/N805, N657/N806, N658/N807, N659/N808, N660/N809, N661/N810, N662/N811 y N663/N812
7	N390/N413, N3/N26, N46/N69, N89/N112, N132/N155, N175/N198, N218/N241, N261/N284, N304/N327 y N347/N370
8	N26/N69, N69/N112, N112/N155, N155/N198, N198/N241, N241/N284, N284/N327, N327/N370 y N370/N413
9	N1/N476, N44/N477, N87/N478, N130/N479, N173/N480, N216/N481, N259/N482, N302/N483, N345/N484 y N388/N485

Características mecánicas

Material		Ref.	Descripción	A (cm²)	Avy (cm²)	Avz (cm²)	Iyy (cm4)	Izz (cm4)	It (cm4)
Tipo	Designación								
Acero laminado	S275	1	TC 90x5, (TC)	13.35	12.02	12.02	121.00	121.00	242.00
		2	TC 125x5, (TC)	18.85	16.96	16.96	339.88	339.88	679.76
		3	CDC 90x5, (CDC)	16.08	7.08	7.08	186.61	186.61	316.45
		4	CC 200x120x8, (CC)	46.39	14.93	25.60	2375.72	1073.18	2502.51
		5	TC 100x5, (TC)	14.92	13.43	13.43	168.81	168.81	337.62
		6	HE 260 B , (HEB)	118.40	68.25	20.25	14920.00	5135.00	123.80
		7	UPN 260, Doble en cajón soldado, (UPN) Cordón continuo	96.60	37.80	41.76	9640.00	4893.06	9555.36
		8	CDC 100x6, (CDC)	21.29	9.40	9.40	301.80	301.80	513.85
		9	UPN 100, Doble en I unión genérica, (UPN) Separación entre los perfiles: 260.0 / 260.0 mm Perfiles independientes	27.00	12.75	8.96	412.00	5774.57	5.62

Notación:
Ref.: Referencia
A: Área de la sección transversal
Avy: Área de cortante de la sección según el eje local 'Y'
Avz: Área de cortante de la sección según el eje local 'Z'
Iyy: Inercia de la sección alrededor del eje local 'Y'
Izz: Inercia de la sección alrededor del eje local 'Z'
It: Inercia a torsión
Las características mecánicas de las piezas corresponden a la sección en el punto medio de las mismas.

2.2. Resultados

2.2.1. Nudos

2.2.1.1. Desplazamientos

Referencias:

Dx, Dy, Dz: Desplazamientos de los nudos en ejes globales.
Gx, Gy, Gz: Giros de los nudos en ejes globales.

AJUNTAMENT D'OLERDOLA
Aquest document és una còpia simple del document electrònic original.

2.2.1.1.1. Envolventes

Envolvente de los desplazamientos en nudos								
Referencia	Combinación		Desplazamientos en ejes globales					
	Tipo	Descripción	Dx (mm)	Dy (mm)	Dz (mm)	Gx (mRad)	Gy (mRad)	Gz (mRad)
N1	Desplazamientos	Valor mínimo de la envolvente	3.340	-1.840	-19.130	-0.201	0.989	-0.029
		Valor máximo de la envolvente	36.237	0.901	-1.788	0.453	9.338	0.059
N2	Desplazamientos	Valor mínimo de la envolvente	5.051	-2.565	-26.449	-0.208	0.945	-0.015
		Valor máximo de la envolvente	48.794	1.283	-2.797	0.400	6.585	0.086
N3	Desplazamientos	Valor mínimo de la envolvente	6.668	-3.111	-33.308	-0.239	0.908	-0.061
		Valor máximo de la envolvente	60.529	1.636	-3.747	0.372	6.307	0.174
N4	Desplazamientos	Valor mínimo de la envolvente	8.202	-3.575	-39.282	-0.224	0.899	-0.033
		Valor máximo de la envolvente	70.666	1.995	-4.644	0.372	6.006	0.203
N5	Desplazamientos	Valor mínimo de la envolvente	3.651	-2.031	-39.036	-0.067	0.941	-0.045
		Valor máximo de la envolvente	38.523	1.132	-4.687	0.147	6.301	0.078
N6	Desplazamientos	Valor mínimo de la envolvente	5.318	-2.346	-46.004	-0.117	0.938	-0.139
		Valor máximo de la envolvente	50.967	1.320	-5.636	0.229	6.967	0.259
N7	Desplazamientos	Valor mínimo de la envolvente	6.963	-2.695	-52.546	-0.262	0.863	-0.058
		Valor máximo de la envolvente	62.679	1.543	-6.572	0.326	6.059	0.184
N8	Desplazamientos	Valor mínimo de la envolvente	8.354	-3.062	-57.688	-0.278	0.757	-0.030
		Valor máximo de la envolvente	71.582	1.958	-7.381	0.335	5.581	0.196
N9	Desplazamientos	Valor mínimo de la envolvente	7.273	-2.255	-68.091	-0.413	0.612	-0.044
		Valor máximo de la envolvente	64.886	1.547	-9.098	0.379	5.255	0.215
N10	Desplazamientos	Valor mínimo de la envolvente	7.571	-1.759	-80.744	-0.453	0.468	-0.068
		Valor máximo de la envolvente	66.880	1.515	-11.284	0.403	4.466	0.251
N11	Desplazamientos	Valor mínimo de la envolvente	7.839	-1.281	-90.102	-0.413	0.326	-0.119
		Valor máximo de la envolvente	68.588	1.442	-13.005	0.396	3.302	0.200
N12	Desplazamientos	Valor mínimo de la envolvente	8.069	-1.046	-96.226	-0.428	0.143	-0.207
		Valor máximo de la envolvente	69.984	1.151	-14.241	0.457	2.151	0.116
N13	Desplazamientos	Valor mínimo de la envolvente	8.255	-0.944	-99.386	-0.486	-0.029	-0.213
		Valor máximo de la envolvente	71.066	0.803	-14.997	0.462	0.895	0.087
N14	Desplazamientos	Valor mínimo de la envolvente	8.396	-0.878	-99.819	-0.551	-0.403	-0.189
		Valor máximo de la envolvente	71.841	0.514	-14.854	0.432	0.050	0.078
N15	Desplazamientos	Valor mínimo de la envolvente	8.491	-0.821	-97.814	-0.603	-1.722	-0.161
		Valor máximo de la envolvente	72.325	0.307	-14.314	0.383	-0.173	0.073
N16	Desplazamientos	Valor mínimo de la envolvente	8.543	-0.766	-93.515	-0.633	-3.242	-0.138
		Valor máximo de la envolvente	72.529	0.165	-13.492	0.321	-0.395	0.066
N17	Desplazamientos	Valor mínimo de la envolvente	8.600	-0.630	-86.783	-0.914	-5.070	-0.148
		Valor máximo de la envolvente	73.101	-0.050	-12.332	0.431	-0.675	0.096
N18	Desplazamientos	Valor mínimo de la envolvente	8.517	-0.668	-78.992	-0.646	-5.777	-0.117
		Valor máximo de la envolvente	72.125	0.003	-11.102	0.187	-0.868	0.053
N19	Desplazamientos	Valor mínimo de la envolvente	8.455	-0.620	-70.226	-0.662	-6.775	-0.116
		Valor máximo de la envolvente	71.672	-0.044	-9.781	0.114	-0.998	0.048
N20	Desplazamientos	Valor mínimo de la envolvente	8.365	-0.572	-60.595	-0.665	-7.887	-0.115
		Valor máximo de la envolvente	71.059	-0.076	-8.382	0.031	-1.134	0.042
N21	Desplazamientos	Valor mínimo de la envolvente	8.250	-0.525	-50.320	-0.655	-8.876	-0.106
		Valor máximo de la envolvente	70.309	-0.095	-6.920	-0.062	-1.251	0.030
N22	Desplazamientos	Valor mínimo de la envolvente	8.114	-0.489	-39.573	-0.632	-9.732	-0.085
		Valor máximo de la envolvente	69.442	-0.097	-5.419	-0.165	-1.352	0.008
N23	Desplazamientos	Valor mínimo de la envolvente	7.961	-0.469	-28.630	-0.593	-10.426	-0.044
		Valor máximo de la envolvente	68.485	-0.083	-3.907	-0.282	-1.433	-0.024
N24	Desplazamientos	Valor mínimo de la envolvente	7.799	-0.478	-17.989	-0.540	-10.915	-0.068
		Valor máximo de la envolvente	67.488	-0.062	-2.452	-0.385	-1.489	0.024
N25	Desplazamientos	Valor mínimo de la envolvente	7.631	-0.516	-7.669	-0.518	-11.324	-0.113
		Valor máximo de la envolvente	66.457	-0.054	-1.046	-0.379	-1.541	0.130
N26	Desplazamientos	Valor mínimo de la envolvente	7.514	-0.556	-1.161	-	-	-
		Valor máximo de la envolvente	65.760	-0.008	-0.162	-	-	-
N27	Desplazamientos	Valor mínimo de la envolvente	8.464	-2.615	-72.664	-0.236	0.562	-0.039
		Valor máximo de la envolvente	72.133	1.922	-9.882	0.387	5.113	0.180

AJUNTAMENT D'OLERDOLA
Aquest document és una còpia simple del document electrònic original.

DOCUMENT
DOCUMENT REGISTRE UNIFICAT ENTRADA
ÒRGAN
SERVEIS TECNICS
REGISTRE D'ENTRADA
E2026005054
Codi Segur de Verificació:
62ffb294-fe9f-412a-95ff-e789b2359074
Origen: Administració
Identificador document: ES_L01081000_2026_28828185
Data d'impressió: 03/11/2026 13:44:57
Pàgina 142 de 247
SIGNATURES
1.- ESTEVE AYMERICH (R: J62755897), 27/07/2026 11:04

Envolvente de los desplazamientos en nudos

Referencia	Combinación		Desplazamientos en ejes globales					
	Tipo	Descripción	Dx (mm)	Dy (mm)	Dz (mm)	Gx (mRad)	Gy (mRad)	Gz (mRad)
N28	Desplazamientos	Valor mínimo de la envolvente	8.525	-2.269	-84.255	-0.569	0.399	-0.095
		Valor máximo de la envolvente	72.387	1.826	-11.916	1.022	4.044	0.188
N29	Desplazamientos	Valor mínimo de la envolvente	8.542	-2.027	-92.534	-0.443	0.263	-0.104
		Valor máximo de la envolvente	72.373	1.667	-13.468	0.736	2.872	0.155
N30	Desplazamientos	Valor mínimo de la envolvente	8.519	-1.791	-97.644	-0.574	0.092	-0.123
		Valor máximo de la envolvente	72.125	1.499	-14.544	0.728	1.653	0.157
N31	Desplazamientos	Valor mínimo de la envolvente	8.460	-1.578	-99.864	-0.736	-0.083	-0.141
		Valor máximo de la envolvente	71.678	1.320	-15.046	0.660	0.384	0.146
N32	Desplazamientos	Valor mínimo de la envolvente	8.371	-1.393	-99.446	-0.889	-0.939	-0.154
		Valor máximo de la envolvente	71.065	1.145	-14.704	0.602	-0.028	0.135
N33	Desplazamientos	Valor mínimo de la envolvente	8.256	-1.229	-96.643	-0.907	-2.181	-0.154
		Valor máximo de la envolvente	70.308	0.980	-14.065	0.524	-0.256	0.124
N34	Desplazamientos	Valor mínimo de la envolvente	8.122	-1.087	-91.709	-0.918	-3.972	-0.152
		Valor máximo de la envolvente	69.450	0.830	-13.167	0.461	-0.524	0.116
N35	Desplazamientos	Valor mínimo de la envolvente	7.967	-0.958	-84.130	-0.910	-5.250	-0.149
		Valor máximo de la envolvente	68.442	0.694	-11.894	0.408	-0.734	0.109
N36	Desplazamientos	Valor mínimo de la envolvente	7.809	-0.841	-76.194	-0.856	-6.037	-0.142
		Valor máximo de la envolvente	67.464	0.573	-10.669	0.317	-0.891	0.104
N37	Desplazamientos	Valor mínimo de la envolvente	7.644	-0.728	-67.134	-0.786	-7.208	-0.134
		Valor máximo de la envolvente	66.453	0.463	-9.324	0.234	-1.069	0.100
N38	Desplazamientos	Valor mínimo de la envolvente	7.479	-0.620	-57.248	-0.772	-8.296	-0.124
		Valor máximo de la envolvente	65.453	0.364	-7.901	0.146	-1.174	0.095
N39	Desplazamientos	Valor mínimo de la envolvente	7.314	-0.517	-46.724	-0.790	-9.227	-0.118
		Valor máximo de la envolvente	64.456	0.277	-6.411	0.138	-1.294	0.096
N40	Desplazamientos	Valor mínimo de la envolvente	7.154	-0.418	-35.817	-0.749	-10.030	-0.098
		Valor máximo de la envolvente	63.488	0.202	-4.899	-0.061	-1.387	0.082
N41	Desplazamientos	Valor mínimo de la envolvente	7.006	-0.329	-25.073	-0.727	-10.653	-0.086
		Valor máximo de la envolvente	62.592	0.143	-3.416	-0.093	-1.457	0.081
N42	Desplazamientos	Valor mínimo de la envolvente	6.869	-0.242	-14.500	-0.652	-11.089	-0.065
		Valor máximo de la envolvente	61.764	0.100	-1.978	-0.286	-1.509	0.056
N43	Desplazamientos	Valor mínimo de la envolvente	6.709	-0.132	-1.262	-0.875	-11.190	-0.062
		Valor máximo de la envolvente	60.795	0.127	-0.173	-0.186	-1.522	0.049
N44	Desplazamientos	Valor mínimo de la envolvente	3.192	-1.848	-19.159	-0.155	0.976	-0.050
		Valor máximo de la envolvente	36.293	0.908	-1.711	0.446	9.273	0.073
N45	Desplazamientos	Valor mínimo de la envolvente	4.965	-2.587	-26.283	-0.149	0.994	0.011
		Valor máximo de la envolvente	48.515	1.218	-2.756	0.397	6.359	0.065
N46	Desplazamientos	Valor mínimo de la envolvente	6.659	-3.144	-32.922	-0.120	0.944	0.018
		Valor máximo de la envolvente	59.872	1.469	-3.752	0.368	6.124	0.165
N47	Desplazamientos	Valor mínimo de la envolvente	8.242	-3.607	-38.736	-0.116	0.948	0.014
		Valor máximo de la envolvente	69.743	1.692	-4.678	0.372	5.847	0.207
N48	Desplazamientos	Valor mínimo de la envolvente	3.513	-2.085	-38.516	0.021	0.992	-0.056
		Valor máximo de la envolvente	38.523	1.172	-4.715	0.124	6.076	0.116
N49	Desplazamientos	Valor mínimo de la envolvente	5.255	-2.424	-45.272	-0.040	0.976	0.130
		Valor máximo de la envolvente	50.589	1.362	-5.707	0.274	6.765	0.150
N50	Desplazamientos	Valor mínimo de la envolvente	6.967	-2.742	-51.628	-0.100	0.916	0.010
		Valor máximo de la envolvente	61.958	1.550	-6.679	0.307	5.835	0.180
N51	Desplazamientos	Valor mínimo de la envolvente	8.397	-3.079	-56.645	-0.128	0.811	0.017
		Valor máximo de la envolvente	70.640	1.760	-7.509	0.318	5.448	0.200
N52	Desplazamientos	Valor mínimo de la envolvente	7.291	-2.305	-66.870	0.062	0.646	-0.007
		Valor máximo de la envolvente	64.105	1.571	-9.248	0.250	5.155	0.208
N53	Desplazamientos	Valor mínimo de la envolvente	7.600	-1.805	-79.315	0.103	0.491	-0.016
		Valor máximo de la envolvente	66.051	1.513	-11.447	0.304	4.395	0.235
N54	Desplazamientos	Valor mínimo de la envolvente	7.874	-1.335	-88.515	0.124	0.337	0.014
		Valor máximo de la envolvente	67.718	1.459	-13.169	0.305	3.252	0.187
N55	Desplazamientos	Valor mínimo de la envolvente	8.107	-1.108	-94.545	0.113	0.149	0.037
		Valor máximo de la envolvente	69.081	1.508	-14.404	0.381	2.116	0.105

AJUNTAMENT D'OLERDOLA
Aquest document és una còpia simple del document electrònic original.

DOCUMENT
DOCUMENT REGISTRE UNIFICAT ENTRADA
ÒRGAN
SERVEIS TECNICS
REGISTRE D'ENTRADA
E2026005054
Codi Segur de Verificació:
62ffb294-fe9f-412a-95ff-e789b2359074
Origen: Administració
Identificador document: ES_L01081000_2026_28828185
Data d'impressió: 03/11/2026 13:44:57
Pàgina 143 de 247
SIGNATURES
1.- ESTEVE AYMERICH (R: J62755897), 27/07/2026 11:04

Envolvente de los desplazamientos en nudos

Referencia	Combinación		Desplazamientos en ejes globales					
	Tipo	Descripción	Dx (mm)	Dy (mm)	Dz (mm)	Gx (mRad)	Gy (mRad)	Gz (mRad)
N56	Desplazamientos	Valor mínimo de la envolvente	8.294	-1.005	-97.657	0.154	-0.032	0.009
		Valor máximo de la envolvente	70.140	1.532	-15.156	0.398	0.881	0.084
N57	Desplazamientos	Valor mínimo de la envolvente	8.436	-0.926	-98.082	0.204	-0.399	-0.025
		Valor máximo de la envolvente	70.899	1.478	-15.451	0.383	0.046	0.082
N58	Desplazamientos	Valor mínimo de la envolvente	8.530	-0.847	-96.100	0.243	-1.703	-0.053
		Valor máximo de la envolvente	71.373	1.360	-14.896	0.355	-0.178	0.083
N59	Desplazamientos	Valor mínimo de la envolvente	8.580	-0.766	-91.857	0.263	-3.193	-0.069
		Valor máximo de la envolvente	71.573	1.205	-14.037	0.322	-0.409	0.083
N60	Desplazamientos	Valor mínimo de la envolvente	8.654	-0.651	-85.244	0.360	-4.964	-0.057
		Valor máximo de la envolvente	72.102	1.121	-12.823	0.468	-0.710	0.097
N61	Desplazamientos	Valor mínimo de la envolvente	8.546	-0.613	-77.561	0.232	-5.704	-0.082
		Valor máximo de la envolvente	71.180	0.878	-11.537	0.264	-0.884	0.078
N62	Desplazamientos	Valor mínimo de la envolvente	8.481	-0.542	-68.892	0.194	-6.704	-0.087
		Valor máximo de la envolvente	70.733	0.724	-10.160	0.249	-1.040	0.075
N63	Desplazamientos	Valor mínimo de la envolvente	8.387	-0.474	-59.364	0.148	-7.804	-0.089
		Valor máximo de la envolvente	70.128	0.584	-8.701	0.225	-1.183	0.070
N64	Desplazamientos	Valor mínimo de la envolvente	8.267	-0.413	-49.196	0.096	-8.784	-0.089
		Valor máximo de la envolvente	69.387	0.458	-7.176	0.191	-1.306	0.061
N65	Desplazamientos	Valor mínimo de la envolvente	8.126	-0.365	-38.559	0.039	-9.632	-0.085
		Valor máximo de la envolvente	68.530	0.342	-5.607	0.152	-1.413	0.042
N66	Desplazamientos	Valor mínimo de la envolvente	7.967	-0.337	-27.727	-0.025	-10.319	-0.086
		Valor máximo de la envolvente	67.583	0.236	-4.026	0.104	-1.501	0.013
N67	Desplazamientos	Valor mínimo de la envolvente	7.800	-0.339	-17.195	-0.084	-10.805	-0.093
		Valor máximo de la envolvente	66.598	0.140	-2.499	0.051	-1.563	-0.021
N68	Desplazamientos	Valor mínimo de la envolvente	7.625	-0.360	-6.977	-0.130	-11.212	-0.111
		Valor máximo de la envolvente	65.578	0.044	-1.023	-0.002	-1.620	0.013
N69	Desplazamientos	Valor mínimo de la envolvente	7.506	-0.375	-0.535	-	-	-
		Valor máximo de la envolvente	64.888	0.026	-0.093	-	-	-
N70	Desplazamientos	Valor mínimo de la envolvente	8.506	-2.619	-71.361	-0.254	0.591	0.000
		Valor máximo de la envolvente	71.183	1.830	-10.040	0.367	5.034	0.183
N71	Desplazamientos	Valor mínimo de la envolvente	8.568	-2.258	-82.768	-0.055	0.416	-0.039
		Valor máximo de la envolvente	71.431	1.824	-12.081	0.645	3.982	0.171
N72	Desplazamientos	Valor mínimo de la envolvente	8.584	-1.987	-90.907	-0.005	0.268	-0.077
		Valor máximo de la envolvente	71.413	1.672	-13.633	0.607	2.834	0.155
N73	Desplazamientos	Valor mínimo de la envolvente	8.561	-1.743	-95.940	0.150	0.092	-0.076
		Valor máximo de la envolvente	71.165	1.490	-14.706	0.586	1.631	0.149
N74	Desplazamientos	Valor mínimo de la envolvente	8.501	-1.527	-98.127	0.312	-0.091	-0.069
		Valor máximo de la envolvente	70.723	1.305	-15.303	0.516	0.383	0.136
N75	Desplazamientos	Valor mínimo de la envolvente	8.410	-1.343	-97.713	0.443	-0.913	-0.060
		Valor máximo de la envolvente	70.117	1.129	-15.303	0.496	-0.037	0.123
N76	Desplazamientos	Valor mínimo de la envolvente	8.292	-1.183	-94.943	0.412	-2.149	-0.057
		Valor máximo de la envolvente	69.369	0.964	-14.636	0.497	-0.264	0.114
N77	Desplazamientos	Valor mínimo de la envolvente	8.154	-1.044	-90.073	0.373	-3.904	-0.054
		Valor máximo de la envolvente	68.522	0.816	-13.699	0.483	-0.544	0.107
N78	Desplazamientos	Valor mínimo de la envolvente	7.993	-0.920	-82.641	0.349	-5.177	-0.052
		Valor máximo de la envolvente	67.532	0.681	-12.363	0.456	-0.754	0.102
N79	Desplazamientos	Valor mínimo de la envolvente	7.830	-0.807	-74.798	0.313	-5.968	-0.052
		Valor máximo de la envolvente	66.566	0.562	-11.085	0.412	-0.921	0.100
N80	Desplazamientos	Valor mínimo de la envolvente	7.660	-0.701	-65.833	0.280	-7.129	-0.053
		Valor máximo de la envolvente	65.568	0.453	-9.685	0.359	-1.115	0.098
N81	Desplazamientos	Valor mínimo de la envolvente	7.490	-0.600	-56.053	0.228	-8.216	-0.053
		Valor máximo de la envolvente	64.580	0.356	-8.199	0.310	-1.222	0.095
N82	Desplazamientos	Valor mínimo de la envolvente	7.319	-0.508	-45.638	0.247	-9.119	-0.047
		Valor máximo de la envolvente	63.594	0.268	-6.644	0.322	-1.358	0.093
N83	Desplazamientos	Valor mínimo de la envolvente	7.153	-0.424	-34.842	0.097	-9.936	-0.047
		Valor máximo de la envolvente	62.638	0.192	-5.063	0.210	-1.447	0.085

AJUNTAMENT D'OLERDOLA
Aquest document és una còpia simple del document electrònic original.

Codi Segur de Verificació:
62ffb294-fe9f-412a-95ff-e789b2359074
Origen: Administració
Identificador document: ES_L01081000_2026_28828185
Data d'impressió: 03/11/2026 13:44:57
Pàgina 144 de 247

SIGNATURES
1.- ESTEVE AYMERICH (R: J62755897), 27/07/2026 11:04

Listados

Cobriment de pista a Sant Pere Molanta (Olèrdola)

Fecha: 10/03/26

Envolvente de los desplazamientos en nudos								
Referencia	Combinación		Desplazamientos en ejes globales					
	Tipo	Descripción	Dx (mm)	Dy (mm)	Dz (mm)	Gx (mRad)	Gy (mRad)	Gz (mRad)
N84	Desplazamientos	Valor mínimo de la envolvente	6.999	-0.346	-24.207	0.068	-10.530	-0.040
		Valor máximo de la envolvente	61.753	0.132	-3.511	0.248	-1.534	0.097
N85	Desplazamientos	Valor mínimo de la envolvente	6.858	-0.265	-13.743	-0.219	-10.981	-0.034
		Valor máximo de la envolvente	60.934	0.097	-2.001	0.028	-1.584	0.076
N86	Desplazamientos	Valor mínimo de la envolvente	6.695	-0.153	-0.635	-0.628	-11.079	-0.031
		Valor máximo de la envolvente	59.976	0.169	-0.104	-0.049	-1.599	0.076
N87	Desplazamientos	Valor mínimo de la envolvente	2.971	-1.829	-18.949	-0.173	0.875	-0.050
		Valor máximo de la envolvente	35.895	0.896	-1.594	0.418	9.194	0.072
N88	Desplazamientos	Valor mínimo de la envolvente	4.485	-2.527	-26.061	-0.128	0.839	0.029
		Valor máximo de la envolvente	48.096	1.216	-2.489	0.370	6.366	0.051
N89	Desplazamientos	Valor mínimo de la envolvente	5.918	-3.055	-32.703	-0.099	0.798	0.026
		Valor máximo de la envolvente	59.458	1.444	-3.334	0.331	6.113	0.127
N90	Desplazamientos	Valor mínimo de la envolvente	7.248	-3.496	-38.497	-0.096	0.802	0.024
		Valor máximo de la envolvente	69.290	1.639	-4.115	0.344	5.826	0.180
N91	Desplazamientos	Valor mínimo de la envolvente	3.245	-2.073	-38.264	-0.063	0.834	-0.053
		Valor máximo de la envolvente	38.120	1.160	-4.149	0.164	6.087	0.079
N92	Desplazamientos	Valor mínimo de la envolvente	4.726	-2.425	-45.018	-0.086	0.831	0.026
		Valor máximo de la envolvente	50.186	1.363	-4.992	0.207	6.760	0.124
N93	Desplazamientos	Valor mínimo de la envolvente	6.179	-2.752	-51.361	-0.075	0.778	0.028
		Valor máximo de la envolvente	61.542	1.549	-5.816	0.255	5.812	0.149
N94	Desplazamientos	Valor mínimo de la envolvente	7.376	-3.034	-56.351	-0.106	0.690	0.026
		Valor máximo de la envolvente	70.179	1.732	-6.512	0.271	5.416	0.176
N95	Desplazamientos	Valor mínimo de la envolvente	6.448	-2.324	-66.469	0.001	0.503	-0.021
		Valor máximo de la envolvente	63.684	1.581	-7.973	0.155	5.110	0.206
N96	Desplazamientos	Valor mínimo de la envolvente	6.705	-1.794	-78.779	-0.019	0.369	-0.027
		Valor máximo de la envolvente	65.620	1.512	-9.809	0.188	4.342	0.222
N97	Desplazamientos	Valor mínimo de la envolvente	6.934	-1.369	-87.872	-0.028	0.228	-0.021
		Valor máximo de la envolvente	67.278	1.458	-11.243	0.259	3.217	0.149
N98	Desplazamientos	Valor mínimo de la envolvente	7.127	-1.224	-93.817	-0.039	0.064	-0.030
		Valor máximo de la envolvente	68.632	1.417	-12.263	0.306	2.082	0.063
N99	Desplazamientos	Valor mínimo de la envolvente	7.282	-1.181	-96.870	-0.024	-0.092	-0.053
		Valor máximo de la envolvente	69.682	1.338	-12.873	0.291	0.858	0.050
N100	Desplazamientos	Valor mínimo de la envolvente	7.398	-1.132	-97.261	-0.007	-0.410	-0.073
		Valor máximo de la envolvente	70.433	1.216	-13.098	0.251	0.026	0.060
N101	Desplazamientos	Valor mínimo de la envolvente	7.475	-1.057	-95.271	0.005	-1.700	-0.086
		Valor máximo de la envolvente	70.901	1.068	-12.969	0.209	-0.163	0.071
N102	Desplazamientos	Valor mínimo de la envolvente	7.514	-0.962	-91.044	0.008	-3.181	-0.092
		Valor máximo de la envolvente	71.096	0.912	-12.199	0.173	-0.355	0.078
N103	Desplazamientos	Valor mínimo de la envolvente	7.575	-0.877	-84.454	0.071	-4.953	-0.084
		Valor máximo de la envolvente	71.637	0.786	-11.061	0.154	-0.612	0.083
N104	Desplazamientos	Valor mínimo de la envolvente	7.480	-0.756	-76.820	-0.003	-5.662	-0.095
		Valor máximo de la envolvente	70.699	0.619	-9.896	0.122	-0.758	0.086
N105	Desplazamientos	Valor mínimo de la envolvente	7.423	-0.651	-68.224	-0.013	-6.644	-0.095
		Valor máximo de la envolvente	70.253	0.487	-8.677	0.103	-0.898	0.088
N106	Desplazamientos	Valor mínimo de la envolvente	7.342	-0.547	-58.782	-0.025	-7.732	-0.094
		Valor máximo de la envolvente	69.653	0.367	-7.406	0.085	-1.025	0.090
N107	Desplazamientos	Valor mínimo de la envolvente	7.241	-0.447	-48.710	-0.036	-8.700	-0.090
		Valor máximo de la envolvente	68.918	0.258	-6.090	0.065	-1.121	0.089
N108	Desplazamientos	Valor mínimo de la envolvente	7.122	-0.356	-38.176	-0.044	-9.537	-0.082
		Valor máximo de la envolvente	68.068	0.163	-4.750	0.039	-1.204	0.078
N109	Desplazamientos	Valor mínimo de la envolvente	6.988	-0.286	-27.452	-0.051	-10.217	-0.065
		Valor máximo de la envolvente	67.130	0.087	-3.406	0.005	-1.273	0.050
N110	Desplazamientos	Valor mínimo de la envolvente	6.848	-0.255	-17.024	-0.063	-10.699	-0.045
		Valor máximo de la envolvente	66.154	0.039	-2.114	-0.026	-1.322	0.012
N111	Desplazamientos	Valor mínimo de la envolvente	6.701	-0.251	-6.907	-0.089	-11.101	-0.032
		Valor máximo de la envolvente	65.144	0.014	-0.866	-0.054	-1.368	0.017

AJUNTAMENT D'OLERDOLA
Aquest document és una còpia simple del document electrònic original.

Codi Segur de Verificació:
62ffb294-fe9f-412a-95ff-e789b2359074
Origen: Administració
Identificador document: ES_L01081000_2026_28828185
Data d'impressió: 03/11/2026 13:44:57
Pàgina 145 de 247

SIGNATURES
1.- ESTEVE AYMERICH (R: J62755897), 27/07/2026 11:04

Listados

Cobriment de pista a Sant Pere Molanta (Olèrdola) Fecha: 10/03/26

Envolvente de los desplazamientos en nudos								
Referencia	Combinación		Desplazamientos en ejes globales					
	Tipo	Descripción	Dx (mm)	Dy (mm)	Dz (mm)	Gx (mRad)	Gy (mRad)	Gz (mRad)
N112	Desplazamientos	Valor mínimo de la envolvente	6.600	-0.252	-0.528	-	-	-
		Valor máximo de la envolvente	64.461	0.029	-0.081	-	-	-
N113	Desplazamientos	Valor mínimo de la envolvente	7.463	-2.624	-70.917	-0.219	0.455	0.006
		Valor máximo de la envolvente	70.714	1.818	-8.636	0.383	4.978	0.169
N114	Desplazamientos	Valor mínimo de la envolvente	7.510	-2.290	-82.193	-0.038	0.302	-0.031
		Valor máximo de la envolvente	70.958	1.823	-10.338	0.249	3.925	0.143
N115	Desplazamientos	Valor mínimo de la envolvente	7.519	-2.003	-90.233	-0.123	0.171	-0.084
		Valor máximo de la envolvente	70.939	1.685	-11.625	0.465	2.795	0.151
N116	Desplazamientos	Valor mínimo de la envolvente	7.495	-1.748	-95.190	-0.037	0.018	-0.092
		Valor máximo de la envolvente	70.692	1.497	-12.508	0.393	1.600	0.139
N117	Desplazamientos	Valor mínimo de la envolvente	7.441	-1.526	-97.325	0.042	-0.138	-0.090
		Valor máximo de la envolvente	70.252	1.307	-12.988	0.266	0.362	0.121
N118	Desplazamientos	Valor mínimo de la envolvente	7.362	-1.339	-96.886	0.096	-0.926	-0.085
		Valor máximo de la envolvente	69.650	1.128	-13.091	0.216	-0.042	0.104
N119	Desplazamientos	Valor mínimo de la envolvente	7.260	-1.178	-94.117	0.094	-2.145	-0.083
		Valor máximo de la envolvente	68.907	0.962	-12.774	0.191	-0.235	0.094
N120	Desplazamientos	Valor mínimo de la envolvente	7.143	-1.039	-89.269	0.078	-3.891	-0.081
		Valor máximo de la envolvente	68.067	0.813	-11.880	0.170	-0.475	0.088
N121	Desplazamientos	Valor mínimo de la envolvente	7.006	-0.913	-81.860	0.066	-5.144	-0.079
		Valor máximo de la envolvente	67.082	0.679	-10.638	0.142	-0.646	0.085
N122	Desplazamientos	Valor mínimo de la envolvente	6.869	-0.799	-74.077	0.040	-5.918	-0.077
		Valor máximo de la envolvente	66.124	0.561	-9.492	0.108	-0.781	0.085
N123	Desplazamientos	Valor mínimo de la envolvente	6.727	-0.689	-65.192	0.005	-7.067	-0.078
		Valor máximo de la envolvente	65.135	0.452	-8.260	0.091	-0.974	0.088
N124	Desplazamientos	Valor mínimo de la envolvente	6.585	-0.582	-55.501	-0.026	-8.135	-0.081
		Valor máximo de la envolvente	64.156	0.352	-6.971	0.100	-1.054	0.092
N125	Desplazamientos	Valor mínimo de la envolvente	6.443	-0.478	-45.185	-0.026	-9.038	-0.083
		Valor máximo de la envolvente	63.179	0.255	-5.634	0.086	-1.161	0.093
N126	Desplazamientos	Valor mínimo de la envolvente	6.306	-0.380	-34.495	-0.045	-9.834	-0.078
		Valor máximo de la envolvente	62.232	0.161	-4.287	0.109	-1.231	0.092
N127	Desplazamientos	Valor mínimo de la envolvente	6.179	-0.294	-23.967	-0.106	-10.426	-0.055
		Valor máximo de la envolvente	61.355	0.092	-2.969	0.315	-1.301	0.100
N128	Desplazamientos	Valor mínimo de la envolvente	6.061	-0.221	-13.606	-0.069	-10.873	-0.024
		Valor máximo de la envolvente	60.544	0.063	-1.692	-0.048	-1.338	0.086
N129	Desplazamientos	Valor mínimo de la envolvente	5.923	-0.134	-0.627	-0.458	-10.971	-0.004
		Valor máximo de la envolvente	59.596	0.135	-0.090	-0.004	-1.354	0.090
N130	Desplazamientos	Valor mínimo de la envolvente	2.613	-1.812	-18.833	-0.178	0.790	-0.048
		Valor máximo de la envolvente	35.675	0.886	-1.405	0.419	9.148	0.073
N131	Desplazamientos	Valor mínimo de la envolvente	4.033	-2.516	-25.927	-0.145	0.792	0.023
		Valor máximo de la envolvente	47.844	1.227	-2.246	0.373	6.355	0.048
N132	Desplazamientos	Valor mínimo de la envolvente	5.380	-3.057	-32.555	-0.129	0.754	0.011
		Valor máximo de la envolvente	59.182	1.492	-3.040	0.340	6.102	0.125
N133	Desplazamientos	Valor mínimo de la envolvente	6.646	-3.516	-38.340	-0.125	0.763	0.010
		Valor máximo de la envolvente	69.000	1.725	-3.782	0.353	5.817	0.177
N134	Desplazamientos	Valor mínimo de la envolvente	2.870	-2.066	-38.111	-0.069	0.790	-0.061
		Valor máximo de la envolvente	37.893	1.157	-3.822	0.164	6.079	0.082
N135	Desplazamientos	Valor mínimo de la envolvente	4.257	-2.427	-44.849	-0.089	0.779	0.022
		Valor máximo de la envolvente	49.930	1.365	-4.613	0.209	6.743	0.079
N136	Desplazamientos	Valor mínimo de la envolvente	5.625	-2.764	-51.180	-0.110	0.739	0.010
		Valor máximo de la envolvente	61.262	1.560	-5.391	0.265	5.804	0.141
N137	Desplazamientos	Valor mínimo de la envolvente	6.769	-3.066	-56.164	-0.138	0.678	0.013
		Valor máximo de la envolvente	69.890	1.784	-6.057	0.282	5.410	0.174
N138	Desplazamientos	Valor mínimo de la envolvente	5.880	-2.334	-66.276	-0.052	0.491	-0.026
		Valor máximo de la envolvente	63.400	1.575	-7.461	0.106	5.108	0.216
N139	Desplazamientos	Valor mínimo de la envolvente	6.125	-1.785	-78.583	-0.080	0.359	-0.032
		Valor máximo de la envolvente	65.334	1.509	-9.236	0.188	4.341	0.221

AJUNTAMENT D'OLERDOLA
Aquest document és una còpia simple del document electrònic original.

Codi Segur de Verificació:
62ffb294-fe9f-412a-95ff-e789b2359074
Origen: Administració
Identificador document: ES_L01081000_2026_28828185
Data d'impressió: 03/11/2026 13:44:57
Pàgina 146 de 247

SIGNATURES
1.- ESTEVE AYMERICH (R: J62755897), 27/07/2026 11:04

Listados

Cobriment de pista a Sant Pere Molanta (Olèrdola) Fecha: 10/03/26

Envolvente de los desplazamientos en nudos								
Referencia	Combinación		Desplazamientos en ejes globales					
	Tipo	Descripción	Dx (mm)	Dy (mm)	Dz (mm)	Gx (mRad)	Gy (mRad)	Gz (mRad)
N140	Desplazamientos	Valor mínimo de la envolvente	6.343	-1.383	-87.677	-0.092	0.221	-0.035
		Valor máximo de la envolvente	66.990	1.452	-10.632	0.253	3.218	0.138
N141	Desplazamientos	Valor mínimo de la envolvente	6.529	-1.247	-93.629	-0.096	0.059	-0.052
		Valor máximo de la envolvente	68.343	1.381	-11.635	0.298	2.086	0.062
N142	Desplazamientos	Valor mínimo de la envolvente	6.679	-1.200	-96.691	-0.084	-0.094	-0.072
		Valor máximo de la envolvente	69.393	1.271	-12.245	0.284	0.863	0.053
N143	Desplazamientos	Valor mínimo de la envolvente	6.792	-1.143	-97.094	-0.069	-0.404	-0.085
		Valor máximo de la envolvente	70.144	1.131	-12.484	0.247	0.037	0.064
N144	Desplazamientos	Valor mínimo de la envolvente	6.867	-1.059	-95.118	-0.058	-1.692	-0.091
		Valor máximo de la envolvente	70.612	0.981	-12.382	0.208	-0.145	0.076
N145	Desplazamientos	Valor mínimo de la envolvente	6.907	-0.957	-90.905	-0.053	-3.171	-0.092
		Valor máximo de la envolvente	70.809	0.831	-11.963	0.177	-0.328	0.083
N146	Desplazamientos	Valor mínimo de la envolvente	6.962	-0.870	-84.333	-0.022	-4.940	-0.088
		Valor máximo de la envolvente	71.348	0.701	-10.903	0.089	-0.571	0.085
N147	Desplazamientos	Valor mínimo de la envolvente	6.879	-0.739	-76.715	-0.052	-5.651	-0.091
		Valor máximo de la envolvente	70.414	0.565	-9.753	0.138	-0.719	0.092
N148	Desplazamientos	Valor mínimo de la envolvente	6.825	-0.628	-68.135	-0.054	-6.633	-0.090
		Valor máximo de la envolvente	69.970	0.447	-8.551	0.124	-0.856	0.096
N149	Desplazamientos	Valor mínimo de la envolvente	6.749	-0.516	-58.707	-0.056	-7.720	-0.089
		Valor máximo de la envolvente	69.370	0.337	-7.298	0.112	-1.011	0.100
N150	Desplazamientos	Valor mínimo de la envolvente	6.652	-0.406	-48.649	-0.055	-8.688	-0.086
		Valor máximo de la envolvente	68.637	0.238	-6.002	0.097	-1.105	0.101
N151	Desplazamientos	Valor mínimo de la envolvente	6.538	-0.304	-38.129	-0.051	-9.525	-0.077
		Valor máximo de la envolvente	67.788	0.150	-4.681	0.076	-1.186	0.093
N152	Desplazamientos	Valor mínimo de la envolvente	6.410	-0.222	-27.419	-0.046	-10.204	-0.058
		Valor máximo de la envolvente	66.851	0.081	-3.356	0.049	-1.255	0.066
N153	Desplazamientos	Valor mínimo de la envolvente	6.275	-0.179	-17.004	-0.046	-10.686	-0.036
		Valor máximo de la envolvente	65.876	0.040	-2.083	0.026	-1.303	0.030
N154	Desplazamientos	Valor mínimo de la envolvente	6.134	-0.163	-6.898	-0.050	-11.088	-0.023
		Valor máximo de la envolvente	64.868	0.018	-0.854	0.005	-1.348	0.019
N155	Desplazamientos	Valor mínimo de la envolvente	6.037	-0.157	-0.528	-	-	-
		Valor máximo de la envolvente	64.185	0.018	-0.080	-	-	-
N156	Desplazamientos	Valor mínimo de la envolvente	6.856	-2.663	-70.723	-0.234	0.443	-0.003
		Valor máximo de la envolvente	70.425	1.843	-8.102	0.416	4.976	0.170
N157	Desplazamientos	Valor mínimo de la envolvente	6.903	-2.327	-81.997	-0.126	0.292	-0.040
		Valor máximo de la envolvente	70.670	1.834	-9.750	0.283	3.926	0.149
N158	Desplazamientos	Valor mínimo de la envolvente	6.914	-2.024	-90.040	-0.170	0.164	-0.088
		Valor máximo de la envolvente	70.652	1.697	-11.006	0.468	2.797	0.158
N159	Desplazamientos	Valor mínimo de la envolvente	6.893	-1.755	-95.005	-0.108	0.014	-0.100
		Valor máximo de la envolvente	70.407	1.504	-11.877	0.380	1.605	0.143
N160	Desplazamientos	Valor mínimo de la envolvente	6.843	-1.526	-97.150	-0.055	-0.139	-0.098
		Valor máximo de la envolvente	69.969	1.309	-12.362	0.251	0.368	0.122
N161	Desplazamientos	Valor mínimo de la envolvente	6.768	-1.336	-96.724	-0.024	-0.919	-0.095
		Valor máximo de la envolvente	69.368	1.128	-12.485	0.144	-0.028	0.104
N162	Desplazamientos	Valor mínimo de la envolvente	6.672	-1.173	-93.969	-0.019	-2.137	-0.092
		Valor máximo de la envolvente	68.626	0.960	-12.273	0.113	-0.215	0.094
N163	Desplazamientos	Valor mínimo de la envolvente	6.560	-1.032	-89.136	-0.018	-3.880	-0.088
		Valor máximo de la envolvente	67.788	0.811	-11.710	0.092	-0.442	0.088
N164	Desplazamientos	Valor mínimo de la envolvente	6.429	-0.906	-81.745	-0.024	-5.133	-0.085
		Valor máximo de la envolvente	66.804	0.677	-10.485	0.087	-0.608	0.085
N165	Desplazamientos	Valor mínimo de la envolvente	6.298	-0.791	-73.978	-0.035	-5.908	-0.082
		Valor máximo de la envolvente	65.848	0.559	-9.355	0.094	-0.743	0.087
N166	Desplazamientos	Valor mínimo de la envolvente	6.161	-0.680	-65.107	-0.051	-7.056	-0.082
		Valor máximo de la envolvente	64.860	0.451	-8.141	0.110	-0.931	0.092
N167	Desplazamientos	Valor mínimo de la envolvente	6.024	-0.567	-55.431	-0.067	-8.124	-0.085
		Valor máximo de la envolvente	63.882	0.350	-6.870	0.127	-1.039	0.100

AJUNTAMENT D'OLERDOLA
Aquest document és una còpia simple del document electrònic original.

Codi Segur de Verificació:
62ffb294-fe9f-412a-95ff-e789b2359074
Origen: Administració
Identificador document: ES_L01081000_2026_28828185
Data d'impressió: 03/11/2026 13:44:57
Pàgina 147 de 247

SIGNATURES
1.- ESTEVE AYMERICH (R: J62755897), 27/07/2026 11:04

AJUNTAMENT D'OLERDOLA
Aquest document és una còpia simple del document electrònic original.

Listados

Envolvente de los desplazamientos en nudos

Referencia	Combinación		Desplazamientos en ejes globales					
	Tipo	Descripción	Dx (mm)	Dy (mm)	Dz (mm)	Gx (mRad)	Gy (mRad)	Gz (mRad)
N168	Desplazamientos	Valor mínimo de la envolvente	5.887	-0.454	-45.130	-0.056	-9.026	-0.087
		Valor máximo de la envolvente	62.906	0.252	-5.553	0.112	-1.144	0.104
N169	Desplazamientos	Valor mínimo de la envolvente	5.755	-0.341	-34.453	-0.054	-9.822	-0.081
		Valor máximo de la envolvente	61.960	0.155	-4.225	0.134	-1.213	0.106
N170	Desplazamientos	Valor mínimo de la envolvente	5.632	-0.245	-23.938	-0.108	-10.413	-0.059
		Valor máximo de la envolvente	61.084	0.083	-2.926	0.318	-1.282	0.106
N171	Desplazamientos	Valor mínimo de la envolvente	5.519	-0.171	-13.589	-0.037	-10.859	-0.026
		Valor máximo de la envolvente	60.274	0.050	-1.668	0.005	-1.318	0.072
N172	Desplazamientos	Valor mínimo de la envolvente	5.387	-0.090	-0.627	-0.375	-10.958	-0.007
		Valor máximo de la envolvente	59.327	0.069	-0.089	0.045	-1.333	0.063
N173	Desplazamientos	Valor mínimo de la envolvente	2.463	-1.797	-18.723	-0.186	0.756	-0.046
		Valor máximo de la envolvente	35.466	0.877	-1.327	0.425	9.103	0.073
N174	Desplazamientos	Valor mínimo de la envolvente	3.852	-2.518	-25.797	-0.165	0.778	0.013
		Valor máximo de la envolvente	47.601	1.245	-2.148	0.386	6.341	0.046
N175	Desplazamientos	Valor mínimo de la envolvente	5.171	-3.083	-32.409	-0.152	0.741	-0.001
		Valor máximo de la envolvente	58.911	1.544	-2.926	0.352	6.088	0.125
N176	Desplazamientos	Valor mínimo de la envolvente	6.419	-3.561	-38.183	-0.145	0.752	-0.003
		Valor máximo de la envolvente	68.711	1.803	-3.657	0.364	5.806	0.179
N177	Desplazamientos	Valor mínimo de la envolvente	2.714	-2.056	-37.957	-0.072	0.778	-0.063
		Valor máximo de la envolvente	37.678	1.154	-3.699	0.171	6.067	0.083
N178	Desplazamientos	Valor mínimo de la envolvente	4.070	-2.432	-44.678	-0.105	0.761	0.022
		Valor máximo de la envolvente	49.681	1.369	-4.472	0.221	6.724	0.027
N179	Desplazamientos	Valor mínimo de la envolvente	5.411	-2.785	-50.995	-0.133	0.727	-0.010
		Valor máximo de la envolvente	60.986	1.582	-5.236	0.277	5.795	0.149
N180	Desplazamientos	Valor mínimo de la envolvente	6.541	-3.108	-55.971	-0.161	0.678	0.002
		Valor máximo de la envolvente	69.600	1.831	-5.893	0.297	5.402	0.174
N181	Desplazamientos	Valor mínimo de la envolvente	5.662	-2.329	-66.075	-0.067	0.496	-0.026
		Valor máximo de la envolvente	63.119	1.559	-7.283	0.110	5.098	0.222
N182	Desplazamientos	Valor mínimo de la envolvente	5.903	-1.775	-78.369	-0.099	0.359	-0.033
		Valor máximo de la envolvente	65.049	1.504	-9.048	0.204	4.339	0.223
N183	Desplazamientos	Valor mínimo de la envolvente	6.119	-1.378	-87.458	-0.112	0.222	-0.040
		Valor máximo de la envolvente	66.703	1.443	-10.439	0.272	3.217	0.139
N184	Desplazamientos	Valor mínimo de la envolvente	6.303	-1.240	-93.410	-0.113	0.060	-0.055
		Valor máximo de la envolvente	68.055	1.367	-11.443	0.317	2.087	0.067
N185	Desplazamientos	Valor mínimo de la envolvente	6.452	-1.186	-96.477	-0.098	-0.093	-0.073
		Valor máximo de la envolvente	69.103	1.256	-12.059	0.302	0.867	0.059
N186	Desplazamientos	Valor mínimo de la envolvente	6.565	-1.122	-96.889	-0.080	-0.398	-0.085
		Valor máximo de la envolvente	69.854	1.117	-12.308	0.265	0.043	0.069
N187	Desplazamientos	Valor mínimo de la envolvente	6.641	-1.035	-94.925	-0.066	-1.685	-0.090
		Valor máximo de la envolvente	70.322	0.969	-12.217	0.227	-0.138	0.079
N188	Desplazamientos	Valor mínimo de la envolvente	6.681	-0.932	-90.727	-0.056	-3.161	-0.091
		Valor máximo de la envolvente	70.519	0.823	-11.812	0.197	-0.318	0.085
N189	Desplazamientos	Valor mínimo de la envolvente	6.734	-0.845	-84.174	-0.027	-4.926	-0.087
		Valor máximo de la envolvente	71.057	0.693	-10.928	0.110	-0.558	0.086
N190	Desplazamientos	Valor mínimo de la envolvente	6.655	-0.716	-76.576	-0.048	-5.638	-0.087
		Valor máximo de la envolvente	70.127	0.564	-9.776	0.158	-0.708	0.094
N191	Desplazamientos	Valor mínimo de la envolvente	6.603	-0.605	-68.014	-0.046	-6.620	-0.086
		Valor máximo de la envolvente	69.684	0.451	-8.572	0.146	-0.845	0.099
N192	Desplazamientos	Valor mínimo de la envolvente	6.528	-0.491	-58.605	-0.044	-7.705	-0.084
		Valor máximo de la envolvente	69.086	0.347	-7.316	0.135	-1.006	0.105
N193	Desplazamientos	Valor mínimo de la envolvente	6.432	-0.377	-48.566	-0.041	-8.672	-0.081
		Valor máximo de la envolvente	68.353	0.252	-6.017	0.121	-1.108	0.109
N194	Desplazamientos	Valor mínimo de la envolvente	6.320	-0.267	-38.065	-0.034	-9.508	-0.073
		Valor máximo de la envolvente	67.507	0.167	-4.692	0.101	-1.189	0.104
N195	Desplazamientos	Valor mínimo de la envolvente	6.193	-0.174	-27.373	-0.025	-10.187	-0.057
		Valor máximo de la envolvente	66.572	0.099	-3.364	0.074	-1.258	0.081

Codi Segur de Verificació:
62ffb294-fe9f-412a-95ff-e789b2359074
Origen: Administració
Identificador document: ES_L01081000_2026_28828185
Data d'impressió: 03/11/2026 13:44:57
Pàgina 148 de 247

SIGNATURES
1.- ESTEVE AYMERICH (R: J62755897), 27/07/2026 11:04

AJUNTAMENT D'OLERDOLA
Aquest document és una còpia simple del document electrònic original.

Listados

Envolvente de los desplazamientos en nudos

Referencia	Combinación		Desplazamientos en ejes globales					
	Tipo	Descripción	Dx (mm)	Dy (mm)	Dz (mm)	Gx (mRad)	Gy (mRad)	Gz (mRad)
N196	Desplazamientos	Valor mínimo de la envolvente	6.059	-0.118	-16.976	-0.020	-10.668	-0.038
		Valor máximo de la envolvente	65.598	0.054	-2.088	0.051	-1.306	0.047
N197	Desplazamientos	Valor mínimo de la envolvente	5.920	-0.089	-6.887	-0.018	-11.069	-0.028
		Valor máximo de la envolvente	64.591	0.027	-0.855	0.030	-1.351	0.031
N198	Desplazamientos	Valor mínimo de la envolvente	5.823	-0.073	-0.527	-	-	-
		Valor máximo de la envolvente	63.910	0.013	-0.080	-	-	-
N199	Desplazamientos	Valor mínimo de la envolvente	6.628	-2.709	-70.516	-0.265	0.444	-0.010
		Valor máximo de la envolvente	70.135	1.872	-7.919	0.460	4.973	0.172
N200	Desplazamientos	Valor mínimo de la envolvente	6.676	-2.371	-81.780	-0.150	0.294	-0.044
		Valor máximo de la envolvente	70.381	1.853	-9.559	0.314	3.923	0.156
N201	Desplazamientos	Valor mínimo de la envolvente	6.688	-2.050	-89.820	-0.192	0.166	-0.093
		Valor máximo de la envolvente	70.364	1.711	-10.813	0.493	2.797	0.168
N202	Desplazamientos	Valor mínimo de la envolvente	6.669	-1.765	-94.787	-0.127	0.015	-0.104
		Valor máximo de la envolvente	70.120	1.511	-11.687	0.399	1.607	0.150
N203	Desplazamientos	Valor mínimo de la envolvente	6.620	-1.528	-96.939	-0.072	-0.139	-0.102
		Valor máximo de la envolvente	69.683	1.311	-12.179	0.270	0.372	0.127
N204	Desplazamientos	Valor mínimo de la envolvente	6.547	-1.332	-96.522	-0.039	-0.912	-0.097
		Valor máximo de la envolvente	69.084	1.127	-12.312	0.167	-0.021	0.107
N205	Desplazamientos	Valor mínimo de la envolvente	6.452	-1.167	-93.780	-0.029	-2.129	-0.093
		Valor máximo de la envolvente	68.344	0.958	-12.113	0.135	-0.208	0.097
N206	Desplazamientos	Valor mínimo de la envolvente	6.341	-1.026	-88.963	-0.025	-3.868	-0.089
		Valor máximo de la envolvente	67.507	0.808	-11.612	0.113	-0.431	0.090
N207	Desplazamientos	Valor mínimo de la envolvente	6.213	-0.899	-81.593	-0.028	-5.119	-0.085
		Valor máximo de la envolvente	66.525	0.674	-10.510	0.108	-0.596	0.087
N208	Desplazamientos	Valor mínimo de la envolvente	6.083	-0.784	-73.844	-0.034	-5.895	-0.081
		Valor máximo de la envolvente	65.571	0.557	-9.378	0.113	-0.732	0.089
N209	Desplazamientos	Valor mínimo de la envolvente	5.947	-0.671	-64.992	-0.045	-7.041	-0.080
		Valor máximo de la envolvente	64.584	0.451	-8.160	0.130	-0.919	0.095
N210	Desplazamientos	Valor mínimo de la envolvente	5.812	-0.556	-55.335	-0.056	-8.108	-0.082
		Valor máximo de la envolvente	63.608	0.352	-6.887	0.149	-1.041	0.105
N211	Desplazamientos	Valor mínimo de la envolvente	5.676	-0.438	-45.053	-0.048	-9.009	-0.082
		Valor máximo de la envolvente	62.633	0.258	-5.566	0.133	-1.147	0.113
N212	Desplazamientos	Valor mínimo de la envolvente	5.545	-0.315	-34.396	-0.047	-9.805	-0.079
		Valor máximo de la envolvente	61.688	0.166	-4.235	0.157	-1.216	0.118
N213	Desplazamientos	Valor mínimo de la envolvente	5.423	-0.207	-23.898	-0.106	-10.395	-0.066
		Valor máximo de la envolvente	60.814	0.093	-2.933	0.336	-1.285	0.119
N214	Desplazamientos	Valor mínimo de la envolvente	5.311	-0.120	-13.567	-0.008	-10.841	-0.041
		Valor máximo de la envolvente	60.005	0.047	-1.671	0.043	-1.321	0.087
N215	Desplazamientos	Valor mínimo de la envolvente	5.181	-0.024	-0.626	-0.347	-10.940	-0.024
		Valor máximo de la envolvente	59.060	0.008	-0.089	0.096	-1.336	0.055
N216	Desplazamientos	Valor mínimo de la envolvente	2.573	-1.783	-18.586	-0.198	0.782	-0.044
		Valor máximo de la envolvente	35.207	0.869	-1.384	0.437	9.042	0.072
N217	Desplazamientos	Valor mínimo de la envolvente	3.991	-2.541	-25.621	-0.192	0.792	0.001
		Valor máximo de la envolvente	47.276	1.272	-2.223	0.414	6.308	0.049
N218	Desplazamientos	Valor mínimo de la envolvente	5.336	-3.154	-32.197	-0.182	0.754	-0.039
		Valor máximo de la envolvente	58.526	1.615	-3.017	0.383	6.058	0.136
N219	Desplazamientos	Valor mínimo de la envolvente	6.603	-3.668	-37.944	-0.172	0.764	-0.036
		Valor máximo de la envolvente	68.283	1.908	-3.759	0.390	5.779	0.192
N220	Desplazamientos	Valor mínimo de la envolvente	2.829	-2.045	-37.721	-0.077	0.791	-0.064
		Valor máximo de la envolvente	37.407	1.150	-3.801	0.180	6.037	0.084
N221	Desplazamientos	Valor mínimo de la envolvente	4.214	-2.437	-44.405	-0.128	0.778	-0.039
		Valor máximo de la envolvente	49.343	1.374	-4.590	0.246	6.687	0.048
N222	Desplazamientos	Valor mínimo de la envolvente	5.581	-2.821	-50.689	-0.163	0.740	-0.066
		Valor máximo de la envolvente	60.589	1.611	-5.368	0.308	5.766	0.173
N223	Desplazamientos	Valor mínimo de la envolvente	6.727	-3.186	-55.646	-0.194	0.689	-0.023
		Valor máximo de la envolvente	69.168	1.895	-6.035	0.333	5.380	0.184

DOCUMENT
DOCUMENT REGISTRE UNIFICAT ENTRADA
ÒRGAN
SERVEIS TECNICS
REGISTRE D'ENTRADA
E2026005054
Codi Segur de Verificació:
62ffb294-fe9f-412a-95ff-e789b2359074
Origen: Administració
Identificador document: ES_L01081000_2026_28828185
Data d'impressió: 03/11/2026 13:44:57
Pàgina 149 de 247
SIGNATURES
1.- ESTEVE AYMERICH (R: J62755897), 27/07/2026 11:04

Envolvente de los desplazamientos en nudos								
Referencia	Combinación		Desplazamientos en ejes globales					
	Tipo	Descripción	Dx (mm)	Dy (mm)	Dz (mm)	Gx (mRad)	Gy (mRad)	Gz (mRad)
N224	Desplazamientos	Valor mínimo de la envolvente	5.838	-2.315	-65.714	-0.117	0.500	-0.029
		Valor máximo de la envolvente	62.712	1.539	-7.441	0.162	5.088	0.228
N225	Desplazamientos	Valor mínimo de la envolvente	6.082	-1.764	-77.978	-0.136	0.365	-0.036
		Valor máximo de la envolvente	64.634	1.496	-9.218	0.251	4.328	0.230
N226	Desplazamientos	Valor mínimo de la envolvente	6.300	-1.356	-87.050	-0.142	0.224	-0.048
		Valor máximo de la envolvente	66.282	1.430	-10.616	0.315	3.213	0.149
N227	Desplazamientos	Valor mínimo de la envolvente	6.486	-1.209	-92.999	-0.140	0.060	-0.061
		Valor máximo de la envolvente	67.630	1.346	-11.622	0.356	2.087	0.074
N228	Desplazamientos	Valor mínimo de la envolvente	6.637	-1.150	-96.071	-0.121	-0.096	-0.077
		Valor máximo de la envolvente	68.675	1.231	-12.235	0.338	0.872	0.064
N229	Desplazamientos	Valor mínimo de la envolvente	6.750	-1.086	-96.498	-0.100	-0.389	-0.087
		Valor máximo de la envolvente	69.425	1.092	-12.477	0.298	0.038	0.072
N230	Desplazamientos	Valor mínimo de la envolvente	6.825	-1.000	-94.555	-0.082	-1.671	-0.090
		Valor máximo de la envolvente	69.893	0.946	-12.377	0.257	-0.144	0.081
N231	Desplazamientos	Valor mínimo de la envolvente	6.865	-0.900	-90.385	-0.069	-3.142	-0.089
		Valor máximo de la envolvente	70.091	0.804	-11.960	0.224	-0.327	0.086
N232	Desplazamientos	Valor mínimo de la envolvente	6.920	-0.816	-83.869	-0.043	-4.899	-0.087
		Valor máximo de la envolvente	70.625	0.676	-11.084	0.134	-0.570	0.088
N233	Desplazamientos	Valor mínimo de la envolvente	6.837	-0.692	-76.306	-0.051	-5.613	-0.083
		Valor máximo de la envolvente	69.703	0.557	-9.914	0.181	-0.719	0.093
N234	Desplazamientos	Valor mínimo de la envolvente	6.784	-0.584	-67.779	-0.045	-6.593	-0.079
		Valor máximo de la envolvente	69.263	0.451	-8.691	0.167	-0.856	0.099
N235	Desplazamientos	Valor mínimo de la envolvente	6.708	-0.473	-58.407	-0.039	-7.677	-0.077
		Valor máximo de la envolvente	68.668	0.355	-7.417	0.155	-1.018	0.106
N236	Desplazamientos	Valor mínimo de la envolvente	6.611	-0.359	-48.405	-0.033	-8.641	-0.074
		Valor máximo de la envolvente	67.938	0.268	-6.098	0.141	-1.123	0.113
N237	Desplazamientos	Valor mínimo de la envolvente	6.497	-0.244	-37.941	-0.024	-9.476	-0.069
		Valor máximo de la envolvente	67.095	0.190	-4.756	0.121	-1.206	0.112
N238	Desplazamientos	Valor mínimo de la envolvente	6.369	-0.142	-27.285	-0.011	-10.153	-0.058
		Valor máximo de la envolvente	66.163	0.122	-3.409	0.094	-1.275	0.096
N239	Desplazamientos	Valor mínimo de la envolvente	6.234	-0.069	-16.922	0.000	-10.633	-0.050
		Valor máximo de la envolvente	65.193	0.073	-2.115	0.070	-1.324	0.069
N240	Desplazamientos	Valor mínimo de la envolvente	6.093	-0.019	-6.866	0.010	-11.034	-0.047
		Valor máximo de la envolvente	64.190	0.036	-0.866	0.067	-1.369	0.056
N241	Desplazamientos	Valor mínimo de la envolvente	5.995	-0.016	-0.526	-	-	-
		Valor máximo de la envolvente	63.511	0.016	-0.081	-	-	-
N242	Desplazamientos	Valor mínimo de la envolvente	6.814	-2.774	-70.143	-0.303	0.451	-0.019
		Valor máximo de la envolvente	69.704	1.914	-8.082	0.514	4.959	0.179
N243	Desplazamientos	Valor mínimo de la envolvente	6.861	-2.423	-81.382	-0.180	0.298	-0.052
		Valor máximo de la envolvente	69.952	1.882	-9.732	0.355	3.915	0.167
N244	Desplazamientos	Valor mínimo de la envolvente	6.872	-2.079	-89.410	-0.219	0.167	-0.100
		Valor máximo de la envolvente	69.937	1.725	-10.991	0.534	2.794	0.181
N245	Desplazamientos	Valor mínimo de la envolvente	6.852	-1.776	-94.376	-0.155	0.014	-0.109
		Valor máximo de la envolvente	69.695	1.517	-11.866	0.436	1.609	0.159
N246	Desplazamientos	Valor mínimo de la envolvente	6.802	-1.530	-96.537	-0.100	-0.142	-0.105
		Valor máximo de la envolvente	69.261	1.313	-12.353	0.305	0.379	0.133
N247	Desplazamientos	Valor mínimo de la envolvente	6.727	-1.330	-96.137	-0.069	-0.901	-0.100
		Valor máximo de la envolvente	68.665	1.126	-12.478	0.199	-0.026	0.112
N248	Desplazamientos	Valor mínimo de la envolvente	6.631	-1.161	-93.419	-0.055	-2.114	-0.096
		Valor máximo de la envolvente	67.929	0.955	-12.269	0.165	-0.214	0.100
N249	Desplazamientos	Valor mínimo de la envolvente	6.518	-1.018	-88.631	-0.044	-3.846	-0.091
		Valor máximo de la envolvente	67.095	0.804	-11.756	0.139	-0.441	0.093
N250	Desplazamientos	Valor mínimo de la envolvente	6.388	-0.891	-81.301	-0.042	-5.094	-0.085
		Valor máximo de la envolvente	66.118	0.670	-10.658	0.131	-0.607	0.089
N251	Desplazamientos	Valor mínimo de la envolvente	6.257	-0.775	-73.586	-0.040	-5.871	-0.081
		Valor máximo de la envolvente	65.166	0.554	-9.509	0.132	-0.743	0.090

AJUNTAMENT D'OLERDOLA
Aquest document és una còpia simple del document electrònic original.

Codi Segur de Verificació:
62ffb294-fe9f-412a-95ff-e789b2359074
Origen: Administració
Identificador document: ES_L01081000_2026_28828185
Data d'impressió: 03/11/2026 13:44:57
Pàgina 150 de 247

SIGNATURES
1.- ESTEVE AYMERICH (R: J62755897), 27/07/2026 11:04

AJUNTAMENT D'OLERDOLA
Aquest document és una còpia simple del document electrònic original.

Listados

Envolvente de los desplazamientos en nudos								
Referencia	Combinación		Desplazamientos en ejes globales					
	Tipo	Descripción	Dx (mm)	Dy (mm)	Dz (mm)	Gx (mRad)	Gy (mRad)	Gz (mRad)
N252	Desplazamientos	Valor mínimo de la envolvente	6.120	-0.663	-64.770	-0.042	-7.014	-0.077
		Valor máximo de la envolvente	64.183	0.450	-8.273	0.146	-0.931	0.096
N253	Desplazamientos	Valor mínimo de la envolvente	5.983	-0.549	-55.150	-0.047	-8.078	-0.076
		Valor máximo de la envolvente	63.210	0.357	-6.981	0.164	-1.057	0.106
N254	Desplazamientos	Valor mínimo de la envolvente	5.846	-0.431	-44.904	-0.044	-8.977	-0.075
		Valor máximo de la envolvente	62.239	0.271	-5.642	0.151	-1.163	0.116
N255	Desplazamientos	Valor mínimo de la envolvente	5.713	-0.305	-34.284	-0.049	-9.772	-0.074
		Valor máximo de la envolvente	61.297	0.189	-4.292	0.183	-1.233	0.126
N256	Desplazamientos	Valor mínimo de la envolvente	5.590	-0.186	-23.822	-0.113	-10.361	-0.076
		Valor máximo de la envolvente	60.425	0.117	-2.972	0.360	-1.303	0.138
N257	Desplazamientos	Valor mínimo de la envolvente	5.478	-0.077	-13.524	0.011	-10.806	-0.075
		Valor máximo de la envolvente	59.619	0.053	-1.693	0.072	-1.339	0.115
N258	Desplazamientos	Valor mínimo de la envolvente	5.347	-0.081	-0.624	-0.342	-10.905	-0.071
		Valor máximo de la envolvente	58.676	0.055	-0.090	0.148	-1.354	0.086
N259	Desplazamientos	Valor mínimo de la envolvente	2.983	-1.771	-18.363	-0.213	0.874	-0.041
		Valor máximo de la envolvente	34.782	0.860	-1.600	0.458	8.947	0.071
N260	Desplazamientos	Valor mínimo de la envolvente	4.481	-2.588	-25.349	-0.228	0.828	-0.012
		Valor máximo de la envolvente	46.767	1.309	-2.486	0.463	6.271	0.056
N261	Desplazamientos	Valor mínimo de la envolvente	5.895	-3.286	-31.882	-0.230	0.788	-0.084
		Valor máximo de la envolvente	57.945	1.715	-3.320	0.447	6.022	0.165
N262	Desplazamientos	Valor mínimo de la envolvente	7.209	-3.876	-37.599	-0.214	0.792	-0.085
		Valor máximo de la envolvente	67.651	2.061	-4.091	0.447	5.748	0.221
N263	Desplazamientos	Valor mínimo de la envolvente	3.254	-2.033	-37.382	-0.081	0.822	-0.062
		Valor máximo de la envolvente	36.966	1.148	-4.126	0.190	6.005	0.086
N264	Desplazamientos	Valor mínimo de la envolvente	4.718	-2.443	-44.021	-0.154	0.822	-0.105
		Valor máximo de la envolvente	48.820	1.380	-4.958	0.282	6.641	0.087
N265	Desplazamientos	Valor mínimo de la envolvente	6.153	-2.872	-50.268	-0.225	0.768	-0.138
		Valor máximo de la envolvente	59.995	1.646	-5.772	0.379	5.736	0.220
N266	Desplazamientos	Valor mínimo de la envolvente	7.335	-3.324	-55.202	-0.248	0.703	-0.066
		Valor máximo de la envolvente	68.534	1.993	-6.459	0.404	5.355	0.210
N267	Desplazamientos	Valor mínimo de la envolvente	6.422	-2.293	-65.232	-0.205	0.508	-0.030
		Valor máximo de la envolvente	62.105	1.518	-7.897	0.226	5.071	0.231
N268	Desplazamientos	Valor mínimo de la envolvente	6.675	-1.752	-77.457	-0.200	0.370	-0.040
		Valor máximo de la envolvente	64.017	1.489	-9.703	0.306	4.316	0.241
N269	Desplazamientos	Valor mínimo de la envolvente	6.900	-1.317	-86.509	-0.187	0.226	-0.056
		Valor máximo de la envolvente	65.658	1.414	-11.115	0.367	3.207	0.167
N270	Desplazamientos	Valor mínimo de la envolvente	7.090	-1.153	-92.452	-0.170	0.058	-0.065
		Valor máximo de la envolvente	67.000	1.323	-12.119	0.409	2.088	0.083
N271	Desplazamientos	Valor mínimo de la envolvente	7.243	-1.091	-95.532	-0.146	-0.101	-0.078
		Valor máximo de la envolvente	68.043	1.208	-12.720	0.389	0.878	0.069
N272	Desplazamientos	Valor mínimo de la envolvente	7.357	-1.029	-95.978	-0.122	-0.377	-0.087
		Valor máximo de la envolvente	68.791	1.072	-12.941	0.347	0.025	0.075
N273	Desplazamientos	Valor mínimo de la envolvente	7.432	-0.948	-94.062	-0.098	-1.654	-0.090
		Valor máximo de la envolvente	69.259	0.930	-12.813	0.302	-0.162	0.083
N274	Desplazamientos	Valor mínimo de la envolvente	7.471	-0.854	-89.928	-0.076	-3.117	-0.087
		Valor máximo de la envolvente	69.458	0.792	-12.360	0.265	-0.350	0.086
N275	Desplazamientos	Valor mínimo de la envolvente	7.530	-0.774	-83.460	-0.067	-4.864	-0.086
		Valor máximo de la envolvente	69.986	0.667	-11.301	0.173	-0.603	0.089
N276	Desplazamientos	Valor mínimo de la envolvente	7.437	-0.660	-75.945	-0.048	-5.580	-0.078
		Valor máximo de la envolvente	69.075	0.556	-10.104	0.213	-0.749	0.092
N277	Desplazamientos	Valor mínimo de la envolvente	7.381	-0.560	-67.466	-0.037	-6.558	-0.072
		Valor máximo de la envolvente	68.638	0.457	-8.855	0.195	-0.887	0.096
N278	Desplazamientos	Valor mínimo de la envolvente	7.301	-0.456	-58.143	-0.028	-7.638	-0.068
		Valor máximo de la envolvente	68.046	0.370	-7.555	0.182	-1.049	0.104
N279	Desplazamientos	Valor mínimo de la envolvente	7.201	-0.346	-48.190	-0.020	-8.600	-0.065
		Valor máximo de la envolvente	67.321	0.292	-6.210	0.168	-1.146	0.113

Codi Segur de Verificació:
62ffb294-fe9f-412a-95ff-e789b2359074
Origen: Administració
Identificador document: ES_L01081000_2026_28828185
Data d'impressió: 03/11/2026 13:44:57
Pàgina 151 de 247

SIGNATURES
1.- ESTEVE AYMERICH (R: J62755897), 27/07/2026 11:04

AJUNTAMENT D'OLERDOLA
Aquest document és una còpia simple del document electrònic original.

Envolvente de los desplazamientos en nudos								
Referencia	Combinación		Desplazamientos en ejes globales					
	Tipo	Descripción	Dx (mm)	Dy (mm)	Dz (mm)	Gx (mRad)	Gy (mRad)	Gz (mRad)
N280	Desplazamientos	Valor mínimo de la envolvente	7.083	-0.231	-37.775	-0.010	-9.432	-0.063
		Valor máximo de la envolvente	66.482	0.238	-4.841	0.150	-1.229	0.120
N281	Desplazamientos	Valor mínimo de la envolvente	6.951	-0.118	-27.168	0.004	-10.107	-0.062
		Valor máximo de la envolvente	65.554	0.175	-3.469	0.123	-1.299	0.114
N282	Desplazamientos	Valor mínimo de la envolvente	6.812	-0.026	-16.850	0.020	-10.586	-0.072
		Valor máximo de la envolvente	64.589	0.102	-2.151	0.096	-1.348	0.098
N283	Desplazamientos	Valor mínimo de la envolvente	6.668	0.024	-6.838	0.038	-10.987	-0.079
		Valor máximo de la envolvente	63.590	0.053	-0.880	0.104	-1.392	0.091
N284	Desplazamientos	Valor mínimo de la envolvente	6.568	-0.028	-0.525	-	-	-
		Valor máximo de la envolvente	62.914	0.101	-0.081	-	-	-
N285	Desplazamientos	Valor mínimo de la envolvente	7.421	-2.868	-69.646	-0.357	0.458	-0.046
		Valor máximo de la envolvente	69.070	1.976	-8.550	0.592	4.944	0.198
N286	Desplazamientos	Valor mínimo de la envolvente	7.467	-2.486	-80.852	-0.213	0.301	-0.065
		Valor máximo de la envolvente	69.318	1.919	-10.224	0.411	3.906	0.184
N287	Desplazamientos	Valor mínimo de la envolvente	7.476	-2.111	-88.865	-0.245	0.167	-0.109
		Valor máximo de la envolvente	69.306	1.741	-11.491	0.595	2.791	0.197
N288	Desplazamientos	Valor mínimo de la envolvente	7.452	-1.789	-93.830	-0.179	0.011	-0.114
		Valor máximo de la envolvente	69.067	1.523	-12.360	0.495	1.612	0.170
N289	Desplazamientos	Valor mínimo de la envolvente	7.399	-1.533	-96.003	-0.144	-0.148	-0.109
		Valor máximo de la envolvente	68.636	1.314	-12.833	0.361	0.388	0.140
N290	Desplazamientos	Valor mínimo de la envolvente	7.320	-1.327	-95.625	-0.121	-0.887	-0.103
		Valor máximo de la envolvente	68.044	1.124	-12.934	0.251	-0.041	0.118
N291	Desplazamientos	Valor mínimo de la envolvente	7.220	-1.156	-92.937	-0.100	-2.095	-0.097
		Valor máximo de la envolvente	67.312	0.952	-12.694	0.213	-0.233	0.105
N292	Desplazamientos	Valor mínimo de la envolvente	7.104	-1.010	-88.187	-0.077	-3.817	-0.092
		Valor máximo de la envolvente	66.482	0.801	-12.143	0.181	-0.469	0.097
N293	Desplazamientos	Valor mínimo de la envolvente	6.969	-0.882	-80.910	-0.059	-5.061	-0.086
		Valor máximo de la envolvente	65.510	0.666	-10.866	0.167	-0.638	0.092
N294	Desplazamientos	Valor mínimo de la envolvente	6.834	-0.767	-73.241	-0.036	-5.838	-0.080
		Valor máximo de la envolvente	64.563	0.551	-9.690	0.159	-0.772	0.092
N295	Desplazamientos	Valor mínimo de la envolvente	6.693	-0.656	-64.473	-0.030	-6.977	-0.073
		Valor máximo de la envolvente	63.584	0.450	-8.429	0.164	-0.963	0.095
N296	Desplazamientos	Valor mínimo de la envolvente	6.553	-0.546	-54.901	-0.029	-8.038	-0.068
		Valor máximo de la envolvente	62.616	0.362	-7.111	0.178	-1.078	0.103
N297	Desplazamientos	Valor mínimo de la envolvente	6.412	-0.431	-44.706	-0.032	-8.935	-0.065
		Valor máximo de la envolvente	61.649	0.286	-5.744	0.167	-1.185	0.114
N298	Desplazamientos	Valor mínimo de la envolvente	6.276	-0.309	-34.135	-0.047	-9.727	-0.067
		Valor máximo de la envolvente	60.710	0.224	-4.369	0.218	-1.257	0.131
N299	Desplazamientos	Valor mínimo de la envolvente	6.151	-0.182	-23.720	-0.119	-10.315	-0.100
		Valor máximo de la envolvente	59.842	0.154	-3.024	0.394	-1.327	0.160
N300	Desplazamientos	Valor mínimo de la envolvente	6.036	-0.043	-13.467	0.030	-10.760	-0.130
		Valor máximo de la envolvente	59.039	0.065	-1.722	0.099	-1.363	0.154
N301	Desplazamientos	Valor mínimo de la envolvente	5.902	-0.144	-0.623	-0.336	-10.859	-0.137
		Valor máximo de la envolvente	58.100	0.140	-0.091	0.237	-1.378	0.130
N302	Desplazamientos	Valor mínimo de la envolvente	3.691	-1.757	-17.997	-0.227	1.034	-0.038
		Valor máximo de la envolvente	34.087	0.850	-1.973	0.480	8.799	0.071
N303	Desplazamientos	Valor mínimo de la envolvente	5.340	-2.639	-24.918	-0.279	0.898	-0.019
		Valor máximo de la envolvente	45.961	1.337	-2.947	0.511	6.225	0.061
N304	Desplazamientos	Valor mínimo de la envolvente	6.888	-3.421	-31.396	-0.299	0.855	-0.121
		Valor máximo de la envolvente	57.046	1.801	-3.860	0.507	5.978	0.191
N305	Desplazamientos	Valor mínimo de la envolvente	8.297	-4.082	-37.078	-0.261	0.850	-0.122
		Valor máximo de la envolvente	66.697	2.202	-4.689	0.501	5.714	0.249
N306	Desplazamientos	Valor mínimo de la envolvente	3.990	-2.022	-36.871	-0.083	0.884	-0.060
		Valor máximo de la envolvente	36.250	1.147	-4.713	0.193	5.969	0.088
N307	Desplazamientos	Valor mínimo de la envolvente	5.606	-2.448	-43.452	-0.207	0.906	-0.175
		Valor máximo de la envolvente	47.993	1.387	-5.627	0.344	6.579	0.161

Codi Segur de Verificació:
62ffb294-fe9f-412a-95ff-e789b2359074
Origen: Administració
Identificador document: ES_L01081000_2026_28828185
Data d'impressió: 03/11/2026 13:44:57
Pàgina 152 de 247

SIGNATURES
1.- ESTEVE AYMERICH (R: J62755897), 27/07/2026 11:04



Listados

Envolvente de los desplazamientos en nudos

Referencia	Combinación		Desplazamientos en ejes globales					
	Tipo	Descripción	Dx (mm)	Dy (mm)	Dz (mm)	Gx (mRad)	Gy (mRad)	Gz (mRad)
N308	Desplazamientos	Valor mínimo de la envolvente	7.171	-2.934	-49.653	-0.309	0.824	-0.190
		Valor máximo de la envolvente	59.079	1.681	-6.511	0.444	5.704	0.263
N309	Desplazamientos	Valor mínimo de la envolvente	8.429	-3.466	-54.564	-0.331	0.728	-0.099
		Valor máximo de la envolvente	67.578	2.094	-7.241	0.471	5.331	0.233
N310	Desplazamientos	Valor mínimo de la envolvente	7.465	-2.280	-64.573	-0.306	0.529	-0.037
		Valor máximo de la envolvente	61.172	1.511	-8.747	0.267	5.058	0.234
N311	Desplazamientos	Valor mínimo de la envolvente	7.736	-1.742	-76.785	-0.308	0.381	-0.051
		Valor máximo de la envolvente	63.075	1.481	-10.626	0.343	4.315	0.256
N312	Desplazamientos	Valor mínimo de la envolvente	7.974	-1.258	-85.843	-0.295	0.231	-0.077
		Valor máximo de la envolvente	64.710	1.393	-12.077	0.400	3.213	0.185
N313	Desplazamientos	Valor mínimo de la envolvente	8.173	-1.097	-91.806	-0.267	0.056	-0.086
		Valor máximo de la envolvente	66.049	1.273	-13.091	0.444	2.100	0.075
N314	Desplazamientos	Valor mínimo de la envolvente	8.332	-1.069	-94.919	-0.243	-0.109	-0.094
		Valor máximo de la envolvente	67.090	1.135	-13.678	0.416	0.896	0.055
N315	Desplazamientos	Valor mínimo de la envolvente	8.450	-1.036	-95.405	-0.221	-0.354	-0.097
		Valor máximo de la envolvente	67.838	0.988	-13.865	0.361	0.003	0.065
N316	Desplazamientos	Valor mínimo de la envolvente	8.526	-0.970	-93.535	-0.197	-1.627	-0.094
		Valor máximo de la envolvente	68.308	0.846	-13.687	0.306	-0.193	0.078
N317	Desplazamientos	Valor mínimo de la envolvente	8.563	-0.879	-89.453	-0.170	-3.084	-0.088
		Valor máximo de la envolvente	68.509	0.716	-12.916	0.263	-0.395	0.087
N318	Desplazamientos	Valor mínimo de la envolvente	8.631	-0.821	-83.045	-0.197	-4.821	-0.089
		Valor máximo de la envolvente	69.034	0.592	-11.696	0.108	-0.667	0.086
N319	Desplazamientos	Valor mínimo de la envolvente	8.519	-0.673	-75.586	-0.112	-5.542	-0.074
		Valor máximo de la envolvente	68.135	0.504	-10.451	0.211	-0.808	0.096
N320	Desplazamientos	Valor mínimo de la envolvente	8.457	-0.567	-67.160	-0.085	-6.520	-0.066
		Valor máximo de la envolvente	67.702	0.420	-9.155	0.198	-0.950	0.101
N321	Desplazamientos	Valor mínimo de la envolvente	8.371	-0.458	-57.887	-0.063	-7.598	-0.060
		Valor máximo de la envolvente	67.114	0.348	-7.807	0.192	-1.086	0.109
N322	Desplazamientos	Valor mínimo de la envolvente	8.264	-0.345	-47.984	-0.048	-8.558	-0.056
		Valor máximo de la envolvente	66.394	0.292	-6.415	0.191	-1.186	0.120
N323	Desplazamientos	Valor mínimo de la envolvente	8.138	-0.222	-37.618	-0.033	-9.389	-0.055
		Valor máximo de la envolvente	65.559	0.258	-4.999	0.188	-1.271	0.133
N324	Desplazamientos	Valor mínimo de la envolvente	7.998	-0.095	-27.057	-0.014	-10.063	-0.062
		Valor máximo de la envolvente	64.636	0.204	-3.580	0.176	-1.343	0.139
N325	Desplazamientos	Valor mínimo de la envolvente	7.852	0.024	-16.784	0.010	-10.542	-0.085
		Valor máximo de la envolvente	63.675	0.129	-2.219	0.158	-1.392	0.137
N326	Desplazamientos	Valor mínimo de la envolvente	7.699	0.035	-6.812	0.038	-10.944	-0.101
		Valor máximo de la envolvente	62.680	0.137	-0.907	0.131	-1.436	0.140
N327	Desplazamientos	Valor mínimo de la envolvente	7.595	-0.031	-0.523	-	-	-
		Valor máximo de la envolvente	62.006	0.211	-0.083	-	-	-
N328	Desplazamientos	Valor mínimo de la envolvente	8.514	-2.973	-68.979	-0.412	0.472	-0.072
		Valor máximo de la envolvente	68.118	2.051	-9.429	0.674	4.940	0.215
N329	Desplazamientos	Valor mínimo de la envolvente	8.558	-2.559	-80.180	-0.322	0.310	-0.084
		Valor máximo de la envolvente	68.370	1.965	-11.164	0.376	3.907	0.197
N330	Desplazamientos	Valor mínimo de la envolvente	8.563	-2.146	-88.204	-0.298	0.169	-0.121
		Valor máximo de la envolvente	68.362	1.756	-12.460	0.636	2.799	0.213
N331	Desplazamientos	Valor mínimo de la envolvente	8.534	-1.804	-93.194	-0.285	0.007	-0.122
		Valor máximo de la envolvente	68.127	1.528	-13.330	0.517	1.626	0.178
N332	Desplazamientos	Valor mínimo de la envolvente	8.475	-1.538	-95.402	-0.279	-0.158	-0.117
		Valor máximo de la envolvente	67.701	1.315	-13.782	0.341	0.407	0.143
N333	Desplazamientos	Valor mínimo de la envolvente	8.390	-1.326	-95.067	-0.278	-0.862	-0.112
		Valor máximo de la envolvente	67.114	1.123	-13.843	0.185	-0.068	0.117
N334	Desplazamientos	Valor mínimo de la envolvente	8.282	-1.150	-92.427	-0.249	-2.068	-0.105
		Valor máximo de la envolvente	66.386	0.949	-13.535	0.142	-0.267	0.103
N335	Desplazamientos	Valor mínimo de la envolvente	8.158	-1.002	-87.729	-0.214	-3.779	-0.098
		Valor máximo de la envolvente	65.562	0.797	-12.575	0.113	-0.522	0.093

AJUNTAMENT D'OLERDOLA
Aquest document és una còpia simple del document electrònic original.

Codi Segur de Verificació:
62ffb294-fe9f-412a-95ff-e789b2359074
Origen: Administració
Identificador document: ES_L01081000_2026_28828185
Data d'impressió: 03/11/2026 13:44:57
Pàgina 153 de 247

SIGNATURES
1.- ESTEVE AYMERICH (R: J62755897), 27/07/2026 11:04

Listados

Cobriment de pista a Sant Pere Molanta (Olèrdola) Fecha: 10/03/26

Envolvente de los desplazamientos en nudos								
Referencia	Combinación		Desplazamientos en ejes globales					
	Tipo	Descripción	Dx (mm)	Dy (mm)	Dz (mm)	Gx (mRad)	Gy (mRad)	Gz (mRad)
N336	Desplazamientos	Valor mínimo de la envolvente	8.014	-0.872	-80.517	-0.183	-5.022	-0.091
		Valor máximo de la envolvente	64.595	0.662	-11.242	0.103	-0.698	0.088
N337	Desplazamientos	Valor mínimo de la envolvente	7.870	-0.758	-72.900	-0.133	-5.803	-0.083
		Valor máximo de la envolvente	63.652	0.548	-10.022	0.111	-0.830	0.088
N338	Desplazamientos	Valor mínimo de la envolvente	7.722	-0.649	-64.183	-0.084	-6.938	-0.074
		Valor máximo de la envolvente	62.677	0.448	-8.713	0.135	-1.029	0.092
N339	Desplazamientos	Valor mínimo de la envolvente	7.574	-0.542	-54.662	-0.060	-7.998	-0.064
		Valor máximo de la envolvente	61.712	0.366	-7.347	0.163	-1.116	0.098
N340	Desplazamientos	Valor mínimo de la envolvente	7.427	-0.435	-44.516	-0.061	-8.893	-0.056
		Valor máximo de la envolvente	60.749	0.302	-5.933	0.171	-1.226	0.106
N341	Desplazamientos	Valor mínimo de la envolvente	7.284	-0.325	-33.994	-0.082	-9.683	-0.059
		Valor máximo de la envolvente	59.814	0.279	-4.510	0.268	-1.299	0.129
N342	Desplazamientos	Valor mínimo de la envolvente	7.152	-0.198	-23.624	-0.162	-10.271	-0.115
		Valor máximo de la envolvente	58.948	0.219	-3.120	0.475	-1.371	0.181
N343	Desplazamientos	Valor mínimo de la envolvente	7.032	-0.031	-13.415	0.015	-10.716	-0.168
		Valor máximo de la envolvente	58.148	0.089	-1.775	0.187	-1.406	0.197
N344	Desplazamientos	Valor mínimo de la envolvente	6.894	-0.162	-0.621	-0.252	-10.816	-0.184
		Valor máximo de la envolvente	57.211	0.204	-0.092	0.265	-1.422	0.181
N345	Desplazamientos	Valor mínimo de la envolvente	4.411	-1.742	-17.497	-0.224	1.238	-0.043
		Valor máximo de la envolvente	33.131	0.839	-2.351	0.444	8.591	0.073
N346	Desplazamientos	Valor mínimo de la envolvente	6.379	-2.604	-24.323	-0.292	1.073	-0.016
		Valor máximo de la envolvente	44.840	1.366	-3.508	0.537	6.147	0.088
N347	Desplazamientos	Valor mínimo de la envolvente	8.236	-3.436	-30.706	-0.357	1.024	-0.113
		Valor máximo de la envolvente	55.765	1.920	-4.600	0.543	5.918	0.180
N348	Desplazamientos	Valor mínimo de la envolvente	9.924	-4.180	-36.357	-0.332	1.012	-0.103
		Valor máximo de la envolvente	65.378	2.430	-5.592	0.546	5.686	0.241
N349	Desplazamientos	Valor mínimo de la envolvente	4.767	-2.029	-36.198	-0.072	1.057	-0.116
		Valor máximo de la envolvente	35.267	1.155	-5.606	0.063	5.894	0.116
N350	Desplazamientos	Valor mínimo de la envolvente	6.703	-2.453	-42.676	-0.291	1.085	-0.256
		Valor máximo de la envolvente	46.816	1.395	-6.702	0.285	6.478	0.006
N351	Desplazamientos	Valor mínimo de la envolvente	8.574	-2.991	-48.814	-0.377	0.987	-0.159
		Valor máximo de la envolvente	57.771	1.707	-7.758	0.481	5.673	0.257
N352	Desplazamientos	Valor mínimo de la envolvente	10.085	-3.591	-53.727	-0.404	0.866	-0.089
		Valor máximo de la envolvente	66.267	2.270	-8.633	0.511	5.335	0.230
N353	Desplazamientos	Valor mínimo de la envolvente	8.929	-2.314	-63.820	-0.422	0.662	-0.085
		Valor máximo de la envolvente	59.839	1.542	-10.426	0.369	5.128	0.274
N354	Desplazamientos	Valor mínimo de la envolvente	9.260	-1.734	-76.207	-0.485	0.497	-0.079
		Valor máximo de la envolvente	61.732	1.471	-12.662	0.434	4.389	0.278
N355	Desplazamientos	Valor mínimo de la envolvente	9.550	-1.172	-85.471	-0.480	0.325	-0.124
		Valor máximo de la envolvente	63.369	1.371	-14.381	0.488	3.290	0.228
N356	Desplazamientos	Valor mínimo de la envolvente	9.792	-0.968	-91.639	-0.456	0.117	-0.177
		Valor máximo de la envolvente	64.718	1.129	-15.580	0.538	2.193	0.093
N357	Desplazamientos	Valor mínimo de la envolvente	9.984	-0.936	-94.940	-0.459	-0.075	-0.178
		Valor máximo de la envolvente	65.774	0.854	-16.274	0.507	0.982	0.062
N358	Desplazamientos	Valor mínimo de la envolvente	10.126	-0.915	-95.587	-0.469	-0.307	-0.158
		Valor máximo de la envolvente	66.538	0.620	-16.495	0.442	0.004	0.065
N359	Desplazamientos	Valor mínimo de la envolvente	10.219	-0.871	-93.847	-0.474	-1.564	-0.132
		Valor máximo de la envolvente	67.024	0.448	-15.938	0.372	-0.228	0.071
N360	Desplazamientos	Valor mínimo de la envolvente	10.264	-0.810	-89.869	-0.465	-3.021	-0.109
		Valor máximo de la envolvente	67.242	0.328	-14.960	0.310	-0.473	0.073
N361	Desplazamientos	Valor mínimo de la envolvente	10.355	-0.783	-83.581	-0.616	-4.730	-0.117
		Valor máximo de la envolvente	67.727	0.171	-13.594	0.143	-0.800	0.075
N362	Desplazamientos	Valor mínimo de la envolvente	10.212	-0.670	-76.175	-0.420	-5.524	-0.077
		Valor máximo de la envolvente	66.900	0.191	-12.181	0.218	-0.956	0.075
N363	Desplazamientos	Valor mínimo de la envolvente	10.139	-0.594	-67.742	-0.388	-6.540	-0.066
		Valor máximo de la envolvente	66.474	0.152	-10.697	0.188	-1.114	0.079

AJUNTAMENT D'OLERDOLA
Aquest document és una còpia simple del document electrònic original.

DOCUMENT
DOCUMENT REGISTRE UNIFICAT ENTRADA
ÒRGAN
SERVEIS TECNICS
REGISTRE D'ENTRADA
E2026005054
Codi Segur de Verificació:
62ffb294-fe9f-412a-95ff-e789b2359074
Origen: Administració
Identificador document: ES_L01081000_2026_28828185
Data d'impressió: 03/11/2026 13:44:57
Pàgina 154 de 247
SIGNATURES
1.- ESTEVE AYMERICH (R: J62755897), 27/07/2026 11:04

Envolvente de los desplazamientos en nudos								
Referencia	Combinación		Desplazamientos en ejes globales					
	Tipo	Descripción	Dx (mm)	Dy (mm)	Dz (mm)	Gx (mRad)	Gy (mRad)	Gz (mRad)
N364	Desplazamientos	Valor mínimo de la envolvente	10.037	-0.511	-58.428	-0.350	-7.639	-0.057
		Valor máximo de la envolvente	65.890	0.140	-9.141	0.173	-1.258	0.088
N365	Desplazamientos	Valor mínimo de la envolvente	9.909	-0.416	-48.462	-0.308	-8.620	-0.048
		Valor máximo de la envolvente	65.170	0.156	-7.523	0.173	-1.381	0.107
N366	Desplazamientos	Valor mínimo de la envolvente	9.759	-0.298	-38.013	-0.266	-9.470	-0.042
		Valor máximo de la envolvente	64.333	0.169	-5.869	0.186	-1.488	0.139
N367	Desplazamientos	Valor mínimo de la envolvente	9.593	-0.151	-27.355	-0.219	-10.162	-0.038
		Valor máximo de la envolvente	63.405	0.165	-4.207	0.208	-1.576	0.178
N368	Desplazamientos	Valor mínimo de la envolvente	9.418	0.024	-16.976	-0.166	-10.654	-0.071
		Valor máximo de la envolvente	62.437	0.130	-2.607	0.228	-1.636	0.220
N369	Desplazamientos	Valor mínimo de la envolvente	9.236	0.046	-6.896	-0.112	-11.062	-0.122
		Valor máximo de la envolvente	61.432	0.221	-1.063	0.242	-1.693	0.253
N370	Desplazamientos	Valor mínimo de la envolvente	9.112	-0.022	-0.540	-	-	-
		Valor máximo de la envolvente	60.751	0.356	-0.091	-	-	-
N371	Desplazamientos	Valor mínimo de la envolvente	10.191	-3.097	-68.273	-0.468	0.603	-0.081
		Valor máximo de la envolvente	66.826	2.172	-11.238	0.771	5.009	0.229
N372	Desplazamientos	Valor mínimo de la envolvente	10.247	-2.647	-79.664	-0.688	0.415	-0.137
		Valor máximo de la envolvente	67.096	2.023	-13.301	1.021	3.993	0.264
N373	Desplazamientos	Valor mínimo de la envolvente	10.258	-2.182	-87.900	-0.482	0.250	-0.144
		Valor máximo de la envolvente	67.101	1.769	-14.837	0.787	2.885	0.239
N374	Desplazamientos	Valor mínimo de la envolvente	10.228	-1.820	-93.091	-0.509	0.058	-0.142
		Valor máximo de la envolvente	66.877	1.533	-15.866	0.637	1.712	0.193
N375	Desplazamientos	Valor mínimo de la envolvente	10.160	-1.544	-95.480	-0.595	-0.135	-0.146
		Valor máximo de la envolvente	66.458	1.317	-16.398	0.473	0.485	0.157
N376	Desplazamientos	Valor mínimo de la envolvente	10.061	-1.325	-95.297	-0.694	-0.798	-0.148
		Valor máximo de la envolvente	65.875	1.122	-16.418	0.344	-0.079	0.132
N377	Desplazamientos	Valor mínimo de la envolvente	9.934	-1.144	-92.777	-0.676	-2.019	-0.142
		Valor máximo de la envolvente	65.149	0.946	-15.639	0.266	-0.312	0.114
N378	Desplazamientos	Valor mínimo de la envolvente	9.788	-0.993	-88.172	-0.636	-3.697	-0.133
		Valor máximo de la envolvente	64.324	0.792	-14.583	0.175	-0.623	0.099
N379	Desplazamientos	Valor mínimo de la envolvente	9.615	-0.862	-81.094	-0.600	-4.965	-0.124
		Valor máximo de la envolvente	63.360	0.658	-13.080	0.118	-0.835	0.088
N380	Desplazamientos	Valor mínimo de la envolvente	9.445	-0.748	-73.493	-0.532	-5.819	-0.112
		Valor máximo de la envolvente	62.413	0.544	-11.691	0.071	-0.982	0.085
N381	Desplazamientos	Valor mínimo de la envolvente	9.267	-0.641	-64.756	-0.455	-6.961	-0.099
		Valor máximo de la envolvente	61.430	0.448	-10.188	0.040	-1.191	0.083
N382	Desplazamientos	Valor mínimo de la envolvente	9.090	-0.537	-55.186	-0.388	-8.046	-0.085
		Valor máximo de la envolvente	60.457	0.366	-8.608	0.030	-1.300	0.085
N383	Desplazamientos	Valor mínimo de la envolvente	8.913	-0.435	-44.970	-0.368	-8.968	-0.073
		Valor máximo de la envolvente	59.485	0.314	-6.961	-0.051	-1.427	0.084
N384	Desplazamientos	Valor mínimo de la envolvente	8.741	-0.337	-34.357	-0.306	-9.768	-0.065
		Valor máximo de la envolvente	58.540	0.297	-5.297	0.115	-1.525	0.109
N385	Desplazamientos	Valor mínimo de la envolvente	8.581	-0.218	-23.889	-0.278	-10.381	-0.098
		Valor máximo de la envolvente	57.666	0.252	-3.666	0.147	-1.605	0.153
N386	Desplazamientos	Valor mínimo de la envolvente	8.436	-0.055	-13.570	-0.142	-10.830	-0.139
		Valor máximo de la envolvente	56.857	0.138	-2.086	0.265	-1.657	0.198
N387	Desplazamientos	Valor mínimo de la envolvente	8.266	-0.051	-0.640	-0.019	-10.929	-0.155
		Valor máximo de la envolvente	55.912	0.171	-0.103	0.139	-1.676	0.188
N388	Desplazamientos	Valor mínimo de la envolvente	4.122	-1.722	-17.909	-	-	-
		Valor máximo de la envolvente	33.939	0.827	-2.202	-	-	-
N389	Desplazamientos	Valor mínimo de la envolvente	6.384	-2.867	-24.254	-0.317	1.263	-0.142
		Valor máximo de la envolvente	44.822	1.228	-3.531	0.704	5.620	0.063
N390	Desplazamientos	Valor mínimo de la envolvente	8.543	-4.071	-30.158	-0.340	1.211	-0.085
		Valor máximo de la envolvente	54.911	1.714	-4.796	0.942	5.380	0.446
N391	Desplazamientos	Valor mínimo de la envolvente	10.597	-5.272	-35.203	-0.327	1.221	-0.066
		Valor máximo de la envolvente	63.440	2.263	-5.994	0.907	5.070	0.399

AJUNTAMENT D'OLERDOLA
Aquest document és una còpia simple del document electrònic original.

Codi Segur de Verificació:
62ffb294-fe9f-412a-95ff-e789b2359074
Origen: Administració
Identificador document: ES_L01081000_2026_28828185
Data d'impressió: 03/11/2026 13:44:57
Pàgina 155 de 247

SIGNATURES
1.- ESTEVE AYMERICH (R: J62755897), 27/07/2026 11:04

AJUNTAMENT D'OLERDOLA
Aquest document és una còpia simple del document electrònic original.

Listados

Envolvente de los desplazamientos en nudos								
Referencia	Combinación		Desplazamientos en ejes globales					
	Tipo	Descripción	Dx (mm)	Dy (mm)	Dz (mm)	Gx (mRad)	Gy (mRad)	Gz (mRad)
N392	Desplazamientos	Valor mínimo de la envolvente	4.531	-1.943	-34.920	-0.094	1.261	0.002
		Valor máximo de la envolvente	35.926	1.137	-6.043	0.391	5.337	0.145
N393	Desplazamientos	Valor mínimo de la envolvente	6.746	-2.408	-40.940	-0.179	1.244	-0.164
		Valor máximo de la envolvente	46.718	1.378	-7.306	0.934	6.037	1.598
N394	Desplazamientos	Valor mínimo de la envolvente	8.936	-3.031	-46.524	-0.356	1.199	-0.123
		Valor máximo de la envolvente	56.760	1.676	-8.554	1.027	5.049	0.476
N395	Desplazamientos	Valor mínimo de la envolvente	10.803	-4.330	-50.807	-0.386	1.178	-0.050
		Valor máximo de la envolvente	64.186	2.252	-9.640	1.018	4.648	0.386
N396	Desplazamientos	Valor mínimo de la envolvente	9.350	-2.315	-59.317	-0.826	1.122	-0.126
		Valor máximo de la envolvente	58.648	1.521	-11.974	2.034	4.274	0.441
N397	Desplazamientos	Valor mínimo de la envolvente	9.751	-1.751	-69.545	-1.012	0.932	-0.136
		Valor máximo de la envolvente	60.323	1.442	-14.944	2.409	3.584	0.480
N398	Desplazamientos	Valor mínimo de la envolvente	10.113	-1.072	-76.969	-0.993	0.703	-0.256
		Valor máximo de la envolvente	61.737	1.319	-17.282	2.423	2.598	0.721
N399	Desplazamientos	Valor mínimo de la envolvente	10.423	0.366	-81.702	-1.010	0.436	-0.424
		Valor máximo de la envolvente	62.878	0.734	-18.966	2.528	1.624	0.975
N400	Desplazamientos	Valor mínimo de la envolvente	10.676	0.080	-83.978	-1.135	0.159	-0.408
		Valor máximo de la envolvente	63.751	1.735	-20.006	2.870	0.577	0.866
N401	Desplazamientos	Valor mínimo de la envolvente	10.868	-0.397	-84.012	-1.276	-0.497	-0.331
		Valor máximo de la envolvente	64.366	2.599	-20.436	3.231	0.080	0.663
N402	Desplazamientos	Valor mínimo de la envolvente	10.999	-0.664	-82.056	-1.384	-1.583	-0.249
		Valor máximo de la envolvente	64.737	2.966	-20.302	3.505	-0.219	0.472
N403	Desplazamientos	Valor mínimo de la envolvente	11.072	-0.774	-78.225	-1.434	-2.847	-0.186
		Valor máximo de la envolvente	64.876	2.990	-19.647	3.640	-0.523	0.336
N404	Desplazamientos	Valor mínimo de la envolvente	11.143	-1.085	-72.354	-2.106	-4.406	-0.218
		Valor máximo de la envolvente	65.388	3.481	-18.482	5.150	-0.886	0.412
N405	Desplazamientos	Valor mínimo de la envolvente	11.045	-0.745	-65.693	-1.409	-4.910	-0.112
		Valor máximo de la envolvente	64.478	2.559	-17.006	3.618	-1.150	0.193
N406	Desplazamientos	Valor mínimo de la envolvente	10.965	-0.677	-58.298	-1.351	-5.691	-0.092
		Valor máximo de la envolvente	64.082	2.268	-15.224	3.503	-1.399	0.163
N407	Desplazamientos	Valor mínimo de la envolvente	10.846	-0.603	-50.232	-1.258	-6.591	-0.077
		Valor máximo de la envolvente	63.559	1.987	-13.211	3.310	-1.665	0.144
N408	Desplazamientos	Valor mínimo de la envolvente	10.694	-0.529	-41.664	-1.134	-7.388	-0.058
		Valor máximo de la envolvente	62.926	1.729	-11.023	3.057	-1.903	0.118
N409	Desplazamientos	Valor mínimo de la envolvente	10.512	-0.448	-32.734	-0.985	-8.076	-0.027
		Valor máximo de la envolvente	62.199	1.478	-8.705	2.764	-2.109	0.073
N410	Desplazamientos	Valor mínimo de la envolvente	10.307	-0.350	-23.664	-0.809	-8.633	-0.009
		Valor máximo de la envolvente	61.400	1.228	-6.322	2.434	-2.278	0.023
N411	Desplazamientos	Valor mínimo de la envolvente	10.091	-0.225	-14.862	-0.622	-9.023	-0.072
		Valor máximo de la envolvente	60.573	0.977	-3.991	2.108	-2.396	0.083
N412	Desplazamientos	Valor mínimo de la envolvente	9.865	-0.062	-6.335	-0.432	-9.353	-0.172
		Valor máximo de la envolvente	59.720	0.732	-1.717	1.803	-2.506	0.157
N413	Desplazamientos	Valor mínimo de la envolvente	9.709	0.002	-0.962	-	-	-
		Valor máximo de la envolvente	59.144	0.592	-0.269	-	-	-
N414	Desplazamientos	Valor mínimo de la envolvente	10.955	-3.482	-63.042	-0.434	1.080	-0.059
		Valor máximo de la envolvente	64.602	2.230	-13.032	0.699	4.127	0.357
N415	Desplazamientos	Valor mínimo de la envolvente	11.040	-2.746	-72.356	-1.036	0.830	-0.162
		Valor máximo de la envolvente	64.775	2.086	-15.800	2.552	3.230	0.426
N416	Desplazamientos	Valor mínimo de la envolvente	11.066	-2.275	-78.870	-1.017	0.606	-0.185
		Valor máximo de la envolvente	64.729	1.832	-17.916	2.449	2.238	0.348
N417	Desplazamientos	Valor mínimo de la envolvente	11.038	-1.916	-82.760	-1.336	0.339	-0.205
		Valor máximo de la envolvente	64.494	1.586	-19.385	3.329	1.217	0.385
N418	Desplazamientos	Valor mínimo de la envolvente	10.962	-1.631	-84.261	-1.747	0.056	-0.230
		Valor máximo de la envolvente	64.100	1.362	-20.218	4.317	0.281	0.431
N419	Desplazamientos	Valor mínimo de la envolvente	10.846	-1.402	-83.600	-2.129	-0.927	-0.253
		Valor máximo de la envolvente	63.572	1.161	-20.455	5.182	-0.032	0.475

DOCUMENT
DOCUMENT REGISTRE UNIFICAT ENTRADA
ÒRGAN
SERVEIS TECNICS
REGISTRE D'ENTRADA
E2026005054
Codi Segur de Verificació:
62ffb294-fe9f-412a-95ff-e789b2359074
Origen: Administració
Identificador document: ES_L01081000_2026_28828185
Data d'impressió: 03/11/2026 13:44:57
Pàgina 156 de 247
SIGNATURES
1.- ESTEVE AYMERICH (R: J62755897), 27/07/2026 11:04

Envolvente de los desplazamientos en nudos								
Referencia	Combinación		Desplazamientos en ejes globales					
	Tipo	Descripción	Dx (mm)	Dy (mm)	Dz (mm)	Gx (mRad)	Gy (mRad)	Gz (mRad)
N420	Desplazamientos	Valor mínimo de la envolvente	10.694	-1.211	-80.991	-2.147	-1.950	-0.248
		Valor máximo de la envolvente	62.928	0.980	-20.140	5.239	-0.332	0.467
N421	Desplazamientos	Valor mínimo de la envolvente	10.516	-1.051	-76.647	-2.134	-3.484	-0.240
		Valor máximo de la envolvente	62.206	0.822	-19.328	5.215	-0.680	0.456
N422	Desplazamientos	Valor mínimo de la envolvente	10.311	-0.914	-70.058	-2.082	-4.513	-0.229
		Valor máximo de la envolvente	61.356	0.685	-18.008	5.099	-0.971	0.441
N423	Desplazamientos	Valor mínimo de la envolvente	10.101	-0.794	-63.322	-1.910	-5.079	-0.209
		Valor máximo de la envolvente	60.541	0.570	-16.443	4.716	-1.221	0.412
N424	Desplazamientos	Valor mínimo de la envolvente	9.880	-0.685	-55.702	-1.718	-6.050	-0.187
		Valor máximo de la envolvente	59.703	0.475	-14.580	4.281	-1.509	0.382
N425	Desplazamientos	Valor mínimo de la envolvente	9.660	-0.575	-47.436	-1.551	-6.920	-0.168
		Valor máximo de la envolvente	58.876	0.418	-12.501	3.882	-1.757	0.356
N426	Desplazamientos	Valor mínimo de la envolvente	9.439	-0.469	-38.671	-1.554	-7.666	-0.171
		Valor máximo de la envolvente	58.053	0.371	-10.247	3.826	-1.990	0.366
N427	Desplazamientos	Valor mínimo de la envolvente	9.224	-0.344	-29.619	-1.202	-8.318	-0.148
		Valor máximo de la envolvente	57.255	0.297	-7.889	3.050	-2.181	0.328
N428	Desplazamientos	Valor mínimo de la envolvente	9.025	-0.218	-20.719	-1.153	-8.808	-0.141
		Valor máximo de la envolvente	56.517	0.208	-5.541	2.898	-2.333	0.328
N429	Desplazamientos	Valor mínimo de la envolvente	8.841	-0.087	-11.979	-0.590	-9.166	-0.106
		Valor máximo de la envolvente	55.835	0.127	-3.223	1.870	-2.440	0.271
N430	Desplazamientos	Valor mínimo de la envolvente	8.625	-0.031	-1.042	-0.011	-9.237	-0.123
		Valor máximo de la envolvente	55.036	0.093	-0.290	1.034	-2.470	0.224
N431	Desplazamientos	Valor mínimo de la envolvente	0.000	0.000	0.000	-0.003	-7.507	-6.201
		Valor máximo de la envolvente	0.000	0.000	0.000	-0.002	7.109	2.496
N432	Desplazamientos	Valor mínimo de la envolvente	0.000	0.000	0.000	-0.001	-11.097	-0.315
		Valor máximo de la envolvente	0.000	0.000	0.000	0.001	8.614	0.152
N433	Desplazamientos	Valor mínimo de la envolvente	0.000	0.000	0.000	-0.001	-11.249	-0.064
		Valor máximo de la envolvente	0.000	0.000	0.000	0.001	8.651	0.074
N434	Desplazamientos	Valor mínimo de la envolvente	0.000	0.000	0.000	0.000	-11.309	-0.046
		Valor máximo de la envolvente	0.000	0.000	0.000	0.001	8.651	0.049
N435	Desplazamientos	Valor mínimo de la envolvente	0.000	0.000	0.000	0.000	-11.344	-0.016
		Valor máximo de la envolvente	0.000	0.000	0.000	0.001	8.657	0.033
N436	Desplazamientos	Valor mínimo de la envolvente	0.000	0.000	0.000	0.000	-11.342	-0.002
		Valor máximo de la envolvente	0.000	0.000	0.000	0.001	8.664	0.024
N437	Desplazamientos	Valor mínimo de la envolvente	0.000	0.000	0.000	0.000	-11.322	0.014
		Valor máximo de la envolvente	0.000	0.000	0.000	0.001	8.682	0.022
N438	Desplazamientos	Valor mínimo de la envolvente	0.000	0.000	0.000	0.000	-11.220	-0.105
		Valor máximo de la envolvente	0.000	0.000	0.000	0.002	8.669	0.265
N439	Desplazamientos	Valor mínimo de la envolvente	0.000	0.000	0.000	0.000	-7.704	-2.578
		Valor máximo de la envolvente	0.000	0.000	0.000	0.005	7.205	6.250
N440	Desplazamientos	Valor mínimo de la envolvente	-14.139	-0.041	-0.704	-0.005	0.256	-1.800
		Valor máximo de la envolvente	43.972	-0.011	-0.106	0.085	5.930	5.914
N441	Desplazamientos	Valor mínimo de la envolvente	-24.383	-0.037	-0.411	0.004	-0.967	-1.293
		Valor máximo de la envolvente	43.154	-0.008	-0.070	0.054	8.087	0.948
N442	Desplazamientos	Valor mínimo de la envolvente	-27.522	-0.036	-0.314	-0.012	-1.028	-0.757
		Valor máximo de la envolvente	43.110	-0.008	-0.066	0.047	8.251	2.984
N443	Desplazamientos	Valor mínimo de la envolvente	-28.803	-0.030	-0.389	0.003	-1.144	-2.053
		Valor máximo de la envolvente	42.989	-0.004	-0.059	0.030	8.358	0.425
N444	Desplazamientos	Valor mínimo de la envolvente	-28.937	-0.029	-0.326	-0.012	-1.142	-0.425
		Valor máximo de la envolvente	42.957	-0.004	-0.060	0.032	8.349	2.220
N445	Desplazamientos	Valor mínimo de la envolvente	-29.159	-0.022	-0.376	0.005	-1.144	-2.121
		Valor máximo de la envolvente	42.825	0.000	-0.058	0.019	8.286	0.447
N446	Desplazamientos	Valor mínimo de la envolvente	-29.211	-0.020	-0.339	-0.011	-1.141	-0.439
		Valor máximo de la envolvente	42.776	-0.001	-0.061	0.020	8.279	2.198
N447	Desplazamientos	Valor mínimo de la envolvente	-29.312	-0.013	-0.365	0.007	-1.140	-2.131
		Valor máximo de la envolvente	42.640	0.003	-0.058	0.009	8.253	0.425

AJUNTAMENT D'OLERDOLA
Aquest document és una còpia simple del document electrònic original.

Codi Segur de Verificació:
62ffb294-fe9f-412a-95ff-e789b2359074
Origen: Administració
Identificador document: ES_L01081000_2026_28828185
Data d'impressió: 03/11/2026 13:44:57
Pàgina 157 de 247

SIGNATURES
1.- ESTEVE AYMERICH (R: J62755897), 27/07/2026 11:04

AJUNTAMENT D'OLERDOLA
Aquest document és una còpia simple del document electrònic original.

Listados

Envolvente de los desplazamientos en nudos								
Referencia	Combinación		Desplazamientos en ejes globales					
	Tipo	Descripción	Dx (mm)	Dy (mm)	Dz (mm)	Gx (mRad)	Gy (mRad)	Gz (mRad)
N448	Desplazamientos	Valor mínimo de la envolvente	-29.314	-0.012	-0.349	-0.010	-1.136	-0.457
		Valor máximo de la envolvente	42.579	0.003	-0.060	0.009	8.251	2.172
N449	Desplazamientos	Valor mínimo de la envolvente	-29.233	-0.005	-0.354	-0.002	-1.123	-2.154
		Valor máximo de la envolvente	42.388	0.007	-0.059	0.009	8.244	0.404
N450	Desplazamientos	Valor mínimo de la envolvente	-29.163	-0.005	-0.359	-0.010	-1.117	-0.473
		Valor máximo de la envolvente	42.296	0.006	-0.060	-0.001	8.245	2.148
N451	Desplazamientos	Valor mínimo de la envolvente	-28.894	0.000	-0.341	-0.013	-1.092	-2.173
		Valor máximo de la envolvente	42.011	0.010	-0.060	0.011	8.256	0.376
N452	Desplazamientos	Valor mínimo de la envolvente	-28.763	0.000	-0.369	-0.012	-1.082	-0.501
		Valor máximo de la envolvente	41.872	0.010	-0.060	-0.005	8.260	2.143
N453	Desplazamientos	Valor mínimo de la envolvente	-28.326	0.004	-0.326	-0.027	-1.044	-2.183
		Valor máximo de la envolvente	41.438	0.015	-0.060	0.011	8.300	0.338
N454	Desplazamientos	Valor mínimo de la envolvente	-28.090	0.003	-0.383	-0.026	-1.031	-0.494
		Valor máximo de la envolvente	41.214	0.015	-0.062	-0.004	8.306	2.084
N455	Desplazamientos	Valor mínimo de la envolvente	-26.524	0.007	-0.316	-0.045	-0.864	-2.920
		Valor máximo de la envolvente	40.529	0.020	-0.064	0.010	8.164	0.628
N456	Desplazamientos	Valor mínimo de la envolvente	-23.246	0.006	-0.415	-0.049	-0.780	-1.027
		Valor máximo de la envolvente	40.161	0.021	-0.070	-0.007	7.991	1.539
N457	Desplazamientos	Valor mínimo de la envolvente	-12.676	0.010	-0.562	-0.081	0.493	-5.805
		Valor máximo de la envolvente	39.728	0.026	-0.179	0.002	5.350	1.643
N458	Desplazamientos	Valor mínimo de la envolvente	-16.817	-0.009	-0.349	0.005	-3.894	-2.387
		Valor máximo de la envolvente	22.048	0.004	-0.055	0.034	6.223	6.332
N459	Desplazamientos	Valor mínimo de la envolvente	-26.370	-0.007	-0.214	-0.014	-3.342	-2.404
		Valor máximo de la envolvente	24.553	0.005	-0.038	-0.011	6.249	5.192
N460	Desplazamientos	Valor mínimo de la envolvente	-31.152	-0.008	-0.155	0.017	-4.834	-0.328
		Valor máximo de la envolvente	26.591	0.003	-0.036	0.021	6.204	0.414
N461	Desplazamientos	Valor mínimo de la envolvente	-31.639	-0.006	-0.202	-0.033	-4.928	-0.626
		Valor máximo de la envolvente	26.770	0.003	-0.032	-0.014	6.188	0.926
N462	Desplazamientos	Valor mínimo de la envolvente	-31.794	-0.006	-0.163	0.017	-5.005	-0.712
		Valor máximo de la envolvente	26.768	0.001	-0.033	0.022	6.177	0.587
N463	Desplazamientos	Valor mínimo de la envolvente	-31.828	-0.005	-0.194	-0.031	-5.022	-0.543
		Valor máximo de la envolvente	26.729	0.002	-0.032	-0.015	6.170	0.753
N464	Desplazamientos	Valor mínimo de la envolvente	-31.877	-0.005	-0.170	0.017	-5.042	-0.712
		Valor máximo de la envolvente	26.698	0.000	-0.033	0.025	6.150	0.570
N465	Desplazamientos	Valor mínimo de la envolvente	-31.907	-0.004	-0.187	-0.029	-5.048	-0.556
		Valor máximo de la envolvente	26.686	0.001	-0.032	-0.016	6.143	0.746
N466	Desplazamientos	Valor mínimo de la envolvente	-31.912	-0.004	-0.176	0.016	-5.048	-0.745
		Valor máximo de la envolvente	26.673	0.000	-0.033	0.027	6.119	0.568
N467	Desplazamientos	Valor mínimo de la envolvente	-31.886	-0.003	-0.180	-0.027	-5.045	-0.556
		Valor máximo de la envolvente	26.663	0.002	-0.032	-0.017	6.110	0.712
N468	Desplazamientos	Valor mínimo de la envolvente	-31.817	-0.004	-0.182	0.016	-5.017	-0.777
		Valor máximo de la envolvente	26.651	0.001	-0.033	0.029	6.073	0.568
N469	Desplazamientos	Valor mínimo de la envolvente	-31.736	-0.003	-0.173	-0.024	-5.005	-0.556
		Valor máximo de la envolvente	26.641	0.003	-0.032	-0.017	6.061	0.677
N470	Desplazamientos	Valor mínimo de la envolvente	-31.612	-0.004	-0.189	0.016	-4.954	-0.791
		Valor máximo de la envolvente	26.638	0.002	-0.034	0.031	6.005	0.559
N471	Desplazamientos	Valor mínimo de la envolvente	-31.512	-0.003	-0.163	-0.021	-4.929	-0.567
		Valor máximo de la envolvente	26.646	0.004	-0.032	-0.018	5.985	0.666
N472	Desplazamientos	Valor mínimo de la envolvente	-31.261	-0.005	-0.197	0.015	-4.811	-0.974
		Valor máximo de la envolvente	26.603	0.003	-0.035	0.034	5.894	0.647
N473	Desplazamientos	Valor mínimo de la envolvente	-30.687	-0.005	-0.158	-0.020	-4.705	-0.371
		Valor máximo de la envolvente	26.382	0.004	-0.034	-0.017	5.871	0.265
N474	Desplazamientos	Valor mínimo de la envolvente	-25.769	-0.006	-0.214	0.009	-3.158	-5.263
		Valor máximo de la envolvente	24.267	0.004	-0.039	0.024	5.751	2.448
N475	Desplazamientos	Valor mínimo de la envolvente	-16.084	-0.005	-0.279	-0.017	-3.703	-6.242
		Valor máximo de la envolvente	20.339	0.005	-0.091	-0.013	5.683	2.261

Codi Segur de Verificació:
62ffb294-fe9f-412a-95ff-e789b2359074
Origen: Administració
Identificador document: ES_L01081000_2026_28828185
Data d'impressió: 03/11/2026 13:44:57
Pàgina 158 de 247

SIGNATURES
1.- ESTEVE AYMERICH (R: J62755897), 27/07/2026 11:04

Listados

Cobriment de pista a Sant Pere Molanta (Olèrdola) Fecha: 10/03/26

Envolvente de los desplazamientos en nudos								
Referencia	Combinación		Desplazamientos en ejes globales					
	Tipo	Descripción	Dx (mm)	Dy (mm)	Dz (mm)	Gx (mRad)	Gy (mRad)	Gz (mRad)
N476	Desplazamientos	Valor mínimo de la envolvente	3.637	-1.878	-8.621	-0.226	1.297	-0.098
		Valor máximo de la envolvente	38.087	0.845	-0.107	0.678	6.530	0.084
N477	Desplazamientos	Valor mínimo de la envolvente	3.485	-1.872	-8.748	-0.202	1.279	0.019
		Valor máximo de la envolvente	38.126	0.842	-0.052	0.072	6.459	0.050
N478	Desplazamientos	Valor mínimo de la envolvente	3.242	-1.864	-8.728	-0.022	1.202	0.016
		Valor máximo de la envolvente	37.695	0.837	-0.056	0.054	6.304	0.042
N479	Desplazamientos	Valor mínimo de la envolvente	2.863	-1.855	-8.663	-0.001	1.116	0.015
		Valor máximo de la envolvente	37.465	0.832	0.010	0.011	6.269	0.037
N480	Desplazamientos	Valor mínimo de la envolvente	2.705	-1.848	-8.623	0.001	1.085	0.010
		Valor máximo de la envolvente	37.244	0.827	0.043	0.009	6.218	0.038
N481	Desplazamientos	Valor mínimo de la envolvente	2.821	-1.841	-8.570	-0.002	1.111	0.004
		Valor máximo de la envolvente	36.970	0.822	0.022	0.018	6.159	0.041
N482	Desplazamientos	Valor mínimo de la envolvente	3.254	-1.836	-8.496	-0.026	1.204	-0.003
		Valor máximo de la envolvente	36.519	0.817	-0.063	0.014	6.050	0.056
N483	Desplazamientos	Valor mínimo de la envolvente	4.000	-1.832	-8.274	-0.058	1.352	-0.001
		Valor máximo de la envolvente	35.798	0.812	-0.221	0.205	5.961	0.033
N484	Desplazamientos	Valor mínimo de la envolvente	4.776	-1.827	-8.329	-0.818	1.575	-0.038
		Valor máximo de la envolvente	34.745	0.807	-0.279	0.318	5.535	0.208
N485	Desplazamientos	Valor mínimo de la envolvente	4.452	-1.828	-7.384	-	-	-
		Valor máximo de la envolvente	35.791	0.804	-0.324	-	-	-
N486	Desplazamientos	Valor mínimo de la envolvente	7.625	-1.662	-82.787	-0.464	0.441	-0.067
		Valor máximo de la envolvente	67.235	1.506	-11.642	0.408	4.286	0.253
N487	Desplazamientos	Valor mínimo de la envolvente	7.655	-1.710	-81.330	0.120	0.453	-0.016
		Valor máximo de la envolvente	66.399	1.499	-11.804	0.309	4.234	0.238
N488	Desplazamientos	Valor mínimo de la envolvente	6.752	-1.700	-80.767	-0.014	0.336	-0.026
		Valor máximo de la envolvente	65.965	1.500	-10.107	0.194	4.174	0.218
N489	Desplazamientos	Valor mínimo de la envolvente	6.169	-1.692	-80.570	-0.078	0.326	-0.032
		Valor máximo de la envolvente	65.679	1.498	-9.525	0.192	4.174	0.212
N490	Desplazamientos	Valor mínimo de la envolvente	5.946	-1.683	-80.355	-0.098	0.327	-0.034
		Valor máximo de la envolvente	65.394	1.493	-9.335	0.209	4.171	0.213
N491	Desplazamientos	Valor mínimo de la envolvente	6.126	-1.670	-79.959	-0.134	0.332	-0.039
		Valor máximo de la envolvente	64.977	1.486	-9.507	0.255	4.162	0.221
N492	Desplazamientos	Valor mínimo de la envolvente	6.721	-1.655	-79.434	-0.195	0.336	-0.045
		Valor máximo de la envolvente	64.359	1.477	-9.996	0.309	4.151	0.236
N493	Desplazamientos	Valor mínimo de la envolvente	7.784	-1.638	-78.761	-0.307	0.346	-0.057
		Valor máximo de la envolvente	63.415	1.468	-10.929	0.342	4.152	0.258
N494	Desplazamientos	Valor mínimo de la envolvente	9.319	-1.624	-78.220	-0.497	0.462	-0.083
		Valor máximo de la envolvente	62.072	1.458	-13.023	0.438	4.224	0.290
N495	Desplazamientos	Valor mínimo de la envolvente	9.825	-1.652	-71.181	-1.053	0.887	-0.136
		Valor máximo de la envolvente	60.618	1.431	-15.433	2.513	3.441	0.487
N496	Desplazamientos	Valor mínimo de la envolvente	7.403	-2.055	-73.810	-0.457	0.564	-0.061
		Valor máximo de la envolvente	65.771	1.541	-10.063	0.402	5.023	0.233
N497	Desplazamientos	Valor mínimo de la envolvente	7.426	-2.096	-72.495	0.101	0.584	-0.012
		Valor máximo de la envolvente	64.970	1.549	-10.218	0.283	4.959	0.223
N498	Desplazamientos	Valor mínimo de la envolvente	6.560	-2.098	-72.036	0.001	0.456	-0.028
		Valor máximo de la envolvente	64.544	1.551	-8.778	0.167	4.897	0.220
N499	Desplazamientos	Valor mínimo de la envolvente	5.987	-2.096	-71.841	-0.058	0.444	-0.033
		Valor máximo de la envolvente	64.259	1.546	-8.239	0.132	4.895	0.229
N500	Desplazamientos	Valor mínimo de la envolvente	5.767	-2.089	-71.632	-0.077	0.445	-0.030
		Valor máximo de la envolvente	63.977	1.535	-8.056	0.142	4.890	0.233
N501	Desplazamientos	Valor mínimo de la envolvente	5.944	-2.077	-71.259	-0.119	0.452	-0.028
		Valor máximo de la envolvente	63.566	1.522	-8.219	0.191	4.878	0.236
N502	Desplazamientos	Valor mínimo de la envolvente	6.532	-2.065	-70.759	-0.202	0.459	-0.026
		Valor máximo de la envolvente	62.954	1.510	-8.689	0.251	4.862	0.236
N503	Desplazamientos	Valor mínimo de la envolvente	7.583	-2.058	-70.090	-0.310	0.474	-0.033
		Valor máximo de la envolvente	62.017	1.505	-9.574	0.289	4.856	0.236

AJUNTAMENT D'OLERDOLA
Aquest document és una còpia simple del document electrònic original.

Codi Segur de Verificació:
62ffb294-fe9f-412a-95ff-e789b2359074
Origen: Administració
Identificador document: ES_L01081000_2026_28828185
Data d'impressió: 03/11/2026 13:44:57
Pàgina 159 de 247

SIGNATURES
1.- ESTEVE AYMERICH (R: J62755897), 27/07/2026 11:04

AJUNTAMENT D'OLERDOLA
Aquest document és una còpia simple del document electrònic original.

Listados

Envolvente de los desplazamientos en nudos								
Referencia	Combinación		Desplazamientos en ejes globales					
	Tipo	Descripción	Dx (mm)	Dy (mm)	Dz (mm)	Gx (mRad)	Gy (mRad)	Gz (mRad)
N504	Desplazamientos	Valor mínimo de la envolvente	9.074	-2.063	-69.413	-0.462	0.608	-0.077
		Valor máximo de la envolvente	60.680	1.509	-11.415	0.381	4.910	0.264
N505	Desplazamientos	Valor mínimo de la envolvente	9.526	-2.075	-63.952	-0.968	1.057	-0.135
		Valor máximo de la envolvente	59.392	1.486	-13.290	2.342	4.083	0.467
N506	Desplazamientos	Valor mínimo de la envolvente	7.179	-2.397	-63.673	-0.389	0.661	-0.034
		Valor máximo de la envolvente	64.249	1.543	-8.333	0.366	5.394	0.203
N507	Desplazamientos	Valor mínimo de la envolvente	7.193	-2.451	-62.537	0.046	0.694	0.005
		Valor máximo de la envolvente	63.486	1.578	-8.476	0.222	5.303	0.188
N508	Desplazamientos	Valor mínimo de la envolvente	6.367	-2.480	-62.174	0.009	0.561	0.001
		Valor máximo de la envolvente	63.066	1.592	-7.328	0.139	5.246	0.178
N509	Desplazamientos	Valor mínimo de la envolvente	5.803	-2.496	-61.983	-0.041	0.549	-0.008
		Valor máximo de la envolvente	62.783	1.587	-6.839	0.079	5.243	0.183
N510	Desplazamientos	Valor mínimo de la envolvente	5.586	-2.497	-61.791	-0.052	0.552	-0.018
		Valor máximo de la envolvente	62.504	1.573	-6.663	0.074	5.234	0.192
N511	Desplazamientos	Valor mínimo de la envolvente	5.761	-2.487	-61.438	-0.106	0.558	-0.041
		Valor máximo de la envolvente	62.099	1.555	-6.818	0.126	5.221	0.211
N512	Desplazamientos	Valor mínimo de la envolvente	6.342	-2.468	-60.971	-0.193	0.568	-0.077
		Valor máximo de la envolvente	61.495	1.536	-7.262	0.190	5.201	0.235
N513	Desplazamientos	Valor mínimo de la envolvente	7.378	-2.460	-60.324	-0.288	0.589	-0.106
		Valor máximo de la envolvente	60.567	1.533	-8.082	0.227	5.187	0.258
N514	Desplazamientos	Valor mínimo de la envolvente	8.823	-2.516	-59.515	-0.391	0.726	-0.119
		Valor máximo de la envolvente	59.239	1.574	-9.636	0.343	5.239	0.286
N515	Desplazamientos	Valor mínimo de la envolvente	9.226	-2.504	-55.710	-0.739	1.160	-0.133
		Valor máximo de la envolvente	58.106	1.558	-10.946	1.872	4.430	0.426
N516	Desplazamientos	Valor mínimo de la envolvente	9.018	-0.213	-20.364	-1.309	-8.827	-0.152
		Valor máximo de la envolvente	56.489	0.204	-5.447	3.190	-2.339	0.349
N517	Desplazamientos	Valor mínimo de la envolvente	8.575	-0.212	-23.471	-0.290	-10.407	-0.103
		Valor máximo de la envolvente	57.634	0.248	-3.602	0.095	-1.607	0.152
N518	Desplazamientos	Valor mínimo de la envolvente	7.147	-0.192	-23.211	-0.228	-10.295	-0.121
		Valor máximo de la envolvente	58.916	0.215	-3.065	0.616	-1.372	0.193
N519	Desplazamientos	Valor mínimo de la envolvente	6.146	-0.177	-23.305	-0.181	-10.339	-0.104
		Valor máximo de la envolvente	59.809	0.150	-2.970	0.542	-1.328	0.171
N520	Desplazamientos	Valor mínimo de la envolvente	5.586	-0.181	-23.405	-0.176	-10.385	-0.080
		Valor máximo de la envolvente	60.392	0.114	-2.919	0.520	-1.304	0.149
N521	Desplazamientos	Valor mínimo de la envolvente	5.419	-0.202	-23.480	-0.168	-10.419	-0.069
		Valor máximo de la envolvente	60.781	0.091	-2.881	0.503	-1.287	0.130
N522	Desplazamientos	Valor mínimo de la envolvente	5.628	-0.241	-23.519	-0.166	-10.437	-0.061
		Valor máximo de la envolvente	61.051	0.080	-2.874	0.491	-1.284	0.117
N523	Desplazamientos	Valor mínimo de la envolvente	6.174	-0.291	-23.547	-0.156	-10.449	-0.057
		Valor máximo de la envolvente	61.322	0.089	-2.917	0.507	-1.303	0.113
N524	Desplazamientos	Valor mínimo de la envolvente	6.993	-0.343	-23.783	0.121	-10.553	-0.039
		Valor máximo de la envolvente	61.719	0.130	-3.449	0.406	-1.537	0.108
N525	Desplazamientos	Valor mínimo de la envolvente	7.000	-0.325	-24.644	-0.736	-10.679	-0.092
		Valor máximo de la envolvente	62.558	0.141	-3.357	0.007	-1.458	0.088
N526	Desplazamientos	Valor mínimo de la envolvente	9.420	-0.459	-37.907	-1.857	-7.730	-0.193
		Valor máximo de la envolvente	57.985	0.366	-10.049	4.455	-2.008	0.412
N527	Desplazamientos	Valor mínimo de la envolvente	8.899	-0.426	-44.076	-0.442	-9.051	-0.077
		Valor máximo de la envolvente	59.404	0.311	-6.819	-0.227	-1.433	0.072
N528	Desplazamientos	Valor mínimo de la envolvente	7.415	-0.426	-43.630	-0.098	-8.972	-0.056
		Valor máximo de la envolvente	60.669	0.299	-5.810	0.112	-1.232	0.103
N529	Desplazamientos	Valor mínimo de la envolvente	6.401	-0.421	-43.815	-0.031	-9.014	-0.064
		Valor máximo de la envolvente	61.569	0.280	-5.626	0.112	-1.190	0.111
N530	Desplazamientos	Valor mínimo de la envolvente	5.835	-0.421	-44.009	-0.032	-9.057	-0.074
		Valor máximo de la envolvente	62.159	0.263	-5.525	0.098	-1.168	0.113
N531	Desplazamientos	Valor mínimo de la envolvente	5.665	-0.428	-44.155	-0.028	-9.089	-0.081
		Valor máximo de la envolvente	62.553	0.250	-5.451	0.081	-1.151	0.110

Codi Segur de Verificació:
62ffb294-fe9f-412a-95ff-e789b2359074
Origen: Administració
Identificador document: ES_L01081000_2026_28828185
Data d'impressió: 03/11/2026 13:44:57
Pàgina 160 de 247

SIGNATURES
1.- ESTEVE AYMERICH (R: J62755897), 27/07/2026 11:04

AJUNTAMENT D'OLERDOLA
Aquest document és una còpia simple del document electrònic original.

Listados

Envolvente de los desplazamientos en nudos								
Referencia	Combinación		Desplazamientos en ejes globales					
	Tipo	Descripción	Dx (mm)	Dy (mm)	Dz (mm)	Gx (mRad)	Gy (mRad)	Gz (mRad)
N532	Desplazamientos	Valor mínimo de la envolvente	5.876	-0.445	-44.230	-0.026	-9.105	-0.085
		Valor máximo de la envolvente	62.826	0.244	-5.438	0.065	-1.149	0.102
N533	Desplazamientos	Valor mínimo de la envolvente	6.431	-0.470	-44.285	0.013	-9.117	-0.080
		Valor máximo de la envolvente	63.099	0.247	-5.518	0.071	-1.166	0.090
N534	Desplazamientos	Valor mínimo de la envolvente	7.305	-0.500	-44.729	0.335	-9.198	-0.039
		Valor máximo de la envolvente	63.513	0.261	-6.508	0.435	-1.366	0.099
N535	Desplazamientos	Valor mínimo de la envolvente	7.301	-0.509	-45.805	-0.864	-9.311	-0.129
		Valor máximo de la envolvente	64.373	0.270	-6.282	0.289	-1.299	0.107
N536	Desplazamientos	Valor mínimo de la envolvente	9.802	-0.642	-52.807	-2.396	-6.371	-0.231
		Valor máximo de la envolvente	59.414	0.444	-13.854	5.725	-1.601	0.481
N537	Desplazamientos	Valor mínimo de la envolvente	9.205	-0.603	-61.419	-0.620	-7.373	-0.107
		Valor máximo de la envolvente	61.090	0.416	-9.621	-0.189	-1.224	0.070
N538	Desplazamientos	Valor mínimo de la envolvente	7.670	-0.610	-60.860	-0.164	-7.332	-0.074
		Valor máximo de la envolvente	62.339	0.417	-8.220	0.043	-1.063	0.087
N539	Desplazamientos	Valor mínimo de la envolvente	6.643	-0.616	-61.132	-0.056	-7.371	-0.072
		Valor máximo de la envolvente	63.245	0.417	-7.953	0.100	-1.014	0.094
N540	Desplazamientos	Valor mínimo de la envolvente	6.071	-0.623	-61.411	-0.033	-7.409	-0.076
		Valor máximo de la envolvente	63.842	0.416	-7.807	0.077	-0.980	0.094
N541	Desplazamientos	Valor mínimo de la envolvente	5.899	-0.630	-61.620	-0.019	-7.438	-0.078
		Valor máximo de la envolvente	64.242	0.415	-7.701	0.058	-0.968	0.093
N542	Desplazamientos	Valor mínimo de la envolvente	6.113	-0.640	-61.729	-0.012	-7.452	-0.080
		Valor máximo de la envolvente	64.517	0.415	-7.682	0.042	-0.980	0.090
N543	Desplazamientos	Valor mínimo de la envolvente	6.677	-0.651	-61.808	0.032	-7.464	-0.073
		Valor máximo de la envolvente	64.792	0.416	-7.795	0.134	-1.003	0.086
N544	Desplazamientos	Valor mínimo de la envolvente	7.600	-0.664	-62.419	0.391	-7.526	-0.037
		Valor máximo de la envolvente	65.222	0.417	-9.152	0.595	-1.156	0.106
N545	Desplazamientos	Valor mínimo de la envolvente	7.586	-0.688	-63.681	-1.083	-7.620	-0.153
		Valor máximo de la envolvente	66.103	0.426	-8.815	0.484	-1.101	0.118
N546	Desplazamientos	Valor mínimo de la envolvente	10.143	-0.817	-64.690	-2.579	-4.872	-0.258
		Valor máximo de la envolvente	60.703	0.591	-16.771	6.158	-1.167	0.513
N547	Desplazamientos	Valor mínimo de la envolvente	9.479	-0.770	-75.061	-0.708	-5.574	-0.126
		Valor máximo de la envolvente	62.601	0.565	-11.960	-0.049	-0.940	0.077
N548	Desplazamientos	Valor mínimo de la envolvente	7.899	-0.780	-74.463	-0.215	-5.557	-0.087
		Valor máximo de la envolvente	63.840	0.569	-10.257	0.019	-0.796	0.082
N549	Desplazamientos	Valor mínimo de la envolvente	6.861	-0.789	-74.814	-0.073	-5.592	-0.081
		Valor máximo de la envolvente	64.752	0.572	-9.917	0.121	-0.740	0.089
N550	Desplazamientos	Valor mínimo de la envolvente	6.283	-0.798	-75.168	-0.041	-5.624	-0.081
		Valor máximo de la envolvente	65.355	0.576	-9.731	0.086	-0.712	0.086
N551	Desplazamientos	Valor mínimo de la envolvente	6.109	-0.806	-75.432	-0.018	-5.647	-0.080
		Valor máximo de la envolvente	65.760	0.579	-9.596	0.064	-0.701	0.085
N552	Desplazamientos	Valor mínimo de la envolvente	6.324	-0.813	-75.569	-0.010	-5.660	-0.080
		Valor máximo de la envolvente	66.038	0.581	-9.573	0.051	-0.712	0.083
N553	Desplazamientos	Valor mínimo de la envolvente	6.897	-0.821	-75.671	0.046	-5.670	-0.073
		Valor máximo de la envolvente	66.315	0.583	-9.713	0.188	-0.749	0.082
N554	Desplazamientos	Valor mínimo de la envolvente	7.863	-0.829	-76.405	0.407	-5.712	-0.039
		Valor máximo de la envolvente	66.758	0.584	-11.336	0.629	-0.882	0.107
N555	Desplazamientos	Valor mínimo de la envolvente	7.840	-0.863	-77.820	-1.122	-5.788	-0.161
		Valor máximo de la envolvente	67.659	0.595	-10.908	0.525	-0.863	0.118
N556	Desplazamientos	Valor mínimo de la envolvente	10.437	-0.995	-74.206	-2.860	-4.157	-0.288
		Valor máximo de la envolvente	61.879	0.766	-18.851	6.806	-0.821	0.564
N557	Desplazamientos	Valor mínimo de la envolvente	9.721	-0.939	-85.584	-0.798	-4.447	-0.142
		Valor máximo de la envolvente	63.953	0.737	-14.000	0.051	-0.745	0.089
N558	Desplazamientos	Valor mínimo de la envolvente	8.102	-0.949	-85.082	-0.273	-4.534	-0.098
		Valor máximo de la envolvente	65.190	0.741	-12.054	0.000	-0.623	0.084
N559	Desplazamientos	Valor mínimo de la envolvente	7.052	-0.958	-85.515	-0.097	-4.576	-0.089
		Valor máximo de la envolvente	66.108	0.745	-11.644	0.138	-0.561	0.092

Codi Segur de Verificació:
62ffb294-fe9f-412a-95ff-e789b2359074
Origen: Administració
Identificador document: ES_L01081000_2026_28828185
Data d'impressió: 03/11/2026 13:44:57
Pàgina 161 de 247

SIGNATURES
1.- ESTEVE AYMERICH (R: J62755897), 27/07/2026 11:04

AJUNTAMENT D'OLERDOLA
Aquest document és una còpia simple del document electrònic original.

Listados

Envolvente de los desplazamientos en nudos

Referencia	Combinación		Desplazamientos en ejes globales					
	Tipo	Descripción	Dx (mm)	Dy (mm)	Dz (mm)	Gx (mRad)	Gy (mRad)	Gz (mRad)
N560	Desplazamientos	Valor mínimo de la envolvente	6.468	-0.966	-85.938	-0.054	-4.610	-0.088
		Valor máximo de la envolvente	66.719	0.749	-11.418	0.089	-0.529	0.088
N561	Desplazamientos	Valor mínimo de la envolvente	6.291	-0.974	-86.255	-0.016	-4.636	-0.086
		Valor máximo de la envolvente	67.129	0.753	-11.257	0.063	-0.518	0.085
N562	Desplazamientos	Valor mínimo de la envolvente	6.509	-0.981	-86.419	-0.005	-4.650	-0.085
		Valor máximo de la envolvente	67.409	0.756	-11.231	0.060	-0.530	0.083
N563	Desplazamientos	Valor mínimo de la envolvente	7.090	-0.987	-86.546	0.045	-4.662	-0.075
		Valor máximo de la envolvente	67.688	0.759	-11.395	0.241	-0.569	0.083
N564	Desplazamientos	Valor mínimo de la envolvente	8.092	-0.993	-87.345	0.445	-4.666	-0.039
		Valor máximo de la envolvente	68.141	0.761	-13.183	0.696	-0.660	0.111
N565	Desplazamientos	Valor mínimo de la envolvente	8.062	-1.034	-88.922	-1.206	-4.778	-0.171
		Valor máximo de la envolvente	69.063	0.775	-12.676	0.659	-0.624	0.128
N566	Desplazamientos	Valor mínimo de la envolvente	10.674	-1.191	-80.595	-2.701	-2.062	-0.286
		Valor máximo de la envolvente	62.851	0.960	-20.071	6.461	-0.364	0.551
N567	Desplazamientos	Valor mínimo de la envolvente	9.918	-1.125	-92.365	-0.840	-2.166	-0.153
		Valor máximo de la envolvente	65.060	0.927	-15.535	0.215	-0.332	0.110
N568	Desplazamientos	Valor mínimo de la envolvente	8.268	-1.131	-92.006	-0.295	-2.207	-0.106
		Valor máximo de la envolvente	66.297	0.930	-13.437	0.032	-0.284	0.094
N569	Desplazamientos	Valor mínimo de la envolvente	7.207	-1.137	-92.510	-0.112	-2.235	-0.097
		Valor máximo de la envolvente	67.222	0.933	-12.646	0.165	-0.249	0.101
N570	Desplazamientos	Valor mínimo de la envolvente	6.618	-1.144	-92.989	-0.060	-2.254	-0.095
		Valor máximo de la envolvente	67.839	0.936	-12.225	0.114	-0.230	0.096
N571	Desplazamientos	Valor mínimo de la envolvente	6.440	-1.150	-93.347	-0.020	-2.269	-0.092
		Valor máximo de la envolvente	68.254	0.939	-12.070	0.084	-0.224	0.092
N572	Desplazamientos	Valor mínimo de la envolvente	6.659	-1.155	-93.534	-0.007	-2.277	-0.090
		Valor máximo de la envolvente	68.536	0.942	-12.229	0.074	-0.231	0.089
N573	Desplazamientos	Valor mínimo de la envolvente	7.248	-1.161	-93.681	0.068	-2.285	-0.079
		Valor máximo de la envolvente	68.817	0.944	-12.682	0.255	-0.252	0.090
N574	Desplazamientos	Valor mínimo de la envolvente	8.277	-1.166	-94.506	0.456	-2.289	-0.046
		Valor máximo de la envolvente	69.278	0.946	-14.542	0.656	-0.286	0.117
N575	Desplazamientos	Valor mínimo de la envolvente	8.241	-1.212	-96.199	-1.126	-2.329	-0.169
		Valor máximo de la envolvente	70.215	0.962	-13.976	0.630	-0.276	0.131
N576	Desplazamientos	Valor mínimo de la envolvente	10.853	-1.413	-83.684	-2.500	-0.868	-0.279
		Valor máximo de la envolvente	63.602	1.171	-20.457	5.991	-0.019	0.532
N577	Desplazamientos	Valor mínimo de la envolvente	10.067	-1.335	-95.368	-0.804	-0.732	-0.157
		Valor máximo de la envolvente	65.908	1.131	-16.449	0.294	-0.068	0.130
N578	Desplazamientos	Valor mínimo de la envolvente	8.394	-1.335	-95.145	-0.310	-0.795	-0.113
		Valor máximo de la envolvente	67.147	1.132	-13.849	0.099	-0.060	0.112
N579	Desplazamientos	Valor mínimo de la envolvente	7.325	-1.337	-95.705	-0.127	-0.819	-0.103
		Valor máximo de la envolvente	68.077	1.134	-12.937	0.203	-0.034	0.116
N580	Desplazamientos	Valor mínimo de la envolvente	6.731	-1.339	-96.219	-0.070	-0.833	-0.100
		Valor máximo de la envolvente	68.699	1.135	-12.480	0.152	-0.019	0.109
N581	Desplazamientos	Valor mínimo de la envolvente	6.551	-1.342	-96.605	-0.029	-0.844	-0.096
		Valor máximo de la envolvente	69.118	1.136	-12.313	0.119	-0.015	0.104
N582	Desplazamientos	Valor mínimo de la envolvente	6.772	-1.344	-96.807	-0.013	-0.850	-0.094
		Valor máximo de la envolvente	69.402	1.136	-12.486	0.093	-0.021	0.101
N583	Desplazamientos	Valor mínimo de la envolvente	7.366	-1.348	-96.970	0.108	-0.857	-0.082
		Valor máximo de la envolvente	69.684	1.137	-13.094	0.251	-0.034	0.100
N584	Desplazamientos	Valor mínimo de la envolvente	8.415	-1.352	-97.796	0.470	-0.842	-0.053
		Valor máximo de la envolvente	70.152	1.138	-15.329	0.601	-0.028	0.125
N585	Desplazamientos	Valor mínimo de la envolvente	8.376	-1.401	-99.531	-1.036	-0.871	-0.164
		Valor máximo de la envolvente	71.100	1.154	-14.728	0.656	-0.018	0.139
N586	Desplazamientos	Valor mínimo de la envolvente	10.975	-1.666	-84.191	-2.554	0.090	-0.287
		Valor máximo de la envolvente	64.164	1.392	-20.138	6.115	0.368	0.559
N587	Desplazamientos	Valor mínimo de la envolvente	10.171	-1.580	-95.316	-0.783	-0.110	-0.159
		Valor máximo de la envolvente	66.527	1.346	-16.350	0.246	0.657	0.145

Codi Segur de Verificació:
62ffb294-fe9f-412a-95ff-e789b2359074
Origen: Administració
Identificador document: ES_L01081000_2026_28828185
Data d'impressió: 03/11/2026 13:44:57
Pàgina 162 de 247

SIGNATURES
1.- ESTEVE AYMERICH (R: J62755897), 27/07/2026 11:04

AJUNTAMENT D'OLERDOLA
Aquest document és una còpia simple del document electrònic original.

Listados

Envolvente de los desplazamientos en nudos

Referencia	Combinación		Desplazamientos en ejes globales					
	Tipo	Descripción	Dx (mm)	Dy (mm)	Dz (mm)	Gx (mRad)	Gy (mRad)	Gz (mRad)
N588	Desplazamientos	Valor mínimo de la envolvente	8.485	-1.572	-95.259	-0.332	-0.142	-0.118
		Valor máximo de la envolvente	67.772	1.345	-13.741	0.129	0.585	0.132
N589	Desplazamientos	Valor mínimo de la envolvente	7.407	-1.566	-95.865	-0.142	-0.133	-0.107
		Valor máximo de la envolvente	68.707	1.343	-12.787	0.215	0.565	0.133
N590	Desplazamientos	Valor mínimo de la envolvente	6.810	-1.562	-96.402	-0.080	-0.127	-0.104
		Valor máximo de la envolvente	69.332	1.341	-12.305	0.162	0.558	0.125
N591	Desplazamientos	Valor mínimo de la envolvente	6.628	-1.559	-96.805	-0.035	-0.124	-0.099
		Valor máximo de la envolvente	69.755	1.339	-12.130	0.127	0.551	0.119
N592	Desplazamientos	Valor mínimo de la envolvente	6.851	-1.557	-97.018	-0.016	-0.124	-0.095
		Valor máximo de la envolvente	70.041	1.336	-12.315	0.101	0.548	0.113
N593	Desplazamientos	Valor mínimo de la envolvente	7.450	-1.556	-97.195	0.107	-0.123	-0.083
		Valor máximo de la envolvente	70.324	1.334	-12.942	0.256	0.542	0.111
N594	Desplazamientos	Valor mínimo de la envolvente	8.511	-1.556	-97.990	0.489	-0.074	-0.052
		Valor máximo de la envolvente	70.796	1.331	-15.245	0.607	0.570	0.136
N595	Desplazamientos	Valor mínimo de la envolvente	8.470	-1.607	-99.727	-1.072	-0.061	-0.164
		Valor máximo de la envolvente	71.752	1.345	-15.064	0.713	0.562	0.151
N596	Desplazamientos	Valor mínimo de la envolvente	11.045	-1.965	-82.319	-2.371	0.374	-0.278
		Valor máximo de la envolvente	64.541	1.623	-19.197	5.702	1.382	0.553
N597	Desplazamientos	Valor mínimo de la envolvente	10.235	-1.872	-92.482	-0.730	0.088	-0.158
		Valor máximo de la envolvente	66.924	1.569	-15.735	0.260	1.889	0.173
N598	Desplazamientos	Valor mínimo de la envolvente	8.540	-1.853	-92.612	-0.335	0.027	-0.121
		Valor máximo de la envolvente	68.176	1.563	-13.220	0.188	1.811	0.160
N599	Desplazamientos	Valor mínimo de la envolvente	7.457	-1.836	-93.253	-0.155	0.030	-0.108
		Valor máximo de la envolvente	69.116	1.557	-12.248	0.239	1.798	0.156
N600	Desplazamientos	Valor mínimo de la envolvente	6.856	-1.821	-93.799	-0.090	0.033	-0.103
		Valor máximo de la envolvente	69.745	1.551	-11.752	0.190	1.796	0.145
N601	Desplazamientos	Valor mínimo de la envolvente	6.673	-1.807	-94.211	-0.049	0.034	-0.097
		Valor máximo de la envolvente	70.170	1.543	-11.573	0.153	1.794	0.135
N602	Desplazamientos	Valor mínimo de la envolvente	6.898	-1.795	-94.429	-0.026	0.033	-0.093
		Valor máximo de la envolvente	70.458	1.536	-11.764	0.127	1.792	0.127
N603	Desplazamientos	Valor mínimo de la envolvente	7.500	-1.786	-94.616	0.100	0.037	-0.081
		Valor máximo de la envolvente	70.743	1.527	-12.394	0.230	1.789	0.122
N604	Desplazamientos	Valor mínimo de la envolvente	8.566	-1.780	-95.355	0.481	0.112	-0.051
		Valor máximo de la envolvente	71.216	1.519	-14.568	0.565	1.827	0.143
N605	Desplazamientos	Valor mínimo de la envolvente	8.524	-1.828	-97.053	-1.014	0.117	-0.151
		Valor máximo de la envolvente	72.176	1.526	-14.405	0.727	1.838	0.158
N606	Desplazamientos	Valor mínimo de la envolvente	11.065	-2.316	-78.304	-2.033	0.627	-0.256
		Valor máximo de la envolvente	64.742	1.859	-17.720	4.888	2.344	0.521
N607	Desplazamientos	Valor mínimo de la envolvente	10.259	-2.228	-87.174	-0.724	0.269	-0.162
		Valor máximo de la envolvente	67.110	1.796	-14.694	0.457	2.996	0.221
N608	Desplazamientos	Valor mínimo de la envolvente	8.564	-2.188	-87.498	-0.322	0.182	-0.116
		Valor máximo de la envolvente	68.372	1.781	-12.339	0.234	2.917	0.188
N609	Desplazamientos	Valor mínimo de la envolvente	7.476	-2.150	-88.161	-0.171	0.179	-0.098
		Valor máximo de la envolvente	69.316	1.763	-11.372	0.279	2.910	0.176
N610	Desplazamientos	Valor mínimo de la envolvente	6.872	-2.115	-88.705	-0.104	0.178	-0.089
		Valor máximo de la envolvente	69.948	1.746	-10.873	0.227	2.913	0.161
N611	Desplazamientos	Valor mínimo de la envolvente	6.688	-2.084	-89.115	-0.072	0.177	-0.081
		Valor máximo de la envolvente	70.375	1.730	-10.695	0.189	2.917	0.148
N612	Desplazamientos	Valor mínimo de la envolvente	6.914	-2.056	-89.335	-0.046	0.176	-0.076
		Valor máximo de la envolvente	70.664	1.716	-10.888	0.164	2.917	0.138
N613	Desplazamientos	Valor mínimo de la envolvente	7.519	-2.033	-89.528	0.062	0.182	-0.068
		Valor máximo de la envolvente	70.950	1.704	-11.504	0.214	2.915	0.130
N614	Desplazamientos	Valor mínimo de la envolvente	8.584	-2.015	-90.192	0.388	0.280	-0.049
		Valor máximo de la envolvente	71.424	1.691	-13.488	0.503	2.959	0.146
N615	Desplazamientos	Valor mínimo de la envolvente	8.541	-2.052	-91.810	-0.858	0.279	-0.132
		Valor máximo de la envolvente	72.384	1.684	-13.322	0.708	2.989	0.152

DOCUMENT
DOCUMENT REGISTRE UNIFICAT ENTRADA
ÒRGAN
SERVEIS TECNICS
REGISTRE D'ENTRADA
E2026005054
Codi Segur de Verificació:
62ffb294-fe9f-412a-95ff-e789b2359074
Origen: Administració
Identificador document: ES_L01081000_2026_28828185
Data d'impressió: 03/11/2026 13:44:57
Pàgina 163 de 247
SIGNATURES
1.- ESTEVE AYMERICH (R: J62755897), 27/07/2026 11:04

Envolvente de los desplazamientos en nudos

Referencia	Combinación		Desplazamientos en ejes globales					
	Tipo	Descripción	Dx (mm)	Dy (mm)	Dz (mm)	Gx (mRad)	Gy (mRad)	Gz (mRad)
N616	Desplazamientos	Valor mínimo de la envolvente	6.558	-0.132	-3.758	-1.368	-11.190	-0.222
		Valor máximo de la envolvente	60.865	0.127	2.090	1.860	-1.522	0.033
N617	Desplazamientos	Valor mínimo de la envolvente	6.478	-0.325	-32.556	-3.455	-10.679	-0.412
		Valor máximo de la envolvente	62.742	0.141	2.429	4.990	-1.458	0.088
N618	Desplazamientos	Valor mínimo de la envolvente	6.670	-0.509	-54.308	-3.716	-9.311	-0.448
		Valor máximo de la envolvente	64.597	0.270	0.052	5.271	-1.299	0.107
N619	Desplazamientos	Valor mínimo de la envolvente	6.928	-0.688	-72.593	-3.935	-7.620	-0.472
		Valor máximo de la envolvente	66.351	0.426	-2.021	5.466	-1.101	0.118
N620	Desplazamientos	Valor mínimo de la envolvente	7.183	-0.863	-86.818	-3.974	-5.788	-0.481
		Valor máximo de la envolvente	67.907	0.595	-4.033	5.507	-0.863	0.118
N621	Desplazamientos	Valor mínimo de la envolvente	7.400	-1.034	-98.203	-4.058	-4.778	-0.491
		Valor máximo de la envolvente	69.332	0.775	-5.623	5.642	-0.624	0.128
N622	Desplazamientos	Valor mínimo de la envolvente	7.590	-1.212	-105.418	-3.978	-2.329	-0.488
		Valor máximo de la envolvente	70.490	0.962	-7.091	5.613	-0.276	0.131
N623	Desplazamientos	Valor mínimo de la envolvente	7.739	-1.401	-108.805	-3.888	-0.871	-0.483
		Valor máximo de la envolvente	71.393	1.154	-8.033	5.639	-0.018	0.139
N624	Desplazamientos	Valor mínimo de la envolvente	7.841	-1.607	-109.120	-3.924	-0.061	-0.483
		Valor máximo de la envolvente	72.069	1.345	-8.294	5.695	0.562	0.151
N625	Desplazamientos	Valor mínimo de la envolvente	7.927	-1.828	-106.476	-3.866	0.117	-0.471
		Valor máximo de la envolvente	72.507	1.526	-8.365	5.710	1.838	0.158
N626	Desplazamientos	Valor mínimo de la envolvente	7.996	-2.052	-101.194	-3.710	0.279	-0.452
		Valor máximo de la envolvente	72.704	1.684	-8.284	5.691	2.989	0.152
N627	Desplazamientos	Valor mínimo de la envolvente	8.243	-2.269	-90.736	-1.751	0.399	-0.255
		Valor máximo de la envolvente	72.782	1.826	-10.330	3.757	4.044	0.188
N628	Desplazamientos	Valor mínimo de la envolvente	7.358	-1.281	-95.350	-1.611	0.326	-0.369
		Valor máximo de la envolvente	69.008	1.442	-11.420	3.192	3.302	0.200
N629	Desplazamientos	Valor mínimo de la envolvente	6.936	-1.662	-91.690	-3.360	0.441	-0.568
		Valor máximo de la envolvente	67.767	1.506	-8.176	5.501	4.286	0.253
N630	Desplazamientos	Valor mínimo de la envolvente	6.742	-2.055	-82.699	-3.354	0.564	-0.562
		Valor máximo de la envolvente	66.261	1.541	-6.687	5.495	5.023	0.233
N631	Desplazamientos	Valor mínimo de la envolvente	6.627	-2.397	-72.302	-3.198	0.661	-0.522
		Valor máximo de la envolvente	64.675	1.543	-5.172	5.342	5.394	0.203
N632	Desplazamientos	Valor mínimo de la envolvente	2.918	-2.346	-49.095	0.775	0.938	-1.473
		Valor máximo de la envolvente	51.172	1.320	-6.799	3.677	6.967	3.528
N633	Desplazamientos	Valor mínimo de la envolvente	3.721	-1.840	-24.255	-1.269	0.989	-0.029
		Valor máximo de la envolvente	36.176	0.901	-0.639	3.095	9.338	0.307
N634	Desplazamientos	Valor mínimo de la envolvente	4.077	-1.878	-13.502	-0.958	1.297	-0.098
		Valor máximo de la envolvente	37.880	0.845	0.596	2.866	6.530	0.382
N635	Desplazamientos	Valor mínimo de la envolvente	-0.002	-0.059	0.165	-0.383	1.054	-0.220
		Valor máximo de la envolvente	-0.001	0.036	1.874	0.795	11.717	0.362
N636	Desplazamientos	Valor mínimo de la envolvente	-0.002	0.004	0.156	-0.376	1.000	-0.169
		Valor máximo de la envolvente	-0.001	0.028	1.880	0.599	11.755	-0.024
N637	Desplazamientos	Valor mínimo de la envolvente	-0.002	-0.018	0.146	-0.381	0.939	-0.192
		Valor máximo de la envolvente	0.000	0.032	1.858	0.679	11.621	0.110
N638	Desplazamientos	Valor mínimo de la envolvente	-0.002	-0.015	0.128	-0.343	0.822	-0.133
		Valor máximo de la envolvente	0.000	0.022	1.846	0.660	11.546	0.088
N639	Desplazamientos	Valor mínimo de la envolvente	-0.002	-0.010	0.120	-0.303	0.772	-0.076
		Valor máximo de la envolvente	0.000	0.012	1.835	0.637	11.476	0.060
N640	Desplazamientos	Valor mínimo de la envolvente	-0.002	-0.010	0.125	-0.259	0.808	-0.015
		Valor máximo de la envolvente	0.000	0.002	1.822	0.606	11.391	0.060
N641	Desplazamientos	Valor mínimo de la envolvente	-0.002	-0.017	0.147	-0.222	0.945	-0.039
		Valor máximo de la envolvente	0.000	0.006	1.799	0.562	11.250	0.104
N642	Desplazamientos	Valor mínimo de la envolvente	-0.002	-0.025	0.185	-0.187	1.179	-0.086
		Valor máximo de la envolvente	0.000	0.014	1.762	0.524	11.017	0.155
N643	Desplazamientos	Valor mínimo de la envolvente	-0.002	-0.024	0.222	-0.207	1.407	-0.029
		Valor máximo de la envolvente	-0.001	0.005	1.710	0.560	10.697	0.145

AJUNTAMENT D'OLERDOLA
Aquest document és una còpia simple del document electrònic original.

DOCUMENT
DOCUMENT REGISTRE UNIFICAT ENTRADA
ÒRGAN
SERVEIS TECNICS
REGISTRE D'ENTRADA
E2026005054
Codi Segur de Verificació:
62ffb294-fe9f-412a-95ff-e789b2359074
Origen: Administració
Identificador document: ES_L01081000_2026_28828185
Data d'impressió: 03/11/2026 13:44:57
Pàgina 164 de 247
SIGNATURES
1.- ESTEVE AYMERICH (R: J62755897), 27/07/2026 11:04

Envolvente de los desplazamientos en nudos

Referencia	Combinación		Desplazamientos en ejes globales					
	Tipo	Descripción	Dx (mm)	Dy (mm)	Dz (mm)	Gx (mRad)	Gy (mRad)	Gz (mRad)
N644	Desplazamientos	Valor mínimo de la envolvente	-0.001	-0.008	0.202	-0.301	1.288	-0.062
		Valor máximo de la envolvente	-0.001	0.010	1.765	0.514	11.030	0.051
N645	Desplazamientos	Valor mínimo de la envolvente	-0.001	-0.036	-1.913	-0.392	1.080	-0.220
		Valor máximo de la envolvente	0.002	0.059	-0.181	0.809	11.772	0.361
N646	Desplazamientos	Valor mínimo de la envolvente	-0.001	-0.027	-1.917	-0.383	1.027	-0.169
		Valor máximo de la envolvente	0.002	-0.004	-0.173	0.597	11.806	-0.024
N647	Desplazamientos	Valor mínimo de la envolvente	-0.001	-0.031	-1.895	-0.389	0.964	-0.192
		Valor máximo de la envolvente	0.002	0.018	-0.161	0.683	11.672	0.110
N648	Desplazamientos	Valor mínimo de la envolvente	-0.001	-0.022	-1.884	-0.349	0.847	-0.133
		Valor máximo de la envolvente	0.002	0.014	-0.143	0.664	11.599	0.088
N649	Desplazamientos	Valor mínimo de la envolvente	-0.001	-0.012	-1.873	-0.307	0.797	-0.076
		Valor máximo de la envolvente	0.002	0.010	-0.135	0.640	11.529	0.060
N650	Desplazamientos	Valor mínimo de la envolvente	-0.001	-0.003	-1.859	-0.261	0.833	-0.015
		Valor máximo de la envolvente	0.002	0.010	-0.140	0.608	11.444	0.060
N651	Desplazamientos	Valor mínimo de la envolvente	-0.001	-0.007	-1.836	-0.220	0.969	-0.039
		Valor máximo de la envolvente	0.002	0.017	-0.162	0.561	11.303	0.104
N652	Desplazamientos	Valor mínimo de la envolvente	0.000	-0.014	-1.800	-0.183	1.203	-0.086
		Valor máximo de la envolvente	0.002	0.025	-0.200	0.521	11.072	0.156
N653	Desplazamientos	Valor mínimo de la envolvente	0.000	-0.005	-1.749	-0.206	1.432	-0.029
		Valor máximo de la envolvente	0.001	0.024	-0.237	0.560	10.754	0.145
N654	Desplazamientos	Valor mínimo de la envolvente	-0.001	-0.010	-1.793	-0.305	1.320	-0.062
		Valor máximo de la envolvente	0.002	0.008	-0.221	0.517	11.066	0.051
N655	Desplazamientos	Valor mínimo de la envolvente	3.381	-1.869	-22.940	-0.273	0.990	-0.009
		Valor máximo de la envolvente	36.648	0.931	-2.164	0.576	9.635	0.047
N656	Desplazamientos	Valor mínimo de la envolvente	3.232	-1.883	-22.958	-0.191	0.969	-0.049
		Valor máximo de la envolvente	36.702	0.940	-2.077	0.449	9.590	0.069
N657	Desplazamientos	Valor mínimo de la envolvente	3.007	-1.866	-22.711	-0.212	0.874	-0.043
		Valor máximo de la envolvente	36.301	0.931	-1.926	0.470	9.500	0.068
N658	Desplazamientos	Valor mínimo de la envolvente	2.645	-1.848	-22.575	-0.203	0.785	-0.043
		Valor máximo de la envolvente	36.078	0.922	-1.702	0.464	9.451	0.071
N659	Desplazamientos	Valor mínimo de la envolvente	2.494	-1.833	-22.445	-0.202	0.750	-0.043
		Valor máximo de la envolvente	35.867	0.913	-1.608	0.460	9.403	0.072
N660	Desplazamientos	Valor mínimo de la envolvente	2.605	-1.819	-22.282	-0.202	0.777	-0.042
		Valor máximo de la envolvente	35.605	0.905	-1.677	0.459	9.339	0.072
N661	Desplazamientos	Valor mínimo de la envolvente	3.019	-1.805	-22.017	-0.203	0.874	-0.041
		Valor máximo de la envolvente	35.176	0.896	-1.933	0.460	9.238	0.073
N662	Desplazamientos	Valor mínimo de la envolvente	3.735	-1.792	-21.585	-0.202	1.043	-0.040
		Valor máximo de la envolvente	34.474	0.887	-2.375	0.467	9.079	0.075
N663	Desplazamientos	Valor mínimo de la envolvente	4.463	-1.778	-20.994	-0.206	1.249	-0.045
		Valor máximo de la envolvente	33.508	0.876	-2.833	0.450	8.865	0.078
N664	Desplazamientos	Valor mínimo de la envolvente	4.173	-1.757	-21.431	-0.228	1.253	-0.018
		Valor máximo de la envolvente	34.319	0.861	-2.675	0.612	8.846	0.063
N665	Desplazamientos	Valor mínimo de la envolvente	0.000	0.000	0.000	-0.387	1.063	-0.220
		Valor máximo de la envolvente	0.000	0.000	0.000	0.802	11.679	0.361
N666	Desplazamientos	Valor mínimo de la envolvente	0.000	0.000	0.000	-0.379	1.010	-0.169
		Valor máximo de la envolvente	0.000	0.000	0.000	0.598	11.712	-0.024
N667	Desplazamientos	Valor mínimo de la envolvente	0.000	0.000	0.000	-0.385	0.948	-0.192
		Valor máximo de la envolvente	0.000	0.000	0.000	0.681	11.580	0.110
N668	Desplazamientos	Valor mínimo de la envolvente	0.000	0.000	0.000	-0.346	0.831	-0.133
		Valor máximo de la envolvente	0.000	0.000	0.000	0.662	11.507	0.088
N669	Desplazamientos	Valor mínimo de la envolvente	0.000	0.000	0.000	-0.305	0.782	-0.076
		Valor máximo de la envolvente	0.000	0.000	0.000	0.639	11.438	0.060
N670	Desplazamientos	Valor mínimo de la envolvente	0.000	0.000	0.000	-0.260	0.818	-0.015
		Valor máximo de la envolvente	0.000	0.000	0.000	0.607	11.353	0.060
N671	Desplazamientos	Valor mínimo de la envolvente	0.000	0.000	0.000	-0.221	0.953	-0.039
		Valor máximo de la envolvente	0.000	0.000	0.000	0.562	11.213	0.104

AJUNTAMENT D'OLERDOLA
Aquest document és una còpia simple del document electrònic original.

Codi Segur de Verificació:
62ffb294-fe9f-412a-95ff-e789b2359074
Origen: Administració
Identificador document: ES_L01081000_2026_28828185
Data d'impressió: 03/11/2026 13:44:57
Pàgina 165 de 247

SIGNATURES
1.- ESTEVE AYMERICH (R: J62755897), 27/07/2026 11:04

AJUNTAMENT D'OLERDOLA
Aquest document és una còpia simple del document electrònic original.

Listados

Envolvente de los desplazamientos en nudos								
Referencia	Combinación		Desplazamientos en ejes globales					
	Tipo	Descripción	Dx (mm)	Dy (mm)	Dz (mm)	Gx (mRad)	Gy (mRad)	Gz (mRad)
N672	Desplazamientos	Valor mínimo de la envolvente	0.000	0.000	0.000	-0.185	1.185	-0.086
		Valor máximo de la envolvente	0.000	0.000	0.000	0.522	10.983	0.156
N673	Desplazamientos	Valor mínimo de la envolvente	0.000	0.000	0.000	-0.206	1.413	-0.029
		Valor máximo de la envolvente	0.000	0.000	0.000	0.560	10.667	0.145
N674	Desplazamientos	Valor mínimo de la envolvente	0.000	0.000	0.000	-0.303	1.301	-0.062
		Valor máximo de la envolvente	0.000	0.000	0.000	0.515	10.980	0.051
N675	Desplazamientos	Valor mínimo de la envolvente	1.712	-0.995	-9.069	-0.342	1.041	-0.158
		Valor máximo de la envolvente	18.995	0.484	-0.834	0.716	11.316	0.269
N676	Desplazamientos	Valor mínimo de la envolvente	1.624	-0.981	-9.098	-0.312	0.994	-0.121
		Valor máximo de la envolvente	19.057	0.506	-0.792	0.566	11.336	-0.012
N677	Desplazamientos	Valor mínimo de la envolvente	1.527	-0.991	-8.994	-0.318	0.926	-0.138
		Valor máximo de la envolvente	18.839	0.487	-0.746	0.620	11.211	0.077
N678	Desplazamientos	Valor mínimo de la envolvente	1.336	-0.978	-8.937	-0.292	0.814	-0.093
		Valor máximo de la envolvente	18.719	0.475	-0.655	0.606	11.142	0.061
N679	Desplazamientos	Valor mínimo de la envolvente	1.256	-0.964	-8.884	-0.268	0.767	-0.050
		Valor máximo de la envolvente	18.606	0.463	-0.617	0.590	11.076	0.050
N680	Desplazamientos	Valor mínimo de la envolvente	1.314	-0.946	-8.818	-0.242	0.801	-0.012
		Valor máximo de la envolvente	18.467	0.449	-0.644	0.569	10.995	0.061
N681	Desplazamientos	Valor mínimo de la envolvente	1.535	-0.924	-8.709	-0.220	0.930	-0.035
		Valor máximo de la envolvente	18.239	0.433	-0.750	0.539	10.862	0.095
N682	Desplazamientos	Valor mínimo de la envolvente	1.916	-0.900	-8.529	-0.196	1.152	-0.071
		Valor máximo de la envolvente	17.861	0.417	-0.930	0.515	10.644	0.134
N683	Desplazamientos	Valor mínimo de la envolvente	2.285	-0.912	-8.285	-0.209	1.376	-0.028
		Valor máximo de la envolvente	17.342	0.409	-1.105	0.535	10.345	0.127
N684	Desplazamientos	Valor mínimo de la envolvente	2.092	-0.818	-8.531	-0.274	1.283	-0.039
		Valor máximo de la envolvente	17.880	0.434	-1.016	0.530	10.604	0.042
N685	Desplazamientos	Valor mínimo de la envolvente	1.712	-0.903	-12.881	-0.359	1.038	-0.158
		Valor máximo de la envolvente	19.000	0.444	-1.188	0.747	11.261	0.269
N686	Desplazamientos	Valor mínimo de la envolvente	1.624	-0.994	-12.914	-0.329	0.992	-0.121
		Valor máximo de la envolvente	19.062	0.498	-1.132	0.565	11.278	-0.012
N687	Desplazamientos	Valor mínimo de la envolvente	1.527	-0.964	-12.769	-0.336	0.923	-0.137
		Valor máximo de la envolvente	18.845	0.479	-1.061	0.631	11.155	0.077
N688	Desplazamientos	Valor mínimo de la envolvente	1.336	-0.957	-12.689	-0.306	0.812	-0.093
		Valor máximo de la envolvente	18.724	0.479	-0.933	0.616	11.086	0.061
N689	Desplazamientos	Valor mínimo de la envolvente	1.256	-0.950	-12.613	-0.277	0.766	-0.050
		Valor máximo de la envolvente	18.611	0.475	-0.879	0.597	11.021	0.050
N690	Desplazamientos	Valor mínimo de la envolvente	1.314	-0.943	-12.520	-0.244	0.800	-0.012
		Valor máximo de la envolvente	18.473	0.470	-0.918	0.573	10.941	0.061
N691	Desplazamientos	Valor mínimo de la envolvente	1.536	-0.936	-12.367	-0.217	0.927	-0.035
		Valor máximo de la envolvente	18.244	0.465	-1.066	0.539	10.808	0.095
N692	Desplazamientos	Valor mínimo de la envolvente	1.916	-0.925	-12.115	-0.189	1.147	-0.071
		Valor máximo de la envolvente	17.866	0.463	-1.321	0.510	10.592	0.134
N693	Desplazamientos	Valor mínimo de la envolvente	2.285	-0.922	-11.771	-0.206	1.371	-0.028
		Valor máximo de la envolvente	17.347	0.453	-1.572	0.535	10.295	0.127
N694	Desplazamientos	Valor mínimo de la envolvente	2.092	-0.814	-12.096	-0.285	1.280	-0.039
		Valor máximo de la envolvente	17.886	0.423	-1.455	0.536	10.547	0.042
N695	Desplazamientos	Valor mínimo de la envolvente	2.538	-1.436	-14.299	-0.293	1.014	-0.091
		Valor máximo de la envolvente	27.978	0.700	-1.317	0.624	10.656	0.171
N696	Desplazamientos	Valor mínimo de la envolvente	2.414	-1.437	-14.337	-0.248	0.977	-0.073
		Valor máximo de la envolvente	28.052	0.725	-1.255	0.521	10.649	0.007
N697	Desplazamientos	Valor mínimo de la envolvente	2.260	-1.436	-14.176	-0.251	0.899	-0.076
		Valor máximo de la envolvente	27.737	0.705	-1.176	0.545	10.539	0.037
N698	Desplazamientos	Valor mínimo de la envolvente	1.981	-1.420	-14.087	-0.239	0.796	-0.048
		Valor máximo de la envolvente	27.562	0.693	-1.034	0.536	10.477	0.042
N699	Desplazamientos	Valor mínimo de la envolvente	1.864	-1.403	-14.003	-0.232	0.753	-0.023
		Valor máximo de la envolvente	27.397	0.680	-0.974	0.528	10.418	0.046

Codi Segur de Verificació:
62ffb294-fe9f-412a-95ff-e789b2359074
Origen: Administració
Identificador document: ES_L01081000_2026_28828185
Data d'impressió: 03/11/2026 13:44:57
Pàgina 166 de 247

SIGNATURES
1.- ESTEVE AYMERICH (R: J62755897), 27/07/2026 11:04

AJUNTAMENT D'OLERDOLA
Aquest document és una còpia simple del document electrònic original.

Listados

Envolvente de los desplazamientos en nudos								
Referencia	Combinación		Desplazamientos en ejes globales					
	Tipo	Descripción	Dx (mm)	Dy (mm)	Dz (mm)	Gx (mRad)	Gy (mRad)	Gz (mRad)
N700	Desplazamientos	Valor mínimo de la envolvente	1.949	-1.385	-13.900	-0.225	0.785	-0.009
		Valor máximo de la envolvente	27.195	0.666	-1.018	0.519	10.344	0.064
N701	Desplazamientos	Valor mínimo de la envolvente	2.272	-1.363	-13.730	-0.216	0.901	-0.035
		Valor máximo de la envolvente	26.861	0.650	-1.182	0.507	10.223	0.086
N702	Desplazamientos	Valor mínimo de la envolvente	2.827	-1.340	-13.450	-0.204	1.103	-0.059
		Valor máximo de la envolvente	26.312	0.635	-1.465	0.499	10.028	0.113
N703	Desplazamientos	Valor mínimo de la envolvente	3.375	-1.344	-13.068	-0.210	1.320	-0.031
		Valor máximo de la envolvente	25.557	0.624	-1.743	0.499	9.759	0.108
N704	Desplazamientos	Valor mínimo de la envolvente	3.114	-1.253	-13.430	-0.243	1.263	-0.016
		Valor máximo de la envolvente	26.288	0.636	-1.613	0.556	9.918	0.038
N705	Desplazamientos	Valor mínimo de la envolvente	2.538	-1.376	-18.009	-0.327	1.010	-0.091
		Valor máximo de la envolvente	27.979	0.680	-1.671	0.682	10.600	0.171
N706	Desplazamientos	Valor mínimo de la envolvente	2.414	-1.450	-18.044	-0.266	0.974	-0.073
		Valor máximo de la envolvente	28.053	0.728	-1.597	0.521	10.592	0.007
N707	Desplazamientos	Valor mínimo de la envolvente	2.260	-1.422	-17.845	-0.277	0.896	-0.076
		Valor máximo de la envolvente	27.737	0.708	-1.490	0.569	10.482	0.037
N708	Desplazamientos	Valor mínimo de la envolvente	1.981	-1.410	-17.734	-0.257	0.793	-0.047
		Valor máximo de la envolvente	27.562	0.704	-1.312	0.557	10.421	0.042
N709	Desplazamientos	Valor mínimo de la envolvente	1.864	-1.399	-17.630	-0.241	0.751	-0.023
		Valor máximo de la envolvente	27.398	0.696	-1.237	0.544	10.363	0.046
N710	Desplazamientos	Valor mínimo de la envolvente	1.949	-1.387	-17.501	-0.227	0.782	-0.009
		Valor máximo de la envolvente	27.195	0.689	-1.292	0.529	10.289	0.064
N711	Desplazamientos	Valor mínimo de la envolvente	2.272	-1.375	-17.289	-0.211	0.898	-0.035
		Valor máximo de la envolvente	26.861	0.681	-1.497	0.508	10.169	0.086
N712	Desplazamientos	Valor mínimo de la envolvente	2.827	-1.360	-16.941	-0.192	1.098	-0.059
		Valor máximo de la envolvente	26.313	0.675	-1.850	0.493	9.976	0.113
N713	Desplazamientos	Valor mínimo de la envolvente	3.375	-1.355	-16.466	-0.206	1.314	-0.031
		Valor máximo de la envolvente	25.558	0.663	-2.204	0.502	9.709	0.108
N714	Desplazamientos	Valor mínimo de la envolvente	3.114	-1.255	-16.881	-0.263	1.260	-0.016
		Valor máximo de la envolvente	26.289	0.637	-2.055	0.564	9.861	0.038
N715	Desplazamientos	Valor mínimo de la envolvente	0.863	-0.532	-3.633	-0.368	1.061	-0.195
		Valor máximo de la envolvente	9.590	0.258	-0.338	0.767	11.676	0.324
N716	Desplazamientos	Valor mínimo de la envolvente	0.817	-0.494	-3.645	-0.356	1.009	-0.150
		Valor máximo de la envolvente	9.625	0.262	-0.321	0.592	11.709	-0.019
N717	Desplazamientos	Valor mínimo de la envolvente	0.770	-0.512	-3.604	-0.361	0.946	-0.170
		Valor máximo de la envolvente	9.514	0.252	-0.303	0.661	11.577	0.097
N718	Desplazamientos	Valor mínimo de la envolvente	0.674	-0.504	-3.581	-0.327	0.830	-0.117
		Valor máximo de la envolvente	9.453	0.242	-0.266	0.644	11.504	0.078
N719	Desplazamientos	Valor mínimo de la envolvente	0.633	-0.494	-3.559	-0.292	0.781	-0.066
		Valor máximo de la envolvente	9.395	0.233	-0.251	0.624	11.435	0.054
N720	Desplazamientos	Valor mínimo de la envolvente	0.662	-0.481	-3.533	-0.254	0.816	-0.014
		Valor máximo de la envolvente	9.325	0.222	-0.262	0.596	11.350	0.060
N721	Desplazamientos	Valor mínimo de la envolvente	0.775	-0.464	-3.489	-0.222	0.951	-0.037
		Valor máximo de la envolvente	9.209	0.209	-0.304	0.557	11.210	0.100
N722	Desplazamientos	Valor mínimo de la envolvente	0.968	-0.447	-3.417	-0.191	1.184	-0.080
		Valor máximo de la envolvente	9.017	0.196	-0.377	0.523	10.980	0.147
N723	Desplazamientos	Valor mínimo de la envolvente	1.153	-0.459	-3.319	-0.208	1.411	-0.029
		Valor máximo de la envolvente	8.754	0.193	-0.446	0.554	10.665	0.138
N724	Desplazamientos	Valor mínimo de la envolvente	1.052	-0.406	-3.420	-0.291	1.299	-0.050
		Valor máximo de la envolvente	9.037	0.224	-0.410	0.516	10.977	0.045
N725	Desplazamientos	Valor mínimo de la envolvente	0.863	-0.424	-7.471	-0.379	1.061	-0.195
		Valor máximo de la envolvente	9.596	0.208	-0.690	0.785	11.649	0.324
N726	Desplazamientos	Valor mínimo de la envolvente	0.818	-0.508	-7.492	-0.365	1.009	-0.150
		Valor máximo de la envolvente	9.631	0.251	-0.657	0.590	11.681	-0.019
N727	Desplazamientos	Valor mínimo de la envolvente	0.770	-0.480	-7.408	-0.371	0.946	-0.170
		Valor máximo de la envolvente	9.520	0.239	-0.616	0.668	11.549	0.097

Codi Segur de Verificació:
62ffb294-fe9f-412a-95ff-e789b2359074
Origen: Administració
Identificador document: ES_L01081000_2026_28828185
Data d'impressió: 03/11/2026 13:44:57
Pàgina 167 de 247

SIGNATURES
1.- ESTEVE AYMERICH (R: J62755897), 27/07/2026 11:04

AJUNTAMENT D'OLERDOLA
Aquest document és una còpia simple del document electrònic original.

Listados

Envolvente de los desplazamientos en nudos

Referencia	Combinación		Desplazamientos en ejes globales					
	Tipo	Descripción	Dx (mm)	Dy (mm)	Dz (mm)	Gx (mRad)	Gy (mRad)	Gz (mRad)
N728	Desplazamientos	Valor mínimo de la envolvente	0.674	-0.478	-7.361	-0.335	0.829	-0.117
		Valor máximo de la envolvente	9.459	0.242	-0.542	0.649	11.476	0.078
N729	Desplazamientos	Valor mínimo de la envolvente	0.633	-0.476	-7.317	-0.297	0.780	-0.066
		Valor máximo de la envolvente	9.401	0.242	-0.511	0.628	11.408	0.054
N730	Desplazamientos	Valor mínimo de la envolvente	0.663	-0.476	-7.263	-0.255	0.816	-0.014
		Valor máximo de la envolvente	9.331	0.242	-0.533	0.598	11.323	0.060
N731	Desplazamientos	Valor mínimo de la envolvente	0.775	-0.476	-7.174	-0.220	0.951	-0.037
		Valor máximo de la envolvente	9.215	0.243	-0.620	0.556	11.184	0.100
N732	Desplazamientos	Valor mínimo de la envolvente	0.968	-0.473	-7.027	-0.187	1.182	-0.080
		Valor máximo de la envolvente	9.023	0.246	-0.768	0.520	10.955	0.147
N733	Desplazamientos	Valor mínimo de la envolvente	1.153	-0.468	-6.826	-0.207	1.409	-0.029
		Valor máximo de la envolvente	8.759	0.239	-0.913	0.554	10.641	0.138
N734	Desplazamientos	Valor mínimo de la envolvente	1.052	-0.398	-7.021	-0.297	1.299	-0.050
		Valor máximo de la envolvente	9.043	0.207	-0.843	0.520	10.948	0.045
N735	Desplazamientos	Valor mínimo de la envolvente	8.689	-0.031	-0.522	0.007	-9.237	-0.121
		Valor máximo de la envolvente	54.920	0.093	-0.258	0.993	-2.470	0.224
N736	Desplazamientos	Valor mínimo de la envolvente	9.081	-0.213	-18.738	-1.266	-8.827	-0.147
		Valor máximo de la envolvente	56.307	0.204	-5.668	3.115	-2.339	0.349
N737	Desplazamientos	Valor mínimo de la envolvente	9.478	-0.459	-35.623	-1.813	-7.730	-0.188
		Valor máximo de la envolvente	57.771	0.366	-10.478	4.379	-2.008	0.412
N738	Desplazamientos	Valor mínimo de la envolvente	9.864	-0.642	-49.863	-2.352	-6.371	-0.226
		Valor máximo de la envolvente	59.163	0.444	-14.469	5.649	-1.601	0.481
N739	Desplazamientos	Valor mínimo de la envolvente	10.215	-0.817	-61.520	-2.536	-4.872	-0.253
		Valor máximo de la envolvente	60.436	0.591	-17.446	6.083	-1.167	0.513
N740	Desplazamientos	Valor mínimo de la envolvente	10.522	-0.995	-70.699	-2.817	-4.157	-0.284
		Valor máximo de la envolvente	61.586	0.766	-19.619	6.731	-0.821	0.564
N741	Desplazamientos	Valor mínimo de la envolvente	10.760	-1.191	-77.268	-2.658	-2.062	-0.282
		Valor máximo de la envolvente	62.564	0.960	-20.799	6.385	-0.364	0.551
N742	Desplazamientos	Valor mínimo de la envolvente	10.938	-1.413	-80.601	-2.457	-0.868	-0.274
		Valor máximo de la envolvente	63.325	1.171	-21.142	5.916	-0.019	0.532
N743	Desplazamientos	Valor mínimo de la envolvente	11.064	-1.666	-81.043	-2.511	0.090	-0.282
		Valor máximo de la envolvente	63.873	1.392	-20.846	6.040	0.368	0.559
N744	Desplazamientos	Valor mínimo de la envolvente	11.132	-1.965	-79.386	-2.327	0.374	-0.273
		Valor máximo de la envolvente	64.254	1.623	-19.860	5.627	1.382	0.553
N745	Desplazamientos	Valor mínimo de la envolvente	11.149	-2.316	-75.795	-1.990	0.627	-0.251
		Valor máximo de la envolvente	64.471	1.859	-18.295	4.812	2.344	0.521
N746	Desplazamientos	Valor mínimo de la envolvente	11.097	-2.746	-71.046	-1.018	0.830	-0.159
		Valor máximo de la envolvente	64.553	2.086	-16.117	2.511	3.230	0.426
N747	Desplazamientos	Valor mínimo de la envolvente	10.193	-1.072	-75.726	-0.975	0.703	-0.252
		Valor máximo de la envolvente	61.362	1.319	-17.592	2.380	2.598	0.721
N748	Desplazamientos	Valor mínimo de la envolvente	9.873	-1.652	-69.906	-1.009	0.887	-0.128
		Valor máximo de la envolvente	60.365	1.431	-15.754	2.435	3.441	0.487
N749	Desplazamientos	Valor mínimo de la envolvente	9.571	-2.075	-62.765	-0.924	1.057	-0.128
		Valor máximo de la envolvente	59.149	1.486	-13.589	2.265	4.083	0.467
N750	Desplazamientos	Valor mínimo de la envolvente	9.284	-2.504	-54.768	-0.696	1.160	-0.126
		Valor máximo de la envolvente	57.884	1.558	-11.181	1.796	4.430	0.426
N751	Desplazamientos	Valor mínimo de la envolvente	6.822	-2.408	-40.675	-0.193	1.244	-0.143
		Valor máximo de la envolvente	46.418	1.378	-7.405	0.881	6.037	1.548
N752	Desplazamientos	Valor mínimo de la envolvente	4.105	-1.722	-17.616	-0.191	1.256	-0.023
		Valor máximo de la envolvente	33.951	0.827	-2.302	0.554	8.546	0.061
N753	Desplazamientos	Valor mínimo de la envolvente	4.742	-1.828	-17.940	-20.309	1.381	-1.275
		Valor máximo de la envolvente	33.899	0.804	2.443	7.299	6.891	3.640
N754	Desplazamientos	Valor mínimo de la envolvente	6.974	-2.681	-53.141	-0.273	0.830	-0.055
		Valor máximo de la envolvente	62.762	1.540	-6.661	0.335	5.975	0.183
N755	Desplazamientos	Valor mínimo de la envolvente	6.979	-2.727	-52.207	-0.090	0.898	0.010
		Valor máximo de la envolvente	62.039	1.552	-6.771	0.299	5.827	0.179

Codi Segur de Verificació:
62ffb294-fe9f-412a-95ff-e789b2359074
Origen: Administració
Identificador document: ES_L01081000_2026_28828185
Data d'impressió: 03/11/2026 13:44:57
Pàgina 168 de 247

SIGNATURES
1.- ESTEVE AYMERICH (R: J62755897), 27/07/2026 11:04

AJUNTAMENT D'OLERDOLA
Aquest document és una còpia simple del document electrònic original.

Listados

Envolvente de los desplazamientos en nudos								
Referencia	Combinación		Desplazamientos en ejes globales					
	Tipo	Descripción	Dx (mm)	Dy (mm)	Dz (mm)	Gx (mRad)	Gy (mRad)	Gz (mRad)
N756	Desplazamientos	Valor mínimo de la envolvente	6.188	-2.741	-51.938	-0.068	0.780	0.028
		Valor máximo de la envolvente	61.622	1.553	-5.894	0.241	5.800	0.151
N757	Desplazamientos	Valor mínimo de la envolvente	5.634	-2.753	-51.756	-0.104	0.742	0.010
		Valor máximo de la envolvente	61.342	1.563	-5.465	0.251	5.792	0.141
N758	Desplazamientos	Valor mínimo de la envolvente	5.420	-2.773	-51.570	-0.126	0.730	-0.010
		Valor máximo de la envolvente	61.066	1.582	-5.308	0.263	5.784	0.149
N759	Desplazamientos	Valor mínimo de la envolvente	5.590	-2.807	-51.262	-0.157	0.743	-0.068
		Valor máximo de la envolvente	60.669	1.609	-5.442	0.294	5.756	0.175
N760	Desplazamientos	Valor mínimo de la envolvente	6.162	-2.854	-50.838	-0.220	0.770	-0.141
		Valor máximo de la envolvente	60.074	1.641	-5.849	0.364	5.727	0.223
N761	Desplazamientos	Valor mínimo de la envolvente	7.181	-2.912	-50.219	-0.306	0.825	-0.194
		Valor máximo de la envolvente	59.157	1.673	-6.593	0.427	5.697	0.267
N762	Desplazamientos	Valor mínimo de la envolvente	8.587	-2.969	-49.378	-0.375	0.966	-0.160
		Valor máximo de la envolvente	57.847	1.696	-7.856	0.469	5.670	0.263
N763	Desplazamientos	Valor mínimo de la envolvente	8.951	-2.995	-47.024	-0.376	1.207	-0.125
		Valor máximo de la envolvente	56.832	1.671	-8.674	1.076	5.022	0.468
N764	Desplazamientos	Valor mínimo de la envolvente	6.845	-2.667	-52.102	-0.205	0.873	-0.168
		Valor máximo de la envolvente	61.882	1.515	-6.505	0.431	6.093	0.816
N765	Desplazamientos	Valor mínimo de la envolvente	6.845	-2.715	-51.195	-0.291	0.932	-0.325
		Valor máximo de la envolvente	61.183	1.536	-6.610	0.233	5.932	0.209
N766	Desplazamientos	Valor mínimo de la envolvente	6.076	-2.729	-50.931	-0.035	0.786	0.060
		Valor máximo de la envolvente	60.769	1.537	-5.758	0.208	5.911	0.142
N767	Desplazamientos	Valor mínimo de la envolvente	5.527	-2.740	-50.750	-0.096	0.746	0.029
		Valor máximo de la envolvente	60.491	1.546	-5.336	0.210	5.903	0.081
N768	Desplazamientos	Valor mínimo de la envolvente	5.315	-2.760	-50.565	-0.117	0.733	0.013
		Valor máximo de la envolvente	60.216	1.566	-5.181	0.224	5.892	0.057
N769	Desplazamientos	Valor mínimo de la envolvente	5.483	-2.794	-50.262	-0.149	0.746	-0.053
		Valor máximo de la envolvente	59.823	1.593	-5.313	0.256	5.863	0.083
N770	Desplazamientos	Valor mínimo de la envolvente	6.051	-2.840	-49.843	-0.212	0.776	-0.127
		Valor máximo de la envolvente	59.233	1.624	-5.715	0.322	5.831	0.126
N771	Desplazamientos	Valor mínimo de la envolvente	7.061	-2.896	-49.230	-0.306	0.835	-0.201
		Valor máximo de la envolvente	58.322	1.654	-6.450	0.394	5.796	0.184
N772	Desplazamientos	Valor mínimo de la envolvente	8.443	-2.946	-48.393	-0.355	1.000	-0.235
		Valor máximo de la envolvente	57.018	1.670	-7.684	0.450	5.758	0.333
N773	Desplazamientos	Valor mínimo de la envolvente	8.779	-2.939	-46.151	-0.245	1.207	-0.111
		Valor máximo de la envolvente	56.087	1.639	-8.465	0.968	5.150	0.769
N774	Desplazamientos	Valor mínimo de la envolvente	9.015	-2.995	-46.482	-0.356	1.207	-0.122
		Valor máximo de la envolvente	56.589	1.671	-8.817	1.032	5.022	0.468
N775	Desplazamientos	Valor mínimo de la envolvente	6.656	-2.681	-58.447	-1.558	0.830	-0.318
		Valor máximo de la envolvente	63.147	1.540	-5.300	3.249	5.975	0.183
N776	Desplazamientos	Valor mínimo de la envolvente	8.832	-2.939	-45.655	-0.256	1.207	-0.099
		Valor máximo de la envolvente	55.813	1.639	-8.597	0.950	5.150	0.739
N777	Desplazamientos	Valor mínimo de la envolvente	5.213	-2.667	-54.779	0.533	0.873	-0.978
		Valor máximo de la envolvente	62.454	1.515	-7.241	2.761	6.093	2.801
N778	Desplazamientos	Valor mínimo de la envolvente	3.636	-2.025	-38.134	-0.664	0.803	0.001
		Valor máximo de la envolvente	38.418	1.121	-4.546	1.005	5.940	0.047
N779	Desplazamientos	Valor mínimo de la envolvente	3.497	-2.072	-37.650	-0.282	0.924	-0.099
		Valor máximo de la envolvente	38.421	1.153	-4.566	0.306	5.701	0.141
N780	Desplazamientos	Valor mínimo de la envolvente	3.231	-2.062	-37.396	-0.060	0.766	-0.055
		Valor máximo de la envolvente	38.018	1.147	-4.025	0.147	5.719	0.079
N781	Desplazamientos	Valor mínimo de la envolvente	2.857	-2.054	-37.243	-0.028	0.749	-0.069
		Valor máximo de la envolvente	37.792	1.143	-3.704	0.090	5.715	0.086
N782	Desplazamientos	Valor mínimo de la envolvente	2.702	-2.044	-37.091	-0.046	0.749	-0.071
		Valor máximo de la envolvente	37.577	1.140	-3.582	0.104	5.709	0.086
N783	Desplazamientos	Valor mínimo de la envolvente	2.817	-2.032	-36.858	-0.060	0.763	-0.070
		Valor máximo de la envolvente	37.306	1.136	-3.682	0.120	5.682	0.087

Codi Segur de Verificació:
62ffb294-fe9f-412a-95ff-e789b2359074
Origen: Administració
Identificador document: ES_L01081000_2026_28828185
Data d'impressió: 03/11/2026 13:44:57
Pàgina 169 de 247

SIGNATURES
1.- ESTEVE AYMERICH (R: J62755897), 27/07/2026 11:04

AJUNTAMENT D'OLERDOLA
Aquest document és una còpia simple del document electrònic original.

Listados

Envolvente de los desplazamientos en nudos								
Referencia	Combinación		Desplazamientos en ejes globales					
	Tipo	Descripción	Dx (mm)	Dy (mm)	Dz (mm)	Gx (mRad)	Gy (mRad)	Gz (mRad)
N784	Desplazamientos	Valor mínimo de la envolvente	3.241	-2.021	-36.524	-0.098	0.776	-0.067
		Valor máximo de la envolvente	36.866	1.134	-4.004	0.146	5.658	0.086
N785	Desplazamientos	Valor mínimo de la envolvente	3.976	-2.011	-36.017	-0.119	0.803	-0.065
		Valor máximo de la envolvente	36.151	1.133	-4.582	0.149	5.636	0.090
N786	Desplazamientos	Valor mínimo de la envolvente	4.750	-2.008	-35.352	-0.372	0.974	-0.073
		Valor máximo de la envolvente	35.168	1.136	-5.451	0.429	5.588	0.078
N787	Desplazamientos	Valor mínimo de la envolvente	4.511	-1.941	-34.165	-0.285	1.272	0.030
		Valor máximo de la envolvente	35.836	1.117	-5.854	1.183	4.946	0.121
N788	Desplazamientos	Valor mínimo de la envolvente	3.928	-2.087	-40.125	-0.166	0.939	-0.212
		Valor máximo de la envolvente	40.471	1.166	-4.845	0.637	6.581	1.122
N789	Desplazamientos	Valor mínimo de la envolvente	3.804	-2.130	-39.569	-0.426	0.986	-0.649
		Valor máximo de la envolvente	40.405	1.187	-4.882	0.179	6.361	0.231
N790	Desplazamientos	Valor mínimo de la envolvente	3.490	-2.130	-39.318	-0.021	0.833	-0.004
		Valor máximo de la envolvente	40.004	1.191	-4.290	0.191	6.367	0.153
N791	Desplazamientos	Valor mínimo de la envolvente	3.102	-2.125	-39.163	-0.090	0.785	-0.045
		Valor máximo de la envolvente	39.774	1.191	-3.955	0.174	6.356	0.090
N792	Desplazamientos	Valor mínimo de la envolvente	2.942	-2.117	-39.007	-0.092	0.771	-0.037
		Valor máximo de la envolvente	39.555	1.189	-3.829	0.186	6.341	0.047
N793	Desplazamientos	Valor mínimo de la envolvente	3.061	-2.109	-38.765	-0.111	0.785	-0.025
		Valor máximo de la envolvente	39.274	1.187	-3.933	0.205	6.308	0.022
N794	Desplazamientos	Valor mínimo de la envolvente	3.497	-2.099	-38.421	-0.129	0.822	-0.069
		Valor máximo de la envolvente	38.822	1.186	-4.264	0.231	6.270	0.018
N795	Desplazamientos	Valor mínimo de la envolvente	4.254	-2.089	-37.903	-0.168	0.893	-0.116
		Valor máximo de la envolvente	38.092	1.186	-4.862	0.276	6.223	0.087
N796	Desplazamientos	Valor mínimo de la envolvente	5.083	-2.075	-37.215	-0.173	1.069	-0.133
		Valor máximo de la envolvente	37.081	1.186	-5.785	0.179	6.134	0.236
N797	Desplazamientos	Valor mínimo de la envolvente	4.901	-2.052	-35.849	-0.112	1.254	-0.034
		Valor máximo de la envolvente	37.593	1.171	-6.255	0.687	5.633	1.106
N798	Desplazamientos	Valor mínimo de la envolvente	2.133	-2.087	-42.685	0.595	0.939	-1.100
		Valor máximo de la envolvente	40.764	1.166	-5.699	3.143	6.581	3.298
N799	Desplazamientos	Valor mínimo de la envolvente	3.314	-2.025	-45.003	-2.022	0.803	-0.261
		Valor máximo de la envolvente	38.517	1.121	-2.507	4.017	5.940	0.047
N800	Desplazamientos	Valor mínimo de la envolvente	4.889	-2.052	-35.611	-0.124	1.254	-0.020
		Valor máximo de la envolvente	37.474	1.171	-6.318	0.649	5.633	1.073
N801	Desplazamientos	Valor mínimo de la envolvente	4.494	-1.941	-33.569	-0.264	1.272	0.033
		Valor máximo de la envolvente	35.793	1.117	-5.936	1.137	4.946	0.125
N802	Desplazamientos	Valor mínimo de la envolvente	3.295	-1.869	-26.772	-0.630	0.990	-0.101
		Valor máximo de la envolvente	36.629	0.931	-1.580	2.236	9.635	0.012
N803	Desplazamientos	Valor mínimo de la envolvente	4.155	-1.757	-21.123	-0.222	1.253	-0.018
		Valor máximo de la envolvente	34.328	0.861	-2.777	0.587	8.846	0.065
N804	Desplazamientos	Valor mínimo de la envolvente	3.445	-1.907	-27.861	-0.609	1.002	-0.021
		Valor máximo de la envolvente	37.211	0.973	-2.759	0.414	7.130	0.010
N805	Desplazamientos	Valor mínimo de la envolvente	3.296	-1.943	-27.817	-0.023	1.025	-0.043
		Valor máximo de la envolvente	37.260	0.995	-2.674	0.408	6.977	0.083
N806	Desplazamientos	Valor mínimo de la envolvente	3.063	-1.920	-27.533	-0.068	0.881	-0.078
		Valor máximo de la envolvente	36.854	0.985	-2.450	0.078	6.939	0.082
N807	Desplazamientos	Valor mínimo de la envolvente	2.696	-1.903	-27.378	-0.032	0.830	-0.075
		Valor máximo de la envolvente	36.628	0.977	-2.185	0.116	6.922	0.088
N808	Desplazamientos	Valor mínimo de la envolvente	2.543	-1.887	-27.229	-0.051	0.812	-0.077
		Valor máximo de la envolvente	36.415	0.969	-2.077	0.110	6.904	0.088
N809	Desplazamientos	Valor mínimo de la envolvente	2.655	-1.873	-27.037	-0.071	0.829	-0.075
		Valor máximo de la envolvente	36.149	0.961	-2.158	0.132	6.867	0.087
N810	Desplazamientos	Valor mínimo de la envolvente	3.075	-1.860	-26.731	-0.123	0.873	-0.074
		Valor máximo de la envolvente	35.715	0.954	-2.454	0.140	6.821	0.086
N811	Desplazamientos	Valor mínimo de la envolvente	3.799	-1.847	-26.236	-0.135	0.956	-0.056
		Valor máximo de la envolvente	35.005	0.946	-2.968	0.307	6.759	0.089

Codi Segur de Verificació:
62ffb294-fe9f-412a-95ff-e789b2359074
Origen: Administració
Identificador document: ES_L01081000_2026_28828185
Data d'impressió: 03/11/2026 13:44:57
Pàgina 170 de 247

SIGNATURES
1.- ESTEVE AYMERICH (R: J62755897), 27/07/2026 11:04

Envolvente de los desplazamientos en nudos								
Referencia	Combinación		Desplazamientos en ejes globales					
	Tipo	Descripción	Dx (mm)	Dy (mm)	Dz (mm)	Gx (mRad)	Gy (mRad)	Gz (mRad)
N812	Desplazamientos	Valor mínimo de la envolvente	4.541	-1.836	-25.569	-0.340	1.135	-0.128
		Valor máximo de la envolvente	34.029	0.937	-3.540	-0.101	6.695	0.092
N813	Desplazamientos	Valor mínimo de la envolvente	4.255	-1.805	-25.816	-0.985	1.316	-0.013
		Valor máximo de la envolvente	34.826	0.912	-3.446	2.482	6.158	0.183
N814	Desplazamientos	Valor mínimo de la envolvente	3.071	-1.907	-34.045	-2.228	1.002	-0.314
		Valor máximo de la envolvente	37.166	0.973	-0.250	3.779	7.130	-0.010
N815	Desplazamientos	Valor mínimo de la envolvente	4.250	-1.805	-24.546	-0.960	1.316	-0.008
		Valor máximo de la envolvente	34.731	0.912	-3.658	2.431	6.158	0.183

2.2.2. Barras

2.2.2.1. Comprobaciones E.L.U. (Resumido)

Barras	COMPROBACIONES (CTE DB SE-A)														Estado
	$\bar{\lambda}$	N_t	N_c	M_y	M_z	V_z	V_y	M_yV_z	M_zV_y	NM_yM_z	$NM_yM_zV_yV_z$	M_t	M_yV_z	M_yV_y	
N5/N2	$\bar{\lambda}$ < 2.0 Cumple	x: 2.433 m η = 10.6	x: 0 m η = 49.4	x: 2.433 m η = 2.2	x: 0 m η = 0.8	x: 2.433 m η = 0.2	η < 0.1	η < 0.1	η < 0.1	x: 0 m η = 52.7	η < 0.1	η = 0.2	x: 2.433 m η = 0.2	x: 2.433 m η = 0.2	CUMPLE h = 52.7
N2/N6	$\bar{\lambda}$ < 2.0 Cumple	x: 2.976 m η = 2.5	x: 0 m η = 4.9	x: 2.976 m η = 2.8	x: 2.976 m η = 1.1	x: 2.976 m η = 0.2	η < 0.1	η < 0.1	η < 0.1	x: 0 m η = 6.0	η < 0.1	η = 0.4	x: 2.976 m η = 0.2	x: 2.976 m η = 0.2	CUMPLE h = 6.0
N6/N3	$\bar{\lambda}$ < 2.0 Cumple	x: 2.431 m η = 3.6	x: 0 m η = 9.7	x: 0 m η = 2.5	x: 0 m η = 2.0	x: 0 m η = 0.2	η = 0.1	η < 0.1	η < 0.1	x: 0 m η = 12.7	η < 0.1	η = 0.1	x: 0 m η = 0.2	x: 0 m η = 0.2	CUMPLE h = 12.7
N7/N4	$\bar{\lambda}$ < 2.0 Cumple	x: 2.431 m η = 68.6	x: 0 m η = 19.9	x: 2.431 m η = 4.5	x: 2.431 m η = 0.2	x: 2.431 m η = 0.4	η < 0.1	η < 0.1	η < 0.1	x: 2.431 m η = 73.2	η < 0.1	η < 0.1	x: 2.431 m η = 0.4	x: 2.431 m η = 0.4	CUMPLE h = 73.2
N9/N8	$\bar{\lambda}$ < 2.0 Cumple	x: 2.286 m η = 36.7	x: 0 m η = 15.4	x: 1.333 m η = 0.8	x: 0 m η = 0.9	x: 0 m η = 0.1	η < 0.1	η < 0.1	η < 0.1	x: 1.143 m η = 37.5	η < 0.1	η = 0.2	x: 0 m η = 0.1	x: 0 m η = 0.1	CUMPLE h = 37.5
N9/N27	$\bar{\lambda}$ < 2.0 Cumple	x: 1.773 m η = 5.8	x: 0 m η = 33.6	x: 0 m η = 4.6	x: 0 m η = 1.2	x: 1.773 m η = 0.4	η < 0.1	η < 0.1	η < 0.1	x: 0 m η = 39.2	η < 0.1	η = 0.2	x: 1.773 m η = 0.4	x: 1.773 m η = 0.4	CUMPLE h = 39.2
N10/N27	$\bar{\lambda}$ < 2.0 Cumple	x: 2.12 m η = 31.6	x: 0 m η = 13.5	x: 2.12 m η = 3.4	x: 0 m η = 1.1	x: 0 m η = 0.3	η < 0.1	η < 0.1	η < 0.1	x: 2.12 m η = 35.1	η < 0.1	η = 0.3	x: 0 m η = 0.3	x: 0 m η = 0.3	CUMPLE h = 35.1
N10/N28	$\bar{\lambda}$ < 2.0 Cumple	x: 1.656 m η = 5.5	x: 0 m η = 29.1	x: 0 m η = 5.1	x: 1.656 m η = 4.2	x: 1.656 m η = 0.4	η = 0.3	η < 0.1	η < 0.1	x: 1.656 m η = 36.1	η < 0.1	η = 0.5	x: 1.656 m η = 0.4	x: 1.656 m η = 0.4	CUMPLE h = 36.1
N11/N28	$\bar{\lambda}$ < 2.0 Cumple	x: 1.981 m η = 24.5	x: 0 m η = 9.3	x: 1.981 m η = 2.8	x: 1.981 m η = 2.6	x: 0 m η = 0.2	η = 0.2	η < 0.1	η < 0.1	x: 1.981 m η = 29.1	η < 0.1	η = 0.9	x: 0 m η = 0.2	x: 0 m η = 0.2	CUMPLE h = 29.1
N11/N29	$\bar{\lambda}$ < 2.0 Cumple	x: 1.547 m η = 4.7	x: 0 m η = 22.3	x: 0 m η = 3.5	x: 1.547 m η = 2.7	x: 1.547 m η = 0.3	η = 0.2	η < 0.1	η < 0.1	x: 0 m η = 27.3	η < 0.1	η = 0.3	x: 1.547 m η = 0.3	x: 1.547 m η = 0.3	CUMPLE h = 27.3
N12/N29	$\bar{\lambda}$ < 2.0 Cumple	x: 1.85 m η = 17.1	x: 0 m η = 5.5	x: 1.85 m η = 2.8	x: 0 m η = 1.4	x: 0 m η = 0.2	η = 0.1	η < 0.1	η < 0.1	x: 1.85 m η = 20.3	η < 0.1	η = 0.4	x: 0 m η = 0.2	x: 0 m η = 0.2	CUMPLE h = 20.3
N12/N30	$\bar{\lambda}$ < 2.0 Cumple	x: 1.445 m η = 3.9	x: 0 m η = 16.7	x: 0 m η = 3.2	x: 1.445 m η = 2.3	x: 1.445 m η = 0.2	η = 0.2	η < 0.1	η < 0.1	x: 0 m η = 21.0	η < 0.1	η = 0.4	x: 1.445 m η = 0.2	x: 1.445 m η = 0.2	CUMPLE h = 21.0
N13/N30	$\bar{\lambda}$ < 2.0 Cumple	x: 1.728 m η = 12.2	x: 0 m η = 4.0	x: 1.728 m η = 2.6	x: 0 m η = 0.9	x: 0 m η = 0.2	η = 0.1	η < 0.1	η < 0.1	x: 1.728 m η = 14.9	η < 0.1	η = 0.3	x: 0 m η = 0.2	x: 0 m η = 0.2	CUMPLE h = 14.9
N13/N31	$\bar{\lambda}$ < 2.0 Cumple	x: 1.35 m η = 2.9	x: 0 m η = 11.3	x: 0 m η = 2.5	x: 1.35 m η = 1.8	x: 1.35 m η = 0.2	η = 0.1	η < 0.1	η < 0.1	x: 0 m η = 14.5	η < 0.1	η = 0.4	x: 1.35 m η = 0.2	x: 1.35 m η = 0.2	CUMPLE h = 14.5
N14/N31	$\bar{\lambda}$ < 2.0 Cumple	x: 1.615 m η = 7.3	x: 0 m η = 2.5	x: 1.615 m η = 2.6	x: 0 m η = 0.7	x: 0 m η = 0.2	η < 0.1	η < 0.1	η < 0.1	x: 1.615 m η = 10.1	η < 0.1	η = 0.4	x: 0 m η = 0.2	x: 0 m η = 0.2	CUMPLE h = 10.1
N14/N32	$\bar{\lambda}$ < 2.0 Cumple	x: 1.261 m η = 2.1	x: 0 m η = 6.3	x: 0.21 m η = 1.7	x: 1.261 m η = 1.8	x: 1.261 m η = 0.1	η = 0.1	η < 0.1	η < 0.1	x: 0 m η = 8.4	η < 0.1	η = 0.4	x: 1.261 m η = 0.1	x: 1.261 m η = 0.1	CUMPLE h = 8.4
N15/N32	$\bar{\lambda}$ < 2.0 Cumple	x: 1.508 m η = 3.0	x: 0 m η = 1.3	x: 1.32 m η = 2.3	x: 1.508 m η = 0.7	x: 0 m η = 0.1	η < 0.1	η < 0.1	η < 0.1	x: 1.32 m η = 5.7	η < 0.1	η = 0.6	x: 0 m η = 0.1	x: 0 m η = 0.1	CUMPLE h = 5.7
N15/N33	$\bar{\lambda}$ < 2.0 Cumple	x: 1.189 m η = 1.2	x: 0 m η = 1.6	x: 0.198 m η = 1.6	x: 1.189 m η = 1.1	x: 1.189 m η = 0.1	η < 0.1	η < 0.1	η < 0.1	x: 0 m η = 3.2	η < 0.1	η = 0.5	x: 1.189 m η = 0.1	x: 1.189 m η = 0.1	CUMPLE h = 3.2
N16/N33	$\bar{\lambda}$ < 2.0 Cumple	x: 1.408 m η = 2.6	x: 0 m η = 7.6	x: 0.88 m η = 3.0	x: 0 m η = 0.6	x: 0 m η = 0.1	η < 0.1	η < 0.1	η < 0.1	x: 0.88 m η = 11.0	η < 0.1	η = 0.6	x: 0 m η = 0.1	x: 0 m η = 0.1	CUMPLE h = 11.0
N16/N34	$\bar{\lambda}$ < 2.0 Cumple	x: 1.1 m η = 4.8	x: 0 m η = 1.4	x: 1.1 m η = 9.7	x: 0 m η = 1.0	x: 0 m η = 1.0	η < 0.1	η < 0.1	η < 0.1	x: 1.1 m η = 14.9	η < 0.1	η = 0.6	x: 0 m η = 1.0	x: 0 m η = 1.0	CUMPLE h = 14.9
N17/N34	$\bar{\lambda}$ < 2.0 Cumple	x: 1.324 m η < 0.1	x: 0 m η < 0.1	x: 1.324 m η = 4.8	x: 1.324 m η = 0.2	x: 0 m η = 0.3	η < 0.1	η < 0.1	x: 0.221 m η < 0.1	x: 1.324 m η = 5.0	η < 0.1	η < 0.1	x: 0 m η = 0.2	x: 0 m η = 0.2	CUMPLE h = 5.0
N17/N35	x: 0 m $\bar{\lambda}$ < 2.0 Cumple	x: 1.034 m η = 0.1	x: 0 m η < 0.1	x: 0 m η = 1.1	x: 1.034 m η = 0.2	x: 1.034 m η = 0.1	η < 0.1	η < 0.1	η < 0.1	x: 0 m η = 1.2	η < 0.1	M_{Ed} = 0.00 N.P.[1]	N.P.[2]	N.P.[2]	CUMPLE h = 1.2
N18/N35	$\bar{\lambda}$ < 2.0 Cumple	x: 1.217 m η = 3.1	x: 0 m η = 16.5	x: 0 m η = 7.3	x: 1.217 m η = 0.8	x: 1.217 m η = 0.8	η < 0.1	η < 0.1	η < 0.1	x: 0 m η = 24.4	η < 0.1	η = 0.6	x: 1.217 m η = 0.8	x: 1.217 m η = 0.8	CUMPLE h = 24.4
N18/N36	$\bar{\lambda}$ < 2.0 Cumple	x: 0.96 m η = 14.7	x: 0 m η = 2.8	x: 0.96 m η = 6.6	x: 0 m η = 0.9	x: 0 m η = 0.9	η < 0.1	η < 0.1	η < 0.1	x: 0.96 m η = 21.6	η < 0.1	η = 0.6	x: 0 m η = 0.9	x: 0 m η = 0.9	CUMPLE h = 21.6
N19/N36	$\bar{\lambda}$ < 2.0 Cumple	x: 1.148 m η = 2.9	x: 0 m η = 19.5	x: 0 m η = 3.2	x: 0 m η = 0.7	x: 1.148 m η = 0.2	η < 0.1	η < 0.1	η < 0.1	x: 0 m η = 23.2	η < 0.1	η = 0.6	x: 1.148 m η = 0.2	x: 1.148 m η = 0.2	CUMPLE h = 23.2
N19/N37	$\bar{\lambda}$ < 2.0 Cumple	x: 0.898 m η = 13.6	x: 0 m η = 2.2	x: 0.898 m η = 7.5	x: 0 m η = 0.8	x: 0 m η = 1.0	η < 0.1	η < 0.1	η < 0.1	x: 0.898 m η = 21.3	η < 0.1	η = 0.5	x: 0 m η = 1.0	x: 0 m η = 1.0	CUMPLE h = 21.3
N20/N37	$\bar{\lambda}$ < 2.0 Cumple	x: 1.073 m η = 3.9	x: 0 m η = 23.5	x: 0 m η = 4.2	x: 0 m η = 0.8	x: 1.073 m η = 0.3	η < 0.1	η < 0.1	η < 0.1	x: 0 m η = 28.5	η < 0.1	η = 0.5	x: 1.073 m η = 0.3	x: 1.073 m η = 0.3	CUMPLE h = 28.5
N20/N38	$\bar{\lambda}$ < 2.0 Cumple	x: 0.838 m η = 18.2	x: 0 m η = 3.2	x: 0.838 m η = 9.5	x: 0 m η = 0.9	x: 0 m η = 1.4	η = 0.1	η < 0.1	η < 0.1	x: 0.838 m η = 27.8	η < 0.1	η = 0.5	x: 0 m η = 1.4	x: 0 m η = 1.4	CUMPLE h = 27.8
N21/N38	$\bar{\lambda}$ < 2.0 Cumple	x: 1.002 m η = 4.5	x: 0 m η = 27.9	x: 0 m η = 5.2	x: 0 m η = 1.1	x: 1.002 m η = 0.5	η = 0.1	η < 0.1	η < 0.1	x: 0 m η = 34.1	η < 0.1	η = 0.5	x: 1.002 m η = 0.5	x: 1.002 m η = 0.5	CUMPLE h = 34.1
N21/N39	$\bar{\lambda}$ < 2.0 Cumple	x: 0.788 m η = 21.8	x: 0 m η = 3.7	x: 0.788 m η = 10.9	x: 0.788 m η = 1.4	x: 0 m η = 1.8	η = 0.1	η < 0.1	η < 0.1	x: 0.788 m η = 33.7	η < 0.1	η = 0.7	x: 0 m η = 1.8	x: 0 m η = 1.8	CUMPLE h = 33.7
N22/N39	$\bar{\lambda}$ < 2.0 Cumple	x: 0.935 m η = 5.9	x: 0 m η = 33.2	x: 0 m η = 5.7	x: 0.935 m η = 1.6	x: 0.935 m η = 0.6	η = 0.1	η < 0.1	η < 0.1	x: 0 m η = 39.8	η < 0.1	η = 0.7	x: 0.935 m η = 0.6	x: 0.935 m η = 0.6	CUMPLE h = 39.8
N22/N40	$\bar{\lambda}$ < 2.0 Cumple	x: 0.741 m η = 26.5	x: 0 m η = 5.0	x: 0.741 m η = 12.5	x: 0 m η = 1.5	x: 0 m η = 2.2	η = 0.2	η < 0.1	η < 0.1	x: 0.741 m η = 39.4	η < 0.1	η = 0.6	x: 0 m η = 2.2	x: 0 m η = 2.2	CUMPLE h = 39.4
N23/N40	$\bar{\lambda}$ < 2.0 Cumple	x: 0.873 m η = 6.3	x: 0 m η = 36.9	x: 0 m η = 6.7	x: 0 m η = 1.7	x: 0.873 m η = 0.9	η = 0.2	η < 0.1	η < 0.1	x: 0 m η = 44.8	η < 0.1	η = 0.5	x: 0.873 m η = 0.9	x: 0.873 m η = 0.9	CUMPLE h = 44.8
N23/N41	$\bar{\lambda}$ < 2.0 Cumple	x: 0.682 m η = 29.0	x: 0 m η = 5.1	x: 0.682 m η = 15.1	x: 0.682 m η = 2.2	x: 0 m η = 3.0	η = 0.4	η < 0.1	η < 0.1	x: 0.682 m η = 45.7	η < 0.1	η = 0.9	x: 0 m η = 3.0	x: 0 m η = 3.0	CUMPLE h = 45.7
N24/N41	$\bar{\lambda}$ < 2.0 Cumple	x: 0.815 m η = 7.7	x: 0 m η = 41.9	x: 0 m η = 7.1	x: 0.815 m η = 2.8	x: 0.815 m η = 1.1	η = 0.4	η < 0.1	η < 0.1	x: 0 m η = 49.6	η < 0.1	η = 0.7	x: 0.815 m η = 1.1	x: 0.815 m η = 1.1	CUMPLE h = 49.6
N24/N42	$\bar{\lambda}$ < 2.0 Cumple	x: 0.637 m η = 35.4	x: 0 m η = 6.8	x: 0.637 m η = 16.8	x: 0 m η = 1.9	x: 0 m η = 3.7	η = 0.3	η < 0.1	η < 0.1	x: 0.637 m η = 53.4	η < 0.1	η = 0.6	x: 0 m η = 3.7	x: 0 m η = 3.7	CUMPLE h = 53.4

AJUNTAMENT D'OLERDOLA
Aquest document és una còpia simple del document electrònic original.

Listados

Cobriment de pista a Sant Pere Molanta (Olèrdola)

Fecha: 10/03/26

Barras	COMPROBACIONES (CTE DB SE-A)														Estado
	$\bar{\lambda}$	N_t	N_c	M_y	M_z	V_z	V_y	M_yV_z	M_zV_y	NM_yM_z	$NM_yM_zV_yV_z$	M_t	M_yV_z	M_zV_y	
N25/N42	$\bar{\lambda}$ < 2.0 Cumple	x: 0.762 m η = 8.2	x: 0 m η = 46.2	x: 0 m η = 10.4	x: 0.762 m η = 2.0	x: 0.762 m η = 1.8	η = 0.3	η < 0.1	η < 0.1	x: 0 m η = 57.4	η < 0.1	η = 0.4	x: 0.762 m η = 1.8	x: 0.762 m η = 1.8	CUMPLE h = 57.4
N25/N43	$\bar{\lambda}$ < 2.0 Cumple	x: 0.781 m η = 39.9	x: 0 m η = 7.7	x: 0 m η = 9.5	x: 0 m η = 3.0	x: 0 m η = 1.7	η = 0.3	η < 0.1	η < 0.1	x: 0 m η = 52.4	η < 0.1	η = 0.7	x: 0 m η = 1.7	x: 0 m η = 1.7	CUMPLE h = 52.4
N440/N441	$\bar{\lambda}$ ≤ 3.0 Cumple	η = 0.2	N_{Ed} = 0.00 N.P.[3]	x: 3.12 m η = 1.3	x: 1.56 m η = 15.0	x: 3.12 m η = 0.2	x: 0 m η = 2.5	η < 0.1	η < 0.1	x: 1.56 m η = 15.7	η < 0.1	η = 3.8	x: 3.12 m η = 0.2	x: 3.12 m η = 0.2	CUMPLE h = 15.7
N442/N443	$\bar{\lambda}$ ≤ 3.0 Cumple	η = 0.2	N_{Ed} = 0.00 N.P.[3]	x: 0 m η = 1.6	x: 1.56 m η = 14.6	x: 0 m η = 0.2	x: 3.12 m η = 2.4	η < 0.1	η < 0.1	x: 1.56 m η = 15.3	η < 0.1	η = 0.2	x: 0 m η = 0.2	x: 0 m η = 0.2	CUMPLE h = 15.3
N444/N445	$\bar{\lambda}$ ≤ 3.0 Cumple	η = 0.2	N_{Ed} = 0.00 N.P.[3]	x: 0 m η = 1.4	x: 1.56 m η = 13.6	x: 0 m η = 0.2	x: 0 m η = 2.4	η < 0.1	η < 0.1	x: 1.56 m η = 14.3	η < 0.1	η = 0.1	x: 0 m η = 0.2	x: 0 m η = 0.2	CUMPLE h = 14.3
N446/N447	$\bar{\lambda}$ ≤ 3.0 Cumple	η = 0.3	N_{Ed} = 0.00 N.P.[3]	x: 0 m η = 1.3	x: 1.56 m η = 13.6	x: 0 m η = 0.2	x: 0 m η = 2.3	η < 0.1	η < 0.1	x: 1.56 m η = 14.3	η < 0.1	η < 0.1	x: 0 m η = 0.2	x: 0 m η = 0.2	CUMPLE h = 14.3
N448/N449	$\bar{\lambda}$ ≤ 3.0 Cumple	η = 0.3	N_{Ed} = 0.00 N.P.[3]	x: 0 m η = 1.1	x: 1.56 m η = 13.6	x: 0 m η = 0.2	x: 3.12 m η = 2.3	η < 0.1	η < 0.1	x: 1.56 m η = 14.3	η < 0.1	η < 0.1	x: 0 m η = 0.2	x: 0 m η = 0.2	CUMPLE h = 14.3
N450/N451	$\bar{\lambda}$ ≤ 3.0 Cumple	η = 0.3	N_{Ed} = 0.00 N.P.[3]	x: 3.12 m η = 1.2	x: 1.56 m η = 13.6	x: 3.12 m η = 0.2	x: 3.12 m η = 2.4	η < 0.1	η < 0.1	x: 1.56 m η = 14.3	η < 0.1	η = 0.1	x: 3.12 m η = 0.2	x: 3.12 m η = 0.2	CUMPLE h = 14.3
N452/N453	$\bar{\lambda}$ ≤ 3.0 Cumple	η = 0.2	N_{Ed} = 0.00 N.P.[3]	x: 3.12 m η = 1.4	x: 1.56 m η = 13.6	x: 3.12 m η = 0.2	x: 3.12 m η = 2.4	η < 0.1	η < 0.1	x: 1.56 m η = 14.3	η < 0.1	η = 0.1	x: 3.12 m η = 0.2	x: 3.12 m η = 0.2	CUMPLE h = 14.3
N454/N455	$\bar{\lambda}$ ≤ 3.0 Cumple	η = 0.2	N_{Ed} = 0.00 N.P.[3]	x: 3.12 m η = 1.6	x: 1.56 m η = 14.6	x: 3.12 m η = 0.2	x: 0 m η = 2.4	η < 0.1	η < 0.1	x: 1.56 m η = 15.3	η < 0.1	η = 0.2	x: 3.12 m η = 0.2	x: 3.12 m η = 0.2	CUMPLE h = 15.3
N456/N457	$\bar{\lambda}$ ≤ 3.0 Cumple	η = 0.2	N_{Ed} = 0.00 N.P.[3]	x: 0 m η = 1.3	x: 1.56 m η = 15.0	x: 0 m η = 0.2	x: 3.12 m η = 2.5	η < 0.1	η < 0.1	x: 1.56 m η = 15.7	η < 0.1	η = 3.9	x: 0 m η = 0.2	x: 0 m η = 0.2	CUMPLE h = 15.7
N458/N459	$\bar{\lambda}$ ≤ 3.0 Cumple	η = 0.1	N_{Ed} = 0.00 N.P.[3]	x: 1.56 m η = 1.6	x: 0 m η = 11.3	x: 1.56 m η = 0.2	x: 0 m η = 2.0	η < 0.1	η < 0.1	x: 0 m η = 11.6	η < 0.1	η = 1.4	x: 1.56 m η = 0.2	x: 1.56 m η = 0.2	CUMPLE h = 11.6
N460/N461	$\bar{\lambda}$ ≤ 3.0 Cumple	η = 0.1	N_{Ed} = 0.00 N.P.[3]	x: 0 m η = 0.8	x: 0 m η = 8.0	x: 0 m η = 0.1	x: 0 m η = 1.0	η < 0.1	η < 0.1	x: 0 m η = 8.1	η < 0.1	η = 0.2	x: 0 m η = 0.1	x: 0 m η = 0.1	CUMPLE h = 8.1
N462/N463	$\bar{\lambda}$ ≤ 3.0 Cumple	η = 0.1	N_{Ed} = 0.00 N.P.[3]	x: 0 m η = 0.7	x: 0 m η = 8.4	x: 0 m η = 0.1	x: 0 m η = 1.0	η < 0.1	η < 0.1	x: 1.56 m η = 8.8	η < 0.1	η < 0.1	x: 0 m η = 0.1	x: 0 m η = 0.1	CUMPLE h = 8.8
N464/N465	$\bar{\lambda}$ ≤ 3.0 Cumple	η = 0.1	N_{Ed} = 0.00 N.P.[3]	x: 0 m η = 0.6	x: 0 m η = 8.4	x: 0 m η = 0.1	x: 0 m η = 1.0	η < 0.1	η < 0.1	x: 1.56 m η = 8.7	η < 0.1	M_{Ed} = 0.00 N.P.[1]	N.P.[2]	N.P.[2]	CUMPLE h = 8.7
N466/N467	$\bar{\lambda}$ ≤ 3.0 Cumple	η = 0.1	N_{Ed} = 0.00 N.P.[3]	x: 0 m η = 0.4	x: 1.56 m η = 8.4	x: 0 m η = 0.1	x: 1.56 m η = 1.0	η < 0.1	η < 0.1	x: 1.56 m η = 8.7	η < 0.1	η < 0.1	x: 1.56 m η = 0.1	x: 1.56 m η = 0.1	CUMPLE h = 8.7
N468/N469	$\bar{\lambda}$ ≤ 3.0 Cumple	η = 0.1	N_{Ed} = 0.00 N.P.[3]	x: 1.56 m η = 0.5	x: 1.56 m η = 8.4	x: 1.56 m η = 0.1	x: 1.56 m η = 1.0	η < 0.1	η < 0.1	x: 1.56 m η = 8.6	η < 0.1	η < 0.1	x: 1.56 m η = 0.1	x: 1.56 m η = 0.1	CUMPLE h = 8.6
N470/N471	$\bar{\lambda}$ ≤ 3.0 Cumple	η = 0.1	N_{Ed} = 0.00 N.P.[3]	x: 1.56 m η = 0.6	x: 1.56 m η = 8.4	x: 1.56 m η = 0.1	x: 1.56 m η = 1.0	η < 0.1	η < 0.1	x: 0 m η = 8.7	η < 0.1	η = 0.1	x: 1.56 m η = 0.1	x: 1.56 m η = 0.1	CUMPLE h = 8.7
N472/N473	$\bar{\lambda}$ ≤ 3.0 Cumple	η = 0.1	N_{Ed} = 0.00 N.P.[3]	x: 1.56 m η = 0.7	x: 1.56 m η = 7.9	x: 1.56 m η = 0.1	x: 1.56 m η = 1.0	η < 0.1	η < 0.1	x: 1.56 m η = 8.1	η < 0.1	η = 0.3	x: 1.56 m η = 0.1	x: 1.56 m η = 0.1	CUMPLE h = 8.1
N474/N475	$\bar{\lambda}$ ≤ 3.0 Cumple	η = 0.1	N_{Ed} = 0.00 N.P.[3]	x: 0 m η = 1.1	x: 1.56 m η = 11.2	x: 0 m η = 0.2	x: 1.56 m η = 2.0	η < 0.1	η < 0.1	x: 1.56 m η = 11.3	η < 0.1	η = 1.4	x: 0 m η = 0.2	x: 0 m η = 0.2	CUMPLE h = 11.3
N441/N442	$\bar{\lambda}$ < 2.0 Cumple	η = 0.1	η < 0.1	x: 1.56 m η = 0.5	x: 0 m η = 13.7	x: 1.56 m η = 0.1	x: 0 m η = 1.5	η < 0.1	η < 0.1	x: 0 m η = 14.1	η < 0.1	η = 0.4	x: 1.56 m η = 0.1	x: 1.56 m η = 0.1	CUMPLE h = 14.1
N459/N460	$\bar{\lambda}$ < 2.0 Cumple	η < 0.1	η = 0.1	x: 3.12 m η = 1.2	x: 3.12 m η = 24.4	x: 3.12 m η = 0.2	x: 3.12 m η = 4.1	η < 0.1	η < 0.1	x: 3.12 m η = 25.4	η < 0.1	η = 1.9	x: 0 m η = 0.2	x: 0 m η = 0.2	CUMPLE h = 25.4
N461/N462	$\bar{\lambda}$ < 2.0 Cumple	η < 0.1	η = 0.1	x: 3.12 m η = 1.1	x: 3.12 m η = 22.7	x: 3.12 m η = 0.2	x: 3.12 m η = 3.7	η < 0.1	η < 0.1	x: 3.12 m η = 23.7	η < 0.1	η = 0.1	x: 3.12 m η = 0.2	x: 3.12 m η = 0.2	CUMPLE h = 23.7
N463/N464	$\bar{\lambda}$ < 2.0 Cumple	η < 0.1	η = 0.1	x: 3.12 m η = 1.1	x: 3.12 m η = 22.5	x: 3.12 m η = 0.2	x: 3.12 m η = 3.7	η < 0.1	η < 0.1	x: 3.12 m η = 23.6	η < 0.1	η < 0.1	x: 3.12 m η = 0.2	x: 3.12 m η = 0.2	CUMPLE h = 23.6
N465/N466	$\bar{\lambda}$ < 2.0 Cumple	η < 0.1	η = 0.1	x: 0 m η = 1.0	x: 3.12 m η = 22.5	x: 3.12 m η = 0.2	x: 0 m η = 3.7	η < 0.1	η < 0.1	x: 3.12 m η = 23.5	η < 0.1	η < 0.1	x: 3.12 m η = 0.2	x: 3.12 m η = 0.2	CUMPLE h = 23.5
N467/N468	$\bar{\lambda}$ < 2.0 Cumple	η < 0.1	η = 0.1	x: 3.12 m η = 1.0	x: 0 m η = 22.5	x: 0 m η = 0.2	x: 0 m η = 3.7	x: 0 m η < 0.1	η < 0.1	x: 0 m η = 23.5	η < 0.1	η < 0.1	x: 0 m η = 0.2	x: 0 m η = 0.2	CUMPLE h = 23.5
N469/N470	$\bar{\lambda}$ < 2.0 Cumple	η < 0.1	η = 0.1	x: 0 m η = 1.1	x: 0 m η = 22.6	x: 0 m η = 0.2	x: 0 m η = 3.7	η < 0.1	η < 0.1	x: 0 m η = 23.6	η < 0.1	η = 0.1	x: 0 m η = 0.2	x: 0 m η = 0.2	CUMPLE h = 23.6
N471/N472	$\bar{\lambda}$ < 2.0 Cumple	η < 0.1	η = 0.1	x: 0 m η = 1.1	x: 0 m η = 22.8	x: 0 m η = 0.2	x: 0 m η = 3.7	η < 0.1	η < 0.1	x: 0 m η = 23.8	η < 0.1	η = 0.2	x: 0 m η = 0.2	x: 0 m η = 0.2	CUMPLE h = 23.8
N473/N474	$\bar{\lambda}$ < 2.0 Cumple	N_{Ed} = 0.00 N.P.[4]	η = 0.1	x: 0 m η = 1.2	x: 0 m η = 24.5	x: 0 m η = 0.2	x: 0 m η = 4.1	η < 0.1	η < 0.1	x: 0 m η = 25.5	η < 0.1	η = 2.0	x: 0 m η = 0.2	x: 0 m η = 0.2	CUMPLE h = 25.5
N455/N456	$\bar{\lambda}$ < 2.0 Cumple	η = 0.1	η < 0.1	x: 0 m η = 0.5	x: 1.56 m η = 13.7	x: 0 m η = 0.1	x: 1.56 m η = 1.5	η < 0.1	η < 0.1	x: 1.56 m η = 14.0	η < 0.1	η = 0.4	x: 0 m η = 0.1	x: 0 m η = 0.1	CUMPLE h = 14.0
N453/N454	$\bar{\lambda}$ < 2.0 Cumple	η = 0.1	η = 0.1	x: 0 m η = 0.4	x: 0 m η = 13.9	x: 0 m η = 0.1	x: 0 m η = 1.0	η < 0.1	η < 0.1	x: 0 m η = 14.2	η < 0.1	η = 0.1	x: 0 m η = 0.1	x: 0 m η = 0.1	CUMPLE h = 14.2
N451/N452	$\bar{\lambda}$ < 2.0 Cumple	η = 0.1	η = 0.1	x: 1.56 m η = 0.4	x: 0 m η = 14.0	x: 0 m η = 0.1	x: 0 m η = 1.0	η < 0.1	η < 0.1	x: 1.56 m η = 14.3	η < 0.1	η = 0.1	x: 0 m η = 0.1	x: 0 m η = 0.1	CUMPLE h = 14.3
N449/N450	$\bar{\lambda}$ < 2.0 Cumple	η = 0.1	η = 0.1	x: 1.56 m η = 0.3	x: 0 m η = 13.9	x: 1.56 m η = 0.1	x: 0 m η = 1.0	η < 0.1	x: 0 m η < 0.1	x: 1.56 m η = 14.2	η < 0.1	η < 0.1	x: 1.56 m η = 0.1	x: 1.56 m η = 0.1	CUMPLE h = 14.2
N447/N448	$\bar{\lambda}$ < 2.0 Cumple	η = 0.1	η = 0.1	x: 0 m η = 0.3	x: 0 m η = 13.9	x: 0 m η = 0.1	x: 0 m η = 1.0	η < 0.1	η < 0.1	x: 0 m η = 14.3	η < 0.1	η < 0.1	x: 1.56 m η = 0.1	x: 1.56 m η = 0.1	CUMPLE h = 14.3
N445/N446	$\bar{\lambda}$ < 2.0 Cumple	η = 0.1	η = 0.1	x: 0 m η = 0.4	x: 0 m η = 14.0	x: 1.56 m η = 0.1	x: 0 m η = 1.0	η < 0.1	η < 0.1	x: 0 m η = 14.3	η < 0.1	M_{Ed} = 0.00 N.P.[1]	N.P.[2]	N.P.[2]	CUMPLE h = 14.3
N443/N444	$\bar{\lambda}$ < 2.0 Cumple	η = 0.1	η = 0.1	x: 1.56 m η = 0.4	x: 1.56 m η = 13.9	x: 1.56 m η = 0.1	x: 1.56 m η = 1.0	η < 0.1	η < 0.1	x: 1.56 m η = 14.1	η < 0.1	η < 0.1	x: 0 m η = 0.1	x: 0 m η = 0.1	CUMPLE h = 14.1
N1/N44	$\bar{\lambda}$ < 2.0 Cumple	η = 0.2	η = 0.7	x: 0 m η = 15.9	x: 0 m η = 1.6	x: 0 m η = 1.5	x: 0 m η = 0.1	η < 0.1	η < 0.1	x: 0 m η = 16.8	η < 0.1	η < 0.1	x: 0 m η = 1.5	x: 0 m η = 1.5	CUMPLE h = 16.8
N44/N87	$\bar{\lambda}$ < 2.0 Cumple	η = 0.5	η = 1.4	x: 0 m η = 15.6	x: 0 m η = 2.2	x: 0 m η = 1.5	x: 0 m η = 0.2	η < 0.1	η < 0.1	x: 0 m η = 16.9	η < 0.1	η = 0.1	x: 0 m η = 1.5	x: 0 m η = 1.5	CUMPLE h = 16.9
N87/N130	$\bar{\lambda}$ < 2.0 Cumple	η = 0.4	η = 1.2	x: 0 m η = 15.6	x: 0 m η = 1.8	x: 0 m η = 1.5	x: 0 m η = 0.2	η < 0.1	η < 0.1	x: 0 m η = 16.6	η < 0.1	η = 0.1	x: 0 m η = 1.5	x: 0 m η = 1.5	CUMPLE h = 16.6
N130/N173	$\bar{\lambda}$ < 2.0 Cumple	η = 0.4	η = 1.0	x: 0 m η = 15.7	x: 0 m η = 1.8	x: 0 m η = 1.5	x: 0 m η = 0.2	η < 0.1	η < 0.1	x: 0 m η = 16.6	η < 0.1	η < 0.1	x: 0 m η = 1.5	x: 0 m η = 1.5	CUMPLE h = 16.6
N173/N216	$\bar{\lambda}$ < 2.0 Cumple	η = 0.3	η = 1.0	x: 0 m η = 15.7	x: 0 m η = 2.0	x: 0 m η = 1.5	x: 0 m η = 0.2	η < 0.1	η < 0.1	x: 0 m η = 16.6	η < 0.1	η < 0.1	x: 0 m η = 1.5	x: 0 m η = 1.5	CUMPLE h = 16.6
N216/N259	$\bar{\lambda}$ < 2.0 Cumple	η = 0.3	η = 1.0	x: 0 m η = 15.7	x: 0 m η = 2.2	x: 0 m η = 1.5	x: 0 m η = 0.2	η < 0.1	η < 0.1	x: 0 m η = 16.7	η < 0.1	η = 0.1	x: 0 m η = 1.5	x: 0 m η = 1.5	CUMPLE h = 16.7
N259/N302	$\bar{\lambda}$ < 2.0 Cumple	η = 0.3	η = 1.1	x: 0 m η = 15.6	x: 0 m η = 2.4	x: 0 m η = 1.5	x: 0 m η = 0.2	η < 0.1	η < 0.1	x: 0 m η = 17.0	η < 0.1	η = 0.1	x: 0 m η = 1.5	x: 0 m η = 1.5	CUMPLE h = 17.0
N302/N345	$\bar{\lambda}$ < 2.0 Cumple	η = 0.4	η = 1.2	x: 0 m η = 15.5	x: 0 m η = 2.3	x: 0 m η = 1.5	x: 0 m η = 0.2	η < 0.1	η < 0.1	x: 0 m η = 17.2	η < 0.1	η = 0.2	x: 0 m η = 1.5	x: 0 m η = 1.5	CUMPLE h = 17.2
N345/N388	$\bar{\lambda}$ < 2.0 Cumple	η = 0.5	η = 1.4	x: 0 m η = 21.3	x: 0 m η = 1.9	x: 0 m η = 1.8	x: 0 m η = 0.2	x: 0 m η < 0.1	x: 0 m η < 0.1	x: 0 m η = 22.2	x: 0 m η < 0.1	η < 0.1	x: 0 m η = 1.8	x: 0 m η = 1.8	CUMPLE h = 22.2
N350/N393	$\bar{\lambda}$ < 2.0 Cumple	η = 1.1	η = 2.5	x: 0 m η = 12.3	x: 0 m η = 11.6	x: 0 m η = 1.2	x: 0 m η = 1.2	η < 0.1	η < 0.1	x: 0 m η = 24.2	η < 0.1	η = 0.4	x: 0 m η = 1.2	x: 0 m η = 1.2	CUMPLE h = 24.2
N307/N350	$\bar{\lambda}$ < 2.0 Cumple	η = 0.4	η = 0.6	x: 4.68 m η = 18.4	x: 4.68 m η = 18.0	x: 4.68 m η = 1.9	x: 4.68 m η = 1.8	η < 0.1	η < 0.1	x: 4.68 m η = 36.3	η < 0.1	η = 0.2	x: 4.68 m η = 1.9	x: 4.68 m η = 1.9	CUMPLE h = 36.3
N264/N307	$\bar{\lambda}$ < 2.0 Cumple	η = 0.4	η = 0.6	x: 4.68 m η = 18.3	x: 0 m η = 17.8	x: 4.68 m η = 1.9	x: 0 m η = 1.8	η < 0.1	η < 0.1	x: 4.68 m η = 35.5	η < 0.1	η = 0.1	x: 4.68 m η = 1.9	x: 4.68 m η = 1.9	CUMPLE h = 35.5
N221/N264	$\bar{\lambda}$ < 2.0 Cumple	η = 0.3	η = 0.6	x: 4.68 m η = 18.4	x: 0 m η = 17.7	x: 4.68 m η = 1.9	x: 0 m η = 1.8	η < 0.1	η < 0.1	x: 4.68 m η = 35.7	η < 0.1	η < 0.1	x: 4.68 m η = 1.9	x: 4.68 m η = 1.9	CUMPLE h = 35.7
N178/N221	$\bar{\lambda}$ < 2.0 Cumple	η = 0.3	η = 0.6	x: 4.68 m η = 18.4	x: 0 m η = 17.7	x: 4.68 m η = 1.9	x: 0 m η = 1.8	η < 0.1	η < 0.1	x: 4.68 m η = 35.7	η < 0.1	η < 0.1	x: 4.68 m η = 1.9	x: 4.68 m η = 1.9	CUMPLE h = 35.7
N135/N178	$\bar{\lambda}$ < 2.0 Cumple	η = 0.2	η = 0.4	x: 4.68 m η = 18.4	x: 0 m η = 17.6	x: 4.68 m η = 1.9	x: 0 m η = 1.8	η < 0.1	η < 0.1	x: 4.68 m η = 35.7	η < 0.1	M_{Ed} = 0.00 N.P.[1]	N.P.[2]	N.P.[2]	CUMPLE h = 35.7

AJUNTAMENT D'OLERDOLA
Aquest document és una còpia simple del document electrònic original.

Codi Segur de Verificació:
62ffb294-fe9f-412a-95ff-e789b2359074
Origen: Administració
Identificador document: ES_L01081000_2026_28828185
Data d'impressió: 03/11/2026 13:44:57
Pàgina 172 de 247

SIGNATURES
1.- ESTEVE AYMERICH (R: J62755897), 27/07/2026 11:04

Listados

Cobriment de pista a Sant Pere Molanta (Olèrdola)

Fecha: 10/03/26

Barras	COMPROBACIONES (CTE DB SE-A)														Estado
	$\bar{\lambda}$	N_t	N_c	M_y	M_z	V_z	V_y	M_tV_z	M_zV_y	NM_yM_z	$NM_yM_zV_yV_z$	M_t	M_yV_z	M_zV_y	
N92/N135	$\bar{\lambda}$ < 2.0 Cumple	η = 0.1	η = 0.2	x: 4.68 m η = 18.4	x: 0 m η = 17.6	x: 4.68 m η = 1.9	x: 0 m η = 1.8	η < 0.1	η < 0.1	x: 4.68 m η = 35.6	η < 0.1	η < 0.1	x: 4.68 m η = 1.9	x: 4.68 m η = 1.9	CUMPLE h = 35.6
N49/N92	$\bar{\lambda}$ < 2.0 Cumple	η = 0.1	η = 0.1	x: 4.68 m η = 18.6	x: 0 m η = 18.1	x: 4.68 m η = 1.9	x: 0 m η = 1.9	η < 0.1	η < 0.1	x: 0 m η = 35.5	η < 0.1	η = 0.1	x: 4.68 m η = 1.9	x: 4.68 m η = 1.9	CUMPLE h = 35.5
N6/N49	$\bar{\lambda}$ < 2.0 Cumple	η = 1.4	η = 6.8	x: 0 m η = 11.6	x: 0 m η = 11.0	x: 0 m η = 1.2	x: 0 m η = 1.1	η < 0.1	η < 0.1	x: 0 m η = 23.6	η < 0.1	η = 0.2	x: 0 m η = 1.2	x: 0 m η = 1.2	CUMPLE h = 23.6
N11/N54	$\bar{\lambda}$ < 2.0 Cumple	η = 0.7	η = 4.6	x: 4.68 m η = 9.6	x: 4.68 m η = 1.0	x: 4.68 m η = 1.1	x: 4.68 m η = 0.1	η < 0.1	η < 0.1	x: 4.68 m η = 14.5	η < 0.1	η < 0.1	x: 4.68 m η = 1.1	x: 4.68 m η = 1.1	CUMPLE h = 14.5
N54/N97	$\bar{\lambda}$ < 2.0 Cumple	η = 0.3	η = 2.9	x: 0 m η = 15.2	x: 0 m η = 2.0	x: 0 m η = 1.5	x: 0 m η = 0.2	η < 0.1	η < 0.1	x: 0 m η = 18.7	η < 0.1	η = 0.1	x: 0 m η = 1.5	x: 0 m η = 1.5	CUMPLE h = 18.7
N97/N140	$\bar{\lambda}$ < 2.0 Cumple	N_{Ed} = 0.00 N.P.[4]	η = 1.9	x: 0 m η = 15.5	x: 0 m η = 1.8	x: 0 m η = 1.5	x: 0 m η = 0.2	η < 0.1	η < 0.1	x: 0 m η = 17.0	η < 0.1	M_{Ed} = 0.00 N.P.[1]	N.P.[2]	N.P.[2]	CUMPLE h = 17.0
N140/N183	$\bar{\lambda}$ < 2.0 Cumple	η = 0.2	η = 2.3	x: 0 m η = 15.4	x: 0 m η = 1.6	x: 0 m η = 1.5	x: 0 m η = 0.1	η < 0.1	η < 0.1	x: 0 m η = 16.0	η < 0.1	M_{Ed} = 0.00 N.P.[1]	N.P.[2]	N.P.[2]	CUMPLE h = 16.0
N183/N226	$\bar{\lambda}$ < 2.0 Cumple	η = 0.6	η = 2.8	x: 0 m η = 15.4	x: 0 m η = 1.4	x: 0 m η = 1.5	x: 0 m η = 0.1	η < 0.1	η < 0.1	x: 0 m η = 16.2	η < 0.1	M_{Ed} = 0.00 N.P.[1]	N.P.[2]	N.P.[2]	CUMPLE h = 16.2
N226/N269	$\bar{\lambda}$ < 2.0 Cumple	η = 1.0	η = 3.3	x: 0 m η = 15.5	x: 4.68 m η = 1.5	x: 0 m η = 1.5	x: 4.68 m η = 0.1	η < 0.1	η < 0.1	x: 0 m η = 16.5	η < 0.1	M_{Ed} = 0.00 N.P.[1]	N.P.[2]	N.P.[2]	CUMPLE h = 16.5
N269/N312	$\bar{\lambda}$ < 2.0 Cumple	η = 1.5	η = 3.9	x: 0 m η = 15.6	x: 4.68 m η = 2.0	x: 0 m η = 1.6	x: 4.68 m η = 0.2	η < 0.1	η < 0.1	x: 0 m η = 17.2	η < 0.1	M_{Ed} = 0.00 N.P.[1]	N.P.[2]	N.P.[2]	CUMPLE h = 17.2
N312/N355	$\bar{\lambda}$ < 2.0 Cumple	η = 2.1	η = 4.3	x: 0 m η = 16.1	x: 4.68 m η = 2.4	x: 0 m η = 1.6	x: 4.68 m η = 0.2	η < 0.1	η < 0.1	x: 0 m η = 18.8	η < 0.1	η = 0.1	x: 0 m η = 1.6	x: 0 m η = 1.6	CUMPLE h = 18.8
N355/N398	$\bar{\lambda}$ < 2.0 Cumple	η = 2.5	η = 6.3	x: 4.68 m η = 9.7	x: 4.68 m η = 1.1	x: 4.68 m η = 1.2	x: 4.68 m η = 0.1	η < 0.1	η < 0.1	x: 4.68 m η = 13.4	η < 0.1	η = 0.6	x: 4.68 m η = 1.2	x: 4.68 m η = 1.2	CUMPLE h = 13.4
N486/N487	$\bar{\lambda}$ < 2.0 Cumple	η = 0.2	η = 4.1	x: 0 m η = 14.6	x: 4.68 m η = 1.5	x: 0 m η = 1.5	x: 4.68 m η = 0.1	η < 0.1	η < 0.1	x: 0 m η = 19.4	η < 0.1	η < 0.1	x: 0 m η = 1.5	x: 0 m η = 1.5	CUMPLE h = 19.4
N487/N488	$\bar{\lambda}$ < 2.0 Cumple	η = 0.2	η = 1.2	x: 0 m η = 27.0	x: 0 m η = 3.2	x: 0 m η = 2.8	x: 0 m η = 0.3	η < 0.1	η < 0.1	x: 0 m η = 28.0	η < 0.1	η = 0.1	x: 0 m η = 2.8	x: 0 m η = 2.8	CUMPLE h = 28.0
N488/N489	$\bar{\lambda}$ < 2.0 Cumple	η = 0.2	η = 1.4	x: 0 m η = 27.0	x: 0 m η = 3.1	x: 0 m η = 2.8	x: 0 m η = 0.3	η < 0.1	η < 0.1	x: 0 m η = 28.0	η < 0.1	M_{Ed} = 0.00 N.P.[1]	N.P.[2]	N.P.[2]	CUMPLE h = 28.0
N489/N490	$\bar{\lambda}$ < 2.0 Cumple	η = 0.3	η = 1.7	x: 0 m η = 27.0	x: 0 m η = 3.0	x: 0 m η = 2.8	x: 0 m η = 0.3	η < 0.1	η < 0.1	x: 0 m η = 28.1	η < 0.1	M_{Ed} = 0.00 N.P.[1]	N.P.[2]	N.P.[2]	CUMPLE h = 28.1
N490/N491	$\bar{\lambda}$ < 2.0 Cumple	η = 0.3	η = 1.9	x: 0 m η = 26.9	x: 0 m η = 2.8	x: 0 m η = 2.8	x: 0 m η = 0.3	η < 0.1	η < 0.1	x: 0 m η = 27.9	η < 0.1	M_{Ed} = 0.00 N.P.[1]	N.P.[2]	N.P.[2]	CUMPLE h = 27.9
N491/N492	$\bar{\lambda}$ < 2.0 Cumple	η = 0.4	η = 1.9	x: 0 m η = 27.0	x: 4.68 m η = 2.9	x: 0 m η = 2.8	x: 4.68 m η = 0.3	η < 0.1	η < 0.1	x: 0 m η = 27.9	η < 0.1	M_{Ed} = 0.00 N.P.[1]	N.P.[2]	N.P.[2]	CUMPLE h = 27.9
N492/N493	$\bar{\lambda}$ < 2.0 Cumple	η = 0.4	η = 1.9	x: 0 m η = 27.1	x: 4.68 m η = 3.1	x: 0 m η = 2.8	x: 4.68 m η = 0.3	η < 0.1	η < 0.1	x: 0 m η = 27.7	η < 0.1	M_{Ed} = 0.00 N.P.[1]	N.P.[2]	N.P.[2]	CUMPLE h = 27.7
N493/N494	$\bar{\lambda}$ < 2.0 Cumple	η = 0.4	η = 2.0	x: 0 m η = 27.5	x: 4.68 m η = 3.5	x: 0 m η = 2.8	x: 4.68 m η = 0.3	η < 0.1	η < 0.1	x: 0 m η = 28.0	η < 0.1	η = 0.1	x: 0 m η = 2.8	x: 0 m η = 2.8	CUMPLE h = 28.0
N494/N495	$\bar{\lambda}$ < 2.0 Cumple	η = 0.3	η = 2.5	x: 4.68 m η = 12.5	x: 4.68 m η = 1.4	x: 4.68 m η = 1.5	x: 0 m η = 0.1	η < 0.1	η < 0.1	x: 4.68 m η = 15.4	η < 0.1	η = 0.6	x: 4.68 m η = 1.5	x: 4.68 m η = 1.5	CUMPLE h = 15.4
N496/N497	$\bar{\lambda}$ < 2.0 Cumple	η = 0.5	η = 3.5	x: 0 m η = 14.7	x: 4.68 m η = 1.5	x: 0 m η = 1.5	x: 4.68 m η = 0.1	η < 0.1	η < 0.1	x: 0 m η = 18.9	η < 0.1	η < 0.1	x: 0 m η = 1.5	x: 0 m η = 1.5	CUMPLE h = 18.9
N497/N498	$\bar{\lambda}$ < 2.0 Cumple	η = 0.1	η = 0.7	x: 0 m η = 26.9	x: 0 m η = 3.2	x: 0 m η = 2.8	x: 0 m η = 0.3	η < 0.1	η < 0.1	x: 0 m η = 27.7	η < 0.1	η = 0.1	x: 0 m η = 2.8	x: 0 m η = 2.8	CUMPLE h = 27.7
N498/N499	$\bar{\lambda}$ < 2.0 Cumple	η = 0.1	η = 2.3	x: 0 m η = 26.6	x: 0 m η = 3.1	x: 0 m η = 2.8	x: 0 m η = 0.3	η < 0.1	η < 0.1	x: 0 m η = 27.6	η < 0.1	η < 0.1	x: 0 m η = 1.6	x: 0 m η = 1.6	CUMPLE h = 27.6
N499/N500	$\bar{\lambda}$ < 2.0 Cumple	η = 0.3	η = 3.2	x: 0 m η = 26.6	x: 0 m η = 3.0	x: 0 m η = 2.8	x: 0 m η = 0.3	η < 0.1	η < 0.1	x: 0 m η = 27.8	η < 0.1	M_{Ed} = 0.00 N.P.[1]	N.P.[2]	N.P.[2]	CUMPLE h = 27.8
N500/N501	$\bar{\lambda}$ < 2.0 Cumple	η = 0.4	η = 3.5	x: 0 m η = 26.6	x: 4.68 m η = 2.8	x: 0 m η = 2.8	x: 4.68 m η = 0.3	η < 0.1	η < 0.1	x: 0 m η = 27.7	η < 0.1	M_{Ed} = 0.00 N.P.[1]	N.P.[2]	N.P.[2]	CUMPLE h = 27.7
N501/N502	$\bar{\lambda}$ < 2.0 Cumple	η = 0.4	η = 2.8	x: 0 m η = 26.7	x: 4.68 m η = 3.0	x: 0 m η = 2.8	x: 4.68 m η = 0.3	η < 0.1	η < 0.1	x: 0 m η = 27.6	η < 0.1	η < 0.1	x: 0 m η = 1.6	x: 0 m η = 1.6	CUMPLE h = 27.6
N502/N503	$\bar{\lambda}$ < 2.0 Cumple	η = 0.2	η = 1.1	x: 0 m η = 26.8	x: 4.68 m η = 3.2	x: 0 m η = 2.8	x: 4.68 m η = 0.3	η < 0.1	η < 0.1	x: 0 m η = 27.1	η < 0.1	η < 0.1	x: 0 m η = 1.6	x: 0 m η = 1.6	CUMPLE h = 27.1
N503/N504	$\bar{\lambda}$ < 2.0 Cumple	η = 0.4	η = 0.5	x: 0 m η = 27.1	x: 4.68 m η = 3.6	x: 0 m η = 2.8	x: 4.68 m η = 0.3	η < 0.1	η < 0.1	x: 0 m η = 27.8	η < 0.1	η = 0.1	x: 0 m η = 2.8	x: 0 m η = 2.8	CUMPLE h = 27.8
N504/N505	$\bar{\lambda}$ < 2.0 Cumple	η = 0.5	η = 2.0	x: 0 m η = 13.6	x: 0 m η = 1.5	x: 0 m η = 1.5	x: 0 m η = 0.1	η < 0.1	η < 0.1	x: 0 m η = 14.9	η < 0.1	η = 0.7	x: 0 m η = 1.6	x: 0 m η = 1.6	CUMPLE h = 14.9
N506/N507	$\bar{\lambda}$ < 2.0 Cumple	η = 1.7	η = 4.9	x: 0 m η = 14.8	x: 4.68 m η = 1.6	x: 0 m η = 1.5	x: 4.68 m η = 0.1	η < 0.1	η < 0.1	x: 0 m η = 20.2	η < 0.1	η = 0.1	x: 0 m η = 1.5	x: 0 m η = 1.5	CUMPLE h = 20.2
N507/N508	$\bar{\lambda}$ < 2.0 Cumple	η = 0.5	η = 2.5	x: 4.68 m η = 21.1	x: 0 m η = 2.2	x: 4.68 m η = 2.4	x: 4.68 m η = 0.2	η < 0.1	η < 0.1	x: 4.68 m η = 24.4	η < 0.1	η = 0.1	x: 4.68 m η = 2.4	x: 4.68 m η = 2.4	CUMPLE h = 24.4
N508/N509	$\bar{\lambda}$ < 2.0 Cumple	η = 0.1	η = 3.2	x: 4.68 m η = 21.2	x: 4.68 m η = 2.2	x: 4.68 m η = 2.4	x: 4.68 m η = 0.2	η < 0.1	η < 0.1	x: 4.68 m η = 23.1	η < 0.1	η < 0.1	x: 4.68 m η = 1.4	x: 4.68 m η = 1.4	CUMPLE h = 23.1
N509/N510	$\bar{\lambda}$ < 2.0 Cumple	η = 0.1	η = 4.3	x: 4.68 m η = 21.2	x: 4.68 m η = 2.2	x: 4.68 m η = 2.4	x: 4.68 m η = 0.2	η < 0.1	η < 0.1	x: 4.68 m η = 21.9	η < 0.1	M_{Ed} = 0.00 N.P.[1]	N.P.[2]	N.P.[2]	CUMPLE h = 21.9
N510/N511	$\bar{\lambda}$ < 2.0 Cumple	η = 0.4	η = 4.5	x: 4.68 m η = 21.2	x: 4.68 m η = 2.3	x: 4.68 m η = 2.4	x: 4.68 m η = 0.2	η < 0.1	η < 0.1	x: 4.68 m η = 22.1	η < 0.1	M_{Ed} = 0.00 N.P.[1]	N.P.[2]	N.P.[2]	CUMPLE h = 22.1
N511/N512	$\bar{\lambda}$ < 2.0 Cumple	η = 0.6	η = 4.0	x: 4.68 m η = 21.0	x: 4.68 m η = 2.3	x: 4.68 m η = 2.4	x: 4.68 m η = 0.2	η < 0.1	η < 0.1	x: 4.68 m η = 22.0	η < 0.1	η < 0.1	x: 4.68 m η = 1.4	x: 4.68 m η = 1.4	CUMPLE h = 22.0
N512/N513	$\bar{\lambda}$ < 2.0 Cumple	η = 0.2	η = 0.6	x: 4.68 m η = 20.9	x: 4.68 m η = 2.5	x: 4.68 m η = 2.4	x: 4.68 m η = 0.3	η < 0.1	η < 0.1	x: 4.68 m η = 21.4	η < 0.1	η < 0.1	x: 4.68 m η = 2.4	x: 4.68 m η = 2.4	CUMPLE h = 21.4
N513/N514	$\bar{\lambda}$ < 2.0 Cumple	η = 2.7	η = 5.5	x: 4.68 m η = 20.7	x: 4.68 m η = 2.8	x: 4.68 m η = 2.4	x: 4.68 m η = 0.3	η < 0.1	η < 0.1	x: 4.68 m η = 26.6	η < 0.1	η = 0.1	x: 4.68 m η = 2.4	x: 4.68 m η = 2.4	CUMPLE h = 26.6
N514/N515	$\bar{\lambda}$ < 2.0 Cumple	η = 0.4	η = 1.6	x: 0 m η = 14.6	x: 0 m η = 1.6	x: 0 m η = 1.6	x: 0 m η = 0.2	η < 0.1	η < 0.1	x: 0 m η = 15.4	η < 0.1	η = 0.7	x: 0 m η = 1.6	x: 0 m η = 1.6	CUMPLE h = 15.4
N628/N11	N.P.[6]	N_{Ed} = 0.00 N.P.[4]	N_{Ed} = 0.00 N.P.[3]	x: 2.1 m η = 17.2	x: 2.1 m η = 1.6	x: 2.1 m η = 1.4	x: 2.1 m η = 0.1	x: 0.21 m η < 0.1	x: 0.21 m η < 0.1	x: 2.1 m η = 12.7	x: 0.21 m η < 0.1	M_{Ed} = 0.00 N.P.[1]	N.P.[2]	N.P.[2]	CUMPLE h = 17.2
N629/N486	N.P.[5]	N_{Ed} = 0.00 N.P.[4]	N_{Ed} = 0.00 N.P.[3]	x: 2.1 m η = 31.6	x: 2.1 m η = 3.2	x: 2.1 m η = 2.5	x: 2.1 m η = 0.3	x: 0.21 m η < 0.1	x: 0.21 m η < 0.1	x: 2.1 m η = 27.1	x: 0.21 m η < 0.1	M_{Ed} = 0.00 N.P.[1]	N.P.[2]	N.P.[2]	CUMPLE h = 31.6
N630/N496	N.P.[5]	N_{Ed} = 0.00 N.P.[4]	N_{Ed} = 0.00 N.P.[3]	x: 2.1 m η = 31.6	x: 2.1 m η = 3.2	x: 2.1 m η = 2.5	x: 2.1 m η = 0.3	x: 0.21 m η < 0.1	x: 0.21 m η < 0.1	x: 2.1 m η = 27.1	x: 0.21 m η < 0.1	M_{Ed} = 0.00 N.P.[1]	N.P.[2]	N.P.[2]	CUMPLE h = 31.6
N631/N506	N.P.[5]	N_{Ed} = 0.00 N.P.[4]	N_{Ed} = 0.00 N.P.[3]	x: 2.1 m η = 30.8	x: 2.1 m η = 3.1	x: 2.1 m η = 2.4	x: 2.1 m η = 0.2	x: 0.21 m η < 0.1	x: 0.21 m η < 0.1	x: 2.1 m η = 26.3	x: 0.21 m η < 0.1	M_{Ed} = 0.00 N.P.[1]	N.P.[2]	N.P.[2]	CUMPLE h = 30.8
N632/N6	N.P.[5]	N_{Ed} = 0.00 N.P.[4]	N_{Ed} = 0.00 N.P.[3]	x: 2.1 m η = 21.5	x: 2.1 m η = 21.0	x: 2.1 m η = 1.7	x: 2.1 m η = 1.6	x: 0.21 m η < 0.1	x: 0.21 m η < 0.1	x: 2.1 m η = 42.5	x: 0.21 m η < 0.1	M_{Ed} = 0.00 N.P.[1]	N.P.[2]	N.P.[2]	CUMPLE h = 42.5
N633/N1	N.P.[5]	N_{Ed} = 0.00 N.P.[4]	N_{Ed} = 0.00 N.P.[3]	x: 2.1 m η = 16.3	x: 2.1 m η = 1.6	x: 2.1 m η = 1.3	x: 2.1 m η = 0.1	x: 0.21 m η < 0.1	x: 0.21 m η < 0.1	x: 2.1 m η = 11.7	x: 0.21 m η < 0.1	M_{Ed} = 0.00 N.P.[1]	N.P.[2]	N.P.[2]	CUMPLE h = 16.3
N495/N355	$\bar{\lambda}$ < 2.0 Cumple	x: 5.072 m η = 1.1	x: 0 m η = 1.2	x: 0 m η = 14.8	x: 5.072 m η = 1.6	x: 0 m η = 1.5	x: 5.072 m η = 0.1	η < 0.1	η < 0.1	x: 0 m η = 15.4	η < 0.1	η = 0.7	x: 0 m η = 1.6	x: 0 m η = 1.6	CUMPLE h = 15.4
N505/N494	$\bar{\lambda}$ < 2.0 Cumple	x: 5.072 m η = 0.6	x: 0 m η = 2.9	x: 5.072 m η = 14.6	x: 5.072 m η = 1.5	x: 5.072 m η = 1.5	x: 5.072 m η = 0.1	η < 0.1	η < 0.1	x: 5.072 m η = 15.2	η < 0.1	η = 0.7	x: 5.072 m η = 1.5	x: 5.072 m η = 1.5	CUMPLE h = 15.2
N515/N504	$\bar{\lambda}$ < 2.0 Cumple	x: 5.072 m η = 0.7	x: 0 m η = 0.6	x: 5.072 m η = 15.3	x: 5.072 m η = 1.5	x: 5.072 m η = 1.5	x: 5.072 m η = 0.1	η < 0.1	η < 0.1	x: 5.072 m η = 15.7	η < 0.1	η = 0.8	x: 5.072 m η = 1.6	x: 5.072 m η = 1.6	CUMPLE h = 15.7
N394/N514	$\bar{\lambda}$ < 2.0 Cumple	x: 5.072 m η = 2.1	x: 0 m η = 6.6	x: 5.072 m η = 16.4	x: 5.072 m η = 1.7	x: 5.072 m η = 1.9	x: 5.072 m η = 0.2	η < 0.1	η < 0.1	x: 5.072 m η = 23.1	η < 0.1	η = 0.5	x: 5.072 m η = 1.9	x: 5.072 m η = 1.9	CUMPLE h = 23.1
N351/N513	$\bar{\lambda}$ < 2.0 Cumple	x: 5.072 m η = 2.8	x: 0 m η = 18.6	x: 5.072 m η = 17.0	x: 0 m η = 1.6	x: 5.072 m η = 1.9	x: 5.072 m η = 0.2	η < 0.1	η < 0.1	x: 5.072 m η = 25.9	η < 0.1	η = 0.3	x: 5.072 m η = 1.9	x: 5.072 m η = 1.9	CUMPLE h = 25.9
N308/N512	$\bar{\lambda}$ < 2.0 Cumple	x: 5.072 m η = 0.9	x: 0 m η = 9.0	x: 5.072 m η = 15.4	x: 0 m η = 1.4	x: 5.072 m η = 1.5	x: 5.072 m η = 0.1	η < 0.1	η < 0.1	x: 5.072 m η = 16.3	η < 0.1	η = 0.3	x: 5.072 m η = 1.5	x: 5.072 m η = 1.5	CUMPLE h = 16.3

AJUNTAMENT D'OLERDOLA
Aquest document és una còpia simple del document electrònic original.

Codi Segur de Verificació:
62ffb294-fe9f-412a-95ff-e789b2359074
Origen: Administració
Identificador document: ES_L01081000_2026_28828185
Data d'impressió: 03/11/2026 13:44:57
Pàgina 173 de 247

SIGNATURES
1.- ESTEVE AYMERICH (R: J62755897), 27/07/2026 11:04

Listados

Cobriment de pista a Sant Pere Molanta (Olèrdola)

Fecha: 10/03/26

Barras	COMPROBACIONES (CTE DB SE-A)														Estado
	$\bar{\lambda}$	N_t	N_c	M_y	M_z	V_z	V_y	M_yV_z	M_zV_y	NM_yM_z	$NM_yM_zV_yV_z$	M_t	M_yV_z	M_zV_y	
N265/N511	$\bar{\lambda}$ < 2.0 Cumple	N_{Ed} = 0.00 N.P.[4]	x: 0 m η = 3.0	x: 5.072 m η = 15.3	x: 5.072 m η = 1.3	x: 5.072 m η = 1.5	x: 5.072 m η = 0.1	η < 0.1	η < 0.1	x: 5.072 m η = 16.2	η < 0.1	η = 0.3	x: 5.072 m η = 1.5	x: 5.072 m η = 1.5	CUMPLE h = 16.2
N222/N510	$\bar{\lambda}$ < 2.0 Cumple	x: 5.072 m η = 0.2	x: 0 m η = 2.2	x: 5.072 m η = 16.8	x: 5.072 m η = 1.5	x: 5.072 m η = 1.9	x: 5.072 m η = 0.2	η < 0.1	η < 0.1	x: 5.072 m η = 19.2	η < 0.1	η = 0.3	x: 5.072 m η = 1.9	x: 5.072 m η = 1.9	CUMPLE h = 19.2
N179/N509	$\bar{\lambda}$ < 2.0 Cumple	x: 5.072 m η = 0.9	x: 0 m η = 3.1	x: 5.072 m η = 15.2	x: 5.072 m η = 1.4	x: 5.072 m η = 1.5	x: 5.072 m η = 0.1	η < 0.1	η < 0.1	x: 5.072 m η = 18.5	η < 0.1	η = 0.3	x: 5.072 m η = 1.5	x: 5.072 m η = 1.5	CUMPLE h = 18.5
N136/N508	$\bar{\lambda}$ < 2.0 Cumple	x: 5.072 m η = 1.9	x: 0 m η = 3.1	x: 5.072 m η = 15.2	x: 5.072 m η = 1.4	x: 5.072 m η = 1.5	x: 5.072 m η = 0.1	η < 0.1	η < 0.1	x: 5.072 m η = 17.9	η < 0.1	η = 0.3	x: 5.072 m η = 1.5	x: 5.072 m η = 1.5	CUMPLE h = 17.9
N93/N507	$\bar{\lambda}$ < 2.0 Cumple	x: 5.072 m η = 3.0	x: 0 m η = 1.2	x: 5.072 m η = 17.2	x: 5.072 m η = 1.6	x: 5.072 m η = 1.9	x: 5.072 m η = 0.2	η < 0.1	η < 0.1	x: 5.072 m η = 17.4	η < 0.1	η = 0.3	x: 5.072 m η = 1.9	x: 5.072 m η = 1.9	CUMPLE h = 17.4
N50/N506	$\bar{\lambda}$ < 2.0 Cumple	x: 5.072 m η = 1.5	x: 0 m η = 6.2	x: 5.072 m η = 17.1	x: 5.072 m η = 1.4	x: 5.072 m η = 1.9	x: 5.072 m η = 0.2	η < 0.1	η < 0.1	x: 5.072 m η = 18.7	η < 0.1	η = 0.3	x: 5.072 m η = 1.9	x: 5.072 m η = 1.9	CUMPLE h = 18.7
N507/N496	$\bar{\lambda}$ < 2.0 Cumple	x: 5.072 m η = 1.0	x: 0 m η = 1.7	x: 5.072 m η = 16.0	x: 0 m η = 1.5	x: 5.072 m η = 1.5	x: 0 m η = 0.1	η < 0.1	η < 0.1	x: 5.072 m η = 17.2	η < 0.1	η = 0.2	x: 5.072 m η = 1.5	x: 5.072 m η = 1.5	CUMPLE h = 17.2
N497/N486	$\bar{\lambda}$ < 2.0 Cumple	x: 5.072 m η = 1.0	x: 0 m η = 1.4	x: 5.072 m η = 15.9	x: 0 m η = 1.4	x: 5.072 m η = 1.5	x: 0 m η = 0.1	η < 0.1	η < 0.1	x: 5.072 m η = 17.0	η < 0.1	η = 0.5	x: 5.072 m η = 1.5	x: 5.072 m η = 1.5	CUMPLE h = 17.0
N487/N11	$\bar{\lambda}$ < 2.0 Cumple	x: 5.072 m η = 1.8	x: 0 m η = 1.6	x: 5.072 m η = 15.7	x: 5.072 m η = 1.6	x: 5.072 m η = 1.5	x: 5.072 m η = 0.1	η < 0.1	η < 0.1	x: 5.072 m η = 17.9	η < 0.1	η = 0.7	x: 5.072 m η = 1.5	x: 5.072 m η = 1.5	CUMPLE h = 17.9
N48/N45	$\bar{\lambda}$ < 2.0 Cumple	x: 2.433 m η = 10.5	x: 0 m η = 48.6	x: 2.433 m η = 2.6	x: 0 m η = 0.9	x: 2.433 m η = 0.3	η < 0.1	η < 0.1	η < 0.1	x: 0 m η = 52.5	η < 0.1	η = 0.2	x: 2.433 m η = 0.3	x: 2.433 m η = 0.3	CUMPLE h = 52.5
N45/N49	$\bar{\lambda}$ < 2.0 Cumple	x: 2.976 m η = 1.0	x: 0 m η = 3.4	x: 2.976 m η = 2.7	x: 2.976 m η = 0.4	x: 2.976 m η = 0.2	η < 0.1	η < 0.1	η < 0.1	x: 0 m η = 4.4	η < 0.1	η = 0.2	x: 2.976 m η = 0.2	x: 2.976 m η = 0.2	CUMPLE h = 4.4
N49/N46	$\bar{\lambda}$ < 2.0 Cumple	x: 2.431 m η = 3.3	x: 0 m η = 8.3	x: 0 m η = 2.4	x: 0 m η = 0.8	x: 0 m η = 0.2	η < 0.1	η < 0.1	η < 0.1	x: 0 m η = 10.8	η < 0.1	η = 0.1	x: 0 m η = 0.2	x: 0 m η = 0.2	CUMPLE h = 10.8
N50/N47	$\bar{\lambda}$ < 2.0 Cumple	x: 2.431 m η = 65.8	x: 0 m η = 18.2	x: 2.431 m η = 4.3	x: 0 m η = 0.2	x: 2.431 m η = 0.4	η < 0.1	η < 0.1	η < 0.1	x: 2.431 m η = 70.3	η < 0.1	η = 0.1	x: 2.431 m η = 0.4	x: 2.431 m η = 0.4	CUMPLE h = 70.3
N52/N51	$\bar{\lambda}$ < 2.0 Cumple	x: 2.286 m η = 37.9	x: 0 m η = 16.4	x: 1.143 m η = 0.7	x: 0 m η = 0.9	x: 0 m η = 0.1	η < 0.1	η < 0.1	η < 0.1	x: 1.143 m η = 38.7	η < 0.1	η = 0.3	x: 0 m η = 0.1	x: 0 m η = 0.1	CUMPLE h = 38.7
N52/N70	$\bar{\lambda}$ < 2.0 Cumple	x: 1.773 m η = 6.3	x: 0 m η = 34.7	x: 0 m η = 4.8	x: 0 m η = 1.6	x: 1.773 m η = 0.4	η = 0.1	η < 0.1	η < 0.1	x: 0 m η = 40.5	η < 0.1	η = 0.3	x: 1.773 m η = 0.4	x: 1.773 m η = 0.4	CUMPLE h = 40.5
N53/N70	$\bar{\lambda}$ < 2.0 Cumple	x: 2.12 m η = 32.8	x: 0 m η = 14.6	x: 2.12 m η = 3.4	x: 0 m η = 1.5	x: 0 m η = 0.3	η = 0.1	η < 0.1	η < 0.1	x: 2.12 m η = 36.5	η < 0.1	η = 0.5	x: 0 m η = 0.3	x: 0 m η = 0.3	CUMPLE h = 36.5
N53/N71	$\bar{\lambda}$ < 2.0 Cumple	x: 1.656 m η = 6.0	x: 0 m η = 30.2	x: 0 m η = 5.3	x: 0 m η = 3.6	x: 1.656 m η = 0.4	η = 0.3	η < 0.1	η < 0.1	x: 0 m η = 36.5	η < 0.1	η = 0.2	x: 1.656 m η = 0.4	x: 1.656 m η = 0.4	CUMPLE h = 36.5
N54/N71	$\bar{\lambda}$ < 2.0 Cumple	x: 1.981 m η = 25.2	x: 0 m η = 9.9	x: 1.981 m η = 2.9	x: 0 m η = 2.8	x: 0 m η = 0.2	η = 0.2	η < 0.1	η < 0.1	x: 1.981 m η = 28.3	η < 0.1	η = 0.5	x: 0 m η = 0.2	x: 0 m η = 0.2	CUMPLE h = 28.3
N54/N72	$\bar{\lambda}$ < 2.0 Cumple	x: 1.547 m η = 5.1	x: 0 m η = 23.2	x: 0 m η = 3.8	x: 0 m η = 3.7	x: 1.547 m η = 0.3	η = 0.3	η < 0.1	η < 0.1	x: 0 m η = 29.0	η < 0.1	η = 0.4	x: 1.547 m η = 0.3	x: 1.547 m η = 0.3	CUMPLE h = 29.0
N55/N72	$\bar{\lambda}$ < 2.0 Cumple	x: 1.85 m η = 17.9	x: 0 m η = 6.1	x: 1.85 m η = 2.9	x: 0 m η = 1.9	x: 0 m η = 0.2	η = 0.1	η < 0.1	η < 0.1	x: 1.85 m η = 21.4	η < 0.1	η = 0.3	x: 0 m η = 0.2	x: 0 m η = 0.2	CUMPLE h = 21.4
N55/N73	$\bar{\lambda}$ < 2.0 Cumple	x: 1.445 m η = 4.2	x: 0 m η = 17.5	x: 0 m η = 3.3	x: 1.445 m η = 2.2	x: 1.445 m η = 0.3	η = 0.2	η < 0.1	η < 0.1	x: 0 m η = 22.2	η < 0.1	η = 0.3	x: 1.445 m η = 0.3	x: 1.445 m η = 0.3	CUMPLE h = 22.2
N56/N73	$\bar{\lambda}$ < 2.0 Cumple	x: 1.728 m η = 13.0	x: 0 m η = 4.5	x: 1.728 m η = 2.7	x: 0 m η = 0.9	x: 0 m η = 0.2	η = 0.1	η < 0.1	η < 0.1	x: 1.728 m η = 15.9	η < 0.1	η = 0.2	x: 0 m η = 0.2	x: 0 m η = 0.2	CUMPLE h = 15.9
N56/N74	$\bar{\lambda}$ < 2.0 Cumple	x: 1.35 m η = 3.3	x: 0 m η = 12.1	x: 0 m η = 2.7	x: 1.35 m η = 1.5	x: 1.35 m η = 0.2	η = 0.1	η < 0.1	η < 0.1	x: 0 m η = 15.5	η < 0.1	η = 0.3	x: 1.35 m η = 0.2	x: 1.35 m η = 0.2	CUMPLE h = 15.5
N57/N74	$\bar{\lambda}$ < 2.0 Cumple	x: 1.615 m η = 8.0	x: 0 m η = 3.0	x: 1.615 m η = 2.7	x: 0 m η = 0.5	x: 0 m η = 0.2	η < 0.1	η < 0.1	η < 0.1	x: 1.615 m η = 10.7	η < 0.1	η = 0.3	x: 0 m η = 0.2	x: 0 m η = 0.2	CUMPLE h = 10.7
N57/N75	$\bar{\lambda}$ < 2.0 Cumple	x: 1.261 m η = 2.4	x: 0 m η = 7.0	x: 0 m η = 1.9	x: 1.261 m η = 1.3	x: 1.261 m η = 0.1	η = 0.1	η < 0.1	η < 0.1	x: 0 m η = 9.2	η < 0.1	η = 0.3	x: 1.261 m η = 0.1	x: 1.261 m η = 0.1	CUMPLE h = 9.2
N58/N75	$\bar{\lambda}$ < 2.0 Cumple	x: 1.508 m η = 3.6	x: 0 m η = 1.7	x: 1.508 m η = 2.5	x: 1.508 m η = 0.5	x: 0 m η = 0.1	η < 0.1	η < 0.1	η < 0.1	x: 1.508 m η = 6.2	η < 0.1	η = 0.4	x: 0 m η = 0.1	x: 0 m η = 0.1	CUMPLE h = 6.2
N58/N76	$\bar{\lambda}$ < 2.0 Cumple	x: 1.189 m η = 1.4	x: 0 m η = 2.0	x: 0 m η = 1.7	x: 1.189 m η = 0.7	x: 1.189 m η = 0.1	η < 0.1	η < 0.1	η < 0.1	x: 0 m η = 3.8	η < 0.1	η = 0.4	x: 1.189 m η = 0.1	x: 1.189 m η = 0.1	CUMPLE h = 3.8
N59/N76	$\bar{\lambda}$ < 2.0 Cumple	x: 1.408 m η = 2.0	x: 0 m η = 6.6	x: 1.056 m η = 3.0	x: 0 m η = 0.5	x: 0 m η = 0.1	η < 0.1	η < 0.1	η < 0.1	x: 1.232 m η = 9.7	η < 0.1	η = 0.4	x: 0 m η = 0.1	x: 0 m η = 0.1	CUMPLE h = 9.7
N59/N77	$\bar{\lambda}$ < 2.0 Cumple	x: 1.1 m η = 4.1	x: 0 m η = 0.9	x: 1.1 m η = 9.1	x: 0 m η = 0.8	x: 0 m η = 0.9	η < 0.1	η < 0.1	η < 0.1	x: 1.1 m η = 13.3	η < 0.1	η = 0.4	x: 0 m η = 0.9	x: 0 m η = 0.9	CUMPLE h = 13.3
N60/N77	x: 0 m $\bar{\lambda}$ < 2.0 Cumple	x: 1.324 m η < 0.1	x: 0 m η < 0.1	x: 1.324 m η = 4.6	x: 1.324 m η = 0.1	x: 0 m η = 0.3	η < 0.1	η < 0.1	x: 0.441 m η < 0.1	x: 1.324 m η = 4.7	η < 0.1	M_{Ed} = 0.00 N.P.[1]	N.P.[2]	N.P.[2]	CUMPLE h = 4.7
N60/N78	x: 0 m $\bar{\lambda}$ < 2.0 Cumple	x: 1.034 m η = 0.1	x: 0 m η < 0.1	x: 0 m η = 1.1	x: 1.034 m η = 0.1	x: 1.034 m η = 0.1	η < 0.1	η < 0.1	x: 0.172 m η < 0.1	x: 0 m η = 1.1	η < 0.1	M_{Ed} = 0.00 N.P.[1]	N.P.[2]	N.P.[2]	CUMPLE h = 1.1
N61/N78	$\bar{\lambda}$ < 2.0 Cumple	x: 1.217 m η = 2.6	x: 0 m η = 15.6	x: 0 m η = 7.0	x: 1.217 m η = 0.6	x: 1.217 m η = 0.7	η < 0.1	η < 0.1	η < 0.1	x: 0 m η = 23.0	η < 0.1	η = 0.4	x: 1.217 m η = 0.7	x: 1.217 m η = 0.7	CUMPLE h = 23.0
N61/N79	$\bar{\lambda}$ < 2.0 Cumple	x: 0.96 m η = 14.0	x: 0 m η = 2.2	x: 0.96 m η = 6.3	x: 0 m η = 0.5	x: 0 m η = 0.8	η < 0.1	η < 0.1	η < 0.1	x: 0.96 m η = 20.4	η < 0.1	η = 0.4	x: 0 m η = 0.8	x: 0 m η = 0.8	CUMPLE h = 20.4
N62/N79	$\bar{\lambda}$ < 2.0 Cumple	x: 1.148 m η = 2.7	x: 0 m η = 19.0	x: 0 m η = 3.1	x: 1.148 m η = 0.6	x: 1.148 m η = 0.2	η < 0.1	η < 0.1	η < 0.1	x: 0 m η = 22.4	η < 0.1	η = 0.4	x: 1.148 m η = 0.2	x: 1.148 m η = 0.2	CUMPLE h = 22.4
N62/N80	$\bar{\lambda}$ < 2.0 Cumple	x: 0.898 m η = 13.4	x: 0 m η = 2.1	x: 0.898 m η = 7.3	x: 0 m η = 0.5	x: 0 m η = 0.9	η < 0.1	η < 0.1	η < 0.1	x: 0.898 m η = 20.7	η < 0.1	η = 0.4	x: 0 m η = 0.9	x: 0 m η = 0.9	CUMPLE h = 20.7
N63/N80	$\bar{\lambda}$ < 2.0 Cumple	x: 1.073 m η = 3.6	x: 0 m η = 23.0	x: 0 m η = 4.1	x: 1.073 m η = 0.5	x: 1.073 m η = 0.3	η < 0.1	η < 0.1	η < 0.1	x: 0 m η = 27.6	η < 0.1	η = 0.3	x: 1.073 m η = 0.3	x: 1.073 m η = 0.3	CUMPLE h = 27.6
N63/N81	$\bar{\lambda}$ < 2.0 Cumple	x: 0.838 m η = 17.8	x: 0 m η = 3.0	x: 0.838 m η = 9.6	x: 0 m η = 0.4	x: 0 m η = 1.4	η < 0.1	η < 0.1	η < 0.1	x: 0.838 m η = 27.4	η < 0.1	η = 0.3	x: 0 m η = 1.4	x: 0 m η = 1.4	CUMPLE h = 27.4
N64/N81	$\bar{\lambda}$ < 2.0 Cumple	x: 1.002 m η = 4.5	x: 0 m η = 27.6	x: 0 m η = 5.2	x: 0 m η = 0.7	x: 1.002 m η = 0.5	η < 0.1	η < 0.1	η < 0.1	x: 0 m η = 33.4	η < 0.1	η = 0.3	x: 1.002 m η = 0.5	x: 1.002 m η = 0.5	CUMPLE h = 33.4
N64/N82	$\bar{\lambda}$ < 2.0 Cumple	x: 0.788 m η = 21.5	x: 0 m η = 3.6	x: 0.788 m η = 10.6	x: 0.788 m η = 1.3	x: 0 m η = 1.7	η < 0.1	η < 0.1	η < 0.1	x: 0.788 m η = 32.6	η < 0.1	η = 0.5	x: 0 m η = 1.7	x: 0 m η = 1.7	CUMPLE h = 32.6
N65/N82	$\bar{\lambda}$ < 2.0 Cumple	x: 0.935 m η = 5.8	x: 0 m η = 32.8	x: 0 m η = 5.5	x: 0.935 m η = 1.3	x: 0.935 m η = 0.6	η < 0.1	η < 0.1	η < 0.1	x: 0 m η = 39.1	η < 0.1	η = 0.5	x: 0.935 m η = 0.6	x: 0.935 m η = 0.6	CUMPLE h = 39.1
N65/N83	$\bar{\lambda}$ < 2.0 Cumple	x: 0.741 m η = 26.3	x: 0 m η = 4.9	x: 0.741 m η = 12.5	x: 0 m η = 0.7	x: 0 m η = 2.2	η < 0.1	η < 0.1	η < 0.1	x: 0.741 m η = 39.0	η < 0.1	η = 0.3	x: 0 m η = 2.2	x: 0 m η = 2.2	CUMPLE h = 39.0
N66/N83	$\bar{\lambda}$ < 2.0 Cumple	x: 0.873 m η = 6.2	x: 0 m η = 36.6	x: 0 m η = 6.6	x: 0 m η = 1.0	x: 0.873 m η = 0.9	η < 0.1	η < 0.1	η < 0.1	x: 0 m η = 44.2	η < 0.1	η = 0.3	x: 0.873 m η = 0.9	x: 0.873 m η = 0.9	CUMPLE h = 44.2
N66/N84	$\bar{\lambda}$ < 2.0 Cumple	x: 0.682 m η = 28.8	x: 0 m η = 5.1	x: 0.682 m η = 14.7	x: 0.682 m η = 3.1	x: 0 m η = 2.9	η = 0.5	η < 0.1	η < 0.1	x: 0.682 m η = 46.6	η < 0.1	η = 1.0	x: 0 m η = 3.0	x: 0 m η = 3.0	CUMPLE h = 46.6
N67/N84	$\bar{\lambda}$ < 2.0 Cumple	x: 0.815 m η = 7.6	x: 0 m η = 41.6	x: 0 m η = 7.0	x: 0.815 m η = 3.3	x: 0.815 m η = 1.1	η = 0.4	η < 0.1	η < 0.1	x: 0 m η = 49.4	η < 0.1	η = 0.7	x: 0.815 m η = 1.1	x: 0.815 m η = 1.1	CUMPLE h = 49.4
N67/N85	$\bar{\lambda}$ < 2.0 Cumple	x: 0.637 m η = 35.1	x: 0 m η = 6.6	x: 0.637 m η = 16.9	x: 0 m η = 1.4	x: 0 m η = 3.7	η = 0.1	η < 0.1	η < 0.1	x: 0.637 m η = 52.7	η < 0.1	η = 0.2	x: 0 m η = 3.7	x: 0 m η = 3.7	CUMPLE h = 52.7
N68/N85	$\bar{\lambda}$ < 2.0 Cumple	x: 0.762 m η = 8.3	x: 0 m η = 46.3	x: 0 m η = 10.3	x: 0.762 m η = 1.8	x: 0.762 m η = 1.8	η = 0.3	η < 0.1	η < 0.1	x: 0 m η = 57.8	η < 0.1	η = 0.5	x: 0.762 m η = 1.8	x: 0.762 m η = 1.8	CUMPLE h = 57.8
N68/N86	$\bar{\lambda}$ < 2.0 Cumple	x: 0.781 m η = 39.7	x: 0 m η = 7.6	x: 0 m η = 9.6	x: 0 m η = 2.7	x: 0 m η = 1.7	η = 0.4	η < 0.1	η < 0.1	x: 0 m η = 51.3	η < 0.1	η = 1.4	x: 0 m η = 1.7	x: 0 m η = 1.7	CUMPLE h = 51.3
N91/N88	$\bar{\lambda}$ < 2.0 Cumple	x: 2.433 m η = 10.2	x: 0 m η = 48.9	x: 2.433 m η = 2.4	x: 0 m η = 0.6	x: 2.433 m η = 0.2	η < 0.1	η < 0.1	η < 0.1	x: 0 m η = 52.2	η < 0.1	η = 0.1	x: 2.433 m η = 0.2	x: 2.433 m η = 0.2	CUMPLE h = 52.2
N88/N92	$\bar{\lambda}$ < 2.0 Cumple	x: 2.976 m η = 1.8	x: 0 m η = 3.8	x: 2.976 m η = 2.7	x: 2.976 m η = 0.3	x: 2.976 m η = 0.2	η < 0.1	η < 0.1	η < 0.1	x: 0 m η = 4.8	η < 0.1	η = 0.2	x: 2.976 m η = 0.2	x: 2.976 m η = 0.2	CUMPLE h = 4.8
N92/N89	$\bar{\lambda}$ < 2.0 Cumple	x: 2.431 m η = 3.2	x: 0 m η = 9.1	x: 0 m η = 2.5	x: 0 m η = 0.6	x: 0 m η = 0.2	η < 0.1	η < 0.1	η < 0.1	x: 0 m η = 12.1	η < 0.1	η = 0.1	x: 0 m η = 0.2	x: 0 m η = 0.2	CUMPLE h = 12.1

AJUNTAMENT D'OLERDOLA
Aquest document és una còpia simple del document electrònic original.

Codi Segur de Verificació:
62ffb294-fe9f-412a-95ff-e789b2359074
Origen: Administració
Identificador document: ES_L01081000_2026_28828185
Data d'impressió: 03/11/2026 13:44:57
Pàgina 174 de 247

SIGNATURES
1.- ESTEVE AYMERICH (R: J62755897), 27/07/2026 11:04

Listados

Cobriment de pista a Sant Pere Molanta (Olèrdola) Fecha: 10/03/26

Barras	COMPROBACIONES (CTE DB SE-A)													Estado
	$\bar{\lambda}$	N_t	N_c	M_y	M_z	V_z	V_y	M_yV_z	M_zV_y	NM_yM_z	$NM_yM_zV_yV_z$	M_t	M_yV_z	M_zV_y	
N93/N90	$\bar{\lambda}$ < 2.0 Cumple	x: 2.431 m η = 66.4	x: 0 m η = 19.3	x: 2.431 m η = 4.4	x: 0 m η = 0.3	x: 2.431 m η = 0.4	η < 0.1	η < 0.1	η < 0.1	x: 2.431 m η = 71.0	η < 0.1	η = 0.1	x: 2.431 m η = 0.4	x: 2.431 m η = 0.4	CUMPLE h = 71.0
N95/N94	$\bar{\lambda}$ < 2.0 Cumple	x: 2.286 m η = 36.4	x: 0 m η = 17.3	x: 1.143 m η = 0.8	x: 0 m η = 0.6	x: 0 m η = 0.1	η < 0.1	η < 0.1	η < 0.1	x: 0.952 m η = 37.3	η < 0.1	η = 0.2	x: 0 m η = 0.1	x: 0 m η = 0.1	CUMPLE h = 37.3
N95/N113	$\bar{\lambda}$ < 2.0 Cumple	x: 1.773 m η = 6.8	x: 0 m η = 33.6	x: 0 m η = 4.6	x: 0 m η = 1.3	x: 1.773 m η = 0.4	η = 0.1	η < 0.1	η < 0.1	x: 0 m η = 39.8	η < 0.1	η = 0.2	x: 1.773 m η = 0.4	x: 1.773 m η = 0.4	CUMPLE h = 39.8
N96/N113	$\bar{\lambda}$ < 2.0 Cumple	x: 2.12 m η = 31.6	x: 0 m η = 15.7	x: 2.12 m η = 3.4	x: 0 m η = 1.0	x: 0 m η = 0.3	η = 0.1	η < 0.1	η < 0.1	x: 2.12 m η = 35.5	η < 0.1	η = 0.3	x: 0 m η = 0.3	x: 0 m η = 0.3	CUMPLE h = 35.5
N96/N114	$\bar{\lambda}$ < 2.0 Cumple	x: 1.656 m η = 6.5	x: 0 m η = 29.1	x: 0 m η = 5.0	x: 0 m η = 3.2	x: 1.656 m η = 0.4	η = 0.3	η < 0.1	η < 0.1	x: 0 m η = 36.8	η < 0.1	η = 0.1	x: 1.656 m η = 0.4	x: 1.656 m η = 0.4	CUMPLE h = 36.8
N97/N114	$\bar{\lambda}$ < 2.0 Cumple	x: 1.981 m η = 24.4	x: 0 m η = 10.8	x: 1.981 m η = 2.8	x: 1.981 m η = 2.4	x: 0 m η = 0.2	η = 0.2	η < 0.1	η < 0.1	x: 1.981 m η = 29.5	η < 0.1	M_{Ed} = 0.00 N.P.(1)	N.P.(2)	N.P.(2)	CUMPLE h = 29.5
N97/N115	$\bar{\lambda}$ < 2.0 Cumple	x: 1.547 m η = 5.6	x: 0 m η = 22.3	x: 0 m η = 3.7	x: 0 m η = 3.0	x: 1.547 m η = 0.3	η = 0.2	η < 0.1	η < 0.1	x: 0 m η = 28.3	η < 0.1	η = 0.3	x: 1.547 m η = 0.3	x: 1.547 m η = 0.3	CUMPLE h = 28.3
N98/N115	$\bar{\lambda}$ < 2.0 Cumple	x: 1.85 m η = 17.3	x: 0 m η = 6.8	x: 1.85 m η = 2.8	x: 0 m η = 1.7	x: 0 m η = 0.2	η = 0.1	η < 0.1	η < 0.1	x: 1.85 m η = 21.0	η < 0.1	η = 0.1	x: 0 m η = 0.2	x: 0 m η = 0.2	CUMPLE h = 21.0
N98/N116	$\bar{\lambda}$ < 2.0 Cumple	x: 1.445 m η = 4.6	x: 0 m η = 16.8	x: 0 m η = 3.2	x: 0 m η = 1.8	x: 1.445 m η = 0.2	η = 0.2	η < 0.1	η < 0.1	x: 0 m η = 21.3	η < 0.1	η = 0.3	x: 1.445 m η = 0.2	x: 1.445 m η = 0.2	CUMPLE h = 21.3
N99/N116	$\bar{\lambda}$ < 2.0 Cumple	x: 1.728 m η = 12.4	x: 0 m η = 5.0	x: 1.728 m η = 2.6	x: 0 m η = 0.9	x: 0 m η = 0.2	η = 0.1	η < 0.1	η < 0.1	x: 1.728 m η = 15.4	η < 0.1	η < 0.1	x: 0 m η = 0.2	x: 0 m η = 0.2	CUMPLE h = 15.4
N99/N117	$\bar{\lambda}$ < 2.0 Cumple	x: 1.35 m η = 3.6	x: 0 m η = 11.5	x: 0 m η = 2.5	x: 1.35 m η = 1.1	x: 1.35 m η = 0.2	η = 0.1	η < 0.1	η < 0.1	x: 0 m η = 14.6	η < 0.1	η = 0.1	x: 1.35 m η = 0.2	x: 1.35 m η = 0.2	CUMPLE h = 14.6
N100/N117	$\bar{\lambda}$ < 2.0 Cumple	x: 1.615 m η = 7.5	x: 0 m η = 3.3	x: 1.615 m η = 2.6	x: 0 m η = 0.4	x: 0 m η = 0.2	η < 0.1	η < 0.1	η < 0.1	x: 1.615 m η = 10.2	η < 0.1	η = 0.1	x: 0 m η = 0.2	x: 0 m η = 0.2	CUMPLE h = 10.2
N100/N118	$\bar{\lambda}$ < 2.0 Cumple	x: 1.261 m η = 2.6	x: 0 m η = 6.5	x: 0 m η = 1.8	x: 1.261 m η = 0.8	x: 1.261 m η = 0.1	η = 0.1	η < 0.1	η < 0.1	x: 0 m η = 8.4	η < 0.1	η = 0.2	x: 1.261 m η = 0.1	x: 1.261 m η = 0.1	CUMPLE h = 8.4
N101/N118	$\bar{\lambda}$ < 2.0 Cumple	x: 1.508 m η = 3.2	x: 0 m η = 1.9	x: 1.508 m η = 2.3	x: 1.508 m η = 0.3	x: 0 m η = 0.1	η < 0.1	η < 0.1	η < 0.1	x: 1.508 m η = 5.7	η < 0.1	η = 0.2	x: 0 m η = 0.1	x: 0 m η = 0.1	CUMPLE h = 5.7
N101/N119	$\bar{\lambda}$ < 2.0 Cumple	x: 1.189 m η = 1.6	x: 0 m η = 1.7	x: 0 m η = 1.6	x: 0 m η = 0.4	x: 1.189 m η = 0.1	η < 0.1	η < 0.1	η < 0.1	x: 0 m η = 3.5	η < 0.1	η = 0.2	x: 1.189 m η = 0.1	x: 1.189 m η = 0.1	CUMPLE h = 3.5
N102/N119	$\bar{\lambda}$ < 2.0 Cumple	x: 1.408 m η = 2.1	x: 0 m η = 7.0	x: 1.056 m η = 2.9	x: 0 m η = 0.3	x: 0 m η = 0.1	η < 0.1	η < 0.1	η < 0.1	x: 1.056 m η = 10.0	η < 0.1	η = 0.2	x: 0 m η = 0.1	x: 0 m η = 0.1	CUMPLE h = 10.0
N102/N120	$\bar{\lambda}$ < 2.0 Cumple	x: 1.1 m η = 4.4	x: 0 m η = 1.0	x: 1.1 m η = 9.2	x: 0 m η = 0.4	x: 0 m η = 1.0	η < 0.1	η < 0.1	η < 0.1	x: 1.1 m η = 13.8	η < 0.1	η = 0.2	x: 0 m η = 1.0	x: 0 m η = 1.0	CUMPLE h = 13.8
N103/N120	$\bar{\lambda}$ < 2.0 Cumple	x: 1.324 m η < 0.1	x: 0 m η < 0.1	x: 1.324 m η = 4.6	x: 1.324 m η = 0.1	x: 0 m η = 0.3	η < 0.1	η < 0.1	x: 0.441 m η < 0.1	x: 1.324 m η = 4.7	η < 0.1	M_{Ed} = 0.00 N.P.(1)	N.P.(2)	N.P.(2)	CUMPLE h = 4.7
N103/N121	x: 0 m $\bar{\lambda}$ < 2.0 Cumple	x: 1.034 m η = 0.1	x: 0 m η < 0.1	x: 0 m η = 1.1	x: 1.034 m η = 0.1	x: 1.034 m η = 0.1	η < 0.1	η < 0.1	x: 0.172 m η < 0.1	x: 0 m η = 1.2	η < 0.1	M_{Ed} = 0.00 N.P.(1)	N.P.(2)	N.P.(2)	CUMPLE h = 1.2
N104/N121	$\bar{\lambda}$ < 2.0 Cumple	x: 1.217 m η = 2.9	x: 0 m η = 15.8	x: 0 m η = 7.1	x: 1.217 m η = 0.3	x: 1.217 m η = 0.7	η < 0.1	η < 0.1	η < 0.1	x: 0 m η = 23.2	η < 0.1	η = 0.2	x: 1.217 m η = 0.7	x: 1.217 m η = 0.7	CUMPLE h = 23.2
N104/N122	$\bar{\lambda}$ < 2.0 Cumple	x: 0.96 m η = 14.1	x: 0 m η = 2.5	x: 0.96 m η = 6.3	x: 0 m η = 0.2	x: 0 m η = 0.8	η < 0.1	η < 0.1	η < 0.1	x: 0.96 m η = 20.5	η < 0.1	η = 0.2	x: 0 m η = 0.8	x: 0 m η = 0.8	CUMPLE h = 20.5
N105/N122	$\bar{\lambda}$ < 2.0 Cumple	x: 1.148 m η = 3.0	x: 0 m η = 18.9	x: 0 m η = 3.1	x: 1.148 m η = 0.4	x: 1.148 m η = 0.2	η < 0.1	η < 0.1	η < 0.1	x: 0 m η = 22.2	η < 0.1	η = 0.1	x: 1.148 m η = 0.2	x: 1.148 m η = 0.2	CUMPLE h = 22.2
N105/N123	$\bar{\lambda}$ < 2.0 Cumple	x: 0.898 m η = 13.3	x: 0 m η = 2.3	x: 0.898 m η = 7.3	x: 0.898 m η = 0.1	x: 0 m η = 0.9	η < 0.1	η < 0.1	η < 0.1	x: 0.898 m η = 20.6	η < 0.1	η = 0.1	x: 0 m η = 0.9	x: 0 m η = 0.9	CUMPLE h = 20.6
N106/N123	$\bar{\lambda}$ < 2.0 Cumple	x: 1.073 m η = 4.0	x: 0 m η = 22.9	x: 0 m η = 4.1	x: 1.073 m η = 0.4	x: 1.073 m η = 0.3	η < 0.1	η < 0.1	η < 0.1	x: 0 m η = 27.3	η < 0.1	η = 0.1	x: 1.073 m η = 0.3	x: 1.073 m η = 0.3	CUMPLE h = 27.3
N106/N124	$\bar{\lambda}$ < 2.0 Cumple	x: 0.838 m η = 17.7	x: 0 m η = 3.3	x: 0.838 m η = 9.4	x: 0 m η = 0.3	x: 0 m η = 1.4	η < 0.1	η < 0.1	η < 0.1	x: 0.838 m η = 27.2	η < 0.1	η < 0.1	x: 0 m η = 1.4	x: 0 m η = 1.4	CUMPLE h = 27.2
N107/N124	$\bar{\lambda}$ < 2.0 Cumple	x: 1.002 m η = 4.9	x: 0 m η = 27.3	x: 0 m η = 5.1	x: 0 m η = 0.4	x: 1.002 m η = 0.5	η < 0.1	η < 0.1	η < 0.1	x: 0 m η = 32.9	η < 0.1	η = 0.1	x: 1.002 m η = 0.5	x: 1.002 m η = 0.5	CUMPLE h = 32.9
N107/N125	$\bar{\lambda}$ < 2.0 Cumple	x: 0.788 m η = 21.3	x: 0 m η = 4.0	x: 0.788 m η = 10.6	x: 0.788 m η = 0.7	x: 0 m η = 1.7	η = 0.1	η < 0.1	η < 0.1	x: 0.788 m η = 32.4	η < 0.1	η = 0.1	x: 0 m η = 1.7	x: 0 m η = 1.7	CUMPLE h = 32.4
N108/N125	$\bar{\lambda}$ < 2.0 Cumple	x: 0.935 m η = 6.3	x: 0 m η = 32.4	x: 0 m η = 5.5	x: 0 m η = 0.8	x: 0.935 m η = 0.6	η = 0.1	η < 0.1	η < 0.1	x: 0 m η = 38.7	η < 0.1	η = 0.1	x: 0.935 m η = 0.6	x: 0.935 m η = 0.6	CUMPLE h = 38.7
N108/N126	$\bar{\lambda}$ < 2.0 Cumple	x: 0.741 m η = 26.0	x: 0 m η = 5.5	x: 0.741 m η = 12.3	x: 0 m η = 0.6	x: 0 m η = 2.2	η = 0.1	η < 0.1	η < 0.1	x: 0.741 m η = 38.3	η < 0.1	η = 0.2	x: 0 m η = 2.2	x: 0 m η = 2.2	CUMPLE h = 38.3
N109/N126	$\bar{\lambda}$ < 2.0 Cumple	x: 0.873 m η = 6.8	x: 0 m η = 36.1	x: 0 m η = 6.5	x: 0 m η = 0.8	x: 0.873 m η = 0.9	η = 0.1	η < 0.1	η < 0.1	x: 0 m η = 43.4	η < 0.1	η = 0.2	x: 0.873 m η = 0.9	x: 0.873 m η = 0.9	CUMPLE h = 43.4
N109/N127	$\bar{\lambda}$ < 2.0 Cumple	x: 0.682 m η = 28.4	x: 0 m η = 5.5	x: 0.682 m η = 14.5	x: 0.682 m η = 4.2	x: 0 m η = 2.9	η = 0.6	η < 0.1	η < 0.1	x: 0.682 m η = 47.1	η < 0.1	η = 1.0	x: 0 m η = 2.9	x: 0 m η = 2.9	CUMPLE h = 47.1
N110/N127	$\bar{\lambda}$ < 2.0 Cumple	x: 0.815 m η = 8.3	x: 0 m η = 41.1	x: 0 m η = 6.9	x: 0.815 m η = 3.5	x: 0.815 m η = 1.1	η = 0.4	η < 0.1	η < 0.1	x: 0 m η = 48.9	η < 0.1	η = 0.9	x: 0.815 m η = 1.1	x: 0.815 m η = 1.1	CUMPLE h = 48.9
N110/N128	$\bar{\lambda}$ < 2.0 Cumple	x: 0.637 m η = 34.7	x: 0 m η = 7.3	x: 0.637 m η = 16.7	x: 0.637 m η = 0.7	x: 0 m η = 3.6	η = 0.1	η < 0.1	η < 0.1	x: 0.637 m η = 51.7	η < 0.1	η = 0.3	x: 0 m η = 3.6	x: 0 m η = 3.6	CUMPLE h = 51.7
N111/N128	$\bar{\lambda}$ < 2.0 Cumple	x: 0.762 m η = 9.0	x: 0 m η = 45.8	x: 0 m η = 10.2	x: 0.762 m η = 1.2	x: 0.762 m η = 1.8	η = 0.2	η < 0.1	η < 0.1	x: 0 m η = 56.8	η < 0.1	η = 0.2	x: 0.762 m η = 1.8	x: 0.762 m η = 1.8	CUMPLE h = 56.8
N111/N129	$\bar{\lambda}$ < 2.0 Cumple	x: 0.781 m η = 39.3	x: 0 m η = 8.4	x: 0 m η = 9.5	x: 0.781 m η = 2.6	x: 0 m η = 1.7	η = 0.3	η < 0.1	η < 0.1	x: 0.781 m η = 50.1	η < 0.1	η = 1.2	x: 0 m η = 1.7	x: 0 m η = 1.7	CUMPLE h = 50.1
N134/N131	$\bar{\lambda}$ < 2.0 Cumple	x: 2.433 m η = 10.6	x: 0 m η = 48.3	x: 2.433 m η = 2.4	x: 0 m η = 0.6	x: 2.433 m η = 0.2	η < 0.1	η < 0.1	η < 0.1	x: 0 m η = 51.6	η < 0.1	η = 0.1	x: 2.433 m η = 0.2	x: 2.433 m η = 0.2	CUMPLE h = 51.6
N131/N135	$\bar{\lambda}$ < 2.0 Cumple	x: 2.976 m η = 1.8	x: 0 m η = 4.0	x: 2.976 m η = 2.7	x: 2.976 m η = 0.2	x: 2.976 m η = 0.2	η < 0.1	η < 0.1	η < 0.1	x: 0 m η = 5.1	η < 0.1	η = 0.2	x: 2.976 m η = 0.2	x: 2.976 m η = 0.2	CUMPLE h = 5.1
N135/N132	$\bar{\lambda}$ < 2.0 Cumple	x: 2.431 m η = 3.4	x: 0 m η = 8.9	x: 0 m η = 2.4	x: 0 m η = 0.6	x: 0 m η = 0.2	η < 0.1	η < 0.1	η < 0.1	x: 0 m η = 11.9	η < 0.1	η = 0.1	x: 0 m η = 0.2	x: 0 m η = 0.2	CUMPLE h = 11.9
N136/N133	$\bar{\lambda}$ < 2.0 Cumple	x: 2.431 m η = 66.1	x: 0 m η = 20.1	x: 2.431 m η = 4.3	x: 2.431 m η = 0.2	x: 2.431 m η = 0.4	η < 0.1	η < 0.1	η < 0.1	x: 2.431 m η = 70.7	η < 0.1	η = 0.1	x: 2.431 m η = 0.4	x: 2.431 m η = 0.4	CUMPLE h = 70.7
N138/N137	$\bar{\lambda}$ < 2.0 Cumple	x: 2.286 m η = 36.5	x: 0 m η = 17.4	x: 1.143 m η = 0.7	x: 0 m η = 0.6	x: 0 m η = 0.1	η < 0.1	η < 0.1	η < 0.1	x: 0.952 m η = 37.3	η < 0.1	η = 0.3	x: 0 m η = 0.1	x: 0 m η = 0.1	CUMPLE h = 37.3
N138/N156	$\bar{\lambda}$ < 2.0 Cumple	x: 1.773 m η = 6.9	x: 0 m η = 33.6	x: 0 m η = 4.6	x: 0 m η = 1.4	x: 1.773 m η = 0.4	η = 0.1	η < 0.1	η < 0.1	x: 0 m η = 40.0	η < 0.1	η = 0.2	x: 1.773 m η = 0.4	x: 1.773 m η = 0.4	CUMPLE h = 40.0
N139/N156	$\bar{\lambda}$ < 2.0 Cumple	x: 2.12 m η = 31.6	x: 0 m η = 15.8	x: 2.12 m η = 3.4	x: 0 m η = 1.0	x: 0 m η = 0.3	η = 0.1	η < 0.1	η < 0.1	x: 2.12 m η = 35.7	η < 0.1	η = 0.3	x: 0 m η = 0.3	x: 0 m η = 0.3	CUMPLE h = 35.7
N139/N157	$\bar{\lambda}$ < 2.0 Cumple	x: 1.656 m η = 6.5	x: 0 m η = 29.2	x: 0 m η = 5.0	x: 0 m η = 3.3	x: 1.656 m η = 0.4	η = 0.3	η < 0.1	η < 0.1	x: 0 m η = 37.0	η < 0.1	η = 0.1	x: 1.656 m η = 0.4	x: 1.656 m η = 0.4	CUMPLE h = 37.0
N140/N157	$\bar{\lambda}$ < 2.0 Cumple	x: 1.981 m η = 24.4	x: 0 m η = 10.9	x: 1.981 m η = 2.8	x: 0 m η = 2.4	x: 0 m η = 0.2	η = 0.2	η < 0.1	η < 0.1	x: 1.981 m η = 29.5	η < 0.1	η < 0.1	x: 0 m η = 0.2	x: 0 m η = 0.2	CUMPLE h = 29.5
N140/N158	$\bar{\lambda}$ < 2.0 Cumple	x: 1.547 m η = 5.6	x: 0 m η = 22.4	x: 0 m η = 3.7	x: 0 m η = 3.0	x: 1.547 m η = 0.3	η = 0.2	η < 0.1	η < 0.1	x: 0 m η = 28.4	η < 0.1	η = 0.3	x: 1.547 m η = 0.3	x: 1.547 m η = 0.3	CUMPLE h = 28.4
N141/N158	$\bar{\lambda}$ < 2.0 Cumple	x: 1.85 m η = 17.3	x: 0 m η = 6.8	x: 1.85 m η = 2.8	x: 0 m η = 1.7	x: 0 m η = 0.2	η = 0.1	η < 0.1	η < 0.1	x: 1.85 m η = 21.0	η < 0.1	η = 0.1	x: 0 m η = 0.2	x: 0 m η = 0.2	CUMPLE h = 21.0
N141/N159	$\bar{\lambda}$ < 2.0 Cumple	x: 1.445 m η = 4.6	x: 0 m η = 16.8	x: 0 m η = 3.2	x: 0 m η = 1.8	x: 1.445 m η = 0.2	η = 0.2	η < 0.1	η < 0.1	x: 0 m η = 21.4	η < 0.1	η = 0.3	x: 1.445 m η = 0.2	x: 1.445 m η = 0.2	CUMPLE h = 21.4
N142/N159	$\bar{\lambda}$ < 2.0 Cumple	x: 1.728 m η = 12.4	x: 0 m η = 5.0	x: 1.728 m η = 2.6	x: 0 m η = 0.9	x: 0 m η = 0.2	η < 0.1	η < 0.1	x: 0 m η < 0.1	x: 1.728 m η = 15.4	η < 0.1	η < 0.1	x: 0 m η = 0.2	x: 0 m η = 0.2	CUMPLE h = 15.4
N142/N160	$\bar{\lambda}$ < 2.0 Cumple	x: 1.35 m η = 3.6	x: 0 m η = 11.5	x: 0 m η = 2.5	x: 1.35 m η = 1.1	x: 1.35 m η = 0.2	η = 0.1	η < 0.1	η < 0.1	x: 0 m η = 14.6	η < 0.1	η = 0.1	x: 1.35 m η = 0.2	x: 1.35 m η = 0.2	CUMPLE h = 14.6
N143/N160	$\bar{\lambda}$ < 2.0 Cumple	x: 1.615 m η = 7.6	x: 0 m η = 3.4	x: 1.615 m η = 2.6	x: 0 m η = 0.3	x: 0 m η = 0.2	η < 0.1	η < 0.1	η < 0.1	x: 1.615 m η = 10.2	η < 0.1	η = 0.1	x: 0 m η = 0.2	x: 0 m η = 0.2	CUMPLE h = 10.2
N143/N161	$\bar{\lambda}$ < 2.0 Cumple	x: 1.261 m η = 2.6	x: 0 m η = 6.6	x: 0 m η = 1.8	x: 1.261 m η = 0.8	x: 1.261 m η = 0.1	η = 0.1	η < 0.1	η < 0.1	x: 0 m η = 8.4	η < 0.1	η = 0.1	x: 1.261 m η = 0.1	x: 1.261 m η = 0.1	CUMPLE h = 8.4

AJUNTAMENT D'OLERDOLA
Aquest document és una còpia simple del document electrònic original.

Codi Segur de Verificació:
62ffb294-fe9f-412a-95ff-e789b2359074
Origen: Administració
Identificador document: ES_L01081000_2026_28828185
Data d'impressió: 03/11/2026 13:44:57
Pàgina 175 de 247

SIGNATURES
1.- ESTEVE AYMERICH (R: J62755897), 27/07/2026 11:04

AJUNTAMENT D'OLERDOLA
Aquest document és una còpia simple del document electrònic original.

Listados

Cobriment de pista a Sant Pere Molanta (Olèrdola)

Fecha: 10/03/26

Barras	COMPROBACIONES (CTE DB SE-A)														Estado
	$\bar{\lambda}$	N_t	N_c	M_y	M_z	V_z	V_y	M_yV_z	M_zV_y	NM_yM_z	$NM_yM_zV_yV_z$	M_t	M_yV_z	M_zV_y	
N144/N161	$\bar{\lambda}$ < 2.0 Cumple	x: 1.508 m η = 3.3	x: 0 m η = 1.9	x: 1.508 m η = 2.3	x: 1.508 m η = 0.1	x: 0 m η = 0.1	η < 0.1	η < 0.1	η < 0.1	x: 1.508 m η = 5.7	η < 0.1	η = 0.2	x: 0 m η = 0.1	x: 0 m η = 0.1	CUMPLE h = 5.7
N144/N162	$\bar{\lambda}$ < 2.0 Cumple	x: 1.189 m η = 1.6	x: 0 m η = 1.7	x: 0 m η = 1.6	x: 0 m η = 0.3	x: 1.189 m η = 0.1	η < 0.1	η < 0.1	η < 0.1	x: 0 m η = 3.5	η < 0.1	η = 0.1	x: 1.189 m η = 0.1	x: 1.189 m η = 0.1	CUMPLE h = 3.5
N145/N162	$\bar{\lambda}$ < 2.0 Cumple	x: 1.408 m η = 2.2	x: 0 m η = 6.9	x: 1.056 m η = 2.9	x: 0 m η = 0.2	x: 0 m η = 0.1	η < 0.1	η < 0.1	η < 0.1	x: 0.88 m η = 9.9	η < 0.1	η = 0.1	x: 0 m η = 0.1	x: 0 m η = 0.1	CUMPLE h = 9.9
N145/N163	$\bar{\lambda}$ < 2.0 Cumple	x: 1.1 m η = 4.4	x: 0 m η = 1.1	x: 1.1 m η = 9.2	x: 0 m η = 0.4	x: 0 m η = 0.9	η < 0.1	η < 0.1	η < 0.1	x: 1.1 m η = 13.7	η < 0.1	η = 0.1	x: 0 m η = 0.9	x: 0 m η = 0.9	CUMPLE h = 13.7
N146/N163	$\bar{\lambda}$ < 2.0 Cumple	x: 1.324 m η < 0.1	x: 0 m η < 0.1	x: 1.324 m η = 4.6	x: 1.324 m η < 0.1	x: 0 m η = 0.3	η < 0.1	η < 0.1	x: 1.103 m η < 0.1	x: 1.324 m η = 4.7	η < 0.1	M_{Ed} = 0.00 N.P.[1]	N.P.[2]	N.P.[2]	CUMPLE h = 4.7
N146/N164	x: 0 m $\bar{\lambda}$ < 2.0 Cumple	x: 1.034 m η = 0.1	x: 0 m η < 0.1	x: 0 m η = 1.1	x: 1.034 m η < 0.1	x: 1.034 m η = 0.1	η < 0.1	η < 0.1	x: 0.689 m η < 0.1	x: 0 m η = 1.2	η < 0.1	M_{Ed} = 0.00 N.P.[1]	N.P.[2]	N.P.[2]	CUMPLE h = 1.2
N147/N164	$\bar{\lambda}$ < 2.0 Cumple	x: 1.217 m η = 3.1	x: 0 m η = 15.7	x: 0 m η = 7.0	x: 0 m η = 0.1	x: 1.217 m η = 0.7	η < 0.1	η < 0.1	η < 0.1	x: 0 m η = 23.2	η < 0.1	η = 0.1	x: 1.217 m η = 0.7	x: 1.217 m η = 0.7	CUMPLE h = 23.2
N147/N165	$\bar{\lambda}$ < 2.0 Cumple	x: 0.96 m η = 14.1	x: 0 m η = 2.6	x: 0.96 m η = 6.3	x: 0 m η = 0.2	x: 0 m η = 0.8	η < 0.1	η < 0.1	η < 0.1	x: 0.96 m η = 20.5	η < 0.1	η = 0.1	x: 0 m η = 0.8	x: 0 m η = 0.8	CUMPLE h = 20.5
N148/N165	$\bar{\lambda}$ < 2.0 Cumple	x: 1.148 m η = 3.0	x: 0 m η = 18.9	x: 0 m η = 3.1	x: 1.148 m η = 0.2	x: 1.148 m η = 0.2	η < 0.1	η < 0.1	η < 0.1	x: 0 m η = 22.1	η < 0.1	η = 0.1	x: 1.148 m η = 0.2	x: 1.148 m η = 0.2	CUMPLE h = 22.1
N148/N166	$\bar{\lambda}$ < 2.0 Cumple	x: 0.898 m η = 13.3	x: 0 m η = 2.3	x: 0.898 m η = 7.2	x: 0 m η = 0.2	x: 0 m η = 0.9	η < 0.1	η < 0.1	η < 0.1	x: 0.898 m η = 20.6	η < 0.1	η < 0.1	x: 0 m η = 0.9	x: 0 m η = 0.9	CUMPLE h = 20.6
N149/N166	$\bar{\lambda}$ < 2.0 Cumple	x: 1.073 m η = 4.0	x: 0 m η = 22.8	x: 0 m η = 4.1	x: 1.073 m η = 0.3	x: 1.073 m η = 0.3	η < 0.1	η < 0.1	η < 0.1	x: 0 m η = 27.3	η < 0.1	η < 0.1	x: 1.073 m η = 0.2	x: 1.073 m η = 0.2	CUMPLE h = 27.3
N149/N167	$\bar{\lambda}$ < 2.0 Cumple	x: 0.838 m η = 17.7	x: 0 m η = 3.4	x: 0.838 m η = 9.4	x: 0 m η = 0.4	x: 0 m η = 1.4	η < 0.1	η < 0.1	η < 0.1	x: 0.838 m η = 27.2	η < 0.1	η < 0.1	x: 0 m η = 1.4	x: 0 m η = 1.4	CUMPLE h = 27.2
N150/N167	$\bar{\lambda}$ < 2.0 Cumple	x: 1.002 m η = 4.9	x: 0 m η = 27.3	x: 0 m η = 5.1	x: 0 m η = 0.3	x: 1.002 m η = 0.5	η < 0.1	η < 0.1	η < 0.1	x: 0 m η = 32.8	η < 0.1	η = 0.1	x: 1.002 m η = 0.5	x: 1.002 m η = 0.5	CUMPLE h = 32.8
N150/N168	$\bar{\lambda}$ < 2.0 Cumple	x: 0.788 m η = 21.3	x: 0 m η = 4.0	x: 0.788 m η = 10.6	x: 0 m η = 0.7	x: 0 m η = 1.7	η = 0.1	η < 0.1	η < 0.1	x: 0.788 m η = 32.4	η < 0.1	η = 0.1	x: 0 m η = 1.7	x: 0 m η = 1.7	CUMPLE h = 32.4
N151/N168	$\bar{\lambda}$ < 2.0 Cumple	x: 0.935 m η = 6.4	x: 0 m η = 32.4	x: 0 m η = 5.5	x: 0 m η = 0.7	x: 0.935 m η = 0.6	η = 0.1	η < 0.1	η < 0.1	x: 0 m η = 38.7	η < 0.1	η = 0.1	x: 0.935 m η = 0.6	x: 0.935 m η = 0.6	CUMPLE h = 38.7
N151/N169	$\bar{\lambda}$ < 2.0 Cumple	x: 0.741 m η = 26.0	x: 0 m η = 5.5	x: 0.741 m η = 12.3	x: 0 m η = 0.5	x: 0 m η = 2.2	η = 0.1	η < 0.1	η < 0.1	x: 0.741 m η = 38.4	η < 0.1	η = 0.2	x: 0 m η = 2.2	x: 0 m η = 2.2	CUMPLE h = 38.4
N152/N169	$\bar{\lambda}$ < 2.0 Cumple	x: 0.873 m η = 6.8	x: 0 m η = 36.0	x: 0 m η = 6.5	x: 0 m η = 0.7	x: 0.873 m η = 0.9	η = 0.1	η < 0.1	η < 0.1	x: 0 m η = 43.3	η < 0.1	η = 0.2	x: 0.873 m η = 0.9	x: 0.873 m η = 0.9	CUMPLE h = 43.3
N152/N170	$\bar{\lambda}$ < 2.0 Cumple	x: 0.682 m η = 28.3	x: 0 m η = 5.5	x: 0.682 m η = 14.5	x: 0.682 m η = 3.9	x: 0 m η = 2.9	η = 0.6	η < 0.1	η < 0.1	x: 0.682 m η = 46.7	η < 0.1	η = 0.8	x: 0 m η = 2.9	x: 0 m η = 2.9	CUMPLE h = 46.7
N153/N170	$\bar{\lambda}$ < 2.0 Cumple	x: 0.815 m η = 8.3	x: 0 m η = 41.0	x: 0 m η = 6.9	x: 0.815 m η = 3.2	x: 0.815 m η = 1.1	η = 0.4	η < 0.1	η < 0.1	x: 0 m η = 48.9	η < 0.1	η = 0.8	x: 0.815 m η = 1.1	x: 0.815 m η = 1.1	CUMPLE h = 48.9
N153/N171	$\bar{\lambda}$ < 2.0 Cumple	x: 0.637 m η = 34.6	x: 0 m η = 7.3	x: 0.637 m η = 16.7	x: 0 m η = 0.5	x: 0 m η = 3.6	η = 0.1	η < 0.1	η < 0.1	x: 0.637 m η = 51.6	η < 0.1	η = 0.2	x: 0 m η = 3.6	x: 0 m η = 3.6	CUMPLE h = 51.6
N154/N171	$\bar{\lambda}$ < 2.0 Cumple	x: 0.762 m η = 9.1	x: 0 m η = 45.8	x: 0 m η = 10.2	x: 0.762 m η = 1.0	x: 0.762 m η = 1.8	η = 0.1	η < 0.1	η < 0.1	x: 0 m η = 56.7	η < 0.1	η = 0.2	x: 0.762 m η = 1.8	x: 0.762 m η = 1.8	CUMPLE h = 56.7
N154/N172	$\bar{\lambda}$ < 2.0 Cumple	x: 0.781 m η = 39.3	x: 0 m η = 8.4	x: 0 m η = 9.5	x: 0.781 m η = 2.8	x: 0 m η = 1.7	η = 0.3	η < 0.1	η < 0.1	x: 0.781 m η = 50.3	η < 0.1	η = 1.1	x: 0 m η = 1.7	x: 0 m η = 1.7	CUMPLE h = 50.3
N177/N174	$\bar{\lambda}$ < 2.0 Cumple	x: 2.433 m η = 10.8	x: 0 m η = 47.7	x: 2.433 m η = 2.4	x: 0 m η = 0.6	x: 2.433 m η = 0.2	η < 0.1	η < 0.1	η < 0.1	x: 0 m η = 51.0	η < 0.1	η = 0.1	x: 2.433 m η = 0.2	x: 2.433 m η = 0.2	CUMPLE h = 51.0
N174/N178	$\bar{\lambda}$ < 2.0 Cumple	x: 2.976 m η = 1.7	x: 0 m η = 4.1	x: 2.976 m η = 2.7	x: 2.976 m η = 0.2	x: 2.976 m η = 0.2	η < 0.1	η < 0.1	η < 0.1	x: 0 m η = 5.1	η < 0.1	η = 0.2	x: 2.976 m η = 0.2	x: 2.976 m η = 0.2	CUMPLE h = 5.1
N178/N175	$\bar{\lambda}$ < 2.0 Cumple	x: 2.431 m η = 3.4	x: 0 m η = 8.7	x: 0 m η = 2.4	x: 0 m η = 0.6	x: 0 m η = 0.2	η < 0.1	η < 0.1	η < 0.1	x: 0 m η = 11.6	η < 0.1	η = 0.1	x: 0 m η = 0.2	x: 0 m η = 0.2	CUMPLE h = 11.6
N179/N176	$\bar{\lambda}$ < 2.0 Cumple	x: 2.431 m η = 65.8	x: 0 m η = 20.5	x: 2.431 m η = 4.3	x: 2.431 m η = 0.2	x: 2.431 m η = 0.4	η < 0.1	η < 0.1	η < 0.1	x: 2.431 m η = 70.3	η < 0.1	η = 0.1	x: 2.431 m η = 0.4	x: 2.431 m η = 0.4	CUMPLE h = 70.3
N181/N180	$\bar{\lambda}$ < 2.0 Cumple	x: 2.286 m η = 36.6	x: 0 m η = 17.6	x: 1.143 m η = 0.8	x: 0 m η = 0.7	x: 0 m η = 0.1	η < 0.1	η < 0.1	η < 0.1	x: 0.762 m η = 37.5	η < 0.1	η = 0.3	x: 0 m η = 0.1	x: 0 m η = 0.1	CUMPLE h = 37.5
N181/N199	$\bar{\lambda}$ < 2.0 Cumple	x: 1.773 m η = 6.9	x: 0 m η = 33.6	x: 0 m η = 4.6	x: 0 m η = 1.5	x: 1.773 m η = 0.4	η = 0.1	η < 0.1	η < 0.1	x: 0 m η = 40.0	η < 0.1	η = 0.2	x: 1.773 m η = 0.4	x: 1.773 m η = 0.4	CUMPLE h = 40.0
N182/N199	$\bar{\lambda}$ < 2.0 Cumple	x: 2.12 m η = 31.6	x: 0 m η = 15.7	x: 2.12 m η = 3.4	x: 0 m η = 1.1	x: 0 m η = 0.3	η = 0.1	η < 0.1	η < 0.1	x: 2.12 m η = 35.7	η < 0.1	η = 0.4	x: 0 m η = 0.3	x: 0 m η = 0.3	CUMPLE h = 35.7
N182/N200	$\bar{\lambda}$ < 2.0 Cumple	x: 1.656 m η = 6.5	x: 0 m η = 29.2	x: 0 m η = 5.0	x: 0 m η = 3.5	x: 1.656 m η = 0.4	η = 0.3	η < 0.1	η < 0.1	x: 0 m η = 37.2	η < 0.1	η = 0.1	x: 1.656 m η = 0.4	x: 1.656 m η = 0.4	CUMPLE h = 37.2
N183/N200	$\bar{\lambda}$ < 2.0 Cumple	x: 1.981 m η = 24.4	x: 0 m η = 10.9	x: 1.981 m η = 2.8	x: 0 m η = 2.5	x: 0 m η = 0.2	η = 0.2	η < 0.1	η < 0.1	x: 1.981 m η = 29.6	η < 0.1	η = 0.1	x: 0 m η = 0.2	x: 0 m η = 0.2	CUMPLE h = 29.6
N183/N201	$\bar{\lambda}$ < 2.0 Cumple	x: 1.547 m η = 5.6	x: 0 m η = 22.4	x: 0 m η = 3.7	x: 0 m η = 3.1	x: 1.547 m η = 0.3	η = 0.3	η < 0.1	η < 0.1	x: 0 m η = 28.4	η < 0.1	η = 0.3	x: 1.547 m η = 0.3	x: 1.547 m η = 0.3	CUMPLE h = 28.4
N184/N201	$\bar{\lambda}$ < 2.0 Cumple	x: 1.85 m η = 17.3	x: 0 m η = 6.8	x: 1.85 m η = 2.8	x: 0 m η = 1.7	x: 0 m η = 0.2	η = 0.1	η < 0.1	η < 0.1	x: 1.85 m η = 21.0	η < 0.1	η = 0.1	x: 0 m η = 0.2	x: 0 m η = 0.2	CUMPLE h = 21.0
N184/N202	$\bar{\lambda}$ < 2.0 Cumple	x: 1.445 m η = 4.6	x: 0 m η = 16.9	x: 0 m η = 3.2	x: 0 m η = 1.7	x: 1.445 m η = 0.2	η = 0.2	η < 0.1	η < 0.1	x: 0 m η = 21.4	η < 0.1	η = 0.3	x: 1.445 m η = 0.3	x: 1.445 m η = 0.3	CUMPLE h = 21.4
N185/N202	$\bar{\lambda}$ < 2.0 Cumple	x: 1.728 m η = 12.4	x: 0 m η = 5.0	x: 1.728 m η = 2.6	x: 0 m η = 0.9	x: 0 m η = 0.2	η < 0.1	η < 0.1	η < 0.1	x: 1.728 m η = 15.3	η < 0.1	η < 0.1	x: 0 m η = 0.2	x: 0 m η = 0.2	CUMPLE h = 15.3
N185/N203	$\bar{\lambda}$ < 2.0 Cumple	x: 1.35 m η = 3.6	x: 0 m η = 11.6	x: 0 m η = 2.5	x: 1.35 m η = 1.0	x: 1.35 m η = 0.2	η = 0.1	η < 0.1	η < 0.1	x: 0 m η = 14.6	η < 0.1	η = 0.1	x: 1.35 m η = 0.2	x: 1.35 m η = 0.2	CUMPLE h = 14.6
N186/N203	$\bar{\lambda}$ < 2.0 Cumple	x: 1.615 m η = 7.6	x: 0 m η = 3.3	x: 1.615 m η = 2.6	x: 0 m η = 0.3	x: 0 m η = 0.2	η < 0.1	η < 0.1	η < 0.1	x: 1.615 m η = 10.2	η < 0.1	η = 0.1	x: 0 m η = 0.2	x: 0 m η = 0.2	CUMPLE h = 10.2
N186/N204	$\bar{\lambda}$ < 2.0 Cumple	x: 1.261 m η = 2.6	x: 0 m η = 6.6	x: 0 m η = 1.8	x: 1.261 m η = 0.7	x: 1.261 m η = 0.1	η < 0.1	η < 0.1	η < 0.1	x: 0 m η = 8.5	η < 0.1	η < 0.1	x: 1.261 m η = 0.1	x: 1.261 m η = 0.1	CUMPLE h = 8.5
N187/N204	$\bar{\lambda}$ < 2.0 Cumple	x: 1.508 m η = 3.3	x: 0 m η = 1.9	x: 1.508 m η = 2.3	x: 1.508 m η = 0.1	x: 0 m η = 0.1	η < 0.1	η < 0.1	η < 0.1	x: 1.508 m η = 5.7	η < 0.1	η = 0.1	x: 0 m η = 0.1	x: 0 m η = 0.1	CUMPLE h = 5.7
N187/N205	$\bar{\lambda}$ < 2.0 Cumple	x: 1.189 m η = 1.6	x: 0 m η = 1.8	x: 0 m η = 1.6	x: 0.198 m η = 0.3	x: 1.189 m η = 0.1	η < 0.1	η < 0.1	η < 0.1	x: 0 m η = 3.5	η < 0.1	η = 0.1	x: 1.189 m η = 0.1	x: 1.189 m η = 0.1	CUMPLE h = 3.5
N188/N205	$\bar{\lambda}$ < 2.0 Cumple	x: 1.408 m η = 2.3	x: 0 m η = 6.9	x: 1.056 m η = 2.9	x: 0 m η = 0.2	x: 0 m η = 0.1	η < 0.1	η < 0.1	x: 0 m η < 0.1	x: 1.056 m η = 9.9	η < 0.1	η = 0.1	x: 0 m η = 0.1	x: 0 m η = 0.1	CUMPLE h = 9.9
N188/N206	$\bar{\lambda}$ < 2.0 Cumple	x: 1.1 m η = 4.3	x: 0 m η = 1.1	x: 1.1 m η = 9.2	x: 0 m η = 0.4	x: 0 m η = 0.9	η < 0.1	η < 0.1	η < 0.1	x: 1.1 m η = 13.6	η < 0.1	η = 0.1	x: 0 m η = 0.9	x: 0 m η = 0.9	CUMPLE h = 13.6
N189/N206	$\bar{\lambda}$ < 2.0 Cumple	x: 1.324 m η < 0.1	x: 0 m η < 0.1	x: 1.324 m η = 4.6	M_{Ed} = 0.00 N.P.[6]	x: 0 m η = 0.3	V_{Ed} = 0.00 N.P.[7]	η < 0.1	N.P.[8]	x: 1.324 m η = 4.6	η < 0.1	M_{Ed} = 0.00 N.P.[1]	N.P.[2]	N.P.[2]	CUMPLE h = 4.6
N189/N207	x: 0 m $\bar{\lambda}$ < 2.0 Cumple	x: 1.034 m η = 0.1	x: 0 m η < 0.1	x: 0 m η = 1.1	M_{Ed} = 0.00 N.P.[6]	x: 1.034 m η = 0.1	V_{Ed} = 0.00 N.P.[7]	η < 0.1	N.P.[8]	x: 0 m η = 1.2	η < 0.1	M_{Ed} = 0.00 N.P.[1]	N.P.[2]	N.P.[2]	CUMPLE h = 1.2
N190/N207	$\bar{\lambda}$ < 2.0 Cumple	x: 1.217 m η = 3.1	x: 0 m η = 15.7	x: 0 m η = 7.0	x: 0 m η = 0.2	x: 1.217 m η = 0.7	η < 0.1	η < 0.1	η < 0.1	x: 0 m η = 23.1	η < 0.1	η = 0.1	x: 1.217 m η = 0.7	x: 1.217 m η = 0.7	CUMPLE h = 23.1
N190/N208	$\bar{\lambda}$ < 2.0 Cumple	x: 0.96 m η = 14.0	x: 0 m η = 2.7	x: 0.96 m η = 6.3	x: 0 m η = 0.2	x: 0 m η = 0.8	η < 0.1	η < 0.1	η < 0.1	x: 0.96 m η = 20.4	η < 0.1	η = 0.1	x: 0 m η = 0.8	x: 0 m η = 0.8	CUMPLE h = 20.4
N191/N208	$\bar{\lambda}$ < 2.0 Cumple	x: 1.148 m η = 3.0	x: 0 m η = 18.9	x: 0 m η = 3.1	x: 1.148 m η = 0.2	x: 1.148 m η = 0.2	η < 0.1	η < 0.1	η < 0.1	x: 0 m η = 22.1	η < 0.1	η = 0.1	x: 1.148 m η = 0.2	x: 1.148 m η = 0.2	CUMPLE h = 22.1
N191/N209	$\bar{\lambda}$ < 2.0 Cumple	x: 0.898 m η = 13.2	x: 0 m η = 2.3	x: 0.898 m η = 7.2	x: 0.898 m η = 0.1	x: 0 m η = 0.9	η < 0.1	η < 0.1	η < 0.1	x: 0.898 m η = 20.6	η < 0.1	η < 0.1	x: 0 m η = 0.9	x: 0 m η = 0.9	CUMPLE h = 20.6
N192/N209	$\bar{\lambda}$ < 2.0 Cumple	x: 1.073 m η = 4.0	x: 0 m η = 22.8	x: 0 m η = 4.1	x: 1.073 m η = 0.2	x: 1.073 m η = 0.3	η < 0.1	η < 0.1	η < 0.1	x: 0 m η = 27.2	η < 0.1	η < 0.1	x: 1.073 m η = 0.2	x: 1.073 m η = 0.2	CUMPLE h = 27.2
N192/N210	$\bar{\lambda}$ < 2.0 Cumple	x: 0.838 m η = 17.7	x: 0 m η = 3.3	x: 0.838 m η = 9.3	x: 0 m η = 0.2	x: 0 m η = 1.4	η < 0.1	η < 0.1	η < 0.1	x: 0.838 m η = 27.1	η < 0.1	η < 0.1	x: 0 m η = 1.4	x: 0 m η = 1.4	CUMPLE h = 27.1

Codi Segur de Verificació:
62ffb294-fe9f-412a-95ff-e789b2359074
Origen: Administració
Identificador document: ES_L01081000_2026_28828185
Data d'impressió: 03/11/2026 13:44:57
Pàgina 176 de 247

SIGNATURES
1.- ESTEVE AYMERICH (R: J62755897), 27/07/2026 11:04

Listados

Cobriment de pista a Sant Pere Molanta (Olèrdola)

Fecha: 10/03/26

Barras	COMPROBACIONES (CTE DB SE-A)														Estado
	$\bar{\lambda}$	N_t	N_c	M_y	M_z	V_z	V_y	M_yV_z	M_zV_y	NM_yM_z	$NM_yM_zV_yV_z$	M_t	M_yV_z	M_zV_y	
N193/N210	$\bar{\lambda}$ < 2.0 Cumple	x: 1.002 m η = 4.9	x: 0 m η = 27.2	x: 0 m η = 5.1	x: 0 m η = 0.3	x: 1.002 m η = 0.5	η < 0.1	η < 0.1	η < 0.1	x: 0 m η = 32.8	η < 0.1	η = 0.1	x: 1.002 m η = 0.5	x: 1.002 m η = 0.5	CUMPLE h = 32.8
N193/N211	$\bar{\lambda}$ < 2.0 Cumple	x: 0.788 m η = 21.2	x: 0 m η = 4.0	x: 0.788 m η = 10.6	x: 0 m η = 0.7	x: 0 m η = 1.7	η = 0.1	η < 0.1	η < 0.1	x: 0.788 m η = 32.4	η < 0.1	η = 0.1	x: 0 m η = 1.7	x: 0 m η = 1.7	CUMPLE h = 32.4
N194/N211	$\bar{\lambda}$ < 2.0 Cumple	x: 0.935 m η = 6.4	x: 0 m η = 32.4	x: 0 m η = 5.5	x: 0 m η = 0.7	x: 0.935 m η = 0.6	η = 0.1	η < 0.1	η < 0.1	x: 0 m η = 38.6	η < 0.1	η = 0.1	x: 0.935 m η = 0.6	x: 0.935 m η = 0.6	CUMPLE h = 38.6
N194/N212	$\bar{\lambda}$ < 2.0 Cumple	x: 0.741 m η = 25.9	x: 0 m η = 5.5	x: 0.741 m η = 12.3	x: 0 m η = 0.5	x: 0 m η = 2.2	η = 0.1	η < 0.1	η < 0.1	x: 0.741 m η = 38.3	η < 0.1	η = 0.2	x: 0 m η = 2.2	x: 0 m η = 2.2	CUMPLE h = 38.3
N195/N212	$\bar{\lambda}$ < 2.0 Cumple	x: 0.873 m η = 6.8	x: 0 m η = 36.0	x: 0 m η = 6.5	x: 0 m η = 0.7	x: 0.873 m η = 0.9	η = 0.1	η < 0.1	η < 0.1	x: 0 m η = 43.3	η < 0.1	η = 0.2	x: 0.873 m η = 0.9	x: 0.873 m η = 0.9	CUMPLE h = 43.3
N195/N213	$\bar{\lambda}$ < 2.0 Cumple	x: 0.682 m η = 28.3	x: 0 m η = 5.5	x: 0.682 m η = 14.5	x: 0.682 m η = 3.8	x: 0 m η = 2.9	η = 0.6	η < 0.1	η < 0.1	x: 0.682 m η = 46.5	η < 0.1	η = 0.8	x: 0 m η = 2.9	x: 0 m η = 2.9	CUMPLE h = 46.5
N196/N213	$\bar{\lambda}$ < 2.0 Cumple	x: 0.815 m η = 8.3	x: 0 m η = 41.0	x: 0 m η = 6.9	x: 0.815 m η = 3.1	x: 0.815 m η = 1.1	η = 0.4	η < 0.1	η < 0.1	x: 0 m η = 48.8	η < 0.1	η = 0.8	x: 0.815 m η = 1.1	x: 0.815 m η = 1.1	CUMPLE h = 48.8
N196/N214	$\bar{\lambda}$ < 2.0 Cumple	x: 0.637 m η = 34.6	x: 0 m η = 7.3	x: 0.637 m η = 16.6	x: 0 m η = 0.4	x: 0 m η = 3.6	η = 0.1	η < 0.1	η < 0.1	x: 0.637 m η = 51.5	η < 0.1	η = 0.1	x: 0 m η = 3.6	x: 0 m η = 3.6	CUMPLE h = 51.5
N197/N214	$\bar{\lambda}$ < 2.0 Cumple	x: 0.762 m η = 9.0	x: 0 m η = 45.7	x: 0 m η = 10.2	x: 0.762 m η = 0.9	x: 0.762 m η = 1.8	η = 0.1	η < 0.1	η < 0.1	x: 0 m η = 56.6	η < 0.1	η = 0.2	x: 0.762 m η = 1.8	x: 0.762 m η = 1.8	CUMPLE h = 56.6
N197/N215	$\bar{\lambda}$ < 2.0 Cumple	x: 0.781 m η = 39.2	x: 0 m η = 8.4	x: 0 m η = 9.5	x: 0.781 m η = 3.0	x: 0 m η = 1.7	η = 0.3	η < 0.1	η < 0.1	x: 0.781 m η = 50.3	η < 0.1	η = 1.1	x: 0 m η = 1.7	x: 0 m η = 1.7	CUMPLE h = 50.3
N220/N217	$\bar{\lambda}$ < 2.0 Cumple	x: 2.433 m η = 10.6	x: 0 m η = 47.1	x: 2.433 m η = 2.4	x: 0 m η = 0.7	x: 2.433 m η = 0.2	η < 0.1	η < 0.1	η < 0.1	x: 0 m η = 50.4	η < 0.1	η = 0.2	x: 2.433 m η = 0.2	x: 2.433 m η = 0.2	CUMPLE h = 50.4
N217/N221	$\bar{\lambda}$ < 2.0 Cumple	x: 2.976 m η = 1.6	x: 0 m η = 4.0	x: 2.976 m η = 2.7	x: 0 m η = 0.2	x: 2.976 m η = 0.2	η < 0.1	η < 0.1	η < 0.1	x: 0 m η = 5.0	η < 0.1	η = 0.2	x: 2.976 m η = 0.2	x: 2.976 m η = 0.2	CUMPLE h = 5.0
N221/N218	$\bar{\lambda}$ < 2.0 Cumple	x: 2.431 m η = 3.4	x: 0 m η = 8.5	x: 0 m η = 2.4	x: 0 m η = 0.6	x: 0 m η = 0.2	η < 0.1	η < 0.1	η < 0.1	x: 0 m η = 11.4	η < 0.1	η = 0.1	x: 0 m η = 0.2	x: 0 m η = 0.2	CUMPLE h = 11.4
N222/N219	$\bar{\lambda}$ < 2.0 Cumple	x: 2.431 m η = 65.1	x: 0 m η = 19.9	x: 2.431 m η = 4.3	x: 2.431 m η = 0.2	x: 2.431 m η = 0.4	η < 0.1	η < 0.1	η < 0.1	x: 2.431 m η = 69.6	η < 0.1	η = 0.1	x: 2.431 m η = 0.4	x: 2.431 m η = 0.4	CUMPLE h = 69.6
N224/N223	$\bar{\lambda}$ < 2.0 Cumple	x: 2.286 m η = 36.5	x: 0 m η = 17.4	x: 1.143 m η = 0.7	x: 0 m η = 0.8	x: 0 m η = 0.1	η < 0.1	η < 0.1	η < 0.1	x: 0.762 m η = 37.4	η < 0.1	η = 0.2	x: 0 m η = 0.1	x: 0 m η = 0.1	CUMPLE h = 37.4
N224/N242	$\bar{\lambda}$ < 2.0 Cumple	x: 1.773 m η = 6.9	x: 0 m η = 33.7	x: 0 m η = 4.7	x: 0 m η = 1.6	x: 1.773 m η = 0.4	η = 0.1	η < 0.1	η < 0.1	x: 0 m η = 40.2	η < 0.1	η = 0.3	x: 1.773 m η = 0.4	x: 1.773 m η = 0.4	CUMPLE h = 40.2
N225/N242	$\bar{\lambda}$ < 2.0 Cumple	x: 2.12 m η = 31.7	x: 0 m η = 15.8	x: 2.12 m η = 3.3	x: 0 m η = 1.1	x: 0 m η = 0.3	η = 0.1	η < 0.1	η < 0.1	x: 2.12 m η = 35.8	η < 0.1	η = 0.4	x: 0 m η = 0.3	x: 0 m η = 0.3	CUMPLE h = 35.8
N225/N243	$\bar{\lambda}$ < 2.0 Cumple	x: 1.656 m η = 6.5	x: 0 m η = 29.2	x: 0 m η = 5.0	x: 0 m η = 3.5	x: 1.656 m η = 0.4	η = 0.3	η < 0.1	η < 0.1	x: 0 m η = 37.3	η < 0.1	η = 0.1	x: 1.656 m η = 0.4	x: 1.656 m η = 0.4	CUMPLE h = 37.3
N226/N243	$\bar{\lambda}$ < 2.0 Cumple	x: 1.981 m η = 24.5	x: 0 m η = 11.0	x: 1.981 m η = 2.8	x: 0 m η = 2.5	x: 0 m η = 0.2	η = 0.2	η < 0.1	η < 0.1	x: 1.981 m η = 29.7	η < 0.1	η = 0.1	x: 0 m η = 0.2	x: 0 m η = 0.2	CUMPLE h = 29.7
N226/N244	$\bar{\lambda}$ < 2.0 Cumple	x: 1.547 m η = 5.7	x: 0 m η = 22.5	x: 0 m η = 3.7	x: 0 m η = 3.1	x: 1.547 m η = 0.3	η = 0.3	η < 0.1	η < 0.1	x: 0 m η = 28.5	η < 0.1	η = 0.3	x: 1.547 m η = 0.3	x: 1.547 m η = 0.3	CUMPLE h = 28.5
N227/N244	$\bar{\lambda}$ < 2.0 Cumple	x: 1.85 m η = 17.4	x: 0 m η = 6.9	x: 1.85 m η = 2.8	x: 0 m η = 1.7	x: 0 m η = 0.2	η = 0.1	η < 0.1	η < 0.1	x: 1.85 m η = 21.1	η < 0.1	η = 0.1	x: 0 m η = 0.2	x: 0 m η = 0.2	CUMPLE h = 21.1
N227/N245	$\bar{\lambda}$ < 2.0 Cumple	x: 1.445 m η = 4.7	x: 0 m η = 16.9	x: 0 m η = 3.2	x: 0 m η = 1.7	x: 1.445 m η = 0.3	η = 0.2	η < 0.1	η < 0.1	x: 0 m η = 21.4	η < 0.1	η = 0.3	x: 1.445 m η = 0.3	x: 1.445 m η = 0.3	CUMPLE h = 21.4
N228/N245	$\bar{\lambda}$ < 2.0 Cumple	x: 1.728 m η = 12.5	x: 0 m η = 5.0	x: 1.728 m η = 2.6	x: 0 m η = 0.9	x: 0 m η = 0.2	η < 0.1	η < 0.1	η < 0.1	x: 1.728 m η = 15.4	η < 0.1	η < 0.1	x: 0 m η = 0.2	x: 0 m η = 0.2	CUMPLE h = 15.4
N228/N246	$\bar{\lambda}$ < 2.0 Cumple	x: 1.35 m η = 3.6	x: 0 m η = 11.6	x: 0 m η = 2.6	x: 1.35 m η = 1.0	x: 1.35 m η = 0.2	η = 0.1	η < 0.1	η < 0.1	x: 0 m η = 14.7	η < 0.1	η = 0.1	x: 1.35 m η = 0.2	x: 1.35 m η = 0.2	CUMPLE h = 14.7
N229/N246	$\bar{\lambda}$ < 2.0 Cumple	x: 1.615 m η = 7.6	x: 0 m η = 3.4	x: 1.615 m η = 2.6	x: 0 m η = 0.3	x: 0 m η = 0.2	η < 0.1	η < 0.1	η < 0.1	x: 1.615 m η = 10.3	η < 0.1	η = 0.1	x: 0 m η = 0.2	x: 0 m η = 0.2	CUMPLE h = 10.3
N229/N247	$\bar{\lambda}$ < 2.0 Cumple	x: 1.261 m η = 2.7	x: 0 m η = 6.6	x: 0 m η = 1.8	x: 1.261 m η = 0.7	x: 1.261 m η = 0.1	η < 0.1	η < 0.1	η < 0.1	x: 0 m η = 8.5	η < 0.1	η < 0.1	x: 1.261 m η = 0.1	x: 1.261 m η = 0.1	CUMPLE h = 8.5
N230/N247	$\bar{\lambda}$ < 2.0 Cumple	x: 1.508 m η = 3.4	x: 0 m η = 1.9	x: 1.508 m η = 2.3	x: 1.508 m η = 0.1	x: 0 m η = 0.1	η < 0.1	η < 0.1	η < 0.1	x: 1.508 m η = 5.8	η < 0.1	η = 0.1	x: 0 m η = 0.1	x: 0 m η = 0.1	CUMPLE h = 5.8
N230/N248	$\bar{\lambda}$ < 2.0 Cumple	x: 1.189 m η = 1.6	x: 0 m η = 1.8	x: 0 m η = 1.6	x: 0 m η = 0.3	x: 1.189 m η = 0.1	η < 0.1	η < 0.1	η < 0.1	x: 0 m η = 3.6	η < 0.1	η = 0.1	x: 1.189 m η = 0.1	x: 1.189 m η = 0.1	CUMPLE h = 3.6
N231/N248	$\bar{\lambda}$ < 2.0 Cumple	x: 1.408 m η = 2.2	x: 0 m η = 6.8	x: 1.056 m η = 2.9	x: 0 m η = 0.1	x: 0 m η = 0.1	η < 0.1	η < 0.1	η < 0.1	x: 1.056 m η = 9.7	η < 0.1	η = 0.1	x: 0 m η = 0.1	x: 0 m η = 0.1	CUMPLE h = 9.7
N231/N249	$\bar{\lambda}$ < 2.0 Cumple	x: 1.1 m η = 4.3	x: 0 m η = 1.1	x: 1.1 m η = 9.1	x: 0 m η = 0.4	x: 0 m η = 0.9	η < 0.1	η < 0.1	η < 0.1	x: 1.1 m η = 13.5	η < 0.1	η = 0.1	x: 0 m η = 0.9	x: 0 m η = 0.9	CUMPLE h = 13.5
N232/N249	$\bar{\lambda}$ < 2.0 Cumple	x: 1.324 m η < 0.1	x: 0 m η < 0.1	x: 1.324 m η = 4.6	x: 1.324 m η < 0.1	x: 0 m η = 0.3	η < 0.1	η < 0.1	x: 0.441 m η < 0.1	x: 1.324 m η = 4.6	η < 0.1	M_{cr} = 0.00 N.P.[1]	N.P.[2]	N.P.[2]	CUMPLE h = 4.6
N232/N250	x: 0 m $\bar{\lambda}$ < 2.0 Cumple	x: 1.034 m η = 0.1	x: 0 m η < 0.1	x: 0 m η = 1.1	x: 1.034 m η < 0.1	x: 1.034 m η = 0.1	η < 0.1	η < 0.1	x: 0.517 m η < 0.1	x: 0 m η = 1.2	η < 0.1	M_{cd} = 0.00 N.P.[1]	N.P.[2]	N.P.[2]	CUMPLE h = 1.2
N233/N250	$\bar{\lambda}$ < 2.0 Cumple	x: 1.217 m η = 3.0	x: 0 m η = 15.6	x: 0 m η = 7.0	x: 0 m η = 0.2	x: 1.217 m η = 0.7	η < 0.1	η < 0.1	η < 0.1	x: 0 m η = 22.9	η < 0.1	η = 0.1	x: 1.217 m η = 0.7	x: 1.217 m η = 0.7	CUMPLE h = 22.9
N233/N251	$\bar{\lambda}$ < 2.0 Cumple	x: 0.96 m η = 13.9	x: 0 m η = 2.6	x: 0.96 m η = 6.3	x: 0 m η = 0.3	x: 0 m η = 0.8	η < 0.1	η < 0.1	η < 0.1	x: 0.96 m η = 20.3	η < 0.1	η = 0.1	x: 0 m η = 0.8	x: 0 m η = 0.8	CUMPLE h = 20.3
N234/N251	$\bar{\lambda}$ < 2.0 Cumple	x: 1.148 m η = 2.9	x: 0 m η = 18.8	x: 0 m η = 3.1	x: 1.148 m η = 0.1	x: 1.148 m η = 0.2	η < 0.1	η < 0.1	η < 0.1	x: 0 m η = 22.0	η < 0.1	η = 0.1	x: 1.148 m η = 0.2	x: 1.148 m η = 0.2	CUMPLE h = 22.0
N234/N252	$\bar{\lambda}$ < 2.0 Cumple	x: 0.898 m η = 13.2	x: 0 m η = 2.3	x: 0.898 m η = 7.2	x: 0.898 m η = 0.1	x: 0 m η = 0.9	η < 0.1	η < 0.1	η < 0.1	x: 0.898 m η = 20.5	η < 0.1	η < 0.1	x: 0 m η = 0.9	x: 0 m η = 0.9	CUMPLE h = 20.5
N235/N252	$\bar{\lambda}$ < 2.0 Cumple	x: 1.073 m η = 4.0	x: 0 m η = 22.7	x: 0 m η = 4.1	x: 1.073 m η = 0.2	x: 1.073 m η = 0.3	η < 0.1	η < 0.1	η < 0.1	x: 0 m η = 27.1	η < 0.1	M_{cd} = 0.00 N.P.[1]	N.P.[2]	N.P.[2]	CUMPLE h = 27.1
N235/N253	$\bar{\lambda}$ < 2.0 Cumple	x: 0.838 m η = 17.6	x: 0 m η = 3.3	x: 0.838 m η = 9.3	x: 0 m η = 0.2	x: 0 m η = 1.4	η < 0.1	η < 0.1	η < 0.1	x: 0.838 m η = 27.0	η < 0.1	η < 0.1	x: 0 m η = 0.9	x: 0 m η = 0.9	CUMPLE h = 27.0
N236/N253	$\bar{\lambda}$ < 2.0 Cumple	x: 1.002 m η = 4.8	x: 0 m η = 27.1	x: 0 m η = 5.1	x: 0 m η = 0.3	x: 1.002 m η = 0.5	η < 0.1	η < 0.1	η < 0.1	x: 0 m η = 32.7	η < 0.1	η = 0.1	x: 1.002 m η = 0.5	x: 1.002 m η = 0.5	CUMPLE h = 32.7
N236/N254	$\bar{\lambda}$ < 2.0 Cumple	x: 0.788 m η = 21.2	x: 0 m η = 3.9	x: 0.788 m η = 10.5	x: 0 m η = 0.7	x: 0 m η = 1.7	η = 0.1	η < 0.1	η < 0.1	x: 0.788 m η = 32.3	η < 0.1	η = 0.1	x: 0 m η = 1.7	x: 0 m η = 1.7	CUMPLE h = 32.3
N237/N254	$\bar{\lambda}$ < 2.0 Cumple	x: 0.935 m η = 6.3	x: 0 m η = 32.3	x: 0 m η = 5.5	x: 0 m η = 0.7	x: 0.935 m η = 0.6	η = 0.1	η < 0.1	η < 0.1	x: 0 m η = 38.5	η < 0.1	η = 0.1	x: 0.935 m η = 0.6	x: 0.935 m η = 0.6	CUMPLE h = 38.5
N237/N255	$\bar{\lambda}$ < 2.0 Cumple	x: 0.741 m η = 25.8	x: 0 m η = 5.4	x: 0.741 m η = 12.2	x: 0 m η = 0.6	x: 0 m η = 2.2	η = 0.1	η < 0.1	η < 0.1	x: 0.741 m η = 38.2	η < 0.1	η = 0.2	x: 0 m η = 2.2	x: 0 m η = 2.2	CUMPLE h = 38.2
N238/N255	$\bar{\lambda}$ < 2.0 Cumple	x: 0.873 m η = 6.7	x: 0 m η = 35.9	x: 0 m η = 6.5	x: 0 m η = 0.7	x: 0.873 m η = 0.9	η = 0.1	η < 0.1	η < 0.1	x: 0 m η = 43.2	η < 0.1	η = 0.2	x: 0.873 m η = 0.9	x: 0.873 m η = 0.9	CUMPLE h = 43.2
N238/N256	$\bar{\lambda}$ < 2.0 Cumple	x: 0.682 m η = 28.2	x: 0 m η = 5.5	x: 0.682 m η = 14.4	x: 0.682 m η = 3.6	x: 0 m η = 2.9	η = 0.5	η < 0.1	η < 0.1	x: 0.682 m η = 46.2	η < 0.1	η = 0.9	x: 0 m η = 2.9	x: 0 m η = 2.9	CUMPLE h = 46.2
N239/N256	$\bar{\lambda}$ < 2.0 Cumple	x: 0.815 m η = 8.2	x: 0 m η = 40.9	x: 0 m η = 6.9	x: 0.815 m η = 2.9	x: 0.815 m η = 1.1	η = 0.3	η < 0.1	η < 0.1	x: 0 m η = 48.6	η < 0.1	η = 0.8	x: 0.815 m η = 1.1	x: 0.815 m η = 1.1	CUMPLE h = 48.6
N239/N257	$\bar{\lambda}$ < 2.0 Cumple	x: 0.637 m η = 34.5	x: 0 m η = 7.2	x: 0.637 m η = 16.6	x: 0.637 m η = 0.4	x: 0 m η = 3.6	η < 0.1	η < 0.1	η < 0.1	x: 0.637 m η = 51.5	η < 0.1	η = 0.2	x: 0 m η = 3.6	x: 0 m η = 3.6	CUMPLE h = 51.5
N240/N257	$\bar{\lambda}$ < 2.0 Cumple	x: 0.762 m η = 9.0	x: 0 m η = 45.6	x: 0 m η = 10.2	x: 0.762 m η = 0.9	x: 0.762 m η = 1.8	η = 0.1	η < 0.1	η < 0.1	x: 0 m η = 56.4	η < 0.1	η = 0.1	x: 0.762 m η = 1.8	x: 0.762 m η = 1.8	CUMPLE h = 56.4
N240/N258	$\bar{\lambda}$ < 2.0 Cumple	x: 0.781 m η = 39.1	x: 0 m η = 8.3	x: 0 m η = 9.4	x: 0.781 m η = 3.0	x: 0 m η = 1.7	η = 0.3	η < 0.1	η < 0.1	x: 0.781 m η = 50.3	η < 0.1	η = 1.2	x: 0 m η = 1.7	x: 0 m η = 1.7	CUMPLE h = 50.3
N263/N260	$\bar{\lambda}$ < 2.0 Cumple	x: 2.433 m η = 9.8	x: 0 m η = 45.9	x: 2.433 m η = 2.3	x: 0 m η = 0.7	x: 2.433 m η = 0.2	η < 0.1	η < 0.1	η < 0.1	x: 0 m η = 49.2	η < 0.1	η = 0.2	x: 2.433 m η = 0.2	x: 2.433 m η = 0.2	CUMPLE h = 49.2
N260/N264	$\bar{\lambda}$ < 2.0 Cumple	x: 2.976 m η = 1.5	x: 0 m η = 3.7	x: 2.976 m η = 2.6	x: 2.976 m η = 0.2	x: 2.976 m η = 0.2	η < 0.1	η < 0.1	η < 0.1	x: 0 m η = 4.7	η < 0.1	η = 0.2	x: 2.976 m η = 0.2	x: 2.976 m η = 0.2	CUMPLE h = 4.7
N264/N261	$\bar{\lambda}$ < 2.0 Cumple	x: 2.431 m η = 3.1	x: 0 m η = 8.1	x: 0 m η = 2.3	x: 0 m η = 0.5	x: 0 m η = 0.2	η < 0.1	η < 0.1	η < 0.1	x: 0 m η = 10.9	η < 0.1	η = 0.1	x: 0 m η = 0.2	x: 0 m η = 0.2	CUMPLE h = 10.9

AJUNTAMENT D'OLERDOLA
Aquest document és una còpia simple del document electrònic original.

AJUNTAMENT D'OLERDOLA
Aquest document és una còpia simple del document electrònic original.

Listados

Cobriment de pista a Sant Pere Molanta (Olèrdola)

Fecha: 10/03/26

Barras	COMPROBACIONES (CTE DB SE-A)														Estado
	$\bar{\lambda}$	N_t	N_c	M_y	M_z	V_z	V_y	M_yV_z	M_zV_y	NM_yM_z	$NM_yM_zV_yV_z$	M_t	M_yV_z	M_zV_y	
N265/N262	$\bar{\lambda}$ < 2.0 Cumple	x: 2.431 m η = 64.4	x: 0 m η = 18.8	x: 2.431 m η = 4.2	x: 0 m η = 0.2	x: 2.431 m η = 0.4	η < 0.1	η < 0.1	η < 0.1	x: 2.431 m η = 68.9	η < 0.1	η = 0.1	x: 2.431 m η = 0.4	x: 2.431 m η = 0.4	CUMPLE h = 68.9
N267/N266	$\bar{\lambda}$ < 2.0 Cumple	x: 2.286 m η = 36.5	x: 0 m η = 17.5	x: 1.143 m η = 0.7	x: 0 m η = 1.1	x: 0 m η = 0.1	η = 0.1	η < 0.1	x: 0 m η < 0.1	x: 0 m η = 37.6	η < 0.1	η = 0.2	x: 0 m η = 0.1	x: 0 m η = 0.1	CUMPLE h = 37.6
N267/N285	$\bar{\lambda}$ < 2.0 Cumple	x: 1.773 m η = 6.9	x: 0 m η = 33.7	x: 0 m η = 4.7	x: 0 m η = 1.7	x: 1.773 m η = 0.4	η = 0.1	η < 0.1	η < 0.1	x: 0 m η = 40.3	η < 0.1	η = 0.3	x: 1.773 m η = 0.4	x: 1.773 m η = 0.4	CUMPLE h = 40.3
N268/N285	$\bar{\lambda}$ < 2.0 Cumple	x: 2.12 m η = 31.7	x: 0 m η = 15.9	x: 2.12 m η = 3.3	x: 0 m η = 1.1	x: 0 m η = 0.3	η = 0.1	η < 0.1	η < 0.1	x: 2.12 m η = 35.7	η < 0.1	η = 0.4	x: 0 m η = 0.3	x: 0 m η = 0.3	CUMPLE h = 35.7
N268/N286	$\bar{\lambda}$ < 2.0 Cumple	x: 1.656 m η = 6.6	x: 0 m η = 29.3	x: 0 m η = 5.0	x: 0 m η = 3.6	x: 1.656 m η = 0.4	η = 0.3	η < 0.1	η < 0.1	x: 0 m η = 37.3	η < 0.1	η = 0.1	x: 1.656 m η = 0.4	x: 1.656 m η = 0.4	CUMPLE h = 37.3
N269/N286	$\bar{\lambda}$ < 2.0 Cumple	x: 1.981 m η = 24.5	x: 0 m η = 11.0	x: 1.981 m η = 2.8	x: 0 m η = 2.6	x: 0 m η = 0.2	η = 0.2	η < 0.1	η < 0.1	x: 1.981 m η = 29.8	η < 0.1	η = 0.1	x: 0 m η = 0.2	x: 0 m η = 0.2	CUMPLE h = 29.8
N269/N287	$\bar{\lambda}$ < 2.0 Cumple	x: 1.547 m η = 5.7	x: 0 m η = 22.5	x: 0 m η = 3.7	x: 0 m η = 3.2	x: 1.547 m η = 0.3	η = 0.3	η < 0.1	η < 0.1	x: 0 m η = 28.6	η < 0.1	η = 0.3	x: 1.547 m η = 0.3	x: 1.547 m η = 0.3	CUMPLE h = 28.6
N270/N287	$\bar{\lambda}$ < 2.0 Cumple	x: 1.85 m η = 17.4	x: 0 m η = 6.9	x: 1.85 m η = 2.8	x: 0 m η = 1.7	x: 0 m η = 0.2	η = 0.1	η < 0.1	η < 0.1	x: 1.85 m η = 21.1	η < 0.1	η = 0.2	x: 0 m η = 0.2	x: 0 m η = 0.2	CUMPLE h = 21.1
N270/N288	$\bar{\lambda}$ < 2.0 Cumple	x: 1.445 m η = 4.7	x: 0 m η = 17.0	x: 0 m η = 3.2	x: 0 m η = 1.8	x: 1.445 m η = 0.3	η = 0.2	η < 0.1	η < 0.1	x: 0 m η = 21.5	η < 0.1	η = 0.3	x: 1.445 m η = 0.3	x: 1.445 m η = 0.3	CUMPLE h = 21.5
N271/N288	$\bar{\lambda}$ < 2.0 Cumple	x: 1.728 m η = 12.5	x: 0 m η = 5.1	x: 1.728 m η = 2.6	x: 0 m η = 0.9	x: 0 m η = 0.2	η = 0.1	η < 0.1	η < 0.1	x: 1.728 m η = 15.4	η < 0.1	η < 0.1	x: 0 m η = 0.2	x: 0 m η = 0.2	CUMPLE h = 15.4
N271/N289	$\bar{\lambda}$ < 2.0 Cumple	x: 1.35 m η = 3.7	x: 0 m η = 11.7	x: 0 m η = 2.6	x: 1.35 m η = 1.1	x: 1.35 m η = 0.2	η = 0.1	η < 0.1	η < 0.1	x: 0 m η = 14.8	η < 0.1	η = 0.1	x: 1.35 m η = 0.2	x: 1.35 m η = 0.2	CUMPLE h = 14.8
N272/N289	$\bar{\lambda}$ < 2.0 Cumple	x: 1.615 m η = 7.7	x: 0 m η = 3.5	x: 1.615 m η = 2.6	x: 0 m η = 0.4	x: 0 m η = 0.2	η < 0.1	η < 0.1	η < 0.1	x: 1.615 m η = 10.3	η < 0.1	η = 0.1	x: 0 m η = 0.2	x: 0 m η = 0.2	CUMPLE h = 10.3
N272/N290	$\bar{\lambda}$ < 2.0 Cumple	x: 1.261 m η = 2.7	x: 0 m η = 6.7	x: 0 m η = 1.8	x: 1.261 m η = 0.7	x: 1.261 m η = 0.1	η = 0.1	η < 0.1	η < 0.1	x: 0 m η = 8.6	η < 0.1	η < 0.1	x: 1.261 m η = 0.1	x: 1.261 m η = 0.1	CUMPLE h = 8.6
N273/N290	$\bar{\lambda}$ < 2.0 Cumple	x: 1.508 m η = 3.4	x: 0 m η = 2.0	x: 1.508 m η = 2.3	x: 0 m η = 0.1	x: 0 m η = 0.1	η < 0.1	η < 0.1	η < 0.1	x: 1.508 m η = 5.8	η < 0.1	η = 0.1	x: 0 m η = 0.1	x: 0 m η = 0.1	CUMPLE h = 5.8
N273/N291	$\bar{\lambda}$ < 2.0 Cumple	x: 1.189 m η = 1.7	x: 0 m η = 1.9	x: 0 m η = 1.6	x: 0 m η = 0.3	x: 1.189 m η = 0.1	η < 0.1	η < 0.1	η < 0.1	x: 0 m η = 3.7	η < 0.1	η = 0.1	x: 1.189 m η = 0.1	x: 1.189 m η = 0.1	CUMPLE h = 3.7
N274/N291	$\bar{\lambda}$ < 2.0 Cumple	x: 1.408 m η = 2.1	x: 0 m η = 6.6	x: 1.056 m η = 2.9	x: 0 m η = 0.1	x: 0 m η = 0.1	η < 0.1	η < 0.1	η < 0.1	x: 0.88 m η = 9.6	η < 0.1	η = 0.1	x: 0 m η = 0.1	x: 0 m η = 0.1	CUMPLE h = 9.6
N274/N292	$\bar{\lambda}$ < 2.0 Cumple	x: 1.1 m η = 4.2	x: 0 m η = 0.9	x: 1.1 m η = 9.0	x: 0 m η = 0.4	x: 0 m η = 0.9	η < 0.1	η < 0.1	η < 0.1	x: 1.1 m η = 13.3	η < 0.1	η = 0.1	x: 0 m η = 0.9	x: 0 m η = 0.9	CUMPLE h = 13.3
N275/N292	x: 0 m $\bar{\lambda}$ < 2.0 Cumple	x: 1.324 m η < 0.1	x: 0 m η < 0.1	x: 1.324 m η = 4.6	x: 1.324 m η = 0.1	x: 0 m η = 0.3	η < 0.1	η < 0.1	x: 0.221 m η < 0.1	x: 1.324 m η = 4.6	η < 0.1	M_{d_z} = 0.00 N.P.[1]	N.P.[2]	N.P.[2]	CUMPLE h = 4.6
N275/N293	x: 0 m $\bar{\lambda}$ < 2.0 Cumple	x: 1.034 m η = 0.1	x: 0 m η < 0.1	x: 0 m η = 1.1	x: 1.034 m η = 0.1	x: 1.034 m η = 0.1	η < 0.1	η < 0.1	x: 0.172 m η < 0.1	x: 0 m η = 1.2	η < 0.1	M_{d_z} = 0.00 N.P.[1]	N.P.[2]	N.P.[2]	CUMPLE h = 1.2
N276/N293	$\bar{\lambda}$ < 2.0 Cumple	x: 1.217 m η = 2.9	x: 0 m η = 15.4	x: 0 m η = 6.9	x: 1.217 m η = 0.2	x: 1.217 m η = 0.7	η < 0.1	η < 0.1	η < 0.1	x: 0 m η = 22.7	η < 0.1	η = 0.1	x: 1.217 m η = 0.7	x: 1.217 m η = 0.7	CUMPLE h = 22.7
N276/N294	$\bar{\lambda}$ < 2.0 Cumple	x: 0.96 m η = 13.8	x: 0 m η = 2.5	x: 0.96 m η = 6.2	x: 0 m η = 0.3	x: 0 m η = 0.8	η < 0.1	η < 0.1	η < 0.1	x: 0.96 m η = 20.1	η < 0.1	η = 0.1	x: 0 m η = 0.8	x: 0 m η = 0.8	CUMPLE h = 20.1
N277/N294	$\bar{\lambda}$ < 2.0 Cumple	x: 1.148 m η = 2.8	x: 0 m η = 18.6	x: 0 m η = 3.1	x: 1.148 m η = 0.2	x: 1.148 m η = 0.2	η < 0.1	η < 0.1	η < 0.1	x: 0 m η = 21.9	η < 0.1	η = 0.1	x: 1.148 m η = 0.2	x: 1.148 m η = 0.2	CUMPLE h = 21.9
N277/N295	$\bar{\lambda}$ < 2.0 Cumple	x: 0.898 m η = 13.1	x: 0 m η = 2.2	x: 0.898 m η = 7.2	x: 0 m η = 0.2	x: 0 m η = 0.9	η < 0.1	η < 0.1	η < 0.1	x: 0.898 m η = 20.3	η < 0.1	η = 0.1	x: 0 m η = 0.9	x: 0 m η = 0.9	CUMPLE h = 20.3
N278/N295	$\bar{\lambda}$ < 2.0 Cumple	x: 1.073 m η = 3.9	x: 0 m η = 22.6	x: 0 m η = 4.1	x: 1.073 m η = 0.2	x: 1.073 m η = 0.3	η < 0.1	η < 0.1	η < 0.1	x: 0 m η = 26.9	η < 0.1	η < 0.1	x: 1.073 m η = 0.2	x: 1.073 m η = 0.2	CUMPLE h = 26.9
N278/N296	$\bar{\lambda}$ < 2.0 Cumple	x: 0.838 m η = 17.5	x: 0 m η = 3.2	x: 0.838 m η = 9.3	x: 0 m η = 0.1	x: 0 m η = 1.3	η < 0.1	η < 0.1	η < 0.1	x: 0.838 m η = 26.8	η < 0.1	M_{d_z} = 0.00 N.P.[1]	N.P.[2]	N.P.[2]	CUMPLE h = 26.8
N279/N296	$\bar{\lambda}$ < 2.0 Cumple	x: 1.002 m η = 4.8	x: 0 m η = 27.0	x: 0 m η = 5.1	x: 1.002 m η = 0.2	x: 1.002 m η = 0.5	η < 0.1	η < 0.1	η < 0.1	x: 0 m η = 32.4	η < 0.1	η < 0.1	x: 1.002 m η = 0.5	x: 1.002 m η = 0.5	CUMPLE h = 32.4
N279/N297	$\bar{\lambda}$ < 2.0 Cumple	x: 0.788 m η = 21.1	x: 0 m η = 3.9	x: 0.788 m η = 10.5	x: 0.788 m η = 0.6	x: 0 m η = 1.7	η = 0.1	η < 0.1	η < 0.1	x: 0.788 m η = 32.1	η < 0.1	η = 0.1	x: 0 m η = 1.7	x: 0 m η = 1.7	CUMPLE h = 32.1
N280/N297	$\bar{\lambda}$ < 2.0 Cumple	x: 0.935 m η = 6.2	x: 0 m η = 32.2	x: 0 m η = 5.5	x: 0 m η = 0.6	x: 0.935 m η = 0.6	η = 0.1	η < 0.1	η < 0.1	x: 0 m η = 38.3	η < 0.1	η = 0.1	x: 0.935 m η = 0.6	x: 0.935 m η = 0.6	CUMPLE h = 38.3
N280/N298	$\bar{\lambda}$ < 2.0 Cumple	x: 0.741 m η = 25.7	x: 0 m η = 5.3	x: 0.741 m η = 12.2	x: 0 m η = 0.6	x: 0 m η = 2.2	η = 0.1	η < 0.1	η < 0.1	x: 0.741 m η = 38.0	η < 0.1	η = 0.2	x: 0 m η = 2.2	x: 0 m η = 2.2	CUMPLE h = 38.0
N281/N298	$\bar{\lambda}$ < 2.0 Cumple	x: 0.873 m η = 6.6	x: 0 m η = 35.8	x: 0 m η = 6.5	x: 0 m η = 0.8	x: 0.873 m η = 0.9	η = 0.1	η < 0.1	η < 0.1	x: 0 m η = 43.1	η < 0.1	η = 0.3	x: 0.873 m η = 0.9	x: 0.873 m η = 0.9	CUMPLE h = 43.1
N281/N299	$\bar{\lambda}$ < 2.0 Cumple	x: 0.682 m η = 28.1	x: 0 m η = 5.4	x: 0.682 m η = 14.4	x: 0.682 m η = 3.2	x: 0 m η = 2.9	η = 0.4	η < 0.1	η < 0.1	x: 0.682 m η = 45.7	η < 0.1	η = 0.9	x: 0 m η = 2.9	x: 0 m η = 2.9	CUMPLE h = 45.7
N282/N299	$\bar{\lambda}$ < 2.0 Cumple	x: 0.815 m η = 8.1	x: 0 m η = 40.8	x: 0 m η = 6.8	x: 0.815 m η = 2.6	x: 0.815 m η = 1.1	η = 0.3	η < 0.1	η < 0.1	x: 0 m η = 48.2	η < 0.1	η = 0.9	x: 0.815 m η = 1.1	x: 0.815 m η = 1.1	CUMPLE h = 48.2
N282/N300	$\bar{\lambda}$ < 2.0 Cumple	x: 0.637 m η = 34.4	x: 0 m η = 7.1	x: 0.637 m η = 16.5	x: 0.637 m η = 0.6	x: 0 m η = 3.6	η = 0.1	η < 0.1	η < 0.1	x: 0.637 m η = 51.5	η < 0.1	η = 0.3	x: 0 m η = 3.6	x: 0 m η = 3.6	CUMPLE h = 51.5
N283/N300	$\bar{\lambda}$ < 2.0 Cumple	x: 0.762 m η = 8.9	x: 0 m η = 45.5	x: 0 m η = 10.1	x: 0.762 m η = 0.9	x: 0.762 m η = 1.8	η = 0.1	η < 0.1	η < 0.1	x: 0 m η = 56.2	η < 0.1	η = 0.1	x: 0.762 m η = 1.8	x: 0.762 m η = 1.8	CUMPLE h = 56.2
N283/N301	$\bar{\lambda}$ < 2.0 Cumple	x: 0.781 m η = 39.0	x: 0 m η = 8.2	x: 0 m η = 9.4	x: 0.781 m η = 3.2	x: 0 m η = 1.7	η = 0.3	η < 0.1	η < 0.1	x: 0.781 m η = 50.2	η < 0.1	η = 1.2	x: 0 m η = 1.7	x: 0 m η = 1.7	CUMPLE h = 50.2
N306/N303	$\bar{\lambda}$ < 2.0 Cumple	x: 2.433 m η = 8.5	x: 0 m η = 43.9	x: 2.433 m η = 2.3	x: 0 m η = 0.9	x: 2.433 m η = 0.2	η < 0.1	η < 0.1	η < 0.1	x: 0 m η = 47.1	η < 0.1	η = 0.3	x: 2.433 m η = 0.2	x: 2.433 m η = 0.2	CUMPLE h = 47.1
N303/N307	$\bar{\lambda}$ < 2.0 Cumple	x: 2.976 m η = 1.3	x: 0 m η = 3.2	x: 2.976 m η = 2.5	x: 2.976 m η = 0.5	x: 2.976 m η = 0.2	η < 0.1	η < 0.1	η < 0.1	x: 0 m η = 4.1	η < 0.1	η = 0.2	x: 2.976 m η = 0.2	x: 2.976 m η = 0.2	CUMPLE h = 4.1
N307/N304	$\bar{\lambda}$ < 2.0 Cumple	x: 2.431 m η = 2.7	x: 0 m η = 7.4	x: 0 m η = 2.2	x: 2.431 m η = 0.3	x: 0 m η = 0.1	η < 0.1	η < 0.1	η < 0.1	x: 0 m η = 9.9	η < 0.1	η = 0.2	x: 0 m η = 0.1	x: 0 m η = 0.1	CUMPLE h = 9.9
N308/N305	$\bar{\lambda}$ < 2.0 Cumple	x: 2.431 m η = 63.1	x: 0 m η = 16.7	x: 2.431 m η = 4.2	x: 0 m η = 0.3	x: 2.431 m η = 0.4	η < 0.1	η < 0.1	η < 0.1	x: 2.431 m η = 67.5	η < 0.1	η = 0.1	x: 2.431 m η = 0.4	x: 2.431 m η = 0.4	CUMPLE h = 67.5
N310/N309	$\bar{\lambda}$ < 2.0 Cumple	x: 2.286 m η = 36.8	x: 0 m η = 17.7	x: 1.143 m η = 0.7	x: 0 m η = 1.4	x: 0 m η = 0.1	η = 0.1	η < 0.1	η < 0.1	x: 0 m η = 38.2	η < 0.1	η = 0.2	x: 0 m η = 0.1	x: 0 m η = 0.1	CUMPLE h = 38.2
N310/N328	$\bar{\lambda}$ < 2.0 Cumple	x: 1.773 m η = 7.0	x: 0 m η = 33.9	x: 0 m η = 4.7	x: 0 m η = 2.0	x: 1.773 m η = 0.4	η = 0.1	η < 0.1	η < 0.1	x: 0 m η = 40.8	η < 0.1	η = 0.4	x: 1.773 m η = 0.4	x: 1.773 m η = 0.4	CUMPLE h = 40.8
N311/N328	$\bar{\lambda}$ < 2.0 Cumple	x: 2.12 m η = 32.0	x: 0 m η = 16.0	x: 2.12 m η = 3.4	x: 0 m η = 1.3	x: 0 m η = 0.3	η = 0.1	η < 0.1	η < 0.1	x: 2.12 m η = 36.0	η < 0.1	η = 0.5	x: 0 m η = 0.3	x: 0 m η = 0.3	CUMPLE h = 36.0
N311/N329	$\bar{\lambda}$ < 2.0 Cumple	x: 1.656 m η = 6.7	x: 0 m η = 29.5	x: 0 m η = 5.1	x: 0 m η = 4.2	x: 1.656 m η = 0.4	η = 0.4	η < 0.1	η < 0.1	x: 0 m η = 38.1	η < 0.1	η = 0.1	x: 1.656 m η = 0.4	x: 1.656 m η = 0.4	CUMPLE h = 38.1
N312/N329	$\bar{\lambda}$ < 2.0 Cumple	x: 1.981 m η = 24.7	x: 0 m η = 11.1	x: 1.981 m η = 2.8	x: 1.981 m η = 3.1	x: 0 m η = 0.2	η = 0.2	η < 0.1	η < 0.1	x: 1.981 m η = 30.7	η < 0.1	η < 0.1	x: 0 m η = 0.2	x: 0 m η = 0.2	CUMPLE h = 30.7
N312/N330	$\bar{\lambda}$ < 2.0 Cumple	x: 1.547 m η = 5.8	x: 0 m η = 22.7	x: 0 m η = 3.8	x: 0 m η = 3.7	x: 1.547 m η = 0.3	η = 0.3	η < 0.1	η < 0.1	x: 0 m η = 29.2	η < 0.1	η = 0.3	x: 1.547 m η = 0.3	x: 1.547 m η = 0.3	CUMPLE h = 29.2
N313/N330	$\bar{\lambda}$ < 2.0 Cumple	x: 1.85 m η = 17.6	x: 0 m η = 7.0	x: 1.85 m η = 2.8	x: 0 m η = 2.1	x: 0 m η = 0.2	η = 0.1	η < 0.1	η < 0.1	x: 1.85 m η = 21.5	η < 0.1	η = 0.1	x: 0 m η = 0.2	x: 0 m η = 0.2	CUMPLE h = 21.5
N313/N331	$\bar{\lambda}$ < 2.0 Cumple	x: 1.445 m η = 4.8	x: 0 m η = 17.1	x: 0 m η = 3.2	x: 0 m η = 2.1	x: 1.445 m η = 0.3	η = 0.2	η < 0.1	η < 0.1	x: 0 m η = 21.9	η < 0.1	η = 0.3	x: 1.445 m η = 0.3	x: 1.445 m η = 0.3	CUMPLE h = 21.9
N314/N331	$\bar{\lambda}$ < 2.0 Cumple	x: 1.728 m η = 12.7	x: 0 m η = 5.2	x: 1.728 m η = 2.6	x: 0 m η = 1.1	x: 0 m η = 0.2	η = 0.1	η < 0.1	η < 0.1	x: 1.728 m η = 15.7	η < 0.1	η < 0.1	x: 0 m η = 0.2	x: 0 m η = 0.2	CUMPLE h = 15.7
N314/N332	$\bar{\lambda}$ < 2.0 Cumple	x: 1.35 m η = 3.8	x: 0 m η = 11.8	x: 0 m η = 2.6	x: 1.35 m η = 1.4	x: 1.35 m η = 0.2	η = 0.1	η < 0.1	η < 0.1	x: 0 m η = 15.0	η < 0.1	η = 0.1	x: 1.35 m η = 0.2	x: 1.35 m η = 0.2	CUMPLE h = 15.0
N315/N332	$\bar{\lambda}$ < 2.0 Cumple	x: 1.615 m η = 7.8	x: 0 m η = 3.6	x: 1.615 m η = 2.6	x: 0 m η = 0.4	x: 0 m η = 0.2	η < 0.1	η < 0.1	η < 0.1	x: 1.615 m η = 10.5	η < 0.1	η = 0.1	x: 0 m η = 0.2	x: 0 m η = 0.2	CUMPLE h = 10.5

Listados

Cobriment de pista a Sant Pere Molanta (Olèrdola)

Fecha: 10/03/26

Barras	COMPROBACIONES (CTE DB SE-A)														Estado
	$\bar{\lambda}$	N_t	N_c	M_y	M_z	V_z	V_y	M_yV_z	M_zV_y	NM_yM_z	$NM_yM_zV_yV_z$	M_t	M_yV_z	M_zV_y	
N315/N333	$\bar{\lambda}$ < 2.0 Cumple	x: 1.261 m η = 2.8	x: 0 m η = 6.8	x: 0 m η = 1.8	x: 1.261 m η = 1.2	x: 1.261 m η = 0.1	η = 0.1	η < 0.1	η < 0.1	x: 0 m η = 8.8	η < 0.1	η = 0.1	x: 1.261 m η = 0.1	x: 1.261 m η = 0.1	CUMPLE h = 8.8
N316/N333	$\bar{\lambda}$ < 2.0 Cumple	x: 1.508 m η = 3.5	x: 0 m η = 2.1	x: 1.508 m η = 2.3	x: 1.508 m η = 0.3	x: 0 m η = 0.1	η < 0.1	η < 0.1	η < 0.1	x: 1.508 m η = 6.1	η < 0.1	η = 0.3	x: 0 m η = 0.1	x: 0 m η = 0.1	CUMPLE h = 6.1
N316/N334	$\bar{\lambda}$ < 2.0 Cumple	x: 1.189 m η = 1.8	x: 0 m η = 2.0	x: 0 m η = 1.7	x: 1.189 m η = 0.6	x: 1.189 m η = 0.1	η < 0.1	η < 0.1	η < 0.1	x: 0 m η = 3.9	η < 0.1	η = 0.2	x: 1.189 m η = 0.1	x: 1.189 m η = 0.1	CUMPLE h = 3.9
N317/N334	$\bar{\lambda}$ < 2.0 Cumple	x: 1.408 m η = 1.8	x: 0 m η = 6.4	x: 1.056 m η = 2.9	x: 0 m η = 0.2	x: 0 m η = 0.1	η < 0.1	η < 0.1	η < 0.1	x: 1.056 m η = 9.4	η < 0.1	η = 0.3	x: 0 m η = 0.1	x: 0 m η = 0.1	CUMPLE h = 9.4
N317/N335	$\bar{\lambda}$ < 2.0 Cumple	x: 1.1 m η = 4.0	x: 0 m η = 0.8	x: 1.1 m η = 8.8	x: 0 m η = 0.6	x: 0 m η = 0.9	η < 0.1	η < 0.1	η < 0.1	x: 1.1 m η = 13.2	η < 0.1	η = 0.2	x: 0 m η = 0.9	x: 0 m η = 0.9	CUMPLE h = 13.2
N318/N335	x: 0 m $\bar{\lambda}$ < 2.0 Cumple	x: 1.324 m η < 0.1	x: 0 m η < 0.1	x: 1.324 m η = 4.5	x: 1.324 m η = 0.1	x: 0 m η = 0.3	η < 0.1	η < 0.1	x: 0.221 m η < 0.1	x: 1.324 m η = 4.6	η < 0.1	M_{Ed} = 0.00 N.P.(1)	N.P.(2)	N.P.(2)	CUMPLE h = 4.6
N318/N336	x: 0 m $\bar{\lambda}$ < 2.0 Cumple	x: 1.034 m η = 0.1	x: 0 m η < 0.1	x: 0 m η = 1.1	x: 1.034 m η = 0.1	x: 1.034 m η = 0.1	η < 0.1	η < 0.1	x: 0.172 m η < 0.1	x: 0 m η = 1.1	η < 0.1	M_{Ed} = 0.00 N.P.(1)	N.P.(2)	N.P.(2)	CUMPLE h = 1.1
N319/N336	$\bar{\lambda}$ < 2.0 Cumple	x: 1.217 m η = 2.7	x: 0 m η = 15.3	x: 0 m η = 6.8	x: 1.217 m η = 0.3	x: 1.217 m η = 0.7	η < 0.1	η < 0.1	η < 0.1	x: 0 m η = 22.6	η < 0.1	η = 0.2	x: 1.217 m η = 0.7	x: 1.217 m η = 0.7	CUMPLE h = 22.6
N319/N337	$\bar{\lambda}$ < 2.0 Cumple	x: 0.96 m η = 13.7	x: 0 m η = 2.2	x: 0.96 m η = 6.2	x: 0 m η = 0.5	x: 0 m η = 0.8	η < 0.1	η < 0.1	η < 0.1	x: 0.96 m η = 20.1	η < 0.1	η = 0.2	x: 0 m η = 0.8	x: 0 m η = 0.8	CUMPLE h = 20.1
N320/N337	$\bar{\lambda}$ < 2.0 Cumple	x: 1.148 m η = 2.7	x: 0 m η = 18.5	x: 0 m η = 3.1	x: 1.148 m η = 0.3	x: 1.148 m η = 0.2	η < 0.1	η < 0.1	η < 0.1	x: 0 m η = 21.9	η < 0.1	η = 0.2	x: 1.148 m η = 0.2	x: 1.148 m η = 0.2	CUMPLE h = 21.9
N320/N338	$\bar{\lambda}$ < 2.0 Cumple	x: 0.898 m η = 13.1	x: 0 m η = 2.1	x: 0.898 m η = 7.1	x: 0 m η = 0.4	x: 0 m η = 0.9	η < 0.1	η < 0.1	η < 0.1	x: 0.898 m η = 20.2	η < 0.1	η = 0.1	x: 0 m η = 0.9	x: 0 m η = 0.9	CUMPLE h = 20.2
N321/N338	$\bar{\lambda}$ < 2.0 Cumple	x: 1.073 m η = 3.8	x: 0 m η = 22.5	x: 0 m η = 4.1	x: 1.073 m η = 0.3	x: 1.073 m η = 0.3	η < 0.1	η < 0.1	η < 0.1	x: 0 m η = 26.9	η < 0.1	η = 0.1	x: 1.073 m η = 0.3	x: 1.073 m η = 0.3	CUMPLE h = 26.9
N321/N339	$\bar{\lambda}$ < 2.0 Cumple	x: 0.838 m η = 17.4	x: 0 m η = 3.1	x: 0.838 m η = 9.2	x: 0 m η = 0.3	x: 0 m η = 1.3	η < 0.1	η < 0.1	η < 0.1	x: 0.838 m η = 26.7	η < 0.1	η = 0.1	x: 0 m η = 1.3	x: 0 m η = 1.3	CUMPLE h = 26.7
N322/N339	$\bar{\lambda}$ < 2.0 Cumple	x: 1.002 m η = 4.7	x: 0 m η = 26.9	x: 0 m η = 5.1	x: 1.002 m η = 0.2	x: 1.002 m η = 0.5	η < 0.1	η < 0.1	η < 0.1	x: 0 m η = 32.2	η < 0.1	η < 0.1	x: 1.002 m η = 0.5	x: 1.002 m η = 0.5	CUMPLE h = 32.2
N322/N340	$\bar{\lambda}$ < 2.0 Cumple	x: 0.788 m η = 21.0	x: 0 m η = 3.8	x: 0.788 m η = 10.4	x: 0.788 m η = 0.5	x: 0 m η = 1.7	η < 0.1	η < 0.1	η < 0.1	x: 0.788 m η = 31.9	η < 0.1	η = 0.1	x: 0 m η = 1.7	x: 0 m η = 1.7	CUMPLE h = 31.9
N323/N340	$\bar{\lambda}$ < 2.0 Cumple	x: 0.935 m η = 6.1	x: 0 m η = 32.1	x: 0 m η = 5.5	x: 0.935 m η = 0.7	x: 0.935 m η = 0.6	η < 0.1	η < 0.1	η < 0.1	x: 0 m η = 38.1	η < 0.1	η = 0.2	x: 0.935 m η = 0.6	x: 0.935 m η = 0.6	CUMPLE h = 38.1
N323/N341	$\bar{\lambda}$ < 2.0 Cumple	x: 0.741 m η = 25.7	x: 0 m η = 5.2	x: 0.741 m η = 12.1	x: 0 m η = 0.7	x: 0 m η = 2.1	η < 0.1	η < 0.1	η < 0.1	x: 0.741 m η = 37.8	η < 0.1	η = 0.2	x: 0 m η = 2.1	x: 0 m η = 2.1	CUMPLE h = 37.8
N324/N341	$\bar{\lambda}$ < 2.0 Cumple	x: 0.873 m η = 6.5	x: 0 m η = 35.7	x: 0 m η = 6.5	x: 0 m η = 0.8	x: 0.873 m η = 0.9	η < 0.1	η < 0.1	η < 0.1	x: 0 m η = 43.0	η < 0.1	η = 0.4	x: 0.873 m η = 0.9	x: 0.873 m η = 0.9	CUMPLE h = 43.0
N324/N342	$\bar{\lambda}$ < 2.0 Cumple	x: 0.682 m η = 28.0	x: 0 m η = 5.3	x: 0.682 m η = 14.3	x: 0.682 m η = 3.0	x: 0 m η = 2.9	η = 0.4	η < 0.1	η < 0.1	x: 0.682 m η = 45.4	η < 0.1	η = 0.9	x: 0 m η = 2.9	x: 0 m η = 2.9	CUMPLE h = 45.4
N325/N342	$\bar{\lambda}$ < 2.0 Cumple	x: 0.815 m η = 8.0	x: 0 m η = 40.6	x: 0 m η = 6.8	x: 0.815 m η = 2.3	x: 0.815 m η = 1.1	η = 0.2	η < 0.1	η < 0.1	x: 0 m η = 47.9	η < 0.1	η = 1.0	x: 0.815 m η = 1.1	x: 0.815 m η = 1.1	CUMPLE h = 47.9
N325/N343	$\bar{\lambda}$ < 2.0 Cumple	x: 0.637 m η = 34.3	x: 0 m η = 7.0	x: 0.637 m η = 16.5	x: 0.637 m η = 0.9	x: 0 m η = 3.6	η = 0.2	η < 0.1	η < 0.1	x: 0.637 m η = 51.4	η < 0.1	η = 0.5	x: 0 m η = 3.6	x: 0 m η = 3.6	CUMPLE h = 51.4
N326/N343	$\bar{\lambda}$ < 2.0 Cumple	x: 0.762 m η = 8.7	x: 0 m η = 45.3	x: 0 m η = 10.1	x: 0.762 m η = 1.0	x: 0.762 m η = 1.8	η = 0.1	η < 0.1	η < 0.1	x: 0 m η = 55.9	η < 0.1	η < 0.1	x: 0.762 m η = 1.8	x: 0.762 m η = 1.8	CUMPLE h = 55.9
N326/N344	$\bar{\lambda}$ < 2.0 Cumple	x: 0.781 m η = 38.8	x: 0 m η = 8.0	x: 0 m η = 9.3	x: 0.781 m η = 3.5	x: 0 m η = 1.7	η = 0.4	η < 0.1	η < 0.1	x: 0.781 m η = 50.3	η < 0.1	η = 1.1	x: 0 m η = 1.7	x: 0 m η = 1.7	CUMPLE h = 50.3
N349/N346	$\bar{\lambda}$ < 2.0 Cumple	x: 2.433 m η = 7.3	x: 0 m η = 38.9	x: 2.433 m η = 2.4	x: 0 m η = 1.4	x: 2.433 m η = 0.2	η < 0.1	η < 0.1	η < 0.1	x: 0 m η = 42.6	η < 0.1	η = 0.4	x: 2.433 m η = 0.2	x: 2.433 m η = 0.2	CUMPLE h = 42.6
N346/N350	$\bar{\lambda}$ < 2.0 Cumple	x: 2.976 m η = 1.4	x: 0 m η = 2.8	x: 2.976 m η = 2.3	x: 2.976 m η = 1.1	x: 2.976 m η = 0.2	η < 0.1	η < 0.1	η < 0.1	x: 2.976 m η = 4.0	η < 0.1	η = 0.3	x: 2.976 m η = 0.2	x: 2.976 m η = 0.2	CUMPLE h = 4.0
N350/N347	$\bar{\lambda}$ < 2.0 Cumple	x: 2.431 m η = 2.1	x: 0 m η = 4.8	x: 0 m η = 1.9	x: 0 m η = 1.4	x: 0 m η = 0.1	η = 0.1	η < 0.1	η < 0.1	x: 0 m η = 7.5	η < 0.1	η = 0.2	x: 0 m η = 0.1	x: 0 m η = 0.1	CUMPLE h = 7.5
N351/N348	$\bar{\lambda}$ < 2.0 Cumple	x: 2.431 m η = 60.2	x: 0 m η = 14.3	x: 2.431 m η = 4.0	x: 2.431 m η = 0.3	x: 2.431 m η = 0.4	η < 0.1	η < 0.1	η < 0.1	x: 2.431 m η = 64.5	η < 0.1	η = 0.1	x: 2.431 m η = 0.4	x: 2.431 m η = 0.4	CUMPLE h = 64.5
N353/N352	$\bar{\lambda}$ < 2.0 Cumple	x: 2.286 m η = 38.3	x: 0 m η = 17.4	x: 1.333 m η = 0.6	x: 0 m η = 1.0	x: 0 m η = 0.1	η = 0.1	η < 0.1	η < 0.1	x: 0 m η = 39.6	η < 0.1	η = 0.2	x: 0 m η = 0.1	x: 0 m η = 0.1	CUMPLE h = 39.6
N353/N371	$\bar{\lambda}$ < 2.0 Cumple	x: 1.773 m η = 6.9	x: 0 m η = 35.7	x: 0 m η = 5.2	x: 0 m η = 1.7	x: 1.773 m η = 0.5	η = 0.1	η < 0.1	η < 0.1	x: 0 m η = 42.9	η < 0.1	η = 0.3	x: 1.773 m η = 0.5	x: 1.773 m η = 0.5	CUMPLE h = 42.9
N354/N371	$\bar{\lambda}$ < 2.0 Cumple	x: 2.12 m η = 33.8	x: 0 m η = 15.9	x: 2.12 m η = 3.4	x: 0 m η = 1.1	x: 0 m η = 0.3	η = 0.1	η < 0.1	η < 0.1	x: 2.12 m η = 37.8	η < 0.1	η = 0.5	x: 0 m η = 0.3	x: 0 m η = 0.3	CUMPLE h = 37.8
N354/N372	$\bar{\lambda}$ < 2.0 Cumple	x: 1.656 m η = 6.7	x: 0 m η = 31.2	x: 0 m η = 5.4	x: 1.656 m η = 2.2	x: 1.656 m η = 0.5	η = 0.2	η < 0.1	η < 0.1	x: 0 m η = 38.6	η < 0.1	η = 0.6	x: 1.656 m η = 0.5	x: 1.656 m η = 0.5	CUMPLE h = 38.6
N355/N372	$\bar{\lambda}$ < 2.0 Cumple	x: 1.981 m η = 26.6	x: 0 m η = 11.4	x: 1.981 m η = 2.8	x: 1.981 m η = 1.7	x: 0 m η = 0.2	η = 0.1	η < 0.1	η < 0.1	x: 1.981 m η = 29.8	η < 0.1	η = 0.7	x: 0 m η = 0.2	x: 0 m η = 0.2	CUMPLE h = 29.8
N355/N373	$\bar{\lambda}$ < 2.0 Cumple	x: 1.547 m η = 5.9	x: 0 m η = 24.5	x: 0 m η = 3.9	x: 0 m η = 3.7	x: 1.547 m η = 0.3	η = 0.3	η < 0.1	η < 0.1	x: 0 m η = 31.3	η < 0.1	η = 0.3	x: 1.547 m η = 0.3	x: 1.547 m η = 0.3	CUMPLE h = 31.3
N356/N373	$\bar{\lambda}$ < 2.0 Cumple	x: 1.85 m η = 19.1	x: 0 m η = 7.4	x: 1.85 m η = 2.9	x: 0 m η = 2.1	x: 0 m η = 0.2	η = 0.1	η < 0.1	η < 0.1	x: 1.85 m η = 23.0	η < 0.1	η = 0.2	x: 0 m η = 0.2	x: 0 m η = 0.2	CUMPLE h = 23.0
N356/N374	$\bar{\lambda}$ < 2.0 Cumple	x: 1.445 m η = 5.0	x: 0 m η = 18.8	x: 0 m η = 3.6	x: 0 m η = 2.4	x: 1.445 m η = 0.3	η = 0.2	η < 0.1	η < 0.1	x: 0 m η = 24.1	η < 0.1	η = 0.3	x: 1.445 m η = 0.3	x: 1.445 m η = 0.3	CUMPLE h = 24.1
N357/N374	$\bar{\lambda}$ < 2.0 Cumple	x: 1.728 m η = 14.1	x: 0 m η = 5.6	x: 1.728 m η = 2.7	x: 0 m η = 1.3	x: 0 m η = 0.2	η = 0.1	η < 0.1	η < 0.1	x: 1.728 m η = 17.3	η < 0.1	η = 0.1	x: 0 m η = 0.2	x: 0 m η = 0.2	CUMPLE h = 17.3
N357/N375	$\bar{\lambda}$ < 2.0 Cumple	x: 1.35 m η = 4.0	x: 0 m η = 13.2	x: 0 m η = 2.9	x: 1.35 m η = 1.5	x: 1.35 m η = 0.2	η = 0.1	η < 0.1	η < 0.1	x: 0 m η = 16.9	η < 0.1	η = 0.2	x: 1.35 m η = 0.2	x: 1.35 m η = 0.2	CUMPLE h = 16.9
N358/N375	$\bar{\lambda}$ < 2.0 Cumple	x: 1.615 m η = 9.0	x: 0 m η = 4.0	x: 1.615 m η = 2.6	x: 0 m η = 0.6	x: 0 m η = 0.2	η < 0.1	η < 0.1	η < 0.1	x: 1.615 m η = 11.8	η < 0.1	η = 0.3	x: 0 m η = 0.2	x: 0 m η = 0.2	CUMPLE h = 11.8
N358/N376	$\bar{\lambda}$ < 2.0 Cumple	x: 1.261 m η = 3.1	x: 0 m η = 8.0	x: 0 m η = 2.1	x: 1.261 m η = 1.1	x: 1.261 m η = 0.1	η = 0.1	η < 0.1	η < 0.1	x: 0 m η = 10.3	η < 0.1	η = 0.3	x: 1.261 m η = 0.1	x: 1.261 m η = 0.1	CUMPLE h = 10.3
N359/N376	$\bar{\lambda}$ < 2.0 Cumple	x: 1.508 m η = 4.5	x: 0 m η = 2.6	x: 1.508 m η = 2.4	x: 1.508 m η = 0.6	x: 0 m η = 0.1	η < 0.1	η < 0.1	η < 0.1	x: 1.508 m η = 6.9	η < 0.1	η = 0.4	x: 0 m η = 0.1	x: 0 m η = 0.1	CUMPLE h = 6.9
N359/N377	$\bar{\lambda}$ < 2.0 Cumple	x: 1.189 m η = 2.1	x: 0 m η = 3.1	x: 0 m η = 1.8	x: 1.189 m η = 0.7	x: 1.189 m η = 0.1	η < 0.1	η < 0.1	η < 0.1	x: 0 m η = 5.1	η < 0.1	η = 0.4	x: 1.189 m η = 0.1	x: 1.189 m η = 0.1	CUMPLE h = 5.1
N360/N377	$\bar{\lambda}$ < 2.0 Cumple	x: 1.408 m η = 1.2	x: 0 m η = 4.9	x: 1.232 m η = 2.9	x: 1.408 m η = 0.5	x: 0 m η = 0.1	η < 0.1	η < 0.1	η < 0.1	x: 1.232 m η = 7.9	η < 0.1	η = 0.4	x: 0 m η = 0.1	x: 0 m η = 0.1	CUMPLE h = 7.9
N360/N378	$\bar{\lambda}$ < 2.0 Cumple	x: 1.1 m η = 3.1	x: 0 m η = 0.3	x: 1.1 m η = 8.0	x: 0 m η = 0.6	x: 0 m η = 0.8	η < 0.1	η < 0.1	η < 0.1	x: 1.1 m η = 11.5	η < 0.1	η = 0.4	x: 0 m η = 0.8	x: 0 m η = 0.8	CUMPLE h = 11.5
N361/N378	x: 0 m $\bar{\lambda}$ < 2.0 Cumple	x: 1.324 m η < 0.1	x: 0 m η < 0.1	x: 1.324 m η = 4.5	x: 1.324 m η = 0.2	x: 0 m η = 0.2	η < 0.1	η < 0.1	x: 0.221 m η < 0.1	x: 1.324 m η = 4.7	η < 0.1	η < 0.1	x: 0 m η = 0.2	x: 0 m η = 0.2	CUMPLE h = 4.7
N361/N379	x: 0 m $\bar{\lambda}$ < 2.0 Cumple	x: 1.034 m η = 0.1	x: 0 m η < 0.1	x: 0 m η = 1.0	x: 1.034 m η = 0.2	x: 1.034 m η = 0.1	η < 0.1	η < 0.1	η < 0.1	x: 0.172 m η = 1.2	η < 0.1	M_{Ed} = 0.00 N.P.(1)	N.P.(2)	N.P.(2)	CUMPLE h = 1.2
N362/N379	$\bar{\lambda}$ < 2.0 Cumple	x: 1.217 m η = 2.1	x: 0 m η = 14.5	x: 0 m η = 6.4	x: 1.217 m η = 0.6	x: 1.217 m η = 0.6	η < 0.1	η < 0.1	η < 0.1	x: 0 m η = 21.3	η < 0.1	η = 0.4	x: 1.217 m η = 0.6	x: 1.217 m η = 0.6	CUMPLE h = 21.3
N362/N380	$\bar{\lambda}$ < 2.0 Cumple	x: 0.96 m η = 12.9	x: 0 m η = 1.5	x: 0.96 m η = 6.3	x: 0 m η = 0.6	x: 0 m η = 0.8	η < 0.1	η < 0.1	η < 0.1	x: 0.96 m η = 19.6	η < 0.1	η = 0.4	x: 0 m η = 0.8	x: 0 m η = 0.8	CUMPLE h = 19.6
N363/N380	$\bar{\lambda}$ < 2.0 Cumple	x: 1.148 m η = 2.2	x: 0 m η = 18.2	x: 0 m η = 3.2	x: 1.148 m η = 0.6	x: 1.148 m η = 0.2	η < 0.1	η < 0.1	η < 0.1	x: 0 m η = 21.7	η < 0.1	η = 0.3	x: 1.148 m η = 0.2	x: 1.148 m η = 0.2	CUMPLE h = 21.7
N363/N381	$\bar{\lambda}$ < 2.0 Cumple	x: 0.898 m η = 12.9	x: 0 m η = 1.7	x: 0.898 m η = 7.1	x: 0 m η = 0.7	x: 0 m η = 0.9	η < 0.1	η < 0.1	η < 0.1	x: 0.898 m η = 20.3	η < 0.1	η = 0.2	x: 0 m η = 0.9	x: 0 m η = 0.9	CUMPLE h = 20.3

AJUNTAMENT D'OLERDOLA
Aquest document és una còpia simple del document electrònic original.

Codi Segur de Verificació:
62ffb294-fe9f-412a-95ff-e789b2359074
Origen: Administració
Identificador document: ES_L01081000_2026_28828185
Data d'impressió: 03/11/2026 13:44:57
Pàgina 179 de 247

SIGNATURES
1.- ESTEVE AYMERICH (R: J62755897), 27/07/2026 11:04

Listados

Cobriment de pista a Sant Pere Molanta (Olèrdola)

Fecha: 10/03/26

Barras	COMPROBACIONES (CTE DB SE-A)														Estado
	$\bar{\lambda}$	N_t	N_c	M_y	M_z	V_z	V_y	M_yV_z	M_zV_y	NM_yM_z	$NM_yM_zV_yV_z$	M_t	M_tV_z	M_tV_y	
N364/N381	$\bar{\lambda}$ < 2.0 Cumple	x: 1.073 m η = 3.4	x: 0 m η = 22.5	x: 0 m η = 4.0	x: 1.073 m η = 0.6	x: 1.073 m η = 0.3	η < 0.1	η < 0.1	η < 0.1	x: 0 m η = 27.1	η < 0.1	η = 0.3	x: 1.073 m η = 0.3	x: 1.073 m η = 0.3	CUMPLE h = 27.1
N364/N382	$\bar{\lambda}$ < 2.0 Cumple	x: 0.838 m η = 17.4	x: 0 m η = 2.8	x: 0.838 m η = 9.3	x: 0 m η = 0.9	x: 0 m η = 1.3	η = 0.1	η < 0.1	η < 0.1	x: 0.838 m η = 26.9	η < 0.1	η = 0.3	x: 0 m η = 1.3	x: 0 m η = 1.3	CUMPLE h = 26.9
N365/N382	$\bar{\lambda}$ < 2.0 Cumple	x: 1.002 m η = 4.2	x: 0 m η = 27.0	x: 0 m η = 5.1	x: 0 m η = 0.8	x: 1.002 m η = 0.5	η = 0.1	η < 0.1	η < 0.1	x: 0 m η = 32.9	η < 0.1	η = 0.3	x: 1.002 m η = 0.5	x: 1.002 m η = 0.5	CUMPLE h = 32.9
N365/N383	$\bar{\lambda}$ < 2.0 Cumple	x: 0.788 m η = 21.1	x: 0 m η = 3.3	x: 0.788 m η = 10.7	x: 0.788 m η = 1.4	x: 0 m η = 1.7	η = 0.2	η < 0.1	η < 0.1	x: 0.788 m η = 33.1	η < 0.1	η = 0.6	x: 0 m η = 1.7	x: 0 m η = 1.7	CUMPLE h = 33.1
N366/N383	$\bar{\lambda}$ < 2.0 Cumple	x: 0.935 m η = 5.6	x: 0 m η = 32.6	x: 0 m η = 5.6	x: 0.935 m η = 1.2	x: 0.935 m η = 0.6	η = 0.1	η < 0.1	η < 0.1	x: 0 m η = 38.6	η < 0.1	η = 0.6	x: 0.935 m η = 0.6	x: 0.935 m η = 0.6	CUMPLE h = 38.6
N366/N384	$\bar{\lambda}$ < 2.0 Cumple	x: 0.741 m η = 26.1	x: 0 m η = 4.9	x: 0.741 m η = 12.3	x: 0 m η = 0.6	x: 0 m η = 2.2	η = 0.1	η < 0.1	η < 0.1	x: 0.741 m η = 38.5	η < 0.1	η = 0.3	x: 0 m η = 2.2	x: 0 m η = 2.2	CUMPLE h = 38.5
N367/N384	$\bar{\lambda}$ < 2.0 Cumple	x: 0.873 m η = 6.0	x: 0 m η = 36.3	x: 0 m η = 6.6	x: 0 m η = 0.6	x: 0.873 m η = 0.9	η = 0.1	η < 0.1	η < 0.1	x: 0 m η = 43.5	η < 0.1	η = 0.2	x: 0.873 m η = 0.9	x: 0.873 m η = 0.9	CUMPLE h = 43.5
N367/N385	$\bar{\lambda}$ < 2.0 Cumple	x: 0.682 m η = 28.5	x: 0 m η = 4.9	x: 0.682 m η = 14.9	x: 0.682 m η = 1.0	x: 0 m η = 3.0	η = 0.2	η < 0.1	η < 0.1	x: 0.682 m η = 44.4	η < 0.1	η = 0.4	x: 0 m η = 3.0	x: 0 m η = 3.0	CUMPLE h = 44.4
N368/N385	$\bar{\lambda}$ < 2.0 Cumple	x: 0.815 m η = 7.7	x: 0 m η = 41.8	x: 0 m η = 7.0	x: 0.815 m η = 1.4	x: 0.815 m η = 1.1	η = 0.2	η < 0.1	η < 0.1	x: 0 m η = 49.5	η < 0.1	η = 0.3	x: 0.815 m η = 1.1	x: 0.815 m η = 1.1	CUMPLE h = 49.5
N368/N386	$\bar{\lambda}$ < 2.0 Cumple	x: 0.637 m η = 35.2	x: 0 m η = 6.7	x: 0.637 m η = 16.9	x: 0 m η = 0.9	x: 0 m η = 3.7	η = 0.1	η < 0.1	η < 0.1	x: 0.637 m η = 52.3	η < 0.1	η = 0.2	x: 0 m η = 3.7	x: 0 m η = 3.7	CUMPLE h = 52.3
N369/N386	$\bar{\lambda}$ < 2.0 Cumple	x: 0.762 m η = 8.3	x: 0 m η = 46.5	x: 0 m η = 10.3	x: 0 m η = 1.1	x: 0.762 m η = 1.8	η = 0.2	η < 0.1	η < 0.1	x: 0 m η = 57.7	η < 0.1	η = 0.2	x: 0.762 m η = 1.8	x: 0.762 m η = 1.8	CUMPLE h = 57.7
N369/N387	$\bar{\lambda}$ < 2.0 Cumple	x: 0.781 m η = 39.8	x: 0 m η = 7.6	x: 0 m η = 9.6	x: 0.781 m η = 4.8	x: 0 m η = 1.7	η = 0.8	η < 0.1	η < 0.1	x: 0.781 m η = 52.9	η < 0.1	η = 1.0	x: 0 m η = 1.7	x: 0 m η = 1.7	CUMPLE h = 52.9
N392/N389	$\bar{\lambda}$ < 2.0 Cumple	x: 2.433 m η = 11.7	x: 0 m η = 54.2	x: 2.433 m η = 2.2	x: 2.433 m η = 1.3	x: 2.433 m η = 0.2	η < 0.1	η < 0.1	η < 0.1	x: 0 m η = 57.4	η < 0.1	η = 0.3	x: 2.433 m η = 0.2	x: 2.433 m η = 0.2	CUMPLE h = 57.4
N389/N393	$\bar{\lambda}$ < 2.0 Cumple	x: 2.976 m η = 3.7	x: 0 m η = 5.9	x: 2.976 m η = 3.0	x: 2.976 m η = 6.7	x: 2.976 m η = 0.2	η = 0.2	η < 0.1	η < 0.1	x: 2.976 m η = 9.4	η < 0.1	η = 1.5	x: 2.976 m η = 0.2	x: 2.976 m η = 0.2	CUMPLE h = 9.4
N393/N390	$\bar{\lambda}$ < 2.0 Cumple	x: 2.431 m η = 4.6	x: 0 m η = 13.0	x: 0 m η = 2.9	x: 0 m η = 11.1	x: 0 m η = 0.2	η = 0.5	η < 0.1	η < 0.1	x: 0 m η = 17.0	η < 0.1	η = 0.6	x: 0 m η = 0.2	x: 0 m η = 0.2	CUMPLE h = 17.0
N394/N391	$\bar{\lambda}$ < 2.0 Cumple	x: 2.431 m η = 63.6	x: 0 m η = 15.9	x: 2.431 m η = 4.2	x: 0 m η = 0.3	x: 2.431 m η = 0.4	η < 0.1	η < 0.1	η < 0.1	x: 2.431 m η = 68.0	η < 0.1	η = 0.1	x: 2.431 m η = 0.4	x: 2.431 m η = 0.4	CUMPLE h = 68.0
N396/N395	$\bar{\lambda}$ < 2.0 Cumple	x: 2.286 m η = 27.3	x: 0 m η = 3.7	x: 1.333 m η = 0.9	x: 0 m η = 4.6	x: 0 m η = 0.1	η = 0.2	η < 0.1	η < 0.1	x: 0 m η = 32.0	η < 0.1	η = 1.2	x: 0 m η = 0.1	x: 0 m η = 0.1	CUMPLE h = 32.0
N396/N414	$\bar{\lambda}$ < 2.0 Cumple	x: 1.773 m η = 0.9	x: 0 m η = 24.9	x: 0 m η = 3.2	x: 0 m η = 6.7	x: 1.773 m η = 0.3	η = 0.4	η < 0.1	η < 0.1	x: 0 m η = 34.5	η < 0.1	η = 1.4	x: 1.773 m η = 0.3	x: 1.773 m η = 0.3	CUMPLE h = 34.5
N397/N414	$\bar{\lambda}$ < 2.0 Cumple	x: 2.12 m η = 23.0	x: 0 m η = 3.4	x: 2.12 m η = 2.5	x: 0 m η = 6.8	x: 0 m η = 0.2	η = 0.3	η < 0.1	η < 0.1	x: 0 m η = 31.2	η < 0.1	η = 2.1	x: 0 m η = 0.2	x: 0 m η = 0.2	CUMPLE h = 31.2
N397/N415	$\bar{\lambda}$ < 2.0 Cumple	x: 1.656 m η = 0.8	x: 0 m η = 21.2	x: 0 m η = 3.7	x: 1.656 m η = 18.7	x: 1.656 m η = 0.3	η = 1.6	η < 0.1	η < 0.1	x: 0 m η = 43.3	η < 0.1	η = 0.1	x: 1.656 m η = 0.3	x: 1.656 m η = 0.3	CUMPLE h = 43.3
N398/N415	$\bar{\lambda}$ < 2.0 Cumple	x: 1.981 m η = 17.3	x: 0 m η = 1.4	x: 1.981 m η = 2.3	x: 0 m η = 13.0	x: 0 m η = 0.2	η = 0.9	η < 0.1	η < 0.1	x: 1.981 m η = 32.0	η < 0.1	η = 0.5	x: 0 m η = 0.2	x: 0 m η = 0.2	CUMPLE h = 32.0
N398/N416	$\bar{\lambda}$ < 2.0 Cumple	x: 1.547 m η = 0.7	x: 0 m η = 15.8	x: 0 m η = 2.6	x: 1.547 m η = 16.4	x: 1.547 m η = 0.2	η = 1.5	η < 0.1	η < 0.1	x: 1.547 m η = 33.8	η < 0.1	η = 0.7	x: 1.547 m η = 0.2	x: 1.547 m η = 0.2	CUMPLE h = 33.8
N399/N416	$\bar{\lambda}$ ≤ 3.0 Cumple	x: 1.85 m η = 12.1	N_{Ed} = 0.00 N.P.[3]	x: 1.85 m η = 2.2	x: 0 m η = 8.4	x: 0 m η = 0.2	η = 0.6	η < 0.1	η < 0.1	x: 0 m η = 20.8	η < 0.1	η = 0.6	x: 0 m η = 0.2	x: 0 m η = 0.2	CUMPLE h = 20.8
N399/N417	$\bar{\lambda}$ < 2.0 Cumple	x: 1.445 m η = 0.5	x: 0 m η = 11.4	x: 0 m η = 2.2	x: 1.445 m η = 12.6	x: 1.445 m η = 0.2	η = 1.0	η < 0.1	η < 0.1	x: 1.445 m η = 24.7	η < 0.1	η = 0.3	x: 1.445 m η = 0.2	x: 1.445 m η = 0.2	CUMPLE h = 24.7
N400/N417	$\bar{\lambda}$ ≤ 3.0 Cumple	x: 1.728 m η = 8.3	N_{Ed} = 0.00 N.P.[3]	x: 1.728 m η = 2.1	x: 0 m η = 3.4	x: 0 m η = 0.2	η = 0.3	η < 0.1	η < 0.1	x: 1.728 m η = 13.2	η < 0.1	η = 1.3	x: 0 m η = 0.2	x: 0 m η = 0.2	CUMPLE h = 13.2
N400/N418	$\bar{\lambda}$ < 2.0 Cumple	x: 1.35 m η = 0.3	x: 0 m η = 7.4	x: 0 m η = 1.7	x: 1.35 m η = 9.4	x: 1.35 m η = 0.1	η = 0.6	η < 0.1	η < 0.1	x: 1.35 m η = 17.2	η < 0.1	η = 0.9	x: 1.35 m η = 0.1	x: 1.35 m η = 0.1	CUMPLE h = 17.2
N401/N418	$\bar{\lambda}$ ≤ 3.0 Cumple	x: 1.615 m η = 4.6	N_{Ed} = 0.00 N.P.[3]	x: 1.615 m η = 2.0	x: 1.615 m η = 2.1	x: 0 m η = 0.1	η = 0.1	η < 0.1	η < 0.1	x: 1.615 m η = 8.6	η < 0.1	η = 2.2	x: 0 m η = 0.1	x: 0 m η = 0.1	CUMPLE h = 8.6
N401/N419	$\bar{\lambda}$ < 2.0 Cumple	x: 1.261 m η = 0.2	x: 0 m η = 3.6	x: 0.841 m η = 1.3	x: 1.261 m η = 9.1	x: 1.261 m η = 0.1	η = 0.4	η < 0.1	η < 0.1	x: 1.261 m η = 13.4	η < 0.1	η = 2.2	x: 1.261 m η = 0.1	x: 1.261 m η = 0.1	CUMPLE h = 13.4
N402/N419	$\bar{\lambda}$ ≤ 3.0 Cumple	x: 1.508 m η = 2.5	N_{Ed} = 0.00 N.P.[3]	x: 1.131 m η = 1.9	x: 1.508 m η = 3.6	x: 0 m η = 0.1	η = 0.1	η < 0.1	η < 0.1	x: 1.508 m η = 6.7	η < 0.1	η = 3.1	x: 0 m η = 0.1	x: 0 m η = 0.1	CUMPLE h = 6.7
N402/N420	$\bar{\lambda}$ < 2.0 Cumple	x: 1.189 m η = 0.4	x: 0 m η = 1.8	x: 0.594 m η = 1.2	x: 1.189 m η = 5.2	x: 1.189 m η = 0.1	η < 0.1	η < 0.1	η < 0.1	x: 1.189 m η = 6.6	η < 0.1	η = 2.5	x: 1.189 m η = 0.1	x: 1.189 m η = 0.1	CUMPLE h = 6.6
N403/N420	$\bar{\lambda}$ < 2.0 Cumple	x: 1.408 m η = 2.8	x: 0 m η = 8.1	x: 0.704 m η = 2.5	x: 0 m η = 3.2	x: 0 m η = 0.1	η < 0.1	η < 0.1	η < 0.1	x: 0.176 m η = 12.7	η < 0.1	η = 3.0	x: 0 m η = 0.1	x: 0 m η = 0.1	CUMPLE h = 12.7
N403/N421	$\bar{\lambda}$ < 2.0 Cumple	x: 1.1 m η = 5.2	x: 0 m η = 1.7	x: 1.1 m η = 9.0	x: 0 m η = 5.1	x: 0 m η = 1.0	η = 0.1	η < 0.1	η < 0.1	x: 1.1 m η = 18.4	η < 0.1	η = 2.8	x: 0 m η = 1.0	x: 0 m η = 1.0	CUMPLE h = 18.4
N404/N421	$\bar{\lambda}$ < 2.0 Cumple	x: 1.324 m η < 0.1	x: 0 m η < 0.1	x: 1.324 m η = 4.0	x: 1.324 m η = 0.4	x: 0 m η = 0.2	η < 0.1	η < 0.1	x: 0.221 m η < 0.1	x: 1.324 m η = 4.4	η < 0.1	η = 0.1	x: 0 m η = 0.2	x: 0 m η = 0.2	CUMPLE h = 4.4
N404/N422	x: 0 m $\bar{\lambda}$ < 2.0 Cumple	x: 1.034 m η = 0.1	x: 0 m η < 0.1	x: 0 m η = 0.9	x: 1.034 m η = 0.4	x: 1.034 m η = 0.1	η < 0.1	η < 0.1	η < 0.1	x: 0 m η = 1.0	η < 0.1	M_{Ed} = 0.00 N.P.[1]	N.P.[2]	N.P.[2]	CUMPLE h = 1.0
N405/N422	$\bar{\lambda}$ < 2.0 Cumple	x: 1.217 m η = 2.3	x: 0 m η = 14.5	x: 0 m η = 6.6	x: 1.217 m η = 3.9	x: 1.217 m η = 0.7	η = 0.1	η < 0.1	η < 0.1	x: 0 m η = 23.2	η < 0.1	η = 2.9	x: 1.217 m η = 0.7	x: 1.217 m η = 0.7	CUMPLE h = 23.2
N405/N423	$\bar{\lambda}$ < 2.0 Cumple	x: 0.96 m η = 13.2	x: 0 m η = 1.9	x: 0.96 m η = 5.3	x: 0 m η = 3.9	x: 0 m η = 0.8	η = 0.1	η < 0.1	η < 0.1	x: 0.96 m η = 21.4	η < 0.1	η = 2.6	x: 0 m η = 0.8	x: 0 m η = 0.8	CUMPLE h = 21.4
N406/N423	$\bar{\lambda}$ < 2.0 Cumple	x: 1.148 m η = 1.5	x: 0 m η = 16.5	x: 0 m η = 2.5	x: 1.148 m η = 3.3	x: 1.148 m η = 0.1	η < 0.1	η < 0.1	η < 0.1	x: 0.191 m η = 21.1	η < 0.1	η = 2.5	x: 1.148 m η = 0.1	x: 1.148 m η = 0.1	CUMPLE h = 21.1
N406/N424	$\bar{\lambda}$ < 2.0 Cumple	x: 0.898 m η = 11.5	x: 0 m η = 0.9	x: 0.898 m η = 6.3	x: 0 m η = 3.5	x: 0 m η = 0.8	η = 0.2	η < 0.1	η < 0.1	x: 0.898 m η = 19.3	η < 0.1	η = 2.2	x: 0 m η = 0.8	x: 0 m η = 0.8	CUMPLE h = 19.3
N407/N424	$\bar{\lambda}$ < 2.0 Cumple	x: 1.073 m η = 1.3	x: 0 m η = 19.4	x: 0 m η = 3.5	x: 0 m η = 3.1	x: 1.073 m η = 0.3	η < 0.1	η < 0.1	η < 0.1	x: 0 m η = 25.0	η < 0.1	η = 2.1	x: 1.073 m η = 0.3	x: 1.073 m η = 0.3	CUMPLE h = 25.0
N407/N425	$\bar{\lambda}$ < 2.0 Cumple	x: 0.838 m η = 15.1	x: 0 m η = 0.9	x: 0.838 m η = 7.8	x: 0 m η = 3.3	x: 0 m η = 1.1	η = 0.3	η < 0.1	η < 0.1	x: 0 m η = 23.3	η < 0.1	η = 1.9	x: 0 m η = 1.2	x: 0 m η = 1.2	CUMPLE h = 23.3
N408/N425	$\bar{\lambda}$ < 2.0 Cumple	x: 1.002 m η = 1.3	x: 0 m η = 22.8	x: 0 m η = 4.2	x: 0 m η = 3.6	x: 1.002 m η = 0.4	η = 0.1	η < 0.1	η < 0.1	x: 0 m η = 29.5	η < 0.1	η = 1.8	x: 1.002 m η = 0.4	x: 1.002 m η = 0.4	CUMPLE h = 29.5
N408/N426	$\bar{\lambda}$ < 2.0 Cumple	x: 0.788 m η = 17.9	x: 0 m η = 0.8	x: 0.788 m η = 8.8	x: 0.788 m η = 4.3	x: 0 m η = 1.4	η = 0.3	η < 0.1	η < 0.1	x: 0.788 m η = 31.0	η < 0.1	η = 2.7	x: 0 m η = 1.5	x: 0 m η = 1.5	CUMPLE h = 31.0
N409/N426	$\bar{\lambda}$ < 2.0 Cumple	x: 0.935 m η = 1.6	x: 0 m η = 26.7	x: 0 m η = 4.6	x: 0.935 m η = 4.9	x: 0.935 m η = 0.5	η = 0.2	η < 0.1	η < 0.1	x: 0 m η = 32.9	η < 0.1	η = 2.5	x: 0.935 m η = 0.5	x: 0.935 m η = 0.5	CUMPLE h = 32.9
N409/N427	$\bar{\lambda}$ < 2.0 Cumple	x: 0.741 m η = 21.4	x: 0 m η = 1.2	x: 0.741 m η = 10.1	x: 0 m η = 2.6	x: 0 m η = 1.8	η = 0.4	η < 0.1	η < 0.1	x: 0.741 m η = 32.9	η < 0.1	η = 1.7	x: 0 m η = 1.8	x: 0 m η = 1.8	CUMPLE h = 32.9
N410/N427	$\bar{\lambda}$ < 2.0 Cumple	x: 0.873 m η = 1.5	x: 0 m η = 29.8	x: 0 m η = 5.3	x: 0 m η = 3.4	x: 0.873 m η = 0.7	η = 0.2	η < 0.1	η < 0.1	x: 0 m η = 37.5	η < 0.1	η = 1.3	x: 0.873 m η = 0.7	x: 0.873 m η = 0.7	CUMPLE h = 37.5
N410/N428	$\bar{\lambda}$ < 2.0 Cumple	x: 0.682 m η = 23.5	x: 0 m η = 1.0	x: 0.682 m η = 11.9	x: 0.682 m η = 4.9	x: 0 m η = 2.4	η = 0.7	η < 0.1	η < 0.1	x: 0.682 m η = 40.3	η < 0.1	η = 2.5	x: 0 m η = 2.5	x: 0 m η = 2.5	CUMPLE h = 40.3
N411/N428	$\bar{\lambda}$ < 2.0 Cumple	x: 0.815 m η = 1.9	x: 0 m η = 33.4	x: 0 m η = 5.7	x: 0.815 m η = 7.5	x: 0.815 m η = 0.9	η = 0.7	η < 0.1	η < 0.1	x: 0.815 m η = 43.6	η < 0.1	η = 1.8	x: 0.815 m η = 0.9	x: 0.815 m η = 0.9	CUMPLE h = 43.6
N411/N429	$\bar{\lambda}$ < 2.0 Cumple	x: 0.637 m η = 28.3	x: 0 m η = 1.5	x: 0.637 m η = 13.5	x: 0 m η = 2.9	x: 0 m η = 3.0	η = 0.3	η < 0.1	η < 0.1	x: 0.637 m η = 44.1	η < 0.1	η = 0.9	x: 0 m η = 3.0	x: 0 m η = 3.0	CUMPLE h = 44.1
N412/N429	$\bar{\lambda}$ < 2.0 Cumple	x: 0.762 m η = 1.8	x: 0 m η = 37.0	x: 0 m η = 8.3	x: 0.762 m η = 4.5	x: 0.762 m η = 1.5	η = 0.6	η < 0.1	η < 0.1	x: 0.762 m η = 46.6	η < 0.1	η = 0.6	x: 0.762 m η = 1.5	x: 0.762 m η = 1.5	CUMPLE h = 46.6
N412/N430	$\bar{\lambda}$ < 2.0 Cumple	x: 0.781 m η = 32.1	x: 0 m η = 1.7	x: 0 m η = 7.6	x: 0 m η = 6.3	x: 0 m η = 1.3	η = 0.5	η < 0.1	η < 0.1	x: 0 m η = 46.0	η < 0.1	η = 1.6	x: 0 m η = 1.4	x: 0 m η = 1.4	CUMPLE h = 46.0
N484/N485	$\bar{\lambda}$ < 2.0 Cumple	η < 0.1	η = 0.3	x: 0 m η = 13.9	x: 0 m η = 2.1	x: 0 m η = 1.4	x: 0 m η = 0.2	x: 0 m η < 0.1	x: 0 m η < 0.1	x: 0 m η = 15.1	x: 0 m η < 0.1	η = 1.1	x: 0 m η = 1.4	x: 0 m η = 1.4	CUMPLE h = 15.1

AJUNTAMENT D'OLERDOLA
Aquest document és una còpia simple del document electrònic original.

Codi Segur de Verificació:
62ffb294-fe9f-412a-95ff-e789b2359074
Origen: Administració
Identificador document: ES_L01081000_2026_28828185
Data d'impressió: 03/11/2026 13:44:57
Pàgina 180 de 247

SIGNATURES
1.- ESTEVE AYMERICH (R: J62755897), 27/07/2026 11:04

Listados

Cobriment de pista a Sant Pere Molanta (Olèrdola)

Fecha: 10/03/26

Barras	COMPROBACIONES (CTE DB SE-A)														Estado
	$\bar{\lambda}$	N_t	N_c	M_y	M_z	V_z	V_y	M_yV_z	M_zV_y	NM_yM_z	$NM_yM_zV_yV_z$	M_t	M_tV_z	M_tV_y	
N483/N484	$\bar{\lambda}$ < 2.0 Cumple	η = 0.1	η = 0.5	x: 4.68 m η = 13.7	x: 0 m η = 2.2	x: 4.68 m η = 1.2	x: 0 m η = 0.2	η < 0.1	η < 0.1	x: 4.68 m η = 14.3	η < 0.1	η = 0.4	x: 4.68 m η = 1.2	x: 4.68 m η = 1.2	CUMPLE h = 14.3
N482/N483	$\bar{\lambda}$ < 2.0 Cumple	η = 0.2	η = 0.5	x: 0 m η = 11.1	x: 0 m η = 2.4	x: 0 m η = 1.2	x: 0 m η = 0.2	η < 0.1	η < 0.1	x: 0 m η = 11.9	η < 0.1	η = 0.1	x: 0 m η = 1.2	x: 0 m η = 1.2	CUMPLE h = 11.9
N481/N482	$\bar{\lambda}$ < 2.0 Cumple	η = 0.2	η = 0.5	x: 4.68 m η = 11.3	x: 0 m η = 2.1	x: 4.68 m η = 1.2	x: 0 m η = 0.2	η < 0.1	η < 0.1	x: 4.68 m η = 11.7	η < 0.1	η = 0.1	x: 4.68 m η = 1.2	x: 4.68 m η = 1.2	CUMPLE h = 11.7
N480/N481	$\bar{\lambda}$ < 2.0 Cumple	η = 0.2	η = 0.6	x: 0 m η = 11.1	x: 0 m η = 1.9	x: 0 m η = 1.2	x: 0 m η = 0.2	x: 0 m η < 0.1	η < 0.1	x: 0 m η = 11.4	η < 0.1	η < 0.1	x: 0 m η = 1.2	x: 0 m η = 1.2	CUMPLE h = 11.4
N479/N480	$\bar{\lambda}$ < 2.0 Cumple	η = 0.2	η = 0.6	x: 4.68 m η = 11.1	x: 0 m η = 1.8	x: 4.68 m η = 1.2	x: 0 m η = 0.2	η < 0.1	η < 0.1	x: 4.68 m η = 11.4	η < 0.1	η < 0.1	x: 4.68 m η = 1.2	x: 4.68 m η = 1.2	CUMPLE h = 11.4
N478/N479	$\bar{\lambda}$ < 2.0 Cumple	η = 0.2	η = 0.6	x: 0 m η = 11.2	x: 0 m η = 1.8	x: 0 m η = 1.2	x: 0 m η = 0.2	η < 0.1	η < 0.1	x: 0 m η = 11.6	η < 0.1	η = 0.1	x: 0 m η = 1.2	x: 0 m η = 1.2	CUMPLE h = 11.6
N477/N478	$\bar{\lambda}$ < 2.0 Cumple	η = 0.2	η = 0.6	x: 4.68 m η = 11.3	x: 0 m η = 2.2	x: 4.68 m η = 1.2	x: 0 m η = 0.2	η < 0.1	η < 0.1	x: 4.68 m η = 11.9	η < 0.1	η = 0.1	x: 4.68 m η = 1.2	x: 4.68 m η = 1.2	CUMPLE h = 11.9
N476/N477	$\bar{\lambda}$ < 2.0 Cumple	η = 0.1	η = 0.4	x: 0 m η = 13.4	x: 0 m η = 1.8	x: 0 m η = 1.2	x: 0 m η = 0.2	η < 0.1	η < 0.1	x: 0 m η = 13.8	η < 0.1	η < 0.1	x: 0 m η = 1.2	x: 0 m η = 1.2	CUMPLE h = 13.8
N634/N476	N.P.[5]	N_{cr} = 0.00 N.P.[4]	N_{cr} = 0.00 N.P.[3]	x: 2.1 m η = 13.4	x: 2.1 m η = 1.9	x: 2.1 m η = 1.1	x: 2.1 m η = 0.1	x: 0.21 m η < 0.1	x: 0.21 m η < 0.1	x: 2.1 m η = 9.5	x: 0.21 m η < 0.1	M_{cr} = 0.00 N.P.[1]	N.P.[2]	N.P.[2]	CUMPLE h = 13.4
N393/N351	$\bar{\lambda}$ < 2.0 Cumple	x: 5.102 m η = 0.2	x: 0 m η = 3.4	x: 5.102 m η = 12.3	x: 5.102 m η = 11.3	x: 5.102 m η = 1.1	x: 5.102 m η = 0.9	η < 0.1	η < 0.1	x: 5.102 m η = 23.7	η < 0.1	η = 0.3	x: 5.102 m η = 1.1	x: 5.102 m η = 1.1	CUMPLE h = 23.7
N392/N350	$\bar{\lambda}$ < 2.0 Cumple	x: 5.11 m η = 1.7	x: 0 m η = 7.3	x: 5.11 m η = 10.5	x: 0 m η = 8.6	x: 5.11 m η = 1.1	x: 5.11 m η = 0.8	η < 0.1	η < 0.1	x: 0 m η = 19.6	η < 0.1	η = 0.8	x: 5.11 m η = 1.1	x: 5.11 m η = 1.1	CUMPLE h = 19.6
N813/N349	$\bar{\lambda}$ < 2.0 Cumple	x: 5.085 m η = 1.0	x: 0 m η = 5.4	x: 5.085 m η = 20.1	x: 5.085 m η = 1.6	x: 5.085 m η = 1.5	x: 5.085 m η = 0.1	η < 0.1	η < 0.1	x: 5.085 m η = 26.6	η < 0.1	η = 0.8	x: 5.085 m η = 1.5	x: 5.085 m η = 1.5	CUMPLE h = 26.6
N388/N812	$\bar{\lambda}$ < 2.0 Cumple	x: 4.783 m η = 0.7	x: 0 m η = 3.5	x: 4.783 m η = 5.3	x: 4.783 m η = 0.8	x: 4.783 m η = 0.7	x: 4.783 m η = 0.1	η < 0.1	η < 0.1	x: 4.783 m η = 9.1	η < 0.1	η = 1.3	x: 4.783 m η = 0.7	x: 4.783 m η = 0.7	CUMPLE h = 9.1
N49/N7	$\bar{\lambda}$ < 2.0 Cumple	x: 5.102 m η = 2.6	x: 0 m η = 8.4	x: 0 m η = 11.8	x: 5.102 m η = 9.5	x: 0 m η = 1.1	x: 0 m η = 0.9	η < 0.1	η < 0.1	x: 0 m η = 25.4	η < 0.1	η = 0.5	x: 0 m η = 1.1	x: 0 m η = 1.1	CUMPLE h = 25.4
N48/N6	$\bar{\lambda}$ < 2.0 Cumple	x: 5.11 m η = 2.3	x: 0 m η = 5.5	x: 5.11 m η = 11.2	x: 5.11 m η = 9.5	x: 5.11 m η = 1.1	x: 5.11 m η = 0.9	η < 0.1	η < 0.1	x: 5.11 m η = 21.4	η < 0.1	η = 0.5	x: 5.11 m η = 1.1	x: 5.11 m η = 1.1	CUMPLE h = 21.4
N805/N5	$\bar{\lambda}$ < 2.0 Cumple	x: 5.085 m η = 2.3	x: 0 m η = 7.6	x: 5.085 m η = 17.3	x: 0 m η = 1.6	x: 5.085 m η = 1.4	x: 0 m η = 0.1	η < 0.1	η < 0.1	x: 5.085 m η = 19.8	η < 0.1	η = 0.4	x: 5.085 m η = 1.4	x: 5.085 m η = 1.4	CUMPLE h = 19.8
N44/N804	$\bar{\lambda}$ < 2.0 Cumple	x: 4.783 m η = 1.3	x: 0 m η = 4.0	x: 4.783 m η = 7.2	x: 0 m η = 0.5	x: 4.783 m η = 0.7	x: 4.783 m η < 0.1	η < 0.1	η < 0.1	x: 4.783 m η = 8.8	η < 0.1	η = 1.6	x: 4.783 m η = 0.7	x: 4.783 m η = 0.7	CUMPLE h = 8.8
N398/N747	N.P.[5]	N_{cr} = 0.00 N.P.[4]	N_{cr} = 0.00 N.P.[3]	x: 0 m η = 1.1	x: 0 m η = 0.1	x: 0 m η = 0.3	x: 0 m η < 0.1	x: 0 m η < 0.1	x: 0 m η < 0.1	x: 0 m η = 0.8	x: 0 m η < 0.1	M_{cr} = 0.00 N.P.[1]	N.P.[2]	N.P.[2]	CUMPLE h = 1.1
N495/N748	N.P.[5]	N_{cr} = 0.00 N.P.[4]	N_{cr} = 0.00 N.P.[3]	x: 0 m η = 1.9	x: 0 m η = 0.2	x: 0 m η = 0.6	x: 0 m η = 0.1	x: 0 m η < 0.1	x: 0 m η < 0.1	x: 0 m η = 1.7	x: 0 m η < 0.1	M_{cr} = 0.00 N.P.[1]	N.P.[2]	N.P.[2]	CUMPLE h = 1.9
N505/N749	N.P.[5]	N_{cr} = 0.00 N.P.[4]	N_{cr} = 0.00 N.P.[3]	x: 0 m η = 1.9	x: 0 m η = 0.2	x: 0 m η = 0.6	x: 0 m η = 0.1	x: 0 m η < 0.1	x: 0 m η < 0.1	x: 0 m η = 1.7	x: 0 m η < 0.1	M_{cr} = 0.00 N.P.[1]	N.P.[2]	N.P.[2]	CUMPLE h = 1.9
N515/N750	N.P.[5]	N_{cr} = 0.00 N.P.[4]	N_{cr} = 0.00 N.P.[3]	x: 0 m η = 1.9	x: 0 m η = 0.2	x: 0 m η = 0.6	x: 0 m η = 0.1	x: 0 m η < 0.1	x: 0 m η < 0.1	x: 0 m η = 1.6	x: 0 m η < 0.1	M_{cr} = 0.00 N.P.[1]	N.P.[2]	N.P.[2]	CUMPLE h = 1.9
N393/N751	N.P.[5]	N_{cr} = 0.00 N.P.[4]	N_{cr} = 0.00 N.P.[3]	x: 0 m η = 1.3	x: 0 m η = 1.3	x: 0 m η = 0.4	x: 0 m η = 0.4	x: 0 m η < 0.1	x: 0 m η < 0.1	x: 0 m η = 2.6	x: 0 m η < 0.1	M_{cr} = 0.00 N.P.[1]	N.P.[2]	N.P.[2]	CUMPLE h = 2.6
N388/N752	N.P.[5]	N_{cr} = 0.00 N.P.[4]	N_{cr} = 0.00 N.P.[3]	x: 0 m η = 1.0	x: 0 m η = 0.1	x: 0 m η = 0.3	x: 0 m η < 0.1	x: 0 m η < 0.1	x: 0 m η < 0.1	x: 0 m η = 0.7	x: 0 m η < 0.1	M_{cr} = 0.00 N.P.[1]	N.P.[2]	N.P.[2]	CUMPLE h = 1.0
N485/N753	N.P.[5]	N_{cr} = 0.00 N.P.[4]	N_{cr} = 0.00 N.P.[3]	x: 0 m η = 0.8	x: 0 m η = 0.1	x: 0 m η = 0.3	x: 0 m η < 0.1	x: 0 m η < 0.1	x: 0 m η < 0.1	x: 0 m η = 0.6	x: 0 m η < 0.1	M_{cr} = 0.00 N.P.[1]	N.P.[2]	N.P.[2]	CUMPLE h = 0.8
N762/N763	$\bar{\lambda}$ < 2.0 Cumple	N_{cr} = 0.00 N.P.[4]	η = 2.9	x: 0 m η = 11.1	x: 0 m η = 1.3	x: 0 m η = 1.2	x: 0 m η = 0.1	η < 0.1	η < 0.1	x: 0 m η = 13.8	η < 0.1	η = 0.5	x: 0 m η = 1.3	x: 0 m η = 1.3	CUMPLE h = 13.8
N763/N774	N.P.[5]	N_{cr} = 0.00 N.P.[4]	N_{cr} = 0.00 N.P.[3]	x: 0 m η = 1.1	x: 0 m η = 0.1	x: 0 m η = 0.3	x: 0 m η < 0.1	x: 0 m η < 0.1	x: 0 m η < 0.1	x: 0 m η = 0.8	x: 0 m η < 0.1	M_{cr} = 0.00 N.P.[1]	N.P.[2]	N.P.[2]	CUMPLE h = 1.1
N761/N762	$\bar{\lambda}$ < 2.0 Cumple	η = 1.1	η = 5.0	x: 0 m η = 11.6	x: 4.68 m η = 1.2	x: 0 m η = 1.2	x: 0 m η = 0.1	η < 0.1	η < 0.1	x: 0 m η = 17.1	η < 0.1	η = 0.1	x: 0 m η = 1.2	x: 0 m η = 1.2	CUMPLE h = 17.1
N760/N761	$\bar{\lambda}$ < 2.0 Cumple	η = 1.7	η = 5.2	x: 0 m η = 11.5	x: 4.68 m η = 0.8	x: 0 m η = 1.2	x: 0 m η = 0.1	η < 0.1	η < 0.1	x: 0 m η = 17.2	η < 0.1	η < 0.1	x: 0 m η = 1.2	x: 0 m η = 1.2	CUMPLE h = 17.2
N759/N760	$\bar{\lambda}$ < 2.0 Cumple	η = 1.8	η = 4.4	x: 0 m η = 11.4	x: 0 m η = 0.8	x: 0 m η = 1.2	x: 0 m η = 0.1	η < 0.1	η < 0.1	x: 0 m η = 16.2	η < 0.1	η < 0.1	x: 0 m η = 1.2	x: 0 m η = 1.2	CUMPLE h = 16.2
N758/N759	$\bar{\lambda}$ < 2.0 Cumple	η = 1.6	η = 3.3	x: 0 m η = 11.3	x: 0 m η = 0.9	x: 0 m η = 1.2	x: 0 m η = 0.1	η < 0.1	η < 0.1	x: 0 m η = 14.8	η < 0.1	η < 0.1	x: 0 m η = 1.2	x: 0 m η = 1.2	CUMPLE h = 14.8
N757/N758	$\bar{\lambda}$ < 2.0 Cumple	η = 1.2	η = 2.2	x: 0 m η = 11.3	x: 0 m η = 0.9	x: 0 m η = 1.2	x: 0 m η = 0.1	η < 0.1	η < 0.1	x: 0 m η = 13.6	η < 0.1	M_{cr} = 0.00 N.P.[1]	N.P.[2]	N.P.[2]	CUMPLE h = 13.6
N756/N757	$\bar{\lambda}$ < 2.0 Cumple	η = 0.6	η = 1.2	x: 0 m η = 11.3	x: 0 m η = 1.0	x: 0 m η = 1.2	x: 0 m η = 0.1	η < 0.1	η < 0.1	x: 0 m η = 12.7	η < 0.1	η < 0.1	x: 0 m η = 0.8	x: 0 m η = 0.8	CUMPLE h = 12.7
N755/N756	$\bar{\lambda}$ < 2.0 Cumple	η = 0.1	η = 2.7	x: 0 m η = 11.4	x: 0 m η = 1.2	x: 0 m η = 1.2	x: 0 m η = 0.1	η < 0.1	η < 0.1	x: 0 m η = 12.9	η < 0.1	η = 0.1	x: 0 m η = 1.2	x: 0 m η = 1.2	CUMPLE h = 12.9
N754/N755	$\bar{\lambda}$ < 2.0 Cumple	η = 0.6	η = 4.0	x: 0 m η = 10.8	x: 0 m η = 0.9	x: 0 m η = 1.2	x: 0 m η = 0.1	η < 0.1	η < 0.1	x: 0 m η = 15.2	η < 0.1	η = 0.1	x: 0 m η = 1.2	x: 0 m η = 1.2	CUMPLE h = 15.2
N775/N754	N.P.[5]	N_{cr} = 0.00 N.P.[4]	N_{cr} = 0.00 N.P.[4]	x: 2.1 m η = 18.0	x: 2.1 m η = 1.7	x: 2.1 m η = 1.4	x: 2.1 m η = 0.1	x: 0.21 m η < 0.1	x: 0.21 m η < 0.1	x: 2.1 m η = 13.4	x: 0.21 m η < 0.1	M_{cr} = 0.00 N.P.[1]	N.P.[2]	N.P.[2]	CUMPLE h = 18.0
N773/N776	N.P.[5]	N_{cr} = 0.00 N.P.[4]	N_{cr} = 0.00 N.P.[3]	x: 0 m η = 0.9	x: 0 m η = 0.8	x: 0 m η = 0.3	x: 0 m η = 0.2	x: 0 m η < 0.1	x: 0 m η < 0.1	x: 0 m η = 1.7	x: 0 m η < 0.1	M_{cr} = 0.00 N.P.[1]	N.P.[2]	N.P.[2]	CUMPLE h = 1.7
N772/N773	$\bar{\lambda}$ < 2.0 Cumple	η = 0.3	η = 3.0	x: 0 m η = 7.7	x: 0 m η = 7.2	x: 4.68 m η = 0.9	x: 4.68 m η = 0.7	η < 0.1	η < 0.1	x: 0 m η = 15.4	η < 0.1	η = 0.5	x: 4.68 m η = 0.9	x: 4.68 m η = 0.9	CUMPLE h = 15.4
N771/N772	$\bar{\lambda}$ < 2.0 Cumple	η = 0.9	η = 4.4	x: 4.68 m η = 11.8	x: 0 m η = 11.5	x: 4.68 m η = 1.2	x: 0 m η = 1.2	η < 0.1	η < 0.1	x: 0 m η = 23.3	η < 0.1	η = 0.1	x: 4.68 m η = 1.2	x: 4.68 m η = 1.2	CUMPLE h = 23.3
N770/N771	$\bar{\lambda}$ < 2.0 Cumple	η = 1.7	η = 5.0	x: 4.68 m η = 12.7	x: 0 m η = 10.9	x: 4.68 m η = 1.3	x: 0 m η = 1.1	η < 0.1	η < 0.1	x: 4.68 m η = 23.9	η < 0.1	η = 0.1	x: 4.68 m η = 1.3	x: 4.68 m η = 1.3	CUMPLE h = 23.9
N769/N770	$\bar{\lambda}$ < 2.0 Cumple	η = 1.8	η = 4.3	x: 4.68 m η = 12.5	x: 0 m η = 10.9	x: 4.68 m η = 1.3	x: 0 m η = 1.1	η < 0.1	η < 0.1	x: 4.68 m η = 23.6	η < 0.1	η < 0.1	x: 4.68 m η = 1.3	x: 4.68 m η = 1.3	CUMPLE h = 23.6
N768/N769	$\bar{\lambda}$ < 2.0 Cumple	η = 1.6	η = 3.4	x: 4.68 m η = 12.4	x: 0 m η = 10.8	x: 4.68 m η = 1.3	x: 0 m η = 1.1	η < 0.1	η < 0.1	x: 4.68 m η = 23.5	η < 0.1	η < 0.1	x: 4.68 m η = 1.3	x: 4.68 m η = 1.3	CUMPLE h = 23.5
N767/N768	$\bar{\lambda}$ < 2.0 Cumple	η = 1.2	η = 2.1	x: 4.68 m η = 12.4	x: 0 m η = 10.7	x: 4.68 m η = 1.3	x: 0 m η = 1.1	η < 0.1	η < 0.1	x: 4.68 m η = 23.3	η < 0.1	M_{cr} = 0.00 N.P.[1]	N.P.[2]	N.P.[2]	CUMPLE h = 23.3
N766/N767	$\bar{\lambda}$ < 2.0 Cumple	η = 0.5	η = 1.1	x: 4.68 m η = 12.3	x: 0 m η = 10.9	x: 4.68 m η = 1.3	x: 0 m η = 1.1	η < 0.1	η < 0.1	x: 4.68 m η = 22.9	η < 0.1	η < 0.1	x: 0 m η = 0.5	x: 0 m η = 0.5	CUMPLE h = 22.9
N765/N766	$\bar{\lambda}$ < 2.0 Cumple	η = 0.2	η = 2.4	x: 4.68 m η = 12.9	x: 4.68 m η = 10.9	x: 4.68 m η = 1.3	x: 4.68 m η = 1.1	η < 0.1	η < 0.1	x: 4.68 m η = 23.8	η < 0.1	η = 0.1	x: 4.68 m η = 1.3	x: 4.68 m η = 1.3	CUMPLE h = 23.8
N764/N765	$\bar{\lambda}$ < 2.0 Cumple	η = 0.8	η = 4.2	x: 4.68 m η = 8.6	x: 0 m η = 7.3	x: 4.68 m η = 1.0	x: 4.68 m η = 0.8	η < 0.1	η < 0.1	x: 4.68 m η = 15.4	η < 0.1	η = 0.1	x: 4.68 m η = 1.0	x: 4.68 m η = 1.0	CUMPLE h = 15.4
N777/N764	N.P.[5]	N_{cr} = 0.00 N.P.[4]	N_{cr} = 0.00 N.P.[3]	x: 2.1 m η = 14.2	x: 2.1 m η = 12.7	x: 2.1 m η = 1.1	x: 2.1 m η = 1.0	x: 0.21 m η < 0.1	x: 0.21 m η < 0.1	x: 2.1 m η = 26.9	x: 0.21 m η < 0.1	M_{cr} = 0.00 N.P.[1]	N.P.[2]	N.P.[2]	CUMPLE h = 26.9
N798/N788	N.P.[5]	N_{cr} = 0.00 N.P.[4]	N_{cr} = 0.00 N.P.[3]	x: 2.1 m η = 15.3	x: 2.1 m η = 14.0	x: 2.1 m η = 1.2	x: 2.1 m η = 1.1	x: 0.21 m η < 0.1	x: 0.21 m η < 0.1	x: 2.1 m η = 29.3	x: 0.21 m η < 0.1	M_{cr} = 0.00 N.P.[1]	N.P.[2]	N.P.[2]	CUMPLE h = 29.3
N799/N778	N.P.[5]	N_{cr} = 0.00 N.P.[4]	N_{cr} = 0.00 N.P.[3]	x: 2.1 m η = 18.6	x: 2.1 m η = 1.8	x: 2.1 m η = 1.5	x: 2.1 m η = 0.1	x: 0.21 m η < 0.1	x: 0.21 m η < 0.1	x: 2.1 m η = 14.0	x: 0.21 m η < 0.1	M_{cr} = 0.00 N.P.[1]	N.P.[2]	N.P.[2]	CUMPLE h = 18.6
N788/N789	$\bar{\lambda}$ < 2.0 Cumple	η = 0.7	η = 3.8	x: 0 m η = 10.7	x: 0 m η = 10.7	x: 0 m η = 1.1	x: 0 m η = 1.0	η < 0.1	η < 0.1	x: 0 m η = 21.9	η < 0.1	η = 0.2	x: 0 m η = 1.1	x: 0 m η = 1.1	CUMPLE h = 21.9
N789/N790	$\bar{\lambda}$ < 2.0 Cumple	η = 0.1	η < 0.1	x: 4.68 m η = 13.8	x: 4.68 m η = 12.1	x: 4.68 m η = 1.4	x: 4.68 m η = 1.3	η < 0.1	η < 0.1	x: 4.68 m η = 25.7	η < 0.1	η = 0.1	x: 4.68 m η = 1.4	x: 4.68 m η = 1.4	CUMPLE h = 25.7
N790/N791	$\bar{\lambda}$ < 2.0 Cumple	η = 0.1	η = 0.2	x: 4.68 m η = 13.1	x: 0 m η = 12.3	x: 4.68 m η = 1.3	x: 0 m η = 1.2	η < 0.1	η < 0.1	x: 0 m η = 24.7	η < 0.1	η < 0.1	x: 4.68 m η = 1.3	x: 4.68 m η = 1.3	CUMPLE h = 24.7

AJUNTAMENT D'OLERDOLA
Aquest document és una còpia simple del document electrònic original.

Listados

Cobriment de pista a Sant Pere Molanta (Olèrdola)

Fecha: 10/03/26

Barras	COMPROBACIONES (CTE DB SE-A)															Estado
	$\bar{\lambda}$	N_t	N_c	M_y	M_z	V_z	V_y	M_yV_z	M_zV_y	NM_yM_z	$NM_yM_zV_yV_z$	M_t	M_tV_z	M_tV_y	
N791/N792	$\bar{\lambda}$ < 2.0 Cumple	η = 0.2	η = 0.4	x: 4.68 m η = 13.2	x: 0 m η = 11.9	x: 4.68 m η = 1.4	x: 0 m η = 1.2	η < 0.1	η < 0.1	x: 4.68 m η = 24.5	η < 0.1	M_{tEd} = 0.00 N.P.[1]	N.P.[2]	N.P.[2]	CUMPLE h = 24.5
N792/N793	$\bar{\lambda}$ < 2.0 Cumple	η = 0.2	η = 0.5	x: 4.68 m η = 13.1	x: 0 m η = 12.0	x: 4.68 m η = 1.4	x: 0 m η = 1.2	η < 0.1	η < 0.1	x: 4.68 m η = 24.4	η < 0.1	η < 0.1	x: 4.68 m η = 1.4	x: 4.68 m η = 1.4	CUMPLE h = 24.4
N793/N794	$\bar{\lambda}$ < 2.0 Cumple	η = 0.2	η = 0.5	x: 4.68 m η = 13.1	x: 0 m η = 12.1	x: 4.68 m η = 1.4	x: 0 m η = 1.2	η < 0.1	η < 0.1	x: 4.68 m η = 24.3	η < 0.1	η < 0.1	x: 4.68 m η = 1.4	x: 4.68 m η = 1.4	CUMPLE h = 24.3
N794/N795	$\bar{\lambda}$ < 2.0 Cumple	η = 0.2	η = 0.4	x: 4.68 m η = 13.1	x: 0 m η = 12.1	x: 4.68 m η = 1.4	x: 0 m η = 1.2	η < 0.1	η < 0.1	x: 4.68 m η = 24.4	η < 0.1	η = 0.1	x: 4.68 m η = 1.4	x: 4.68 m η = 1.4	CUMPLE h = 24.4
N795/N796	$\bar{\lambda}$ < 2.0 Cumple	η = 0.4	η = 0.4	x: 0 m η = 12.9	x: 0 m η = 12.4	x: 0 m η = 1.3	x: 0 m η = 1.3	η < 0.1	η < 0.1	x: 0 m η = 25.0	η < 0.1	η = 0.2	x: 0 m η = 1.3	x: 0 m η = 1.3	CUMPLE h = 25.0
N796/N797	$\bar{\lambda}$ < 2.0 Cumple	η = 0.6	η = 1.7	x: 0 m η = 10.9	x: 0 m η = 10.2	x: 0 m η = 1.1	x: 0 m η = 1.0	η < 0.1	η < 0.1	x: 0 m η = 21.3	η < 0.1	η = 0.4	x: 0 m η = 1.1	x: 0 m η = 1.1	CUMPLE h = 21.3
N797/N800	N.P.[5]	N_{Ed} = 0.00 N.P.[4]	N_{Ed} = 0.00 N.P.[3]	x: 0 m η = 0.9	x: 0 m η = 0.9	x: 0 m η = 0.3	x: 0 m η = 0.3	x: 0 m η < 0.1	x: 0 m η < 0.1	x: 0 m η = 1.8	x: 0 m η < 0.1	M_{tEd} = 0.00 N.P.[1]	N.P.[2]	N.P.[2]	CUMPLE h = 1.8
N787/N801	N.P.[5]	N_{Ed} = 0.00 N.P.[4]	N_{Ed} = 0.00 N.P.[3]	x: 0 m η = 1.1	x: 0 m η = 0.1	x: 0 m η = 0.4	x: 0 m η < 0.1	x: 0 m η < 0.1	x: 0 m η < 0.1	x: 0 m η = 0.9	x: 0 m η < 0.1	M_{tEd} = 0.00 N.P.[1]	N.P.[2]	N.P.[2]	CUMPLE h = 1.1
N786/N787	$\bar{\lambda}$ < 2.0 Cumple	η = 1.6	η = 3.0	x: 0 m η = 10.8	x: 4.68 m η = 1.1	x: 4.68 m η = 1.1	x: 4.68 m η = 0.1	η < 0.1	η < 0.1	x: 0 m η = 13.1	η < 0.1	η = 0.5	x: 4.68 m η = 1.1	x: 4.68 m η = 1.1	CUMPLE h = 13.1
N785/N786	$\bar{\lambda}$ < 2.0 Cumple	η = 0.1	η = 0.1	x: 0 m η = 15.9	x: 4.68 m η = 2.5	x: 0 m η = 1.7	x: 4.68 m η = 0.2	η < 0.1	η < 0.1	x: 0 m η = 17.6	η < 0.1	η = 0.2	x: 0 m η = 1.7	x: 0 m η = 1.7	CUMPLE h = 17.6
N784/N785	$\bar{\lambda}$ < 2.0 Cumple	η = 0.2	η = 0.5	x: 0 m η = 15.6	x: 4.68 m η = 2.7	x: 0 m η = 1.6	x: 4.68 m η = 0.2	η < 0.1	η < 0.1	x: 0 m η = 17.1	η < 0.1	η < 0.1	x: 0 m η = 1.6	x: 0 m η = 1.6	CUMPLE h = 17.1
N783/N784	$\bar{\lambda}$ < 2.0 Cumple	η = 0.3	η = 0.7	x: 0 m η = 15.7	x: 4.68 m η = 2.4	x: 0 m η = 1.6	x: 4.68 m η = 0.2	η < 0.1	η < 0.1	x: 0 m η = 16.9	η < 0.1	η < 0.1	x: 0 m η = 1.6	x: 0 m η = 1.6	CUMPLE h = 16.9
N782/N783	$\bar{\lambda}$ < 2.0 Cumple	η = 0.3	η = 0.7	x: 0 m η = 15.7	x: 4.68 m η = 2.2	x: 0 m η = 1.6	x: 4.68 m η = 0.2	η < 0.1	η < 0.1	x: 0 m η = 16.7	η < 0.1	η < 0.1	x: 0 m η = 1.6	x: 0 m η = 1.6	CUMPLE h = 16.7
N781/N782	$\bar{\lambda}$ < 2.0 Cumple	η = 0.3	η = 0.6	x: 0 m η = 15.7	x: 4.68 m η = 2.1	x: 0 m η = 1.6	x: 4.68 m η = 0.2	η < 0.1	η < 0.1	x: 0 m η = 16.6	η < 0.1	M_{tEd} = 0.00 N.P.[1]	N.P.[2]	N.P.[2]	CUMPLE h = 16.6
N780/N781	$\bar{\lambda}$ < 2.0 Cumple	η = 0.2	η = 0.5	x: 0 m η = 15.9	x: 4.68 m η = 2.0	x: 0 m η = 1.6	x: 4.68 m η = 0.2	η < 0.1	η < 0.1	x: 0 m η = 16.7	η < 0.1	η < 0.1	x: 0 m η = 1.0	x: 0 m η = 1.0	CUMPLE h = 16.7
N779/N780	$\bar{\lambda}$ < 2.0 Cumple	η = 0.2	η = 0.7	x: 4.68 m η = 15.7	x: 4.68 m η = 2.5	x: 4.68 m η = 1.6	x: 4.68 m η = 0.2	η < 0.1	η < 0.1	x: 4.68 m η = 16.8	η < 0.1	η = 0.1	x: 4.68 m η = 1.6	x: 4.68 m η = 1.6	CUMPLE h = 16.8
N778/N779	$\bar{\lambda}$ < 2.0 Cumple	η = 1.0	η = 4.1	x: 0 m η = 11.1	x: 4.68 m η = 1.4	x: 4.68 m η = 1.2	x: 4.68 m η = 0.1	η < 0.1	η < 0.1	x: 0 m η = 15.6	η < 0.1	η = 0.2	x: 4.68 m η = 1.2	x: 4.68 m η = 1.2	CUMPLE h = 15.6
N802/N655	N.P.[5]	N_{Ed} = 0.00 N.P.[4]	N_{Ed} = 0.00 N.P.[3]	x: 2.1 m η = 10.1	x: 2.1 m η = 0.8	x: 2.1 m η = 0.8	x: 2.1 m η = 0.1	x: 0.21 m η < 0.1	x: 0.42 m η < 0.1	x: 2.1 m η = 7.1	x: 0.42 m η < 0.1	M_{tEd} = 0.00 N.P.[1]	N.P.[2]	N.P.[2]	CUMPLE h = 10.1
N655/N656	$\bar{\lambda}$ < 2.0 Cumple	η = 0.3	η = 1.2	x: 0 m η = 9.4	x: 4.68 m η = 0.7	x: 0 m η = 0.8	x: 4.68 m η = 0.1	η < 0.1	η < 0.1	x: 0 m η = 10.8	η < 0.1	η < 0.1	x: 0 m η = 0.8	x: 0 m η = 0.8	CUMPLE h = 10.8
N656/N657	$\bar{\lambda}$ < 2.0 Cumple	η = 0.4	η = 1.1	x: 0 m η = 10.6	x: 4.68 m η = 1.6	x: 0 m η = 1.0	x: 4.68 m η = 0.1	η < 0.1	η < 0.1	x: 0 m η = 11.8	η < 0.1	η = 0.1	x: 0 m η = 1.0	x: 0 m η = 1.0	CUMPLE h = 11.8
N657/N658	$\bar{\lambda}$ < 2.0 Cumple	η = 0.4	η = 1.1	x: 0 m η = 10.8	x: 4.68 m η = 1.2	x: 0 m η = 1.0	x: 4.68 m η = 0.1	η < 0.1	η < 0.1	x: 0 m η = 11.8	η < 0.1	η = 0.1	x: 0 m η = 1.0	x: 0 m η = 1.0	CUMPLE h = 11.8
N658/N659	$\bar{\lambda}$ < 2.0 Cumple	η = 0.4	η = 1.0	x: 0 m η = 10.8	x: 4.68 m η = 1.2	x: 0 m η = 1.0	x: 4.68 m η = 0.1	η < 0.1	η < 0.1	x: 0 m η = 11.7	η < 0.1	η < 0.1	x: 0 m η = 1.0	x: 0 m η = 1.0	CUMPLE h = 11.7
N659/N660	$\bar{\lambda}$ < 2.0 Cumple	η = 0.3	η = 1.0	x: 0 m η = 10.7	x: 4.68 m η = 1.3	x: 0 m η = 1.0	x: 4.68 m η = 0.1	η < 0.1	η < 0.1	x: 0 m η = 11.6	η < 0.1	η < 0.1	x: 0 m η = 1.0	x: 0 m η = 1.0	CUMPLE h = 11.6
N660/N661	$\bar{\lambda}$ < 2.0 Cumple	η = 0.3	η = 1.0	x: 0 m η = 10.6	x: 4.68 m η = 1.5	x: 0 m η = 1.0	x: 4.68 m η = 0.1	η < 0.1	η < 0.1	x: 0 m η = 11.7	η < 0.1	η = 0.1	x: 0 m η = 1.0	x: 0 m η = 1.0	CUMPLE h = 11.7
N661/N662	$\bar{\lambda}$ < 2.0 Cumple	η = 0.3	η = 1.0	x: 0 m η = 10.4	x: 4.68 m η = 1.8	x: 0 m η = 1.0	x: 4.68 m η = 0.1	η < 0.1	η < 0.1	x: 0 m η = 11.8	η < 0.1	η = 0.2	x: 0 m η = 1.0	x: 0 m η = 1.0	CUMPLE h = 11.8
N662/N663	$\bar{\lambda}$ < 2.0 Cumple	η = 0.4	η = 1.2	x: 0 m η = 10.2	x: 4.68 m η = 1.8	x: 0 m η = 1.0	x: 4.68 m η = 0.1	η < 0.1	η < 0.1	x: 0 m η = 12.0	η < 0.1	η = 0.2	x: 0 m η = 1.0	x: 0 m η = 1.0	CUMPLE h = 12.0
N663/N664	$\bar{\lambda}$ < 2.0 Cumple	η = 0.5	η = 1.7	x: 0 m η = 9.7	x: 0 m η = 1.0	x: 0 m η = 0.8	x: 0 m η = 0.1	η < 0.1	η < 0.1	x: 0 m η = 11.0	η < 0.1	η < 0.1	x: 0 m η = 0.8	x: 0 m η = 0.8	CUMPLE h = 11.0
N664/N803	N.P.[5]	N_{Ed} = 0.00 N.P.[4]	N_{Ed} = 0.00 N.P.[3]	x: 0 m η = 0.6	x: 0 m η < 0.1	x: 0 m η = 0.2	x: 0 m η < 0.1	x: 0 m η < 0.1	x: 0 m η < 0.1	x: 0 m η = 0.4	x: 0 m η < 0.1	M_{tEd} = 0.00 N.P.[1]	N.P.[2]	N.P.[2]	CUMPLE h = 0.6
N814/N804	N.P.[5]	N_{Ed} = 0.00 N.P.[4]	N_{Ed} = 0.00 N.P.[3]	x: 2.1 m η = 20.8	x: 2.1 m η = 2.0	x: 2.1 m η = 1.6	x: 2.1 m η = 0.2	x: 0.21 m η < 0.1	x: 0.21 m η < 0.1	x: 2.1 m η = 16.2	x: 0.21 m η < 0.1	M_{tEd} = 0.00 N.P.[1]	N.P.[2]	N.P.[2]	CUMPLE h = 20.8
N804/N805	$\bar{\lambda}$ < 2.0 Cumple	η = 0.7	η = 3.2	x: 0 m η = 14.2	x: 4.68 m η = 1.1	x: 0 m η = 1.4	x: 0 m η = 0.1	η < 0.1	η < 0.1	x: 0 m η = 17.8	η < 0.1	η = 0.1	x: 0 m η = 1.4	x: 0 m η = 1.4	CUMPLE h = 17.8
N805/N806	$\bar{\lambda}$ < 2.0 Cumple	η = 0.6	η = 1.3	x: 0 m η = 18.5	x: 4.68 m η = 2.7	x: 0 m η = 1.9	x: 4.68 m η = 0.2	η < 0.1	η < 0.1	x: 0 m η = 19.9	η < 0.1	η = 0.1	x: 0 m η = 1.9	x: 0 m η = 1.9	CUMPLE h = 19.9
N806/N807	$\bar{\lambda}$ < 2.0 Cumple	η = 0.4	η = 1.1	x: 0 m η = 17.5	x: 4.68 m η = 2.3	x: 0 m η = 1.8	x: 4.68 m η = 0.2	η < 0.1	η < 0.1	x: 0 m η = 18.7	η < 0.1	η < 0.1	x: 0 m η = 1.8	x: 0 m η = 1.8	CUMPLE h = 18.7
N807/N808	$\bar{\lambda}$ < 2.0 Cumple	η = 0.4	η = 1.0	x: 0 m η = 17.7	x: 4.68 m η = 2.3	x: 0 m η = 1.8	x: 4.68 m η = 0.2	η < 0.1	η < 0.1	x: 0 m η = 18.7	η < 0.1	M_{tEd} = 0.00 N.P.[1]	N.P.[2]	N.P.[2]	CUMPLE h = 18.7
N808/N809	$\bar{\lambda}$ < 2.0 Cumple	η = 0.3	η = 0.9	x: 0 m η = 17.6	x: 4.68 m η = 2.4	x: 0 m η = 1.8	x: 4.68 m η = 0.2	η < 0.1	η < 0.1	x: 0 m η = 18.7	η < 0.1	η < 0.1	x: 0 m η = 1.8	x: 0 m η = 1.8	CUMPLE h = 18.7
N809/N810	$\bar{\lambda}$ < 2.0 Cumple	η = 0.3	η = 0.9	x: 0 m η = 17.6	x: 4.68 m η = 2.6	x: 0 m η = 1.8	x: 4.68 m η = 0.2	η < 0.1	η < 0.1	x: 0 m η = 18.9	η < 0.1	η < 0.1	x: 0 m η = 1.8	x: 0 m η = 1.8	CUMPLE h = 18.9
N810/N811	$\bar{\lambda}$ < 2.0 Cumple	η = 0.3	η = 0.9	x: 0 m η = 17.7	x: 4.68 m η = 2.9	x: 0 m η = 1.8	x: 4.68 m η = 0.2	η < 0.1	η < 0.1	x: 0 m η = 19.2	η < 0.1	η = 0.1	x: 0 m η = 1.8	x: 0 m η = 1.8	CUMPLE h = 19.2
N811/N812	$\bar{\lambda}$ < 2.0 Cumple	η = 0.3	η = 1.0	x: 4.68 m η = 18.6	x: 4.68 m η = 2.8	x: 4.68 m η = 1.8	x: 4.68 m η = 0.2	η < 0.1	η < 0.1	x: 4.68 m η = 20.7	η < 0.1	η = 0.2	x: 4.68 m η = 1.8	x: 4.68 m η = 1.8	CUMPLE h = 20.7
N812/N813	$\bar{\lambda}$ < 2.0 Cumple	η = 0.8	η = 2.7	x: 0 m η = 15.4	x: 0 m η = 1.7	x: 0 m η = 1.5	x: 0 m η = 0.1	η < 0.1	η < 0.1	x: 0 m η = 16.9	η < 0.1	η = 0.4	x: 0 m η = 1.5	x: 0 m η = 1.5	CUMPLE h = 16.9
N813/N815	N.P.[5]	N_{Ed} = 0.00 N.P.[4]	N_{Ed} = 0.00 N.P.[3]	x: 0 m η = 1.3	x: 0 m η = 0.1	x: 0 m η = 0.4	x: 0 m η < 0.1	x: 0 m η < 0.1	x: 0 m η < 0.1	x: 0 m η = 1.0	x: 0 m η < 0.1	M_{tEd} = 0.00 N.P.[1]	N.P.[2]	N.P.[2]	CUMPLE h = 1.3

Barras	COMPROBACIONES (CTE DB SE-A)															Estado
	$\bar{\lambda}$	λ_w	N_t	N_c	M_y	M_z	V_z	V_y	M_yV_z	M_zV_y	NM_yM_z	$NM_yM_zV_yV_z$	M_t	M_tV_z	M_tV_y	
N26/N43	$\bar{\lambda}$ < 2.0 Cumple	$\lambda_w \leq \lambda_{w,máx}$ Cumple	x: 0.475 m η = 4.7	x: 0 m η = 23.9	x: 0 m η = 9.6	x: 0 m η = 34.0	η = 3.1	η = 14.6	η < 0.1	η < 0.1	x: 0 m η = 67.5	η < 0.1	η = 1.8	η = 3.1	η = 14.8	CUMPLE h = 67.5
N431/N475	$\bar{\lambda}$ < 2.0 Cumple	$\lambda_w \leq \lambda_{w,máx}$ Cumple	x: 3.508 m η = 0.1	x: 0 m η = 13.8	x: 3.508 m η = 17.8	x: 0 m η = 0.3	x: 0 m η = 0.9	x: 0 m η = 0.1	η < 0.1	η < 0.1	x: 3.508 m η = 22.9	η < 0.1	η = 1.9	x: 0 m η = 0.9	x: 0 m η = 0.1	CUMPLE h = 22.9
N475/N457	$\bar{\lambda}$ < 2.0 Cumple	$\lambda_w \leq \lambda_{w,máx}$ Cumple	x: 3.508 m η = 0.2	x: 0 m η = 13.6	x: 3.508 m η = 18.2	x: 3.508 m η = 0.5	x: 0 m η = 0.1	x: 3.508 m η = 0.1	η < 0.1	η < 0.1	x: 3.508 m η = 23.0	η < 0.1	η = 4.3	x: 0 m η = 0.1	x: 3.508 m η = 0.1	CUMPLE h = 23.0
N457/N413	$\bar{\lambda}$ < 2.0 Cumple	x: 0 m $\lambda_w \leq \lambda_{w,máx}$ Cumple	x: 3.508 m η = 0.3	x: 0 m η = 13.3	x: 0 m η = 17.2	x: 0 m η = 0.8	x: 3.508 m η = 0.9	x: 0 m η = 0.1	x: 0 m η < 0.1	x: 0 m η < 0.1	x: 0 m η = 22.2	x: 0 m η < 0.1	η = 7.1	x: 3.508 m η = 1.0	x: 0 m η = 0.1	CUMPLE h = 22.2
N431/N474	$\bar{\lambda}$ < 2.0 Cumple	$\lambda_w \leq \lambda_{w,máx}$ Cumple	x: 3.508 m η = 0.9	x: 0 m η = 10.6	x: 3.508 m η = 25.7	x: 0 m η = 0.3	x: 0 m η = 1.5	x: 0 m η = 0.1	η < 0.1	η < 0.1	x: 3.508 m η = 28.8	η < 0.1	η = 0.9	x: 0 m η = 1.5	x: 0 m η = 0.1	CUMPLE h = 28.8
N474/N456	$\bar{\lambda}$ < 2.0 Cumple	$\lambda_w \leq \lambda_{w,máx}$ Cumple	x: 3.508 m η = 1.0	x: 0 m η = 10.3	x: 2.412 m η = 27.6	x: 0 m η = 0.3	x: 0 m η = 0.1	x: 0 m η = 0.1	η < 0.1	η < 0.1	x: 2.193 m η = 30.5	η < 0.1	η = 3.6	x: 0 m η = 0.2	x: 0 m η = 0.1	CUMPLE h = 30.5
N456/N370	$\bar{\lambda}$ < 2.0 Cumple	x: 0 m $\lambda_w \leq \lambda_{w,máx}$ Cumple	x: 3.508 m η = 1.1	x: 0 m η = 10.0	x: 0 m η = 28.1	x: 0 m η = 0.4	x: 3.508 m η = 1.5	x: 0 m η = 0.1	x: 0 m η < 0.1	x: 0 m η < 0.1	x: 0 m η = 31.0	x: 0 m η < 0.1	η = 4.9	x: 3.508 m η = 1.6	x: 0 m η = 0.1	CUMPLE h = 31.0
N432/N473	$\bar{\lambda}$ < 2.0 Cumple	$\lambda_w \leq \lambda_{w,máx}$ Cumple	x: 3.508 m η = 0.6	x: 0 m η = 7.9	x: 3.508 m η = 33.0	x: 3.508 m η = 0.3	x: 0 m η = 1.8	x: 3.508 m η = 0.1	η < 0.1	η < 0.1	x: 3.508 m η = 36.0	η < 0.1	η = 3.5	x: 0 m η = 1.9	x: 3.508 m η = 0.1	CUMPLE h = 36.0
N473/N455	$\bar{\lambda}$ < 2.0 Cumple	$\lambda_w \leq \lambda_{w,máx}$ Cumple	x: 3.508 m η = 0.7	x: 0 m η = 7.6	x: 0 m η = 33.4	x: 3.508 m η = 0.4	x: 3.508 m η = 0.4	x: 3.508 m η = 0.1	η < 0.1	η < 0.1	x: 0 m η = 36.2	η < 0.1	η = 1.3	x: 3.508 m η = 0.4	x: 3.508 m η = 0.1	CUMPLE h = 36.2
N455/N370	$\bar{\lambda}$ < 2.0 Cumple	x: 0 m $\lambda_w \leq \lambda_{w,máx}$ Cumple	x: 3.508 m η = 0.8	x: 0 m η = 7.3	x: 0 m η = 27.8	x: 0 m η = 0.6	x: 3.508 m η = 1.5	x: 0 m η = 0.1	x: 0 m η < 0.1	x: 0 m η < 0.1	x: 0 m η = 30.6	x: 0 m η < 0.1	η = 3.7	x: 3.508 m η = 1.5	x: 0 m η = 0.1	CUMPLE h = 30.6

AJUNTAMENT D'OLERDOLA
Aquest document és una còpia simple del document electrònic original.

Listados

Cobriment de pista a Sant Pere Molanta (Olèrdola)

Fecha: 10/03/26

Barras	COMPROBACIONES (CTE DB SE-A)															Estado
	$\bar{\lambda}$	λ_w	N_t	N_c	M_t	M_z	V_z	V_y	M_tV_z	M_zV_y	NM_tM_z	$NM_tM_zV_yV_z$	M_t	M_tV_z	M_tV_y	
N432/N472	$\bar{\lambda}$ < 2.0 Cumple	$\lambda_w \leq \lambda_{w,máx}$ Cumple	x: 3.508 m η = 0.8	x: 0 m η = 9.7	x: 3.508 m η = 32.1	x: 3.508 m η = 0.3	x: 0 m η = 1.8	x: 3.508 m η = 0.1	η < 0.1	η < 0.1	x: 3.508 m η = 35.0	η < 0.1	η = 3.6	x: 0 m η = 1.8	x: 3.508 m η = 0.1	CUMPLE h = 35.0
N472/N454	$\bar{\lambda}$ < 2.0 Cumple	$\lambda_w \leq \lambda_{w,máx}$ Cumple	x: 3.508 m η = 0.9	x: 0 m η = 9.5	x: 0 m η = 32.6	x: 3.508 m η = 0.2	x: 3.508 m η = 0.3	x: 3.508 m η = 0.1	η < 0.1	η < 0.1	x: 0 m η = 35.4	η < 0.1	η = 1.4	x: 3.508 m η = 0.3	x: 3.508 m η = 0.1	CUMPLE h = 35.4
N454/N327	$\bar{\lambda}$ < 2.0 Cumple	x: 0 m $\lambda_w \leq \lambda_{w,máx}$ Cumple	x: 3.508 m η = 1.0	x: 0 m η = 9.2	x: 0 m η = 29.4	x: 0 m η = 0.4	x: 3.508 m η = 1.6	x: 0 m η = 0.1	x: 0 m η < 0.1	x: 0 m η < 0.1	x: 0 m η = 32.1	x: 0 m η < 0.1	η = 3.8	x: 3.508 m η = 1.6	x: 0 m η = 0.1	CUMPLE h = 32.1
N433/N471	$\bar{\lambda}$ < 2.0 Cumple	$\lambda_w \leq \lambda_{w,máx}$ Cumple	x: 3.508 m η = 0.7	x: 0 m η = 8.2	x: 3.508 m η = 32.4	x: 3.508 m η = 0.3	x: 0 m η = 1.8	x: 3.508 m η = 0.1	η < 0.1	η < 0.1	x: 3.508 m η = 35.3	η < 0.1	η = 3.7	x: 0 m η = 1.9	x: 3.508 m η = 0.1	CUMPLE h = 35.3
N471/N453	$\bar{\lambda}$ < 2.0 Cumple	$\lambda_w \leq \lambda_{w,máx}$ Cumple	x: 3.508 m η = 0.8	x: 0 m η = 7.9	x: 0 m η = 32.9	x: 3.508 m η = 0.3	x: 3.508 m η = 0.3	x: 3.508 m η = 0.1	η < 0.1	η < 0.1	x: 0 m η = 35.6	η < 0.1	η = 1.4	x: 3.508 m η = 0.3	x: 3.508 m η = 0.1	CUMPLE h = 35.6
N453/N327	$\bar{\lambda}$ < 2.0 Cumple	x: 0 m $\lambda_w \leq \lambda_{w,máx}$ Cumple	x: 3.508 m η = 0.9	x: 0 m η = 7.6	x: 0 m η = 29.5	x: 0 m η = 0.5	x: 3.508 m η = 1.6	x: 0 m η = 0.1	x: 0 m η < 0.1	x: 0 m η < 0.1	x: 0 m η = 32.2	x: 0 m η < 0.1	η = 3.8	x: 3.508 m η = 1.6	x: 0 m η = 0.1	CUMPLE h = 32.2
N433/N470	$\bar{\lambda}$ < 2.0 Cumple	$\lambda_w \leq \lambda_{w,máx}$ Cumple	x: 3.508 m η = 0.8	x: 0 m η = 9.3	x: 3.508 m η = 32.2	x: 3.508 m η = 0.3	x: 0 m η = 1.8	x: 3.508 m η = 0.1	η < 0.1	η < 0.1	x: 3.508 m η = 35.0	η < 0.1	η = 3.7	x: 0 m η = 1.8	x: 3.508 m η = 0.1	CUMPLE h = 35.0
N470/N452	$\bar{\lambda}$ < 2.0 Cumple	$\lambda_w \leq \lambda_{w,máx}$ Cumple	x: 3.508 m η = 0.9	x: 0 m η = 9.1	x: 0 m η = 32.7	x: 3.508 m η = 0.2	x: 3.508 m η = 0.3	x: 3.508 m η = 0.1	η < 0.1	η < 0.1	x: 0 m η = 35.4	η < 0.1	η = 1.5	x: 3.508 m η = 0.3	x: 3.508 m η = 0.1	CUMPLE h = 35.4
N452/N284	$\bar{\lambda}$ < 2.0 Cumple	x: 0 m $\lambda_w \leq \lambda_{w,máx}$ Cumple	x: 3.508 m η = 1.0	x: 0 m η = 8.8	x: 0 m η = 29.4	x: 0 m η = 0.4	x: 3.508 m η = 1.6	x: 0 m η = 0.1	x: 0 m η < 0.1	x: 0 m η < 0.1	x: 0 m η = 31.9	x: 0 m η < 0.1	η = 3.8	x: 3.508 m η = 1.6	x: 0 m η = 0.1	CUMPLE h = 31.9
N434/N469	$\bar{\lambda}$ < 2.0 Cumple	$\lambda_w \leq \lambda_{w,máx}$ Cumple	x: 3.508 m η = 0.7	x: 0 m η = 8.6	x: 3.508 m η = 32.3	x: 3.508 m η = 0.3	x: 0 m η = 1.8	x: 3.508 m η = 0.1	η < 0.1	η < 0.1	x: 3.508 m η = 35.2	η < 0.1	η = 3.7	x: 0 m η = 1.9	x: 3.508 m η = 0.1	CUMPLE h = 35.2
N469/N451	$\bar{\lambda}$ < 2.0 Cumple	$\lambda_w \leq \lambda_{w,máx}$ Cumple	x: 3.508 m η = 0.9	x: 0 m η = 8.3	x: 0 m η = 32.8	x: 3.508 m η = 0.2	x: 3.508 m η = 0.3	x: 3.508 m η = 0.1	η < 0.1	η < 0.1	x: 0 m η = 35.6	η < 0.1	η = 1.4	x: 3.508 m η = 0.3	x: 3.508 m η = 0.1	CUMPLE h = 35.6
N451/N284	$\bar{\lambda}$ < 2.0 Cumple	x: 0 m $\lambda_w \leq \lambda_{w,máx}$ Cumple	x: 3.508 m η = 1.0	x: 0 m η = 8.0	x: 0 m η = 29.4	x: 0 m η = 0.4	x: 3.508 m η = 1.6	x: 0 m η = 0.1	x: 0 m η < 0.1	x: 0 m η < 0.1	x: 0 m η = 32.1	x: 0 m η < 0.1	η = 3.8	x: 3.508 m η = 1.6	x: 0 m η = 0.1	CUMPLE h = 32.1
N434/N468	$\bar{\lambda}$ < 2.0 Cumple	$\lambda_w \leq \lambda_{w,máx}$ Cumple	x: 3.508 m η = 0.8	x: 0 m η = 9.0	x: 3.508 m η = 32.2	x: 3.508 m η = 0.3	x: 0 m η = 1.8	x: 3.508 m η = 0.1	η < 0.1	η < 0.1	x: 3.508 m η = 35.0	η < 0.1	η = 3.7	x: 0 m η = 1.8	x: 3.508 m η = 0.1	CUMPLE h = 35.0
N468/N450	$\bar{\lambda}$ < 2.0 Cumple	$\lambda_w \leq \lambda_{w,máx}$ Cumple	x: 3.508 m η = 0.9	x: 0 m η = 8.8	x: 0 m η = 32.7	x: 3.508 m η = 0.2	x: 3.508 m η = 0.3	x: 3.508 m η = 0.1	η < 0.1	η < 0.1	x: 0 m η = 35.4	η < 0.1	η = 1.5	x: 3.508 m η = 0.3	x: 3.508 m η = 0.1	CUMPLE h = 35.4
N450/N241	$\bar{\lambda}$ < 2.0 Cumple	x: 0 m $\lambda_w \leq \lambda_{w,máx}$ Cumple	x: 3.508 m η = 1.0	x: 0 m η = 8.5	x: 0 m η = 29.4	x: 0 m η = 0.4	x: 3.508 m η = 1.6	x: 0 m η = 0.1	x: 0 m η < 0.1	x: 0 m η < 0.1	x: 0 m η = 31.9	x: 0 m η < 0.1	η = 3.8	x: 3.508 m η = 1.6	x: 0 m η = 0.1	CUMPLE h = 31.9
N435/N467	$\bar{\lambda}$ < 2.0 Cumple	$\lambda_w \leq \lambda_{w,máx}$ Cumple	x: 3.508 m η = 0.8	x: 0 m η = 9.0	x: 3.508 m η = 32.3	x: 3.508 m η = 0.3	x: 0 m η = 1.8	x: 3.508 m η = 0.1	η < 0.1	η < 0.1	x: 3.508 m η = 35.1	η < 0.1	η = 3.7	x: 0 m η = 1.8	x: 3.508 m η = 0.1	CUMPLE h = 35.1
N467/N449	$\bar{\lambda}$ < 2.0 Cumple	$\lambda_w \leq \lambda_{w,máx}$ Cumple	x: 3.508 m η = 0.9	x: 0 m η = 8.7	x: 0 m η = 32.7	x: 3.508 m η = 0.2	x: 3.508 m η = 0.3	x: 3.508 m η = 0.1	η < 0.1	η < 0.1	x: 0 m η = 35.5	η < 0.1	η = 1.4	x: 3.508 m η = 0.3	x: 3.508 m η = 0.1	CUMPLE h = 35.5
N449/N241	$\bar{\lambda}$ < 2.0 Cumple	x: 0 m $\lambda_w \leq \lambda_{w,máx}$ Cumple	x: 3.508 m η = 1.0	x: 0 m η = 8.4	x: 0 m η = 29.4	x: 0 m η = 0.4	x: 3.508 m η = 1.6	x: 0 m η = 0.1	x: 0 m η < 0.1	x: 0 m η < 0.1	x: 0 m η = 32.1	x: 0 m η < 0.1	η = 3.8	x: 3.508 m η = 1.6	x: 0 m η = 0.1	CUMPLE h = 32.1
N435/N466	$\bar{\lambda}$ < 2.0 Cumple	$\lambda_w \leq \lambda_{w,máx}$ Cumple	x: 3.508 m η = 0.7	x: 0 m η = 8.7	x: 3.508 m η = 32.2	x: 3.508 m η = 0.3	x: 0 m η = 1.8	x: 3.508 m η = 0.1	η < 0.1	η < 0.1	x: 3.508 m η = 35.0	η < 0.1	η = 3.7	x: 0 m η = 1.8	x: 3.508 m η = 0.1	CUMPLE h = 35.0
N466/N448	$\bar{\lambda}$ < 2.0 Cumple	$\lambda_w \leq \lambda_{w,máx}$ Cumple	x: 3.508 m η = 0.8	x: 0 m η = 8.5	x: 0 m η = 32.7	x: 3.508 m η = 0.2	x: 3.508 m η = 0.3	x: 3.508 m η = 0.1	η < 0.1	η < 0.1	x: 0 m η = 35.4	η < 0.1	η = 1.5	x: 3.508 m η = 0.3	x: 3.508 m η = 0.1	CUMPLE h = 35.4
N448/N198	$\bar{\lambda}$ < 2.0 Cumple	x: 0 m $\lambda_w \leq \lambda_{w,máx}$ Cumple	x: 3.508 m η = 0.9	x: 0 m η = 8.2	x: 0 m η = 29.4	x: 0 m η = 0.4	x: 3.508 m η = 1.6	x: 0 m η = 0.1	x: 0 m η < 0.1	x: 0 m η < 0.1	x: 0 m η = 32.0	x: 0 m η < 0.1	η = 3.8	x: 3.508 m η = 1.6	x: 0 m η = 0.1	CUMPLE h = 32.0
N436/N465	$\bar{\lambda}$ < 2.0 Cumple	$\lambda_w \leq \lambda_{w,máx}$ Cumple	x: 3.508 m η = 0.9	x: 0 m η = 9.3	x: 3.508 m η = 32.2	x: 3.508 m η = 0.3	x: 0 m η = 1.8	x: 3.508 m η = 0.1	η < 0.1	η < 0.1	x: 3.508 m η = 35.1	η < 0.1	η = 3.7	x: 0 m η = 1.8	x: 3.508 m η = 0.1	CUMPLE h = 35.1
N465/N447	$\bar{\lambda}$ < 2.0 Cumple	$\lambda_w \leq \lambda_{w,máx}$ Cumple	x: 3.508 m η = 1.0	x: 0 m η = 9.0	x: 0 m η = 32.7	x: 3.508 m η = 0.2	x: 3.508 m η = 0.3	x: 3.508 m η = 0.1	η < 0.1	η < 0.1	x: 0 m η = 35.5	η < 0.1	η = 1.4	x: 3.508 m η = 0.3	x: 3.508 m η = 0.1	CUMPLE h = 35.5
N447/N198	$\bar{\lambda}$ < 2.0 Cumple	x: 0 m $\lambda_w \leq \lambda_{w,máx}$ Cumple	x: 3.508 m η = 1.1	x: 0 m η = 8.7	x: 0 m η = 29.4	x: 0 m η = 0.4	x: 3.508 m η = 1.6	x: 0 m η = 0.1	x: 0 m η < 0.1	x: 0 m η < 0.1	x: 0 m η = 32.0	x: 0 m η < 0.1	η = 3.9	x: 3.508 m η = 1.6	x: 0 m η = 0.1	CUMPLE h = 32.0
N436/N464	$\bar{\lambda}$ < 2.0 Cumple	$\lambda_w \leq \lambda_{w,máx}$ Cumple	x: 3.508 m η = 0.7	x: 0 m η = 8.4	x: 3.508 m η = 32.3	x: 3.508 m η = 0.3	x: 0 m η = 1.8	x: 3.508 m η = 0.1	η < 0.1	η < 0.1	x: 3.508 m η = 35.1	η < 0.1	η = 3.7	x: 0 m η = 1.8	x: 3.508 m η = 0.1	CUMPLE h = 35.1
N464/N446	$\bar{\lambda}$ < 2.0 Cumple	$\lambda_w \leq \lambda_{w,máx}$ Cumple	x: 3.508 m η = 0.8	x: 0 m η = 8.2	x: 0 m η = 32.7	x: 3.508 m η = 0.3	x: 3.508 m η = 0.3	x: 3.508 m η = 0.1	η < 0.1	η < 0.1	x: 0 m η = 35.5	η < 0.1	η = 1.5	x: 3.508 m η = 0.3	x: 3.508 m η = 0.1	CUMPLE h = 35.5
N446/N155	$\bar{\lambda}$ < 2.0 Cumple	x: 0 m $\lambda_w \leq \lambda_{w,máx}$ Cumple	x: 3.508 m η = 0.9	x: 0 m η = 7.9	x: 0 m η = 29.4	x: 0 m η = 0.4	x: 3.508 m η = 1.6	x: 0 m η = 0.1	x: 0 m η < 0.1	x: 0 m η < 0.1	x: 0 m η = 32.0	x: 0 m η < 0.1	η = 3.8	x: 3.508 m η = 1.6	x: 0 m η = 0.1	CUMPLE h = 32.0
N437/N463	$\bar{\lambda}$ < 2.0 Cumple	$\lambda_w \leq \lambda_{w,máx}$ Cumple	x: 3.508 m η = 0.9	x: 0 m η = 9.6	x: 3.508 m η = 32.2	x: 3.508 m η = 0.3	x: 0 m η = 1.8	x: 3.508 m η = 0.1	η < 0.1	η < 0.1	x: 3.508 m η = 35.1	η < 0.1	η = 3.7	x: 0 m η = 1.8	x: 3.508 m η = 0.1	CUMPLE h = 35.1
N463/N445	$\bar{\lambda}$ < 2.0 Cumple	$\lambda_w \leq \lambda_{w,máx}$ Cumple	x: 3.508 m η = 1.0	x: 0 m η = 9.3	x: 0 m η = 32.7	x: 3.508 m η = 0.2	x: 3.508 m η = 0.3	x: 3.508 m η = 0.1	η < 0.1	η < 0.1	x: 0 m η = 35.5	η < 0.1	η = 1.5	x: 3.508 m η = 0.3	x: 3.508 m η = 0.1	CUMPLE h = 35.5
N445/N155	$\bar{\lambda}$ < 2.0 Cumple	x: 0 m $\lambda_w \leq \lambda_{w,máx}$ Cumple	x: 3.508 m η = 1.1	x: 0 m η = 9.1	x: 0 m η = 29.4	x: 0 m η = 0.4	x: 3.508 m η = 1.6	x: 0 m η = 0.1	x: 0 m η < 0.1	x: 0 m η < 0.1	x: 0 m η = 32.0	x: 0 m η < 0.1	η = 3.9	x: 3.508 m η = 1.6	x: 0 m η = 0.1	CUMPLE h = 32.0
N437/N462	$\bar{\lambda}$ < 2.0 Cumple	$\lambda_w \leq \lambda_{w,máx}$ Cumple	x: 3.508 m η = 0.6	x: 0 m η = 8.1	x: 3.508 m η = 32.4	x: 3.508 m η = 0.3	x: 0 m η = 1.8	x: 3.508 m η = 0.1	η < 0.1	η < 0.1	x: 3.508 m η = 35.2	η < 0.1	η = 3.7	x: 0 m η = 1.9	x: 3.508 m η = 0.1	CUMPLE h = 35.2
N462/N444	$\bar{\lambda}$ < 2.0 Cumple	$\lambda_w \leq \lambda_{w,máx}$ Cumple	x: 3.508 m η = 0.7	x: 0 m η = 7.8	x: 0 m η = 32.8	x: 3.508 m η = 0.3	x: 3.508 m η = 0.3	x: 3.508 m η = 0.1	η < 0.1	η < 0.1	x: 0 m η = 35.6	η < 0.1	η = 1.5	x: 3.508 m η = 0.3	x: 3.508 m η = 0.1	CUMPLE h = 35.6
N444/N112	$\bar{\lambda}$ < 2.0 Cumple	x: 0 m $\lambda_w \leq \lambda_{w,máx}$ Cumple	x: 3.508 m η = 0.8	x: 0 m η = 7.5	x: 0 m η = 29.5	x: 0 m η = 0.5	x: 3.508 m η = 1.6	x: 0 m η = 0.1	x: 0 m η < 0.1	x: 0 m η < 0.1	x: 0 m η = 32.1	x: 0 m η < 0.1	η = 3.8	x: 3.508 m η = 1.6	x: 0 m η = 0.1	CUMPLE h = 32.1
N438/N461	$\bar{\lambda}$ < 2.0 Cumple	$\lambda_w \leq \lambda_{w,máx}$ Cumple	x: 3.508 m η = 1.0	x: 0 m η = 10.0	x: 3.508 m η = 32.2	x: 3.508 m η = 0.3	x: 0 m η = 1.8	x: 3.508 m η = 0.1	η < 0.1	η < 0.1	x: 3.508 m η = 35.1	η < 0.1	η = 3.6	x: 0 m η = 1.8	x: 3.508 m η = 0.1	CUMPLE h = 35.1
N461/N443	$\bar{\lambda}$ < 2.0 Cumple	$\lambda_w \leq \lambda_{w,máx}$ Cumple	x: 3.508 m η = 1.1	x: 0 m η = 9.7	x: 0 m η = 32.6	x: 3.508 m η = 0.2	x: 3.508 m η = 0.3	x: 3.508 m η = 0.1	η < 0.1	η < 0.1	x: 0 m η = 35.4	η < 0.1	η = 1.4	x: 3.508 m η = 0.3	x: 3.508 m η = 0.1	CUMPLE h = 35.4
N443/N112	$\bar{\lambda}$ < 2.0 Cumple	x: 0 m $\lambda_w \leq \lambda_{w,máx}$ Cumple	x: 3.508 m η = 1.2	x: 0 m η = 9.4	x: 0 m η = 29.5	x: 0 m η = 0.4	x: 3.508 m η = 1.6	x: 0 m η = 0.1	x: 0 m η < 0.1	x: 0 m η < 0.1	x: 0 m η = 32.2	x: 0 m η < 0.1	η = 3.9	x: 3.508 m η = 1.6	x: 0 m η = 0.1	CUMPLE h = 32.2
N438/N460	$\bar{\lambda}$ < 2.0 Cumple	$\lambda_w \leq \lambda_{w,máx}$ Cumple	x: 3.508 m η = 0.5	x: 0 m η = 7.7	x: 3.508 m η = 32.9	x: 3.508 m η = 0.3	x: 0 m η = 1.8	x: 3.508 m η = 0.1	η < 0.1	η < 0.1	x: 3.508 m η = 35.9	η < 0.1	η = 3.5	x: 0 m η = 1.9	x: 3.508 m η = 0.1	CUMPLE h = 35.9
N460/N442	$\bar{\lambda}$ < 2.0 Cumple	$\lambda_w \leq \lambda_{w,máx}$ Cumple	x: 3.508 m η = 0.6	x: 0 m η = 7.5	x: 0 m η = 33.3	x: 3.508 m η = 0.4	x: 3.508 m η = 0.4	x: 3.508 m η = 0.1	η < 0.1	η < 0.1	x: 0 m η = 36.2	η < 0.1	η = 1.5	x: 3.508 m η = 0.4	x: 3.508 m η = 0.1	CUMPLE h = 36.2
N442/N69	$\bar{\lambda}$ < 2.0 Cumple	x: 0 m $\lambda_w \leq \lambda_{w,máx}$ Cumple	x: 3.508 m η = 0.7	x: 0 m η = 7.2	x: 0 m η = 27.8	x: 0 m η = 0.6	x: 3.508 m η = 1.5	x: 0 m η = 0.1	x: 0 m η < 0.1	x: 0 m η < 0.1	x: 0 m η = 30.5	x: 0 m η < 0.1	η = 3.9	x: 3.508 m η = 1.5	x: 0 m η = 0.1	CUMPLE h = 30.5
N439/N459	$\bar{\lambda}$ < 2.0 Cumple	$\lambda_w \leq \lambda_{w,máx}$ Cumple	x: 3.508 m η = 0.9	x: 0 m η = 10.6	x: 3.508 m η = 25.7	x: 0 m η = 0.3	x: 0 m η = 1.5	x: 0 m η = 0.1	η < 0.1	η < 0.1	x: 3.508 m η = 28.8	η < 0.1	η = 0.9	x: 0 m η = 1.5	x: 0 m η = 0.1	CUMPLE h = 28.8
N459/N441	$\bar{\lambda}$ < 2.0 Cumple	$\lambda_w \leq \lambda_{w,máx}$ Cumple	x: 3.508 m η = 1.0	x: 0 m η = 10.3	x: 2.412 m η = 27.7	x: 0 m η = 0.3	x: 0 m η = 0.1	x: 0 m η = 0.1	η < 0.1	η < 0.1	x: 2.193 m η = 30.5	η < 0.1	η = 3.6	x: 0 m η = 0.2	x: 0 m η = 0.1	CUMPLE h = 30.5
N441/N69	$\bar{\lambda}$ < 2.0 Cumple	x: 0 m $\lambda_w \leq \lambda_{w,máx}$ Cumple	x: 3.508 m η = 1.1	x: 0 m η = 10.0	x: 0 m η = 28.1	x: 0 m η = 0.4	x: 3.508 m η = 1.5	x: 0 m η = 0.1	x: 0 m η < 0.1	x: 0 m η < 0.1	x: 0 m η = 31.0	x: 0 m η < 0.1	η = 5.0	x: 3.508 m η = 1.6	x: 0 m η = 0.1	CUMPLE h = 31.0
N439/N458	$\bar{\lambda}$ < 2.0 Cumple	$\lambda_w \leq \lambda_{w,máx}$ Cumple	x: 3.508 m η = 1.7	x: 0 m η = 17.3	x: 3.508 m η = 17.8	x: 0 m η = 0.3	x: 0 m η = 0.9	x: 0 m η = 0.1	η < 0.1	η < 0.1	x: 3.508 m η = 22.8	η < 0.1	η = 1.9	x: 0 m η = 0.9	x: 0 m η = 0.1	CUMPLE h = 22.8
N458/N440	$\bar{\lambda}$ < 2.0 Cumple	$\lambda_w \leq \lambda_{w,máx}$ Cumple	x: 3.508 m η = 1.8	x: 0 m η = 17.1	x: 3.508 m η = 18.1	x: 3.508 m η = 0.5	x: 0 m η = 0.1	x: 3.508 m η = 0.1	η < 0.1	η < 0.1	x: 3.508 m η = 22.9	η < 0.1	η = 4.4	x: 0 m η = 0.1	x: 3.508 m η = 0.1	CUMPLE h = 22.9
N440/N26	$\bar{\lambda}$ < 2.0 Cumple	x: 0 m $\lambda_w \leq \lambda_{w,máx}$ Cumple	x: 3.508 m η = 1.9	x: 0 m η = 16.8	x: 0 m η = 17.2	x: 0 m η = 0.7	x: 3.508 m η = 0.9	x: 0 m η = 0.1	x: 0 m η < 0.1	x: 0 m η < 0.1	x: 0 m η = 22.1	x: 0 m η < 0.1	η = 7.1	x: 3.508 m η = 1.0	x: 0 m η = 0.1	CUMPLE h = 22.1
N28/N71	$\bar{\lambda}$ < 2.0 Cumple	$\lambda_w \leq \lambda_{w,máx}$ Cumple	η = 0.3	η = 0.7	x: 0 m η = 12.5	x: 0 m η = 0.6	x: 0 m η = 1.6	x: 0 m η = 0.1	η < 0.1	η < 0.1	x: 0 m η = 12.8	η < 0.1	η < 0.1	x: 0 m η = 1.6	x: 0 m η = 0.1	CUMPLE h = 12.8
N71/N114	$\bar{\lambda}$ < 2.0 Cumple	$\lambda_w \leq \lambda_{w,máx}$ Cumple	η = 0.5	η = 2.7	x: 0 m η = 16.1	x: 0 m η = 2.0	x: 0 m η = 2.0	x: 0 m η = 0.1	η < 0.1	η < 0.1	x: 0 m η = 19.3	η < 0.1	η = 0.1	x: 0 m η = 2.0	x: 0 m η = 0.1	CUMPLE h = 19.3
N114/N157	$\bar{\lambda}$ < 2.0 Cumple	$\lambda_w \leq \lambda_{w,máx}$ Cumple	η = 0.7	η = 3.2	x: 0 m η = 15.1	x: 0 m η = 1.4	x: 0 m η = 2.0	x: 0 m η = 0.1	η < 0.1	η < 0.1	x: 0 m η = 18.9	η < 0.1	M_{tz} = 0.00 N.P.[1]	N.P.[2]	N.P.[2]	CUMPLE h = 18.9

AJUNTAMENT D'OLERDOLA
Aquest document és una còpia simple del document electrònic original.

Listados

Cobriment de pista a Sant Pere Molanta (Olèrdola)

Fecha: 10/03/26

Barras	COMPROBACIONES (CTE DB SE-A)															Estado
	$\bar{\lambda}$	λ_w	N_t	N_c	M_t	M_z	V_z	V_y	M_tV_z	M_zV_y	NM_tM_z	$NM_tM_zV_yV_z$	M_t	M_tV_z	M_tV_y	
N157/N200	$\bar{\lambda}$ < 2.0 Cumple	$\lambda_w \leq \lambda_{w,máx}$ Cumple	η = 0.9	η = 3.8	x: 0 m η = 15.3	x: 0 m η = 1.1	x: 0 m η = 2.0	x: 0 m η = 0.1	η < 0.1	η < 0.1	x: 0 m η = 19.8	η < 0.1	M_{tz} = 0.00 N.P.[1]	N.P.[2]	N.P.[2]	CUMPLE h = 19.8
N200/N243	$\bar{\lambda}$ < 2.0 Cumple	$\lambda_w \leq \lambda_{w,máx}$ Cumple	η = 1.1	η = 4.5	x: 0 m η = 15.2	x: 0 m η = 1.0	x: 0 m η = 2.0	x: 0 m η = 0.1	η < 0.1	η < 0.1	x: 0 m η = 20.6	η < 0.1	M_{tz} = 0.00 N.P.[1]	N.P.[2]	N.P.[2]	CUMPLE h = 20.6
N243/N286	$\bar{\lambda}$ < 2.0 Cumple	$\lambda_w \leq \lambda_{w,máx}$ Cumple	η = 1.3	η = 5.4	x: 0 m η = 15.3	x: 4.68 m η = 1.1	x: 0 m η = 2.0	x: 4.68 m η = 0.1	η < 0.1	η < 0.1	x: 0 m η = 21.5	η < 0.1	M_{tz} = 0.00 N.P.[1]	N.P.[2]	N.P.[2]	CUMPLE h = 21.5
N286/N329	$\bar{\lambda}$ < 2.0 Cumple	$\lambda_w \leq \lambda_{w,máx}$ Cumple	η = 1.5	η = 6.3	x: 0 m η = 15.3	x: 4.68 m η = 1.6	x: 0 m η = 2.0	x: 4.68 m η = 0.1	η < 0.1	η < 0.1	x: 0 m η = 22.5	η < 0.1	M_{tz} = 0.00 N.P.[1]	N.P.[2]	N.P.[2]	CUMPLE h = 22.5
N329/N372	$\bar{\lambda}$ < 2.0 Cumple	$\lambda_w \leq \lambda_{w,máx}$ Cumple	η = 1.8	η = 7.6	x: 0 m η = 16.5	x: 4.68 m η = 2.1	x: 0 m η = 2.1	x: 4.68 m η = 0.2	η < 0.1	η < 0.1	x: 0 m η = 25.3	η < 0.1	η = 0.1	x: 0 m η = 2.1	x: 4.68 m η = 0.2	CUMPLE h = 25.3
N372/N415	$\bar{\lambda}$ < 2.0 Cumple	$\lambda_w \leq \lambda_{w,máx}$ Cumple	η = 2.0	η = 8.5	x: 0 m η = 9.1	x: 0 m η = 1.0	x: 0 m η = 1.5	x: 0 m η = 0.1	η < 0.1	η < 0.1	x: 0 m η = 18.9	η < 0.1	η = 0.6	x: 0 m η = 1.5	x: 0 m η = 0.1	CUMPLE h = 18.9
N43/N86	$\bar{\lambda}$ < 2.0 Cumple	$\lambda_w \leq \lambda_{w,máx}$ Cumple	η = 1.2	η = 2.0	x: 4.68 m η = 13.8	x: 4.68 m η = 3.2	x: 4.68 m η = 1.7	x: 4.68 m η = 0.4	η < 0.1	η < 0.1	x: 4.68 m η = 16.3	η < 0.1	η = 0.1	x: 4.68 m η = 1.7	x: 4.68 m η = 0.4	CUMPLE h = 16.3
N86/N129	$\bar{\lambda}$ < 2.0 Cumple	$\lambda_w \leq \lambda_{w,máx}$ Cumple	η = 0.5	η = 3.3	x: 4.68 m η = 12.0	x: 0 m η = 3.2	x: 4.68 m η = 1.6	x: 0 m η = 0.4	η < 0.1	η < 0.1	x: 4.68 m η = 12.7	η < 0.1	η = 0.2	x: 4.68 m η = 1.6	x: 0 m η = 0.4	CUMPLE h = 12.7
N129/N172	$\bar{\lambda}$ < 2.0 Cumple	$\lambda_w \leq \lambda_{w,máx}$ Cumple	η = 1.1	η = 6.4	x: 4.68 m η = 11.4	x: 0 m η = 2.9	x: 4.68 m η = 1.6	x: 4.68 m η = 0.4	η < 0.1	η < 0.1	x: 4.68 m η = 12.7	η < 0.1	η < 0.1	x: 4.68 m η = 1.6	x: 4.68 m η = 0.4	CUMPLE h = 12.7
N172/N215	$\bar{\lambda}$ < 2.0 Cumple	$\lambda_w \leq \lambda_{w,máx}$ Cumple	η = 1.6	η = 7.5	x: 4.68 m η = 11.2	x: 0 m η = 2.7	x: 4.68 m η = 1.5	x: 4.68 m η = 0.4	η < 0.1	η < 0.1	x: 4.68 m η = 13.0	η < 0.1	M_{tz} = 0.00 N.P.[1]	N.P.[2]	N.P.[2]	CUMPLE h = 13.0
N215/N258	$\bar{\lambda}$ < 2.0 Cumple	$\lambda_w \leq \lambda_{w,máx}$ Cumple	η = 2.0	η = 7.7	x: 4.68 m η = 11.2	x: 4.68 m η = 2.7	x: 4.68 m η = 1.5	x: 4.68 m η = 0.4	η < 0.1	η < 0.1	x: 4.68 m η = 13.7	η < 0.1	η < 0.1	x: 4.68 m η = 1.5	x: 4.68 m η = 0.4	CUMPLE h = 13.7
N258/N301	$\bar{\lambda}$ < 2.0 Cumple	$\lambda_w \leq \lambda_{w,máx}$ Cumple	η = 2.1	η = 6.9	x: 4.68 m η = 11.1	x: 4.68 m η = 2.8	x: 4.68 m η = 1.5	x: 4.68 m η = 0.4	η < 0.1	η < 0.1	x: 4.68 m η = 13.4	η < 0.1	η < 0.1	x: 4.68 m η = 1.5	x: 4.68 m η = 0.4	CUMPLE h = 13.4
N301/N344	$\bar{\lambda}$ < 2.0 Cumple	$\lambda_w \leq \lambda_{w,máx}$ Cumple	η = 1.6	η = 2.9	x: 4.68 m η = 10.8	x: 4.68 m η = 3.0	x: 4.68 m η = 1.5	x: 4.68 m η = 0.4	η < 0.1	η < 0.1	x: 4.68 m η = 12.6	η < 0.1	η = 0.1	x: 4.68 m η = 1.5	x: 4.68 m η = 0.4	CUMPLE h = 12.6
N344/N387	$\bar{\lambda}$ < 2.0 Cumple	$\lambda_w \leq \lambda_{w,máx}$ Cumple	η = 3.0	η = 4.4	x: 4.68 m η = 9.8	x: 4.68 m η = 3.6	x: 4.68 m η = 1.5	x: 4.68 m η = 0.4	η < 0.1	η < 0.1	x: 4.68 m η = 14.1	η < 0.1	η = 0.2	x: 4.68 m η = 1.5	x: 4.68 m η = 0.4	CUMPLE h = 14.1
N387/N430	$\bar{\lambda}$ < 2.0 Cumple	$\lambda_w \leq \lambda_{w,máx}$ Cumple	η = 1.4	η = 6.6	x: 0 m η = 9.2	x: 0 m η = 3.0	x: 4.68 m η = 1.3	x: 4.68 m η = 0.4	η < 0.1	η < 0.1	x: 0 m η = 16.3	η < 0.1	η = 1.2	x: 4.68 m η = 1.3	x: 4.68 m η = 0.4	CUMPLE h = 16.3
N517/N516	$\bar{\lambda}$ < 2.0 Cumple	$\lambda_w \leq \lambda_{w,máx}$ Cumple	η = 0.2	η = 4.0	x: 0 m η = 16.4	x: 0 m η = 1.0	x: 0 m η = 2.2	x: 0 m η = 0.1	η < 0.1	η < 0.1	x: 0 m η = 16.6	η < 0.1	η = 1.1	x: 0 m η = 2.2	x: 0 m η = 0.1	CUMPLE h = 16.6
N518/N517	$\bar{\lambda}$ < 2.0 Cumple	$\lambda_w \leq \lambda_{w,máx}$ Cumple	η = 0.9	η = 2.1	x: 0 m η = 23.6	x: 4.68 m η = 2.1	x: 0 m η = 3.2	x: 0 m η = 0.2	η < 0.1	η < 0.1	x: 0 m η = 26.0	η < 0.1	η = 0.2	x: 0 m η = 3.2	x: 0 m η = 0.2	CUMPLE h = 26.0
N519/N518	$\bar{\lambda}$ < 2.0 Cumple	$\lambda_w \leq \lambda_{w,máx}$ Cumple	η = 1.7	η = 2.2	x: 0 m η = 23.8	x: 4.68 m η = 1.5	x: 0 m η = 3.2	x: 0 m η = 0.2	η < 0.1	η < 0.1	x: 0 m η = 25.6	η < 0.1	η = 0.1	x: 0 m η = 3.2	x: 0 m η = 0.2	CUMPLE h = 25.6
N520/N519	$\bar{\lambda}$ < 2.0 Cumple	$\lambda_w \leq \lambda_{w,máx}$ Cumple	η = 1.6	η = 0.7	x: 0 m η = 23.6	x: 0 m η = 1.4	x: 0 m η = 3.2	x: 0 m η = 0.2	η < 0.1	η < 0.1	x: 0 m η = 23.8	η < 0.1	η < 0.1	x: 0 m η = 3.2	x: 0 m η = 0.2	CUMPLE h = 23.8
N521/N520	$\bar{\lambda}$ ≤ 3.0 Cumple	$\lambda_w \leq \lambda_{w,máx}$ Cumple	η = 1.3	N_{tz} = 0.00 N.P.[3]	x: 0 m η = 23.5	x: 0 m η = 1.6	x: 0 m η = 3.2	x: 0 m η = 0.2	η < 0.1	η < 0.1	x: 0 m η = 24.3	η < 0.1	η < 0.1	x: 0 m η = 3.2	x: 0 m η = 0.2	CUMPLE h = 24.3
N522/N521	$\bar{\lambda}$ < 2.0 Cumple	$\lambda_w \leq \lambda_{w,máx}$ Cumple	η = 1.0	η = 0.3	x: 0 m η = 23.5	x: 0 m η = 1.7	x: 0 m η = 3.2	x: 0 m η = 0.2	η < 0.1	η < 0.1	x: 0 m η = 24.8	η < 0.1	M_{tz} = 0.00 N.P.[1]	N.P.[2]	N.P.[2]	CUMPLE h = 24.8
N523/N522	$\bar{\lambda}$ < 2.0 Cumple	$\lambda_w \leq \lambda_{w,máx}$ Cumple	η = 1.2	η = 1.9	x: 0 m η = 23.6	x: 0 m η = 1.8	x: 0 m η = 3.2	x: 0 m η = 0.2	η < 0.1	η < 0.1	x: 0 m η = 25.1	η < 0.1	η < 0.1	x: 0 m η = 3.2	x: 0 m η = 0.2	CUMPLE h = 25.1
N524/N523	$\bar{\lambda}$ < 2.0 Cumple	$\lambda_w \leq \lambda_{w,máx}$ Cumple	η = 1.4	η = 7.6	x: 0 m η = 23.0	x: 0 m η = 2.0	x: 0 m η = 3.2	x: 0 m η = 0.2	η < 0.1	η < 0.1	x: 0 m η = 24.4	η < 0.1	η = 0.2	x: 0 m η = 3.2	x: 0 m η = 0.2	CUMPLE h = 24.4
N525/N524	$\bar{\lambda}$ < 2.0 Cumple	$\lambda_w \leq \lambda_{w,máx}$ Cumple	N_{tz} = 0.00 N.P.[4]	η = 1.9	x: 0 m η = 13.8	x: 0 m η = 1.0	x: 0 m η = 1.9	x: 0 m η = 0.1	η < 0.1	η < 0.1	x: 0 m η = 15.6	η < 0.1	η = 0.1	x: 0 m η = 1.9	x: 0 m η = 0.1	CUMPLE h = 15.6
N527/N526	$\bar{\lambda}$ < 2.0 Cumple	$\lambda_w \leq \lambda_{w,máx}$ Cumple	η = 1.5	η = 3.1	x: 0 m η = 14.0	x: 0 m η = 1.0	x: 0 m η = 2.1	x: 0 m η = 0.1	η < 0.1	η < 0.1	x: 0 m η = 17.6	η < 0.1	η = 1.0	x: 0 m η = 2.2	x: 0 m η = 0.1	CUMPLE h = 17.6
N528/N527	$\bar{\lambda}$ < 2.0 Cumple	$\lambda_w \leq \lambda_{w,máx}$ Cumple	η = 0.3	η = 0.2	x: 0 m η = 26.0	x: 4.68 m η = 3.0	x: 0 m η = 3.6	x: 4.68 m η = 0.3	η < 0.1	η < 0.1	x: 0 m η = 27.0	η < 0.1	η = 0.2	x: 0 m η = 3.6	x: 4.68 m η = 0.3	CUMPLE h = 27.0
N529/N528	$\bar{\lambda}$ < 2.0 Cumple	$\lambda_w \leq \lambda_{w,máx}$ Cumple	η = 0.9	η = 0.8	x: 0 m η = 25.9	x: 4.68 m η = 2.4	x: 0 m η = 3.6	x: 4.68 m η = 0.3	η < 0.1	η < 0.1	x: 0 m η = 26.7	η < 0.1	η = 0.1	x: 0 m η = 3.6	x: 4.68 m η = 0.3	CUMPLE h = 26.7
N530/N529	$\bar{\lambda}$ < 2.0 Cumple	$\lambda_w \leq \lambda_{w,máx}$ Cumple	η = 1.1	η = 0.6	x: 0 m η = 25.8	x: 4.68 m η = 1.8	x: 0 m η = 3.6	x: 4.68 m η = 0.2	η < 0.1	η < 0.1	x: 0 m η = 26.1	η < 0.1	η < 0.1	x: 0 m η = 3.6	x: 4.68 m η = 0.2	CUMPLE h = 26.1
N531/N530	$\bar{\lambda}$ < 2.0 Cumple	$\lambda_w \leq \lambda_{w,máx}$ Cumple	η = 1.0	η < 0.1	x: 0 m η = 25.8	x: 0 m η = 1.9	x: 0 m η = 3.6	x: 0 m η = 0.2	η < 0.1	η < 0.1	x: 0 m η = 26.1	η < 0.1	η < 0.1	x: 0 m η = 3.6	x: 0 m η = 0.2	CUMPLE h = 26.1
N532/N531	$\bar{\lambda}$ < 2.0 Cumple	$\lambda_w \leq \lambda_{w,máx}$ Cumple	η = 0.8	η = 0.1	x: 0 m η = 25.8	x: 0 m η = 2.2	x: 0 m η = 3.6	x: 0 m η = 0.3	η < 0.1	η < 0.1	x: 0 m η = 26.5	η < 0.1	M_{tz} = 0.00 N.P.[1]	N.P.[2]	N.P.[2]	CUMPLE h = 26.5
N533/N532	$\bar{\lambda}$ < 2.0 Cumple	$\lambda_w \leq \lambda_{w,máx}$ Cumple	η = 0.6	η = 0.9	x: 0 m η = 25.7	x: 0 m η = 2.4	x: 0 m η = 3.6	x: 0 m η = 0.3	η < 0.1	η < 0.1	x: 0 m η = 26.6	η < 0.1	η < 0.1	x: 0 m η = 3.6	x: 0 m η = 0.3	CUMPLE h = 26.6
N534/N533	$\bar{\lambda}$ < 2.0 Cumple	$\lambda_w \leq \lambda_{w,máx}$ Cumple	η = 0.8	η = 1.7	x: 0 m η = 26.3	x: 0 m η = 2.6	x: 0 m η = 3.6	x: 0 m η = 0.3	η < 0.1	η < 0.1	x: 0 m η = 27.1	η < 0.1	η = 0.2	x: 0 m η = 3.6	x: 0 m η = 0.3	CUMPLE h = 27.1
N535/N534	$\bar{\lambda}$ < 2.0 Cumple	$\lambda_w \leq \lambda_{w,máx}$ Cumple	η = 0.3	η = 3.5	x: 0 m η = 14.4	x: 0 m η = 1.1	x: 0 m η = 2.0	x: 0 m η = 0.1	η < 0.1	η < 0.1	x: 0 m η = 15.0	η < 0.1	η = 0.1	x: 0 m η = 2.0	x: 0 m η = 0.1	CUMPLE h = 15.0
N537/N536	$\bar{\lambda}$ < 2.0 Cumple	$\lambda_w \leq \lambda_{w,máx}$ Cumple	η = 1.9	η = 3.8	x: 0 m η = 13.6	x: 0 m η = 1.1	x: 0 m η = 2.2	x: 0 m η = 0.1	η < 0.1	η < 0.1	x: 0 m η = 18.0	η < 0.1	η = 0.7	x: 0 m η = 2.2	x: 0 m η = 0.1	CUMPLE h = 18.0
N538/N537	$\bar{\lambda}$ < 2.0 Cumple	$\lambda_w \leq \lambda_{w,máx}$ Cumple	η = 0.2	η = 0.3	x: 0 m η = 25.9	x: 4.68 m η = 2.9	x: 0 m η = 3.6	x: 4.68 m η = 0.3	η < 0.1	η < 0.1	x: 0 m η = 27.2	η < 0.1	η = 0.1	x: 0 m η = 3.6	x: 4.68 m η = 0.3	CUMPLE h = 27.2
N539/N538	$\bar{\lambda}$ < 2.0 Cumple	$\lambda_w \leq \lambda_{w,máx}$ Cumple	η = 0.3	η = 0.2	x: 0 m η = 25.6	x: 4.68 m η = 2.3	x: 0 m η = 3.5	x: 4.68 m η = 0.3	η < 0.1	η < 0.1	x: 0 m η = 26.3	η < 0.1	η = 0.1	x: 0 m η = 3.5	x: 4.68 m η = 0.3	CUMPLE h = 26.3
N540/N539	$\bar{\lambda}$ < 2.0 Cumple	$\lambda_w \leq \lambda_{w,máx}$ Cumple	η = 0.3	η = 0.2	x: 0 m η = 25.6	x: 0 m η = 1.7	x: 0 m η = 3.6	x: 0 m η = 0.2	η < 0.1	η < 0.1	x: 0 m η = 26.0	η < 0.1	η < 0.1	x: 0 m η = 3.6	x: 0 m η = 0.2	CUMPLE h = 26.0
N541/N540	$\bar{\lambda}$ < 2.0 Cumple	$\lambda_w \leq \lambda_{w,máx}$ Cumple	η = 0.4	η = 0.2	x: 0 m η = 25.6	x: 0 m η = 1.9	x: 0 m η = 3.6	x: 0 m η = 0.2	η < 0.1	η < 0.1	x: 0 m η = 25.8	η < 0.1	η < 0.1	x: 0 m η = 3.6	x: 0 m η = 0.2	CUMPLE h = 25.8
N542/N541	$\bar{\lambda}$ < 2.0 Cumple	$\lambda_w \leq \lambda_{w,máx}$ Cumple	η = 0.3	η = 0.3	x: 0 m η = 25.6	x: 0 m η = 2.1	x: 0 m η = 3.6	x: 0 m η = 0.3	η < 0.1	η < 0.1	x: 0 m η = 26.0	η < 0.1	M_{tz} = 0.00 N.P.[1]	N.P.[2]	N.P.[2]	CUMPLE h = 26.0
N543/N542	$\bar{\lambda}$ < 2.0 Cumple	$\lambda_w \leq \lambda_{w,máx}$ Cumple	η = 0.3	η = 0.4	x: 0 m η = 25.6	x: 0 m η = 2.4	x: 0 m η = 3.5	x: 0 m η = 0.3	η < 0.1	η < 0.1	x: 0 m η = 26.0	η < 0.1	η < 0.1	x: 0 m η = 3.5	x: 0 m η = 0.3	CUMPLE h = 26.0
N544/N543	$\bar{\lambda}$ < 2.0 Cumple	$\lambda_w \leq \lambda_{w,máx}$ Cumple	η = 0.3	η = 0.5	x: 0 m η = 26.2	x: 0 m η = 2.6	x: 0 m η = 3.6	x: 0 m η = 0.3	η < 0.1	η < 0.1	x: 0 m η = 26.6	η < 0.1	η = 0.1	x: 0 m η = 3.6	x: 0 m η = 0.3	CUMPLE h = 26.6
N545/N544	$\bar{\lambda}$ < 2.0 Cumple	$\lambda_w \leq \lambda_{w,máx}$ Cumple	η = 0.6	η = 3.7	x: 0 m η = 15.0	x: 0 m η = 1.1	x: 0 m η = 2.0	x: 0 m η = 0.1	η < 0.1	η < 0.1	x: 0 m η = 16.0	η < 0.1	η = 0.1	x: 0 m η = 2.0	x: 0 m η = 0.1	CUMPLE h = 16.0
N547/N546	$\bar{\lambda}$ < 2.0 Cumple	$\lambda_w \leq \lambda_{w,máx}$ Cumple	η = 1.7	η = 4.2	x: 2.633 m η = 12.9	x: 0 m η = 1.2	x: 0 m η = 2.1	x: 0 m η = 0.1	η < 0.1	η < 0.1	x: 0 m η = 18.0	η < 0.1	η = 0.5	x: 0 m η = 2.2	x: 0 m η = 0.1	CUMPLE h = 18.0
N548/N547	$\bar{\lambda}$ < 2.0 Cumple	$\lambda_w \leq \lambda_{w,máx}$ Cumple	η = 0.2	η = 0.5	x: 0 m η = 26.2	x: 4.68 m η = 2.8	x: 0 m η = 3.6	x: 4.68 m η = 0.3	η < 0.1	η < 0.1	x: 0 m η = 27.4	η < 0.1	η = 0.1	x: 0 m η = 3.6	x: 4.68 m η = 0.3	CUMPLE h = 27.4
N549/N548	$\bar{\lambda}$ < 2.0 Cumple	$\lambda_w \leq \lambda_{w,máx}$ Cumple	η = 0.2	η = 0.5	x: 4.68 m η = 25.6	x: 4.68 m η = 2.2	x: 4.68 m η = 3.5	x: 4.68 m η = 0.2	η < 0.1	η < 0.1	x: 4.68 m η = 26.4	η < 0.1	η < 0.1	x: 4.68 m η = 3.5	x: 4.68 m η = 0.2	CUMPLE h = 26.4
N550/N549	$\bar{\lambda}$ < 2.0 Cumple	$\lambda_w \leq \lambda_{w,máx}$ Cumple	η = 0.2	η = 0.5	x: 0 m η = 25.6	x: 0 m η = 1.8	x: 0 m η = 3.6	x: 0 m η = 0.2	η < 0.1	η < 0.1	x: 0 m η = 26.1	η < 0.1	η < 0.1	x: 0 m η = 3.6	x: 0 m η = 0.2	CUMPLE h = 26.1
N551/N550	$\bar{\lambda}$ < 2.0 Cumple	$\lambda_w \leq \lambda_{w,máx}$ Cumple	η = 0.2	η = 0.4	x: 0 m η = 25.6	x: 0 m η = 1.9	x: 0 m η = 3.5	x: 0 m η = 0.2	η < 0.1	η < 0.1	x: 0 m η = 25.8	η < 0.1	η < 0.1	x: 0 m η = 2.7	x: 0 m η = 0.2	CUMPLE h = 25.8
N552/N551	$\bar{\lambda}$ < 2.0 Cumple	$\lambda_w \leq \lambda_{w,máx}$ Cumple	η = 0.2	η = 0.4	x: 0 m η = 25.6	x: 0 m η = 2.1	x: 0 m η = 3.6	x: 0 m η = 0.3	η < 0.1	η < 0.1	x: 0 m η = 25.9	η < 0.1	M_{tz} = 0.00 N.P.[1]	N.P.[2]	N.P.[2]	CUMPLE h = 25.9
N553/N552	$\bar{\lambda}$ < 2.0 Cumple	$\lambda_w \leq \lambda_{w,máx}$ Cumple	η = 0.2	η = 0.3	x: 0 m η = 25.6	x: 0 m η = 2.3	x: 0 m η = 3.5	x: 0 m η = 0.3	η < 0.1	η < 0.1	x: 0 m η = 25.9	η < 0.1	η < 0.1	x: 0 m η = 2.0	x: 0 m η = 0.2	CUMPLE h = 25.9
N554/N553	$\bar{\lambda}$ < 2.0 Cumple	$\lambda_w \leq \lambda_{w,máx}$ Cumple	η = 0.2	η = 0.3	x: 0 m η = 26.2	x: 0 m η = 2.7	x: 0 m η = 3.6	x: 0 m η = 0.3	η < 0.1	η < 0.1	x: 0 m η = 26.4	η < 0.1	η = 0.1	x: 0 m η = 3.6	x: 0 m η = 0.3	CUMPLE h = 26.4
N555/N554	$\bar{\lambda}$ < 2.0 Cumple	$\lambda_w \leq \lambda_{w,máx}$ Cumple	η = 0.9	η = 3.7	x: 0 m η = 15.0	x: 0 m η = 1.2	x: 0 m η = 2.0	x: 0 m η = 0.1	η < 0.1	η < 0.1	x: 0 m η = 16.3	η < 0.1	η < 0.1	x: 0 m η = 2.0	x: 0 m η = 0.1	CUMPLE h = 16.3
N557/N556	$\bar{\lambda}$ < 2.0 Cumple	$\lambda_w \leq \lambda_{w,máx}$ Cumple	η = 1.7	η = 4.9	x: 2.633 m η = 13.5	x: 0 m η = 1.2	x: 0 m η = 2.2	x: 0 m η = 0.1	η < 0.1	η < 0.1	x: 0 m η = 19.2	η < 0.1	η = 0.2	x: 0 m η = 2.2	x: 0 m η = 0.1	CUMPLE h = 19.2
N558/N557	$\bar{\lambda}$ < 2.0 Cumple	$\lambda_w \leq \lambda_{w,máx}$ Cumple	η = 0.2	η = 0.6	x: 0 m η = 26.2	x: 4.68 m η = 2.8	x: 0 m η = 3.6	x: 4.68 m η = 0.3	η < 0.1	η < 0.1	x: 0 m η = 27.4	η < 0.1	η = 0.1	x: 0 m η = 3.6	x: 4.68 m η = 0.3	CUMPLE h = 27.4
N559/N558	$\bar{\lambda}$ < 2.0 Cumple	$\lambda_w \leq \lambda_{w,máx}$ Cumple	η = 0.2	η = 0.5	x: 4.68 m η = 25.7	x: 4.68 m η = 2.2	x: 4.68 m η = 3.5	x: 4.68 m η = 0.2	η < 0.1	η < 0.1	x: 4.68 m η = 26.6	η < 0.1	η < 0.1	x: 4.68 m η = 3.6	x: 4.68 m η = 0.2	CUMPLE h = 26.6
N560/N559	$\bar{\lambda}$ < 2.0 Cumple	$\lambda_w \leq \lambda_{w,máx}$ Cumple	η = 0.2	η = 0.5	x: 0 m η = 25.6	x: 0 m η = 1.8	x: 0 m η = 3.5	x: 0 m η = 0.2	η < 0.1	η < 0.1	x: 0 m η = 26.0	η < 0.1	η < 0.1	x: 0 m η = 3.6	x: 0 m η = 0.2	CUMPLE h = 26.0

AJUNTAMENT D'OLERDOLA
Aquest document és una còpia simple del document electrònic original.

Listados

Cobriment de pista a Sant Pere Molanta (Olèrdola)

Fecha: 10/03/26

Barras	COMPROBACIONES (CTE DB SE-A)															Estado
	$\bar{\lambda}$	λ_w	N_t	N_c	M_y	M_z	V_z	V_y	M_tV_z	M_zV_y	NM_yM_z	$NM_yM_zV_zV_z$	M_t	M_yV_z	M_zV_y	
N561/N560	$\bar{\lambda}$ < 2.0 Cumple	$\lambda_w \leq \lambda_{w,máx}$ Cumple	η = 0.2	η = 0.5	x: 0 m η = 25.5	x: 0 m η = 2.0	x: 0 m η = 3.5	x: 0 m η = 0.2	η < 0.1	η < 0.1	x: 0 m η = 25.7	η < 0.1	η < 0.1	x: 4.68 m η = 2.7	x: 0 m η = 0.2	CUMPLE h = 25.7
N562/N561	$\bar{\lambda}$ < 2.0 Cumple	$\lambda_w \leq \lambda_{w,máx}$ Cumple	η = 0.2	η = 0.4	x: 0 m η = 25.6	x: 0 m η = 2.2	x: 0 m η = 3.5	x: 0 m η = 0.3	η < 0.1	η < 0.1	x: 0 m η = 25.9	η < 0.1	M_{tz} = 0.00 N.P.[1]	N.P.[2]	N.P.[2]	CUMPLE h = 25.9
N563/N562	$\bar{\lambda}$ < 2.0 Cumple	$\lambda_w \leq \lambda_{w,máx}$ Cumple	η = 0.2	η = 0.4	x: 0 m η = 25.6	x: 0 m η = 2.3	x: 0 m η = 3.5	x: 0 m η = 0.3	η < 0.1	η < 0.1	x: 0 m η = 25.9	η < 0.1	η < 0.1	x: 0 m η = 2.0	x: 0 m η = 0.2	CUMPLE h = 25.9
N564/N563	$\bar{\lambda}$ < 2.0 Cumple	$\lambda_w \leq \lambda_{w,máx}$ Cumple	η = 0.1	η = 0.3	x: 0 m η = 26.2	x: 0 m η = 2.7	x: 0 m η = 3.6	x: 0 m η = 0.3	η < 0.1	η < 0.1	x: 0 m η = 26.4	η < 0.1	η = 0.1	x: 0 m η = 3.6	x: 0 m η = 0.3	CUMPLE h = 26.4
N565/N564	$\bar{\lambda}$ < 2.0 Cumple	$\lambda_w \leq \lambda_{w,máx}$ Cumple	η = 1.0	η = 3.6	x: 0 m η = 15.4	x: 0 m η = 1.2	x: 0 m η = 2.0	x: 0 m η = 0.1	η < 0.1	η < 0.1	x: 0 m η = 16.8	η < 0.1	η = 0.1	x: 0 m η = 2.0	x: 0 m η = 0.1	CUMPLE h = 16.8
N567/N566	$\bar{\lambda}$ < 2.0 Cumple	$\lambda_w \leq \lambda_{w,máx}$ Cumple	η = 1.7	η = 5.7	x: 2.633 m η = 12.9	x: 0 m η = 1.3	x: 0 m η = 2.1	x: 0 m η = 0.1	η < 0.1	η < 0.1	x: 0 m η = 19.7	η < 0.1	η = 0.1	x: 0 m η = 2.1	x: 0 m η = 0.1	CUMPLE h = 19.7
N568/N567	$\bar{\lambda}$ < 2.0 Cumple	$\lambda_w \leq \lambda_{w,máx}$ Cumple	η = 0.2	η = 0.4	x: 0 m η = 26.4	x: 4.68 m η = 2.8	x: 0 m η = 3.6	x: 4.68 m η = 0.3	η < 0.1	η < 0.1	x: 0 m η = 27.5	η < 0.1	η < 0.1	x: 0 m η = 3.6	x: 4.68 m η = 0.3	CUMPLE h = 27.5
N569/N568	$\bar{\lambda}$ < 2.0 Cumple	$\lambda_w \leq \lambda_{w,máx}$ Cumple	η = 0.2	η = 0.4	x: 4.68 m η = 25.6	x: 4.68 m η = 2.2	x: 4.68 m η = 3.5	x: 4.68 m η = 0.2	η < 0.1	η < 0.1	x: 4.68 m η = 26.4	η < 0.1	η < 0.1	x: 4.68 m η = 3.5	x: 4.68 m η = 0.2	CUMPLE h = 26.4
N570/N569	$\bar{\lambda}$ < 2.0 Cumple	$\lambda_w \leq \lambda_{w,máx}$ Cumple	η = 0.2	η = 0.4	x: 0 m η = 25.6	x: 0 m η = 1.8	x: 0 m η = 3.6	x: 0 m η = 0.2	η < 0.1	η < 0.1	x: 0 m η = 26.0	η < 0.1	η < 0.1	x: 0 m η = 2.0	x: 4.68 m η = 0.2	CUMPLE h = 26.0
N571/N570	$\bar{\lambda}$ < 2.0 Cumple	$\lambda_w \leq \lambda_{w,máx}$ Cumple	η = 0.1	η = 0.4	x: 0 m η = 25.6	x: 0 m η = 2.0	x: 0 m η = 3.5	x: 0 m η = 0.2	η < 0.1	η < 0.1	x: 0 m η = 25.8	η < 0.1	M_{tz} = 0.00 N.P.[1]	N.P.[2]	N.P.[2]	CUMPLE h = 25.8
N572/N571	$\bar{\lambda}$ < 2.0 Cumple	$\lambda_w \leq \lambda_{w,máx}$ Cumple	η = 0.1	η = 0.3	x: 0 m η = 25.6	x: 0 m η = 2.2	x: 0 m η = 3.6	x: 0 m η = 0.3	η < 0.1	η < 0.1	x: 0 m η = 26.0	η < 0.1	M_{tz} = 0.00 N.P.[1]	N.P.[2]	N.P.[2]	CUMPLE h = 26.0
N573/N572	$\bar{\lambda}$ < 2.0 Cumple	$\lambda_w \leq \lambda_{w,máx}$ Cumple	η = 0.1	η = 0.3	x: 0 m η = 25.7	x: 0 m η = 2.3	x: 0 m η = 3.6	x: 0 m η = 0.3	η < 0.1	η < 0.1	x: 0 m η = 26.0	η < 0.1	M_{tz} = 0.00 N.P.[1]	N.P.[2]	N.P.[2]	CUMPLE h = 26.0
N574/N573	$\bar{\lambda}$ < 2.0 Cumple	$\lambda_w \leq \lambda_{w,máx}$ Cumple	η = 0.1	η = 0.3	x: 0 m η = 26.3	x: 0 m η = 2.7	x: 0 m η = 3.6	x: 0 m η = 0.3	η < 0.1	η < 0.1	x: 0 m η = 26.5	η < 0.1	η < 0.1	x: 0 m η = 2.0	x: 0 m η = 0.2	CUMPLE h = 26.5
N575/N574	$\bar{\lambda}$ < 2.0 Cumple	$\lambda_w \leq \lambda_{w,máx}$ Cumple	η = 1.1	η = 3.7	x: 0 m η = 15.1	x: 0 m η = 1.2	x: 0 m η = 2.0	x: 0 m η = 0.1	η < 0.1	η < 0.1	x: 0 m η = 16.6	η < 0.1	η < 0.1	x: 0 m η = 2.0	x: 0 m η = 0.1	CUMPLE h = 16.6
N577/N576	$\bar{\lambda}$ < 2.0 Cumple	$\lambda_w \leq \lambda_{w,máx}$ Cumple	η = 1.8	η = 6.7	x: 2.633 m η = 12.3	x: 0 m η = 1.3	x: 0 m η = 2.1	x: 4.68 m η = 0.1	η < 0.1	η < 0.1	x: 0 m η = 20.4	η < 0.1	η = 0.1	x: 0 m η = 2.1	x: 4.68 m η = 0.1	CUMPLE h = 20.4
N578/N577	$\bar{\lambda}$ < 2.0 Cumple	$\lambda_w \leq \lambda_{w,máx}$ Cumple	η < 0.1	η = 0.1	x: 0 m η = 26.6	x: 4.68 m η = 2.8	x: 0 m η = 3.6	x: 4.68 m η = 0.3	η < 0.1	η < 0.1	x: 0 m η = 27.5	η < 0.1	η < 0.1	x: 0 m η = 3.6	x: 4.68 m η = 0.3	CUMPLE h = 27.5
N579/N578	$\bar{\lambda}$ < 2.0 Cumple	$\lambda_w \leq \lambda_{w,máx}$ Cumple	η < 0.1	η = 0.1	x: 0 m η = 25.8	x: 4.68 m η = 2.1	x: 0 m η = 3.6	x: 4.68 m η = 0.2	η < 0.1	η < 0.1	x: 0 m η = 26.3	η < 0.1	η < 0.1	x: 0 m η = 3.6	x: 4.68 m η = 0.2	CUMPLE h = 26.3
N580/N579	$\bar{\lambda}$ < 2.0 Cumple	$\lambda_w \leq \lambda_{w,máx}$ Cumple	η = 0.1	η = 0.1	x: 0 m η = 25.8	x: 0 m η = 1.8	x: 0 m η = 3.6	x: 0 m η = 0.2	η < 0.1	η < 0.1	x: 0 m η = 26.0	η < 0.1	M_{tz} = 0.00 N.P.[1]	N.P.[2]	N.P.[2]	CUMPLE h = 26.0
N581/N580	$\bar{\lambda}$ < 2.0 Cumple	$\lambda_w \leq \lambda_{w,máx}$ Cumple	η = 0.1	η = 0.1	x: 0 m η = 25.7	x: 0 m η = 2.0	x: 0 m η = 3.6	x: 0 m η = 0.2	η < 0.1	η < 0.1	x: 0 m η = 25.9	η < 0.1	M_{tz} = 0.00 N.P.[1]	N.P.[2]	N.P.[2]	CUMPLE h = 25.9
N582/N581	$\bar{\lambda}$ < 2.0 Cumple	$\lambda_w \leq \lambda_{w,máx}$ Cumple	η = 0.1	η = 0.1	x: 0 m η = 25.8	x: 0 m η = 2.2	x: 0 m η = 3.6	x: 0 m η = 0.3	η < 0.1	η < 0.1	x: 0 m η = 26.1	η < 0.1	M_{tz} = 0.00 N.P.[1]	N.P.[2]	N.P.[2]	CUMPLE h = 26.1
N583/N582	$\bar{\lambda}$ < 2.0 Cumple	$\lambda_w \leq \lambda_{w,máx}$ Cumple	η = 0.1	η = 0.1	x: 0 m η = 25.8	x: 0 m η = 2.3	x: 0 m η = 3.6	x: 0 m η = 0.3	η < 0.1	η < 0.1	x: 0 m η = 26.2	η < 0.1	M_{tz} = 0.00 N.P.[1]	N.P.[2]	N.P.[2]	CUMPLE h = 26.2
N584/N583	$\bar{\lambda}$ < 2.0 Cumple	$\lambda_w \leq \lambda_{w,máx}$ Cumple	η = 0.1	η = 0.1	x: 0 m η = 26.4	x: 0 m η = 2.8	x: 0 m η = 3.6	x: 0 m η = 0.3	η < 0.1	η < 0.1	x: 0 m η = 26.7	η < 0.1	M_{tz} = 0.00 N.P.[1]	N.P.[2]	N.P.[2]	CUMPLE h = 26.7
N585/N584	$\bar{\lambda}$ < 2.0 Cumple	$\lambda_w \leq \lambda_{w,máx}$ Cumple	η = 1.2	η = 3.7	x: 0 m η = 15.2	x: 0 m η = 1.2	x: 0 m η = 2.0	x: 0 m η = 0.1	η < 0.1	η < 0.1	x: 0 m η = 16.8	η < 0.1	η < 0.1	x: 0 m η = 2.0	x: 0 m η = 0.1	CUMPLE h = 16.8
N587/N586	$\bar{\lambda}$ < 2.0 Cumple	$\lambda_w \leq \lambda_{w,máx}$ Cumple	η = 1.9	η = 7.4	x: 0 m η = 13.0	x: 0 m η = 1.3	x: 0 m η = 2.1	x: 4.68 m η = 0.1	η < 0.1	η < 0.1	x: 0 m η = 22.0	η < 0.1	η = 0.2	x: 0 m η = 2.1	x: 4.68 m η = 0.1	CUMPLE h = 22.0
N588/N587	$\bar{\lambda}$ < 2.0 Cumple	$\lambda_w \leq \lambda_{w,máx}$ Cumple	η = 0.1	η = 0.7	x: 0 m η = 26.4	x: 4.68 m η = 2.8	x: 0 m η = 3.6	x: 4.68 m η = 0.3	η < 0.1	η < 0.1	x: 0 m η = 27.7	η < 0.1	η < 0.1	x: 0 m η = 3.6	x: 4.68 m η = 0.3	CUMPLE h = 27.7
N589/N588	$\bar{\lambda}$ < 2.0 Cumple	$\lambda_w \leq \lambda_{w,máx}$ Cumple	η = 0.1	η = 0.5	x: 0 m η = 25.8	x: 4.68 m η = 2.1	x: 0 m η = 3.6	x: 4.68 m η = 0.2	η < 0.1	η < 0.1	x: 0 m η = 26.6	η < 0.1	η < 0.1	x: 0 m η = 2.0	x: 4.68 m η = 0.2	CUMPLE h = 26.6
N590/N589	$\bar{\lambda}$ < 2.0 Cumple	$\lambda_w \leq \lambda_{w,máx}$ Cumple	η = 0.1	η = 0.4	x: 0 m η = 25.8	x: 0 m η = 1.8	x: 0 m η = 3.6	x: 0 m η = 0.2	η < 0.1	η < 0.1	x: 0 m η = 26.3	η < 0.1	M_{tz} = 0.00 N.P.[1]	N.P.[2]	N.P.[2]	CUMPLE h = 26.3
N591/N590	$\bar{\lambda}$ < 2.0 Cumple	$\lambda_w \leq \lambda_{w,máx}$ Cumple	η = 0.1	η = 0.3	x: 0 m η = 25.8	x: 0 m η = 2.0	x: 0 m η = 3.6	x: 0 m η = 0.2	η < 0.1	η < 0.1	x: 0 m η = 26.2	η < 0.1	M_{tz} = 0.00 N.P.[1]	N.P.[2]	N.P.[2]	CUMPLE h = 26.2
N592/N591	$\bar{\lambda}$ < 2.0 Cumple	$\lambda_w \leq \lambda_{w,máx}$ Cumple	η = 0.1	η = 0.2	x: 0 m η = 25.8	x: 0 m η = 2.3	x: 0 m η = 3.6	x: 0 m η = 0.3	η < 0.1	η < 0.1	x: 0 m η = 26.3	η < 0.1	M_{tz} = 0.00 N.P.[1]	N.P.[2]	N.P.[2]	CUMPLE h = 26.3
N593/N592	$\bar{\lambda}$ < 2.0 Cumple	$\lambda_w \leq \lambda_{w,máx}$ Cumple	η = 0.1	η = 0.1	x: 0 m η = 25.9	x: 0 m η = 2.4	x: 0 m η = 3.6	x: 0 m η = 0.3	η < 0.1	η < 0.1	x: 0 m η = 26.2	η < 0.1	M_{tz} = 0.00 N.P.[1]	N.P.[2]	N.P.[2]	CUMPLE h = 26.2
N594/N593	$\bar{\lambda}$ < 2.0 Cumple	$\lambda_w \leq \lambda_{w,máx}$ Cumple	η = 0.1	η < 0.1	x: 0 m η = 26.5	x: 0 m η = 2.8	x: 0 m η = 3.6	x: 0 m η = 0.3	η < 0.1	η < 0.1	x: 0 m η = 26.7	η < 0.1	η < 0.1	x: 0 m η = 3.6	x: 0 m η = 0.3	CUMPLE h = 26.7
N595/N594	$\bar{\lambda}$ < 2.0 Cumple	$\lambda_w \leq \lambda_{w,máx}$ Cumple	η = 1.3	η = 3.5	x: 0 m η = 15.4	x: 0 m η = 1.2	x: 0 m η = 2.0	x: 0 m η = 0.1	η < 0.1	η < 0.1	x: 0 m η = 17.0	η < 0.1	M_{tz} = 0.00 N.P.[1]	N.P.[2]	N.P.[2]	CUMPLE h = 17.0
N597/N596	$\bar{\lambda}$ < 2.0 Cumple	$\lambda_w \leq \lambda_{w,máx}$ Cumple	η = 2.0	η = 8.0	x: 0 m η = 13.4	x: 0 m η = 1.2	x: 0 m η = 2.1	x: 4.68 m η = 0.1	η < 0.1	η < 0.1	x: 0 m η = 23.0	η < 0.1	η = 0.4	x: 0 m η = 2.1	x: 4.68 m η = 0.1	CUMPLE h = 23.0
N598/N597	$\bar{\lambda}$ < 2.0 Cumple	$\lambda_w \leq \lambda_{w,máx}$ Cumple	η = 0.3	η = 1.6	x: 0 m η = 26.5	x: 4.68 m η = 2.7	x: 0 m η = 3.6	x: 4.68 m η = 0.3	η < 0.1	η < 0.1	x: 0 m η = 28.8	η < 0.1	η < 0.1	x: 0 m η = 3.6	x: 4.68 m η = 0.3	CUMPLE h = 28.8
N599/N598	$\bar{\lambda}$ < 2.0 Cumple	$\lambda_w \leq \lambda_{w,máx}$ Cumple	η = 0.3	η = 1.4	x: 0 m η = 26.0	x: 4.68 m η = 2.1	x: 0 m η = 3.6	x: 4.68 m η = 0.2	η < 0.1	η < 0.1	x: 0 m η = 27.8	η < 0.1	M_{tz} = 0.00 N.P.[1]	N.P.[2]	N.P.[2]	CUMPLE h = 27.8
N600/N599	$\bar{\lambda}$ < 2.0 Cumple	$\lambda_w \leq \lambda_{w,máx}$ Cumple	η = 0.3	η = 1.3	x: 0 m η = 26.0	x: 0 m η = 1.9	x: 0 m η = 3.6	x: 0 m η = 0.2	η < 0.1	η < 0.1	x: 0 m η = 27.6	η < 0.1	M_{tz} = 0.00 N.P.[1]	N.P.[2]	N.P.[2]	CUMPLE h = 27.6
N601/N600	$\bar{\lambda}$ < 2.0 Cumple	$\lambda_w \leq \lambda_{w,máx}$ Cumple	η = 0.3	η = 1.2	x: 0 m η = 25.9	x: 0 m η = 2.0	x: 0 m η = 3.6	x: 0 m η = 0.2	η < 0.1	η < 0.1	x: 0 m η = 27.5	η < 0.1	M_{tz} = 0.00 N.P.[1]	N.P.[2]	N.P.[2]	CUMPLE h = 27.5
N602/N601	$\bar{\lambda}$ < 2.0 Cumple	$\lambda_w \leq \lambda_{w,máx}$ Cumple	η = 0.3	η = 1.0	x: 0 m η = 26.0	x: 0 m η = 2.3	x: 0 m η = 3.6	x: 0 m η = 0.3	η < 0.1	η < 0.1	x: 0 m η = 27.4	η < 0.1	M_{tz} = 0.00 N.P.[1]	N.P.[2]	N.P.[2]	CUMPLE h = 27.4
N603/N602	$\bar{\lambda}$ < 2.0 Cumple	$\lambda_w \leq \lambda_{w,máx}$ Cumple	η = 0.3	η = 0.9	x: 0 m η = 26.0	x: 0 m η = 2.3	x: 0 m η = 3.6	x: 0 m η = 0.3	η < 0.1	η < 0.1	x: 0 m η = 27.2	η < 0.1	M_{tz} = 0.00 N.P.[1]	N.P.[2]	N.P.[2]	CUMPLE h = 27.2
N604/N603	$\bar{\lambda}$ < 2.0 Cumple	$\lambda_w \leq \lambda_{w,máx}$ Cumple	η = 0.2	η = 0.6	x: 0 m η = 26.6	x: 0 m η = 2.8	x: 0 m η = 3.6	x: 0 m η = 0.3	η < 0.1	η < 0.1	x: 0 m η = 27.5	η < 0.1	η = 0.1	x: 0 m η = 3.6	x: 0 m η = 0.3	CUMPLE h = 27.5
N605/N604	$\bar{\lambda}$ < 2.0 Cumple	$\lambda_w \leq \lambda_{w,máx}$ Cumple	η = 1.2	η = 2.9	x: 0 m η = 15.5	x: 0 m η = 1.1	x: 0 m η = 2.0	x: 0 m η = 0.1	η < 0.1	η < 0.1	x: 0 m η = 17.0	η < 0.1	M_{tz} = 0.00 N.P.[1]	N.P.[2]	N.P.[2]	CUMPLE h = 17.0
N607/N606	$\bar{\lambda}$ < 2.0 Cumple	$\lambda_w \leq \lambda_{w,máx}$ Cumple	η = 2.0	η = 7.8	x: 0 m η = 14.2	x: 0 m η = 1.1	x: 0 m η = 2.1	x: 4.68 m η = 0.1	η < 0.1	η < 0.1	x: 0 m η = 23.3	η < 0.1	η = 0.5	x: 0 m η = 2.1	x: 4.68 m η = 0.1	CUMPLE h = 23.3
N608/N607	$\bar{\lambda}$ < 2.0 Cumple	$\lambda_w \leq \lambda_{w,máx}$ Cumple	η = 0.6	η = 3.4	x: 0 m η = 26.8	x: 4.68 m η = 2.7	x: 0 m η = 3.6	x: 4.68 m η = 0.3	η < 0.1	η < 0.1	x: 0 m η = 31.2	η < 0.1	η = 0.1	x: 0 m η = 3.6	x: 4.68 m η = 0.3	CUMPLE h = 31.2
N609/N608	$\bar{\lambda}$ < 2.0 Cumple	$\lambda_w \leq \lambda_{w,máx}$ Cumple	η = 0.6	η = 3.3	x: 0 m η = 26.2	x: 4.68 m η = 2.1	x: 0 m η = 3.6	x: 4.68 m η = 0.2	η < 0.1	η < 0.1	x: 0 m η = 30.2	η < 0.1	M_{tz} = 0.00 N.P.[1]	N.P.[2]	N.P.[2]	CUMPLE h = 30.2
N610/N609	$\bar{\lambda}$ < 2.0 Cumple	$\lambda_w \leq \lambda_{w,máx}$ Cumple	η = 0.6	η = 3.0	x: 0 m η = 26.2	x: 0 m η = 1.8	x: 0 m η = 3.6	x: 0 m η = 0.2	η < 0.1	η < 0.1	x: 0 m η = 29.9	η < 0.1	M_{tz} = 0.00 N.P.[1]	N.P.[2]	N.P.[2]	CUMPLE h = 29.9
N611/N610	$\bar{\lambda}$ < 2.0 Cumple	$\lambda_w \leq \lambda_{w,máx}$ Cumple	η = 0.6	η = 2.7	x: 0 m η = 26.1	x: 0 m η = 2.0	x: 0 m η = 3.6	x: 0 m η = 0.2	η < 0.1	η < 0.1	x: 0 m η = 29.6	η < 0.1	M_{tz} = 0.00 N.P.[1]	N.P.[2]	N.P.[2]	CUMPLE h = 29.6
N612/N611	$\bar{\lambda}$ < 2.0 Cumple	$\lambda_w \leq \lambda_{w,máx}$ Cumple	η = 0.5	η = 2.4	x: 0 m η = 26.2	x: 0 m η = 2.2	x: 0 m η = 3.6	x: 0 m η = 0.3	η < 0.1	η < 0.1	x: 0 m η = 29.3	η < 0.1	M_{tz} = 0.00 N.P.[1]	N.P.[2]	N.P.[2]	CUMPLE h = 29.3
N613/N612	$\bar{\lambda}$ < 2.0 Cumple	$\lambda_w \leq \lambda_{w,máx}$ Cumple	η = 0.5	η = 2.0	x: 0 m η = 26.1	x: 0 m η = 2.3	x: 0 m η = 3.6	x: 0 m η = 0.3	η < 0.1	η < 0.1	x: 0 m η = 28.8	η < 0.1	M_{tz} = 0.00 N.P.[1]	N.P.[2]	N.P.[2]	CUMPLE h = 28.8
N614/N613	$\bar{\lambda}$ < 2.0 Cumple	$\lambda_w \leq \lambda_{w,máx}$ Cumple	η = 0.5	η = 1.6	x: 0 m η = 26.8	x: 0 m η = 2.7	x: 0 m η = 3.6	x: 0 m η = 0.3	η < 0.1	η < 0.1	x: 0 m η = 28.8	η < 0.1	η = 0.1	x: 0 m η = 3.6	x: 0 m η = 0.3	CUMPLE h = 28.8
N615/N614	$\bar{\lambda}$ < 2.0 Cumple	$\lambda_w \leq \lambda_{w,máx}$ Cumple	η = 0.9	η = 1.5	x: 0 m η = 15.5	x: 0 m η = 1.1	x: 0 m η = 2.0	x: 0 m η = 0.1	η < 0.1	η < 0.1	x: 0 m η = 16.7	η < 0.1	η < 0.1	x: 0 m η = 1.3	x: 0 m η = 0.1	CUMPLE h = 16.7
N616/N43	N.P.[5]	x: 0.21 m $\lambda_w \leq \lambda_{w,máx}$ Cumple	N_{tz} = 0.00 N.P.[4]	N_{tz} = 0.00 N.P.[3]	x: 2.1 m η = 16.8	x: 2.1 m η = 1.0	x: 2.1 m η = 1.7	x: 2.1 m η = 0.1	x: 0.21 m η < 0.1	x: 0.42 m η < 0.1	x: 2.1 m η = 11.9	x: 0.42 m η < 0.1	M_{tz} = 0.00 N.P.[1]	N.P.[2]	N.P.[2]	CUMPLE h = 16.8
N617/N525	N.P.[5]	x: 0.21 m $\lambda_w \leq \lambda_{w,máx}$ Cumple	N_{tz} = 0.00 N.P.[4]	N_{tz} = 0.00 N.P.[3]	x: 2.1 m η = 30.8	x: 2.1 m η = 2.0	x: 2.1 m η = 3.2	x: 2.1 m η = 0.2	x: 0.21 m η < 0.1	x: 0.21 m η < 0.1	x: 2.1 m η = 25.4	x: 0.21 m η < 0.1	M_{tz} = 0.00 N.P.[1]	N.P.[2]	N.P.[2]	CUMPLE h = 30.8
N618/N535	N.P.[5]	x: 0.21 m $\lambda_w \leq \lambda_{w,máx}$ Cumple	N_{tz} = 0.00 N.P.[4]	N_{tz} = 0.00 N.P.[3]	x: 2.1 m η = 30.8	x: 2.1 m η = 2.0	x: 2.1 m η = 3.2	x: 2.1 m η = 0.2	x: 0.21 m η < 0.1	x: 0.21 m η < 0.1	x: 2.1 m η = 25.4	x: 0.21 m η < 0.1	M_{tz} = 0.00 N.P.[1]	N.P.[2]	N.P.[2]	CUMPLE h = 30.8

AJUNTAMENT D'OLERDOLA
Aquest document és una còpia simple del document electrònic original.

Listados

Cobriment de pista a Sant Pere Molanta (Olèrdola)

Fecha: 10/03/26

Barras	COMPROBACIONES (CTE DB SE-A)														Estado
	$\bar{\lambda}$	λ_w	N_t	N_c	M_y	M_z	V_z	V_y	$M_t V_z$	$M_z V_y$	NM_yM_z	$NM_yM_zV_yV_z$	M_t	M_yV_z	M_zV_y	
N619/N545	N.P.[5]	x: 0.21 m $\lambda_w \leq \lambda_{w,max}$ Cumple	N_{Ed} = 0.00 N.P.[4]	N_{Ed} = 0.00 N.P.[3]	x: 2.1 m η = 30.8	x: 2.1 m η = 2.0	x: 2.1 m η = 3.2	x: 2.1 m η = 0.2	x: 0.21 m η < 0.1	x: 0.21 m η < 0.1	x: 2.1 m η = 25.4	x: 0.21 m η < 0.1	M_{Ed} = 0.00 N.P.[1]	N.P.[2]	N.P.[2]	CUMPLE h = 30.8
N620/N555	N.P.[5]	x: 0.21 m $\lambda_w \leq \lambda_{w,max}$ Cumple	N_{Ed} = 0.00 N.P.[4]	N_{Ed} = 0.00 N.P.[3]	x: 2.1 m η = 30.8	x: 2.1 m η = 2.0	x: 2.1 m η = 3.2	x: 2.1 m η = 0.2	x: 0.21 m η < 0.1	x: 0.21 m η < 0.1	x: 2.1 m η = 25.4	x: 0.21 m η < 0.1	M_{Ed} = 0.00 N.P.[1]	N.P.[2]	N.P.[2]	CUMPLE h = 30.8
N621/N565	N.P.[5]	x: 0.21 m $\lambda_w \leq \lambda_{w,max}$ Cumple	N_{Ed} = 0.00 N.P.[4]	N_{Ed} = 0.00 N.P.[3]	x: 2.1 m η = 30.8	x: 2.1 m η = 2.0	x: 2.1 m η = 3.2	x: 2.1 m η = 0.2	x: 0.21 m η < 0.1	x: 0.21 m η < 0.1	x: 2.1 m η = 25.4	x: 0.21 m η < 0.1	M_{Ed} = 0.00 N.P.[1]	N.P.[2]	N.P.[2]	CUMPLE h = 30.8
N622/N575	N.P.[5]	x: 0.21 m $\lambda_w \leq \lambda_{w,max}$ Cumple	N_{Ed} = 0.00 N.P.[4]	N_{Ed} = 0.00 N.P.[3]	x: 2.1 m η = 30.8	x: 2.1 m η = 2.0	x: 2.1 m η = 3.2	x: 2.1 m η = 0.2	x: 0.21 m η < 0.1	x: 0.21 m η < 0.1	x: 2.1 m η = 25.4	x: 0.21 m η < 0.1	M_{Ed} = 0.00 N.P.[1]	N.P.[2]	N.P.[2]	CUMPLE h = 30.8
N623/N585	N.P.[5]	x: 0.21 m $\lambda_w \leq \lambda_{w,max}$ Cumple	N_{Ed} = 0.00 N.P.[4]	N_{Ed} = 0.00 N.P.[3]	x: 2.1 m η = 30.8	x: 2.1 m η = 2.0	x: 2.1 m η = 3.2	x: 2.1 m η = 0.2	x: 0.21 m η < 0.1	x: 0.21 m η < 0.1	x: 2.1 m η = 25.4	x: 0.21 m η < 0.1	M_{Ed} = 0.00 N.P.[1]	N.P.[2]	N.P.[2]	CUMPLE h = 30.8
N624/N595	N.P.[5]	x: 0.21 m $\lambda_w \leq \lambda_{w,max}$ Cumple	N_{Ed} = 0.00 N.P.[4]	N_{Ed} = 0.00 N.P.[3]	x: 2.1 m η = 30.8	x: 2.1 m η = 2.0	x: 2.1 m η = 3.2	x: 2.1 m η = 0.2	x: 0.21 m η < 0.1	x: 0.21 m η < 0.1	x: 2.1 m η = 25.4	x: 0.21 m η < 0.1	M_{Ed} = 0.00 N.P.[1]	N.P.[2]	N.P.[2]	CUMPLE h = 30.8
N625/N605	N.P.[5]	x: 0.21 m $\lambda_w \leq \lambda_{w,max}$ Cumple	N_{Ed} = 0.00 N.P.[4]	N_{Ed} = 0.00 N.P.[3]	x: 2.1 m η = 30.8	x: 2.1 m η = 2.0	x: 2.1 m η = 3.2	x: 2.1 m η = 0.2	x: 0.21 m η < 0.1	x: 0.21 m η < 0.1	x: 2.1 m η = 25.4	x: 0.21 m η < 0.1	M_{Ed} = 0.00 N.P.[1]	N.P.[2]	N.P.[2]	CUMPLE h = 30.8
N626/N615	N.P.[5]	x: 0.21 m $\lambda_w \leq \lambda_{w,max}$ Cumple	N_{Ed} = 0.00 N.P.[4]	N_{Ed} = 0.00 N.P.[3]	x: 2.1 m η = 30.8	x: 2.1 m η = 2.0	x: 2.1 m η = 3.2	x: 2.1 m η = 0.2	x: 0.21 m η < 0.1	x: 0.21 m η < 0.1	x: 2.1 m η = 25.4	x: 0.21 m η < 0.1	M_{Ed} = 0.00 N.P.[1]	N.P.[2]	N.P.[2]	CUMPLE h = 30.8
N627/N28	N.P.[5]	x: 0.21 m $\lambda_w \leq \lambda_{w,max}$ Cumple	N_{Ed} = 0.00 N.P.[4]	N_{Ed} = 0.00 N.P.[3]	x: 2.1 m η = 16.8	x: 2.1 m η = 1.0	x: 2.1 m η = 1.7	x: 2.1 m η = 0.1	x: 0.21 m η < 0.1	x: 0.42 m η < 0.1	x: 2.1 m η = 11.9	x: 0.42 m η < 0.1	M_{Ed} = 0.00 N.P.[1]	N.P.[2]	N.P.[2]	CUMPLE h = 16.8
N516/N387	$\bar{\lambda}$ < 2.0 Cumple	$\lambda_w \leq \lambda_{w,max}$ Cumple	x: 5.136 m η = 1.9	x: 0 m η = 2.6	x: 5.136 m η = 18.4	x: 5.136 m η = 1.0	x: 5.136 m η = 2.2	x: 5.136 m η = 0.1	η < 0.1	η < 0.1	x: 5.136 m η = 20.6	η < 0.1	η = 0.4	x: 5.136 m η = 2.2	x: 5.136 m η = 0.1	CUMPLE h = 20.6
N517/N344	$\bar{\lambda}$ < 2.0 Cumple	$\lambda_w \leq \lambda_{w,max}$ Cumple	x: 5.136 m η = 2.8	x: 0 m η = 20.4	x: 5.136 m η = 15.2	x: 0 m η = 1.5	x: 5.136 m η = 2.0	x: 0 m η = 0.1	η < 0.1	η < 0.1	x: 0 m η = 27.4	η < 0.1	η = 0.1	x: 5.136 m η = 2.0	x: 0 m η = 0.1	CUMPLE h = 27.4
N518/N301	$\bar{\lambda}$ < 2.0 Cumple	$\lambda_w \leq \lambda_{w,max}$ Cumple	x: 5.136 m η = 0.6	x: 0 m η = 8.5	x: 5.136 m η = 15.4	x: 0 m η = 1.1	x: 5.136 m η = 2.0	x: 0 m η = 0.1	η < 0.1	η < 0.1	x: 5.136 m η = 15.8	η < 0.1	η = 0.1	x: 5.136 m η = 2.0	x: 0 m η = 0.1	CUMPLE h = 15.8
N519/N258	$\bar{\lambda}$ < 2.0 Cumple	$\lambda_w \leq \lambda_{w,max}$ Cumple	x: 5.136 m η = 0.2	x: 0 m η = 2.7	x: 5.136 m η = 15.3	x: 0 m η = 0.9	x: 5.136 m η = 2.0	x: 0 m η = 0.1	η < 0.1	η < 0.1	x: 5.136 m η = 17.8	η < 0.1	η = 0.1	x: 5.136 m η = 2.0	x: 0 m η = 0.1	CUMPLE h = 17.8
N520/N215	$\bar{\lambda}$ < 2.0 Cumple	$\lambda_w \leq \lambda_{w,max}$ Cumple	x: 5.136 m η = 0.5	x: 0 m η = 3.3	x: 5.136 m η = 15.3	x: 5.136 m η = 0.9	x: 5.136 m η = 2.0	x: 5.136 m η = 0.1	η < 0.1	η < 0.1	x: 5.136 m η = 19.0	η < 0.1	η = 0.1	x: 5.136 m η = 2.0	x: 5.136 m η = 0.1	CUMPLE h = 19.0
N521/N172	$\bar{\lambda}$ < 2.0 Cumple	$\lambda_w \leq \lambda_{w,max}$ Cumple	x: 5.136 m η = 1.2	x: 0 m η = 4.2	x: 5.136 m η = 15.2	x: 5.136 m η = 1.0	x: 5.136 m η = 2.0	x: 5.136 m η = 0.1	η < 0.1	η < 0.1	x: 5.136 m η = 19.7	η < 0.1	η = 0.1	x: 5.136 m η = 2.0	x: 5.136 m η = 0.1	CUMPLE h = 19.7
N522/N129	$\bar{\lambda}$ < 2.0 Cumple	$\lambda_w \leq \lambda_{w,max}$ Cumple	x: 5.136 m η = 2.2	x: 0 m η = 4.3	x: 5.136 m η = 15.0	x: 5.136 m η = 1.0	x: 5.136 m η = 2.0	x: 5.136 m η = 0.1	η < 0.1	η < 0.1	x: 5.136 m η = 18.9	η < 0.1	η = 0.1	x: 5.136 m η = 2.0	x: 5.136 m η = 0.1	CUMPLE h = 18.9
N523/N86	$\bar{\lambda}$ < 2.0 Cumple	$\lambda_w \leq \lambda_{w,max}$ Cumple	x: 5.136 m η = 3.6	x: 0 m η = 3.8	x: 0 m η = 14.5	x: 5.136 m η = 1.3	x: 0 m η = 2.0	x: 5.136 m η = 0.1	η < 0.1	η < 0.1	x: 5.136 m η = 17.8	η < 0.1	η = 0.2	x: 0 m η = 2.0	x: 5.136 m η = 0.1	CUMPLE h = 17.8
N524/N43	$\bar{\lambda}$ < 2.0 Cumple	$\lambda_w \leq \lambda_{w,max}$ Cumple	x: 5.136 m η = 1.7	x: 0 m η = 6.5	x: 0 m η = 15.8	x: 0 m η = 0.9	x: 0 m η = 2.0	x: 0 m η = 0.1	η < 0.1	η < 0.1	x: 0 m η = 17.7	η < 0.1	η = 0.1	x: 0 m η = 2.0	x: 0 m η = 0.1	CUMPLE h = 17.7
N534/N525	$\bar{\lambda}$ < 2.0 Cumple	$\lambda_w \leq \lambda_{w,max}$ Cumple	x: 5.136 m η = 0.7	x: 0 m η = 1.3	x: 0 m η = 14.9	x: 5.136 m η = 0.9	x: 0 m η = 2.0	x: 0 m η = 0.1	η < 0.1	η < 0.1	x: 0 m η = 15.4	η < 0.1	η = 0.8	x: 0 m η = 2.0	x: 0 m η = 0.1	CUMPLE h = 15.4
N544/N535	$\bar{\lambda}$ < 2.0 Cumple	$\lambda_w \leq \lambda_{w,max}$ Cumple	x: 5.136 m η = 1.3	x: 0 m η = 1.5	x: 5.136 m η = 15.3	x: 5.136 m η = 1.0	x: 5.136 m η = 2.0	x: 5.136 m η = 0.1	η < 0.1	η < 0.1	x: 5.136 m η = 16.6	η < 0.1	η = 1.0	x: 5.136 m η = 2.0	x: 5.136 m η = 0.1	CUMPLE h = 16.6
N554/N545	$\bar{\lambda}$ < 2.0 Cumple	$\lambda_w \leq \lambda_{w,max}$ Cumple	x: 5.136 m η = 1.3	x: 0 m η = 3.0	x: 5.136 m η = 15.7	x: 5.136 m η = 1.1	x: 5.136 m η = 2.0	x: 5.136 m η = 0.1	η < 0.1	η < 0.1	x: 5.136 m η = 19.0	η < 0.1	η = 1.2	x: 5.136 m η = 2.0	x: 5.136 m η = 0.1	CUMPLE h = 19.0
N564/N555	$\bar{\lambda}$ < 2.0 Cumple	$\lambda_w \leq \lambda_{w,max}$ Cumple	x: 5.136 m η = 1.2	x: 0 m η = 4.0	x: 5.136 m η = 16.0	x: 5.136 m η = 1.1	x: 5.136 m η = 2.0	x: 5.136 m η = 0.1	η < 0.1	η < 0.1	x: 5.136 m η = 20.5	η < 0.1	η = 0.7	x: 5.136 m η = 2.0	x: 5.136 m η = 0.1	CUMPLE h = 20.5
N574/N565	$\bar{\lambda}$ < 2.0 Cumple	$\lambda_w \leq \lambda_{w,max}$ Cumple	x: 5.136 m η = 1.2	x: 0 m η = 4.4	x: 5.136 m η = 15.6	x: 5.136 m η = 1.1	x: 5.136 m η = 2.0	x: 5.136 m η = 0.1	η < 0.1	η < 0.1	x: 5.136 m η = 20.6	η < 0.1	η = 1.5	x: 5.136 m η = 2.0	x: 5.136 m η = 0.1	CUMPLE h = 20.6
N584/N575	$\bar{\lambda}$ < 2.0 Cumple	$\lambda_w \leq \lambda_{w,max}$ Cumple	x: 5.136 m η = 1.2	x: 0 m η = 5.1	x: 5.136 m η = 16.0	x: 5.136 m η = 1.1	x: 5.136 m η = 2.0	x: 5.136 m η = 0.1	η < 0.1	η < 0.1	x: 5.136 m η = 21.7	η < 0.1	η = 0.9	x: 5.136 m η = 2.0	x: 5.136 m η = 0.1	CUMPLE h = 21.7
N594/N585	$\bar{\lambda}$ < 2.0 Cumple	$\lambda_w \leq \lambda_{w,max}$ Cumple	x: 5.136 m η = 1.2	x: 0 m η = 5.5	x: 5.136 m η = 16.0	x: 5.136 m η = 1.1	x: 5.136 m η = 2.0	x: 5.136 m η = 0.1	η < 0.1	η < 0.1	x: 5.136 m η = 22.2	η < 0.1	η = 0.9	x: 5.136 m η = 2.0	x: 5.136 m η = 0.1	CUMPLE h = 22.2
N604/N595	$\bar{\lambda}$ < 2.0 Cumple	$\lambda_w \leq \lambda_{w,max}$ Cumple	x: 5.136 m η = 1.1	x: 0 m η = 5.7	x: 5.136 m η = 16.2	x: 5.136 m η = 1.1	x: 5.136 m η = 2.0	x: 5.136 m η = 0.1	η < 0.1	η < 0.1	x: 5.136 m η = 22.8	η < 0.1	η = 0.8	x: 5.136 m η = 2.0	x: 5.136 m η = 0.1	CUMPLE h = 22.8
N614/N605	$\bar{\lambda}$ < 2.0 Cumple	$\lambda_w \leq \lambda_{w,max}$ Cumple	x: 5.136 m η = 0.9	x: 0 m η = 5.3	x: 5.136 m η = 16.4	x: 5.136 m η = 1.0	x: 5.136 m η = 2.0	x: 5.136 m η = 0.1	η < 0.1	η < 0.1	x: 5.136 m η = 22.5	η < 0.1	η = 0.7	x: 5.136 m η = 2.0	x: 5.136 m η = 0.1	CUMPLE h = 22.5
N526/N517	$\bar{\lambda}$ < 2.0 Cumple	$\lambda_w \leq \lambda_{w,max}$ Cumple	x: 5.136 m η = 1.2	x: 0 m η = 7.4	x: 5.136 m η = 17.1	x: 5.136 m η = 0.9	x: 5.136 m η = 2.2	x: 5.136 m η = 0.1	η < 0.1	η < 0.1	x: 5.136 m η = 18.2	η < 0.1	η = 0.4	x: 5.136 m η = 2.2	x: 5.136 m η = 0.1	CUMPLE h = 18.2
N536/N527	$\bar{\lambda}$ < 2.0 Cumple	$\lambda_w \leq \lambda_{w,max}$ Cumple	x: 5.136 m η = 1.3	x: 0 m η = 7.9	x: 5.136 m η = 15.3	x: 0 m η = 0.9	x: 5.136 m η = 2.2	x: 5.136 m η = 0.1	η < 0.1	η < 0.1	x: 5.136 m η = 16.7	η < 0.1	η = 0.4	x: 5.136 m η = 2.2	x: 5.136 m η = 0.1	CUMPLE h = 16.7
N546/N537	$\bar{\lambda}$ < 2.0 Cumple	$\lambda_w \leq \lambda_{w,max}$ Cumple	x: 5.136 m η = 1.4	x: 0 m η = 7.5	x: 5.136 m η = 14.1	x: 0 m η = 0.9	x: 5.136 m η = 2.1	x: 5.136 m η = 0.1	η < 0.1	η < 0.1	x: 5.136 m η = 15.7	η < 0.1	η = 0.5	x: 5.136 m η = 2.1	x: 5.136 m η = 0.1	CUMPLE h = 15.7
N556/N547	$\bar{\lambda}$ < 2.0 Cumple	$\lambda_w \leq \lambda_{w,max}$ Cumple	x: 5.136 m η = 1.6	x: 0 m η = 7.4	x: 5.136 m η = 14.4	x: 0 m η = 0.9	x: 5.136 m η = 2.2	x: 5.136 m η = 0.1	η < 0.1	η < 0.1	x: 5.136 m η = 16.3	η < 0.1	η = 1.0	x: 5.136 m η = 2.2	x: 5.136 m η = 0.1	CUMPLE h = 16.3
N566/N557	$\bar{\lambda}$ < 2.0 Cumple	$\lambda_w \leq \lambda_{w,max}$ Cumple	x: 5.136 m η = 1.8	x: 0 m η = 7.5	x: 2.247 m η = 13.5	x: 0 m η = 0.9	x: 5.136 m η = 2.1	x: 0 m η = 0.1	η < 0.1	η < 0.1	x: 2.247 m η = 15.6	η < 0.1	η = 0.8	x: 5.136 m η = 2.1	x: 0 m η = 0.1	CUMPLE h = 15.6
N576/N567	$\bar{\lambda}$ < 2.0 Cumple	$\lambda_w \leq \lambda_{w,max}$ Cumple	x: 5.136 m η = 2.0	x: 0 m η = 7.7	x: 5.136 m η = 13.3	x: 0 m η = 0.9	x: 5.136 m η = 2.1	x: 0 m η = 0.1	η < 0.1	η < 0.1	x: 5.136 m η = 15.8	η < 0.1	η = 0.8	x: 5.136 m η = 2.1	x: 0 m η = 0.1	CUMPLE h = 15.8
N586/N577	$\bar{\lambda}$ < 2.0 Cumple	$\lambda_w \leq \lambda_{w,max}$ Cumple	x: 5.136 m η = 2.1	x: 0 m η = 8.0	x: 5.136 m η = 14.1	x: 0 m η = 0.9	x: 5.136 m η = 2.1	x: 0 m η = 0.1	η < 0.1	η < 0.1	x: 5.136 m η = 16.7	η < 0.1	η = 1.0	x: 5.136 m η = 2.1	x: 0 m η = 0.1	CUMPLE h = 16.7
N596/N587	$\bar{\lambda}$ < 2.0 Cumple	$\lambda_w \leq \lambda_{w,max}$ Cumple	x: 5.136 m η = 2.1	x: 0 m η = 8.0	x: 5.136 m η = 14.1	x: 0 m η = 0.9	x: 5.136 m η = 2.1	x: 0 m η = 0.1	η < 0.1	η < 0.1	x: 5.136 m η = 17.0	η < 0.1	η = 1.1	x: 5.136 m η = 2.1	x: 0 m η = 0.1	CUMPLE h = 17.0
N606/N597	$\bar{\lambda}$ < 2.0 Cumple	$\lambda_w \leq \lambda_{w,max}$ Cumple	x: 5.136 m η = 2.0	x: 0 m η = 7.6	x: 5.136 m η = 14.1	x: 0 m η = 1.0	x: 5.136 m η = 2.1	x: 0 m η = 0.1	η < 0.1	η < 0.1	x: 5.136 m η = 17.1	η < 0.1	η = 1.0	x: 5.136 m η = 2.1	x: 0 m η = 0.1	CUMPLE h = 17.1
N415/N607	$\bar{\lambda}$ < 2.0 Cumple	$\lambda_w \leq \lambda_{w,max}$ Cumple	x: 5.136 m η = 1.6	x: 0 m η = 7.5	x: 0 m η = 15.0	x: 0 m η = 1.2	x: 0 m η = 2.0	x: 0 m η = 0.1	η < 0.1	η < 0.1	x: 0 m η = 17.6	η < 0.1	η = 0.5	x: 0 m η = 2.0	x: 0 m η = 0.1	CUMPLE h = 17.6
N71/N615	$\bar{\lambda}$ < 2.0 Cumple	$\lambda_w \leq \lambda_{w,max}$ Cumple	x: 5.136 m η = 0.5	x: 0 m η = 5.0	x: 5.136 m η = 16.7	x: 5.136 m η = 1.0	x: 5.136 m η = 2.0	x: 5.136 m η = 0.1	η < 0.1	η < 0.1	x: 5.136 m η = 22.4	η < 0.1	η = 0.6	x: 5.136 m η = 2.0	x: 5.136 m η = 0.1	CUMPLE h = 22.4
N69/N86	$\bar{\lambda}$ < 2.0 Cumple	$\lambda_w \leq \lambda_{w,max}$ Cumple	x: 0.475 m η = 4.5	x: 0 m η = 23.8	x: 0 m η = 7.5	x: 0 m η = 33.6	η = 2.5	η = 14.5	η < 0.1	η < 0.1	x: 0 m η = 64.9	η < 0.1	η = 0.7	η = 2.5	η = 14.6	CUMPLE h = 64.9
N112/N129	$\bar{\lambda}$ < 2.0 Cumple	$\lambda_w \leq \lambda_{w,max}$ Cumple	x: 0.475 m η = 4.9	x: 0 m η = 23.5	x: 0.475 m η = 4.4	x: 0 m η = 33.3	η = 1.9	η = 14.4	η < 0.1	η < 0.1	x: 0 m η = 59.7	η < 0.1	η = 0.4	η = 2.0	η = 14.4	CUMPLE h = 59.7
N155/N172	$\bar{\lambda}$ < 2.0 Cumple	$\lambda_w \leq \lambda_{w,max}$ Cumple	x: 0.475 m η = 4.9	x: 0 m η = 23.5	x: 0.475 m η = 5.3	x: 0 m η = 33.3	η = 1.2	η = 14.4	η < 0.1	η < 0.1	x: 0.475 m η = 58.9	η < 0.1	η = 0.3	η = 1.2	η = 14.4	CUMPLE h = 58.9
N198/N215	$\bar{\lambda}$ < 2.0 Cumple	$\lambda_w \leq \lambda_{w,max}$ Cumple	x: 0.475 m η = 4.9	x: 0 m η = 23.5	x: 0.475 m η = 5.6	x: 0 m η = 33.2	η = 1.1	η = 14.3	η < 0.1	η < 0.1	x: 0.475 m η = 59.2	η < 0.1	η = 0.2	η = 1.1	η = 14.4	CUMPLE h = 59.2
N241/N258	$\bar{\lambda}$ < 2.0 Cumple	$\lambda_w \leq \lambda_{w,max}$ Cumple	x: 0.475 m η = 4.9	x: 0 m η = 23.4	x: 0.475 m η = 5.6	x: 0 m η = 33.2	η = 1.0	η = 14.3	η < 0.1	η < 0.1	x: 0.475 m η = 59.1	η < 0.1	η = 0.2	η = 1.0	η = 14.3	CUMPLE h = 59.1
N284/N301	$\bar{\lambda}$ < 2.0 Cumple	$\lambda_w \leq \lambda_{w,max}$ Cumple	x: 0.475 m η = 4.8	x: 0 m η = 23.3	x: 0.475 m η = 5.8	x: 0 m η = 33.1	η = 1.3	η = 14.3	η < 0.1	η < 0.1	x: 0.475 m η = 59.1	η < 0.1	η = 0.4	η = 1.3	η = 14.3	CUMPLE h = 59.1
N327/N344	$\bar{\lambda}$ < 2.0 Cumple	$\lambda_w \leq \lambda_{w,max}$ Cumple	x: 0.475 m η = 4.7	x: 0 m η = 23.2	x: 0.475 m η = 6.4	x: 0 m η = 32.9	η = 1.7	η = 14.2	η < 0.1	η < 0.1	x: 0.475 m η = 59.5	η < 0.1	η = 0.6	η = 1.7	η = 14.2	CUMPLE h = 59.5
N370/N387	$\bar{\lambda}$ < 2.0 Cumple	$\lambda_w \leq \lambda_{w,max}$ Cumple	x: 0.475 m η = 4.5	x: 0 m η = 23.9	x: 0.475 m η = 13.3	x: 0 m η = 33.7	η = 5.0	η = 14.5	η < 0.1	η < 0.1	x: 0.475 m η = 67.7	η < 0.1	η = 0.5	η = 5.0	η = 14.6	CUMPLE h = 67.7
N413/N430	$\bar{\lambda}$ < 2.0 Cumple	$\lambda_w \leq \lambda_{w,max}$ Cumple	x: 0.475 m η = 1.1	x: 0 m η = 18.9	x: 0 m η = 17.1	x: 0 m η = 27.3	η = 5.3	η = 11.7	η < 0.1	η < 0.1	x: 0 m η = 63.2	η < 0.1	η = 2.2	η = 5.4	η = 11.9	CUMPLE h = 63.2
N391/N395	$\bar{\lambda}$ < 2.0 Cumple	$\lambda_w \leq \lambda_{w,max}$ Cumple	x: 2.899 m η = 2.6	x: 0 m η = 16.4	x: 2.899 m η = 0.2	x: 2.899 m η = 12.0	η < 0.1	x: 0 m η = 1.0	η < 0.1	η < 0.1	x: 2.899 m η = 29.3	η < 0.1	η = 0.1	η < 0.1	x: 0 m η = 1.0	CUMPLE h = 29.3
N395/N414	$\bar{\lambda}$ < 2.0 Cumple	$\lambda_w \leq \lambda_{w,max}$ Cumple	x: 2.728 m η = 2.4	x: 0 m η = 21.8	x: 2.728 m η = 0.3	x: 2.728 m η = 3.4	η = 0.1	x: 0 m η = 0.3	η < 0.1	η < 0.1	x: 2.728 m η = 25.5	η < 0.1	η = 0.2	η = 0.1	x: 0 m η = 0.3	CUMPLE h = 25.5
N414/N415	$\bar{\lambda}$ < 2.0 Cumple	$\lambda_w \leq \lambda_{w,max}$ Cumple	x: 2.529 m η = 2.2	x: 0 m η = 25.0	x: 2.529 m η = 0.6	x: 1.264 m η = 3.7	η = 0.2	x: 0 m η = 0.1	η < 0.1	η < 0.1	x: 1.475 m η = 29.2	η < 0.1	η = 1.0	η = 0.2	x: 0 m η = 0.1	CUMPLE h = 29.2
N415/N606	$\bar{\lambda}$ < 2.0 Cumple	$\lambda_w \leq \lambda_{w,max}$ Cumple	x: 2.115 m η = 1.9	x: 0 m η = 26.9	x: 0 m η = 0.7	x: 1.692 m η = 4.4	η = 0.1	x: 0 m η = 0.1	η < 0.1	η < 0.1	x: 1.481 m η = 31.7	η < 0.1	η = 1.5	η = 0.1	x: 0 m η = 0.1	CUMPLE h = 31.7

AJUNTAMENT D'OLERDOLA
Aquest document és una còpia simple del document electrònic original.

Codi Segur de Verificació:
62ffb294-fe9f-412a-95ff-e789b2359074
Origen: Administració
Identificador document: ES_L01081000_2026_28828185
Data d'impressió: 03/11/2026 13:44:57
Pàgina 186 de 247

SIGNATURES
1.- ESTEVE AYMERICH (R: J62755897), 27/07/2026 11:04

Listados

Cobriment de pista a Sant Pere Molanta (Olèrdola)

Fecha: 10/03/26

Barras	COMPROBACIONES (CTE DB SE-A)															Estado
	$\bar{\lambda}$	λ_w	N_t	N_c	M_y	M_z	V_z	V_y	$M_t V_z$	$M_z V_y$	NM_yM_z	$NM_yM_zV_yV_z$	M_t	M_yV_z	M_zV_y	
N606/N416	$\bar{\lambda}$ < 2.0 Cumple	$\lambda_w \leq \lambda_{w,max}$ Cumple	x: 0.247 m η = 2.1	x: 0 m η = 24.8	x: 0 m η = 0.2	x: 0 m η = 4.8	η = 0.5	x: 0.247 m η = 0.4	η < 0.1	η < 0.1	x: 0 m η = 29.7	η < 0.1	η = 13.8	η = 0.5	x: 0.247 m η = 0.5	CUMPLE h = 29.7
N416/N596	$\bar{\lambda}$ < 2.0 Cumple	$\lambda_w \leq \lambda_{w,max}$ Cumple	x: 1.868 m η = 1.7	x: 0 m η = 28.4	x: 1.868 m η = 0.2	x: 1.868 m η = 5.1	η < 0.1	x: 0 m η = 0.2	η < 0.1	η < 0.1	x: 1.868 m η = 33.6	η < 0.1	η = 2.4	η < 0.1	x: 0 m η = 0.2	CUMPLE h = 33.6
N596/N417	$\bar{\lambda}$ < 2.0 Cumple	$\lambda_w \leq \lambda_{w,max}$ Cumple	x: 0.339 m η = 1.8	x: 0 m η = 26.7	x: 0 m η = 0.2	x: 0 m η = 5.4	η = 0.3	x: 0.339 m η = 0.4	η < 0.1	η < 0.1	x: 0 m η = 32.4	η < 0.1	η = 9.8	η = 0.3	x: 0.339 m η = 0.4	CUMPLE h = 32.4
N417/N586	$\bar{\lambda}$ < 2.0 Cumple	$\lambda_w \leq \lambda_{w,max}$ Cumple	x: 1.776 m η = 1.5	x: 0 m η = 29.7	x: 0 m η = 0.2	x: 1.776 m η = 5.5	η < 0.1	x: 0 m η = 0.2	η < 0.1	η < 0.1	x: 1.776 m η = 35.3	η < 0.1	η = 2.2	η < 0.1	x: 0 m η = 0.2	CUMPLE h = 35.3
N586/N418	$\bar{\lambda}$ < 2.0 Cumple	$\lambda_w \leq \lambda_{w,max}$ Cumple	x: 0.285 m η = 1.6	x: 0 m η = 28.2	x: 0 m η = 0.1	x: 0 m η = 5.9	η = 0.2	x: 0.285 m η = 0.4	η < 0.1	η < 0.1	x: 0 m η = 34.2	η < 0.1	η = 8.8	η = 0.2	x: 0.285 m η = 0.4	CUMPLE h = 34.2
N418/N576	$\bar{\lambda}$ < 2.0 Cumple	$\lambda_w \leq \lambda_{w,max}$ Cumple	x: 1.83 m η = 1.4	x: 0 m η = 30.8	x: 0 m η = 0.2	x: 1.647 m η = 5.9	η < 0.1	x: 0 m η = 0.1	η < 0.1	η < 0.1	x: 1.647 m η = 36.8	η < 0.1	η = 1.3	η < 0.1	x: 0 m η = 0.1	CUMPLE h = 36.8
N576/N419	$\bar{\lambda}$ < 2.0 Cumple	$\lambda_w \leq \lambda_{w,max}$ Cumple	x: 0.095 m η = 1.5	x: 0 m η = 29.1	x: 0 m η = 0.1	x: 0 m η = 6.3	η = 0.1	x: 0.095 m η = 0.4	η < 0.1	η < 0.1	x: 0 m η = 35.4	η < 0.1	η = 11.9	η = 0.2	x: 0.095 m η = 0.4	CUMPLE h = 35.4
N419/N420	$\bar{\lambda}$ < 2.0 Cumple	$\lambda_w \leq \lambda_{w,max}$ Cumple	x: 1.818 m η = 1.5	x: 0 m η = 31.2	x: 0 m η = 0.1	x: 0.182 m η = 5.9	η < 0.1	x: 1.818 m η = 0.1	η < 0.1	η < 0.1	x: 0.182 m η = 37.2	η < 0.1	η < 0.1	η < 0.1	x: 1.818 m η = 0.1	CUMPLE h = 37.2
N420/N566	$\bar{\lambda}$ < 2.0 Cumple	$\lambda_w \leq \lambda_{w,max}$ Cumple	x: 0.202 m η = 1.4	x: 0 m η = 28.8	x: 0 m η = 0.1	x: 0.202 m η = 6.3	η < 0.1	x: 0 m η = 0.9	η < 0.1	η < 0.1	x: 0.202 m η = 35.2	η < 0.1	η = 8.5	η < 0.1	x: 0 m η = 0.9	CUMPLE h = 35.2
N566/N421	$\bar{\lambda}$ < 2.0 Cumple	$\lambda_w \leq \lambda_{w,max}$ Cumple	x: 1.478 m η = 1.4	x: 0 m η = 29.7	x: 0 m η = 0.1	x: 1.478 m η = 12.2	η < 0.1	x: 0 m η = 0.5	η < 0.1	η < 0.1	x: 1.478 m η = 41.6	η < 0.1	η = 1.2	η < 0.1	x: 0 m η = 0.5	CUMPLE h = 41.6
N421/N556	$\bar{\lambda}$ < 2.0 Cumple	$\lambda_w \leq \lambda_{w,max}$ Cumple	x: 0.637 m η = 1.4	x: 0 m η = 28.5	x: 0 m η = 0.1	x: 0 m η = 12.5	η < 0.1	x: 0.637 m η = 0.7	η < 0.1	η < 0.1	x: 0 m η = 41.1	η < 0.1	η = 3.5	η < 0.1	x: 0.637 m η = 0.7	CUMPLE h = 41.1
N556/N422	$\bar{\lambda}$ < 2.0 Cumple	$\lambda_w \leq \lambda_{w,max}$ Cumple	x: 0.942 m η = 1.5	x: 0 m η = 28.6	x: 0 m η = 0.1	x: 0 m η = 8.6	η < 0.1	x: 0.942 m η = 1.2	η < 0.1	η < 0.1	x: 0 m η = 37.3	η < 0.1	η = 2.5	η < 0.1	x: 0.942 m η = 1.2	CUMPLE h = 37.3
N422/N546	$\bar{\lambda}$ < 2.0 Cumple	$\lambda_w \leq \lambda_{w,max}$ Cumple	x: 1.173 m η = 1.4	x: 0 m η = 27.5	x: 1.173 m η = 0.1	x: 1.173 m η = 6.9	η < 0.1	x: 0 m η = 0.8	η < 0.1	η < 0.1	x: 1.173 m η = 34.3	η < 0.1	η = 1.3	η < 0.1	x: 0 m η = 0.8	CUMPLE h = 34.3
N546/N423	$\bar{\lambda}$ < 2.0 Cumple	$\lambda_w \leq \lambda_{w,max}$ Cumple	x: 0.277 m η = 1.4	x: 0 m η = 27.5	x: 0 m η = 0.1	x: 0.277 m η = 7.8	η < 0.1	x: 0 m η = 0.3	η < 0.1	η < 0.1	x: 0.277 m η = 35.3	η < 0.1	η = 7.3	η < 0.1	x: 0 m η = 0.3	CUMPLE h = 35.3
N423/N424	$\bar{\lambda}$ < 2.0 Cumple	$\lambda_w \leq \lambda_{w,max}$ Cumple	x: 1.369 m η = 1.3	x: 0 m η = 25.8	x: 0 m η = 0.1	x: 0 m η = 8.1	η < 0.1	x: 1.369 m η = 0.2	η < 0.1	η < 0.1	x: 0 m η = 33.6	η < 0.1	η = 0.4	η < 0.1	x: 1.369 m η = 0.2	CUMPLE h = 33.6
N424/N536	$\bar{\lambda}$ < 2.0 Cumple	$\lambda_w \leq \lambda_{w,max}$ Cumple	x: 0.469 m η = 1.2	x: 0 m η = 23.0	x: 0 m η = 0.1	x: 0.469 m η = 7.4	η < 0.1	x: 0 m η = 0.3	η < 0.1	η < 0.1	x: 0.469 m η = 30.5	η < 0.1	η = 4.3	η < 0.1	x: 0 m η = 0.3	CUMPLE h = 30.5
N536/N425	$\bar{\lambda}$ < 2.0 Cumple	$\lambda_w \leq \lambda_{w,max}$ Cumple	x: 0.81 m η = 1.2	x: 0 m η = 23.1	x: 0 m η = 0.1	x: 0 m η = 7.5	η = 0.1	x: 0.81 m η = 0.3	η < 0.1	η < 0.1	x: 0 m η = 30.7	η < 0.1	η = 3.2	η = 0.1	x: 0.81 m η = 0.3	CUMPLE h = 30.7
N425/N426	$\bar{\lambda}$ < 2.0 Cumple	$\lambda_w \leq \lambda_{w,max}$ Cumple	x: 1.205 m η = 1.0	x: 0 m η = 20.3	x: 1.205 m η = 0.4	x: 0 m η = 6.4	η = 0.2	x: 1.205 m η = 0.1	η < 0.1	η < 0.1	x: 0 m η = 26.7	η < 0.1	η = 0.1	η = 0.2	x: 1.205 m η = 0.1	CUMPLE h = 26.7
N426/N526	$\bar{\lambda}$ < 2.0 Cumple	$\lambda_w \leq \lambda_{w,max}$ Cumple	x: 0.1 m η = 0.8	x: 0 m η = 16.8	x: 0.1 m η = 0.4	x: 0.1 m η = 6.5	η = 0.1	x: 0 m η = 0.2	η < 0.1	η < 0.1	x: 0.1 m η = 23.5	η < 0.1	η = 8.9	η = 0.1	x: 0 m η = 0.2	CUMPLE h = 23.5
N526/N427	$\bar{\lambda}$ < 2.0 Cumple	$\lambda_w \leq \lambda_{w,max}$ Cumple	x: 1.034 m η = 0.9	x: 0 m η = 16.8	x: 0 m η = 0.4	x: 0 m η = 6.6	η = 0.2	x: 1.034 m η = 0.3	η < 0.1	η < 0.1	x: 0 m η = 23.7	η < 0.1	η = 1.9	η = 0.2	x: 1.034 m η = 0.3	CUMPLE h = 23.7
N427/N428	$\bar{\lambda}$ < 2.0 Cumple	$\lambda_w \leq \lambda_{w,max}$ Cumple	x: 1.041 m η = 0.7	x: 0 m η = 12.8	x: 0 m η = 0.3	x: 0 m η = 5.4	η = 0.1	x: 1.041 m η = 0.2	η < 0.1	η < 0.1	x: 0 m η = 18.4	η < 0.1	η = 0.2	η = 0.1	x: 1.041 m η = 0.2	CUMPLE h = 18.4
N428/N516	$\bar{\lambda}$ < 2.0 Cumple	$\lambda_w \leq \lambda_{w,max}$ Cumple	η = 0.5	x: 0 m η = 8.4	x: 0 m η = 0.3	x: 0.04 m η = 4.8	η = 0.4	x: 0.04 m η = 0.2	η < 0.1	η < 0.1	x: 0.04 m η = 13.4	η < 0.1	η = 10.2	η = 0.4	x: 0.04 m η = 0.2	CUMPLE h = 13.4
N516/N429	$\bar{\lambda}$ < 2.0 Cumple	$\lambda_w \leq \lambda_{w,max}$ Cumple	x: 0.932 m η = 0.4	x: 0 m η = 8.4	x: 0.932 m η = 0.3	x: 0 m η = 4.9	η = 0.1	x: 0.932 m η = 0.4	η < 0.1	η < 0.1	x: 0 m η = 13.6	η < 0.1	η = 2.0	η = 0.1	x: 0.932 m η = 0.4	CUMPLE h = 13.6
N429/N430	$\bar{\lambda}$ < 2.0 Cumple	$\lambda_w \leq \lambda_{w,max}$ Cumple	x: 1.183 m η = 0.2	x: 0 m η = 3.2	x: 0 m η = 0.4	x: 0 m η = 3.4	η = 0.2	x: 1.183 m η = 0.6	η < 0.1	η < 0.1	x: 0 m η = 7.0	η < 0.1	η = 1.0	η = 0.2	x: 1.183 m η = 0.6	CUMPLE h = 7.0
N4/N8	$\bar{\lambda}$ < 2.0 Cumple	$\lambda_w \leq \lambda_{w,max}$ Cumple	x: 2.899 m η = 3.2	x: 0 m η = 17.7	x: 2.899 m η = 0.1	x: 2.899 m η = 12.7	η < 0.1	x: 0 m η = 1.0	η < 0.1	η < 0.1	x: 2.899 m η = 31.3	η < 0.1	η < 0.1	η < 0.1	x: 0 m η = 1.0	CUMPLE h = 31.3
N8/N27	$\bar{\lambda}$ < 2.0 Cumple	$\lambda_w \leq \lambda_{w,max}$ Cumple	x: 2.728 m η = 3.8	x: 0 m η = 24.7	x: 2.728 m η = 0.1	x: 2.728 m η = 4.2	η < 0.1	x: 0 m η = 0.4	η < 0.1	η < 0.1	x: 2.728 m η = 29.4	η < 0.1	η < 0.1	η < 0.1	x: 0 m η = 0.4	CUMPLE h = 29.4
N27/N28	$\bar{\lambda}$ < 2.0 Cumple	$\lambda_w \leq \lambda_{w,max}$ Cumple	x: 2.529 m η = 4.2	x: 0 m η = 29.2	x: 2.529 m η = 0.2	x: 1.264 m η = 4.4	η < 0.1	x: 0 m η = 0.1	η < 0.1	η < 0.1	x: 1.264 m η = 34.1	η < 0.1	η = 0.4	η < 0.1	x: 0 m η = 0.1	CUMPLE h = 34.1
N28/N615	$\bar{\lambda}$ < 2.0 Cumple	$\lambda_w \leq \lambda_{w,max}$ Cumple	x: 2.115 m η = 4.4	x: 0 m η = 32.0	x: 0 m η = 0.3	x: 2.115 m η = 5.9	η = 0.1	x: 0 m η = 0.2	η < 0.1	η < 0.1	x: 2.115 m η = 38.2	η < 0.1	η = 0.2	η = 0.1	x: 0 m η = 0.2	CUMPLE h = 38.2
N615/N29	$\bar{\lambda}$ < 2.0 Cumple	$\lambda_w \leq \lambda_{w,max}$ Cumple	x: 0.247 m η = 4.4	x: 0 m η = 29.4	x: 0.247 m η = 0.1	x: 0 m η = 5.4	η = 0.1	x: 0.247 m η = 0.6	η < 0.1	η < 0.1	x: 0 m η = 34.8	η < 0.1	η = 2.5	η = 0.1	x: 0.247 m η = 0.6	CUMPLE h = 34.8
N29/N605	$\bar{\lambda}$ < 2.0 Cumple	$\lambda_w \leq \lambda_{w,max}$ Cumple	x: 1.868 m η = 4.9	x: 0 m η = 34.1	x: 0 m η = 0.1	x: 1.868 m η = 6.8	η < 0.1	x: 0 m η = 0.3	η < 0.1	η < 0.1	x: 1.868 m η = 41.0	η < 0.1	η = 0.5	η < 0.1	x: 0 m η = 0.3	CUMPLE h = 41.0
N605/N30	$\bar{\lambda}$ < 2.0 Cumple	$\lambda_w \leq \lambda_{w,max}$ Cumple	x: 0.339 m η = 4.9	x: 0 m η = 32.1	x: 0.339 m η = 0.1	x: 0 m η = 6.3	η < 0.1	x: 0.339 m η = 0.6	η < 0.1	η < 0.1	x: 0 m η = 38.4	η < 0.1	η = 1.9	η < 0.1	x: 0.339 m η = 0.6	CUMPLE h = 38.4
N30/N595	$\bar{\lambda}$ < 2.0 Cumple	$\lambda_w \leq \lambda_{w,max}$ Cumple	x: 1.776 m η = 5.5	x: 0 m η = 36.0	x: 0 m η = 0.1	x: 1.776 m η = 7.4	η < 0.1	x: 0 m η = 0.3	η < 0.1	η < 0.1	x: 1.776 m η = 43.4	η < 0.1	η = 0.4	η < 0.1	x: 0 m η = 0.3	CUMPLE h = 43.4
N595/N31	$\bar{\lambda}$ < 2.0 Cumple	$\lambda_w \leq \lambda_{w,max}$ Cumple	x: 0.285 m η = 5.5	x: 0 m η = 34.1	x: 0.285 m η = 0.1	x: 0 m η = 6.9	η < 0.1	x: 0.285 m η = 0.5	η < 0.1	η < 0.1	x: 0 m η = 41.1	η < 0.1	η = 1.8	η < 0.1	x: 0.285 m η = 0.5	CUMPLE h = 41.1
N31/N585	$\bar{\lambda}$ < 2.0 Cumple	$\lambda_w \leq \lambda_{w,max}$ Cumple	x: 1.83 m η = 5.9	x: 0 m η = 37.5	x: 1.83 m η = 0.1	x: 1.83 m η = 7.8	η < 0.1	x: 0 m η = 0.2	η < 0.1	η < 0.1	x: 1.83 m η = 45.5	η < 0.1	η = 0.2	η < 0.1	x: 0 m η = 0.2	CUMPLE h = 45.5
N585/N32	$\bar{\lambda}$ < 2.0 Cumple	$\lambda_w \leq \lambda_{w,max}$ Cumple	x: 0.095 m η = 5.9	x: 0 m η = 35.4	x: 0.095 m η = 0.1	x: 0 m η = 7.3	η < 0.1	x: 0.095 m η = 0.6	η < 0.1	η < 0.1	x: 0 m η = 42.8	η < 0.1	η = 2.4	η < 0.1	x: 0.095 m η = 0.6	CUMPLE h = 42.8
N32/N33	$\bar{\lambda}$ < 2.0 Cumple	$\lambda_w \leq \lambda_{w,max}$ Cumple	x: 1.818 m η = 6.1	x: 0 m η = 38.2	x: 0 m η < 0.1	x: 0.545 m η = 7.0	η < 0.1	x: 1.818 m η = 0.1	η < 0.1	η < 0.1	x: 0.545 m η = 45.3	η < 0.1	η = 0.1	η < 0.1	x: 1.818 m η = 0.1	CUMPLE h = 45.3
N33/N575	$\bar{\lambda}$ < 2.0 Cumple	$\lambda_w \leq \lambda_{w,max}$ Cumple	x: 0.202 m η = 6.2	x: 0 m η = 35.5	η < 0.1	x: 0.202 m η = 8.4	η < 0.1	x: 0 m η = 1.1	η < 0.1	η < 0.1	x: 0.202 m η = 44.0	η < 0.1	η = 1.7	η < 0.1	x: 0 m η = 1.2	CUMPLE h = 44.0
N575/N34	$\bar{\lambda}$ < 2.0 Cumple	$\lambda_w \leq \lambda_{w,max}$ Cumple	x: 1.478 m η = 6.2	x: 0 m η = 36.6	x: 0 m η < 0.1	x: 1.478 m η = 14.0	η < 0.1	x: 0 m η = 0.5	η < 0.1	η < 0.1	x: 1.478 m η = 50.1	η < 0.1	η = 0.2	η < 0.1	x: 0 m η = 0.5	CUMPLE h = 50.1
N34/N565	$\bar{\lambda}$ < 2.0 Cumple	$\lambda_w \leq \lambda_{w,max}$ Cumple	x: 0.637 m η = 6.2	x: 0 m η = 35.3	x: 0.637 m η < 0.1	x: 0 m η = 14.3	η < 0.1	x: 0.637 m η = 0.6	η < 0.1	η < 0.1	x: 0 m η = 49.6	η < 0.1	η = 0.7	η < 0.1	x: 0.637 m η = 0.6	CUMPLE h = 49.6
N565/N35	$\bar{\lambda}$ < 2.0 Cumple	$\lambda_w \leq \lambda_{w,max}$ Cumple	x: 0.942 m η = 6.3	x: 0 m η = 35.3	x: 0 m η < 0.1	x: 0 m η = 10.4	η < 0.1	x: 0.942 m η = 1.3	η < 0.1	η < 0.1	x: 0 m η = 45.8	η < 0.1	η = 0.5	η < 0.1	x: 0.942 m η = 1.3	CUMPLE h = 45.8
N35/N555	$\bar{\lambda}$ < 2.0 Cumple	$\lambda_w \leq \lambda_{w,max}$ Cumple	x: 1.173 m η = 6.1	x: 0 m η = 34.0	x: 1.173 m η < 0.1	x: 1.173 m η = 9.2	η < 0.1	x: 0 m η = 0.9	η < 0.1	η < 0.1	x: 1.173 m η = 43.3	η < 0.1	η = 0.3	η < 0.1	x: 0 m η = 0.9	CUMPLE h = 43.3
N555/N36	$\bar{\lambda}$ < 2.0 Cumple	$\lambda_w \leq \lambda_{w,max}$ Cumple	x: 0.277 m η = 6.1	x: 0 m η = 34.1	x: 0.277 m η < 0.1	x: 0.277 m η = 9.2	η < 0.1	x: 0 m η = 0.3	η < 0.1	η < 0.1	x: 0.277 m η = 43.3	η < 0.1	η = 1.6	η < 0.1	x: 0 m η = 0.3	CUMPLE h = 43.3
N36/N37	$\bar{\lambda}$ < 2.0 Cumple	$\lambda_w \leq \lambda_{w,max}$ Cumple	x: 1.369 m η = 5.7	x: 0 m η = 32.1	x: 1.369 m η < 0.1	x: 0 m η = 9.5	η < 0.1	x: 1.369 m η = 0.2	η < 0.1	η < 0.1	x: 0 m η = 41.3	η < 0.1	η = 0.1	η < 0.1	x: 1.369 m η = 0.2	CUMPLE h = 41.3
N37/N545	$\bar{\lambda}$ < 2.0 Cumple	$\lambda_w \leq \lambda_{w,max}$ Cumple	x: 0.469 m η = 5.3	x: 0 m η = 28.8	x: 0 m η < 0.1	x: 0.469 m η = 9.9	η < 0.1	x: 0 m η = 0.5	η < 0.1	η < 0.1	x: 0.469 m η = 38.6	η < 0.1	η = 1.0	η < 0.1	x: 0 m η = 0.5	CUMPLE h = 38.6
N545/N38	$\bar{\lambda}$ < 2.0 Cumple	$\lambda_w \leq \lambda_{w,max}$ Cumple	x: 0.81 m η = 5.3	x: 0 m η = 28.8	x: 0.81 m η = 0.1	x: 0 m η = 9.4	η = 0.1	x: 0.81 m η = 0.3	η < 0.1	η < 0.1	x: 0 m η = 38.2	η < 0.1	η = 0.8	η = 0.1	x: 0.81 m η = 0.3	CUMPLE h = 38.2
N38/N39	$\bar{\lambda}$ < 2.0 Cumple	$\lambda_w \leq \lambda_{w,max}$ Cumple	x: 1.205 m η = 4.7	x: 0 m η = 25.4	x: 1.205 m η = 0.1	x: 0.201 m η = 7.8	η < 0.1	x: 1.205 m η = 0.1	η < 0.1	η < 0.1	x: 0.201 m η = 33.1	η < 0.1	M_{tz} = 0.00 N.P.[1]	N.P.[2]	N.P.[2]	CUMPLE h = 33.1
N39/N535	$\bar{\lambda}$ < 2.0 Cumple	$\lambda_w \leq \lambda_{w,max}$ Cumple	x: 0.1 m η = 3.9	x: 0 m η = 21.1	η = 0.1	x: 0.1 m η = 8.6	η = 0.1	x: 0 m η = 0.4	η < 0.1	η < 0.1	x: 0.1 m η = 29.7	η < 0.1	η = 2.6	η = 0.1	x: 0 m η = 0.4	CUMPLE h = 29.7
N535/N40	$\bar{\lambda}$ < 2.0 Cumple	$\lambda_w \leq \lambda_{w,max}$ Cumple	x: 1.034 m η = 3.9	x: 0 m η = 21.1	x: 1.034 m η = 0.3	x: 0 m η = 8.1	η = 0.2	x: 1.034 m η = 0.3	η < 0.1	η < 0.1	x: 0 m η = 29.2	η < 0.1	η = 0.6	η = 0.2	x: 1.034 m η = 0.3	CUMPLE h = 29.2
N40/N41	$\bar{\lambda}$ < 2.0 Cumple	$\lambda_w \leq \lambda_{w,max}$ Cumple	x: 1.041 m η = 3.0	x: 0 m η = 16.1	x: 1.041 m η = 0.5	x: 0 m η = 6.6	η = 0.1	x: 1.041 m η = 0.2	η < 0.1	η < 0.1	x: 0 m η = 22.8	η < 0.1	η = 0.1	η = 0.1	x: 1.041 m η = 0.2	CUMPLE h = 22.8
N41/N525	$\bar{\lambda}$ < 2.0 Cumple	$\lambda_w \leq \lambda_{w,max}$ Cumple	η = 2.0	x: 0 m η = 10.6	x: 0.04 m η = 0.5	x: 0.04 m η = 6.5	η = 0.2	x: 0.04 m η = 0.3	η < 0.1	η < 0.1	x: 0.04 m η = 17.1	η < 0.1	η = 3.8	η = 0.2	x: 0.04 m η = 0.3	CUMPLE h = 17.1
N525/N42	$\bar{\lambda}$ < 2.0 Cumple	$\lambda_w \leq \lambda_{w,max}$ Cumple	x: 0.932 m η = 2.0	x: 0 m η = 10.5	x: 0 m η = 0.4	x: 0 m η = 6.0	η = 0.1	x: 0.932 m η = 0.4	η < 0.1	η < 0.1	x: 0 m η = 16.6	η < 0.1	η = 0.7	η = 0.1	x: 0.932 m η = 0.4	CUMPLE h = 16.6
N42/N43	$\bar{\lambda}$ < 2.0 Cumple	$\lambda_w \leq \lambda_{w,max}$ Cumple	x: 1.183 m η = 0.8	x: 0 m η = 4.1	x: 0 m η = 0.4	x: 0 m η = 4.2	η = 0.1	x: 1.183 m η = 0.7	η < 0.1	η < 0.1	x: 0 m η = 8.4	η < 0.1	η = 0.5	η = 0.1	x: 1.183 m η = 0.7	CUMPLE h = 8.4
N47/N51	$\bar{\lambda}$ < 2.0 Cumple	$\lambda_w \leq \lambda_{w,max}$ Cumple	x: 2.899 m η = 2.9	x: 0 m η = 16.9	x: 2.899 m η = 0.1	x: 2.899 m η = 12.1	η < 0.1	x: 0 m η = 1.0	η < 0.1	η < 0.1	x: 2.899 m η = 29.9	η < 0.1	η < 0.1	η < 0.1	x: 0 m η = 0.7	CUMPLE h = 29.9
N51/N70	$\bar{\lambda}$ < 2.0 Cumple	$\lambda_w \leq \lambda_{w,max}$ Cumple	x: 2.728 m η = 3.7	x: 0 m η = 24.2	x: 2.728 m η = 0.1	x: 2.728 m η = 4.3	η < 0.1	x: 0 m η = 0.4	η < 0.1	η < 0.1	x: 2.728 m η = 28.8	η < 0.1	η = 0.1	η < 0.1	x: 0 m η = 0.4	CUMPLE h = 28.8
N70/N71	$\bar{\lambda}$ < 2.0 Cumple	$\lambda_w \leq \lambda_{w,max}$ Cumple	x: 2.529 m η = 4.1	x: 0 m η = 28.9	x: 2.529 m η = 0.5	x: 1.264 m η = 4.4	η = 0.1	x: 0 m η = 0.1	η < 0.1	η < 0.1	x: 1.264 m η = 33.6	η < 0.1	η = 0.1	η = 0.1	x: 0 m η = 0.1	CUMPLE h = 33.6

AJUNTAMENT D'OLERDOLA
Aquest document és una còpia simple del document electrònic original.

Listados

Cobriment de pista a Sant Pere Molanta (Olèrdola)

Fecha: 10/03/26

Barras	COMPROBACIONES (CTE DB SE-A)															Estado
	$\bar{\lambda}$	λ_w	N_t	N_c	M_y	M_z	V_z	V_y	$M_t V_z$	$M_z V_y$	NM_yM_z	$NM_tM_zV_yV_z$	M_t	M_yV_z	M_zV_y	
N71/N614	$\bar{\lambda} < 2.0$ Cumple	$\lambda_w \leq \lambda_{w,max}$ Cumple	x: 2.115 m η = 4.3	x: 0 m η = 31.7	x: 0 m η = 0.5	x: 2.115 m η = 5.3	η = 0.1	x: 0 m η = 0.2	η < 0.1	η < 0.1	x: 2.115 m η = 37.2	η < 0.1	η = 0.3	η = 0.1	x: 0 m η = 0.2	CUMPLE h = 37.2
N614/N72	$\bar{\lambda} < 2.0$ Cumple	$\lambda_w \leq \lambda_{w,max}$ Cumple	x: 0.247 m η = 4.3	x: 0 m η = 28.9	x: 0 m η = 0.2	x: 0 m η = 5.8	η = 0.1	x: 0.247 m η = 0.7	η < 0.1	η < 0.1	x: 0 m η = 34.8	η < 0.1	η = 2.4	η = 0.1	x: 0.247 m η = 0.7	CUMPLE h = 34.8
N72/N604	$\bar{\lambda} < 2.0$ Cumple	$\lambda_w \leq \lambda_{w,max}$ Cumple	x: 1.868 m η = 4.7	x: 0 m η = 33.8	x: 0 m η = 0.1	x: 1.868 m η = 6.3	η < 0.1	x: 0 m η = 0.2	η < 0.1	η < 0.1	x: 1.868 m η = 40.2	η < 0.1	η = 0.4	η < 0.1	x: 0 m η = 0.2	CUMPLE h = 40.2
N604/N73	$\bar{\lambda} < 2.0$ Cumple	$\lambda_w \leq \lambda_{w,max}$ Cumple	x: 0.339 m η = 4.7	x: 0 m η = 31.6	x: 0 m η = 0.1	x: 0 m η = 6.7	η = 0.1	x: 0.339 m η = 0.6	η < 0.1	η < 0.1	x: 0 m η = 38.4	η < 0.1	η = 1.6	η = 0.1	x: 0.339 m η = 0.6	CUMPLE h = 38.4
N73/N594	$\bar{\lambda} < 2.0$ Cumple	$\lambda_w \leq \lambda_{w,max}$ Cumple	x: 1.776 m η = 5.3	x: 0 m η = 35.6	x: 0 m η = 0.1	x: 1.776 m η = 6.9	η < 0.1	x: 0 m η = 0.2	η < 0.1	η < 0.1	x: 1.776 m η = 42.5	η < 0.1	η = 0.3	η < 0.1	x: 0 m η = 0.2	CUMPLE h = 42.5
N594/N74	$\bar{\lambda} < 2.0$ Cumple	$\lambda_w \leq \lambda_{w,max}$ Cumple	x: 0.285 m η = 5.2	x: 0 m η = 33.6	x: 0.285 m η = 0.1	x: 0 m η = 7.3	η = 0.1	x: 0.285 m η = 0.6	η < 0.1	η < 0.1	x: 0 m η = 41.0	η < 0.1	η = 1.2	η = 0.1	x: 0.285 m η = 0.6	CUMPLE h = 41.0
N74/N584	$\bar{\lambda} < 2.0$ Cumple	$\lambda_w \leq \lambda_{w,max}$ Cumple	x: 1.83 m η = 5.7	x: 0 m η = 37.1	x: 1.83 m η = 0.1	x: 1.83 m η = 7.3	η < 0.1	x: 0 m η = 0.2	η < 0.1	η < 0.1	x: 1.83 m η = 44.5	η < 0.1	η = 0.2	η < 0.1	x: 0 m η = 0.2	CUMPLE h = 44.5
N584/N75	$\bar{\lambda} < 2.0$ Cumple	$\lambda_w \leq \lambda_{w,max}$ Cumple	x: 0.095 m η = 5.6	x: 0 m η = 34.9	x: 0.095 m η = 0.1	x: 0 m η = 7.7	η < 0.1	x: 0.095 m η = 0.6	η < 0.1	η < 0.1	x: 0 m η = 42.7	η < 0.1	η = 1.6	η < 0.1	x: 0.095 m η = 0.6	CUMPLE h = 42.7
N75/N76	$\bar{\lambda} < 2.0$ Cumple	$\lambda_w \leq \lambda_{w,max}$ Cumple	x: 1.818 m η = 5.9	x: 0 m η = 37.7	x: 0 m η = 0.1	x: 0.182 m η = 7.1	η < 0.1	x: 1.818 m η = 0.1	η < 0.1	η < 0.1	x: 0.182 m η = 44.9	η < 0.1	η < 0.1	η < 0.1	x: 1.818 m η = 0.1	CUMPLE h = 44.9
N76/N574	$\bar{\lambda} < 2.0$ Cumple	$\lambda_w \leq \lambda_{w,max}$ Cumple	x: 0.202 m η = 6.0	x: 0 m η = 35.2	x: 0.202 m η < 0.1	x: 0.202 m η = 7.9	η < 0.1	x: 0 m η = 1.1	η < 0.1	η < 0.1	x: 0.202 m η = 43.1	η < 0.1	η = 1.1	η < 0.1	x: 0 m η = 1.1	CUMPLE h = 43.1
N574/N77	$\bar{\lambda} < 2.0$ Cumple	$\lambda_w \leq \lambda_{w,max}$ Cumple	x: 1.478 m η = 6.0	x: 0 m η = 36.1	x: 0 m η < 0.1	x: 1.478 m η = 13.2	η < 0.1	x: 0 m η = 0.4	η < 0.1	η < 0.1	x: 1.478 m η = 48.9	η < 0.1	η = 0.2	η < 0.1	x: 0 m η = 0.4	CUMPLE h = 48.9
N77/N564	$\bar{\lambda} < 2.0$ Cumple	$\lambda_w \leq \lambda_{w,max}$ Cumple	x: 0.637 m η = 6.0	x: 0 m η = 34.8	x: 0.637 m η < 0.1	x: 0 m η = 13.5	η < 0.1	x: 0.637 m η = 0.6	η < 0.1	η < 0.1	x: 0 m η = 48.3	η < 0.1	η = 0.5	η < 0.1	x: 0.637 m η = 0.6	CUMPLE h = 48.3
N564/N78	$\bar{\lambda} < 2.0$ Cumple	$\lambda_w \leq \lambda_{w,max}$ Cumple	x: 0.942 m η = 6.0	x: 0 m η = 34.7	x: 0 m η < 0.1	x: 0 m η = 10.8	η < 0.1	x: 0.942 m η = 1.3	η < 0.1	η < 0.1	x: 0 m η = 45.5	η < 0.1	η = 0.4	η < 0.1	x: 0.942 m η = 1.3	CUMPLE h = 45.5
N78/N554	$\bar{\lambda} < 2.0$ Cumple	$\lambda_w \leq \lambda_{w,max}$ Cumple	x: 1.173 m η = 5.8	x: 0 m η = 33.6	x: 1.173 m η < 0.1	x: 1.173 m η = 8.7	η < 0.1	x: 0 m η = 0.8	η < 0.1	η < 0.1	x: 1.173 m η = 42.2	η < 0.1	η = 0.2	η < 0.1	x: 0 m η = 0.8	CUMPLE h = 42.2
N554/N79	$\bar{\lambda} < 2.0$ Cumple	$\lambda_w \leq \lambda_{w,max}$ Cumple	x: 0.277 m η = 5.8	x: 0 m η = 33.5	x: 0 m η < 0.1	x: 0.277 m η = 9.3	η < 0.1	x: 0 m η = 0.4	η < 0.1	η < 0.1	x: 0.277 m η = 42.8	η < 0.1	η = 1.2	η < 0.1	x: 0 m η = 0.4	CUMPLE h = 42.8
N79/N80	$\bar{\lambda} < 2.0$ Cumple	$\lambda_w \leq \lambda_{w,max}$ Cumple	x: 1.369 m η = 5.5	x: 0 m η = 31.6	x: 1.369 m η < 0.1	x: 0 m η = 9.6	η < 0.1	x: 1.369 m η = 0.3	η < 0.1	η < 0.1	x: 0 m η = 40.8	η < 0.1	η = 0.1	η < 0.1	x: 1.369 m η = 0.3	CUMPLE h = 40.8
N80/N544	$\bar{\lambda} < 2.0$ Cumple	$\lambda_w \leq \lambda_{w,max}$ Cumple	x: 0.469 m η = 5.0	x: 0 m η = 28.3	x: 0.469 m η < 0.1	x: 0.469 m η = 9.4	η < 0.1	x: 0 m η = 0.5	η < 0.1	η < 0.1	x: 0.469 m η = 37.7	η < 0.1	η = 0.8	η < 0.1	x: 0 m η = 0.5	CUMPLE h = 37.7
N544/N81	$\bar{\lambda} < 2.0$ Cumple	$\lambda_w \leq \lambda_{w,max}$ Cumple	x: 0.81 m η = 5.0	x: 0 m η = 28.3	x: 0.81 m η < 0.1	x: 0 m η = 9.8	η = 0.1	x: 0.81 m η = 0.4	η < 0.1	η < 0.1	x: 0 m η = 38.1	η < 0.1	η = 0.6	η = 0.1	x: 0.81 m η = 0.4	CUMPLE h = 38.1
N81/N82	$\bar{\lambda} < 2.0$ Cumple	$\lambda_w \leq \lambda_{w,max}$ Cumple	x: 1.205 m η = 4.4	x: 0 m η = 24.9	x: 1.205 m η = 0.2	x: 0 m η = 7.8	η = 0.1	x: 1.205 m η = 0.1	η < 0.1	η < 0.1	x: 0 m η = 32.6	η < 0.1	η < 0.1	η = 0.1	x: 1.205 m η = 0.1	CUMPLE h = 32.6
N82/N534	$\bar{\lambda} < 2.0$ Cumple	$\lambda_w \leq \lambda_{w,max}$ Cumple	x: 0.1 m η = 3.7	x: 0 m η = 20.7	x: 0.1 m η = 0.2	x: 0.1 m η = 8.1	η < 0.1	x: 0 m η = 0.4	η < 0.1	η < 0.1	x: 0.1 m η = 28.8	η < 0.1	η = 2.3	η < 0.1	x: 0 m η = 0.4	CUMPLE h = 28.8
N534/N83	$\bar{\lambda} < 2.0$ Cumple	$\lambda_w \leq \lambda_{w,max}$ Cumple	x: 1.034 m η = 3.7	x: 0 m η = 20.7	x: 1.034 m η = 0.4	x: 0 m η = 8.5	η = 0.2	x: 1.034 m η = 0.4	η < 0.1	η < 0.1	x: 0 m η = 29.3	η < 0.1	η = 0.4	η = 0.2	x: 1.034 m η = 0.4	CUMPLE h = 29.3
N83/N84	$\bar{\lambda} < 2.0$ Cumple	$\lambda_w \leq \lambda_{w,max}$ Cumple	x: 1.041 m η = 2.8	x: 0 m η = 15.8	x: 1.041 m η = 0.7	x: 0 m η = 6.6	η = 0.2	x: 1.041 m η = 0.2	η < 0.1	η < 0.1	x: 0 m η = 22.3	η < 0.1	η = 0.1	η = 0.2	x: 1.041 m η = 0.2	CUMPLE h = 22.3
N84/N524	$\bar{\lambda} < 2.0$ Cumple	$\lambda_w \leq \lambda_{w,max}$ Cumple	η = 1.8	x: 0 m η = 10.3	x: 0.04 m η = 0.7	x: 0.04 m η = 5.9	η = 0.2	x: 0.04 m η = 0.3	η < 0.1	η < 0.1	x: 0.04 m η = 16.3	η < 0.1	η = 5.3	η = 0.2	x: 0.04 m η = 0.3	CUMPLE h = 16.3
N524/N85	$\bar{\lambda} < 2.0$ Cumple	$\lambda_w \leq \lambda_{w,max}$ Cumple	x: 0.932 m η = 1.9	x: 0 m η = 10.4	x: 0 m η = 0.7	x: 0 m η = 6.5	η = 0.1	x: 0.932 m η = 0.5	η < 0.1	η < 0.1	x: 0 m η = 17.0	η < 0.1	η = 0.8	η = 0.1	x: 0.932 m η = 0.5	CUMPLE h = 17.0
N85/N86	$\bar{\lambda} < 2.0$ Cumple	$\lambda_w \leq \lambda_{w,max}$ Cumple	x: 1.183 m η = 0.7	x: 0 m η = 4.0	x: 0 m η = 0.5	x: 0 m η = 4.1	η = 0.2	x: 1.183 m η = 0.7	η < 0.1	η < 0.1	x: 0 m η = 8.2	η < 0.1	η = 0.5	η = 0.2	x: 1.183 m η = 0.7	CUMPLE h = 8.2
N90/N94	$\bar{\lambda} < 2.0$ Cumple	$\lambda_w \leq \lambda_{w,max}$ Cumple	x: 2.899 m η = 3.1	x: 0 m η = 17.1	x: 2.899 m η = 0.1	x: 2.899 m η = 12.3	η < 0.1	x: 0 m η = 1.0	η < 0.1	η < 0.1	x: 2.899 m η = 30.2	η < 0.1	η < 0.1	η < 0.1	x: 0 m η = 1.0	CUMPLE h = 30.2
N94/N113	$\bar{\lambda} < 2.0$ Cumple	$\lambda_w \leq \lambda_{w,max}$ Cumple	x: 2.728 m η = 3.9	x: 0 m η = 24.1	x: 2.728 m η = 0.2	x: 2.728 m η = 4.1	η < 0.1	x: 0 m η = 0.4	η < 0.1	η < 0.1	x: 2.728 m η = 28.6	η < 0.1	η = 0.1	η < 0.1	x: 0 m η = 0.4	CUMPLE h = 28.6
N113/N114	$\bar{\lambda} < 2.0$ Cumple	$\lambda_w \leq \lambda_{w,max}$ Cumple	x: 2.529 m η = 4.4	x: 0 m η = 28.6	x: 2.529 m η = 0.4	x: 1.264 m η = 4.4	η = 0.1	x: 0 m η = 0.1	η < 0.1	η < 0.1	x: 1.264 m η = 33.3	η < 0.1	η = 0.1	η = 0.1	x: 0 m η = 0.1	CUMPLE h = 33.3
N114/N613	$\bar{\lambda} < 2.0$ Cumple	$\lambda_w \leq \lambda_{w,max}$ Cumple	x: 2.115 m η = 4.7	x: 0 m η = 31.4	x: 0 m η = 0.5	x: 2.115 m η = 5.5	η = 0.1	x: 0 m η = 0.2	η < 0.1	η < 0.1	x: 2.115 m η = 37.1	η < 0.1	η = 0.1	η = 0.1	x: 0 m η = 0.2	CUMPLE h = 37.1
N613/N115	$\bar{\lambda} < 2.0$ Cumple	$\lambda_w \leq \lambda_{w,max}$ Cumple	x: 0.247 m η = 4.7	x: 0 m η = 28.7	x: 0 m η = 0.2	x: 0 m η = 5.5	η = 0.1	x: 0.247 m η = 0.6	η < 0.1	η < 0.1	x: 0 m η = 34.3	η < 0.1	η = 1.7	η = 0.1	x: 0.247 m η = 0.6	CUMPLE h = 34.3
N115/N603	$\bar{\lambda} < 2.0$ Cumple	$\lambda_w \leq \lambda_{w,max}$ Cumple	x: 1.868 m η = 5.1	x: 0 m η = 33.5	x: 0 m η = 0.2	x: 1.868 m η = 6.4	η = 0.1	x: 0 m η = 0.2	η < 0.1	η < 0.1	x: 1.868 m η = 40.0	η < 0.1	η = 0.3	η = 0.1	x: 0 m η = 0.2	CUMPLE h = 40.0
N603/N116	$\bar{\lambda} < 2.0$ Cumple	$\lambda_w \leq \lambda_{w,max}$ Cumple	x: 0.339 m η = 5.1	x: 0 m η = 31.4	x: 0 m η = 0.1	x: 0 m η = 6.4	η = 0.1	x: 0.339 m η = 0.6	η < 0.1	η < 0.1	x: 0 m η = 37.8	η < 0.1	η = 1.1	η = 0.1	x: 0.339 m η = 0.6	CUMPLE h = 37.8
N116/N593	$\bar{\lambda} < 2.0$ Cumple	$\lambda_w \leq \lambda_{w,max}$ Cumple	x: 1.776 m η = 5.8	x: 0 m η = 35.3	x: 0 m η = 0.1	x: 1.776 m η = 7.0	η < 0.1	x: 0 m η = 0.2	η < 0.1	η < 0.1	x: 1.776 m η = 42.3	η < 0.1	η = 0.2	η < 0.1	x: 0 m η = 0.2	CUMPLE h = 42.3
N593/N117	$\bar{\lambda} < 2.0$ Cumple	$\lambda_w \leq \lambda_{w,max}$ Cumple	x: 0.285 m η = 5.8	x: 0 m η = 33.4	x: 0.285 m η = 0.1	x: 0 m η = 7.0	η = 0.1	x: 0.285 m η = 0.6	η < 0.1	η < 0.1	x: 0 m η = 40.4	η < 0.1	η = 0.8	η = 0.1	x: 0.285 m η = 0.6	CUMPLE h = 40.4
N117/N583	$\bar{\lambda} < 2.0$ Cumple	$\lambda_w \leq \lambda_{w,max}$ Cumple	x: 1.83 m η = 6.2	x: 0 m η = 36.8	x: 1.83 m η = 0.1	x: 1.83 m η = 7.4	η < 0.1	x: 0 m η = 0.2	η < 0.1	η < 0.1	x: 1.83 m η = 44.3	η < 0.1	η = 0.1	η < 0.1	x: 0 m η = 0.2	CUMPLE h = 44.3
N583/N118	$\bar{\lambda} < 2.0$ Cumple	$\lambda_w \leq \lambda_{w,max}$ Cumple	x: 0.095 m η = 6.2	x: 0 m η = 34.6	x: 0.095 m η = 0.1	x: 0 m η = 7.4	η < 0.1	x: 0.095 m η = 0.6	η < 0.1	η < 0.1	x: 0 m η = 42.1	η < 0.1	η = 0.8	η < 0.1	x: 0.095 m η = 0.6	CUMPLE h = 42.1
N118/N119	$\bar{\lambda} < 2.0$ Cumple	$\lambda_w \leq \lambda_{w,max}$ Cumple	x: 1.818 m η = 6.5	x: 0 m η = 37.4	x: 0 m η = 0.1	x: 0.364 m η = 6.9	η < 0.1	x: 1.818 m η = 0.1	η < 0.1	η < 0.1	x: 0.364 m η = 44.4	η < 0.1	η < 0.1	η < 0.1	x: 1.818 m η = 0.1	CUMPLE h = 44.4
N119/N573	$\bar{\lambda} < 2.0$ Cumple	$\lambda_w \leq \lambda_{w,max}$ Cumple	x: 0.202 m η = 6.6	x: 0 m η = 34.9	x: 0.202 m η = 0.1	x: 0.202 m η = 8.0	η < 0.1	x: 0 m η = 1.1	η < 0.1	η < 0.1	x: 0.202 m η = 42.9	η < 0.1	η = 0.5	η < 0.1	x: 0 m η = 1.1	CUMPLE h = 42.9
N573/N120	$\bar{\lambda} < 2.0$ Cumple	$\lambda_w \leq \lambda_{w,max}$ Cumple	x: 1.478 m η = 6.6	x: 0 m η = 35.8	x: 0 m η < 0.1	x: 1.478 m η = 13.4	η < 0.1	x: 0 m η = 0.5	η < 0.1	η < 0.1	x: 1.478 m η = 48.8	η < 0.1	η = 0.1	η < 0.1	x: 0 m η = 0.5	CUMPLE h = 48.8
N120/N563	$\bar{\lambda} < 2.0$ Cumple	$\lambda_w \leq \lambda_{w,max}$ Cumple	x: 0.637 m η = 6.7	x: 0 m η = 34.5	x: 0.637 m η = 0.1	x: 0 m η = 13.7	η < 0.1	x: 0.637 m η = 0.6	η < 0.1	η < 0.1	x: 0 m η = 48.2	η < 0.1	η = 0.2	η < 0.1	x: 0.637 m η = 0.6	CUMPLE h = 48.2
N563/N121	$\bar{\lambda} < 2.0$ Cumple	$\lambda_w \leq \lambda_{w,max}$ Cumple	x: 0.942 m η = 6.7	x: 0 m η = 34.5	x: 0 m η < 0.1	x: 0 m η = 10.4	η < 0.1	x: 0.942 m η = 1.3	η < 0.1	η < 0.1	x: 0 m η = 44.9	η < 0.1	η = 0.2	η < 0.1	x: 0.942 m η = 1.3	CUMPLE h = 44.9
N121/N553	$\bar{\lambda} < 2.0$ Cumple	$\lambda_w \leq \lambda_{w,max}$ Cumple	x: 1.173 m η = 6.5	x: 0 m η = 33.3	x: 1.173 m η = 0.1	x: 1.173 m η = 8.8	η < 0.1	x: 0 m η = 0.9	η < 0.1	η < 0.1	x: 1.173 m η = 42.1	η < 0.1	η = 0.1	η < 0.1	x: 0 m η = 0.9	CUMPLE h = 42.1
N553/N122	$\bar{\lambda} < 2.0$ Cumple	$\lambda_w \leq \lambda_{w,max}$ Cumple	x: 0.277 m η = 6.5	x: 0 m η = 33.2	x: 0 m η = 0.1	x: 0.277 m η = 9.2	η < 0.1	x: 0 m η = 0.4	η < 0.1	η < 0.1	x: 0.277 m η = 42.4	η < 0.1	η = 0.5	η < 0.1	x: 0 m η = 0.4	CUMPLE h = 42.4
N122/N123	$\bar{\lambda} < 2.0$ Cumple	$\lambda_w \leq \lambda_{w,max}$ Cumple	x: 1.369 m η = 6.1	x: 0 m η = 31.4	x: 0 m η < 0.1	x: 0 m η = 9.5	η < 0.1	x: 1.369 m η = 0.3	η < 0.1	η < 0.1	x: 0 m η = 40.5	η < 0.1	η = 0.1	η < 0.1	x: 1.369 m η = 0.3	CUMPLE h = 40.5
N123/N543	$\bar{\lambda} < 2.0$ Cumple	$\lambda_w \leq \lambda_{w,max}$ Cumple	x: 0.469 m η = 5.6	x: 0 m η = 28.1	x: 0.469 m η < 0.1	x: 0.469 m η = 9.5	η < 0.1	x: 0 m η = 0.5	η < 0.1	η < 0.1	x: 0.469 m η = 37.6	η < 0.1	η = 0.3	η < 0.1	x: 0 m η = 0.5	CUMPLE h = 37.6
N543/N124	$\bar{\lambda} < 2.0$ Cumple	$\lambda_w \leq \lambda_{w,max}$ Cumple	x: 0.81 m η = 5.7	x: 0 m η = 28.1	x: 0 m η = 0.1	x: 0 m η = 9.5	η < 0.1	x: 0.81 m η = 0.4	η < 0.1	η < 0.1	x: 0 m η = 37.6	η < 0.1	η = 0.3	η < 0.1	x: 0.81 m η = 0.4	CUMPLE h = 37.6
N124/N125	$\bar{\lambda} < 2.0$ Cumple	$\lambda_w \leq \lambda_{w,max}$ Cumple	x: 1.205 m η = 5.0	x: 0 m η = 24.8	x: 0 m η = 0.1	x: 0 m η = 7.7	η < 0.1	x: 1.205 m η = 0.1	η < 0.1	η < 0.1	x: 0 m η = 32.4	η < 0.1	η < 0.1	η < 0.1	x: 1.205 m η = 0.1	CUMPLE h = 32.4
N125/N533	$\bar{\lambda} < 2.0$ Cumple	$\lambda_w \leq \lambda_{w,max}$ Cumple	x: 0.1 m η = 4.2	x: 0 m η = 20.5	x: 0.1 m η = 0.1	x: 0.1 m η = 8.2	η < 0.1	x: 0 m η = 0.4	η < 0.1	η < 0.1	x: 0.1 m η = 28.7	η < 0.1	η = 0.8	η < 0.1	x: 0 m η = 0.4	CUMPLE h = 28.7
N533/N126	$\bar{\lambda} < 2.0$ Cumple	$\lambda_w \leq \lambda_{w,max}$ Cumple	x: 1.034 m η = 4.2	x: 0 m η = 20.5	x: 1.034 m η = 0.5	x: 0 m η = 8.2	η = 0.4	x: 1.034 m η = 0.3	η < 0.1	η < 0.1	x: 0 m η = 28.7	η < 0.1	η = 0.1	η = 0.4	x: 1.034 m η = 0.3	CUMPLE h = 28.7
N126/N127	$\bar{\lambda} < 2.0$ Cumple	$\lambda_w \leq \lambda_{w,max}$ Cumple	x: 1.041 m η = 3.2	x: 0 m η = 15.7	x: 1.041 m η = 1.3	x: 0 m η = 6.5	η = 0.5	x: 1.041 m η = 0.2	η < 0.1	η < 0.1	x: 0 m η = 22.3	η < 0.1	η = 0.3	η = 0.5	x: 1.041 m η = 0.2	CUMPLE h = 22.3
N127/N523	$\bar{\lambda} < 2.0$ Cumple	$\lambda_w \leq \lambda_{w,max}$ Cumple	η = 2.1	x: 0 m η = 10.3	x: 0.04 m η = 1.3	x: 0.04 m η = 5.9	η = 0.6	x: 0.04 m η = 0.3	η < 0.1	η < 0.1	x: 0.04 m η = 16.4	η < 0.1	η = 6.6	η = 0.6	x: 0.04 m η = 0.3	CUMPLE h = 16.4
N523/N128	$\bar{\lambda} < 2.0$ Cumple	$\lambda_w \leq \lambda_{w,max}$ Cumple	x: 0.932 m η = 2.0	x: 0 m η = 10.2	x: 0 m η = 1.3	x: 0 m η = 6.5	η = 0.4	x: 0.932 m η = 0.5	η < 0.1	η < 0.1	x: 0 m η = 16.8	η < 0.1	η = 0.8	η = 0.4	x: 0.932 m η = 0.5	CUMPLE h = 16.8
N128/N129	$\bar{\lambda} < 2.0$ Cumple	$\lambda_w \leq \lambda_{w,max}$ Cumple	x: 1.183 m η = 0.8	x: 0 m η = 3.9	x: 0 m η = 0.7	x: 0 m η = 4.1	η = 0.4	x: 1.183 m η = 0.7	η < 0.1	η < 0.1	x: 0 m η = 8.0	η < 0.1	η = 0.5	η = 0.4	x: 1.183 m η = 0.7	CUMPLE h = 8.0
N133/N137	$\bar{\lambda} < 2.0$ Cumple	$\lambda_w \leq \lambda_{w,max}$ Cumple	x: 2.899 m η = 3.2	x: 0 m η = 17.0	x: 2.899 m η < 0.1	x: 2.899 m η = 12.2	η < 0.1	x: 0 m η = 1.0	η < 0.1	η < 0.1	x: 2.899 m η = 30.1	η < 0.1	η < 0.1	η < 0.1	x: 0 m η = 1.0	CUMPLE h = 30.1
N137/N156	$\bar{\lambda} < 2.0$ Cumple	$\lambda_w \leq \lambda_{w,max}$ Cumple	x: 2.728 m η = 4.1	x: 0 m η = 24.0	x: 2.728 m η = 0.1	x: 2.728 m η = 4.1	η < 0.1	x: 0 m η = 0.4	η < 0.1	η < 0.1	x: 2.728 m η = 28.5	η < 0.1	η = 0.1	η < 0.1	x: 0 m η = 0.4	CUMPLE h = 28.5

AJUNTAMENT D'OLERDOLA
Aquest document és una còpia simple del document electrònic original.

Codi Segur de Verificació:
62ffb294-fe9f-412a-95ff-e789b2359074
Origen: Administració
Identificador document: ES_L01081000_2026_28828185
Data d'impressió: 03/11/2026 13:44:57
Pàgina 188 de 247

SIGNATURES
1.- ESTEVE AYMERICH (R: J62755897), 27/07/2026 11:04

Listados

Cobriment de pista a Sant Pere Molanta (Olèrdola)

Fecha: 10/03/26

Barras	COMPROBACIONES (CTE DB SE-A)															Estado
	$\bar{\lambda}$	λ_w	N_t	N_c	M_t	M_z	V_z	V_y	M_tV_z	M_zV_y	NM_tM_z	$NM_tM_zV_yV_z$	M_t	M_tV_z	M_tV_y	
N156/N157	$\bar{\lambda}$ < 2.0 Cumple	$\lambda_w \leq \lambda_{w,max}$ Cumple	x: 2.529 m η = 4.6	x: 0 m η = 28.5	x: 2.529 m η = 0.4	x: 1.264 m η = 4.4	η = 0.1	x: 0 m η = 0.1	η < 0.1	η < 0.1	x: 1.264 m η = 33.3	η < 0.1	η = 0.1	η = 0.1	x: 0 m η = 0.1	CUMPLE h = 33.3
N157/N612	$\bar{\lambda}$ < 2.0 Cumple	$\lambda_w \leq \lambda_{w,max}$ Cumple	x: 2.115 m η = 4.9	x: 0 m η = 31.3	x: 0 m η = 0.4	x: 2.115 m η = 5.5	η = 0.1	x: 0 m η = 0.2	η < 0.1	η < 0.1	x: 2.115 m η = 37.1	η < 0.1	η = 0.1	η = 0.1	x: 0 m η = 0.2	CUMPLE h = 37.1
N612/N158	$\bar{\lambda}$ < 2.0 Cumple	$\lambda_w \leq \lambda_{w,max}$ Cumple	x: 0.247 m η = 4.9	x: 0 m η = 28.7	x: 0 m η = 0.2	x: 0 m η = 5.5	η = 0.1	x: 0.247 m η = 0.6	η < 0.1	η < 0.1	x: 0 m η = 34.2	η < 0.1	η = 1.7	η = 0.1	x: 0.247 m η = 0.6	CUMPLE h = 34.2
N158/N602	$\bar{\lambda}$ < 2.0 Cumple	$\lambda_w \leq \lambda_{w,max}$ Cumple	x: 1.868 m η = 5.2	x: 0 m η = 33.4	x: 0 m η = 0.2	x: 1.868 m η = 6.4	η = 0.1	x: 0 m η = 0.2	η < 0.1	η < 0.1	x: 1.868 m η = 40.0	η < 0.1	η = 0.3	η = 0.1	x: 0 m η = 0.2	CUMPLE h = 40.0
N602/N159	$\bar{\lambda}$ < 2.0 Cumple	$\lambda_w \leq \lambda_{w,max}$ Cumple	x: 0.339 m η = 5.2	x: 0 m η = 31.3	x: 0.339 m η = 0.1	x: 0 m η = 6.4	η = 0.1	x: 0.339 m η = 0.6	η < 0.1	η < 0.1	x: 0 m η = 37.8	η < 0.1	η = 1.0	η = 0.1	x: 0.339 m η = 0.6	CUMPLE h = 37.8
N159/N592	$\bar{\lambda}$ < 2.0 Cumple	$\lambda_w \leq \lambda_{w,max}$ Cumple	x: 1.776 m η = 5.8	x: 0 m η = 35.2	x: 1.776 m η = 0.1	x: 1.776 m η = 7.0	η < 0.1	x: 0 m η = 0.2	η < 0.1	η < 0.1	x: 1.776 m η = 42.3	η < 0.1	η = 0.2	η < 0.1	x: 0 m η = 0.2	CUMPLE h = 42.3
N592/N160	$\bar{\lambda}$ < 2.0 Cumple	$\lambda_w \leq \lambda_{w,max}$ Cumple	x: 0.285 m η = 5.8	x: 0 m η = 33.3	x: 0.285 m η = 0.1	x: 0 m η = 7.0	η < 0.1	x: 0.285 m η = 0.6	η < 0.1	η < 0.1	x: 0 m η = 40.4	η < 0.1	η = 0.7	η < 0.1	x: 0.285 m η = 0.6	CUMPLE h = 40.4
N160/N582	$\bar{\lambda}$ < 2.0 Cumple	$\lambda_w \leq \lambda_{w,max}$ Cumple	x: 1.83 m η = 6.3	x: 0 m η = 36.8	x: 1.83 m η = 0.1	x: 1.83 m η = 7.4	η < 0.1	x: 0 m η = 0.2	η < 0.1	η < 0.1	x: 1.83 m η = 44.3	η < 0.1	η = 0.1	η < 0.1	x: 0 m η = 0.2	CUMPLE h = 44.3
N582/N161	$\bar{\lambda}$ < 2.0 Cumple	$\lambda_w \leq \lambda_{w,max}$ Cumple	x: 0.095 m η = 6.3	x: 0 m η = 34.6	x: 0.095 m η = 0.1	x: 0 m η = 7.4	η < 0.1	x: 0.095 m η = 0.6	η < 0.1	η < 0.1	x: 0 m η = 42.1	η < 0.1	η = 0.8	η < 0.1	x: 0.095 m η = 0.6	CUMPLE h = 42.1
N161/N162	$\bar{\lambda}$ < 2.0 Cumple	$\lambda_w \leq \lambda_{w,max}$ Cumple	x: 1.818 m η = 6.6	x: 0 m η = 37.4	x: 0 m η = 0.1	x: 0.364 m η = 6.9	η < 0.1	x: 1.818 m η = 0.1	η < 0.1	η < 0.1	x: 0.364 m η = 44.4	η < 0.1	η < 0.1	η < 0.1	x: 1.818 m η = 0.1	CUMPLE h = 44.4
N162/N572	$\bar{\lambda}$ < 2.0 Cumple	$\lambda_w \leq \lambda_{w,max}$ Cumple	x: 0.202 m η = 6.7	x: 0 m η = 34.8	x: 0.202 m η = 0.1	x: 0.202 m η = 8.0	η < 0.1	x: 0 m η = 1.1	η < 0.1	η < 0.1	x: 0.202 m η = 42.9	η < 0.1	η = 0.4	η < 0.1	x: 0 m η = 1.1	CUMPLE h = 42.9
N572/N163	$\bar{\lambda}$ < 2.0 Cumple	$\lambda_w \leq \lambda_{w,max}$ Cumple	x: 1.478 m η = 6.7	x: 0 m η = 35.8	x: 1.478 m η < 0.1	x: 1.478 m η = 13.4	η < 0.1	x: 0 m η = 0.5	η < 0.1	η < 0.1	x: 1.478 m η = 48.7	η < 0.1	η < 0.1	η < 0.1	x: 0 m η = 0.5	CUMPLE h = 48.7
N163/N562	$\bar{\lambda}$ < 2.0 Cumple	$\lambda_w \leq \lambda_{w,max}$ Cumple	x: 0.637 m η = 6.7	x: 0 m η = 34.5	x: 0.637 m η = 0.1	x: 0 m η = 13.6	η < 0.1	x: 0.637 m η = 0.6	η < 0.1	η < 0.1	x: 0 m η = 48.2	η < 0.1	η = 0.1	η < 0.1	x: 0.637 m η = 0.6	CUMPLE h = 48.2
N562/N164	$\bar{\lambda}$ < 2.0 Cumple	$\lambda_w \leq \lambda_{w,max}$ Cumple	x: 0.942 m η = 6.7	x: 0 m η = 34.5	x: 0.942 m η < 0.1	x: 0 m η = 10.4	η < 0.1	x: 0.942 m η = 1.3	η < 0.1	η < 0.1	x: 0 m η = 44.9	η < 0.1	η = 0.1	η < 0.1	x: 0.942 m η = 1.3	CUMPLE h = 44.9
N164/N552	$\bar{\lambda}$ < 2.0 Cumple	$\lambda_w \leq \lambda_{w,max}$ Cumple	x: 1.173 m η = 6.5	x: 0 m η = 33.3	x: 1.173 m η < 0.1	x: 1.173 m η = 8.8	η < 0.1	x: 0 m η = 0.9	η < 0.1	η < 0.1	x: 1.173 m η = 42.1	η < 0.1	η < 0.1	η < 0.1	x: 0 m η = 0.9	CUMPLE h = 42.1
N552/N165	$\bar{\lambda}$ < 2.0 Cumple	$\lambda_w \leq \lambda_{w,max}$ Cumple	x: 0.277 m η = 6.5	x: 0 m η = 33.2	x: 0.277 m η < 0.1	x: 0.277 m η = 9.1	η < 0.1	x: 0 m η = 0.4	η < 0.1	η < 0.1	x: 0.277 m η = 42.4	η < 0.1	η = 0.3	η < 0.1	x: 0 m η = 0.4	CUMPLE h = 42.4
N165/N166	$\bar{\lambda}$ < 2.0 Cumple	$\lambda_w \leq \lambda_{w,max}$ Cumple	x: 1.369 m η = 6.2	x: 0 m η = 31.4	x: 1.369 m η = 0.1	x: 0 m η = 9.4	η < 0.1	x: 1.369 m η = 0.3	η < 0.1	η < 0.1	x: 0 m η = 40.5	η < 0.1	η < 0.1	η < 0.1	x: 1.369 m η = 0.3	CUMPLE h = 40.5
N166/N542	$\bar{\lambda}$ < 2.0 Cumple	$\lambda_w \leq \lambda_{w,max}$ Cumple	x: 0.469 m η = 5.7	x: 0 m η = 28.1	x: 0.469 m η = 0.1	x: 0.469 m η = 9.5	η < 0.1	x: 0 m η = 0.5	η < 0.1	η < 0.1	x: 0.469 m η = 37.6	η < 0.1	η = 0.2	η < 0.1	x: 0 m η = 0.5	CUMPLE h = 37.6
N542/N167	$\bar{\lambda}$ < 2.0 Cumple	$\lambda_w \leq \lambda_{w,max}$ Cumple	x: 0.81 m η = 5.7	x: 0 m η = 28.1	x: 0 m η = 0.1	x: 0 m η = 9.5	η < 0.1	x: 0.81 m η = 0.4	η < 0.1	η < 0.1	x: 0 m η = 37.6	η < 0.1	η = 0.2	η < 0.1	x: 0.81 m η = 0.4	CUMPLE h = 37.6
N167/N168	$\bar{\lambda}$ < 2.0 Cumple	$\lambda_w \leq \lambda_{w,max}$ Cumple	x: 1.205 m η = 5.0	x: 0 m η = 24.8	x: 0 m η = 0.1	x: 0 m η = 7.7	η < 0.1	x: 1.205 m η = 0.1	η < 0.1	η < 0.1	x: 0 m η = 32.4	η < 0.1	η < 0.1	η < 0.1	x: 1.205 m η = 0.1	CUMPLE h = 32.4
N168/N532	$\bar{\lambda}$ < 2.0 Cumple	$\lambda_w \leq \lambda_{w,max}$ Cumple	x: 0.1 m η = 4.2	x: 0 m η = 20.5	x: 0.1 m η = 0.1	x: 0.1 m η = 8.2	η = 0.1	x: 0 m η = 0.4	η < 0.1	η < 0.1	x: 0.1 m η = 28.8	η < 0.1	η = 0.7	η = 0.1	x: 0 m η = 0.4	CUMPLE h = 28.8
N532/N169	$\bar{\lambda}$ < 2.0 Cumple	$\lambda_w \leq \lambda_{w,max}$ Cumple	x: 1.034 m η = 4.2	x: 0 m η = 20.5	x: 1.034 m η = 0.4	x: 0 m η = 8.2	η = 0.4	x: 1.034 m η = 0.3	η < 0.1	η < 0.1	x: 0 m η = 28.8	η < 0.1	η = 0.1	η = 0.4	x: 1.034 m η = 0.3	CUMPLE h = 28.8
N169/N170	$\bar{\lambda}$ < 2.0 Cumple	$\lambda_w \leq \lambda_{w,max}$ Cumple	x: 1.041 m η = 3.2	x: 0 m η = 15.7	x: 1.041 m η = 1.1	x: 0 m η = 6.5	η = 0.4	x: 1.041 m η = 0.2	η < 0.1	η < 0.1	x: 0 m η = 22.3	η < 0.1	η = 0.2	η = 0.4	x: 1.041 m η = 0.2	CUMPLE h = 22.3
N170/N522	$\bar{\lambda}$ < 2.0 Cumple	$\lambda_w \leq \lambda_{w,max}$ Cumple	η = 2.1	x: 0 m η = 10.3	x: 0.04 m η = 1.1	x: 0.04 m η = 5.9	η = 0.5	x: 0.04 m η = 0.3	η < 0.1	η < 0.1	x: 0.04 m η = 16.5	η < 0.1	η = 6.0	η = 0.5	x: 0.04 m η = 0.3	CUMPLE h = 16.5
N522/N171	$\bar{\lambda}$ < 2.0 Cumple	$\lambda_w \leq \lambda_{w,max}$ Cumple	x: 0.932 m η = 2.1	x: 0 m η = 10.2	x: 0 m η = 1.0	x: 0 m η = 6.4	η = 0.3	x: 0.932 m η = 0.5	η < 0.1	η < 0.1	x: 0 m η = 16.9	η < 0.1	η = 0.7	η = 0.3	x: 0.932 m η = 0.5	CUMPLE h = 16.9
N171/N172	$\bar{\lambda}$ < 2.0 Cumple	$\lambda_w \leq \lambda_{w,max}$ Cumple	x: 1.183 m η = 0.8	x: 0 m η = 3.9	x: 0 m η = 0.6	x: 0 m η = 4.0	η = 0.3	x: 1.183 m η = 0.7	η < 0.1	η < 0.1	x: 0 m η = 8.1	η < 0.1	η = 0.4	η = 0.3	x: 1.183 m η = 0.7	CUMPLE h = 8.1
N176/N180	$\bar{\lambda}$ < 2.0 Cumple	$\lambda_w \leq \lambda_{w,max}$ Cumple	x: 2.899 m η = 3.3	x: 0 m η = 16.9	x: 2.899 m η = 0.1	x: 2.899 m η = 12.2	η < 0.1	x: 0 m η = 1.0	η < 0.1	η < 0.1	x: 2.899 m η = 29.9	η < 0.1	η < 0.1	η < 0.1	x: 0 m η = 1.0	CUMPLE h = 29.9
N180/N199	$\bar{\lambda}$ < 2.0 Cumple	$\lambda_w \leq \lambda_{w,max}$ Cumple	x: 2.728 m η = 4.1	x: 0 m η = 23.9	x: 2.728 m η = 0.1	x: 2.728 m η = 4.1	η < 0.1	x: 0 m η = 0.4	η < 0.1	η < 0.1	x: 2.728 m η = 28.5	η < 0.1	η = 0.1	η < 0.1	x: 0 m η = 0.4	CUMPLE h = 28.5
N199/N200	$\bar{\lambda}$ < 2.0 Cumple	$\lambda_w \leq \lambda_{w,max}$ Cumple	x: 2.529 m η = 4.6	x: 0 m η = 28.5	x: 2.529 m η = 0.4	x: 1.264 m η = 4.4	η = 0.1	x: 0 m η = 0.1	η < 0.1	η < 0.1	x: 1.264 m η = 33.2	η < 0.1	η = 0.1	η = 0.1	x: 0 m η = 0.1	CUMPLE h = 33.2
N200/N611	$\bar{\lambda}$ < 2.0 Cumple	$\lambda_w \leq \lambda_{w,max}$ Cumple	x: 2.115 m η = 5.0	x: 0 m η = 31.3	x: 0 m η = 0.4	x: 2.115 m η = 5.5	η = 0.1	x: 0 m η = 0.2	η < 0.1	η < 0.1	x: 2.115 m η = 37.0	η < 0.1	η = 0.1	η = 0.1	x: 0 m η = 0.2	CUMPLE h = 37.0
N611/N201	$\bar{\lambda}$ < 2.0 Cumple	$\lambda_w \leq \lambda_{w,max}$ Cumple	x: 0.247 m η = 5.0	x: 0 m η = 28.6	x: 0 m η = 0.2	x: 0 m η = 5.5	η = 0.1	x: 0.247 m η = 0.6	η < 0.1	η < 0.1	x: 0 m η = 34.1	η < 0.1	η = 1.7	η = 0.1	x: 0.247 m η = 0.6	CUMPLE h = 34.1
N201/N601	$\bar{\lambda}$ < 2.0 Cumple	$\lambda_w \leq \lambda_{w,max}$ Cumple	x: 1.868 m η = 5.2	x: 0 m η = 33.4	x: 0 m η = 0.2	x: 1.868 m η = 6.4	η = 0.1	x: 0 m η = 0.2	η < 0.1	η < 0.1	x: 1.868 m η = 39.9	η < 0.1	η = 0.3	η = 0.1	x: 0 m η = 0.2	CUMPLE h = 39.9
N601/N202	$\bar{\lambda}$ < 2.0 Cumple	$\lambda_w \leq \lambda_{w,max}$ Cumple	x: 0.339 m η = 5.2	x: 0 m η = 31.3	x: 0.339 m η = 0.1	x: 0 m η = 6.4	η = 0.1	x: 0.339 m η = 0.6	η < 0.1	η < 0.1	x: 0 m η = 37.8	η < 0.1	η = 1.0	η = 0.1	x: 0.339 m η = 0.6	CUMPLE h = 37.8
N202/N591	$\bar{\lambda}$ < 2.0 Cumple	$\lambda_w \leq \lambda_{w,max}$ Cumple	x: 1.776 m η = 5.8	x: 0 m η = 35.2	x: 1.776 m η = 0.1	x: 1.776 m η = 7.0	η < 0.1	x: 0 m η = 0.2	η < 0.1	η < 0.1	x: 1.776 m η = 42.3	η < 0.1	η = 0.2	η < 0.1	x: 0 m η = 0.2	CUMPLE h = 42.3
N591/N203	$\bar{\lambda}$ < 2.0 Cumple	$\lambda_w \leq \lambda_{w,max}$ Cumple	x: 0.285 m η = 5.8	x: 0 m η = 33.3	x: 0.285 m η = 0.1	x: 0 m η = 7.0	η < 0.1	x: 0.285 m η = 0.6	η < 0.1	η < 0.1	x: 0 m η = 40.4	η < 0.1	η = 0.7	η < 0.1	x: 0.285 m η = 0.6	CUMPLE h = 40.4
N203/N581	$\bar{\lambda}$ < 2.0 Cumple	$\lambda_w \leq \lambda_{w,max}$ Cumple	x: 1.83 m η = 6.3	x: 0 m η = 36.7	x: 1.83 m η = 0.1	x: 1.83 m η = 7.4	η < 0.1	x: 0 m η = 0.2	η < 0.1	η < 0.1	x: 1.83 m η = 44.2	η < 0.1	η = 0.1	η < 0.1	x: 0 m η = 0.2	CUMPLE h = 44.2
N581/N204	$\bar{\lambda}$ < 2.0 Cumple	$\lambda_w \leq \lambda_{w,max}$ Cumple	x: 0.095 m η = 6.3	x: 0 m η = 34.5	x: 0.095 m η = 0.1	x: 0 m η = 7.4	η < 0.1	x: 0.095 m η = 0.6	η < 0.1	η < 0.1	x: 0 m η = 42.0	η < 0.1	η = 0.7	η < 0.1	x: 0.095 m η = 0.6	CUMPLE h = 42.0
N204/N205	$\bar{\lambda}$ < 2.0 Cumple	$\lambda_w \leq \lambda_{w,max}$ Cumple	x: 1.818 m η = 6.6	x: 0 m η = 37.3	x: 0 m η = 0.1	x: 0.364 m η = 6.9	η < 0.1	x: 1.818 m η = 0.1	η < 0.1	η < 0.1	x: 0.364 m η = 44.3	η < 0.1	η < 0.1	η < 0.1	x: 1.818 m η = 0.1	CUMPLE h = 44.3
N205/N571	$\bar{\lambda}$ < 2.0 Cumple	$\lambda_w \leq \lambda_{w,max}$ Cumple	x: 0.202 m η = 6.7	x: 0 m η = 34.8	x: 0.202 m η = 0.1	x: 0.202 m η = 8.0	η < 0.1	x: 0 m η = 1.1	η < 0.1	η < 0.1	x: 0.202 m η = 42.8	η < 0.1	η = 0.4	η < 0.1	x: 0 m η = 1.1	CUMPLE h = 42.8
N571/N206	$\bar{\lambda}$ < 2.0 Cumple	$\lambda_w \leq \lambda_{w,max}$ Cumple	x: 1.478 m η = 6.7	x: 0 m η = 35.8	x: 1.478 m η < 0.1	x: 1.478 m η = 13.3	η < 0.1	x: 0 m η = 0.5	η < 0.1	η < 0.1	x: 1.478 m η = 48.6	η < 0.1	η < 0.1	η < 0.1	x: 0 m η = 0.4	CUMPLE h = 48.6
N206/N561	$\bar{\lambda}$ < 2.0 Cumple	$\lambda_w \leq \lambda_{w,max}$ Cumple	x: 0.637 m η = 6.7	x: 0 m η = 34.5	x: 0.637 m η = 0.1	x: 0 m η = 13.6	η < 0.1	x: 0.637 m η = 0.6	η < 0.1	η < 0.1	x: 0 m η = 48.1	η < 0.1	η = 0.1	η < 0.1	x: 0.637 m η = 0.6	CUMPLE h = 48.1
N561/N207	$\bar{\lambda}$ < 2.0 Cumple	$\lambda_w \leq \lambda_{w,max}$ Cumple	x: 0.942 m η = 6.7	x: 0 m η = 34.4	x: 0.942 m η < 0.1	x: 0 m η = 10.4	η < 0.1	x: 0.942 m η = 1.3	η < 0.1	η < 0.1	x: 0 m η = 44.9	η < 0.1	η = 0.1	η < 0.1	x: 0.942 m η = 1.3	CUMPLE h = 44.9
N207/N551	$\bar{\lambda}$ < 2.0 Cumple	$\lambda_w \leq \lambda_{w,max}$ Cumple	x: 1.173 m η = 6.5	x: 0 m η = 33.2	x: 1.173 m η < 0.1	x: 1.173 m η = 8.8	η < 0.1	x: 0 m η = 0.9	η < 0.1	η < 0.1	x: 1.173 m η = 42.0	η < 0.1	η < 0.1	η < 0.1	x: 0 m η = 0.9	CUMPLE h = 42.0
N551/N208	$\bar{\lambda}$ < 2.0 Cumple	$\lambda_w \leq \lambda_{w,max}$ Cumple	x: 0.277 m η = 6.5	x: 0 m η = 33.2	x: 0.277 m η < 0.1	x: 0.277 m η = 9.1	η < 0.1	x: 0 m η = 0.4	η < 0.1	η < 0.1	x: 0.277 m η = 42.4	η < 0.1	η = 0.3	η < 0.1	x: 0 m η = 0.4	CUMPLE h = 42.4
N208/N209	$\bar{\lambda}$ < 2.0 Cumple	$\lambda_w \leq \lambda_{w,max}$ Cumple	x: 1.369 m η = 6.2	x: 0 m η = 31.3	x: 1.369 m η = 0.1	x: 0 m η = 9.4	η < 0.1	x: 1.369 m η = 0.3	η < 0.1	η < 0.1	x: 0 m η = 40.4	η < 0.1	η < 0.1	η < 0.1	x: 1.369 m η = 0.2	CUMPLE h = 40.4
N209/N541	$\bar{\lambda}$ < 2.0 Cumple	$\lambda_w \leq \lambda_{w,max}$ Cumple	x: 0.469 m η = 5.7	x: 0 m η = 28.1	x: 0.469 m η = 0.1	x: 0.469 m η = 9.4	η < 0.1	x: 0 m η = 0.5	η < 0.1	η < 0.1	x: 0.469 m η = 37.6	η < 0.1	η = 0.2	η < 0.1	x: 0 m η = 0.5	CUMPLE h = 37.6
N541/N210	$\bar{\lambda}$ < 2.0 Cumple	$\lambda_w \leq \lambda_{w,max}$ Cumple	x: 0.81 m η = 5.7	x: 0 m η = 28.1	x: 0 m η = 0.1	x: 0 m η = 9.4	η < 0.1	x: 0.81 m η = 0.4	η < 0.1	η < 0.1	x: 0 m η = 37.6	η < 0.1	η = 0.2	η < 0.1	x: 0.81 m η = 0.4	CUMPLE h = 37.6
N210/N211	$\bar{\lambda}$ < 2.0 Cumple	$\lambda_w \leq \lambda_{w,max}$ Cumple	x: 1.205 m η = 5.0	x: 0 m η = 24.7	x: 1.205 m η = 0.1	x: 0 m η = 7.7	η < 0.1	x: 1.205 m η = 0.1	η < 0.1	η < 0.1	x: 0 m η = 32.4	η < 0.1	η < 0.1	η < 0.1	x: 1.205 m η = 0.1	CUMPLE h = 32.4
N211/N531	$\bar{\lambda}$ < 2.0 Cumple	$\lambda_w \leq \lambda_{w,max}$ Cumple	x: 0.1 m η = 4.2	x: 0 m η = 20.5	x: 0.1 m η = 0.1	x: 0.1 m η = 8.2	η = 0.1	x: 0 m η = 0.4	η < 0.1	η < 0.1	x: 0.1 m η = 28.8	η < 0.1	η = 0.7	η = 0.1	x: 0 m η = 0.4	CUMPLE h = 28.8
N531/N212	$\bar{\lambda}$ < 2.0 Cumple	$\lambda_w \leq \lambda_{w,max}$ Cumple	x: 1.034 m η = 4.2	x: 0 m η = 20.5	x: 1.034 m η = 0.2	x: 0 m η = 8.2	η = 0.2	x: 1.034 m η = 0.3	η < 0.1	η < 0.1	x: 0 m η = 28.8	η < 0.1	η = 0.1	η = 0.2	x: 1.034 m η = 0.3	CUMPLE h = 28.8
N212/N213	$\bar{\lambda}$ < 2.0 Cumple	$\lambda_w \leq \lambda_{w,max}$ Cumple	x: 1.041 m η = 3.2	x: 0 m η = 15.7	x: 1.041 m η = 0.5	x: 0 m η = 6.5	η = 0.2	x: 1.041 m η = 0.2	η < 0.1	η < 0.1	x: 0 m η = 22.3	η < 0.1	η = 0.2	η = 0.2	x: 1.041 m η = 0.2	CUMPLE h = 22.3
N213/N521	$\bar{\lambda}$ < 2.0 Cumple	$\lambda_w \leq \lambda_{w,max}$ Cumple	η = 2.1	x: 0 m η = 10.3	x: 0.04 m η = 0.5	x: 0.04 m η = 5.9	η = 0.3	x: 0.04 m η = 0.3	η < 0.1	η < 0.1	x: 0.04 m η = 16.5	η < 0.1	η = 5.8	η = 0.3	x: 0.04 m η = 0.3	CUMPLE h = 16.5
N521/N214	$\bar{\lambda}$ < 2.0 Cumple	$\lambda_w \leq \lambda_{w,max}$ Cumple	x: 0.932 m η = 2.1	x: 0 m η = 10.2	x: 0 m η = 0.5	x: 0 m η = 6.4	η = 0.2	x: 0.932 m η = 0.5	η < 0.1	η < 0.1	x: 0 m η = 16.8	η < 0.1	η = 0.7	η = 0.2	x: 0.932 m η = 0.5	CUMPLE h = 16.8
N214/N215	$\bar{\lambda}$ < 2.0 Cumple	$\lambda_w \leq \lambda_{w,max}$ Cumple	x: 1.183 m η = 0.8	x: 0 m η = 3.9	x: 0 m η = 0.3	x: 0 m η = 4.0	η = 0.1	x: 1.183 m η = 0.7	η < 0.1	η < 0.1	x: 0 m η = 8.1	η < 0.1	η = 0.4	η = 0.1	x: 1.183 m η = 0.7	CUMPLE h = 8.1
N219/N223	$\bar{\lambda}$ < 2.0 Cumple	$\lambda_w \leq \lambda_{w,max}$ Cumple	x: 2.899 m η = 3.2	x: 0 m η = 16.8	x: 2.899 m η = 0.2	x: 2.899 m η = 12.0	η < 0.1	x: 0 m η = 1.0	η < 0.1	η < 0.1	x: 2.899 m η = 29.6	η < 0.1	η < 0.1	η < 0.1	x: 0 m η = 1.0	CUMPLE h = 29.6

AJUNTAMENT D'OLERDOLA
Aquest document és una còpia simple del document electrònic original.

Listados

Cobriment de pista a Sant Pere Molanta (Olèrdola)

Fecha: 10/03/26

Barras	COMPROBACIONES (CTE DB SE-A)															Estado
	$\bar{\lambda}$	λ_w	N_t	N_c	M_t	M_z	V_z	V_y	M_tV_z	M_zV_y	NM_tM_z	$NM_tM_zV_yV_z$	M_t	M_tV_z	M_tV_y	
N223/N242	$\bar{\lambda}$ < 2.0 Cumple	$\lambda_w \leq \lambda_{w,max}$ Cumple	x: 2.728 m η = 4.0	x: 0 m η = 23.8	x: 0 m η = 0.2	x: 2.728 m η = 4.1	η = 0.1	x: 0 m η = 0.4	η < 0.1	η < 0.1	x: 2.728 m η = 28.2	η < 0.1	η = 0.1	η = 0.1	x: 0 m η = 0.4	CUMPLE h = 28.2
N242/N243	$\bar{\lambda}$ < 2.0 Cumple	$\lambda_w \leq \lambda_{w,max}$ Cumple	x: 2.529 m η = 4.5	x: 0 m η = 28.3	x: 2.529 m η = 0.4	x: 1.264 m η = 4.3	η = 0.1	x: 0 m η = 0.1	η < 0.1	η < 0.1	x: 1.475 m η = 33.0	η < 0.1	η = 0.1	η = 0.1	x: 0 m η = 0.1	CUMPLE h = 33.0
N243/N610	$\bar{\lambda}$ < 2.0 Cumple	$\lambda_w \leq \lambda_{w,max}$ Cumple	x: 2.115 m η = 4.9	x: 0 m η = 31.1	x: 0 m η = 0.4	x: 2.115 m η = 5.5	η = 0.1	x: 0 m η = 0.2	η < 0.1	η < 0.1	x: 2.115 m η = 36.8	η < 0.1	η = 0.1	η = 0.1	x: 0 m η = 0.2	CUMPLE h = 36.8
N610/N244	$\bar{\lambda}$ < 2.0 Cumple	$\lambda_w \leq \lambda_{w,max}$ Cumple	x: 0.247 m η = 4.9	x: 0 m η = 28.5	x: 0 m η = 0.2	x: 0 m η = 5.5	η = 0.1	x: 0.247 m η = 0.6	η < 0.1	η < 0.1	x: 0 m η = 34.0	η < 0.1	η = 1.7	η = 0.1	x: 0.247 m η = 0.6	CUMPLE h = 34.0
N244/N600	$\bar{\lambda}$ < 2.0 Cumple	$\lambda_w \leq \lambda_{w,max}$ Cumple	x: 1.868 m η = 5.1	x: 0 m η = 33.2	x: 0 m η = 0.2	x: 1.868 m η = 6.4	η = 0.1	x: 0 m η = 0.2	η < 0.1	η < 0.1	x: 1.868 m η = 39.8	η < 0.1	η = 0.3	η = 0.1	x: 0 m η = 0.2	CUMPLE h = 39.8
N600/N245	$\bar{\lambda}$ < 2.0 Cumple	$\lambda_w \leq \lambda_{w,max}$ Cumple	x: 0.339 m η = 5.1	x: 0 m η = 31.2	x: 0.339 m η = 0.1	x: 0 m η = 6.4	η = 0.1	x: 0.339 m η = 0.6	η < 0.1	η < 0.1	x: 0 m η = 37.6	η < 0.1	η = 1.0	η = 0.1	x: 0.339 m η = 0.6	CUMPLE h = 37.6
N245/N590	$\bar{\lambda}$ < 2.0 Cumple	$\lambda_w \leq \lambda_{w,max}$ Cumple	x: 1.776 m η = 5.7	x: 0 m η = 35.0	x: 1.776 m η = 0.1	x: 1.776 m η = 7.0	η < 0.1	x: 0 m η = 0.2	η < 0.1	η < 0.1	x: 1.776 m η = 42.1	η < 0.1	η = 0.2	η < 0.1	x: 0 m η = 0.2	CUMPLE h = 42.1
N590/N246	$\bar{\lambda}$ < 2.0 Cumple	$\lambda_w \leq \lambda_{w,max}$ Cumple	x: 0.285 m η = 5.7	x: 0 m η = 33.1	x: 0.285 m η = 0.1	x: 0 m η = 7.0	η < 0.1	x: 0.285 m η = 0.6	η < 0.1	η < 0.1	x: 0 m η = 40.2	η < 0.1	η = 0.7	η < 0.1	x: 0.285 m η = 0.6	CUMPLE h = 40.2
N246/N580	$\bar{\lambda}$ < 2.0 Cumple	$\lambda_w \leq \lambda_{w,max}$ Cumple	x: 1.83 m η = 6.2	x: 0 m η = 36.6	x: 0 m η = 0.1	x: 1.83 m η = 7.4	η < 0.1	x: 0 m η = 0.2	η < 0.1	η < 0.1	x: 1.83 m η = 44.1	η < 0.1	η = 0.1	η < 0.1	x: 0 m η = 0.2	CUMPLE h = 44.1
N580/N247	$\bar{\lambda}$ < 2.0 Cumple	$\lambda_w \leq \lambda_{w,max}$ Cumple	x: 0.095 m η = 6.2	x: 0 m η = 34.4	x: 0.095 m η = 0.1	x: 0 m η = 7.4	η < 0.1	x: 0.095 m η = 0.6	η < 0.1	η < 0.1	x: 0 m η = 41.9	η < 0.1	η = 0.7	η < 0.1	x: 0.095 m η = 0.6	CUMPLE h = 41.9
N247/N248	$\bar{\lambda}$ < 2.0 Cumple	$\lambda_w \leq \lambda_{w,max}$ Cumple	x: 1.818 m η = 6.5	x: 0 m η = 37.2	x: 0 m η = 0.1	x: 0.364 m η = 6.9	η < 0.1	x: 1.818 m η = 0.1	η < 0.1	η < 0.1	x: 0.364 m η = 44.2	η < 0.1	η < 0.1	η < 0.1	x: 1.818 m η = 0.1	CUMPLE h = 44.2
N248/N570	$\bar{\lambda}$ < 2.0 Cumple	$\lambda_w \leq \lambda_{w,max}$ Cumple	x: 0.202 m η = 6.6	x: 0 m η = 34.7	x: 0 m η = 0.1	x: 0 m η = 7.9	η < 0.1	x: 0 m η = 1.1	η < 0.1	η < 0.1	x: 0.202 m η = 42.7	η < 0.1	η = 0.3	η < 0.1	x: 0 m η = 1.1	CUMPLE h = 42.7
N570/N249	$\bar{\lambda}$ < 2.0 Cumple	$\lambda_w \leq \lambda_{w,max}$ Cumple	x: 1.478 m η = 6.6	x: 0 m η = 35.6	x: 0 m η = 0.1	x: 1.478 m η = 13.2	η < 0.1	x: 0 m η = 0.5	η < 0.1	η < 0.1	x: 1.478 m η = 48.5	η < 0.1	η < 0.1	η < 0.1	x: 0 m η = 0.5	CUMPLE h = 48.5
N249/N560	$\bar{\lambda}$ < 2.0 Cumple	$\lambda_w \leq \lambda_{w,max}$ Cumple	x: 0.637 m η = 6.6	x: 0 m η = 34.4	x: 0.637 m η = 0.1	x: 0 m η = 13.5	η < 0.1	x: 0.637 m η = 0.6	η < 0.1	η < 0.1	x: 0 m η = 47.9	η < 0.1	η = 0.1	η < 0.1	x: 0.637 m η = 0.6	CUMPLE h = 47.9
N560/N250	$\bar{\lambda}$ < 2.0 Cumple	$\lambda_w \leq \lambda_{w,max}$ Cumple	x: 0.942 m η = 6.6	x: 0 m η = 34.3	x: 0.942 m η < 0.1	x: 0 m η = 10.4	η < 0.1	x: 0.942 m η = 1.3	η < 0.1	η < 0.1	x: 0 m η = 44.8	η < 0.1	η = 0.1	η < 0.1	x: 0.942 m η = 1.3	CUMPLE h = 44.8
N250/N550	$\bar{\lambda}$ < 2.0 Cumple	$\lambda_w \leq \lambda_{w,max}$ Cumple	x: 1.173 m η = 6.5	x: 0 m η = 33.2	x: 1.173 m η < 0.1	x: 1.173 m η = 8.8	η < 0.1	x: 0 m η = 0.9	η < 0.1	η < 0.1	x: 1.173 m η = 41.9	η < 0.1	η < 0.1	η < 0.1	x: 0 m η = 0.9	CUMPLE h = 41.9
N550/N251	$\bar{\lambda}$ < 2.0 Cumple	$\lambda_w \leq \lambda_{w,max}$ Cumple	x: 0.277 m η = 6.5	x: 0 m η = 33.1	x: 0 m η < 0.1	x: 0.277 m η = 9.1	η < 0.1	x: 0 m η = 0.4	η < 0.1	η < 0.1	x: 0.277 m η = 42.2	η < 0.1	η = 0.2	η < 0.1	x: 0 m η = 0.4	CUMPLE h = 42.2
N251/N252	$\bar{\lambda}$ < 2.0 Cumple	$\lambda_w \leq \lambda_{w,max}$ Cumple	x: 1.369 m η = 6.1	x: 0 m η = 31.3	x: 1.369 m η = 0.1	x: 0 m η = 9.4	η < 0.1	x: 1.369 m η = 0.3	η < 0.1	η < 0.1	x: 0 m η = 40.3	η < 0.1	M_{tz} = 0.00 N.P.[1]	N.P.[2]	N.P.[2]	CUMPLE h = 40.3
N252/N540	$\bar{\lambda}$ < 2.0 Cumple	$\lambda_w \leq \lambda_{w,max}$ Cumple	x: 0.469 m η = 5.6	x: 0 m η = 28.0	x: 0.469 m η = 0.1	x: 0.469 m η = 9.4	η < 0.1	x: 0 m η = 0.5	η < 0.1	η < 0.1	x: 0.469 m η = 37.5	η < 0.1	η = 0.2	η < 0.1	x: 0 m η = 0.5	CUMPLE h = 37.5
N540/N253	$\bar{\lambda}$ < 2.0 Cumple	$\lambda_w \leq \lambda_{w,max}$ Cumple	x: 0.81 m η = 5.6	x: 0 m η = 28.0	x: 0.81 m η = 0.1	x: 0 m η = 9.4	η < 0.1	x: 0.81 m η = 0.4	η < 0.1	η < 0.1	x: 0 m η = 37.5	η < 0.1	η = 0.1	η < 0.1	x: 0.81 m η = 0.4	CUMPLE h = 37.5
N253/N254	$\bar{\lambda}$ < 2.0 Cumple	$\lambda_w \leq \lambda_{w,max}$ Cumple	x: 1.205 m η = 5.0	x: 0 m η = 24.7	x: 1.205 m η = 0.1	x: 0 m η = 7.6	η < 0.1	x: 1.205 m η = 0.1	η < 0.1	η < 0.1	x: 0 m η = 32.4	η < 0.1	M_{tz} = 0.00 N.P.[1]	N.P.[2]	N.P.[2]	CUMPLE h = 32.4
N254/N530	$\bar{\lambda}$ < 2.0 Cumple	$\lambda_w \leq \lambda_{w,max}$ Cumple	x: 0.1 m η = 4.2	x: 0 m η = 20.5	x: 0.1 m η = 0.2	x: 0.1 m η = 8.2	η = 0.1	x: 0 m η = 0.4	η < 0.1	η < 0.1	x: 0.1 m η = 28.8	η < 0.1	η = 0.7	η = 0.1	x: 0 m η = 0.4	CUMPLE h = 28.8
N530/N255	$\bar{\lambda}$ < 2.0 Cumple	$\lambda_w \leq \lambda_{w,max}$ Cumple	x: 1.034 m η = 4.2	x: 0 m η = 20.5	x: 0 m η = 0.2	x: 0 m η = 8.2	η = 0.1	x: 1.034 m η = 0.3	η < 0.1	η < 0.1	x: 0 m η = 28.8	η < 0.1	η = 0.1	η = 0.1	x: 1.034 m η = 0.3	CUMPLE h = 28.8
N255/N256	$\bar{\lambda}$ < 2.0 Cumple	$\lambda_w \leq \lambda_{w,max}$ Cumple	x: 1.041 m η = 3.2	x: 0 m η = 15.7	x: 1.041 m η = 0.1	x: 0 m η = 6.5	η < 0.1	x: 1.041 m η = 0.2	η < 0.1	η < 0.1	x: 0 m η = 22.2	η < 0.1	η = 0.2	η < 0.1	x: 1.041 m η = 0.2	CUMPLE h = 22.2
N256/N520	$\bar{\lambda}$ < 2.0 Cumple	$\lambda_w \leq \lambda_{w,max}$ Cumple	η = 2.1	x: 0 m η = 10.3	x: 0.04 m η = 0.1	x: 0.04 m η = 5.9	η = 0.3	x: 0.04 m η = 0.3	η < 0.1	η < 0.1	x: 0.04 m η = 16.3	η < 0.1	η = 5.6	η = 0.3	x: 0.04 m η = 0.3	CUMPLE h = 16.3
N520/N257	$\bar{\lambda}$ < 2.0 Cumple	$\lambda_w \leq \lambda_{w,max}$ Cumple	x: 0.932 m η = 2.1	x: 0 m η = 10.2	x: 0 m η = 0.1	x: 0 m η = 6.4	η < 0.1	x: 0.932 m η = 0.5	η < 0.1	η < 0.1	x: 0 m η = 16.6	η < 0.1	η = 0.7	η < 0.1	x: 0.932 m η = 0.5	CUMPLE h = 16.6
N257/N258	$\bar{\lambda}$ < 2.0 Cumple	$\lambda_w \leq \lambda_{w,max}$ Cumple	x: 1.183 m η = 0.8	x: 0 m η = 3.9	x: 0 m η = 0.1	x: 0 m η = 4.0	η = 0.1	x: 1.183 m η = 0.7	η < 0.1	η < 0.1	x: 0 m η = 8.0	η < 0.1	η = 0.5	η = 0.1	x: 1.183 m η = 0.7	CUMPLE h = 8.0
N262/N266	$\bar{\lambda}$ < 2.0 Cumple	$\lambda_w \leq \lambda_{w,max}$ Cumple	x: 2.899 m η = 3.0	x: 0 m η = 16.6	x: 2.899 m η = 0.2	x: 2.899 m η = 11.9	η = 0.1	x: 0 m η = 1.0	η < 0.1	η < 0.1	x: 2.899 m η = 29.3	η < 0.1	η < 0.1	η = 0.1	x: 0 m η = 1.0	CUMPLE h = 29.3
N266/N285	$\bar{\lambda}$ < 2.0 Cumple	$\lambda_w \leq \lambda_{w,max}$ Cumple	x: 2.728 m η = 3.8	x: 0 m η = 23.6	x: 0 m η = 0.3	x: 2.728 m η = 4.1	η = 0.1	x: 0 m η = 0.4	η < 0.1	η < 0.1	x: 2.728 m η = 28.0	η < 0.1	η = 0.1	η = 0.1	x: 0 m η = 0.4	CUMPLE h = 28.0
N285/N286	$\bar{\lambda}$ < 2.0 Cumple	$\lambda_w \leq \lambda_{w,max}$ Cumple	x: 2.529 m η = 4.3	x: 0 m η = 28.1	x: 2.529 m η = 0.4	x: 1.264 m η = 4.3	η = 0.1	x: 0 m η = 0.1	η < 0.1	η < 0.1	x: 1.475 m η = 32.7	η < 0.1	η = 0.1	η = 0.1	x: 0 m η = 0.1	CUMPLE h = 32.7
N286/N609	$\bar{\lambda}$ < 2.0 Cumple	$\lambda_w \leq \lambda_{w,max}$ Cumple	x: 2.115 m η = 4.7	x: 0 m η = 30.9	x: 0 m η = 0.4	x: 2.115 m η = 5.5	η = 0.1	x: 0 m η = 0.2	η < 0.1	η < 0.1	x: 2.115 m η = 36.6	η < 0.1	η = 0.1	η = 0.1	x: 0 m η = 0.2	CUMPLE h = 36.6
N609/N287	$\bar{\lambda}$ < 2.0 Cumple	$\lambda_w \leq \lambda_{w,max}$ Cumple	x: 0.247 m η = 4.7	x: 0 m η = 28.3	x: 0 m η = 0.1	x: 0 m η = 5.5	η = 0.1	x: 0.247 m η = 0.6	η < 0.1	η < 0.1	x: 0 m η = 33.8	η < 0.1	η = 1.8	η = 0.1	x: 0.247 m η = 0.6	CUMPLE h = 33.8
N287/N599	$\bar{\lambda}$ < 2.0 Cumple	$\lambda_w \leq \lambda_{w,max}$ Cumple	x: 1.868 m η = 4.9	x: 0 m η = 33.1	x: 1.868 m η = 0.1	x: 1.868 m η = 6.3	η < 0.1	x: 0 m η = 0.2	η < 0.1	η < 0.1	x: 1.868 m η = 39.6	η < 0.1	η = 0.3	η < 0.1	x: 0 m η = 0.2	CUMPLE h = 39.6
N599/N288	$\bar{\lambda}$ < 2.0 Cumple	$\lambda_w \leq \lambda_{w,max}$ Cumple	x: 0.339 m η = 4.9	x: 0 m η = 31.0	x: 0.339 m η = 0.2	x: 0 m η = 6.3	η < 0.1	x: 0.339 m η = 0.6	η < 0.1	η < 0.1	x: 0 m η = 37.5	η < 0.1	η = 1.0	η < 0.1	x: 0.339 m η = 0.6	CUMPLE h = 37.5
N288/N589	$\bar{\lambda}$ < 2.0 Cumple	$\lambda_w \leq \lambda_{w,max}$ Cumple	x: 1.776 m η = 5.6	x: 0 m η = 34.9	x: 0 m η = 0.1	x: 1.776 m η = 6.9	η < 0.1	x: 0 m η = 0.2	η < 0.1	η < 0.1	x: 1.776 m η = 41.9	η < 0.1	η = 0.2	η < 0.1	x: 0 m η = 0.2	CUMPLE h = 41.9
N589/N289	$\bar{\lambda}$ < 2.0 Cumple	$\lambda_w \leq \lambda_{w,max}$ Cumple	x: 0.285 m η = 5.6	x: 0 m η = 33.0	x: 0.285 m η = 0.1	x: 0 m η = 6.9	η < 0.1	x: 0.285 m η = 0.6	η < 0.1	η < 0.1	x: 0 m η = 40.1	η < 0.1	η = 0.7	η < 0.1	x: 0.285 m η = 0.6	CUMPLE h = 40.1
N289/N579	$\bar{\lambda}$ < 2.0 Cumple	$\lambda_w \leq \lambda_{w,max}$ Cumple	x: 1.83 m η = 6.1	x: 0 m η = 36.4	x: 0 m η = 0.1	x: 1.83 m η = 7.4	η < 0.1	x: 0 m η = 0.2	η < 0.1	η < 0.1	x: 1.83 m η = 43.9	η < 0.1	η = 0.1	η < 0.1	x: 0 m η = 0.2	CUMPLE h = 43.9
N579/N290	$\bar{\lambda}$ < 2.0 Cumple	$\lambda_w \leq \lambda_{w,max}$ Cumple	x: 0.095 m η = 6.1	x: 0 m η = 34.3	η = 0.1	x: 0 m η = 7.4	η < 0.1	x: 0.095 m η = 0.6	η < 0.1	η < 0.1	x: 0 m η = 41.7	η < 0.1	η = 0.7	η < 0.1	x: 0.095 m η = 0.6	CUMPLE h = 41.7
N290/N291	$\bar{\lambda}$ < 2.0 Cumple	$\lambda_w \leq \lambda_{w,max}$ Cumple	x: 1.818 m η = 6.4	x: 0 m η = 37.1	x: 0 m η = 0.1	x: 0.364 m η = 6.8	η < 0.1	x: 1.818 m η = 0.1	η < 0.1	η < 0.1	x: 0.364 m η = 44.0	η < 0.1	η < 0.1	η < 0.1	x: 1.818 m η = 0.1	CUMPLE h = 44.0
N291/N569	$\bar{\lambda}$ < 2.0 Cumple	$\lambda_w \leq \lambda_{w,max}$ Cumple	x: 0.202 m η = 6.5	x: 0 m η = 34.6	x: 0 m η < 0.1	x: 0.202 m η = 7.9	η < 0.1	x: 0 m η = 1.1	η < 0.1	η < 0.1	x: 0.202 m η = 42.5	η < 0.1	η = 0.3	η < 0.1	x: 0 m η = 1.1	CUMPLE h = 42.5
N569/N292	$\bar{\lambda}$ < 2.0 Cumple	$\lambda_w \leq \lambda_{w,max}$ Cumple	x: 1.478 m η = 6.5	x: 0 m η = 35.5	x: 0 m η = 0.1	x: 1.478 m η = 13.1	η < 0.1	x: 0 m η = 0.4	η < 0.1	η < 0.1	x: 1.478 m η = 48.2	η < 0.1	η < 0.1	η < 0.1	x: 0 m η = 0.4	CUMPLE h = 48.2
N292/N559	$\bar{\lambda}$ < 2.0 Cumple	$\lambda_w \leq \lambda_{w,max}$ Cumple	x: 0.637 m η = 6.6	x: 0 m η = 34.2	x: 0.637 m η = 0.1	x: 0 m η = 13.4	η < 0.1	x: 0.637 m η = 0.6	η < 0.1	η < 0.1	x: 0 m η = 47.7	η < 0.1	η = 0.1	η < 0.1	x: 0.637 m η = 0.6	CUMPLE h = 47.7
N559/N293	$\bar{\lambda}$ < 2.0 Cumple	$\lambda_w \leq \lambda_{w,max}$ Cumple	x: 0.942 m η = 6.6	x: 0 m η = 34.2	x: 0 m η = 0.1	x: 0 m η = 10.3	η < 0.1	x: 0.942 m η = 1.2	η < 0.1	η < 0.1	x: 0 m η = 44.6	η < 0.1	η = 0.1	η < 0.1	x: 0.942 m η = 1.2	CUMPLE h = 44.6
N293/N549	$\bar{\lambda}$ < 2.0 Cumple	$\lambda_w \leq \lambda_{w,max}$ Cumple	x: 1.173 m η = 6.4	x: 0 m η = 33.1	x: 0 m η = 0.1	x: 1.173 m η = 8.7	η < 0.1	x: 0 m η = 0.8	η < 0.1	η < 0.1	x: 1.173 m η = 41.8	η < 0.1	η < 0.1	η < 0.1	x: 0 m η = 0.8	CUMPLE h = 41.8
N549/N294	$\bar{\lambda}$ < 2.0 Cumple	$\lambda_w \leq \lambda_{w,max}$ Cumple	x: 0.277 m η = 6.4	x: 0 m η = 33.0	x: 0 m η = 0.1	x: 0.277 m η = 9.1	η < 0.1	x: 0 m η = 0.4	η < 0.1	η < 0.1	x: 0.277 m η = 42.1	η < 0.1	η = 0.2	η < 0.1	x: 0 m η = 0.4	CUMPLE h = 42.1
N294/N295	$\bar{\lambda}$ < 2.0 Cumple	$\lambda_w \leq \lambda_{w,max}$ Cumple	x: 1.369 m η = 6.1	x: 0 m η = 31.2	x: 0 m η = 0.1	x: 0 m η = 9.4	η < 0.1	x: 1.369 m η = 0.2	η < 0.1	η < 0.1	x: 0 m η = 40.2	η < 0.1	η < 0.1	η < 0.1	x: 1.369 m η = 0.2	CUMPLE h = 40.2
N295/N539	$\bar{\lambda}$ < 2.0 Cumple	$\lambda_w \leq \lambda_{w,max}$ Cumple	x: 0.469 m η = 5.6	x: 0 m η = 27.9	x: 0.469 m η = 0.1	x: 0.469 m η = 9.4	η < 0.1	x: 0 m η = 0.5	η < 0.1	η < 0.1	x: 0.469 m η = 37.4	η < 0.1	η = 0.2	η < 0.1	x: 0 m η = 0.5	CUMPLE h = 37.4
N539/N296	$\bar{\lambda}$ < 2.0 Cumple	$\lambda_w \leq \lambda_{w,max}$ Cumple	x: 0.81 m η = 5.6	x: 0 m η = 27.9	x: 0 m η = 0.1	x: 0 m η = 9.4	η = 0.1	x: 0.81 m η = 0.4	η < 0.1	η < 0.1	x: 0 m η = 37.4	η < 0.1	η = 0.1	η = 0.1	x: 0.81 m η = 0.4	CUMPLE h = 37.4
N296/N297	$\bar{\lambda}$ < 2.0 Cumple	$\lambda_w \leq \lambda_{w,max}$ Cumple	x: 1.205 m η = 5.0	x: 0 m η = 24.6	x: 1.205 m η = 0.2	x: 0 m η = 7.6	η < 0.1	x: 1.205 m η = 0.1	η < 0.1	η < 0.1	x: 0 m η = 32.3	η < 0.1	M_{tz} = 0.00 N.P.[1]	N.P.[2]	N.P.[2]	CUMPLE h = 32.3
N297/N529	$\bar{\lambda}$ < 2.0 Cumple	$\lambda_w \leq \lambda_{w,max}$ Cumple	x: 0.1 m η = 4.1	x: 0 m η = 20.5	x: 0.1 m η = 0.2	x: 0.1 m η = 8.1	η = 0.1	x: 0 m η = 0.4	η < 0.1	η < 0.1	x: 0.1 m η = 28.8	η < 0.1	η = 0.8	η = 0.1	x: 0 m η = 0.4	CUMPLE h = 28.8
N529/N298	$\bar{\lambda}$ < 2.0 Cumple	$\lambda_w \leq \lambda_{w,max}$ Cumple	x: 1.034 m η = 4.2	x: 0 m η = 20.4	x: 1.034 m η = 0.4	x: 0 m η = 8.1	η = 0.2	x: 1.034 m η = 0.3	η < 0.1	η < 0.1	x: 0 m η = 28.7	η < 0.1	η = 0.1	η = 0.2	x: 1.034 m η = 0.3	CUMPLE h = 28.7
N298/N299	$\bar{\lambda}$ < 2.0 Cumple	$\lambda_w \leq \lambda_{w,max}$ Cumple	x: 1.041 m η = 3.2	x: 0 m η = 15.7	x: 1.041 m η = 0.8	x: 0 m η = 6.5	η = 0.3	x: 1.041 m η = 0.2	η < 0.1	η < 0.1	x: 0 m η = 22.3	η < 0.1	η = 0.2	η = 0.3	x: 1.041 m η = 0.2	CUMPLE h = 22.3
N299/N519	$\bar{\lambda}$ < 2.0 Cumple	$\lambda_w \leq \lambda_{w,max}$ Cumple	η = 2.1	x: 0 m η = 10.3	x: 0.04 m η = 0.9	x: 0.04 m η = 5.9	η = 0.3	x: 0.04 m η = 0.3	η < 0.1	η < 0.1	x: 0.04 m η = 16.5	η < 0.1	η = 5.2	η = 0.3	x: 0.04 m η = 0.3	CUMPLE h = 16.5
N519/N300	$\bar{\lambda}$ < 2.0 Cumple	$\lambda_w \leq \lambda_{w,max}$ Cumple	x: 0.932 m η = 2.1	x: 0 m η = 10.2	x: 0 m η = 0.8	x: 0 m η = 6.4	η = 0.2	x: 0.932 m η = 0.5	η < 0.1	η < 0.1	x: 0 m η = 16.9	η < 0.1	η = 0.7	η = 0.2	x: 0.932 m η = 0.5	CUMPLE h = 16.9
N300/N301	$\bar{\lambda}$ < 2.0 Cumple	$\lambda_w \leq \lambda_{w,max}$ Cumple	x: 1.183 m η = 0.8	x: 0 m η = 4.0	x: 0 m η = 0.5	x: 0 m η = 4.0	η = 0.3	x: 1.183 m η = 0.7	η < 0.1	η < 0.1	x: 0 m η = 8.2	η < 0.1	η = 0.5	η = 0.3	x: 1.183 m η = 0.7	CUMPLE h = 8.2

AJUNTAMENT D'OLERDOLA
Aquest document és una còpia simple del document electrònic original.

Codi Segur de Verificació:
62ffb294-fe9f-412a-95ff-e789b2359074
Origen: Administració
Identificador document: ES_L01081000_2026_28828185
Data d'impressió: 03/11/2026 13:44:57
Pàgina 190 de 247

SIGNATURES
1.- ESTEVE AYMERICH (R: J62755897), 27/07/2026 11:04

Listados

Cobriment de pista a Sant Pere Molanta (Olèrdola)

Fecha: 10/03/26

Barras	COMPROBACIONES (CTE DB SE-A)															Estado
	$\bar{\lambda}$	λ_w	N_t	N_c	M_y	M_z	V_z	V_y	$M_t V_z$	$M_z V_y$	NM_yM_z	$NM_yM_zV_yV_z$	M_t	M_yV_z	M_zV_y	
N305/N309	$\bar{\lambda}$ < 2.0 Cumple	$\lambda_w \leq \lambda_{w,max}$ Cumple	x: 2.899 m η = 2.7	x: 0 m η = 16.3	x: 2.899 m η = 0.3	x: 2.899 m η = 11.6	η = 0.1	x: 0 m η = 1.0	η < 0.1	η < 0.1	x: 2.899 m η = 28.7	η < 0.1	η < 0.1	η = 0.1	x: 0 m η = 1.0	CUMPLE h = 28.7
N309/N328	$\bar{\lambda}$ < 2.0 Cumple	$\lambda_w \leq \lambda_{w,max}$ Cumple	x: 2.728 m η = 3.5	x: 0 m η = 23.3	x: 0 m η = 0.3	x: 2.728 m η = 4.1	η = 0.1	x: 0 m η = 0.4	η < 0.1	η < 0.1	x: 2.728 m η = 27.7	η < 0.1	η = 0.1	η = 0.1	x: 0 m η = 0.4	CUMPLE h = 27.7
N328/N329	$\bar{\lambda}$ < 2.0 Cumple	$\lambda_w \leq \lambda_{w,max}$ Cumple	x: 2.529 m η = 4.0	x: 0 m η = 27.9	x: 2.529 m η = 0.5	x: 1.264 m η = 4.3	η = 0.1	x: 0 m η = 0.1	η < 0.1	η < 0.1	x: 1.475 m η = 32.5	η < 0.1	η = 0.2	η = 0.1	x: 0 m η = 0.1	CUMPLE h = 32.5
N329/N608	$\bar{\lambda}$ < 2.0 Cumple	$\lambda_w \leq \lambda_{w,max}$ Cumple	x: 2.115 m η = 4.4	x: 0 m η = 30.7	x: 0 m η = 0.4	x: 2.115 m η = 5.4	η = 0.1	x: 0 m η = 0.2	η < 0.1	η < 0.1	x: 2.115 m η = 36.4	η < 0.1	η = 0.1	η = 0.1	x: 0 m η = 0.2	CUMPLE h = 36.4
N608/N330	$\bar{\lambda}$ < 2.0 Cumple	$\lambda_w \leq \lambda_{w,max}$ Cumple	x: 0.247 m η = 4.4	x: 0 m η = 28.1	x: 0.247 m η = 0.2	x: 0 m η = 5.4	η = 0.1	x: 0.247 m η = 0.6	η < 0.1	η < 0.1	x: 0 m η = 33.7	η < 0.1	η = 2.2	η = 0.1	x: 0.247 m η = 0.6	CUMPLE h = 33.7
N330/N598	$\bar{\lambda}$ < 2.0 Cumple	$\lambda_w \leq \lambda_{w,max}$ Cumple	x: 1.868 m η = 4.8	x: 0 m η = 32.9	x: 0 m η = 0.2	x: 1.868 m η = 6.3	η < 0.1	x: 0 m η = 0.2	η < 0.1	η < 0.1	x: 1.868 m η = 39.4	η < 0.1	η = 0.3	η < 0.1	x: 0 m η = 0.2	CUMPLE h = 39.4
N598/N331	$\bar{\lambda}$ < 2.0 Cumple	$\lambda_w \leq \lambda_{w,max}$ Cumple	x: 0.339 m η = 4.8	x: 0 m η = 30.8	x: 0.339 m η = 0.2	x: 0 m η = 6.3	η < 0.1	x: 0.339 m η = 0.6	η < 0.1	η < 0.1	x: 0 m η = 37.4	η < 0.1	η = 1.3	η < 0.1	x: 0.339 m η = 0.6	CUMPLE h = 37.4
N331/N588	$\bar{\lambda}$ < 2.0 Cumple	$\lambda_w \leq \lambda_{w,max}$ Cumple	x: 1.776 m η = 5.4	x: 0 m η = 34.7	x: 0 m η = 0.2	x: 1.776 m η = 6.9	η < 0.1	x: 0 m η = 0.2	η < 0.1	η < 0.1	x: 1.776 m η = 41.7	η < 0.1	η = 0.3	η < 0.1	x: 0 m η = 0.2	CUMPLE h = 41.7
N588/N332	$\bar{\lambda}$ < 2.0 Cumple	$\lambda_w \leq \lambda_{w,max}$ Cumple	x: 0.285 m η = 5.4	x: 0 m η = 32.9	x: 0.285 m η = 0.2	x: 0 m η = 6.9	η < 0.1	x: 0.285 m η = 0.6	η < 0.1	η < 0.1	x: 0 m η = 39.9	η < 0.1	η = 1.0	η < 0.1	x: 0.285 m η = 0.6	CUMPLE h = 39.9
N332/N578	$\bar{\lambda}$ < 2.0 Cumple	$\lambda_w \leq \lambda_{w,max}$ Cumple	x: 1.83 m η = 5.9	x: 0 m η = 36.3	x: 0 m η = 0.1	x: 1.83 m η = 7.3	η < 0.1	x: 0 m η = 0.2	η < 0.1	η < 0.1	x: 1.83 m η = 43.7	η < 0.1	η = 0.2	η < 0.1	x: 0 m η = 0.2	CUMPLE h = 43.7
N578/N333	$\bar{\lambda}$ < 2.0 Cumple	$\lambda_w \leq \lambda_{w,max}$ Cumple	x: 0.095 m η = 5.9	x: 0 m η = 34.2	x: 0 m η = 0.1	x: 0 m η = 7.3	η < 0.1	x: 0.095 m η = 0.6	η < 0.1	η < 0.1	x: 0 m η = 41.6	η < 0.1	η = 1.2	η < 0.1	x: 0.095 m η = 0.6	CUMPLE h = 41.6
N333/N334	$\bar{\lambda}$ < 2.0 Cumple	$\lambda_w \leq \lambda_{w,max}$ Cumple	x: 1.818 m η = 6.3	x: 0 m η = 37.0	x: 0 m η = 0.1	x: 0.364 m η = 6.8	η < 0.1	x: 1.818 m η = 0.1	η < 0.1	η < 0.1	x: 0.364 m η = 43.9	η < 0.1	η < 0.1	η < 0.1	x: 1.818 m η = 0.1	CUMPLE h = 43.9
N334/N568	$\bar{\lambda}$ < 2.0 Cumple	$\lambda_w \leq \lambda_{w,max}$ Cumple	x: 0.202 m η = 6.4	x: 0 m η = 34.5	x: 0 m η < 0.1	x: 0.202 m η = 7.9	η < 0.1	x: 0 m η = 1.1	η < 0.1	η < 0.1	x: 0.202 m η = 42.4	η < 0.1	η = 0.7	η < 0.1	x: 0 m η = 1.1	CUMPLE h = 42.4
N568/N335	$\bar{\lambda}$ < 2.0 Cumple	$\lambda_w \leq \lambda_{w,max}$ Cumple	x: 1.478 m η = 6.4	x: 0 m η = 35.4	x: 0 m η = 0.1	x: 1.478 m η = 13.0	η < 0.1	x: 0 m η = 0.4	η < 0.1	η < 0.1	x: 1.478 m η = 48.1	η < 0.1	η = 0.1	η < 0.1	x: 0 m η = 0.4	CUMPLE h = 48.1
N335/N558	$\bar{\lambda}$ < 2.0 Cumple	$\lambda_w \leq \lambda_{w,max}$ Cumple	x: 0.637 m η = 6.5	x: 0 m η = 34.2	x: 0 m η < 0.1	x: 0 m η = 13.3	η < 0.1	x: 0.637 m η = 0.5	η < 0.1	η < 0.1	x: 0 m η = 47.5	η < 0.1	η = 0.2	η < 0.1	x: 0.637 m η = 0.5	CUMPLE h = 47.5
N558/N336	$\bar{\lambda}$ < 2.0 Cumple	$\lambda_w \leq \lambda_{w,max}$ Cumple	x: 0.942 m η = 6.5	x: 0 m η = 34.2	x: 0 m η = 0.1	x: 0 m η = 10.3	η < 0.1	x: 0.942 m η = 1.2	η < 0.1	η < 0.1	x: 0 m η = 44.5	η < 0.1	η = 0.1	η < 0.1	x: 0.942 m η = 1.2	CUMPLE h = 44.5
N336/N548	$\bar{\lambda}$ < 2.0 Cumple	$\lambda_w \leq \lambda_{w,max}$ Cumple	x: 1.173 m η = 6.3	x: 0 m η = 33.0	x: 0 m η = 0.1	x: 1.173 m η = 8.7	η < 0.1	x: 0 m η = 0.8	η < 0.1	η < 0.1	x: 1.173 m η = 41.7	η < 0.1	η = 0.1	η < 0.1	x: 0 m η = 0.8	CUMPLE h = 41.7
N548/N337	$\bar{\lambda}$ < 2.0 Cumple	$\lambda_w \leq \lambda_{w,max}$ Cumple	x: 0.277 m η = 6.3	x: 0 m η = 33.0	x: 0 m η = 0.1	x: 0.277 m η = 9.0	η < 0.1	x: 0 m η = 0.4	η < 0.1	η < 0.1	x: 0.277 m η = 42.0	η < 0.1	η = 0.5	η < 0.1	x: 0 m η = 0.4	CUMPLE h = 42.0
N337/N338	$\bar{\lambda}$ < 2.0 Cumple	$\lambda_w \leq \lambda_{w,max}$ Cumple	x: 1.369 m η = 6.0	x: 0 m η = 31.1	x: 0 m η = 0.1	x: 0 m η = 9.3	η < 0.1	x: 1.369 m η = 0.2	η < 0.1	η < 0.1	x: 0 m η = 40.1	η < 0.1	η = 0.1	η < 0.1	x: 1.369 m η = 0.2	CUMPLE h = 40.1
N338/N539	$\bar{\lambda}$ < 2.0 Cumple	$\lambda_w \leq \lambda_{w,max}$ Cumple	x: 0.469 m η = 5.5	x: 0 m η = 27.9	x: 0.469 m η = 0.1	x: 0.469 m η = 9.4	η < 0.1	x: 0 m η = 0.5	η < 0.1	η < 0.1	x: 0.469 m η = 37.4	η < 0.1	η = 0.3	η < 0.1	x: 0 m η = 0.5	CUMPLE h = 37.4
N538/N339	$\bar{\lambda}$ < 2.0 Cumple	$\lambda_w \leq \lambda_{w,max}$ Cumple	x: 0.81 m η = 5.5	x: 0 m η = 27.9	x: 0 m η = 0.2	x: 0 m η = 9.4	η < 0.1	x: 0.81 m η = 0.4	η < 0.1	η < 0.1	x: 0 m η = 37.3	η < 0.1	η = 0.2	η < 0.1	x: 0.81 m η = 0.4	CUMPLE h = 37.3
N339/N340	$\bar{\lambda}$ < 2.0 Cumple	$\lambda_w \leq \lambda_{w,max}$ Cumple	x: 1.205 m η = 4.9	x: 0 m η = 24.6	x: 1.205 m η = 0.1	x: 0 m η = 7.6	η < 0.1	x: 1.205 m η = 0.1	η < 0.1	η < 0.1	x: 0 m η = 32.2	η < 0.1	η < 0.1	η < 0.1	x: 1.205 m η = 0.1	CUMPLE h = 32.2
N340/N528	$\bar{\lambda}$ < 2.0 Cumple	$\lambda_w \leq \lambda_{w,max}$ Cumple	x: 0.1 m η = 4.1	x: 0 m η = 20.5	x: 0.1 m η = 0.1	x: 0.1 m η = 8.1	η = 0.1	x: 0 m η = 0.4	η < 0.1	η < 0.1	x: 0.1 m η = 28.7	η < 0.1	η = 0.8	η = 0.1	x: 0 m η = 0.4	CUMPLE h = 28.7
N528/N341	$\bar{\lambda}$ < 2.0 Cumple	$\lambda_w \leq \lambda_{w,max}$ Cumple	x: 1.034 m η = 4.1	x: 0 m η = 20.4	x: 1.034 m η = 0.6	x: 0 m η = 8.1	η = 0.5	x: 1.034 m η = 0.3	η < 0.1	η < 0.1	x: 0 m η = 28.6	η < 0.1	η = 0.2	η = 0.5	x: 1.034 m η = 0.3	CUMPLE h = 28.6
N341/N342	$\bar{\lambda}$ < 2.0 Cumple	$\lambda_w \leq \lambda_{w,max}$ Cumple	x: 1.041 m η = 3.2	x: 0 m η = 15.7	x: 1.041 m η = 1.4	x: 0 m η = 6.5	η = 0.5	x: 1.041 m η = 0.2	η < 0.1	η < 0.1	x: 0 m η = 22.5	η < 0.1	η = 0.3	η = 0.5	x: 1.041 m η = 0.2	CUMPLE h = 22.5
N342/N518	$\bar{\lambda}$ < 2.0 Cumple	$\lambda_w \leq \lambda_{w,max}$ Cumple	η = 2.1	x: 0 m η = 10.3	x: 0.04 m η = 1.5	x: 0.04 m η = 5.9	η = 0.5	x: 0.04 m η = 0.3	η < 0.1	η < 0.1	x: 0.04 m η = 16.9	η < 0.1	η = 4.9	η = 0.5	x: 0.04 m η = 0.3	CUMPLE h = 16.9
N518/N343	$\bar{\lambda}$ < 2.0 Cumple	$\lambda_w \leq \lambda_{w,max}$ Cumple	x: 0.932 m η = 2.2	x: 0 m η = 10.3	x: 0 m η = 1.4	x: 0 m η = 6.4	η = 0.4	x: 0.932 m η = 0.5	η < 0.1	η < 0.1	x: 0 m η = 17.4	η < 0.1	η = 0.6	η = 0.4	x: 0.932 m η = 0.5	CUMPLE h = 17.4
N343/N344	$\bar{\lambda}$ < 2.0 Cumple	$\lambda_w \leq \lambda_{w,max}$ Cumple	x: 1.183 m η = 0.9	x: 0 m η = 4.1	x: 0 m η = 0.8	x: 0 m η = 4.0	η = 0.4	x: 1.183 m η = 0.7	η < 0.1	η < 0.1	x: 0 m η = 8.5	η < 0.1	η = 0.5	η = 0.4	x: 1.183 m η = 0.7	CUMPLE h = 8.5
N348/N352	$\bar{\lambda}$ < 2.0 Cumple	$\lambda_w \leq \lambda_{w,max}$ Cumple	x: 2.899 m η = 2.3	x: 0 m η = 15.5	x: 2.899 m η = 0.2	x: 2.899 m η = 10.9	η < 0.1	x: 0 m η = 0.9	η < 0.1	η < 0.1	x: 2.899 m η = 27.1	η < 0.1	η < 0.1	η < 0.1	x: 0 m η = 0.9	CUMPLE h = 27.1
N352/N371	$\bar{\lambda}$ < 2.0 Cumple	$\lambda_w \leq \lambda_{w,max}$ Cumple	x: 2.728 m η = 3.0	x: 0 m η = 22.7	x: 0 m η = 0.2	x: 2.728 m η = 4.1	η = 0.1	x: 0 m η = 0.4	η < 0.1	η < 0.1	x: 2.728 m η = 27.2	η < 0.1	η = 0.1	η = 0.1	x: 0 m η = 0.4	CUMPLE h = 27.2
N371/N372	$\bar{\lambda}$ < 2.0 Cumple	$\lambda_w \leq \lambda_{w,max}$ Cumple	x: 2.529 m η = 3.6	x: 0 m η = 27.6	x: 2.529 m η = 0.4	x: 1.264 m η = 4.2	η = 0.1	x: 0 m η = 0.1	η < 0.1	η < 0.1	x: 1.264 m η = 32.2	η < 0.1	η = 0.1	η = 0.1	x: 0 m η = 0.1	CUMPLE h = 32.2
N372/N607	$\bar{\lambda}$ < 2.0 Cumple	$\lambda_w \leq \lambda_{w,max}$ Cumple	x: 2.115 m η = 3.9	x: 0 m η = 30.8	x: 0 m η = 0.4	x: 2.115 m η = 5.7	η = 0.1	x: 0 m η = 0.2	η < 0.1	η < 0.1	x: 2.115 m η = 36.8	η < 0.1	η = 0.4	η = 0.1	x: 0 m η = 0.2	CUMPLE h = 36.8
N607/N373	$\bar{\lambda}$ < 2.0 Cumple	$\lambda_w \leq \lambda_{w,max}$ Cumple	x: 0.247 m η = 3.9	x: 0 m η = 28.1	x: 0.247 m η = 0.3	x: 0 m η = 5.2	η = 0.1	x: 0.247 m η = 0.6	η < 0.1	η < 0.1	x: 0 m η = 33.6	η < 0.1	η = 1.8	η = 0.1	x: 0.247 m η = 0.6	CUMPLE h = 33.6
N373/N597	$\bar{\lambda}$ < 2.0 Cumple	$\lambda_w \leq \lambda_{w,max}$ Cumple	x: 1.868 m η = 4.3	x: 0 m η = 33.1	x: 0 m η = 0.3	x: 1.868 m η = 6.7	η = 0.1	x: 0 m η = 0.3	η < 0.1	η < 0.1	x: 1.868 m η = 40.0	η < 0.1	η = 0.4	η = 0.1	x: 0 m η = 0.3	CUMPLE h = 40.0
N597/N374	$\bar{\lambda}$ < 2.0 Cumple	$\lambda_w \leq \lambda_{w,max}$ Cumple	x: 0.339 m η = 4.2	x: 0 m η = 30.9	x: 0.339 m η = 0.3	x: 0 m η = 6.1	η < 0.1	x: 0.339 m η = 0.6	η < 0.1	η < 0.1	x: 0 m η = 37.3	η < 0.1	η = 1.5	η < 0.1	x: 0.339 m η = 0.6	CUMPLE h = 37.3
N374/N587	$\bar{\lambda}$ < 2.0 Cumple	$\lambda_w \leq \lambda_{w,max}$ Cumple	x: 1.776 m η = 4.9	x: 0 m η = 35.0	x: 0 m η = 0.2	x: 1.776 m η = 7.3	η < 0.1	x: 0 m η = 0.3	η < 0.1	η < 0.1	x: 1.776 m η = 42.4	η < 0.1	η = 0.3	η < 0.1	x: 0 m η = 0.3	CUMPLE h = 42.4
N587/N375	$\bar{\lambda}$ < 2.0 Cumple	$\lambda_w \leq \lambda_{w,max}$ Cumple	x: 0.285 m η = 4.8	x: 0 m η = 33.0	x: 0.285 m η = 0.2	x: 0 m η = 6.7	η < 0.1	x: 0.285 m η = 0.6	η < 0.1	η < 0.1	x: 0 m η = 40.0	η < 0.1	η = 1.1	η < 0.1	x: 0.285 m η = 0.6	CUMPLE h = 40.0
N375/N577	$\bar{\lambda}$ < 2.0 Cumple	$\lambda_w \leq \lambda_{w,max}$ Cumple	x: 1.83 m η = 5.4	x: 0 m η = 36.7	x: 0 m η = 0.2	x: 1.83 m η = 7.7	η < 0.1	x: 0 m η = 0.2	η < 0.1	η < 0.1	x: 1.83 m η = 44.5	η < 0.1	η = 0.2	η < 0.1	x: 0 m η = 0.2	CUMPLE h = 44.5
N577/N376	$\bar{\lambda}$ < 2.0 Cumple	$\lambda_w \leq \lambda_{w,max}$ Cumple	x: 0.095 m η = 5.3	x: 0 m η = 34.4	x: 0 m η = 0.2	x: 0 m η = 7.1	η < 0.1	x: 0.095 m η = 0.6	η < 0.1	η < 0.1	x: 0 m η = 41.7	η < 0.1	η = 1.6	η < 0.1	x: 0.095 m η = 0.6	CUMPLE h = 41.7
N376/N377	$\bar{\lambda}$ < 2.0 Cumple	$\lambda_w \leq \lambda_{w,max}$ Cumple	x: 1.818 m η = 5.7	x: 0 m η = 37.4	x: 0 m η = 0.1	x: 0.909 m η = 6.8	η < 0.1	x: 1.818 m η = 0.1	η < 0.1	η < 0.1	x: 0.727 m η = 44.3	η < 0.1	η < 0.1	η < 0.1	x: 1.818 m η = 0.1	CUMPLE h = 44.3
N377/N567	$\bar{\lambda}$ < 2.0 Cumple	$\lambda_w \leq \lambda_{w,max}$ Cumple	x: 0.202 m η = 5.9	x: 0 m η = 35.1	x: 0 m η < 0.1	x: 0.202 m η = 8.3	η < 0.1	x: 0 m η = 1.1	η < 0.1	η < 0.1	x: 0.202 m η = 43.4	η < 0.1	η = 1.2	η < 0.1	x: 0 m η = 1.1	CUMPLE h = 43.4
N567/N378	$\bar{\lambda}$ < 2.0 Cumple	$\lambda_w \leq \lambda_{w,max}$ Cumple	x: 1.478 m η = 5.8	x: 0 m η = 35.9	x: 0 m η = 0.1	x: 1.478 m η = 12.5	η < 0.1	x: 0 m η = 0.4	η < 0.1	η < 0.1	x: 1.478 m η = 48.0	η < 0.1	η = 0.2	η < 0.1	x: 0 m η = 0.4	CUMPLE h = 48.0
N378/N557	$\bar{\lambda}$ < 2.0 Cumple	$\lambda_w \leq \lambda_{w,max}$ Cumple	x: 0.637 m η = 5.9	x: 0 m η = 34.7	x: 0 m η = 0.1	x: 0 m η = 12.7	η < 0.1	x: 0.637 m η = 0.5	η < 0.1	η < 0.1	x: 0 m η = 47.5	η < 0.1	η = 0.4	η < 0.1	x: 0.637 m η = 0.5	CUMPLE h = 47.5
N557/N379	$\bar{\lambda}$ < 2.0 Cumple	$\lambda_w \leq \lambda_{w,max}$ Cumple	x: 0.942 m η = 5.8	x: 0 m η = 34.6	x: 0 m η = 0.1	x: 0 m η = 10.2	η < 0.1	x: 0.942 m η = 1.1	η < 0.1	η < 0.1	x: 0 m η = 44.9	η < 0.1	η = 0.3	η < 0.1	x: 0.942 m η = 1.1	CUMPLE h = 44.9
N379/N547	$\bar{\lambda}$ < 2.0 Cumple	$\lambda_w \leq \lambda_{w,max}$ Cumple	x: 1.173 m η = 5.7	x: 0 m η = 33.5	x: 0 m η = 0.1	x: 1.173 m η = 9.3	η < 0.1	x: 0 m η = 0.8	η < 0.1	η < 0.1	x: 1.173 m η = 42.8	η < 0.1	η = 0.2	η < 0.1	x: 0 m η = 0.8	CUMPLE h = 42.8
N547/N380	$\bar{\lambda}$ < 2.0 Cumple	$\lambda_w \leq \lambda_{w,max}$ Cumple	x: 0.277 m η = 5.7	x: 0 m η = 33.3	x: 0 m η = 0.1	x: 0.277 m η = 8.9	η < 0.1	x: 0 m η = 0.4	η < 0.1	η < 0.1	x: 0.277 m η = 42.2	η < 0.1	η = 1.1	η < 0.1	x: 0 m η = 0.4	CUMPLE h = 42.2
N380/N381	$\bar{\lambda}$ < 2.0 Cumple	$\lambda_w \leq \lambda_{w,max}$ Cumple	x: 1.369 m η = 5.4	x: 0 m η = 31.6	x: 0 m η = 0.1	x: 0 m η = 9.2	η < 0.1	x: 1.369 m η = 0.2	η < 0.1	η < 0.1	x: 0 m η = 40.4	η < 0.1	η = 0.1	η < 0.1	x: 1.369 m η = 0.2	CUMPLE h = 40.4
N381/N537	$\bar{\lambda}$ < 2.0 Cumple	$\lambda_w \leq \lambda_{w,max}$ Cumple	x: 0.469 m η = 5.0	x: 0 m η = 28.4	x: 0 m η = 0.1	x: 0.469 m η = 9.9	η < 0.1	x: 0 m η = 0.6	η < 0.1	η < 0.1	x: 0.469 m η = 38.3	η < 0.1	η = 0.7	η < 0.1	x: 0 m η = 0.6	CUMPLE h = 38.3
N537/N382	$\bar{\lambda}$ < 2.0 Cumple	$\lambda_w \leq \lambda_{w,max}$ Cumple	x: 0.81 m η = 5.0	x: 0 m η = 28.3	x: 0 m η = 0.1	x: 0 m η = 9.4	η < 0.1	x: 0.81 m η = 0.4	η < 0.1	η < 0.1	x: 0 m η = 37.8	η < 0.1	η = 0.5	η < 0.1	x: 0.81 m η = 0.4	CUMPLE h = 37.8
N382/N383	$\bar{\lambda}$ < 2.0 Cumple	$\lambda_w \leq \lambda_{w,max}$ Cumple	x: 1.205 m η = 4.4	x: 0 m η = 25.0	x: 1.205 m η = 0.1	x: 0.201 m η = 7.7	η < 0.1	x: 1.205 m η = 0.1	η < 0.1	η < 0.1	x: 0.201 m η = 32.7	η < 0.1	η = 0.1	η < 0.1	x: 1.205 m η = 0.1	CUMPLE h = 32.7
N383/N527	$\bar{\lambda}$ < 2.0 Cumple	$\lambda_w \leq \lambda_{w,max}$ Cumple	x: 0.1 m η = 3.7	x: 0 m η = 20.8	x: 0.1 m η = 0.1	x: 0.1 m η = 8.6	η = 0.1	x: 0 m η = 0.5	η < 0.1	η < 0.1	x: 0.1 m η = 29.4	η < 0.1	η = 2.4	η = 0.1	x: 0 m η = 0.5	CUMPLE h = 29.4
N527/N384	$\bar{\lambda}$ < 2.0 Cumple	$\lambda_w \leq \lambda_{w,max}$ Cumple	x: 1.034 m η = 3.7	x: 0 m η = 20.7	x: 1.034 m η = 0.5	x: 0 m η = 8.1	η = 0.4	x: 1.034 m η = 0.3	η < 0.1	η < 0.1	x: 0 m η = 28.8	η < 0.1	η = 0.4	η = 0.4	x: 1.034 m η = 0.3	CUMPLE h = 28.8
N384/N385	$\bar{\lambda}$ < 2.0 Cumple	$\lambda_w \leq \lambda_{w,max}$ Cumple	x: 1.041 m η = 2.8	x: 0 m η = 15.8	x: 1.041 m η = 1.2	x: 0 m η = 6.6	η = 0.4	x: 1.041 m η = 0.2	η < 0.1	η < 0.1	x: 0 m η = 22.8	η < 0.1	η < 0.1	η = 0.4	x: 1.041 m η = 0.2	CUMPLE h = 22.8
N385/N517	$\bar{\lambda}$ < 2.0 Cumple	$\lambda_w \leq \lambda_{w,max}$ Cumple	η = 1.8	x: 0 m η = 10.3	x: 0.04 m η = 1.2	x: 0.04 m η = 6.4	η = 0.4	x: 0 m η = 0.3	η < 0.1	η < 0.1	x: 0.04 m η = 17.5	η < 0.1	η = 1.8	η = 0.4	x: 0 m η = 0.3	CUMPLE h = 17.5
N517/N386	$\bar{\lambda}$ < 2.0 Cumple	$\lambda_w \leq \lambda_{w,max}$ Cumple	x: 0.932 m η = 1.9	x: 0 m η = 10.4	x: 0 m η = 1.1	x: 0 m η = 6.4	η = 0.3	x: 0.932 m η = 0.5	η < 0.1	η < 0.1	x: 0 m η = 17.5	η < 0.1	η = 0.3	η = 0.3	x: 0.932 m η = 0.5	CUMPLE h = 17.5

AJUNTAMENT D'OLERDOLA
Aquest document és una còpia simple del document electrònic original.

Codi Segur de Verificació:
62ffb294-fe9f-412a-95ff-e789b2359074
Origen: Administració
Identificador document: ES_L01081000_2026_28828185
Data d'impressió: 03/11/2026 13:44:57
Pàgina 191 de 247

SIGNATURES
1.- ESTEVE AYMERICH (R: J62755897), 27/07/2026 11:04

Listados

Cobriment de pista a Sant Pere Molanta (Olèrdola)

Fecha: 10/03/26

Barras	COMPROBACIONES (CTE DB SE-A)															Estado
	$\bar{\lambda}$	λ_w	N_t	N_c	M_y	M_z	V_z	V_y	$M_t V_z$	$M_z V_y$	NM_yM_z	$NM_yM_zV_yV_z$	M_t	$M_t V_z$	$M_t V_y$	
N386/N387	$\bar{\lambda}$ < 2.0 Cumple	$\lambda_w \leq \lambda_{w,max}$ Cumple	x: 1.183 m η = 0.7	x: 0 m η = 4.0	x: 0 m η = 0.7	x: 0 m η = 4.1	η = 0.4	x: 1.183 m η = 0.7	η < 0.1	η < 0.1	x: 0 m η = 8.4	η < 0.1	η = 0.4	η = 0.4	x: 1.183 m η = 0.7	CUMPLE h = 8.4
N390/N394	$\bar{\lambda}$ < 2.0 Cumple	$\lambda_w \leq \lambda_{w,max}$ Cumple	x: 2.976 m η = 3.2	x: 0 m η = 1.7	x: 2.976 m η = 0.6	x: 2.976 m η = 6.0	η = 0.1	x: 0 m η = 1.0	η < 0.1	η < 0.1	x: 2.976 m η = 9.4	η < 0.1	η = 0.3	η = 0.1	x: 0 m η = 1.0	CUMPLE h = 9.4
N394/N763	$\bar{\lambda}$ < 2.0 Cumple	$\lambda_w \leq \lambda_{w,max}$ Cumple	x: 0.1 m η = 20.3	x: 0 m η = 4.7	x: 0.1 m η = 1.6	x: 0.1 m η = 2.5	η = 0.4	x: 0 m η = 0.4	η < 0.1	η < 0.1	x: 0.1 m η = 24.4	η < 0.1	η = 4.2	η = 0.4	x: 0 m η = 0.4	CUMPLE h = 24.4
N763/N515	$\bar{\lambda}$ < 2.0 Cumple	$\lambda_w \leq \lambda_{w,max}$ Cumple	x: 1.855 m η = 20.3	x: 0 m η = 5.0	x: 0 m η = 1.6	x: 1.113 m η = 2.9	η = 0.3	x: 0 m η = 0.2	η < 0.1	η < 0.1	x: 0 m η = 24.4	η < 0.1	η = 3.7	η = 0.3	x: 0 m η = 0.2	CUMPLE h = 24.4
N515/N396	$\bar{\lambda}$ < 2.0 Cumple	$\lambda_w \leq \lambda_{w,max}$ Cumple	x: 0.845 m η = 20.3	x: 0 m η = 4.7	x: 0 m η = 0.5	x: 0 m η = 3.2	η = 0.1	x: 0.845 m η = 0.9	η < 0.1	η < 0.1	x: 0 m η = 23.6	η < 0.1	η = 1.7	η = 0.1	x: 0.845 m η = 0.9	CUMPLE h = 23.6
N396/N505	$\bar{\lambda}$ < 2.0 Cumple	$\lambda_w \leq \lambda_{w,max}$ Cumple	x: 1.11 m η = 24.6	x: 0 m η = 4.4	x: 0 m η = 0.3	x: 1.11 m η = 3.1	η = 0.1	x: 0 m η = 0.7	η < 0.1	η < 0.1	x: 1.11 m η = 27.7	η < 0.1	η = 2.4	η = 0.1	x: 0 m η = 0.7	CUMPLE h = 27.7
N505/N397	$\bar{\lambda}$ < 2.0 Cumple	$\lambda_w \leq \lambda_{w,max}$ Cumple	x: 1.486 m η = 24.6	x: 0 m η = 4.5	x: 0 m η = 0.1	x: 0 m η = 3.6	η = 0.1	x: 1.486 m η = 0.3	η < 0.1	η < 0.1	x: 0 m η = 28.3	η < 0.1	η = 0.4	η = 0.1	x: 1.486 m η = 0.3	CUMPLE h = 28.3
N397/N495	$\bar{\lambda}$ < 2.0 Cumple	$\lambda_w \leq \lambda_{w,max}$ Cumple	x: 0.469 m η = 28.2	x: 0 m η = 4.0	x: 0 m η = 0.3	x: 0.469 m η = 3.5	η = 0.3	x: 0 m η = 0.8	η < 0.1	η < 0.1	x: 0.469 m η = 31.9	η < 0.1	η = 1.9	η = 0.3	x: 0 m η = 0.8	CUMPLE h = 31.9
N495/N398	$\bar{\lambda}$ < 2.0 Cumple	$\lambda_w \leq \lambda_{w,max}$ Cumple	x: 1.955 m η = 28.2	x: 0 m η = 4.2	x: 1.955 m η = 2.9	x: 0.391 m η = 4.0	η = 0.4	x: 1.955 m η = 0.2	η < 0.1	η < 0.1	x: 1.955 m η = 34.3	η < 0.1	η = 0.3	η = 0.4	x: 1.955 m η = 0.2	CUMPLE h = 34.3
N398/N399	$\bar{\lambda}$ < 2.0 Cumple	$\lambda_w \leq \lambda_{w,max}$ Cumple	x: 2.265 m η = 31.0	x: 0 m η = 4.0	x: 0 m η = 3.0	x: 1.699 m η = 4.1	η = 0.5	x: 0 m η = 0.2	η < 0.1	η < 0.1	x: 0 m η = 37.1	η < 0.1	η = 0.5	η = 0.5	x: 0 m η = 0.2	CUMPLE h = 37.1
N399/N400	$\bar{\lambda}$ < 2.0 Cumple	$\lambda_w \leq \lambda_{w,max}$ Cumple	x: 2.116 m η = 33.0	x: 0 m η = 3.5	x: 2.116 m η = 1.5	x: 1.481 m η = 4.5	η = 0.2	x: 0 m η = 0.2	η < 0.1	η < 0.1	x: 2.116 m η = 38.9	η < 0.1	η = 1.4	η = 0.2	x: 0 m η = 0.2	CUMPLE h = 38.9
N400/N401	$\bar{\lambda}$ < 2.0 Cumple	$\lambda_w \leq \lambda_{w,max}$ Cumple	x: 1.976 m η = 34.4	x: 0 m η = 3.0	x: 1.976 m η = 1.7	x: 1.383 m η = 5.0	η < 0.1	x: 0 m η = 0.2	η < 0.1	η < 0.1	x: 1.581 m η = 40.9	η < 0.1	η = 1.5	η < 0.1	x: 0 m η = 0.2	CUMPLE h = 40.9
N401/N402	$\bar{\lambda}$ < 2.0 Cumple	$\lambda_w \leq \lambda_{w,max}$ Cumple	x: 1.846 m η = 35.1	x: 0 m η = 2.6	x: 0 m η = 1.6	x: 1.292 m η = 5.3	η = 0.1	x: 0 m η = 0.2	η < 0.1	η < 0.1	x: 1.108 m η = 41.8	η < 0.1	η = 1.2	η = 0.1	x: 0 m η = 0.2	CUMPLE h = 41.8
N402/N403	$\bar{\lambda}$ < 2.0 Cumple	$\lambda_w \leq \lambda_{w,max}$ Cumple	x: 1.743 m η = 35.2	x: 0 m η = 2.3	x: 0 m η = 1.3	x: 1.743 m η = 7.3	η = 0.1	x: 0 m η = 0.4	η < 0.1	η < 0.1	x: 1.743 m η = 43.4	η < 0.1	η = 0.6	η = 0.1	x: 0 m η = 0.4	CUMPLE h = 43.4
N403/N405	$\bar{\lambda}$ < 2.0 Cumple	$\lambda_w \leq \lambda_{w,max}$ Cumple	x: 3.109 m η = 34.1	x: 0 m η = 2.2	x: 0 m η = 0.9	x: 0 m η = 7.7	η = 0.1	x: 3.109 m η = 0.5	η < 0.1	η < 0.1	x: 0 m η = 42.6	η < 0.1	η = 0.3	η = 0.1	x: 3.109 m η = 0.5	CUMPLE h = 42.6
N405/N406	$\bar{\lambda}$ < 2.0 Cumple	$\lambda_w \leq \lambda_{w,max}$ Cumple	x: 1.405 m η = 31.7	x: 0 m η = 1.7	x: 0 m η = 0.3	x: 1.405 m η = 6.0	η = 0.1	x: 0 m η = 0.4	η < 0.1	η < 0.1	x: 1.405 m η = 37.7	η < 0.1	η = 0.7	η = 0.1	x: 0 m η = 0.5	CUMPLE h = 37.7
N406/N407	$\bar{\lambda}$ < 2.0 Cumple	$\lambda_w \leq \lambda_{w,max}$ Cumple	x: 1.313 m η = 29.3	x: 0 m η = 1.5	x: 0 m η = 0.1	x: 0 m η = 6.3	η < 0.1	x: 1.313 m η = 0.2	η < 0.1	η < 0.1	x: 0 m η = 35.6	η < 0.1	η = 1.3	η < 0.1	x: 1.313 m η = 0.2	CUMPLE h = 35.6
N407/N408	$\bar{\lambda}$ < 2.0 Cumple	$\lambda_w \leq \lambda_{w,max}$ Cumple	x: 1.226 m η = 26.3	x: 0 m η = 1.3	x: 1.226 m η = 0.1	x: 0 m η = 6.1	η < 0.1	x: 1.226 m η = 0.2	η < 0.1	η < 0.1	x: 0 m η = 32.4	η < 0.1	η = 1.8	η < 0.1	x: 1.226 m η = 0.2	CUMPLE h = 32.4
N408/N409	$\bar{\lambda}$ < 2.0 Cumple	$\lambda_w \leq \lambda_{w,max}$ Cumple	x: 1.156 m η = 22.6	x: 0 m η = 1.1	x: 1.156 m η = 0.2	x: 0 m η = 5.8	η < 0.1	x: 1.156 m η = 0.3	η < 0.1	η < 0.1	x: 0 m η = 28.6	η < 0.1	η = 2.3	η < 0.1	x: 1.156 m η = 0.3	CUMPLE h = 28.6
N409/N410	$\bar{\lambda}$ < 2.0 Cumple	$\lambda_w \leq \lambda_{w,max}$ Cumple	x: 1.087 m η = 18.3	x: 0 m η = 0.8	x: 1.087 m η = 0.4	x: 0 m η = 5.3	η = 0.1	x: 1.087 m η = 0.4	η < 0.1	η < 0.1	x: 0 m η = 23.7	η < 0.1	η = 2.7	η = 0.1	x: 1.087 m η = 0.4	CUMPLE h = 23.7
N410/N411	$\bar{\lambda}$ < 2.0 Cumple	$\lambda_w \leq \lambda_{w,max}$ Cumple	x: 0.998 m η = 13.5	x: 0 m η = 0.6	x: 0.998 m η = 0.8	x: 0 m η = 4.6	η = 0.2	x: 0.998 m η = 0.6	η < 0.1	η < 0.1	x: 0 m η = 18.4	η < 0.1	η = 2.9	η = 0.2	x: 0.998 m η = 0.6	CUMPLE h = 18.4
N411/N412	$\bar{\lambda}$ < 2.0 Cumple	$\lambda_w \leq \lambda_{w,max}$ Cumple	x: 0.932 m η = 7.8	x: 0 m η = 0.3	x: 0.932 m η = 1.8	x: 0 m η = 3.3	η = 0.4	x: 0.932 m η = 0.1	η < 0.1	η < 0.1	x: 0 m η = 11.3	η < 0.1	η = 2.9	η = 0.4	x: 0.932 m η = 0.2	CUMPLE h = 11.3
N412/N413	$\bar{\lambda}$ < 2.0 Cumple	$\lambda_w \leq \lambda_{w,max}$ Cumple	x: 0.572 m η = 0.6	x: 0 m η = 0.3	x: 0.572 m η = 2.6	x: 0 m η = 3.8	η = 0.5	x: 0.572 m η = 2.3	η < 0.1	η < 0.1	x: 0 m η = 4.7	η < 0.1	η = 2.4	η = 0.5	x: 0.572 m η = 2.3	CUMPLE h = 4.7
N3/N7	$\bar{\lambda}$ < 2.0 Cumple	$\lambda_w \leq \lambda_{w,max}$ Cumple	x: 2.976 m η = 2.9	x: 0 m η = 1.5	x: 2.976 m η = 0.3	x: 2.976 m η = 6.6	η < 0.1	x: 0 m η = 1.1	η < 0.1	η < 0.1	x: 2.976 m η = 9.6	η < 0.1	η = 0.1	η < 0.1	x: 0 m η = 1.1	CUMPLE h = 9.6
N7/N754	$\bar{\lambda}$ < 2.0 Cumple	$\lambda_w \leq \lambda_{w,max}$ Cumple	x: 0.1 m η = 21.2	x: 0 m η = 5.2	x: 0 m η = 0.7	x: 0.1 m η = 1.5	η = 0.6	x: 0 m η = 0.9	η < 0.1	η < 0.1	x: 0.1 m η = 22.6	η < 0.1	η = 1.1	η = 0.7	x: 0 m η = 0.9	CUMPLE h = 22.6
N754/N506	$\bar{\lambda}$ < 2.0 Cumple	$\lambda_w \leq \lambda_{w,max}$ Cumple	x: 1.855 m η = 21.2	x: 0 m η = 5.5	x: 0 m η = 0.6	x: 1.855 m η = 3.8	η = 0.1	x: 0 m η = 0.4	η < 0.1	η < 0.1	x: 1.855 m η = 25.2	η < 0.1	η = 0.6	η = 0.1	x: 0 m η = 0.4	CUMPLE h = 25.2
N506/N9	$\bar{\lambda}$ < 2.0 Cumple	$\lambda_w \leq \lambda_{w,max}$ Cumple	x: 0.845 m η = 21.3	x: 0 m η = 5.3	x: 0.845 m η = 0.3	x: 0 m η = 3.4	η < 0.1	x: 0.845 m η = 1.0	η < 0.1	η < 0.1	x: 0 m η = 24.8	η < 0.1	η = 0.3	η < 0.1	x: 0.845 m η = 1.0	CUMPLE h = 24.8
N9/N496	$\bar{\lambda}$ < 2.0 Cumple	$\lambda_w \leq \lambda_{w,max}$ Cumple	x: 1.11 m η = 27.1	x: 0 m η = 5.8	x: 1.11 m η = 0.4	x: 1.11 m η = 4.4	η < 0.1	x: 0 m η = 1.1	η < 0.1	η < 0.1	x: 1.11 m η = 31.7	η < 0.1	η = 0.4	η < 0.1	x: 0 m η = 1.1	CUMPLE h = 31.7
N496/N10	$\bar{\lambda}$ < 2.0 Cumple	$\lambda_w \leq \lambda_{w,max}$ Cumple	x: 1.486 m η = 27.2	x: 0 m η = 5.9	x: 0 m η = 0.4	x: 0 m η = 3.9	η = 0.1	x: 1.486 m η = 0.3	η < 0.1	η < 0.1	x: 0 m η = 31.3	η < 0.1	η < 0.1	η = 0.1	x: 1.486 m η = 0.3	CUMPLE h = 31.3
N10/N486	$\bar{\lambda}$ < 2.0 Cumple	$\lambda_w \leq \lambda_{w,max}$ Cumple	x: 0.469 m η = 32.2	x: 0 m η = 6.1	x: 0.469 m η = 0.1	x: 0.469 m η = 4.7	η < 0.1	x: 0 m η = 1.2	η < 0.1	η < 0.1	x: 0.469 m η = 37.0	η < 0.1	η = 0.3	η < 0.1	x: 0 m η = 1.2	CUMPLE h = 37.0
N486/N11	$\bar{\lambda}$ < 2.0 Cumple	$\lambda_w \leq \lambda_{w,max}$ Cumple	x: 1.955 m η = 32.3	x: 0 m η = 6.5	x: 1.955 m η = 0.7	x: 0.977 m η = 4.6	η = 0.1	x: 0 m η = 0.1	η < 0.1	η < 0.1	x: 1.564 m η = 37.3	η < 0.1	η = 0.2	η = 0.1	x: 0 m η = 0.1	CUMPLE h = 37.3
N11/N12	$\bar{\lambda}$ < 2.0 Cumple	$\lambda_w \leq \lambda_{w,max}$ Cumple	x: 2.265 m η = 36.4	x: 0 m η = 6.9	x: 0 m η = 0.8	x: 2.076 m η = 4.9	η = 0.1	x: 0 m η = 0.3	η < 0.1	η < 0.1	x: 1.699 m η = 41.6	η < 0.1	η = 0.2	η = 0.1	x: 0 m η = 0.3	CUMPLE h = 41.6
N12/N13	$\bar{\lambda}$ < 2.0 Cumple	$\lambda_w \leq \lambda_{w,max}$ Cumple	x: 2.116 m η = 39.2	x: 0 m η = 6.9	x: 0 m η = 0.3	x: 1.693 m η = 5.5	η < 0.1	x: 0 m η = 0.2	η < 0.1	η < 0.1	x: 1.481 m η = 44.8	η < 0.1	η = 0.3	η < 0.1	x: 0 m η = 0.2	CUMPLE h = 44.8
N13/N14	$\bar{\lambda}$ < 2.0 Cumple	$\lambda_w \leq \lambda_{w,max}$ Cumple	x: 1.976 m η = 41.2	x: 0 m η = 7.3	x: 1.976 m η = 0.3	x: 1.581 m η = 6.0	η < 0.1	x: 0 m η = 0.2	η < 0.1	η < 0.1	x: 1.581 m η = 47.3	η < 0.1	η = 0.3	η < 0.1	x: 0 m η = 0.2	CUMPLE h = 47.3
N14/N15	$\bar{\lambda}$ < 2.0 Cumple	$\lambda_w \leq \lambda_{w,max}$ Cumple	x: 1.846 m η = 42.4	x: 0 m η = 7.6	x: 0 m η = 0.3	x: 1.477 m η = 6.5	η < 0.1	x: 0 m η = 0.2	η < 0.1	η < 0.1	x: 1.477 m η = 48.9	η < 0.1	η = 0.3	η < 0.1	x: 0 m η = 0.2	CUMPLE h = 48.9
N15/N16	$\bar{\lambda}$ < 2.0 Cumple	$\lambda_w \leq \lambda_{w,max}$ Cumple	x: 1.743 m η = 42.8	x: 0 m η = 7.8	x: 0 m η = 0.2	x: 1.743 m η = 8.8	η < 0.1	x: 0 m η = 0.4	η < 0.1	η < 0.1	x: 1.743 m η = 51.6	η < 0.1	η = 0.3	η < 0.1	x: 0 m η = 0.4	CUMPLE h = 51.6
N16/N18	$\bar{\lambda}$ < 2.0 Cumple	$\lambda_w \leq \lambda_{w,max}$ Cumple	x: 3.109 m η = 41.8	x: 0 m η = 8.8	x: 0 m η = 0.2	x: 0 m η = 9.2	η < 0.1	x: 3.109 m η = 0.5	η < 0.1	η < 0.1	x: 0 m η = 51.0	η < 0.1	η = 0.4	η < 0.1	x: 3.109 m η = 0.5	CUMPLE h = 51.0
N18/N19	$\bar{\lambda}$ < 2.0 Cumple	$\lambda_w \leq \lambda_{w,max}$ Cumple	x: 1.405 m η = 39.1	x: 0 m η = 7.1	x: 0 m η = 0.1	x: 1.405 m η = 7.4	η < 0.1	x: 0 m η = 0.5	η < 0.1	η < 0.1	x: 1.405 m η = 46.6	η < 0.1	η = 0.5	η < 0.1	x: 0 m η = 0.5	CUMPLE h = 46.6
N19/N20	$\bar{\lambda}$ < 2.0 Cumple	$\lambda_w \leq \lambda_{w,max}$ Cumple	x: 1.313 m η = 36.2	x: 0 m η = 6.6	x: 1.313 m η = 0.1	x: 0 m η = 7.9	η < 0.1	x: 1.313 m η = 0.2	η < 0.1	η < 0.1	x: 0 m η = 44.1	η < 0.1	η = 0.6	η < 0.1	x: 1.313 m η = 0.2	CUMPLE h = 44.1
N20/N21	$\bar{\lambda}$ < 2.0 Cumple	$\lambda_w \leq \lambda_{w,max}$ Cumple	x: 1.226 m η = 32.6	x: 0 m η = 5.9	x: 1.226 m η = 0.2	x: 0 m η = 7.6	η < 0.1	x: 1.226 m η = 0.3	η < 0.1	η < 0.1	x: 0 m η = 40.2	η < 0.1	η = 0.7	η < 0.1	x: 1.226 m η = 0.3	CUMPLE h = 40.2
N21/N22	$\bar{\lambda}$ < 2.0 Cumple	$\lambda_w \leq \lambda_{w,max}$ Cumple	x: 1.156 m η = 28.2	x: 0 m η = 5.1	x: 1.156 m η = 0.3	x: 0 m η = 7.3	η = 0.1	x: 1.156 m η = 0.4	η < 0.1	η < 0.1	x: 0 m η = 35.6	η < 0.1	η = 0.8	η = 0.1	x: 1.156 m η = 0.4	CUMPLE h = 35.6
N22/N23	$\bar{\lambda}$ < 2.0 Cumple	$\lambda_w \leq \lambda_{w,max}$ Cumple	x: 1.087 m η = 22.8	x: 0 m η = 4.1	x: 1.087 m η = 0.6	x: 0 m η = 6.6	η = 0.1	x: 1.087 m η = 0.5	η < 0.1	η < 0.1	x: 0 m η = 29.5	η < 0.1	η = 1.0	η = 0.1	x: 1.087 m η = 0.5	CUMPLE h = 29.5
N23/N24	$\bar{\lambda}$ < 2.0 Cumple	$\lambda_w \leq \lambda_{w,max}$ Cumple	x: 0.998 m η = 16.8	x: 0 m η = 3.1	x: 0.998 m η = 1.1	x: 0 m η = 5.8	η = 0.2	x: 0.998 m η = 0.7	η < 0.1	η < 0.1	x: 0 m η = 22.9	η < 0.1	η = 1.1	η = 0.2	x: 0.998 m η = 0.7	CUMPLE h = 22.9
N24/N25	$\bar{\lambda}$ < 2.0 Cumple	$\lambda_w \leq \lambda_{w,max}$ Cumple	x: 0.932 m η = 9.8	x: 0 m η = 1.7	x: 0.932 m η = 1.8	x: 0 m η = 4.1	η = 0.3	x: 0.932 m η = 0.2	η < 0.1	η < 0.1	x: 0 m η = 14.3	η < 0.1	η = 1.1	η = 0.3	x: 0.932 m η = 0.2	CUMPLE h = 14.3
N25/N26	$\bar{\lambda}$ < 2.0 Cumple	$\lambda_w \leq \lambda_{w,max}$ Cumple	x: 0.572 m η = 0.8	x: 0 m η = 0.3	x: 0.572 m η = 2.4	x: 0 m η = 4.8	η = 0.3	x: 0.572 m η = 2.9	η < 0.1	η < 0.1	x: 0 m η = 6.1	η < 0.1	η = 1.0	η = 0.3	x: 0.572 m η = 2.9	CUMPLE h = 6.1
N46/N50	$\bar{\lambda}$ < 2.0 Cumple	$\lambda_w \leq \lambda_{w,max}$ Cumple	x: 2.976 m η = 2.7	x: 0 m η = 1.4	x: 2.976 m η = 0.3	x: 2.976 m η = 6.3	η < 0.1	x: 0 m η = 1.0	η < 0.1	η < 0.1	x: 2.976 m η = 9.0	η < 0.1	η = 0.2	η < 0.1	x: 0 m η = 1.0	CUMPLE h = 9.0
N50/N755	$\bar{\lambda}$ < 2.0 Cumple	$\lambda_w \leq \lambda_{w,max}$ Cumple	x: 0.1 m η = 20.1	x: 0 m η = 4.7	x: 0.1 m η = 0.2	x: 0 m η = 1.7	η = 0.4	x: 0 m η = 0.8	η < 0.1	η < 0.1	x: 0.1 m η = 21.0	η < 0.1	η = 1.1	η = 0.4	x: 0 m η = 0.9	CUMPLE h = 21.0
N755/N507	$\bar{\lambda}$ < 2.0 Cumple	$\lambda_w \leq \lambda_{w,max}$ Cumple	x: 1.855 m η = 20.1	x: 0 m η = 5.0	x: 1.855 m η = 0.9	x: 1.855 m η = 3.8	η = 0.2	x: 0 m η = 0.5	η < 0.1	η < 0.1	x: 1.855 m η = 24.2	η < 0.1	η = 0.7	η = 0.2	x: 0 m η = 0.5	CUMPLE h = 24.2
N507/N52	$\bar{\lambda}$ < 2.0 Cumple	$\lambda_w \leq \lambda_{w,max}$ Cumple	x: 0.845 m η = 20.1	x: 0 m η = 4.6	x: 0 m η = 1.0	x: 0 m η = 3.7	η = 0.2	x: 0.845 m η = 1.2	η < 0.1	η < 0.1	x: 0 m η = 24.1	η < 0.1	η = 0.3	η = 0.2	x: 0.845 m η = 1.2	CUMPLE h = 24.1
N52/N497	$\bar{\lambda}$ < 2.0 Cumple	$\lambda_w \leq \lambda_{w,max}$ Cumple	x: 1.11 m η = 26.0	x: 0 m η = 5.1	x: 0 m η = 0.5	x: 1.11 m η = 3.9	η = 0.2	x: 0 m η = 1.0	η < 0.1	η < 0.1	x: 1.11 m η = 30.0	η < 0.1	η = 0.3	η = 0.2	x: 0 m η = 1.0	CUMPLE h = 30.0
N497/N53	$\bar{\lambda}$ < 2.0 Cumple	$\lambda_w \leq \lambda_{w,max}$ Cumple	x: 1.486 m η = 26.0	x: 0 m η = 5.2	x: 0 m η = 0.1	x: 0 m η = 4.3	η < 0.1	x: 1.486 m η = 0.4	η < 0.1	η < 0.1	x: 0 m η = 30.4	η < 0.1	η = 0.1	η < 0.1	x: 1.486 m η = 0.4	CUMPLE h = 30.4
N53/N487	$\bar{\lambda}$ < 2.0 Cumple	$\lambda_w \leq \lambda_{w,max}$ Cumple	x: 0.469 m η = 31.2	x: 0 m η = 5.6	x: 0.469 m η = 0.1	x: 0.469 m η = 4.3	η = 0.1	x: 0 m η = 1.2	η < 0.1	η < 0.1	x: 0.469 m η = 35.6	η < 0.1	η = 0.3	η = 0.1	x: 0 m η = 1.2	CUMPLE h = 35.6
N487/N54	$\bar{\lambda}$ < 2.0 Cumple	$\lambda_w \leq \lambda_{w,max}$ Cumple	x: 1.955 m η = 31.1	x: 0 m η = 6.0	x: 1.955 m η = 0.8	x: 0.195 m η = 4.7	η = 0.2	x: 1.955 m η = 0.2	η < 0.1	η < 0.1	x: 0.977 m η = 36.0	η < 0.1	η < 0.1	η = 0.2	x: 1.955 m η = 0.2	CUMPLE h = 36.0
N54/N55	$\bar{\lambda}$ < 2.0 Cumple	$\lambda_w \leq \lambda_{w,max}$ Cumple	x: 2.265 m η = 35.2	x: 0 m η = 6.5	x: 0 m η = 0.7	x: 2.076 m η = 4.8	η = 0.1	x: 0 m η = 0.3	η < 0.1	η < 0.1	x: 1.699 m η = 40.4	η < 0.1	η = 0.3	η = 0.1	x: 0 m η = 0.3	CUMPLE h = 40.4
N55/N56	$\bar{\lambda}$ < 2.0 Cumple	$\lambda_w \leq \lambda_{w,max}$ Cumple	x: 2.116 m η = 38.2	x: 0 m η = 6.5	x: 2.116 m η = 0.3	x: 1.693 m η = 5.4	η < 0.1	x: 0 m η = 0.2	η < 0.1	η < 0.1	x: 1.481 m η = 43.7	η < 0.1	η = 0.2	η < 0.1	x: 0 m η = 0.2	CUMPLE h = 43.7

AJUNTAMENT D'OLERDOLA
Aquest document és una còpia simple del document electrònic original.

Listados

Cobriment de pista a Sant Pere Molanta (Olèrdola)

Fecha: 10/03/26

Barras	COMPROBACIONES (CTE DB SE-A)															Estado
	$\bar{\lambda}$	λ_w	N_t	N_c	M_y	M_z	V_z	V_y	$M_t V_z$	$M_z V_y$	NM_yM_z	$NM_tM_zV_yV_z$	M_t	M_yV_z	M_zV_y	
N56/N57	$\bar{\lambda} < 2.0$ Cumple	$\lambda_w \leq \lambda_{w,max}$ Cumple	x: 1.976 m η = 40.3	x: 0 m η = 6.7	x: 1.976 m η = 0.3	x: 1.581 m η = 6.0	η < 0.1	x: 0 m η = 0.2	η < 0.1	η < 0.1	x: 1.581 m η = 46.3	η < 0.1	η = 0.2	η < 0.1	x: 0 m η = 0.2	CUMPLE h = 46.3
N57/N58	$\bar{\lambda} < 2.0$ Cumple	$\lambda_w \leq \lambda_{w,max}$ Cumple	x: 1.846 m η = 41.7	x: 0 m η = 7.1	x: 0 m η = 0.3	x: 1.477 m η = 6.4	η < 0.1	x: 0 m η = 0.2	η < 0.1	η < 0.1	x: 1.477 m η = 48.1	η < 0.1	η = 0.2	η < 0.1	x: 0 m η = 0.2	CUMPLE h = 48.1
N58/N59	$\bar{\lambda} < 2.0$ Cumple	$\lambda_w \leq \lambda_{w,max}$ Cumple	x: 1.743 m η = 42.2	x: 0 m η = 7.3	x: 0 m η = 0.2	x: 1.743 m η = 8.5	η < 0.1	x: 0 m η = 0.4	η < 0.1	η < 0.1	x: 1.743 m η = 50.7	η < 0.1	η = 0.2	η < 0.1	x: 0 m η = 0.4	CUMPLE h = 50.7
N59/N61	$\bar{\lambda} < 2.0$ Cumple	$\lambda_w \leq \lambda_{w,max}$ Cumple	x: 3.109 m η = 41.3	x: 0 m η = 8.4	x: 0 m η = 0.1	x: 0 m η = 8.9	η < 0.1	x: 3.109 m η = 0.5	η < 0.1	η < 0.1	x: 0 m η = 50.2	η < 0.1	η = 0.2	η < 0.1	x: 3.109 m η = 0.5	CUMPLE h = 50.2
N61/N62	$\bar{\lambda} < 2.0$ Cumple	$\lambda_w \leq \lambda_{w,max}$ Cumple	x: 1.405 m η = 38.7	x: 0 m η = 6.8	x: 0 m η < 0.1	x: 1.405 m η = 7.4	η < 0.1	x: 0 m η = 0.4	η < 0.1	η < 0.1	x: 1.405 m η = 46.1	η < 0.1	η = 0.2	η < 0.1	x: 0 m η = 0.4	CUMPLE h = 46.1
N62/N63	$\bar{\lambda} < 2.0$ Cumple	$\lambda_w \leq \lambda_{w,max}$ Cumple	x: 1.313 m η = 35.9	x: 0 m η = 6.3	x: 1.313 m η < 0.1	x: 0 m η = 7.8	η < 0.1	x: 1.313 m η = 0.2	η < 0.1	η < 0.1	x: 0 m η = 43.7	η < 0.1	η = 0.3	η < 0.1	x: 1.313 m η = 0.2	CUMPLE h = 43.7
N63/N64	$\bar{\lambda} < 2.0$ Cumple	$\lambda_w \leq \lambda_{w,max}$ Cumple	x: 1.226 m η = 32.4	x: 0 m η = 5.6	x: 1.226 m η = 0.1	x: 0 m η = 7.5	η < 0.1	x: 1.226 m η = 0.3	η < 0.1	η < 0.1	x: 0 m η = 39.9	η < 0.1	η = 0.4	η < 0.1	x: 1.226 m η = 0.3	CUMPLE h = 39.9
N64/N65	$\bar{\lambda} < 2.0$ Cumple	$\lambda_w \leq \lambda_{w,max}$ Cumple	x: 1.156 m η = 28.0	x: 0 m η = 4.9	x: 1.156 m η = 0.2	x: 0 m η = 7.3	η < 0.1	x: 1.156 m η = 0.4	η < 0.1	η < 0.1	x: 0 m η = 35.3	η < 0.1	η = 0.4	η < 0.1	x: 1.156 m η = 0.4	CUMPLE h = 35.3
N65/N66	$\bar{\lambda} < 2.0$ Cumple	$\lambda_w \leq \lambda_{w,max}$ Cumple	x: 1.087 m η = 22.7	x: 0 m η = 3.9	x: 1.087 m η = 0.4	x: 0 m η = 6.5	η = 0.1	x: 1.087 m η = 0.5	η < 0.1	η < 0.1	x: 0 m η = 29.4	η < 0.1	η = 0.5	η = 0.1	x: 1.087 m η = 0.5	CUMPLE h = 29.4
N66/N67	$\bar{\lambda} < 2.0$ Cumple	$\lambda_w \leq \lambda_{w,max}$ Cumple	x: 0.998 m η = 16.7	x: 0 m η = 2.8	x: 0.998 m η = 0.6	x: 0 m η = 5.7	η = 0.1	x: 0.998 m η = 0.7	η < 0.1	η < 0.1	x: 0 m η = 22.8	η < 0.1	η = 0.6	η = 0.1	x: 0.998 m η = 0.7	CUMPLE h = 22.8
N67/N68	$\bar{\lambda} < 2.0$ Cumple	$\lambda_w \leq \lambda_{w,max}$ Cumple	x: 0.932 m η = 9.7	x: 0 m η = 1.8	x: 0.932 m η = 0.8	x: 0 m η = 4.1	η = 0.1	x: 0.932 m η = 0.2	η < 0.1	η < 0.1	x: 0 m η = 14.1	η < 0.1	η = 0.5	η = 0.1	x: 0.932 m η = 0.2	CUMPLE h = 14.1
N68/N69	$\bar{\lambda} < 2.0$ Cumple	$\lambda_w \leq \lambda_{w,max}$ Cumple	x: 0.572 m η = 0.8	x: 0 m η = 0.8	x: 0.572 m η = 1.2	x: 0 m η = 4.7	η = 0.3	x: 0.572 m η = 3.0	η < 0.1	η < 0.1	x: 0 m η = 5.5	η < 0.1	η = 0.4	η = 0.3	x: 0.572 m η = 3.0	CUMPLE h = 5.5
N89/N93	$\bar{\lambda} < 2.0$ Cumple	$\lambda_w \leq \lambda_{w,max}$ Cumple	x: 2.976 m η = 2.8	x: 0 m η = 1.4	x: 2.976 m η = 0.3	x: 2.976 m η = 6.4	η < 0.1	x: 0 m η = 1.0	η < 0.1	η < 0.1	x: 2.976 m η = 9.3	η < 0.1	η = 0.2	η < 0.1	x: 0 m η = 1.0	CUMPLE h = 9.3
N93/N756	$\bar{\lambda} < 2.0$ Cumple	$\lambda_w \leq \lambda_{w,max}$ Cumple	x: 0.1 m η = 20.5	x: 0 m η = 5.2	x: 0 m η = 0.3	x: 0 m η = 1.7	η = 0.9	x: 0 m η = 0.8	η < 0.1	η < 0.1	x: 0.1 m η = 21.9	η < 0.1	η = 1.2	η = 0.9	x: 0 m η = 0.8	CUMPLE h = 21.9
N756/N508	$\bar{\lambda} < 2.0$ Cumple	$\lambda_w \leq \lambda_{w,max}$ Cumple	x: 1.855 m η = 20.5	x: 0 m η = 5.5	x: 1.855 m η = 1.1	x: 1.855 m η = 3.7	η = 0.2	x: 0 m η = 0.4	η < 0.1	η < 0.1	x: 1.855 m η = 24.6	η < 0.1	η = 0.8	η = 0.2	x: 0 m η = 0.4	CUMPLE h = 24.6
N508/N95	$\bar{\lambda} < 2.0$ Cumple	$\lambda_w \leq \lambda_{w,max}$ Cumple	x: 0.845 m η = 20.5	x: 0 m η = 5.1	x: 0 m η = 1.2	x: 0 m η = 3.3	η = 0.2	x: 0.845 m η = 1.0	η < 0.1	η < 0.1	x: 0 m η = 24.2	η < 0.1	η = 0.4	η = 0.2	x: 0.845 m η = 1.0	CUMPLE h = 24.2
N95/N498	$\bar{\lambda} < 2.0$ Cumple	$\lambda_w \leq \lambda_{w,max}$ Cumple	x: 1.11 m η = 26.2	x: 0 m η = 5.7	x: 0 m η = 0.6	x: 1.11 m η = 4.1	η = 0.2	x: 0 m η = 1.0	η < 0.1	η < 0.1	x: 1.11 m η = 30.3	η < 0.1	η = 0.2	η = 0.2	x: 0 m η = 1.0	CUMPLE h = 30.3
N498/N96	$\bar{\lambda} < 2.0$ Cumple	$\lambda_w \leq \lambda_{w,max}$ Cumple	x: 1.486 m η = 26.2	x: 0 m η = 5.8	x: 1.486 m η = 0.2	x: 0 m η = 4.1	η < 0.1	x: 1.486 m η = 0.4	η < 0.1	η < 0.1	x: 0 m η = 30.4	η < 0.1	η = 0.3	η < 0.1	x: 1.486 m η = 0.4	CUMPLE h = 30.4
N96/N488	$\bar{\lambda} < 2.0$ Cumple	$\lambda_w \leq \lambda_{w,max}$ Cumple	x: 0.469 m η = 31.3	x: 0 m η = 6.3	x: 0.469 m η = 0.2	x: 0.469 m η = 4.4	η = 0.1	x: 0 m η = 1.2	η < 0.1	η < 0.1	x: 0.469 m η = 35.9	η < 0.1	η = 0.1	η = 0.1	x: 0 m η = 1.2	CUMPLE h = 35.9
N488/N97	$\bar{\lambda} < 2.0$ Cumple	$\lambda_w \leq \lambda_{w,max}$ Cumple	x: 1.955 m η = 31.3	x: 0 m η = 6.7	x: 1.955 m η = 0.8	x: 0.586 m η = 4.5	η = 0.1	x: 1.955 m η = 0.2	η < 0.1	η < 0.1	x: 1.173 m η = 36.2	η < 0.1	η = 0.3	η = 0.1	x: 1.955 m η = 0.2	CUMPLE h = 36.2
N97/N98	$\bar{\lambda} < 2.0$ Cumple	$\lambda_w \leq \lambda_{w,max}$ Cumple	x: 2.265 m η = 35.2	x: 0 m η = 7.3	x: 0 m η = 0.8	x: 1.887 m η = 4.8	η = 0.1	x: 0 m η = 0.3	η < 0.1	η < 0.1	x: 1.51 m η = 40.3	η < 0.1	η = 0.1	η = 0.1	x: 0 m η = 0.3	CUMPLE h = 40.3
N98/N99	$\bar{\lambda} < 2.0$ Cumple	$\lambda_w \leq \lambda_{w,max}$ Cumple	x: 2.116 m η = 38.1	x: 0 m η = 7.4	x: 2.116 m η = 0.2	x: 1.693 m η = 5.4	η < 0.1	x: 0 m η = 0.2	η < 0.1	η < 0.1	x: 1.904 m η = 43.5	η < 0.1	η = 0.1	η < 0.1	x: 0 m η = 0.2	CUMPLE h = 43.5
N99/N100	$\bar{\lambda} < 2.0$ Cumple	$\lambda_w \leq \lambda_{w,max}$ Cumple	x: 1.976 m η = 40.1	x: 0 m η = 7.4	x: 0 m η = 0.2	x: 1.581 m η = 5.9	η < 0.1	x: 0 m η = 0.2	η < 0.1	η < 0.1	x: 1.581 m η = 46.2	η < 0.1	η = 0.2	η < 0.1	x: 0 m η = 0.2	CUMPLE h = 46.2
N100/N101	$\bar{\lambda} < 2.0$ Cumple	$\lambda_w \leq \lambda_{w,max}$ Cumple	x: 1.846 m η = 41.4	x: 0 m η = 7.8	x: 0 m η = 0.2	x: 1.477 m η = 6.4	η < 0.1	x: 0 m η = 0.2	η < 0.1	η < 0.1	x: 1.477 m η = 47.8	η < 0.1	η = 0.2	η < 0.1	x: 0 m η = 0.2	CUMPLE h = 47.8
N101/N102	$\bar{\lambda} < 2.0$ Cumple	$\lambda_w \leq \lambda_{w,max}$ Cumple	x: 1.743 m η = 41.8	x: 0 m η = 8.0	x: 0 m η = 0.1	x: 1.743 m η = 8.5	η < 0.1	x: 0 m η = 0.4	η < 0.1	η < 0.1	x: 1.743 m η = 50.4	η < 0.1	η = 0.2	η < 0.1	x: 0 m η = 0.4	CUMPLE h = 50.4
N102/N104	$\bar{\lambda} < 2.0$ Cumple	$\lambda_w \leq \lambda_{w,max}$ Cumple	x: 3.109 m η = 40.9	x: 0 m η = 9.2	x: 0 m η = 0.1	x: 0 m η = 8.9	η < 0.1	x: 3.109 m η = 0.5	η < 0.1	η < 0.1	x: 0 m η = 49.8	η < 0.1	η = 0.1	η < 0.1	x: 3.109 m η = 0.5	CUMPLE h = 49.8
N104/N105	$\bar{\lambda} < 2.0$ Cumple	$\lambda_w \leq \lambda_{w,max}$ Cumple	x: 1.405 m η = 38.3	x: 0 m η = 7.4	x: 1.405 m η < 0.1	x: 1.405 m η = 7.3	η < 0.1	x: 0 m η = 0.4	η < 0.1	η < 0.1	x: 1.405 m η = 45.6	η < 0.1	η = 0.1	η < 0.1	x: 0 m η = 0.4	CUMPLE h = 45.6
N105/N106	$\bar{\lambda} < 2.0$ Cumple	$\lambda_w \leq \lambda_{w,max}$ Cumple	x: 1.313 m η = 35.5	x: 0 m η = 6.9	x: 0 m η < 0.1	x: 0 m η = 7.7	η < 0.1	x: 1.313 m η = 0.2	η < 0.1	η < 0.1	x: 0 m η = 43.3	η < 0.1	η = 0.1	η < 0.1	x: 1.313 m η = 0.2	CUMPLE h = 43.3
N106/N107	$\bar{\lambda} < 2.0$ Cumple	$\lambda_w \leq \lambda_{w,max}$ Cumple	x: 1.226 m η = 32.0	x: 0 m η = 6.2	x: 1.226 m η = 0.1	x: 0 m η = 7.4	η < 0.1	x: 1.226 m η = 0.3	η < 0.1	η < 0.1	x: 0 m η = 39.4	η < 0.1	η = 0.1	η < 0.1	x: 1.226 m η = 0.3	CUMPLE h = 39.4
N107/N108	$\bar{\lambda} < 2.0$ Cumple	$\lambda_w \leq \lambda_{w,max}$ Cumple	x: 1.156 m η = 27.7	x: 0 m η = 5.3	x: 1.156 m η = 0.3	x: 0 m η = 7.2	η = 0.1	x: 1.156 m η = 0.4	η < 0.1	η < 0.1	x: 0 m η = 34.8	η < 0.1	η = 0.2	η = 0.1	x: 1.156 m η = 0.4	CUMPLE h = 34.8
N108/N109	$\bar{\lambda} < 2.0$ Cumple	$\lambda_w \leq \lambda_{w,max}$ Cumple	x: 1.087 m η = 22.4	x: 0 m η = 4.2	x: 1.087 m η = 0.5	x: 0 m η = 6.4	η = 0.1	x: 1.087 m η = 0.4	η < 0.1	η < 0.1	x: 0 m η = 29.0	η < 0.1	η = 0.3	η = 0.1	x: 1.087 m η = 0.4	CUMPLE h = 29.0
N109/N110	$\bar{\lambda} < 2.0$ Cumple	$\lambda_w \leq \lambda_{w,max}$ Cumple	x: 0.998 m η = 16.5	x: 0 m η = 3.1	x: 0 m η = 0.5	x: 0 m η = 5.7	η < 0.1	x: 0.998 m η = 0.7	η < 0.1	η < 0.1	x: 0 m η = 22.7	η < 0.1	η = 0.3	η < 0.1	x: 0.998 m η = 0.7	CUMPLE h = 22.7
N110/N111	$\bar{\lambda} < 2.0$ Cumple	$\lambda_w \leq \lambda_{w,max}$ Cumple	x: 0.932 m η = 9.6	x: 0 m η = 2.0	x: 0 m η = 0.5	x: 0 m η = 4.1	η = 0.1	x: 0.932 m η = 0.2	η < 0.1	η < 0.1	x: 0 m η = 14.1	η < 0.1	η = 0.3	η = 0.1	x: 0.932 m η = 0.2	CUMPLE h = 14.1
N111/N112	$\bar{\lambda} < 2.0$ Cumple	$\lambda_w \leq \lambda_{w,max}$ Cumple	x: 0.572 m η = 0.8	x: 0 m η = 0.9	x: 0 m η = 0.2	x: 0 m η = 4.6	η = 0.1	x: 0.572 m η = 3.0	η < 0.1	η < 0.1	x: 0 m η = 5.5	η < 0.1	η = 0.2	η = 0.1	x: 0.572 m η = 3.0	CUMPLE h = 5.5
N132/N136	$\bar{\lambda} < 2.0$ Cumple	$\lambda_w \leq \lambda_{w,max}$ Cumple	x: 2.976 m η = 2.7	x: 0 m η = 1.4	x: 2.976 m η = 0.2	x: 2.976 m η = 6.3	η < 0.1	x: 0 m η = 1.0	η < 0.1	η < 0.1	x: 2.976 m η = 9.2	η < 0.1	η = 0.2	η < 0.1	x: 0 m η = 1.0	CUMPLE h = 9.2
N136/N757	$\bar{\lambda} < 2.0$ Cumple	$\lambda_w \leq \lambda_{w,max}$ Cumple	x: 0.1 m η = 20.4	x: 0 m η = 5.3	x: 0 m η = 0.3	x: 0 m η = 1.7	η = 0.5	x: 0 m η = 0.8	η < 0.1	η < 0.1	x: 0.1 m η = 21.8	η < 0.1	η = 1.2	η = 0.5	x: 0 m η = 0.8	CUMPLE h = 21.8
N757/N509	$\bar{\lambda} < 2.0$ Cumple	$\lambda_w \leq \lambda_{w,max}$ Cumple	x: 1.855 m η = 20.4	x: 0 m η = 5.6	x: 1.855 m η = 0.7	x: 1.855 m η = 3.7	η = 0.1	x: 0 m η = 0.4	η < 0.1	η < 0.1	x: 1.855 m η = 24.6	η < 0.1	η = 0.8	η = 0.1	x: 0 m η = 0.4	CUMPLE h = 24.6
N509/N138	$\bar{\lambda} < 2.0$ Cumple	$\lambda_w \leq \lambda_{w,max}$ Cumple	x: 0.845 m η = 20.4	x: 0 m η = 5.3	x: 0 m η = 0.8	x: 0 m η = 3.3	η = 0.2	x: 0.845 m η = 1.0	η < 0.1	η < 0.1	x: 0 m η = 24.2	η < 0.1	η = 0.3	η = 0.2	x: 0.845 m η = 1.0	CUMPLE h = 24.2
N138/N499	$\bar{\lambda} < 2.0$ Cumple	$\lambda_w \leq \lambda_{w,max}$ Cumple	x: 1.11 m η = 26.1	x: 0 m η = 5.9	x: 0 m η = 0.4	x: 1.11 m η = 4.1	η = 0.2	x: 0 m η = 1.0	η < 0.1	η < 0.1	x: 1.11 m η = 30.3	η < 0.1	η = 0.2	η = 0.2	x: 0 m η = 1.0	CUMPLE h = 30.3
N499/N139	$\bar{\lambda} < 2.0$ Cumple	$\lambda_w \leq \lambda_{w,max}$ Cumple	x: 1.486 m η = 26.2	x: 0 m η = 6.1	x: 1.486 m η = 0.2	x: 0 m η = 4.1	η < 0.1	x: 1.486 m η = 0.4	η < 0.1	η < 0.1	x: 0 m η = 30.2	η < 0.1	η = 0.3	η < 0.1	x: 1.486 m η = 0.4	CUMPLE h = 30.2
N139/N489	$\bar{\lambda} < 2.0$ Cumple	$\lambda_w \leq \lambda_{w,max}$ Cumple	x: 0.469 m η = 31.2	x: 0 m η = 6.5	x: 0.469 m η = 0.3	x: 0.469 m η = 4.4	η = 0.1	x: 0 m η = 1.2	η < 0.1	η < 0.1	x: 0.469 m η = 35.9	η < 0.1	η = 0.1	η = 0.1	x: 0 m η = 1.2	CUMPLE h = 35.9
N489/N140	$\bar{\lambda} < 2.0$ Cumple	$\lambda_w \leq \lambda_{w,max}$ Cumple	x: 1.955 m η = 31.2	x: 0 m η = 6.9	x: 1.955 m η = 0.8	x: 0.586 m η = 4.5	η = 0.1	x: 1.955 m η = 0.2	η < 0.1	η < 0.1	x: 0.977 m η = 36.2	η < 0.1	η = 0.2	η = 0.1	x: 1.955 m η = 0.2	CUMPLE h = 36.2
N140/N141	$\bar{\lambda} < 2.0$ Cumple	$\lambda_w \leq \lambda_{w,max}$ Cumple	x: 2.265 m η = 35.2	x: 0 m η = 7.5	x: 0 m η = 0.7	x: 1.887 m η = 4.8	η = 0.1	x: 0 m η = 0.3	η < 0.1	η < 0.1	x: 1.51 m η = 40.2	η < 0.1	η = 0.1	η = 0.1	x: 0 m η = 0.3	CUMPLE h = 40.2
N141/N142	$\bar{\lambda} < 2.0$ Cumple	$\lambda_w \leq \lambda_{w,max}$ Cumple	x: 2.116 m η = 38.0	x: 0 m η = 7.6	x: 0 m η = 0.2	x: 1.693 m η = 5.4	η < 0.1	x: 0 m η = 0.2	η < 0.1	η < 0.1	x: 1.904 m η = 43.5	η < 0.1	η = 0.1	η < 0.1	x: 0 m η = 0.2	CUMPLE h = 43.5
N142/N143	$\bar{\lambda} < 2.0$ Cumple	$\lambda_w \leq \lambda_{w,max}$ Cumple	x: 1.976 m η = 40.1	x: 0 m η = 7.6	x: 0 m η = 0.1	x: 1.581 m η = 5.9	η < 0.1	x: 0 m η = 0.2	η < 0.1	η < 0.1	x: 1.581 m η = 46.1	η < 0.1	η = 0.2	η < 0.1	x: 0 m η = 0.2	CUMPLE h = 46.1
N143/N144	$\bar{\lambda} < 2.0$ Cumple	$\lambda_w \leq \lambda_{w,max}$ Cumple	x: 1.846 m η = 41.3	x: 0 m η = 7.8	x: 0 m η = 0.1	x: 1.477 m η = 6.4	η < 0.1	x: 0 m η = 0.2	η < 0.1	η < 0.1	x: 1.477 m η = 47.8	η < 0.1	η = 0.2	η < 0.1	x: 0 m η = 0.2	CUMPLE h = 47.8
N144/N145	$\bar{\lambda} < 2.0$ Cumple	$\lambda_w \leq \lambda_{w,max}$ Cumple	x: 1.743 m η = 41.8	x: 0 m η = 8.0	x: 0 m η = 0.1	x: 1.743 m η = 8.5	η < 0.1	x: 0 m η = 0.4	η < 0.1	η < 0.1	x: 1.743 m η = 50.3	η < 0.1	η = 0.1	η < 0.1	x: 0 m η = 0.4	CUMPLE h = 50.3
N145/N147	$\bar{\lambda} < 2.0$ Cumple	$\lambda_w \leq \lambda_{w,max}$ Cumple	x: 3.109 m η = 40.8	x: 0 m η = 9.2	x: 0 m η = 0.1	x: 0 m η = 8.9	η < 0.1	x: 3.109 m η = 0.5	η < 0.1	η < 0.1	x: 0 m η = 49.8	η < 0.1	η = 0.1	η < 0.1	x: 3.109 m η = 0.5	CUMPLE h = 49.8
N147/N148	$\bar{\lambda} < 2.0$ Cumple	$\lambda_w \leq \lambda_{w,max}$ Cumple	x: 1.405 m η = 38.3	x: 0 m η = 7.5	x: 1.405 m η = 0.1	x: 1.405 m η = 7.3	η < 0.1	x: 0 m η = 0.4	η < 0.1	η < 0.1	x: 1.405 m η = 45.6	η < 0.1	η = 0.1	η < 0.1	x: 0 m η = 0.4	CUMPLE h = 45.6
N148/N149	$\bar{\lambda} < 2.0$ Cumple	$\lambda_w \leq \lambda_{w,max}$ Cumple	x: 1.313 m η = 35.5	x: 0 m η = 6.9	x: 0 m η = 0.1	x: 0 m η = 7.7	η < 0.1	x: 1.313 m η = 0.2	η < 0.1	η < 0.1	x: 0 m η = 43.2	η < 0.1	η = 0.1	η < 0.1	x: 1.313 m η = 0.2	CUMPLE h = 43.2
N149/N150	$\bar{\lambda} < 2.0$ Cumple	$\lambda_w \leq \lambda_{w,max}$ Cumple	x: 1.226 m η = 32.0	x: 0 m η = 6.2	x: 1.226 m η = 0.1	x: 0 m η = 7.4	η < 0.1	x: 1.226 m η = 0.3	η < 0.1	η < 0.1	x: 0 m η = 39.4	η < 0.1	η = 0.1	η < 0.1	x: 1.226 m η = 0.3	CUMPLE h = 39.4
N150/N151	$\bar{\lambda} < 2.0$ Cumple	$\lambda_w \leq \lambda_{w,max}$ Cumple	x: 1.156 m η = 27.6	x: 0 m η = 5.4	x: 1.156 m η = 0.2	x: 0 m η = 7.2	η < 0.1	x: 1.156 m η = 0.4	η < 0.1	η < 0.1	x: 0 m η = 34.8	η < 0.1	η = 0.2	η < 0.1	x: 1.156 m η = 0.4	CUMPLE h = 34.8
N151/N152	$\bar{\lambda} < 2.0$ Cumple	$\lambda_w \leq \lambda_{w,max}$ Cumple	x: 1.087 m η = 22.4	x: 0 m η = 4.3	x: 1.087 m η = 0.4	x: 0 m η = 6.4	η = 0.1	x: 1.087 m η = 0.4	η < 0.1	η < 0.1	x: 0 m η = 28.9	η < 0.1	η = 0.2	η = 0.1	x: 1.087 m η = 0.4	CUMPLE h = 28.9
N152/N153	$\bar{\lambda} < 2.0$ Cumple	$\lambda_w \leq \lambda_{w,max}$ Cumple	x: 0.998 m η = 16.5	x: 0 m η = 3.1	x: 0 m η = 0.5	x: 0 m η = 5.6	η < 0.1	x: 0.998 m η = 0.7	η < 0.1	η < 0.1	x: 0 m η = 22.6	η < 0.1	η = 0.2	η < 0.1	x: 0.998 m η = 0.7	CUMPLE h = 22.6
N153/N154	$\bar{\lambda} < 2.0$ Cumple	$\lambda_w \leq \lambda_{w,max}$ Cumple	x: 0.932 m η = 9.6	x: 0 m η = 2.0	x: 0 m η = 0.4	x: 0 m η = 4.1	η = 0.1	x: 0.932 m η = 0.2	η < 0.1	η < 0.1	x: 0 m η = 14.1	η < 0.1	η = 0.2	η = 0.1	x: 0.932 m η = 0.2	CUMPLE h = 14.1

AJUNTAMENT D'OLERDOLA
Aquest document és una còpia simple del document electrònic original.

Codi Segur de Verificació:
62ffb294-fe9f-412a-95ff-e789b2359074
Origen: Administració
Identificador document: ES_L01081000_2026_28828185
Data d'impressió: 03/11/2026 13:44:57
Pàgina 193 de 247

SIGNATURES
1.- ESTEVE AYMERICH (R: J62755897), 27/07/2026 11:04

Listados

Cobriment de pista a Sant Pere Molanta (Olèrdola)

Fecha: 10/03/26

Barras	COMPROBACIONES (CTE DB SE-A)															Estado
	$\bar{\lambda}$	λ_w	N_t	N_c	M_t	M_z	V_z	V_y	$M_t V_z$	$M_z V_y$	NM_yM_z	$NM_tM_zV_yV_z$	M_t	M_tV_z	M_tV_y	
N154/N155	$\bar{\lambda}$ < 2.0 Cumple	$\lambda_w \leq \lambda_{w,max}$ Cumple	x: 0.572 m η = 0.8	x: 0 m η = 0.9	x: 0 m η = 0.2	x: 0 m η = 4.6	η = 0.1	x: 0.572 m η = 3.0	η < 0.1	η < 0.1	x: 0 m η = 5.5	η < 0.1	η = 0.1	η = 0.1	x: 0.572 m η = 3.0	CUMPLE h = 5.5
N175/N179	$\bar{\lambda}$ < 2.0 Cumple	$\lambda_w \leq \lambda_{w,max}$ Cumple	x: 2.976 m η = 2.7	x: 0 m η = 1.5	x: 2.976 m η = 0.2	x: 2.976 m η = 6.3	η < 0.1	x: 0 m η = 1.0	η < 0.1	η < 0.1	x: 2.976 m η = 9.2	η < 0.1	η = 0.2	η < 0.1	x: 0 m η = 1.0	CUMPLE h = 9.2
N179/N758	$\bar{\lambda}$ < 2.0 Cumple	$\lambda_w \leq \lambda_{w,max}$ Cumple	x: 0.1 m η = 20.2	x: 0 m η = 5.4	x: 0.1 m η = 0.3	x: 0 m η = 1.8	η = 0.2	x: 0 m η = 0.8	η < 0.1	η < 0.1	x: 0.1 m η = 21.6	η < 0.1	η = 1.3	η = 0.2	x: 0 m η = 0.8	CUMPLE h = 21.6
N758/N510	$\bar{\lambda}$ < 2.0 Cumple	$\lambda_w \leq \lambda_{w,max}$ Cumple	x: 1.855 m η = 20.3	x: 0 m η = 5.7	x: 1.855 m η = 0.5	x: 1.855 m η = 3.8	η < 0.1	x: 0 m η = 0.4	η < 0.1	η < 0.1	x: 1.855 m η = 24.6	η < 0.1	η = 0.9	η < 0.1	x: 0 m η = 0.4	CUMPLE h = 24.6
N510/N181	$\bar{\lambda}$ < 2.0 Cumple	$\lambda_w \leq \lambda_{w,max}$ Cumple	x: 0.845 m η = 20.3	x: 0 m η = 5.3	x: 0 m η = 0.5	x: 0 m η = 3.4	η = 0.1	x: 0.845 m η = 1.1	η < 0.1	η < 0.1	x: 0 m η = 24.1	η < 0.1	η = 0.4	η = 0.1	x: 0.845 m η = 1.1	CUMPLE h = 24.1
N181/N500	$\bar{\lambda}$ < 2.0 Cumple	$\lambda_w \leq \lambda_{w,max}$ Cumple	x: 1.11 m η = 26.0	x: 0 m η = 6.0	x: 0 m η = 0.3	x: 1.11 m η = 4.1	η = 0.1	x: 0 m η = 1.0	η < 0.1	η < 0.1	x: 1.11 m η = 30.2	η < 0.1	η = 0.3	η = 0.1	x: 0 m η = 1.0	CUMPLE h = 30.2
N500/N182	$\bar{\lambda}$ < 2.0 Cumple	$\lambda_w \leq \lambda_{w,max}$ Cumple	x: 1.486 m η = 26.1	x: 0 m η = 6.1	x: 1.486 m η = 0.3	x: 0 m η = 4.1	η = 0.1	x: 1.486 m η = 0.3	η < 0.1	η < 0.1	x: 0 m η = 30.1	η < 0.1	η = 0.4	η = 0.1	x: 1.486 m η = 0.4	CUMPLE h = 30.1
N182/N490	$\bar{\lambda}$ < 2.0 Cumple	$\lambda_w \leq \lambda_{w,max}$ Cumple	x: 0.469 m η = 31.1	x: 0 m η = 6.6	x: 0.469 m η = 0.4	x: 0.469 m η = 4.4	η = 0.1	x: 0 m η = 1.2	η < 0.1	η < 0.1	x: 0.469 m η = 35.8	η < 0.1	η = 0.1	η = 0.1	x: 0 m η = 1.2	CUMPLE h = 35.8
N490/N183	$\bar{\lambda}$ < 2.0 Cumple	$\lambda_w \leq \lambda_{w,max}$ Cumple	x: 1.955 m η = 31.1	x: 0 m η = 7.0	x: 1.955 m η = 0.7	x: 0.586 m η = 4.5	η = 0.1	x: 1.955 m η = 0.2	η < 0.1	η < 0.1	x: 0.977 m η = 36.1	η < 0.1	η = 0.2	η = 0.1	x: 1.955 m η = 0.2	CUMPLE h = 36.1
N183/N184	$\bar{\lambda}$ < 2.0 Cumple	$\lambda_w \leq \lambda_{w,max}$ Cumple	x: 2.265 m η = 35.1	x: 0 m η = 7.6	x: 0 m η = 0.7	x: 1.887 m η = 4.8	η = 0.1	x: 0 m η = 0.3	η < 0.1	η < 0.1	x: 1.51 m η = 40.1	η < 0.1	η = 0.1	η = 0.1	x: 0 m η = 0.3	CUMPLE h = 40.1
N184/N185	$\bar{\lambda}$ < 2.0 Cumple	$\lambda_w \leq \lambda_{w,max}$ Cumple	x: 2.116 m η = 38.0	x: 0 m η = 7.7	x: 0 m η = 0.1	x: 1.693 m η = 5.4	η < 0.1	x: 0 m η = 0.2	η < 0.1	η < 0.1	x: 1.904 m η = 43.4	η < 0.1	η = 0.1	η < 0.1	x: 0 m η = 0.2	CUMPLE h = 43.4
N185/N186	$\bar{\lambda}$ < 2.0 Cumple	$\lambda_w \leq \lambda_{w,max}$ Cumple	x: 1.976 m η = 40.0	x: 0 m η = 7.7	x: 0 m η = 0.1	x: 1.581 m η = 5.9	η < 0.1	x: 0 m η = 0.2	η < 0.1	η < 0.1	x: 1.581 m η = 46.0	η < 0.1	η = 0.2	η < 0.1	x: 0 m η = 0.2	CUMPLE h = 46.0
N186/N187	$\bar{\lambda}$ < 2.0 Cumple	$\lambda_w \leq \lambda_{w,max}$ Cumple	x: 1.846 m η = 41.2	x: 0 m η = 7.8	x: 0 m η = 0.1	x: 1.477 m η = 6.4	η < 0.1	x: 0 m η = 0.2	η < 0.1	η < 0.1	x: 1.477 m η = 47.7	η < 0.1	η = 0.2	η < 0.1	x: 0 m η = 0.2	CUMPLE h = 47.7
N187/N188	$\bar{\lambda}$ < 2.0 Cumple	$\lambda_w \leq \lambda_{w,max}$ Cumple	x: 1.743 m η = 41.7	x: 0 m η = 8.0	x: 0 m η = 0.1	x: 1.743 m η = 8.5	η < 0.1	x: 0 m η = 0.4	η < 0.1	η < 0.1	x: 1.743 m η = 50.2	η < 0.1	η = 0.1	η < 0.1	x: 0 m η = 0.4	CUMPLE h = 50.2
N188/N190	$\bar{\lambda}$ < 2.0 Cumple	$\lambda_w \leq \lambda_{w,max}$ Cumple	x: 3.109 m η = 40.8	x: 0 m η = 9.2	x: 3.109 m η = 0.1	x: 0 m η = 8.9	η < 0.1	x: 3.109 m η = 0.5	η < 0.1	η < 0.1	x: 0 m η = 49.7	η < 0.1	η = 0.1	η < 0.1	x: 3.109 m η = 0.5	CUMPLE h = 49.7
N190/N191	$\bar{\lambda}$ < 2.0 Cumple	$\lambda_w \leq \lambda_{w,max}$ Cumple	x: 1.405 m η = 38.2	x: 0 m η = 7.5	x: 1.405 m η = 0.1	x: 1.405 m η = 7.3	η < 0.1	x: 0 m η = 0.4	η < 0.1	η < 0.1	x: 1.405 m η = 45.6	η < 0.1	η = 0.1	η < 0.1	x: 0 m η = 0.4	CUMPLE h = 45.6
N191/N192	$\bar{\lambda}$ < 2.0 Cumple	$\lambda_w \leq \lambda_{w,max}$ Cumple	x: 1.313 m η = 35.5	x: 0 m η = 6.9	x: 0.875 m η = 0.1	x: 0 m η = 7.7	η < 0.1	x: 1.313 m η = 0.2	η < 0.1	η < 0.1	x: 0 m η = 43.2	η < 0.1	η = 0.1	η < 0.1	x: 1.313 m η = 0.2	CUMPLE h = 43.2
N192/N193	$\bar{\lambda}$ < 2.0 Cumple	$\lambda_w \leq \lambda_{w,max}$ Cumple	x: 1.226 m η = 31.9	x: 0 m η = 6.2	x: 0 m η = 0.1	x: 0 m η = 7.4	η < 0.1	x: 1.226 m η = 0.3	η < 0.1	η < 0.1	x: 0 m η = 39.4	η < 0.1	η = 0.1	η < 0.1	x: 1.226 m η = 0.3	CUMPLE h = 39.4
N193/N194	$\bar{\lambda}$ < 2.0 Cumple	$\lambda_w \leq \lambda_{w,max}$ Cumple	x: 1.156 m η = 27.6	x: 0 m η = 5.4	x: 1.156 m η = 0.1	x: 0 m η = 7.2	η < 0.1	x: 1.156 m η = 0.4	η < 0.1	η < 0.1	x: 0 m η = 34.8	η < 0.1	η = 0.2	η < 0.1	x: 1.156 m η = 0.4	CUMPLE h = 34.8
N194/N195	$\bar{\lambda}$ < 2.0 Cumple	$\lambda_w \leq \lambda_{w,max}$ Cumple	x: 1.087 m η = 22.3	x: 0 m η = 4.2	x: 1.087 m η = 0.3	x: 0 m η = 6.4	η = 0.1	x: 1.087 m η = 0.4	η < 0.1	η < 0.1	x: 0 m η = 28.9	η < 0.1	η = 0.2	η = 0.1	x: 1.087 m η = 0.4	CUMPLE h = 28.9
N195/N196	$\bar{\lambda}$ < 2.0 Cumple	$\lambda_w \leq \lambda_{w,max}$ Cumple	x: 0.998 m η = 16.5	x: 0 m η = 3.1	x: 0 m η = 0.4	x: 0 m η = 5.6	η < 0.1	x: 0.998 m η = 0.7	η < 0.1	η < 0.1	x: 0 m η = 22.6	η < 0.1	η = 0.2	η < 0.1	x: 0.998 m η = 0.7	CUMPLE h = 22.6
N196/N197	$\bar{\lambda}$ < 2.0 Cumple	$\lambda_w \leq \lambda_{w,max}$ Cumple	x: 0.932 m η = 9.6	x: 0 m η = 2.0	x: 0 m η = 0.3	x: 0 m η = 4.1	η = 0.1	x: 0.932 m η = 0.2	η < 0.1	η < 0.1	x: 0 m η = 14.0	η < 0.1	η = 0.2	η = 0.1	x: 0.932 m η = 0.2	CUMPLE h = 14.0
N197/N198	$\bar{\lambda}$ < 2.0 Cumple	$\lambda_w \leq \lambda_{w,max}$ Cumple	x: 0.572 m η = 0.8	x: 0 m η = 0.9	x: 0 m η = 0.1	x: 0 m η = 4.6	η = 0.1	x: 0.572 m η = 3.0	η < 0.1	η < 0.1	x: 0 m η = 5.5	η < 0.1	η = 0.1	η = 0.1	x: 0.572 m η = 3.0	CUMPLE h = 5.5
N218/N222	$\bar{\lambda}$ < 2.0 Cumple	$\lambda_w \leq \lambda_{w,max}$ Cumple	x: 2.976 m η = 2.7	x: 0 m η = 1.4	x: 2.976 m η = 0.3	x: 2.976 m η = 6.2	η < 0.1	x: 0 m η = 1.0	η < 0.1	η < 0.1	x: 2.976 m η = 9.2	η < 0.1	η = 0.2	η < 0.1	x: 0 m η = 1.0	CUMPLE h = 9.2
N222/N759	$\bar{\lambda}$ < 2.0 Cumple	$\lambda_w \leq \lambda_{w,max}$ Cumple	x: 0.1 m η = 20.0	x: 0 m η = 5.2	x: 0.1 m η = 0.5	x: 0 m η = 1.8	η = 0.1	x: 0 m η = 0.8	η < 0.1	η < 0.1	x: 0.1 m η = 21.6	η < 0.1	η = 1.2	η = 0.1	x: 0 m η = 0.8	CUMPLE h = 21.6
N759/N511	$\bar{\lambda}$ < 2.0 Cumple	$\lambda_w \leq \lambda_{w,max}$ Cumple	x: 1.855 m η = 20.0	x: 0 m η = 5.5	x: 1.855 m η = 0.6	x: 1.855 m η = 3.7	η = 0.2	x: 0 m η = 0.4	η < 0.1	η < 0.1	x: 1.855 m η = 23.9	η < 0.1	η = 0.8	η = 0.2	x: 0 m η = 0.4	CUMPLE h = 23.9
N511/N224	$\bar{\lambda}$ < 2.0 Cumple	$\lambda_w \leq \lambda_{w,max}$ Cumple	x: 0.845 m η = 20.1	x: 0 m η = 5.2	x: 0 m η = 0.6	x: 0 m η = 3.2	η = 0.1	x: 0.845 m η = 1.0	η < 0.1	η < 0.1	x: 0 m η = 23.5	η < 0.1	η = 0.4	η = 0.1	x: 0.845 m η = 1.0	CUMPLE h = 23.5
N224/N501	$\bar{\lambda}$ < 2.0 Cumple	$\lambda_w \leq \lambda_{w,max}$ Cumple	x: 1.11 m η = 25.8	x: 0 m η = 5.9	x: 0 m η = 0.3	x: 1.11 m η = 4.1	η = 0.1	x: 0 m η = 1.0	η < 0.1	η < 0.1	x: 1.11 m η = 29.9	η < 0.1	η = 0.2	η = 0.1	x: 0 m η = 1.0	CUMPLE h = 29.9
N501/N225	$\bar{\lambda}$ < 2.0 Cumple	$\lambda_w \leq \lambda_{w,max}$ Cumple	x: 1.486 m η = 25.9	x: 0 m η = 6.0	x: 1.486 m η = 0.2	x: 0 m η = 4.1	η = 0.1	x: 1.486 m η = 0.4	η < 0.1	η < 0.1	x: 0 m η = 29.9	η < 0.1	η = 0.3	η = 0.1	x: 1.486 m η = 0.4	CUMPLE h = 29.9
N225/N491	$\bar{\lambda}$ < 2.0 Cumple	$\lambda_w \leq \lambda_{w,max}$ Cumple	x: 0.469 m η = 30.9	x: 0 m η = 6.4	x: 0.469 m η = 0.3	x: 0.469 m η = 4.4	η = 0.1	x: 0 m η = 1.2	η < 0.1	η < 0.1	x: 0.469 m η = 35.6	η < 0.1	η = 0.1	η = 0.1	x: 0 m η = 1.2	CUMPLE h = 35.6
N491/N226	$\bar{\lambda}$ < 2.0 Cumple	$\lambda_w \leq \lambda_{w,max}$ Cumple	x: 1.955 m η = 30.9	x: 0 m η = 6.9	x: 1.955 m η = 0.7	x: 0.586 m η = 4.5	η = 0.1	x: 1.955 m η = 0.2	η < 0.1	η < 0.1	x: 0.977 m η = 35.8	η < 0.1	η = 0.2	η = 0.1	x: 1.955 m η = 0.2	CUMPLE h = 35.8
N226/N227	$\bar{\lambda}$ < 2.0 Cumple	$\lambda_w \leq \lambda_{w,max}$ Cumple	x: 2.265 m η = 34.9	x: 0 m η = 7.5	x: 0 m η = 0.7	x: 1.887 m η = 4.7	η = 0.1	x: 0 m η = 0.3	η < 0.1	η < 0.1	x: 1.51 m η = 39.9	η < 0.1	η = 0.1	η = 0.1	x: 0 m η = 0.3	CUMPLE h = 39.9
N227/N228	$\bar{\lambda}$ < 2.0 Cumple	$\lambda_w \leq \lambda_{w,max}$ Cumple	x: 2.116 m η = 37.8	x: 0 m η = 7.6	x: 0 m η = 0.2	x: 1.693 m η = 5.3	η < 0.1	x: 0 m η = 0.2	η < 0.1	η < 0.1	x: 1.904 m η = 43.2	η < 0.1	η = 0.1	η < 0.1	x: 0 m η = 0.2	CUMPLE h = 43.2
N228/N229	$\bar{\lambda}$ < 2.0 Cumple	$\lambda_w \leq \lambda_{w,max}$ Cumple	x: 1.976 m η = 39.9	x: 0 m η = 7.6	x: 0 m η = 0.1	x: 1.581 m η = 5.9	η < 0.1	x: 0 m η = 0.2	η < 0.1	η < 0.1	x: 1.581 m η = 45.8	η < 0.1	η = 0.2	η < 0.1	x: 0 m η = 0.2	CUMPLE h = 45.8
N229/N230	$\bar{\lambda}$ < 2.0 Cumple	$\lambda_w \leq \lambda_{w,max}$ Cumple	x: 1.846 m η = 41.1	x: 0 m η = 7.7	x: 0 m η = 0.1	x: 1.477 m η = 6.3	η < 0.1	x: 0 m η = 0.2	η < 0.1	η < 0.1	x: 1.477 m η = 47.5	η < 0.1	η = 0.2	η < 0.1	x: 0 m η = 0.2	CUMPLE h = 47.5
N230/N231	$\bar{\lambda}$ < 2.0 Cumple	$\lambda_w \leq \lambda_{w,max}$ Cumple	x: 1.743 m η = 41.6	x: 0 m η = 7.9	x: 0 m η = 0.1	x: 1.743 m η = 8.4	η < 0.1	x: 0 m η = 0.4	η < 0.1	η < 0.1	x: 1.743 m η = 50.1	η < 0.1	η = 0.2	η < 0.1	x: 0 m η = 0.4	CUMPLE h = 50.1
N231/N233	$\bar{\lambda}$ < 2.0 Cumple	$\lambda_w \leq \lambda_{w,max}$ Cumple	x: 3.109 m η = 40.6	x: 0 m η = 9.1	x: 3.109 m η = 0.1	x: 0 m η = 8.8	η < 0.1	x: 3.109 m η = 0.5	η < 0.1	η < 0.1	x: 0 m η = 49.5	η < 0.1	η = 0.1	η < 0.1	x: 3.109 m η = 0.5	CUMPLE h = 49.5
N233/N234	$\bar{\lambda}$ < 2.0 Cumple	$\lambda_w \leq \lambda_{w,max}$ Cumple	x: 1.405 m η = 38.1	x: 0 m η = 7.4	x: 1.405 m η = 0.1	x: 1.405 m η = 7.3	η < 0.1	x: 0 m η = 0.4	η < 0.1	η < 0.1	x: 1.405 m η = 45.5	η < 0.1	η = 0.1	η < 0.1	x: 0 m η = 0.4	CUMPLE h = 45.5
N234/N235	$\bar{\lambda}$ < 2.0 Cumple	$\lambda_w \leq \lambda_{w,max}$ Cumple	x: 1.313 m η = 35.4	x: 0 m η = 6.8	x: 1.313 m η = 0.1	x: 0 m η = 7.7	η < 0.1	x: 1.313 m η = 0.2	η < 0.1	η < 0.1	x: 0 m η = 43.1	η < 0.1	η = 0.1	η < 0.1	x: 1.313 m η = 0.2	CUMPLE h = 43.1
N235/N236	$\bar{\lambda}$ < 2.0 Cumple	$\lambda_w \leq \lambda_{w,max}$ Cumple	x: 1.226 m η = 31.8	x: 0 m η = 6.1	x: 0 m η = 0.1	x: 0 m η = 7.4	η < 0.1	x: 1.226 m η = 0.3	η < 0.1	η < 0.1	x: 0 m η = 39.3	η < 0.1	η = 0.1	η < 0.1	x: 1.226 m η = 0.3	CUMPLE h = 39.3
N236/N237	$\bar{\lambda}$ < 2.0 Cumple	$\lambda_w \leq \lambda_{w,max}$ Cumple	x: 1.156 m η = 27.5	x: 0 m η = 5.3	x: 0 m η = 0.1	x: 0 m η = 7.1	η < 0.1	x: 1.156 m η = 0.4	η < 0.1	η < 0.1	x: 0 m η = 34.8	η < 0.1	η = 0.2	η < 0.1	x: 1.156 m η = 0.4	CUMPLE h = 34.8
N237/N238	$\bar{\lambda}$ < 2.0 Cumple	$\lambda_w \leq \lambda_{w,max}$ Cumple	x: 1.087 m η = 22.3	x: 0 m η = 4.2	x: 1.087 m η = 0.3	x: 0 m η = 6.4	η = 0.1	x: 1.087 m η = 0.4	η < 0.1	η < 0.1	x: 0 m η = 28.7	η < 0.1	η = 0.2	η = 0.1	x: 1.087 m η = 0.4	CUMPLE h = 28.7
N238/N239	$\bar{\lambda}$ < 2.0 Cumple	$\lambda_w \leq \lambda_{w,max}$ Cumple	x: 0.998 m η = 16.5	x: 0 m η = 3.1	x: 0 m η = 0.3	x: 0 m η = 5.6	η < 0.1	x: 0.998 m η = 0.7	η < 0.1	η < 0.1	x: 0 m η = 22.4	η < 0.1	η = 0.2	η < 0.1	x: 0.998 m η = 0.7	CUMPLE h = 22.4
N239/N240	$\bar{\lambda}$ < 2.0 Cumple	$\lambda_w \leq \lambda_{w,max}$ Cumple	x: 0.932 m η = 9.6	x: 0 m η = 2.0	x: 0 m η = 0.2	x: 0 m η = 4.1	η = 0.1	x: 0.932 m η = 0.2	η < 0.1	η < 0.1	x: 0 m η = 13.9	η < 0.1	η = 0.2	η = 0.1	x: 0.932 m η = 0.2	CUMPLE h = 13.9
N240/N241	$\bar{\lambda}$ < 2.0 Cumple	$\lambda_w \leq \lambda_{w,max}$ Cumple	x: 0.572 m η = 0.8	x: 0 m η = 0.9	x: 0.572 m η = 0.1	x: 0 m η = 4.6	η < 0.1	x: 0.572 m η = 3.0	η < 0.1	η < 0.1	x: 0 m η = 5.4	η < 0.1	η = 0.2	η < 0.1	x: 0.572 m η = 3.0	CUMPLE h = 5.4
N261/N265	$\bar{\lambda}$ < 2.0 Cumple	$\lambda_w \leq \lambda_{w,max}$ Cumple	x: 2.976 m η = 2.6	x: 0 m η = 1.3	x: 2.976 m η = 0.5	x: 2.976 m η = 6.2	η = 0.1	x: 0 m η = 1.0	η < 0.1	η < 0.1	x: 2.976 m η = 9.2	η < 0.1	η = 0.2	η = 0.1	x: 0 m η = 1.0	CUMPLE h = 9.2
N265/N760	$\bar{\lambda}$ < 2.0 Cumple	$\lambda_w \leq \lambda_{w,max}$ Cumple	x: 0.1 m η = 19.7	x: 0 m η = 4.8	x: 0 m η = 0.6	x: 0 m η = 1.8	η = 0.3	x: 0 m η = 0.8	η < 0.1	η < 0.1	x: 0.1 m η = 21.3	η < 0.1	η = 1.3	η = 0.3	x: 0 m η = 0.8	CUMPLE h = 21.3
N760/N512	$\bar{\lambda}$ < 2.0 Cumple	$\lambda_w \leq \lambda_{w,max}$ Cumple	x: 1.855 m η = 19.8	x: 0 m η = 5.1	x: 1.855 m η = 1.3	x: 1.855 m η = 3.6	η = 0.3	x: 0 m η = 0.4	η < 0.1	η < 0.1	x: 1.855 m η = 23.5	η < 0.1	η = 0.8	η = 0.3	x: 0 m η = 0.4	CUMPLE h = 23.5
N512/N267	$\bar{\lambda}$ < 2.0 Cumple	$\lambda_w \leq \lambda_{w,max}$ Cumple	x: 0.845 m η = 19.8	x: 0 m η = 4.9	x: 0 m η = 1.4	x: 0 m η = 3.2	η = 0.3	x: 0.845 m η = 1.0	η < 0.1	η < 0.1	x: 0 m η = 23.3	η < 0.1	η = 0.4	η = 0.3	x: 0.845 m η = 1.0	CUMPLE h = 23.3
N267/N502	$\bar{\lambda}$ < 2.0 Cumple	$\lambda_w \leq \lambda_{w,max}$ Cumple	x: 1.11 m η = 25.6	x: 0 m η = 5.6	x: 0 m η = 0.6	x: 1.11 m η = 4.1	η = 0.3	x: 0 m η = 1.0	η < 0.1	η < 0.1	x: 1.11 m η = 29.7	η < 0.1	η = 0.2	η = 0.3	x: 0 m η = 1.0	CUMPLE h = 29.7
N502/N268	$\bar{\lambda}$ < 2.0 Cumple	$\lambda_w \leq \lambda_{w,max}$ Cumple	x: 1.486 m η = 25.6	x: 0 m η = 5.7	x: 1.486 m η = 0.2	x: 0 m η = 4.1	η = 0.1	x: 1.486 m η = 0.4	η < 0.1	η < 0.1	x: 0 m η = 29.8	η < 0.1	η = 0.3	η = 0.1	x: 1.486 m η = 0.4	CUMPLE h = 29.8
N268/N492	$\bar{\lambda}$ < 2.0 Cumple	$\lambda_w \leq \lambda_{w,max}$ Cumple	x: 0.469 m η = 30.7	x: 0 m η = 6.2	x: 0 m η = 0.2	x: 0.469 m η = 4.3	η = 0.1	x: 0 m η = 1.2	η < 0.1	η < 0.1	x: 0.469 m η = 35.2	η < 0.1	η = 0.1	η = 0.1	x: 0 m η = 1.2	CUMPLE h = 35.2
N492/N269	$\bar{\lambda}$ < 2.0 Cumple	$\lambda_w \leq \lambda_{w,max}$ Cumple	x: 1.955 m η = 30.7	x: 0 m η = 6.6	x: 1.955 m η = 0.7	x: 0.586 m η = 4.4	η = 0.1	x: 1.955 m η = 0.2	η < 0.1	η < 0.1	x: 0.977 m η = 35.6	η < 0.1	η = 0.2	η = 0.1	x: 1.955 m η = 0.2	CUMPLE h = 35.6
N269/N270	$\bar{\lambda}$ < 2.0 Cumple	$\lambda_w \leq \lambda_{w,max}$ Cumple	x: 2.265 m η = 34.7	x: 0 m η = 7.2	x: 0 m η = 0.8	x: 1.887 m η = 4.7	η = 0.1	x: 0 m η = 0.3	η < 0.1	η < 0.1	x: 1.51 m η = 39.7	η < 0.1	η = 0.1	η = 0.1	x: 0 m η = 0.3	CUMPLE h = 39.7
N270/N271	$\bar{\lambda}$ < 2.0 Cumple	$\lambda_w \leq \lambda_{w,max}$ Cumple	x: 2.116 m η = 37.6	x: 0 m η = 7.3	x: 0 m η = 0.2	x: 1.693 m η = 5.3	η < 0.1	x: 0 m η = 0.2	η < 0.1	η < 0.1	x: 1.904 m η = 42.9	η < 0.1	η = 0.1	η < 0.1	x: 0 m η = 0.2	CUMPLE h = 42.9

AJUNTAMENT D'OLERDOLA
Aquest document és una còpia simple del document electrònic original.

Listados

Cobriment de pista a Sant Pere Molanta (Olèrdola)

Fecha: 10/03/26

Barras	COMPROBACIONES (CTE DB SE-A)															Estado
	$\bar{\lambda}$	λ_w	N_t	N_c	M_y	M_z	V_z	V_y	$M_t V_z$	$M_z V_y$	NM_yM_z	$NM_yM_zV_yV_z$	M_t	$M_t V_z$	$M_t V_y$	
N271/N272	$\bar{\lambda}$ < 2.0 Cumple	$\lambda_w \leq \lambda_{w,max}$ Cumple	x: 1.976 m η = 39.6	x: 0 m η = 7.3	x: 0 m η = 0.1	x: 1.581 m η = 5.8	η < 0.1	x: 0 m η = 0.2	η < 0.1	η < 0.1	x: 1.581 m η = 45.6	η < 0.1	η = 0.2	η < 0.1	x: 0 m η = 0.2	CUMPLE h = 45.6
N272/N273	$\bar{\lambda}$ < 2.0 Cumple	$\lambda_w \leq \lambda_{w,max}$ Cumple	x: 1.846 m η = 40.9	x: 0 m η = 7.5	x: 0 m η = 0.1	x: 1.477 m η = 6.3	η < 0.1	x: 0 m η = 0.2	η < 0.1	η < 0.1	x: 1.477 m η = 47.3	η < 0.1	η = 0.2	η < 0.1	x: 0 m η = 0.2	CUMPLE h = 47.3
N273/N274	$\bar{\lambda}$ < 2.0 Cumple	$\lambda_w \leq \lambda_{w,max}$ Cumple	x: 1.743 m η = 41.4	x: 0 m η = 7.8	x: 0 m η = 0.1	x: 1.743 m η = 8.4	η < 0.1	x: 0 m η = 0.4	η < 0.1	η < 0.1	x: 1.743 m η = 49.8	η < 0.1	η = 0.2	η < 0.1	x: 0 m η = 0.4	CUMPLE h = 49.8
N274/N276	$\bar{\lambda}$ < 2.0 Cumple	$\lambda_w \leq \lambda_{w,max}$ Cumple	x: 3.109 m η = 40.5	x: 0 m η = 8.9	x: 3.109 m η < 0.1	x: 0 m η = 8.8	η < 0.1	x: 3.109 m η = 0.5	η < 0.1	η < 0.1	x: 0 m η = 49.3	η < 0.1	η = 0.1	η < 0.1	x: 3.109 m η = 0.5	CUMPLE h = 49.3
N276/N277	$\bar{\lambda}$ < 2.0 Cumple	$\lambda_w \leq \lambda_{w,max}$ Cumple	x: 1.405 m η = 38.0	x: 0 m η = 7.3	x: 1.405 m η = 0.1	x: 1.405 m η = 7.2	η < 0.1	x: 0 m η = 0.4	η < 0.1	η < 0.1	x: 1.405 m η = 45.3	η < 0.1	η = 0.1	η < 0.1	x: 0 m η = 0.4	CUMPLE h = 45.3
N277/N278	$\bar{\lambda}$ < 2.0 Cumple	$\lambda_w \leq \lambda_{w,max}$ Cumple	x: 1.313 m η = 35.2	x: 0 m η = 6.7	x: 1.313 m η = 0.1	x: 0 m η = 7.6	η < 0.1	x: 1.313 m η = 0.2	η < 0.1	η < 0.1	x: 0 m η = 42.9	η < 0.1	η = 0.1	η < 0.1	x: 1.313 m η = 0.2	CUMPLE h = 42.9
N278/N279	$\bar{\lambda}$ < 2.0 Cumple	$\lambda_w \leq \lambda_{w,max}$ Cumple	x: 1.226 m η = 31.7	x: 0 m η = 6.0	x: 1.226 m η = 0.1	x: 0 m η = 7.4	η < 0.1	x: 1.226 m η = 0.3	η < 0.1	η < 0.1	x: 0 m η = 39.2	η < 0.1	η = 0.1	η < 0.1	x: 1.226 m η = 0.3	CUMPLE h = 39.2
N279/N280	$\bar{\lambda}$ < 2.0 Cumple	$\lambda_w \leq \lambda_{w,max}$ Cumple	x: 1.156 m η = 27.4	x: 0 m η = 5.2	x: 1.156 m η = 0.2	x: 0 m η = 7.1	η < 0.1	x: 1.156 m η = 0.4	η < 0.1	η < 0.1	x: 0 m η = 34.7	η < 0.1	η = 0.1	η < 0.1	x: 1.156 m η = 0.4	CUMPLE h = 34.7
N280/N281	$\bar{\lambda}$ < 2.0 Cumple	$\lambda_w \leq \lambda_{w,max}$ Cumple	x: 1.087 m η = 22.2	x: 0 m η = 4.2	x: 1.087 m η = 0.2	x: 0 m η = 6.4	η = 0.1	x: 1.087 m η = 0.4	η < 0.1	η < 0.1	x: 0 m η = 28.6	η < 0.1	η = 0.2	η = 0.1	x: 1.087 m η = 0.4	CUMPLE h = 28.6
N281/N282	$\bar{\lambda}$ < 2.0 Cumple	$\lambda_w \leq \lambda_{w,max}$ Cumple	x: 0.998 m η = 16.4	x: 0 m η = 3.0	x: 0 m η = 0.2	x: 0 m η = 5.6	η < 0.1	x: 0.998 m η = 0.7	η < 0.1	η < 0.1	x: 0 m η = 22.2	η < 0.1	η = 0.3	η < 0.1	x: 0.998 m η = 0.7	CUMPLE h = 22.2
N282/N283	$\bar{\lambda}$ < 2.0 Cumple	$\lambda_w \leq \lambda_{w,max}$ Cumple	x: 0.932 m η = 9.6	x: 0 m η = 2.0	x: 0 m η = 0.2	x: 0 m η = 4.1	η = 0.1	x: 0.932 m η = 0.2	η < 0.1	η < 0.1	x: 0 m η = 13.7	η < 0.1	η = 0.3	η = 0.1	x: 0.932 m η = 0.2	CUMPLE h = 13.7
N283/N284	$\bar{\lambda}$ < 2.0 Cumple	$\lambda_w \leq \lambda_{w,max}$ Cumple	x: 0.572 m η = 0.8	x: 0 m η = 0.9	x: 0.572 m η = 0.1	x: 0 m η = 4.6	η < 0.1	x: 0.572 m η = 3.0	η < 0.1	η < 0.1	x: 0 m η = 5.5	η < 0.1	η = 0.2	η < 0.1	x: 0.572 m η = 3.0	CUMPLE h = 5.5
N304/N308	$\bar{\lambda}$ < 2.0 Cumple	$\lambda_w \leq \lambda_{w,max}$ Cumple	x: 2.976 m η = 2.5	x: 0 m η = 1.2	x: 2.976 m η = 0.7	x: 2.976 m η = 6.0	η = 0.1	x: 0 m η = 1.0	η < 0.1	η < 0.1	x: 2.976 m η = 9.1	η < 0.1	η = 0.2	η = 0.1	x: 0 m η = 1.0	CUMPLE h = 9.1
N308/N761	$\bar{\lambda}$ < 2.0 Cumple	$\lambda_w \leq \lambda_{w,max}$ Cumple	x: 0.1 m η = 19.2	x: 0 m η = 4.2	x: 0 m η = 0.8	x: 0 m η = 2.0	η = 0.8	x: 0 m η = 0.9	η < 0.1	η < 0.1	x: 0.1 m η = 20.7	η < 0.1	η = 1.4	η = 0.8	x: 0 m η = 0.9	CUMPLE h = 20.7
N761/N513	$\bar{\lambda}$ < 2.0 Cumple	$\lambda_w \leq \lambda_{w,max}$ Cumple	x: 1.855 m η = 19.2	x: 0 m η = 4.4	x: 1.855 m η = 1.7	x: 1.855 m η = 3.7	η = 0.4	x: 0 m η = 0.5	η < 0.1	η < 0.1	x: 1.855 m η = 23.5	η < 0.1	η = 0.9	η = 0.4	x: 0 m η = 0.5	CUMPLE h = 23.5
N513/N310	$\bar{\lambda}$ < 2.0 Cumple	$\lambda_w \leq \lambda_{w,max}$ Cumple	x: 0.845 m η = 19.4	x: 0 m η = 4.4	x: 0 m η = 1.8	x: 0 m η = 3.3	η = 0.4	x: 0.845 m η = 1.0	η < 0.1	η < 0.1	x: 0 m η = 23.3	η < 0.1	η = 0.4	η = 0.4	x: 0.845 m η = 1.0	CUMPLE h = 23.3
N310/N503	$\bar{\lambda}$ < 2.0 Cumple	$\lambda_w \leq \lambda_{w,max}$ Cumple	x: 1.11 m η = 25.2	x: 0 m η = 5.1	x: 0 m η = 0.8	x: 1.11 m η = 4.0	η = 0.4	x: 0 m η = 1.0	η < 0.1	η < 0.1	x: 1.11 m η = 29.4	η < 0.1	η = 0.2	η = 0.4	x: 0 m η = 1.0	CUMPLE h = 29.4
N503/N311	$\bar{\lambda}$ < 2.0 Cumple	$\lambda_w \leq \lambda_{w,max}$ Cumple	x: 1.486 m η = 25.2	x: 0 m η = 5.2	x: 0 m η = 0.3	x: 0 m η = 4.0	η < 0.1	x: 1.486 m η = 0.4	η < 0.1	η < 0.1	x: 0 m η = 29.4	η < 0.1	η = 0.3	η < 0.1	x: 1.486 m η = 0.4	CUMPLE h = 29.4
N311/N493	$\bar{\lambda}$ < 2.0 Cumple	$\lambda_w \leq \lambda_{w,max}$ Cumple	x: 0.469 m η = 30.3	x: 0 m η = 5.7	x: 0 m η = 0.3	x: 0.469 m η = 4.3	η = 0.1	x: 0 m η = 1.2	η < 0.1	η < 0.1	x: 0.469 m η = 34.7	η < 0.1	η < 0.1	η = 0.1	x: 0 m η = 1.2	CUMPLE h = 34.7
N493/N312	$\bar{\lambda}$ < 2.0 Cumple	$\lambda_w \leq \lambda_{w,max}$ Cumple	x: 1.955 m η = 30.4	x: 0 m η = 6.1	x: 1.955 m η = 0.9	x: 0.586 m η = 4.4	η = 0.2	x: 1.955 m η = 0.2	η < 0.1	η < 0.1	x: 1.368 m η = 35.3	η < 0.1	η = 0.2	η = 0.2	x: 1.955 m η = 0.2	CUMPLE h = 35.3
N312/N313	$\bar{\lambda}$ < 2.0 Cumple	$\lambda_w \leq \lambda_{w,max}$ Cumple	x: 2.265 m η = 34.4	x: 0 m η = 6.7	x: 0 m η = 1.0	x: 1.887 m η = 4.7	η = 0.1	x: 0 m η = 0.3	η < 0.1	η < 0.1	x: 1.321 m η = 39.5	η < 0.1	η = 0.1	η = 0.1	x: 0 m η = 0.3	CUMPLE h = 39.5
N313/N314	$\bar{\lambda}$ < 2.0 Cumple	$\lambda_w \leq \lambda_{w,max}$ Cumple	x: 2.116 m η = 37.3	x: 0 m η = 6.8	x: 0 m η = 0.3	x: 1.693 m η = 5.3	η < 0.1	x: 0 m η = 0.2	η < 0.1	η < 0.1	x: 1.481 m η = 42.6	η < 0.1	η < 0.1	η < 0.1	x: 0 m η = 0.2	CUMPLE h = 42.6
N314/N315	$\bar{\lambda}$ < 2.0 Cumple	$\lambda_w \leq \lambda_{w,max}$ Cumple	x: 1.976 m η = 39.4	x: 0 m η = 6.9	x: 1.976 m η = 0.1	x: 1.581 m η = 5.8	η < 0.1	x: 0 m η = 0.2	η < 0.1	η < 0.1	x: 1.581 m η = 45.3	η < 0.1	η = 0.2	η < 0.1	x: 0 m η = 0.2	CUMPLE h = 45.3
N315/N316	$\bar{\lambda}$ < 2.0 Cumple	$\lambda_w \leq \lambda_{w,max}$ Cumple	x: 1.846 m η = 40.7	x: 0 m η = 7.3	x: 0 m η = 0.1	x: 1.477 m η = 6.3	η < 0.1	x: 0 m η = 0.2	η < 0.1	η < 0.1	x: 1.477 m η = 47.1	η < 0.1	η = 0.3	η < 0.1	x: 0 m η = 0.2	CUMPLE h = 47.1
N316/N317	$\bar{\lambda}$ < 2.0 Cumple	$\lambda_w \leq \lambda_{w,max}$ Cumple	x: 1.743 m η = 41.2	x: 0 m η = 7.5	x: 0 m η = 0.1	x: 1.743 m η = 8.3	η < 0.1	x: 0 m η = 0.4	η < 0.1	η < 0.1	x: 1.743 m η = 49.6	η < 0.1	η = 0.2	η < 0.1	x: 0 m η = 0.4	CUMPLE h = 49.6
N317/N319	$\bar{\lambda}$ < 2.0 Cumple	$\lambda_w \leq \lambda_{w,max}$ Cumple	x: 3.109 m η = 40.3	x: 0 m η = 8.7	x: 0 m η = 0.1	x: 0 m η = 8.7	η < 0.1	x: 3.109 m η = 0.5	η < 0.1	η < 0.1	x: 0 m η = 49.1	η < 0.1	η = 0.2	η < 0.1	x: 3.109 m η = 0.5	CUMPLE h = 49.1
N319/N320	$\bar{\lambda}$ < 2.0 Cumple	$\lambda_w \leq \lambda_{w,max}$ Cumple	x: 1.405 m η = 37.8	x: 0 m η = 7.1	x: 1.405 m η = 0.1	x: 1.405 m η = 7.2	η < 0.1	x: 0 m η = 0.4	η < 0.1	η < 0.1	x: 1.405 m η = 45.1	η < 0.1	η = 0.2	η < 0.1	x: 0 m η = 0.4	CUMPLE h = 45.1
N320/N321	$\bar{\lambda}$ < 2.0 Cumple	$\lambda_w \leq \lambda_{w,max}$ Cumple	x: 1.313 m η = 35.1	x: 0 m η = 6.6	x: 1.313 m η = 0.1	x: 0 m η = 7.6	η < 0.1	x: 1.313 m η = 0.2	η < 0.1	η < 0.1	x: 0 m η = 42.8	η < 0.1	η = 0.2	η < 0.1	x: 1.313 m η = 0.2	CUMPLE h = 42.8
N321/N322	$\bar{\lambda}$ < 2.0 Cumple	$\lambda_w \leq \lambda_{w,max}$ Cumple	x: 1.226 m η = 31.6	x: 0 m η = 5.9	x: 1.226 m η = 0.1	x: 0 m η = 7.4	η < 0.1	x: 1.226 m η = 0.3	η < 0.1	η < 0.1	x: 0 m η = 39.1	η < 0.1	η = 0.2	η < 0.1	x: 1.226 m η = 0.3	CUMPLE h = 39.1
N322/N323	$\bar{\lambda}$ < 2.0 Cumple	$\lambda_w \leq \lambda_{w,max}$ Cumple	x: 1.156 m η = 27.3	x: 0 m η = 5.1	x: 1.156 m η = 0.2	x: 0 m η = 7.1	η < 0.1	x: 1.156 m η = 0.4	η < 0.1	η < 0.1	x: 0 m η = 34.6	η < 0.1	η = 0.1	η < 0.1	x: 1.156 m η = 0.4	CUMPLE h = 34.6
N323/N324	$\bar{\lambda}$ < 2.0 Cumple	$\lambda_w \leq \lambda_{w,max}$ Cumple	x: 1.087 m η = 22.1	x: 0 m η = 4.1	x: 1.087 m η = 0.4	x: 0 m η = 6.4	η < 0.1	x: 1.087 m η = 0.4	η < 0.1	η < 0.1	x: 0 m η = 28.6	η < 0.1	η = 0.2	η < 0.1	x: 1.087 m η = 0.4	CUMPLE h = 28.6
N324/N325	$\bar{\lambda}$ < 2.0 Cumple	$\lambda_w \leq \lambda_{w,max}$ Cumple	x: 0.998 m η = 16.4	x: 0 m η = 3.0	x: 0.998 m η = 0.4	x: 0 m η = 5.6	η < 0.1	x: 0.998 m η = 0.7	η < 0.1	η < 0.1	x: 0 m η = 22.0	η < 0.1	η = 0.3	η < 0.1	x: 0.998 m η = 0.7	CUMPLE h = 22.0
N325/N326	$\bar{\lambda}$ < 2.0 Cumple	$\lambda_w \leq \lambda_{w,max}$ Cumple	x: 0.932 m η = 9.5	x: 0 m η = 1.9	x: 0 m η = 0.3	x: 0 m η = 4.1	η < 0.1	x: 0.932 m η = 0.2	η < 0.1	η < 0.1	x: 0 m η = 13.6	η < 0.1	η = 0.5	η < 0.1	x: 0.932 m η = 0.2	CUMPLE h = 13.6
N326/N327	$\bar{\lambda}$ < 2.0 Cumple	$\lambda_w \leq \lambda_{w,max}$ Cumple	x: 0.572 m η = 0.8	x: 0 m η = 0.9	x: 0.572 m η = 0.3	x: 0 m η = 4.6	η < 0.1	x: 0.572 m η = 3.0	η < 0.1	η < 0.1	x: 0 m η = 5.6	η < 0.1	η = 0.4	η < 0.1	x: 0.572 m η = 3.0	CUMPLE h = 5.6
N347/N351	$\bar{\lambda}$ < 2.0 Cumple	$\lambda_w \leq \lambda_{w,max}$ Cumple	x: 2.976 m η = 2.0	x: 0 m η = 1.0	x: 2.976 m η = 0.7	x: 2.976 m η = 5.8	η = 0.1	x: 0 m η = 1.0	η < 0.1	η < 0.1	x: 2.976 m η = 8.5	η < 0.1	η = 0.2	η = 0.1	x: 0 m η = 1.0	CUMPLE h = 8.5
N351/N762	$\bar{\lambda}$ < 2.0 Cumple	$\lambda_w \leq \lambda_{w,max}$ Cumple	x: 0.1 m η = 17.9	x: 0 m η = 3.4	x: 0 m η = 0.9	x: 0 m η = 2.0	η = 1.2	x: 0 m η = 0.9	η < 0.1	η < 0.1	x: 0.1 m η = 18.9	η < 0.1	η = 1.0	η = 1.2	x: 0 m η = 0.9	CUMPLE h = 18.9
N762/N514	$\bar{\lambda}$ < 2.0 Cumple	$\lambda_w \leq \lambda_{w,max}$ Cumple	x: 1.855 m η = 17.9	x: 0 m η = 3.6	x: 0 m η = 0.8	x: 1.855 m η = 3.4	η = 0.2	x: 0 m η = 0.5	η < 0.1	η < 0.1	x: 1.855 m η = 21.6	η < 0.1	η = 0.6	η = 0.2	x: 0 m η = 0.5	CUMPLE h = 21.6
N514/N353	$\bar{\lambda}$ < 2.0 Cumple	$\lambda_w \leq \lambda_{w,max}$ Cumple	x: 0.845 m η = 17.9	x: 0 m η = 3.3	x: 0 m η = 0.8	x: 0 m η = 2.9	η = 0.1	x: 0.845 m η = 1.0	η < 0.1	η < 0.1	x: 0 m η = 21.0	η < 0.1	η = 0.4	η = 0.1	x: 0.845 m η = 1.0	CUMPLE h = 21.0
N353/N504	$\bar{\lambda}$ < 2.0 Cumple	$\lambda_w \leq \lambda_{w,max}$ Cumple	x: 1.11 m η = 23.9	x: 0 m η = 3.9	x: 0 m η = 0.5	x: 1.11 m η = 4.3	η = 0.1	x: 0 m η = 1.1	η < 0.1	η < 0.1	x: 1.11 m η = 28.3	η < 0.1	η = 0.3	η = 0.1	x: 0 m η = 1.1	CUMPLE h = 28.3
N504/N354	$\bar{\lambda}$ < 2.0 Cumple	$\lambda_w \leq \lambda_{w,max}$ Cumple	x: 1.486 m η = 24.0	x: 0 m η = 4.0	x: 1.486 m η = 0.2	x: 0 m η = 3.8	η = 0.1	x: 1.486 m η = 0.3	η < 0.1	η < 0.1	x: 0 m η = 27.9	η < 0.1	η = 0.3	η = 0.1	x: 1.486 m η = 0.3	CUMPLE h = 27.9
N354/N494	$\bar{\lambda}$ < 2.0 Cumple	$\lambda_w \leq \lambda_{w,max}$ Cumple	x: 0.469 m η = 29.4	x: 0 m η = 4.5	x: 0.469 m η = 0.3	x: 0.469 m η = 4.5	η = 0.1	x: 0 m η = 1.3	η < 0.1	η < 0.1	x: 0.469 m η = 34.2	η < 0.1	η = 0.3	η = 0.1	x: 0 m η = 1.3	CUMPLE h = 34.2
N494/N355	$\bar{\lambda}$ < 2.0 Cumple	$\lambda_w \leq \lambda_{w,max}$ Cumple	x: 1.955 m η = 29.4	x: 0 m η = 4.8	x: 1.955 m η = 1.1	x: 0.977 m η = 4.3	η = 0.2	x: 0 m η = 0.1	η < 0.1	η < 0.1	x: 1.955 m η = 34.7	η < 0.1	η = 0.2	η = 0.2	x: 0 m η = 0.1	CUMPLE h = 34.7
N355/N356	$\bar{\lambda}$ < 2.0 Cumple	$\lambda_w \leq \lambda_{w,max}$ Cumple	x: 2.265 m η = 33.7	x: 0 m η = 5.4	x: 0 m η = 1.2	x: 2.076 m η = 4.7	η = 0.1	x: 0 m η = 0.3	η < 0.1	η < 0.1	x: 1.51 m η = 39.0	η < 0.1	η = 0.1	η = 0.1	x: 0 m η = 0.3	CUMPLE h = 39.0
N356/N357	$\bar{\lambda}$ < 2.0 Cumple	$\lambda_w \leq \lambda_{w,max}$ Cumple	x: 2.116 m η = 36.9	x: 0 m η = 5.6	x: 0 m η = 0.3	x: 1.693 m η = 5.3	η = 0.1	x: 0 m η = 0.2	η < 0.1	η < 0.1	x: 1.481 m η = 42.3	η < 0.1	η = 0.1	η = 0.1	x: 0 m η = 0.2	CUMPLE h = 42.3
N357/N358	$\bar{\lambda}$ < 2.0 Cumple	$\lambda_w \leq \lambda_{w,max}$ Cumple	x: 1.976 m η = 39.3	x: 0 m η = 5.9	x: 1.976 m η = 0.2	x: 1.581 m η = 5.9	η < 0.1	x: 0 m η = 0.2	η < 0.1	η < 0.1	x: 1.581 m η = 45.2	η < 0.1	η = 0.3	η < 0.1	x: 0 m η = 0.2	CUMPLE h = 45.2
N358/N359	$\bar{\lambda}$ < 2.0 Cumple	$\lambda_w \leq \lambda_{w,max}$ Cumple	x: 1.846 m η = 40.8	x: 0 m η = 6.4	x: 1.846 m η = 0.2	x: 1.477 m η = 6.4	η < 0.1	x: 0 m η = 0.2	η < 0.1	η < 0.1	x: 1.477 m η = 47.2	η < 0.1	η = 0.3	η < 0.1	x: 0 m η = 0.2	CUMPLE h = 47.2
N359/N360	$\bar{\lambda}$ < 2.0 Cumple	$\lambda_w \leq \lambda_{w,max}$ Cumple	x: 1.743 m η = 41.4	x: 0 m η = 6.8	x: 0 m η = 0.2	x: 1.743 m η = 8.3	η < 0.1	x: 0 m η = 0.4	η < 0.1	η < 0.1	x: 1.743 m η = 49.7	η < 0.1	η = 0.3	η < 0.1	x: 0 m η = 0.4	CUMPLE h = 49.7
N360/N362	$\bar{\lambda}$ < 2.0 Cumple	$\lambda_w \leq \lambda_{w,max}$ Cumple	x: 3.109 m η = 40.8	x: 0 m η = 8.0	x: 0 m η = 0.1	x: 0 m η = 8.6	η < 0.1	x: 3.109 m η = 0.5	η < 0.1	η < 0.1	x: 0 m η = 49.4	η < 0.1	η = 0.3	η < 0.1	x: 3.109 m η = 0.5	CUMPLE h = 49.4
N362/N363	$\bar{\lambda}$ < 2.0 Cumple	$\lambda_w \leq \lambda_{w,max}$ Cumple	x: 1.405 m η = 38.4	x: 0 m η = 6.6	x: 0 m η = 0.1	x: 1.405 m η = 7.3	η < 0.1	x: 0 m η = 0.4	η < 0.1	η < 0.1	x: 1.405 m η = 45.8	η < 0.1	η = 0.3	η < 0.1	x: 0 m η = 0.4	CUMPLE h = 45.8
N363/N364	$\bar{\lambda}$ < 2.0 Cumple	$\lambda_w \leq \lambda_{w,max}$ Cumple	x: 1.313 m η = 35.7	x: 0 m η = 6.2	x: 1.313 m η = 0.1	x: 0 m η = 7.7	η < 0.1	x: 1.313 m η = 0.2	η < 0.1	η < 0.1	x: 0 m η = 43.5	η < 0.1	η = 0.3	η < 0.1	x: 1.313 m η = 0.2	CUMPLE h = 43.5
N364/N365	$\bar{\lambda}$ < 2.0 Cumple	$\lambda_w \leq \lambda_{w,max}$ Cumple	x: 1.226 m η = 32.3	x: 0 m η = 5.5	x: 1.226 m η = 0.3	x: 0 m η = 7.5	η < 0.1	x: 1.226 m η = 0.2	η < 0.1	η < 0.1	x: 0 m η = 39.9	η < 0.1	η = 0.3	η < 0.1	x: 1.226 m η = 0.2	CUMPLE h = 39.9
N365/N366	$\bar{\lambda}$ < 2.0 Cumple	$\lambda_w \leq \lambda_{w,max}$ Cumple	x: 1.156 m η = 28.0	x: 0 m η = 4.8	x: 1.156 m η = 0.4	x: 0 m η = 7.3	η = 0.1	x: 1.156 m η = 0.4	η < 0.1	η < 0.1	x: 0 m η = 35.5	η < 0.1	η = 0.3	η = 0.1	x: 1.156 m η = 0.4	CUMPLE h = 35.5
N366/N367	$\bar{\lambda}$ < 2.0 Cumple	$\lambda_w \leq \lambda_{w,max}$ Cumple	x: 1.087 m η = 22.7	x: 0 m η = 3.9	x: 1.087 m η = 0.5	x: 0 m η = 6.5	η = 0.1	x: 1.087 m η = 0.4	η < 0.1	η < 0.1	x: 0 m η = 29.5	η < 0.1	η = 0.4	η = 0.1	x: 1.087 m η = 0.4	CUMPLE h = 29.5
N367/N368	$\bar{\lambda}$ < 2.0 Cumple	$\lambda_w \leq \lambda_{w,max}$ Cumple	x: 0.998 m η = 16.8	x: 0 m η = 2.8	x: 0.998 m η = 0.7	x: 0 m η = 5.8	η = 0.1	x: 0.998 m η = 0.7	η < 0.1	η < 0.1	x: 0 m η = 23.1	η < 0.1	η = 0.5	η = 0.1	x: 0.998 m η = 0.7	CUMPLE h = 23.1
N368/N369	$\bar{\lambda}$ < 2.0 Cumple	$\lambda_w \leq \lambda_{w,max}$ Cumple	x: 0.932 m η = 9.8	x: 0 m η = 1.8	x: 0.932 m η = 1.0	x: 0 m η = 4.2	η = 0.1	x: 0.932 m η = 0.2	η < 0.1	η < 0.1	x: 0 m η = 14.4	η < 0.1	η = 0.5	η = 0.1	x: 0.932 m η = 0.2	CUMPLE h = 14.4

AJUNTAMENT D'OLERDOLA
Aquest document és una còpia simple del document electrònic original.

Codi Segur de Verificació:
62ffb294-fe9f-412a-95ff-e789b2359074
Origen: Administració
Identificador document: ES_L01081000_2026_28828185
Data d'impressió: 03/11/2026 13:44:57
Pàgina 195 de 247

SIGNATURES
1.- ESTEVE AYMERICH (R: J62755897), 27/07/2026 11:04

Listados

Cobriment de pista a Sant Pere Molanta (Olèrdola)

Fecha: 10/03/26

Barras	COMPROBACIONES (CTE DB SE-A)																Estado
	$\bar{\lambda}$	λ_w	N_t	N_c	M_t	M_z	V_z	V_y	M_t/V_z	M_z/V_y	NM_tM_z	NM_tM_z/V_yV_z	M_c	M_t/V_z	M_z/V_y		
N369/N370	$\bar{\lambda} < 2.0$ Cumple	$\lambda_w \leq \lambda_{w,max}$ Cumple	x: 0.572 m η = 0.8	x: 0 m η = 0.8	x: 0.572 m η = 1.2	x: 0 m η = 4.7	η = 0.2	x: 0.572 m η = 3.1	η < 0.1	η < 0.1	x: 0 m η = 5.9	η < 0.1	η = 0.5	η = 0.2	x: 0.572 m η = 3.1	CUMPLE h = 5.9
N26/N69	$\bar{\lambda} < 2.0$ Cumple	$\lambda_w \leq \lambda_{w,max}$ Cumple	η = 4.3	η = 1.7	x: 4.68 m η = 4.5	x: 4.68 m η = 13.8	x: 4.68 m η = 0.5	x: 4.68 m η = 1.8	η < 0.1	η < 0.1	x: 4.68 m η = 18.2	η < 0.1	η = 0.1	x: 4.68 m η = 0.5	x: 4.68 m η = 1.8	CUMPLE h = 18.2
N69/N112	$\bar{\lambda} < 2.0$ Cumple	$\lambda_w \leq \lambda_{w,max}$ Cumple	η = 3.0	η = 2.5	x: 4.68 m η = 2.7	x: 0 m η = 13.7	x: 4.68 m η = 0.4	x: 0 m η = 1.8	η < 0.1	η < 0.1	x: 0 m η = 16.7	η < 0.1	η = 0.2	x: 4.68 m η = 0.4	x: 0 m η = 1.8	CUMPLE h = 16.7
N112/N155	$\bar{\lambda} < 2.0$ Cumple	$\lambda_w \leq \lambda_{w,max}$ Cumple	η = 2.3	η = 2.8	x: 4.68 m η = 2.5	x: 0 m η = 13.4	x: 4.68 m η = 0.3	x: 0 m η = 1.8	η < 0.1	η < 0.1	x: 0 m η = 16.9	η < 0.1	η = 0.1	x: 4.68 m η = 0.3	x: 0 m η = 1.8	CUMPLE h = 16.9
N155/N198	$\bar{\lambda} < 2.0$ Cumple	$\lambda_w \leq \lambda_{w,max}$ Cumple	η = 2.0	η = 2.9	x: 4.68 m η = 2.3	x: 0 m η = 13.0	x: 4.68 m η = 0.3	x: 0 m η = 1.7	η < 0.1	η < 0.1	x: 0 m η = 16.8	η < 0.1	η < 0.1	x: 4.68 m η = 0.3	x: 4.68 m η = 0.7	CUMPLE h = 16.8
N198/N241	$\bar{\lambda} < 2.0$ Cumple	$\lambda_w \leq \lambda_{w,max}$ Cumple	η = 2.0	η = 2.9	x: 0 m η = 2.3	x: 4.68 m η = 12.8	x: 0 m η = 0.3	x: 4.68 m η = 1.7	η < 0.1	η < 0.1	x: 0 m η = 16.7	η < 0.1	η < 0.1	x: 0 m η = 0.3	x: 4.68 m η = 1.7	CUMPLE h = 16.7
N241/N284	$\bar{\lambda} < 2.0$ Cumple	$\lambda_w \leq \lambda_{w,max}$ Cumple	η = 2.2	η = 2.7	x: 0 m η = 2.6	x: 4.68 m η = 13.1	x: 0 m η = 0.4	x: 4.68 m η = 1.7	η < 0.1	η < 0.1	x: 4.68 m η = 16.6	η < 0.1	η < 0.1	x: 0 m η = 0.4	x: 4.68 m η = 1.7	CUMPLE h = 16.6
N284/N327	$\bar{\lambda} < 2.0$ Cumple	$\lambda_w \leq \lambda_{w,max}$ Cumple	η = 2.7	η = 2.5	x: 0 m η = 2.8	x: 4.68 m η = 13.6	x: 0 m η = 0.4	x: 4.68 m η = 1.8	η < 0.1	η < 0.1	x: 4.68 m η = 16.7	η < 0.1	η = 0.1	x: 0 m η = 0.4	x: 4.68 m η = 1.8	CUMPLE h = 16.7
N327/N370	$\bar{\lambda} < 2.0$ Cumple	$\lambda_w \leq \lambda_{w,max}$ Cumple	η = 3.5	η = 2.4	x: 0 m η = 3.1	x: 4.68 m η = 13.9	x: 0 m η = 0.4	x: 4.68 m η = 1.8	η < 0.1	η < 0.1	x: 4.68 m η = 17.4	η < 0.1	η = 0.3	x: 0 m η = 0.4	x: 4.68 m η = 1.8	CUMPLE h = 17.4
N370/N413	$\bar{\lambda} < 2.0$ Cumple	$\lambda_w \leq \lambda_{w,max}$ Cumple	η = 5.7	η = 3.5	x: 0 m η = 6.9	x: 0 m η = 13.5	x: 0 m η = 0.6	x: 0 m η = 1.8	η < 0.1	η < 0.1	x: 4.68 m η = 18.3	η < 0.1	η = 1.4	x: 0 m η = 0.7	x: 0 m η = 1.8	CUMPLE h = 18.3
N388/N389	$\bar{\lambda} < 2.0$ Cumple	$\lambda_w \leq \lambda_{w,max}$ Cumple	x: 2.053 m η = 0.5	x: 0 m η = 8.0	x: 0 m η = 43.5	x: 0 m η = 0.4	x: 2.053 m η = 15.0	η < 0.1	η < 0.1	η < 0.1	x: 0 m η = 51.3	η < 0.1	η = 0.2	x: 2.053 m η = 15.0	η < 0.1	CUMPLE h = 51.3
N389/N390	$\bar{\lambda} < 2.0$ Cumple	$\lambda_w \leq \lambda_{w,max}$ Cumple	x: 2.033 m η = 0.9	x: 0 m η = 8.7	x: 2.033 m η = 8.0	x: 0 m η = 0.4	x: 0 m η = 4.1	η < 0.1	η < 0.1	η < 0.1	x: 2.033 m η = 15.9	η < 0.1	η = 0.3	x: 0 m η = 4.1	η < 0.1	CUMPLE h = 15.9
N390/N391	$\bar{\lambda} < 2.0$ Cumple	$\lambda_w \leq \lambda_{w,max}$ Cumple	x: 2.033 m η = 1.7	x: 0 m η = 10.2	x: 0 m η = 10.5	x: 0 m η = 0.2	x: 2.033 m η = 5.0	η < 0.1	η < 0.1	η < 0.1	x: 0 m η = 20.0	η < 0.1	η < 0.1	x: 2.033 m η = 5.0	η < 0.1	CUMPLE h = 20.0
N1/N2	$\bar{\lambda} < 2.0$ Cumple	$\lambda_w \leq \lambda_{w,max}$ Cumple	x: 2.053 m η = 1.0	x: 0 m η = 9.1	x: 0 m η = 40.6	x: 0 m η = 0.6	x: 2.053 m η = 14.0	η < 0.1	η < 0.1	η < 0.1	x: 0 m η = 49.6	η < 0.1	η = 0.1	x: 2.053 m η = 14.0	η < 0.1	CUMPLE h = 49.6
N2/N3	$\bar{\lambda} < 2.0$ Cumple	$\lambda_w \leq \lambda_{w,max}$ Cumple	x: 2.033 m η = 1.4	x: 0 m η = 9.7	x: 2.033 m η = 8.0	x: 0 m η = 0.4	x: 0 m η = 4.0	η < 0.1	η < 0.1	η < 0.1	x: 2.033 m η = 17.1	η < 0.1	η = 0.1	x: 0 m η = 4.0	η < 0.1	CUMPLE h = 17.1
N3/N4	$\bar{\lambda} < 2.0$ Cumple	$\lambda_w \leq \lambda_{w,max}$ Cumple	x: 2.033 m η = 2.1	x: 0 m η = 11.0	x: 0 m η = 10.8	x: 0 m η = 0.1	x: 2.033 m η = 5.2	η < 0.1	η < 0.1	η < 0.1	x: 0 m η = 21.1	η < 0.1	η < 0.1	x: 2.033 m η = 5.2	η < 0.1	CUMPLE h = 21.1
N44/N45	$\bar{\lambda} < 2.0$ Cumple	$\lambda_w \leq \lambda_{w,max}$ Cumple	x: 2.053 m η = 1.0	x: 0 m η = 8.9	x: 0 m η = 42.9	x: 0 m η = 0.6	x: 2.053 m η = 14.7	η < 0.1	η < 0.1	η < 0.1	x: 0 m η = 51.6	η < 0.1	η = 0.1	x: 2.053 m η = 14.7	η < 0.1	CUMPLE h = 51.6
N45/N46	$\bar{\lambda} < 2.0$ Cumple	$\lambda_w \leq \lambda_{w,max}$ Cumple	x: 2.033 m η = 1.3	x: 0 m η = 9.3	x: 2.033 m η = 7.4	x: 0 m η = 0.4	x: 0 m η = 3.8	η < 0.1	η < 0.1	η < 0.1	x: 2.033 m η = 16.3	η < 0.1	η < 0.1	x: 0 m η = 3.8	η < 0.1	CUMPLE h = 16.3
N46/N47	$\bar{\lambda} < 2.0$ Cumple	$\lambda_w \leq \lambda_{w,max}$ Cumple	x: 2.033 m η = 1.9	x: 0 m η = 10.5	x: 0 m η = 10.2	x: 0 m η = 0.1	x: 2.033 m η = 5.0	η < 0.1	η < 0.1	η < 0.1	x: 0 m η = 20.1	η < 0.1	η < 0.1	x: 2.033 m η = 3.9	η < 0.1	CUMPLE h = 20.1
N87/N88	$\bar{\lambda} < 2.0$ Cumple	$\lambda_w \leq \lambda_{w,max}$ Cumple	x: 2.053 m η = 1.1	x: 0 m η = 8.9	x: 0 m η = 41.6	x: 0 m η = 0.8	x: 2.053 m η = 14.3	η < 0.1	η < 0.1	η < 0.1	x: 0 m η = 50.3	η < 0.1	η < 0.1	x: 2.053 m η = 14.3	η < 0.1	CUMPLE h = 50.3
N88/N89	$\bar{\lambda} < 2.0$ Cumple	$\lambda_w \leq \lambda_{w,max}$ Cumple	x: 2.033 m η = 1.4	x: 0 m η = 9.4	x: 2.033 m η = 7.7	x: 0 m η = 0.4	x: 0 m η = 3.9	η < 0.1	η < 0.1	η < 0.1	x: 2.033 m η = 16.6	η < 0.1	η < 0.1	x: 0 m η = 3.9	η < 0.1	CUMPLE h = 16.6
N89/N90	$\bar{\lambda} < 2.0$ Cumple	$\lambda_w \leq \lambda_{w,max}$ Cumple	x: 2.033 m η = 2.1	x: 0 m η = 10.6	x: 0 m η = 10.4	x: 0 m η = 0.1	x: 2.033 m η = 5.1	η < 0.1	η < 0.1	η < 0.1	x: 0 m η = 20.3	η < 0.1	η < 0.1	x: 2.033 m η = 5.1	η < 0.1	CUMPLE h = 20.3
N130/N131	$\bar{\lambda} < 2.0$ Cumple	$\lambda_w \leq \lambda_{w,max}$ Cumple	x: 2.053 m η = 1.1	x: 0 m η = 8.9	x: 0 m η = 41.1	x: 0 m η = 0.6	x: 2.053 m η = 14.1	η < 0.1	η < 0.1	η < 0.1	x: 0 m η = 49.8	η < 0.1	η < 0.1	x: 2.053 m η = 14.1	η < 0.1	CUMPLE h = 49.8
N131/N132	$\bar{\lambda} < 2.0$ Cumple	$\lambda_w \leq \lambda_{w,max}$ Cumple	x: 2.033 m η = 1.5	x: 0 m η = 9.3	x: 2.033 m η = 7.6	x: 0 m η = 0.4	x: 0 m η = 3.8	η < 0.1	η < 0.1	η < 0.1	x: 2.033 m η = 16.5	η < 0.1	η < 0.1	x: 0 m η = 3.8	η < 0.1	CUMPLE h = 16.5
N132/N133	$\bar{\lambda} < 2.0$ Cumple	$\lambda_w \leq \lambda_{w,max}$ Cumple	x: 2.033 m η = 2.1	x: 0 m η = 10.6	x: 0 m η = 10.4	x: 0 m η = 0.1	x: 2.033 m η = 5.0	η < 0.1	η < 0.1	η < 0.1	x: 0 m η = 20.2	η < 0.1	η < 0.1	x: 2.033 m η = 5.0	η < 0.1	CUMPLE h = 20.2
N173/N174	$\bar{\lambda} < 2.0$ Cumple	$\lambda_w \leq \lambda_{w,max}$ Cumple	x: 2.053 m η = 1.1	x: 0 m η = 8.8	x: 0 m η = 40.6	x: 0 m η = 0.4	x: 2.053 m η = 13.9	η < 0.1	η < 0.1	η < 0.1	x: 0 m η = 49.2	η < 0.1	η < 0.1	x: 2.053 m η = 13.9	η < 0.1	CUMPLE h = 49.2
N174/N175	$\bar{\lambda} < 2.0$ Cumple	$\lambda_w \leq \lambda_{w,max}$ Cumple	x: 2.033 m η = 1.5	x: 0 m η = 9.3	x: 2.033 m η = 7.5	x: 0 m η = 0.3	x: 0 m η = 3.8	η < 0.1	η < 0.1	η < 0.1	x: 2.033 m η = 16.4	η < 0.1	η < 0.1	x: 0 m η = 3.8	η < 0.1	CUMPLE h = 16.4
N175/N176	$\bar{\lambda} < 2.0$ Cumple	$\lambda_w \leq \lambda_{w,max}$ Cumple	x: 2.033 m η = 2.2	x: 0 m η = 10.5	x: 0 m η = 10.3	x: 0 m η = 0.1	x: 2.033 m η = 5.0	η < 0.1	η < 0.1	η < 0.1	x: 0 m η = 20.1	η < 0.1	η < 0.1	x: 2.033 m η = 5.0	η < 0.1	CUMPLE h = 20.1
N216/N217	$\bar{\lambda} < 2.0$ Cumple	$\lambda_w \leq \lambda_{w,max}$ Cumple	x: 2.053 m η = 1.1	x: 0 m η = 8.8	x: 0 m η = 40.2	x: 2.053 m η = 0.3	x: 2.053 m η = 13.8	η < 0.1	η < 0.1	η < 0.1	x: 0 m η = 48.6	η < 0.1	η < 0.1	x: 2.053 m η = 13.8	η < 0.1	CUMPLE h = 48.6
N217/N218	$\bar{\lambda} < 2.0$ Cumple	$\lambda_w \leq \lambda_{w,max}$ Cumple	x: 2.033 m η = 1.4	x: 0 m η = 9.2	x: 2.033 m η = 7.4	x: 2.033 m η = 0.4	x: 0 m η = 3.7	η < 0.1	η < 0.1	η < 0.1	x: 2.033 m η = 16.3	η < 0.1	η < 0.1	x: 0 m η = 3.7	η < 0.1	CUMPLE h = 16.3
N218/N219	$\bar{\lambda} < 2.0$ Cumple	$\lambda_w \leq \lambda_{w,max}$ Cumple	x: 2.033 m η = 2.1	x: 0 m η = 10.4	x: 0 m η = 10.2	x: 0 m η = 0.2	x: 2.033 m η = 5.0	η < 0.1	η < 0.1	η < 0.1	x: 0 m η = 20.0	η < 0.1	η < 0.1	x: 2.033 m η = 5.0	η < 0.1	CUMPLE h = 20.0
N259/N260	$\bar{\lambda} < 2.0$ Cumple	$\lambda_w \leq \lambda_{w,max}$ Cumple	x: 2.053 m η = 1.0	x: 0 m η = 8.7	x: 0 m η = 39.3	x: 2.053 m η = 0.3	x: 2.053 m η = 13.5	η < 0.1	η < 0.1	η < 0.1	x: 0 m η = 47.5	η < 0.1	η < 0.1	x: 2.053 m η = 13.5	η < 0.1	CUMPLE h = 47.5
N260/N261	$\bar{\lambda} < 2.0$ Cumple	$\lambda_w \leq \lambda_{w,max}$ Cumple	x: 2.033 m η = 1.4	x: 0 m η = 9.2	x: 2.033 m η = 7.3	x: 2.033 m η = 0.4	x: 0 m η = 3.7	η < 0.1	η < 0.1	η < 0.1	x: 2.033 m η = 16.1	η < 0.1	η < 0.1	x: 0 m η = 3.7	η < 0.1	CUMPLE h = 16.1
N261/N262	$\bar{\lambda} < 2.0$ Cumple	$\lambda_w \leq \lambda_{w,max}$ Cumple	x: 2.033 m η = 2.0	x: 0 m η = 10.3	x: 0 m η = 10.0	x: 0 m η = 0.3	x: 2.033 m η = 4.9	η < 0.1	η < 0.1	η < 0.1	x: 0 m η = 19.8	η < 0.1	η < 0.1	x: 2.033 m η = 4.9	η < 0.1	CUMPLE h = 19.8
N302/N303	$\bar{\lambda} < 2.0$ Cumple	$\lambda_w \leq \lambda_{w,max}$ Cumple	x: 2.053 m η = 0.9	x: 0 m η = 8.6	x: 0 m η = 37.6	x: 0 m η = 0.3	x: 2.053 m η = 12.9	η < 0.1	η < 0.1	η < 0.1	x: 0 m η = 45.7	η < 0.1	η < 0.1	x: 2.053 m η = 12.9	η < 0.1	CUMPLE h = 45.7
N303/N304	$\bar{\lambda} < 2.0$ Cumple	$\lambda_w \leq \lambda_{w,max}$ Cumple	x: 2.033 m η = 1.2	x: 0 m η = 9.0	x: 2.033 m η = 7.1	x: 2.033 m η = 0.5	x: 0 m η = 3.5	η < 0.1	η < 0.1	η < 0.1	x: 2.033 m η = 15.8	η < 0.1	η < 0.1	x: 0 m η = 3.5	η < 0.1	CUMPLE h = 15.8
N304/N305	$\bar{\lambda} < 2.0$ Cumple	$\lambda_w \leq \lambda_{w,max}$ Cumple	x: 2.033 m η = 1.8	x: 0 m η = 10.1	x: 0 m η = 9.8	x: 0 m η = 0.4	x: 2.033 m η = 4.8	η < 0.1	η < 0.1	η < 0.1	x: 0 m η = 19.4	η < 0.1	η < 0.1	x: 2.033 m η = 4.8	η < 0.1	CUMPLE h = 19.4
N345/N346	$\bar{\lambda} < 2.0$ Cumple	$\lambda_w \leq \lambda_{w,max}$ Cumple	x: 2.053 m η = 0.8	x: 0 m η = 8.6	x: 0 m η = 35.5	x: 0 m η = 0.4	x: 2.053 m η = 12.1	η < 0.1	η < 0.1	η < 0.1	x: 0 m η = 43.6	η < 0.1	η < 0.1	x: 2.053 m η = 12.1	η < 0.1	CUMPLE h = 43.6
N346/N347	$\bar{\lambda} < 2.0$ Cumple	$\lambda_w \leq \lambda_{w,max}$ Cumple	x: 2.033 m η = 1.0	x: 0 m η = 8.8	x: 2.033 m η = 6.4	x: 2.033 m η = 0.4	x: 0 m η = 3.2	η < 0.1	η < 0.1	η < 0.1	x: 2.033 m η = 14.8	η < 0.1	η < 0.1	x: 0 m η = 3.2	η < 0.1	CUMPLE h = 14.8
N347/N348	$\bar{\lambda} < 2.0$ Cumple	$\lambda_w \leq \lambda_{w,max}$ Cumple	x: 2.033 m η = 1.5	x: 0 m η = 9.6	x: 0 m η = 9.1	x: 0 m η = 0.2	x: 2.033 m η = 4.5	η < 0.1	η < 0.1	η < 0.1	x: 0 m η = 18.2	η < 0.1	η < 0.1	x: 2.033 m η = 4.5	η < 0.1	CUMPLE h = 18.2
N5/N788	$\bar{\lambda} < 2.0$ Cumple	$\lambda_w \leq \lambda_{w,max}$ Cumple	x: 0.34 m η = 5.6	x: 0 m η = 2.0	x: 0 m η = 12.5	x: 0 m η = 0.8	x: 0 m η = 5.2	η = 0.3	η < 0.1	η < 0.1	x: 0 m η = 18.9	η < 0.1	η = 5.1	x: 0 m η = 5.2	η = 0.3	CUMPLE h = 18.9
N788/N6	$\bar{\lambda} < 2.0$ Cumple	$\lambda_w \leq \lambda_{w,max}$ Cumple	x: 1.713 m η = 5.8	x: 0 m η = 2.0	x: 0 m η = 9.8	x: 0 m η = 0.3	x: 0 m η = 5.0	η < 0.1	η < 0.1	η < 0.1	x: 0 m η = 15.7	η < 0.1	η = 0.9	x: 0 m η = 5.0	η < 0.1	CUMPLE h = 15.7
N6/N764	$\bar{\lambda} < 2.0$ Cumple	$\lambda_w \leq \lambda_{w,max}$ Cumple	x: 1.883 m η = 6.3	x: 0 m η = 2.2	x: 1.883 m η = 9.2	x: 1.883 m η = 1.3	x: 0 m η = 2.1	η = 0.1	η < 0.1	η < 0.1	x: 1.883 m η = 15.7	η < 0.1	η = 0.4	x: 0 m η = 2.1	η = 0.1	CUMPLE h = 15.7
N764/N7	$\bar{\lambda} < 2.0$ Cumple	$\lambda_w \leq \lambda_{w,max}$ Cumple	x: 0.15 m η = 6.3	x: 0 m η = 2.0	x: 0.15 m η = 9.6	x: 0.15 m η = 1.9	x: 0 m η = 1.7	η = 0.3	η < 0.1	η < 0.1	x: 0.15 m η = 16.4	η < 0.1	η = 8.9	x: 0 m η = 1.7	η = 0.3	CUMPLE h = 16.4
N7/N8	$\bar{\lambda} < 2.0$ Cumple	$\lambda_w \leq \lambda_{w,max}$ Cumple	x: 1.899 m η = 0.9	x: 0 m η = 4.2	x: 0 m η = 12.6	x: 0 m η = 0.3	x: 1.899 m η = 6.6	η < 0.1	η < 0.1	η < 0.1	x: 0 m η = 16.5	η < 0.1	M_{cr} = 0.00 N.P.[1]	N.P.[2]	N.P.[2]	CUMPLE h = 16.5
N48/N789	$\bar{\lambda} < 2.0$ Cumple	$\lambda_w \leq \lambda_{w,max}$ Cumple	x: 0.34 m η = 5.5	x: 0 m η = 1.9	x: 0 m η = 12.8	x: 0.34 m η = 1.0	x: 0 m η = 5.2	η = 0.2	η < 0.1	η < 0.1	x: 0 m η = 18.5	η < 0.1	η = 3.7	x: 0 m η = 5.2	η = 0.2	CUMPLE h = 18.5
N789/N49	$\bar{\lambda} < 2.0$ Cumple	$\lambda_w \leq \lambda_{w,max}$ Cumple	x: 1.713 m η = 5.7	x: 0 m η = 2.0	x: 0 m η = 9.9	x: 0 m η = 1.1	x: 0 m η = 5.0	η = 0.1	η < 0.1	η < 0.1	x: 0 m η = 16.3	η < 0.1	η = 0.7	x: 0 m η = 5.0	η = 0.1	CUMPLE h = 16.3
N49/N765	$\bar{\lambda} < 2.0$ Cumple	$\lambda_w \leq \lambda_{w,max}$ Cumple	x: 1.883 m η = 5.8	x: 0 m η = 2.0	x: 1.883 m η = 8.5	x: 0 m η = 0.5	x: 0 m η = 1.8	η = 0.1	η < 0.1	η < 0.1	x: 1.883 m η = 14.8	η < 0.1	η = 0.4	x: 0 m η = 1.8	η = 0.1	CUMPLE h = 14.8
N765/N50	$\bar{\lambda} < 2.0$ Cumple	$\lambda_w \leq \lambda_{w,max}$ Cumple	x: 0.15 m η = 5.9	x: 0 m η = 1.8	x: 0.15 m η = 8.9	x: 0 m η = 0.6	x: 0 m η = 1.5	η = 0.3	η < 0.1	η < 0.1	x: 0.15 m η = 15.2	η < 0.1	η = 3.9	x: 0 m η = 1.5	η = 0.3	CUMPLE h = 15.2
N50/N51	$\bar{\lambda} < 2.0$ Cumple	$\lambda_w \leq \lambda_{w,max}$ Cumple	x: 1.899 m η = 0.9	x: 0 m η = 4.3	x: 0 m η = 12.2	x: 0 m η = 0.3	x: 1.899 m η = 6.4	η < 0.1	η < 0.1	η < 0.1	x: 0 m η = 16.2	η < 0.1	η < 0.1	x: 1.899 m η = 4.2	η < 0.1	CUMPLE h = 16.2
N91/N790	$\bar{\lambda} < 2.0$ Cumple	$\lambda_w \leq \lambda_{w,max}$ Cumple	x: 0.34 m η = 5.6	x: 0 m η = 1.9	x: 0 m η = 12.6	x: 0.34 m η = 0.1	x: 0 m η = 5.2	η < 0.1	η < 0.1	η < 0.1	x: 0 m η = 18.2	η < 0.1	η = 0.4	x: 0 m η = 5.2	η < 0.1	CUMPLE h = 18.2
N790/N92	$\bar{\lambda} < 2.0$ Cumple	$\lambda_w \leq \lambda_{w,max}$ Cumple	x: 1.713 m η = 5.7	x: 0 m η = 2.0	x: 0 m η = 9.8	x: 1.713 m η = 0.2	x: 0 m η = 5.0	η < 0.1	η < 0.1	η < 0.1	x: 0 m η = 15.6	η < 0.1	η = 0.1	x: 0 m η = 5.0	η < 0.1	CUMPLE h = 15.6
N92/N766	$\bar{\lambda} < 2.0$ Cumple	$\lambda_w \leq \lambda_{w,max}$ Cumple	x: 1.883 m η = 6.1	x: 0 m η = 2.1	x: 1.883 m η = 8.8	x: 1.883 m η = 0.5	x: 0 m η = 1.9	η < 0.1	η < 0.1	η < 0.1	x: 1.883 m η = 15.0	η < 0.1	η = 0.1	x: 0 m η = 1.9	η < 0.1	CUMPLE h = 15.0
N766/N93	$\bar{\lambda} < 2.0$ Cumple	$\lambda_w \leq \lambda_{w,max}$ Cumple	x: 0.15 m η = 6.1	x: 0 m η = 1.9	x: 0.15 m η = 9.1	x: 0 m η = 0.5	x: 0 m η = 1.5	η = 0.3	η < 0.1	η < 0.1	x: 0.15 m η = 15.3	η < 0.1	η = 1.0	x: 0 m η = 1.5	η = 0.3	CUMPLE h = 15.3
N93/N94	$\bar{\lambda} < 2.0$ Cumple	$\lambda_w \leq \lambda_{w,max}$ Cumple	x: 1.899 m η = 1.0	x: 0 m η = 4.2	x: 0 m η = 12.2	x: 0 m η = 0.3	x: 1.899 m η = 6.4	η < 0.1	η < 0.1	η < 0.1	x: 0 m η = 16.1	η < 0.1	η < 0.1	x: 1.899 m η = 6.4	η < 0.1	CUMPLE h = 16.1

AJUNTAMENT D'OLERDOLA
Aquest document és una còpia simple del document electrònic original.

Listados

Cobriment de pista a Sant Pere Molanta (Olèrdola)

Fecha: 10/03/26

Barras	COMPROBACIONES (CTE DB SE-A)															Estado
	$\bar{\lambda}$	λ_w	N_t	N_c	M_t	M_z	V_z	V_y	M_tV_z	M_zV_y	NM_tM_z	$NM_tM_zV_yV_z$	M_t	M_tV_z	M_tV_y	
N134/N791	$\bar{\lambda}$ < 2.0 Cumple	$\lambda_w \leq \lambda_{w,max}$ Cumple	x: 0.34 m η = 5.6	x: 0 m η = 2.0	x: 0 m η = 12.4	x: 0 m η < 0.1	x: 0 m η = 5.1	η < 0.1	η < 0.1	η < 0.1	x: 0 m η = 18.0	η < 0.1	η = 0.2	x: 0 m η = 5.1	η < 0.1	CUMPLE h = 18.0
N791/N135	$\bar{\lambda}$ < 2.0 Cumple	$\lambda_w \leq \lambda_{w,max}$ Cumple	x: 1.713 m η = 5.7	x: 0 m η = 2.1	x: 0 m η = 9.6	x: 1.713 m η = 0.3	x: 0 m η = 4.9	η < 0.1	η < 0.1	η < 0.1	x: 0 m η = 15.4	η < 0.1	η = 0.1	x: 0 m η = 4.9	η < 0.1	CUMPLE h = 15.4
N135/N767	$\bar{\lambda}$ < 2.0 Cumple	$\lambda_w \leq \lambda_{w,max}$ Cumple	x: 1.883 m η = 6.0	x: 0 m η = 2.2	x: 1.883 m η = 8.7	x: 0 m η = 0.2	x: 0 m η = 1.9	η < 0.1	η < 0.1	η < 0.1	x: 1.883 m η = 14.8	η < 0.1	η < 0.1	x: 0 m η = 1.4	η < 0.1	CUMPLE h = 14.8
N767/N136	$\bar{\lambda}$ < 2.0 Cumple	$\lambda_w \leq \lambda_{w,max}$ Cumple	x: 0.15 m η = 6.1	x: 0 m η = 2.0	x: 0.15 m η = 9.0	x: 0.15 m η = 0.3	x: 0 m η = 1.5	η = 0.2	η < 0.1	η < 0.1	x: 0.15 m η = 15.3	η < 0.1	η = 1.0	x: 0 m η = 1.5	η = 0.2	CUMPLE h = 15.3
N136/N137	$\bar{\lambda}$ < 2.0 Cumple	$\lambda_w \leq \lambda_{w,max}$ Cumple	x: 1.899 m η = 1.0	x: 0 m η = 4.2	x: 0 m η = 12.2	x: 0 m η = 0.3	x: 1.899 m η = 6.4	η < 0.1	η < 0.1	η < 0.1	x: 0 m η = 16.1	η < 0.1	η < 0.1	x: 1.899 m η = 6.4	η < 0.1	CUMPLE h = 16.1
N177/N792	$\bar{\lambda}$ < 2.0 Cumple	$\lambda_w \leq \lambda_{w,max}$ Cumple	x: 0.34 m η = 5.5	x: 0 m η = 2.0	x: 0 m η = 12.3	x: 0.34 m η < 0.1	x: 0 m η = 5.1	η < 0.1	η < 0.1	η < 0.1	x: 0 m η = 17.7	η < 0.1	η = 0.2	x: 0 m η = 5.1	η < 0.1	CUMPLE h = 17.7
N792/N178	$\bar{\lambda}$ < 2.0 Cumple	$\lambda_w \leq \lambda_{w,max}$ Cumple	x: 1.713 m η = 5.6	x: 0 m η = 2.1	x: 0 m η = 9.5	x: 1.713 m η = 0.2	x: 0 m η = 4.9	η < 0.1	η < 0.1	η < 0.1	x: 0 m η = 15.2	η < 0.1	η = 0.1	x: 0 m η = 4.9	η < 0.1	CUMPLE h = 15.2
N178/N768	$\bar{\lambda}$ < 2.0 Cumple	$\lambda_w \leq \lambda_{w,max}$ Cumple	x: 1.883 m η = 5.9	x: 0 m η = 2.2	x: 1.883 m η = 8.6	x: 0 m η = 0.1	x: 0 m η = 1.9	η < 0.1	η < 0.1	η < 0.1	x: 1.883 m η = 14.7	η < 0.1	η < 0.1	x: 0 m η = 1.4	η < 0.1	CUMPLE h = 14.7
N768/N179	$\bar{\lambda}$ < 2.0 Cumple	$\lambda_w \leq \lambda_{w,max}$ Cumple	x: 0.15 m η = 6.0	x: 0 m η = 2.0	x: 0.15 m η = 9.0	x: 0.15 m η = 0.3	x: 0 m η = 1.5	η = 0.1	η < 0.1	η < 0.1	x: 0.15 m η = 15.1	η < 0.1	η = 1.0	x: 0 m η = 1.5	η = 0.1	CUMPLE h = 15.1
N179/N180	$\bar{\lambda}$ < 2.0 Cumple	$\lambda_w \leq \lambda_{w,max}$ Cumple	x: 1.899 m η = 1.0	x: 0 m η = 4.2	x: 0 m η = 12.2	x: 0 m η = 0.3	x: 1.899 m η = 6.4	η < 0.1	η < 0.1	η < 0.1	x: 0 m η = 16.1	η < 0.1	η < 0.1	x: 1.899 m η = 4.6	η < 0.1	CUMPLE h = 16.1
N220/N793	$\bar{\lambda}$ < 2.0 Cumple	$\lambda_w \leq \lambda_{w,max}$ Cumple	x: 0.34 m η = 5.4	x: 0 m η = 2.0	x: 0 m η = 12.1	x: 0.34 m η = 0.1	x: 0 m η = 5.0	η < 0.1	η < 0.1	η < 0.1	x: 0 m η = 17.5	η < 0.1	η = 0.3	x: 0 m η = 5.0	η < 0.1	CUMPLE h = 17.5
N793/N221	$\bar{\lambda}$ < 2.0 Cumple	$\lambda_w \leq \lambda_{w,max}$ Cumple	x: 1.713 m η = 5.5	x: 0 m η = 2.1	x: 0 m η = 9.4	x: 0 m η = 0.1	x: 0 m η = 4.8	η < 0.1	η < 0.1	η < 0.1	x: 0 m η = 15.0	η < 0.1	η = 0.1	x: 0 m η = 4.8	η < 0.1	CUMPLE h = 15.0
N221/N769	$\bar{\lambda}$ < 2.0 Cumple	$\lambda_w \leq \lambda_{w,max}$ Cumple	x: 1.883 m η = 5.9	x: 0 m η = 2.2	x: 1.883 m η = 8.5	x: 1.883 m η = 0.1	x: 0 m η = 1.9	η < 0.1	η < 0.1	η < 0.1	x: 1.883 m η = 14.6	η < 0.1	η < 0.1	x: 0 m η = 1.9	η < 0.1	CUMPLE h = 14.6
N769/N222	$\bar{\lambda}$ < 2.0 Cumple	$\lambda_w \leq \lambda_{w,max}$ Cumple	x: 0.15 m η = 5.9	x: 0 m η = 2.0	x: 0.15 m η = 8.9	x: 0.15 m η = 0.3	x: 0 m η = 1.5	η = 0.1	η < 0.1	η < 0.1	x: 0.15 m η = 14.9	η < 0.1	η = 1.0	x: 0 m η = 1.5	η = 0.1	CUMPLE h = 14.9
N222/N223	$\bar{\lambda}$ < 2.0 Cumple	$\lambda_w \leq \lambda_{w,max}$ Cumple	x: 1.899 m η = 1.0	x: 0 m η = 4.2	x: 0 m η = 12.0	x: 0 m η = 0.5	x: 1.899 m η = 6.3	η < 0.1	η < 0.1	η < 0.1	x: 0 m η = 16.1	η < 0.1	M_{tz} = 0.00 N.P.[1]	N.P.[2]	N.P.[2]	CUMPLE h = 16.1
N263/N794	$\bar{\lambda}$ < 2.0 Cumple	$\lambda_w \leq \lambda_{w,max}$ Cumple	x: 0.34 m η = 5.3	x: 0 m η = 1.9	x: 0 m η = 11.8	x: 0.34 m η = 0.1	x: 0 m η = 4.9	η < 0.1	η < 0.1	η < 0.1	x: 0 m η = 17.2	η < 0.1	η = 0.6	x: 0 m η = 4.9	η < 0.1	CUMPLE h = 17.2
N794/N264	$\bar{\lambda}$ < 2.0 Cumple	$\lambda_w \leq \lambda_{w,max}$ Cumple	x: 1.713 m η = 5.4	x: 0 m η = 1.9	x: 0 m η = 9.2	x: 0 m η = 0.1	x: 0 m η = 4.7	η < 0.1	η < 0.1	η < 0.1	x: 0 m η = 14.7	η < 0.1	η = 0.1	x: 0 m η = 4.7	η < 0.1	CUMPLE h = 14.7
N264/N770	$\bar{\lambda}$ < 2.0 Cumple	$\lambda_w \leq \lambda_{w,max}$ Cumple	x: 1.883 m η = 5.7	x: 0 m η = 2.0	x: 1.883 m η = 8.4	x: 1.883 m η = 0.3	x: 0 m η = 1.9	η < 0.1	η < 0.1	η < 0.1	x: 1.883 m η = 14.2	η < 0.1	η < 0.1	x: 0 m η = 1.9	η < 0.1	CUMPLE h = 14.2
N770/N265	$\bar{\lambda}$ < 2.0 Cumple	$\lambda_w \leq \lambda_{w,max}$ Cumple	x: 0.15 m η = 5.8	x: 0 m η = 1.8	x: 0.15 m η = 8.7	x: 0 m η = 0.4	x: 0 m η = 1.5	η = 0.1	η < 0.1	η < 0.1	x: 0.15 m η = 14.9	η < 0.1	η = 1.0	x: 0 m η = 1.5	η = 0.1	CUMPLE h = 14.9
N265/N266	$\bar{\lambda}$ < 2.0 Cumple	$\lambda_w \leq \lambda_{w,max}$ Cumple	x: 1.899 m η = 1.0	x: 0 m η = 4.2	x: 0 m η = 11.9	x: 0 m η = 0.6	x: 1.899 m η = 6.2	η < 0.1	η < 0.1	η < 0.1	x: 0 m η = 16.1	η < 0.1	η < 0.1	x: 1.899 m η = 6.2	η < 0.1	CUMPLE h = 16.1
N306/N795	$\bar{\lambda}$ < 2.0 Cumple	$\lambda_w \leq \lambda_{w,max}$ Cumple	x: 0.34 m η = 5.1	x: 0 m η = 1.6	x: 0 m η = 11.3	x: 0 m η = 0.1	x: 0 m η = 4.7	η < 0.1	η < 0.1	η < 0.1	x: 0 m η = 16.5	η < 0.1	η = 0.8	x: 0 m η = 4.7	η < 0.1	CUMPLE h = 16.5
N795/N307	$\bar{\lambda}$ < 2.0 Cumple	$\lambda_w \leq \lambda_{w,max}$ Cumple	x: 1.713 m η = 5.2	x: 0 m η = 1.7	x: 0 m η = 8.8	x: 0 m η = 0.2	x: 0 m η = 4.5	η < 0.1	η < 0.1	η < 0.1	x: 0 m η = 14.1	η < 0.1	η = 0.1	x: 0 m η = 4.5	η < 0.1	CUMPLE h = 14.1
N307/N771	$\bar{\lambda}$ < 2.0 Cumple	$\lambda_w \leq \lambda_{w,max}$ Cumple	x: 1.883 m η = 5.5	x: 0 m η = 1.8	x: 1.883 m η = 8.1	x: 1.883 m η = 0.7	x: 0 m η = 1.8	η < 0.1	η < 0.1	η < 0.1	x: 1.883 m η = 13.8	η < 0.1	η = 0.1	x: 0 m η = 1.8	η < 0.1	CUMPLE h = 13.8
N771/N308	$\bar{\lambda}$ < 2.0 Cumple	$\lambda_w \leq \lambda_{w,max}$ Cumple	x: 0.15 m η = 5.6	x: 0 m η = 1.6	x: 0.15 m η = 8.5	x: 0 m η = 0.8	x: 0 m η = 1.5	η = 0.2	η < 0.1	η < 0.1	x: 0.15 m η = 14.3	η < 0.1	η = 0.9	x: 0 m η = 1.5	η = 0.2	CUMPLE h = 14.3
N308/N309	$\bar{\lambda}$ < 2.0 Cumple	$\lambda_w \leq \lambda_{w,max}$ Cumple	x: 1.899 m η = 1.0	x: 0 m η = 4.2	x: 0 m η = 11.7	x: 0 m η = 0.7	x: 1.899 m η = 6.2	η < 0.1	η < 0.1	η < 0.1	x: 0 m η = 16.0	η < 0.1	η = 0.1	x: 1.899 m η = 6.2	η < 0.1	CUMPLE h = 16.0
N349/N796	$\bar{\lambda}$ < 2.0 Cumple	$\lambda_w \leq \lambda_{w,max}$ Cumple	x: 0.34 m η = 4.7	x: 0 m η = 1.4	x: 0 m η = 10.7	x: 0 m η = 1.3	x: 0 m η = 4.4	η = 0.1	η < 0.1	η < 0.1	x: 0 m η = 16.7	η < 0.1	η = 1.0	x: 0 m η = 4.4	η = 0.1	CUMPLE h = 16.7
N796/N350	$\bar{\lambda}$ < 2.0 Cumple	$\lambda_w \leq \lambda_{w,max}$ Cumple	x: 1.713 m η = 4.8	x: 0 m η = 1.5	x: 0 m η = 8.3	x: 0 m η = 1.2	x: 0 m η = 4.2	η = 0.1	η < 0.1	η < 0.1	x: 0 m η = 14.3	η < 0.1	η = 0.5	x: 0 m η = 4.2	η = 0.1	CUMPLE h = 14.3
N350/N772	$\bar{\lambda}$ < 2.0 Cumple	$\lambda_w \leq \lambda_{w,max}$ Cumple	x: 1.883 m η = 4.9	x: 0 m η = 1.5	x: 1.883 m η = 7.5	x: 1.883 m η = 1.7	x: 0 m η = 1.8	η = 0.1	η < 0.1	η < 0.1	x: 1.883 m η = 12.9	η < 0.1	η = 0.4	x: 0 m η = 1.8	η = 0.1	CUMPLE h = 12.9
N772/N351	$\bar{\lambda}$ < 2.0 Cumple	$\lambda_w \leq \lambda_{w,max}$ Cumple	x: 0.15 m η = 5.0	x: 0 m η = 1.3	x: 0.15 m η = 7.9	x: 0 m η = 1.9	x: 0 m η = 1.4	η = 0.4	η < 0.1	η < 0.1	x: 0 m η = 12.9	η < 0.1	η = 4.2	x: 0 m η = 1.4	η = 0.4	CUMPLE h = 12.9
N351/N352	$\bar{\lambda}$ < 2.0 Cumple	$\lambda_w \leq \lambda_{w,max}$ Cumple	x: 1.899 m η = 1.0	x: 0 m η = 4.4	x: 0 m η = 11.1	x: 0 m η = 0.7	x: 1.899 m η = 5.9	η < 0.1	η < 0.1	η < 0.1	x: 0 m η = 15.6	η < 0.1	η < 0.1	x: 1.899 m η = 5.9	η < 0.1	CUMPLE h = 15.6
N392/N797	$\bar{\lambda}$ < 2.0 Cumple	$\lambda_w \leq \lambda_{w,max}$ Cumple	x: 0.34 m η = 6.1	x: 0 m η = 2.1	x: 0 m η = 13.3	x: 0.34 m η = 1.3	x: 0 m η = 5.4	η = 0.2	η < 0.1	η < 0.1	x: 0 m η = 20.5	η < 0.1	η = 4.6	x: 0 m η = 5.4	η = 0.2	CUMPLE h = 20.5
N797/N393	$\bar{\lambda}$ < 2.0 Cumple	$\lambda_w \leq \lambda_{w,max}$ Cumple	x: 1.713 m η = 6.2	x: 0 m η = 2.2	x: 0 m η = 10.3	x: 0 m η = 1.6	x: 0 m η = 5.3	η = 0.1	η < 0.1	η < 0.1	x: 0 m η = 18.0	η < 0.1	η = 0.4	x: 0 m η = 5.3	η = 0.1	CUMPLE h = 18.0
N393/N773	$\bar{\lambda}$ < 2.0 Cumple	$\lambda_w \leq \lambda_{w,max}$ Cumple	x: 1.883 m η = 6.7	x: 0 m η = 2.4	x: 1.883 m η = 9.0	x: 1.883 m η = 5.1	x: 0 m η = 1.9	η = 0.3	η < 0.1	η < 0.1	x: 1.883 m η = 20.8	η < 0.1	η = 0.9	x: 0 m η = 1.9	η = 0.3	CUMPLE h = 20.8
N773/N394	$\bar{\lambda}$ < 2.0 Cumple	$\lambda_w \leq \lambda_{w,max}$ Cumple	x: 0.15 m η = 6.7	x: 0 m η = 2.2	x: 0.15 m η = 9.4	x: 0.15 m η = 5.4	x: 0 m η = 1.6	η = 0.4	η < 0.1	η < 0.1	x: 0.15 m η = 21.5	η < 0.1	η = 7.5	x: 0 m η = 1.6	η = 0.4	CUMPLE h = 21.5
N394/N395	$\bar{\lambda}$ < 2.0 Cumple	$\lambda_w \leq \lambda_{w,max}$ Cumple	x: 1.899 m η = 0.1	x: 0 m η = 3.2	x: 0 m η = 11.5	x: 0 m η = 0.8	x: 1.899 m η = 5.9	η < 0.1	η < 0.1	η < 0.1	x: 0 m η = 15.0	η < 0.1	η = 0.1	x: 1.899 m η = 5.9	η < 0.1	CUMPLE h = 15.0
N1/N476	$\bar{\lambda}$ < 2.0 Cumple	$\lambda_w \leq \lambda_{w,max}$ Cumple	x: 0 m η = 0.6	x: 0 m η = 1.7	x: 0 m η = 19.2	x: 0 m η = 0.1	x: 0 m η = 1.9	η = 0.2	η < 0.1	η < 0.1	x: 0 m η = 20.2	η < 0.1	M_{tz} = 0.00 N.P.[1]	N.P.[2]	N.P.[2]	CUMPLE h = 20.2
N44/N477	$\bar{\lambda}$ < 2.0 Cumple	$\lambda_w \leq \lambda_{w,max}$ Cumple	x: 0 m η = 0.3	x: 0 m η = 1.0	x: 0 m η = 19.2	x: 0 m η < 0.1	x: 0 m η = 1.9	η = 0.1	η < 0.1	η < 0.1	x: 0 m η = 19.8	η < 0.1	η = 0.2	x: 0 m η = 1.9	η = 0.1	CUMPLE h = 19.8
N87/N478	$\bar{\lambda}$ < 2.0 Cumple	$\lambda_w \leq \lambda_{w,max}$ Cumple	x: 0 m η = 0.3	x: 0 m η = 0.7	x: 0 m η = 19.8	x: 0 m η < 0.1	x: 0 m η = 2.0	η = 0.1	η < 0.1	η < 0.1	x: 0 m η = 20.0	η < 0.1	M_{tz} = 0.00 N.P.[1]	N.P.[2]	N.P.[2]	CUMPLE h = 20.0
N130/N479	$\bar{\lambda}$ < 2.0 Cumple	$\lambda_w \leq \lambda_{w,max}$ Cumple	x: 0 m η = 0.3	x: 0 m η = 0.7	x: 0 m η = 19.7	x: 0 m η < 0.1	x: 0 m η = 2.0	η = 0.1	η < 0.1	η < 0.1	x: 0 m η = 20.0	η < 0.1	η = 0.2	x: 0 m η = 1.1	η < 0.1	CUMPLE h = 20.0
N173/N480	$\bar{\lambda}$ < 2.0 Cumple	$\lambda_w \leq \lambda_{w,max}$ Cumple	x: 0 m η = 0.2	x: 0 m η = 0.6	x: 0 m η = 19.7	x: 0 m η < 0.1	x: 0 m η = 2.0	η = 0.1	η < 0.1	η < 0.1	x: 0 m η = 20.1	η < 0.1	η = 0.2	x: 0 m η = 1.3	η = 0.1	CUMPLE h = 20.1
N216/N481	$\bar{\lambda}$ < 2.0 Cumple	$\lambda_w \leq \lambda_{w,max}$ Cumple	x: 0 m η = 0.1	x: 0 m η = 0.6	x: 0 m η = 19.7	x: 0 m η < 0.1	x: 0 m η = 2.0	η < 0.1	η < 0.1	η < 0.1	x: 0 m η = 20.1	η < 0.1	η = 0.2	x: 0 m η = 1.3	η < 0.1	CUMPLE h = 20.1
N259/N482	$\bar{\lambda}$ < 2.0 Cumple	$\lambda_w \leq \lambda_{w,max}$ Cumple	x: 1.437 m η = 0.1	x: 0 m η = 0.6	x: 0 m η = 19.8	x: 0 m η < 0.1	x: 0 m η = 2.0	η = 0.1	η < 0.1	η < 0.1	x: 0 m η = 20.1	η < 0.1	η = 0.2	x: 0 m η = 2.0	η = 0.1	CUMPLE h = 20.1
N302/N483	$\bar{\lambda}$ < 2.0 Cumple	$\lambda_w \leq \lambda_{w,max}$ Cumple	x: 1.437 m η = 0.2	x: 0 m η = 0.7	x: 0 m η = 19.3	x: 0 m η < 0.1	x: 0 m η = 1.9	η = 0.1	η < 0.1	η < 0.1	x: 0 m η = 19.6	η < 0.1	M_{tz} = 0.00 N.P.[1]	N.P.[2]	N.P.[2]	CUMPLE h = 19.6
N345/N484	$\bar{\lambda}$ < 2.0 Cumple	$\lambda_w \leq \lambda_{w,max}$ Cumple	x: 0 m η = 0.6	x: 0 m η = 1.8	x: 0 m η = 21.5	x: 0 m η = 0.1	x: 0 m η = 2.2	η = 0.2	η < 0.1	η < 0.1	x: 0 m η = 22.5	η < 0.1	η = 0.5	x: 0 m η = 2.2	η = 0.2	CUMPLE h = 22.5
N388/N485	$\bar{\lambda}$ < 2.0 Cumple	$\lambda_w \leq \lambda_{w,max}$ Cumple	x: 0 m η = 0.4	x: 0 m η = 1.0	x: 0 m η = 11.0	x: 0 m η = 0.1	x: 0 m η = 1.1	η = 0.1	η < 0.1	η < 0.1	x: 0 m η = 11.3	η < 0.1	η = 9.6	x: 0 m η = 1.2	η = 0.1	CUMPLE h = 11.3
N644/N724	$\bar{\lambda}$ < 2.0 Cumple	$\lambda_w \leq \lambda_{w,max}$ Cumple	x: 0.928 m η = 0.1	x: 0 m η = 4.2	x: 0.928 m η = 6.2	x: 0.928 m η = 0.1	x: 0 m η = 7.4	η < 0.1	η < 0.1	η < 0.1	x: 0.928 m η = 10.5	η < 0.1	η < 0.1	x: 0 m η = 5.8	η < 0.1	CUMPLE h = 10.5
N724/N684	$\bar{\lambda}$ < 2.0 Cumple	$\lambda_w \leq \lambda_{w,max}$ Cumple	x: 0.928 m η = 1.3	x: 0 m η = 8.4	x: 0.928 m η = 10.7	x: 0.928 m η = 0.3	x: 0 m η = 7.2	η < 0.1	η < 0.1	η < 0.1	x: 0.928 m η = 19.3	η < 0.1	η < 0.1	x: 0 m η = 5.6	η < 0.1	CUMPLE h = 19.3
N684/N704	$\bar{\lambda}$ < 2.0 Cumple	$\lambda_w \leq \lambda_{w,max}$ Cumple	x: 0.928 m η = 2.4	x: 0 m η = 12.1	x: 0.928 m η = 15.4	x: 0.928 m η = 0.4	x: 0 m η = 7.4	η < 0.1	η < 0.1	η < 0.1	x: 0.928 m η = 27.9	η < 0.1	η = 0.1	x: 0 m η = 5.7	η < 0.1	CUMPLE h = 27.9
N704/N388	$\bar{\lambda}$ < 2.0 Cumple	$\lambda_w \leq \lambda_{w,max}$ Cumple	x: 0.928 m η = 2.8	x: 0 m η = 13.5	x: 0.928 m η = 27.8	x: 0.928 m η = 0.5	x: 0 m η = 10.6	η < 0.1	η < 0.1	η < 0.1	x: 0.928 m η = 41.7	η < 0.1	η = 0.1	x: 0 m η = 8.1	η < 0.1	CUMPLE h = 41.7
N635/N715	$\bar{\lambda}$ < 2.0 Cumple	$\lambda_w \leq \lambda_{w,max}$ Cumple	x: 0.928 m η = 0.4	x: 0 m η = 5.0	x: 0.928 m η = 5.9	x: 0.928 m η = 0.1	x: 0 m η = 7.3	η < 0.1	η < 0.1	η < 0.1	x: 0.928 m η = 11.0	η < 0.1	η = 0.1	x: 0 m η = 7.3	η < 0.1	CUMPLE h = 11.0
N715/N675	$\bar{\lambda}$ < 2.0 Cumple	$\lambda_w \leq \lambda_{w,max}$ Cumple	x: 0.928 m η = 1.6	x: 0 m η = 9.0	x: 0.928 m η = 10.3	x: 0.928 m η = 0.3	x: 0 m η = 6.9	η < 0.1	η < 0.1	η < 0.1	x: 0.928 m η = 19.5	η < 0.1	η = 0.1	x: 0 m η = 6.9	η < 0.1	CUMPLE h = 19.5
N675/N695	$\bar{\lambda}$ < 2.0 Cumple	$\lambda_w \leq \lambda_{w,max}$ Cumple	x: 0.928 m η = 2.7	x: 0 m η = 12.6	x: 0.928 m η = 14.8	x: 0.928 m η = 0.4	x: 0 m η = 7.1	η < 0.1	η < 0.1	η < 0.1	x: 0.928 m η = 27.9	η < 0.1	η = 0.2	x: 0 m η = 7.2	η < 0.1	CUMPLE h = 27.9
N695/N1	$\bar{\lambda}$ < 2.0 Cumple	$\lambda_w \leq \lambda_{w,max}$ Cumple	x: 0.928 m η = 3.1	x: 0 m η = 14.0	x: 0.928 m η = 26.7	x: 0.928 m η = 0.7	x: 0 m η = 10.3	η < 0.1	η < 0.1	η < 0.1	x: 0.928 m η = 41.3	η < 0.1	η = 0.4	x: 0 m η = 10.3	η < 0.1	CUMPLE h = 41.3
N636/N716	$\bar{\lambda}$ < 2.0 Cumple	$\lambda_w \leq \lambda_{w,max}$ Cumple	x: 0.928 m η = 0.4	x: 0 m η = 4.9	x: 0.928 m η = 6.2	x: 0.928 m η = 0.2	x: 0 m η = 7.6	η < 0.1	η < 0.1	x: 0.232 m η < 0.1	x: 0.928 m η = 11.2	η < 0.1	η < 0.1	x: 0 m η = 7.6	η < 0.1	CUMPLE h = 11.2
N716/N676	$\bar{\lambda}$ < 2.0 Cumple	$\lambda_w \leq \lambda_{w,max}$ Cumple	x: 0.928 m η = 1.7	x: 0 m η = 9.0	x: 0.928 m η = 10.7	x: 0.928 m η = 0.4	x: 0 m η = 7.2	η < 0.1	η < 0.1	η < 0.1	x: 0.928 m η = 20.1	η < 0.1	η = 0.1	x: 0 m η = 7.2	η < 0.1	CUMPLE h = 20.1

AJUNTAMENT D'OLERDOLA
Aquest document és una còpia simple del document electrònic original.

Listados

Cobriment de pista a Sant Pere Molanta (Olèrdola)

Fecha: 10/03/26

Barras	COMPROBACIONES (CTE DB SE-A)															Estado
	$\bar{\lambda}$	λ_w	N_t	N_c	M_t	M_z	V_z	V_y	M_tV_z	M_zV_y	NM_tM_z	$NM_tM_zV_yV_z$	M_t	M_tV_z	M_tV_y	
N676/N696	$\bar{\lambda}$ < 2.0 Cumple	$\lambda_w \leq \lambda_{w,max}$ Cumple	x: 0.928 m η = 2.9	x: 0 m η = 12.8	x: 0.928 m η = 15.4	x: 0.928 m η = 0.7	x: 0 m η = 7.4	η < 0.1	η < 0.1	η < 0.1	x: 0.928 m η = 28.8	η < 0.1	η = 0.1	x: 0 m η = 7.4	η < 0.1	CUMPLE h = 28.8
N696/N44	$\bar{\lambda}$ < 2.0 Cumple	$\lambda_w \leq \lambda_{w,max}$ Cumple	x: 0.928 m η = 3.2	x: 0 m η = 14.2	x: 0.928 m η = 28.0	x: 0.928 m η = 1.0	x: 0 m η = 10.7	η < 0.1	η < 0.1	η < 0.1	x: 0.928 m η = 42.9	η < 0.1	η = 0.3	x: 0 m η = 10.7	η < 0.1	CUMPLE h = 42.9
N637/N717	$\bar{\lambda}$ < 2.0 Cumple	$\lambda_w \leq \lambda_{w,max}$ Cumple	x: 0.928 m η = 0.4	x: 0 m η = 4.8	x: 0.928 m η = 6.0	x: 0.928 m η = 0.2	x: 0 m η = 7.4	η < 0.1	η < 0.1	η < 0.1	x: 0.928 m η = 11.0	η < 0.1	η < 0.1	x: 0 m η = 7.4	η < 0.1	CUMPLE h = 11.0
N717/N677	$\bar{\lambda}$ < 2.0 Cumple	$\lambda_w \leq \lambda_{w,max}$ Cumple	x: 0.928 m η = 1.7	x: 0 m η = 8.9	x: 0.928 m η = 10.5	x: 0.928 m η = 0.4	x: 0 m η = 7.0	η < 0.1	η < 0.1	η < 0.1	x: 0.928 m η = 19.7	η < 0.1	η = 0.1	x: 0 m η = 7.0	η < 0.1	CUMPLE h = 19.7
N677/N697	$\bar{\lambda}$ < 2.0 Cumple	$\lambda_w \leq \lambda_{w,max}$ Cumple	x: 0.928 m η = 2.8	x: 0 m η = 12.6	x: 0.928 m η = 15.1	x: 0.928 m η = 0.6	x: 0 m η = 7.3	η < 0.1	η < 0.1	η < 0.1	x: 0.928 m η = 28.3	η < 0.1	η = 0.2	x: 0 m η = 7.3	η < 0.1	CUMPLE h = 28.3
N697/N87	$\bar{\lambda}$ < 2.0 Cumple	$\lambda_w \leq \lambda_{w,max}$ Cumple	x: 0.928 m η = 3.2	x: 0 m η = 14.0	x: 0.928 m η = 27.3	x: 0.928 m η = 0.9	x: 0 m η = 10.5	η < 0.1	η < 0.1	η < 0.1	x: 0.928 m η = 42.1	η < 0.1	η = 0.3	x: 0 m η = 10.5	η < 0.1	CUMPLE h = 42.1
N638/N718	$\bar{\lambda}$ < 2.0 Cumple	$\lambda_w \leq \lambda_{w,max}$ Cumple	x: 0.928 m η = 0.5	x: 0 m η = 4.8	x: 0.928 m η = 6.0	x: 0.928 m η = 0.2	x: 0 m η = 7.4	η < 0.1	η < 0.1	x: 0.232 m η < 0.1	x: 0.928 m η = 11.0	η < 0.1	η < 0.1	x: 0 m η = 7.4	η < 0.1	CUMPLE h = 11.0
N718/N678	$\bar{\lambda}$ < 2.0 Cumple	$\lambda_w \leq \lambda_{w,max}$ Cumple	x: 0.928 m η = 1.7	x: 0 m η = 8.9	x: 0.928 m η = 10.3	x: 0.928 m η = 0.4	x: 0 m η = 7.0	η < 0.1	η < 0.1	η < 0.1	x: 0.928 m η = 19.6	η < 0.1	η = 0.1	x: 0 m η = 7.0	η < 0.1	CUMPLE h = 19.6
N678/N698	$\bar{\lambda}$ < 2.0 Cumple	$\lambda_w \leq \lambda_{w,max}$ Cumple	x: 0.928 m η = 2.9	x: 0 m η = 12.5	x: 0.928 m η = 14.9	x: 0.928 m η = 0.6	x: 0 m η = 7.2	η < 0.1	η < 0.1	η < 0.1	x: 0.928 m η = 28.0	η < 0.1	η = 0.1	x: 0 m η = 7.2	η < 0.1	CUMPLE h = 28.0
N698/N130	$\bar{\lambda}$ < 2.0 Cumple	$\lambda_w \leq \lambda_{w,max}$ Cumple	x: 0.928 m η = 3.3	x: 0 m η = 13.9	x: 0.928 m η = 26.9	x: 0.928 m η = 0.8	x: 0 m η = 10.3	η < 0.1	η < 0.1	η < 0.1	x: 0.928 m η = 41.6	η < 0.1	η = 0.2	x: 0 m η = 10.4	η < 0.1	CUMPLE h = 41.6
N639/N719	$\bar{\lambda}$ < 2.0 Cumple	$\lambda_w \leq \lambda_{w,max}$ Cumple	x: 0.928 m η = 0.5	x: 0 m η = 4.8	x: 0.928 m η = 5.9	x: 0.928 m η = 0.2	x: 0 m η = 7.3	η < 0.1	η < 0.1	x: 0.232 m η < 0.1	x: 0.928 m η = 10.9	η < 0.1	η < 0.1	x: 0 m η = 7.3	η < 0.1	CUMPLE h = 10.9
N719/N679	$\bar{\lambda}$ < 2.0 Cumple	$\lambda_w \leq \lambda_{w,max}$ Cumple	x: 0.928 m η = 1.8	x: 0 m η = 8.8	x: 0.928 m η = 10.2	x: 0.928 m η = 0.4	x: 0 m η = 6.9	η < 0.1	η < 0.1	η < 0.1	x: 0.928 m η = 19.4	η < 0.1	η = 0.1	x: 0 m η = 6.9	η < 0.1	CUMPLE h = 19.4
N679/N699	$\bar{\lambda}$ < 2.0 Cumple	$\lambda_w \leq \lambda_{w,max}$ Cumple	x: 0.928 m η = 3.0	x: 0 m η = 12.5	x: 0.928 m η = 14.8	x: 0.928 m η = 0.5	x: 0 m η = 7.1	η < 0.1	η < 0.1	η < 0.1	x: 0.928 m η = 27.8	η < 0.1	η = 0.1	x: 0 m η = 7.1	η < 0.1	CUMPLE h = 27.8
N699/N173	$\bar{\lambda}$ < 2.0 Cumple	$\lambda_w \leq \lambda_{w,max}$ Cumple	x: 0.928 m η = 3.4	x: 0 m η = 13.8	x: 0.928 m η = 26.7	x: 0.928 m η = 0.8	x: 0 m η = 10.2	η < 0.1	η < 0.1	η < 0.1	x: 0.928 m η = 41.2	η < 0.1	η = 0.2	x: 0 m η = 10.2	η < 0.1	CUMPLE h = 41.2
N640/N720	$\bar{\lambda}$ < 2.0 Cumple	$\lambda_w \leq \lambda_{w,max}$ Cumple	x: 0.928 m η = 0.5	x: 0 m η = 4.8	x: 0.928 m η = 5.9	x: 0.928 m η = 0.2	x: 0 m η = 7.2	η < 0.1	η < 0.1	x: 0.232 m η < 0.1	x: 0.928 m η = 10.8	η < 0.1	η < 0.1	x: 0 m η = 4.3	η < 0.1	CUMPLE h = 10.8
N720/N680	$\bar{\lambda}$ < 2.0 Cumple	$\lambda_w \leq \lambda_{w,max}$ Cumple	x: 0.928 m η = 1.7	x: 0 m η = 8.7	x: 0.928 m η = 10.1	x: 0.928 m η = 0.3	x: 0 m η = 6.8	η < 0.1	η < 0.1	η < 0.1	x: 0.928 m η = 19.2	η < 0.1	η < 0.1	x: 0 m η = 6.8	η < 0.1	CUMPLE h = 19.2
N680/N700	$\bar{\lambda}$ < 2.0 Cumple	$\lambda_w \leq \lambda_{w,max}$ Cumple	x: 0.928 m η = 2.9	x: 0 m η = 12.4	x: 0.928 m η = 14.6	x: 0.928 m η = 0.5	x: 0 m η = 7.0	η < 0.1	η < 0.1	η < 0.1	x: 0.928 m η = 27.4	η < 0.1	η = 0.1	x: 0 m η = 7.0	η < 0.1	CUMPLE h = 27.4
N700/N216	$\bar{\lambda}$ < 2.0 Cumple	$\lambda_w \leq \lambda_{w,max}$ Cumple	x: 0.928 m η = 3.3	x: 0 m η = 13.7	x: 0.928 m η = 26.4	x: 0.928 m η = 0.7	x: 0 m η = 10.1	η < 0.1	η < 0.1	η < 0.1	x: 0.928 m η = 40.7	η < 0.1	η = 0.1	x: 0 m η = 10.1	η < 0.1	CUMPLE h = 40.7
N641/N721	$\bar{\lambda}$ < 2.0 Cumple	$\lambda_w \leq \lambda_{w,max}$ Cumple	x: 0.928 m η = 0.4	x: 0 m η = 4.8	x: 0.928 m η = 5.7	x: 0.928 m η = 0.1	x: 0 m η = 7.1	η < 0.1	η < 0.1	x: 0.232 m η < 0.1	x: 0.928 m η = 10.6	η < 0.1	M_{tz} = 0.00 N.P.(1)	N.P.(2)	N.P.(2)	CUMPLE h = 10.6
N721/N681	$\bar{\lambda}$ < 2.0 Cumple	$\lambda_w \leq \lambda_{w,max}$ Cumple	x: 0.928 m η = 1.6	x: 0 m η = 8.6	x: 0.928 m η = 9.9	x: 0.928 m η = 0.2	x: 0 m η = 6.7	η < 0.1	η < 0.1	η < 0.1	x: 0.928 m η = 18.8	η < 0.1	M_{tz} = 0.00 N.P.(1)	N.P.(2)	N.P.(2)	CUMPLE h = 18.8
N681/N701	$\bar{\lambda}$ < 2.0 Cumple	$\lambda_w \leq \lambda_{w,max}$ Cumple	x: 0.928 m η = 2.7	x: 0 m η = 12.2	x: 0.928 m η = 14.3	x: 0.928 m η = 0.4	x: 0 m η = 6.9	η < 0.1	η < 0.1	η < 0.1	x: 0.928 m η = 26.8	η < 0.1	M_{tz} = 0.00 N.P.(1)	N.P.(2)	N.P.(2)	CUMPLE h = 26.8
N701/N259	$\bar{\lambda}$ < 2.0 Cumple	$\lambda_w \leq \lambda_{w,max}$ Cumple	x: 0.928 m η = 3.1	x: 0 m η = 13.5	x: 0.928 m η = 25.8	x: 0.928 m η = 0.5	x: 0 m η = 9.9	η < 0.1	η < 0.1	η < 0.1	x: 0.928 m η = 39.8	η < 0.1	η < 0.1	x: 0 m η = 9.9	η < 0.1	CUMPLE h = 39.8
N642/N722	$\bar{\lambda}$ < 2.0 Cumple	$\lambda_w \leq \lambda_{w,max}$ Cumple	x: 0.928 m η = 0.4	x: 0 m η = 4.7	x: 0.928 m η = 5.5	x: 0.928 m η = 0.1	x: 0 m η = 6.9	η < 0.1	η < 0.1	x: 0.232 m η < 0.1	x: 0.928 m η = 10.3	η < 0.1	η < 0.1	x: 0 m η = 4.2	η < 0.1	CUMPLE h = 10.3
N722/N682	$\bar{\lambda}$ < 2.0 Cumple	$\lambda_w \leq \lambda_{w,max}$ Cumple	x: 0.928 m η = 1.4	x: 0 m η = 8.5	x: 0.928 m η = 9.6	x: 0.928 m η = 0.2	x: 0 m η = 6.4	η < 0.1	η < 0.1	η < 0.1	x: 0.928 m η = 18.2	η < 0.1	η < 0.1	x: 0 m η = 5.4	η < 0.1	CUMPLE h = 18.2
N682/N702	$\bar{\lambda}$ < 2.0 Cumple	$\lambda_w \leq \lambda_{w,max}$ Cumple	x: 0.928 m η = 2.4	x: 0 m η = 11.9	x: 0.928 m η = 13.8	x: 0.928 m η = 0.3	x: 0 m η = 6.6	η < 0.1	η < 0.1	η < 0.1	x: 0.928 m η = 25.9	η < 0.1	η < 0.1	x: 0 m η = 6.6	η < 0.1	CUMPLE h = 25.9
N702/N302	$\bar{\lambda}$ < 2.0 Cumple	$\lambda_w \leq \lambda_{w,max}$ Cumple	x: 0.928 m η = 2.7	x: 0 m η = 13.1	x: 0.928 m η = 24.9	x: 0.928 m η = 0.3	x: 0 m η = 9.6	η < 0.1	η < 0.1	η < 0.1	x: 0.928 m η = 38.3	η < 0.1	η < 0.1	x: 0 m η = 9.6	η < 0.1	CUMPLE h = 38.3
N643/N723	$\bar{\lambda}$ < 2.0 Cumple	$\lambda_w \leq \lambda_{w,max}$ Cumple	x: 0.928 m η = 0.3	x: 0 m η = 4.7	x: 0.928 m η = 5.3	x: 0.928 m η = 0.1	x: 0 m η = 6.6	η < 0.1	η < 0.1	x: 0.232 m η < 0.1	x: 0.928 m η = 10.1	η < 0.1	M_{tz} = 0.00 N.P.(1)	N.P.(2)	N.P.(2)	CUMPLE h = 10.1
N723/N683	$\bar{\lambda}$ < 2.0 Cumple	$\lambda_w \leq \lambda_{w,max}$ Cumple	x: 0.928 m η = 1.2	x: 0 m η = 8.3	x: 0.928 m η = 9.1	x: 0.928 m η = 0.3	x: 0 m η = 6.1	η < 0.1	η < 0.1	η < 0.1	x: 0.928 m η = 17.6	η < 0.1	M_{tz} = 0.00 N.P.(1)	N.P.(2)	N.P.(2)	CUMPLE h = 17.6
N683/N703	$\bar{\lambda}$ < 2.0 Cumple	$\lambda_w \leq \lambda_{w,max}$ Cumple	x: 0.928 m η = 2.1	x: 0 m η = 11.5	x: 0.928 m η = 13.1	x: 0.928 m η = 0.4	x: 0 m η = 6.3	η < 0.1	η < 0.1	η < 0.1	x: 0.928 m η = 25.0	η < 0.1	M_{tz} = 0.00 N.P.(1)	N.P.(2)	N.P.(2)	CUMPLE h = 25.0
N703/N345	$\bar{\lambda}$ < 2.0 Cumple	$\lambda_w \leq \lambda_{w,max}$ Cumple	x: 0.928 m η = 2.4	x: 0 m η = 12.8	x: 0.928 m η = 23.7	x: 0.928 m η = 0.5	x: 0 m η = 9.1	η < 0.1	η < 0.1	η < 0.1	x: 0.928 m η = 36.9	η < 0.1	η = 0.1	x: 0 m η = 9.1	η < 0.1	CUMPLE h = 36.9
N654/N734	$\bar{\lambda}$ < 2.0 Cumple	$\lambda_w \leq \lambda_{w,max}$ Cumple	x: 0.932 m η = 1.6	x: 0 m η = 1.7	x: 0.932 m η = 6.4	x: 0.932 m η = 0.1	x: 0 m η = 6.5	η < 0.1	η < 0.1	η < 0.1	x: 0.932 m η = 8.2	η < 0.1	η < 0.1	x: 0 m η = 5.0	η < 0.1	CUMPLE h = 8.2
N734/N694	$\bar{\lambda}$ < 2.0 Cumple	$\lambda_w \leq \lambda_{w,max}$ Cumple	x: 0.932 m η = 5.8	x: 0 m η = 2.8	x: 0.932 m η = 10.4	x: 0.932 m η = 0.3	x: 0 m η = 6.3	η < 0.1	η < 0.1	η < 0.1	x: 0.932 m η = 16.5	η < 0.1	η < 0.1	x: 0 m η = 4.9	η < 0.1	CUMPLE h = 16.5
N694/N714	$\bar{\lambda}$ < 2.0 Cumple	$\lambda_w \leq \lambda_{w,max}$ Cumple	x: 0.932 m η = 9.7	x: 0 m η = 4.0	x: 0.932 m η = 14.0	x: 0.932 m η = 0.4	x: 0 m η = 5.6	η < 0.1	η < 0.1	η < 0.1	x: 0.932 m η = 24.1	η < 0.1	η = 0.1	x: 0 m η = 4.3	η < 0.1	CUMPLE h = 24.1
N714/N664	$\bar{\lambda}$ < 2.0 Cumple	$\lambda_w \leq \lambda_{w,max}$ Cumple	x: 0.98 m η = 11.1	x: 0 m η = 4.2	x: 0.98 m η = 15.6	x: 0.98 m η = 0.6	x: 0 m η = 2.1	η < 0.1	η < 0.1	η < 0.1	x: 0.98 m η = 27.2	η < 0.1	η = 0.1	x: 0 m η = 1.6	η < 0.1	CUMPLE h = 27.2
N645/N725	$\bar{\lambda}$ < 2.0 Cumple	$\lambda_w \leq \lambda_{w,max}$ Cumple	x: 0.932 m η = 0.8	x: 0 m η = 1.2	x: 0.932 m η = 6.2	x: 0.932 m η < 0.1	x: 0 m η = 6.1	η < 0.1	η < 0.1	η < 0.1	x: 0.932 m η = 6.9	η < 0.1	η = 0.1	x: 0 m η = 6.1	η < 0.1	CUMPLE h = 6.9
N725/N685	$\bar{\lambda}$ < 2.0 Cumple	$\lambda_w \leq \lambda_{w,max}$ Cumple	x: 0.932 m η = 4.8	x: 0 m η = 2.3	x: 0.932 m η = 10.0	x: 0.932 m η = 0.1	x: 0 m η = 6.0	η < 0.1	η < 0.1	η < 0.1	x: 0.932 m η = 14.9	η < 0.1	η = 0.1	x: 0 m η = 6.0	η < 0.1	CUMPLE h = 14.9
N685/N705	$\bar{\lambda}$ < 2.0 Cumple	$\lambda_w \leq \lambda_{w,max}$ Cumple	x: 0.932 m η = 8.5	x: 0 m η = 3.4	x: 0.932 m η = 13.5	x: 0.932 m η = 0.1	x: 0 m η = 5.4	η < 0.1	η < 0.1	η < 0.1	x: 0.932 m η = 22.1	η < 0.1	η = 0.2	x: 0 m η = 5.4	η < 0.1	CUMPLE h = 22.1
N705/N655	$\bar{\lambda}$ < 2.0 Cumple	$\lambda_w \leq \lambda_{w,max}$ Cumple	x: 0.98 m η = 9.9	x: 0 m η = 3.8	x: 0.98 m η = 14.8	x: 0.98 m η = 0.1	x: 0 m η = 1.9	η < 0.1	η < 0.1	η < 0.1	x: 0.98 m η = 24.7	η < 0.1	η = 0.3	x: 0 m η = 1.9	η < 0.1	CUMPLE h = 24.7
N646/N726	$\bar{\lambda}$ < 2.0 Cumple	$\lambda_w \leq \lambda_{w,max}$ Cumple	x: 0.932 m η = 1.0	x: 0 m η = 1.4	x: 0.932 m η = 6.5	x: 0.932 m η = 0.2	x: 0 m η = 6.4	η < 0.1	η < 0.1	η < 0.1	x: 0.932 m η = 7.6	η < 0.1	η < 0.1	x: 0 m η = 6.4	η < 0.1	CUMPLE h = 7.6
N726/N686	$\bar{\lambda}$ < 2.0 Cumple	$\lambda_w \leq \lambda_{w,max}$ Cumple	x: 0.932 m η = 5.2	x: 0 m η = 2.6	x: 0.932 m η = 10.4	x: 0.932 m η = 0.4	x: 0 m η = 6.3	η < 0.1	η < 0.1	η < 0.1	x: 0.932 m η = 16.0	η < 0.1	η = 0.1	x: 0 m η = 6.3	η < 0.1	CUMPLE h = 16.0
N686/N706	$\bar{\lambda}$ < 2.0 Cumple	$\lambda_w \leq \lambda_{w,max}$ Cumple	x: 0.932 m η = 9.1	x: 0 m η = 3.8	x: 0.932 m η = 14.1	x: 0.932 m η = 0.5	x: 0 m η = 5.6	η < 0.1	η < 0.1	η < 0.1	x: 0.932 m η = 23.7	η < 0.1	η = 0.1	x: 0 m η = 5.6	η < 0.1	CUMPLE h = 23.7
N706/N656	$\bar{\lambda}$ < 2.0 Cumple	$\lambda_w \leq \lambda_{w,max}$ Cumple	x: 0.98 m η = 10.5	x: 0 m η = 4.1	x: 0.98 m η = 15.3	x: 0.98 m η = 0.7	x: 0 m η = 2.0	η < 0.1	η < 0.1	η < 0.1	x: 0.98 m η = 26.5	η < 0.1	η = 0.2	x: 0 m η = 2.0	η < 0.1	CUMPLE h = 26.5
N647/N727	$\bar{\lambda}$ < 2.0 Cumple	$\lambda_w \leq \lambda_{w,max}$ Cumple	x: 0.932 m η = 0.9	x: 0 m η = 1.2	x: 0.932 m η = 6.3	x: 0.932 m η = 0.2	x: 0 m η = 6.2	η < 0.1	η < 0.1	η < 0.1	x: 0.932 m η = 7.4	η < 0.1	η < 0.1	x: 0 m η = 6.2	η < 0.1	CUMPLE h = 7.4
N727/N687	$\bar{\lambda}$ < 2.0 Cumple	$\lambda_w \leq \lambda_{w,max}$ Cumple	x: 0.932 m η = 5.0	x: 0 m η = 2.4	x: 0.932 m η = 10.2	x: 0.932 m η = 0.3	x: 0 m η = 6.1	η < 0.1	η < 0.1	η < 0.1	x: 0.932 m η = 15.5	η < 0.1	η = 0.1	x: 0 m η = 6.1	η < 0.1	CUMPLE h = 15.5
N687/N707	$\bar{\lambda}$ < 2.0 Cumple	$\lambda_w \leq \lambda_{w,max}$ Cumple	x: 0.932 m η = 8.8	x: 0 m η = 3.5	x: 0.932 m η = 13.7	x: 0.932 m η = 0.4	x: 0 m η = 5.5	η < 0.1	η < 0.1	η < 0.1	x: 0.932 m η = 23.0	η < 0.1	η = 0.1	x: 0 m η = 5.5	η < 0.1	CUMPLE h = 23.0
N707/N657	$\bar{\lambda}$ < 2.0 Cumple	$\lambda_w \leq \lambda_{w,max}$ Cumple	x: 0.98 m η = 10.3	x: 0 m η = 3.8	x: 0.98 m η = 15.0	x: 0.98 m η = 0.5	x: 0 m η = 1.9	η < 0.1	η < 0.1	η < 0.1	x: 0.98 m η = 25.8	η < 0.1	η = 0.3	x: 0 m η = 1.9	η < 0.1	CUMPLE h = 25.8
N648/N728	$\bar{\lambda}$ < 2.0 Cumple	$\lambda_w \leq \lambda_{w,max}$ Cumple	x: 0.932 m η = 0.9	x: 0 m η = 1.3	x: 0.932 m η = 6.2	x: 0.932 m η = 0.2	x: 0 m η = 6.1	η < 0.1	η < 0.1	η < 0.1	x: 0.932 m η = 7.2	η < 0.1	η < 0.1	x: 0 m η = 6.1	η < 0.1	CUMPLE h = 7.2
N728/N688	$\bar{\lambda}$ < 2.0 Cumple	$\lambda_w \leq \lambda_{w,max}$ Cumple	x: 0.932 m η = 4.9	x: 0 m η = 2.5	x: 0.932 m η = 10.1	x: 0.932 m η = 0.3	x: 0 m η = 6.1	η < 0.1	η < 0.1	η < 0.1	x: 0.932 m η = 15.3	η < 0.1	η = 0.1	x: 0 m η = 6.1	η < 0.1	CUMPLE h = 15.3
N688/N708	$\bar{\lambda}$ < 2.0 Cumple	$\lambda_w \leq \lambda_{w,max}$ Cumple	x: 0.932 m η = 8.7	x: 0 m η = 3.6	x: 0.932 m η = 13.6	x: 0.932 m η = 0.4	x: 0 m η = 5.4	η < 0.1	η < 0.1	η < 0.1	x: 0.932 m η = 22.7	η < 0.1	η = 0.1	x: 0 m η = 5.4	η < 0.1	CUMPLE h = 22.7
N708/N658	$\bar{\lambda}$ < 2.0 Cumple	$\lambda_w \leq \lambda_{w,max}$ Cumple	x: 0.98 m η = 10.1	x: 0 m η = 4.0	x: 0.98 m η = 14.8	x: 0.98 m η = 0.5	x: 0 m η = 1.9	η < 0.1	η < 0.1	η < 0.1	x: 0.98 m η = 25.5	η < 0.1	η = 0.2	x: 0 m η = 1.9	η < 0.1	CUMPLE h = 25.5
N649/N729	$\bar{\lambda}$ < 2.0 Cumple	$\lambda_w \leq \lambda_{w,max}$ Cumple	x: 0.932 m η = 0.9	x: 0 m η = 1.3	x: 0.932 m η = 6.2	x: 0.932 m η = 0.2	x: 0 m η = 6.1	η < 0.1	η < 0.1	η < 0.1	x: 0.932 m η = 7.1	η < 0.1	η < 0.1	x: 0 m η = 6.1	η < 0.1	CUMPLE h = 7.1
N729/N689	$\bar{\lambda}$ < 2.0 Cumple	$\lambda_w \leq \lambda_{w,max}$ Cumple	x: 0.932 m η = 4.8	x: 0 m η = 2.5	x: 0.932 m η = 10.0	x: 0.932 m η = 0.3	x: 0 m η = 6.0	η < 0.1	η < 0.1	η < 0.1	x: 0.932 m η = 15.1	η < 0.1	η < 0.1	x: 0 m η = 6.0	η < 0.1	CUMPLE h = 15.1
N689/N709	$\bar{\lambda}$ < 2.0 Cumple	$\lambda_w \leq \lambda_{w,max}$ Cumple	x: 0.932 m η = 8.6	x: 0 m η = 3.7	x: 0.932 m η = 13.5	x: 0.932 m η = 0.4	x: 0 m η = 5.4	η < 0.1	η < 0.1	η < 0.1	x: 0.932 m η = 22.4	η < 0.1	η = 0.1	x: 0 m η = 5.4	η < 0.1	CUMPLE h = 22.4
N709/N659	$\bar{\lambda}$ < 2.0 Cumple	$\lambda_w \leq \lambda_{w,max}$ Cumple	x: 0.98 m η = 10.0	x: 0 m η = 4.0	x: 0.98 m η = 14.7	x: 0.98 m η = 0.5	x: 0 m η = 1.9	η < 0.1	η < 0.1	η < 0.1	x: 0.98 m η = 25.1	η < 0.1	η = 0.1	x: 0 m η = 1.9	η < 0.1	CUMPLE h = 25.1
N650/N730	$\bar{\lambda}$ < 2.0 Cumple	$\lambda_w \leq \lambda_{w,max}$ Cumple	x: 0.932 m η = 0.9	x: 0 m η = 1.3	x: 0.932 m η = 6.1	x: 0.932 m η = 0.1	x: 0 m η = 6.0	η < 0.1	η < 0.1	η < 0.1	x: 0.932 m η = 7.0	η < 0.1	M_{tz} = 0.00 N.P.(1)	N.P.(2)	N.P.(2)	CUMPLE h = 7.0

AJUNTAMENT D'OLERDOLA
Aquest document és una còpia simple del document electrònic original.

Listados

Cobriment de pista a Sant Pere Molanta (Olèrdola)

Fecha: 10/03/26

Barras	COMPROBACIONES (CTE DB SE-A)															Estado
	$\bar{\lambda}$	λ_w	N_t	N_c	M_t	M_z	V_z	V_y	M_tV_z	M_zV_y	NM_yM_z	$NM_tM_zV_yV_z$	M_t	M_yV_z	M_zV_y	
N730/N690	$\bar{\lambda}$ < 2.0 Cumple	$\lambda_w \leq \lambda_{w,máx}$ Cumple	x: 0.932 m η = 4.8	x: 0 m η = 2.5	x: 0.932 m η = 9.9	x: 0.932 m η = 0.3	x: 0 m η = 5.9	η < 0.1	η < 0.1	η < 0.1	x: 0.932 m η = 14.9	η < 0.1	η < 0.1	x: 0 m η = 5.9	η < 0.1	CUMPLE h = 14.9
N690/N710	$\bar{\lambda}$ < 2.0 Cumple	$\lambda_w \leq \lambda_{w,máx}$ Cumple	x: 0.932 m η = 8.5	x: 0 m η = 3.6	x: 0.932 m η = 13.3	x: 0.932 m η = 0.4	x: 0 m η = 5.3	η < 0.1	η < 0.1	η < 0.1	x: 0.932 m η = 22.2	η < 0.1	η < 0.1	x: 0 m η = 5.3	η < 0.1	CUMPLE h = 22.2
N710/N660	$\bar{\lambda}$ < 2.0 Cumple	$\lambda_w \leq \lambda_{w,máx}$ Cumple	x: 0.98 m η = 9.9	x: 0 m η = 3.9	x: 0.98 m η = 14.5	x: 0.98 m η = 0.5	x: 0 m η = 1.9	η < 0.1	η < 0.1	η < 0.1	x: 0.98 m η = 24.8	η < 0.1	η = 0.1	x: 0 m η = 1.9	η < 0.1	CUMPLE h = 24.8
N651/N731	$\bar{\lambda}$ < 2.0 Cumple	$\lambda_w \leq \lambda_{w,máx}$ Cumple	x: 0.932 m η = 0.9	x: 0 m η = 1.2	x: 0.932 m η = 6.0	x: 0.932 m η = 0.1	x: 0 m η = 5.9	η < 0.1	η < 0.1	x: 0.233 m η < 0.1	x: 0.932 m η = 6.8	η < 0.1	M_{tz} = 0.00 N.P.[1]	N.P.[2]	N.P.[2]	CUMPLE h = 6.8
N731/N691	$\bar{\lambda}$ < 2.0 Cumple	$\lambda_w \leq \lambda_{w,máx}$ Cumple	x: 0.932 m η = 4.6	x: 0 m η = 2.3	x: 0.932 m η = 9.7	x: 0.932 m η = 0.2	x: 0 m η = 5.8	η < 0.1	η < 0.1	η < 0.1	x: 0.932 m η = 14.5	η < 0.1	M_{tz} = 0.00 N.P.[1]	N.P.[2]	N.P.[2]	CUMPLE h = 14.5
N691/N711	$\bar{\lambda}$ < 2.0 Cumple	$\lambda_w \leq \lambda_{w,máx}$ Cumple	x: 0.932 m η = 8.2	x: 0 m η = 3.3	x: 0.932 m η = 13.0	x: 0.932 m η = 0.3	x: 0 m η = 5.2	η < 0.1	η < 0.1	η < 0.1	x: 0.932 m η = 21.6	η < 0.1	M_{tz} = 0.00 N.P.[1]	N.P.[2]	N.P.[2]	CUMPLE h = 21.6
N711/N661	$\bar{\lambda}$ < 2.0 Cumple	$\lambda_w \leq \lambda_{w,máx}$ Cumple	x: 0.98 m η = 9.6	x: 0 m η = 3.7	x: 0.98 m η = 14.2	x: 0.98 m η = 0.5	x: 0 m η = 1.8	η < 0.1	η < 0.1	η < 0.1	x: 0.98 m η = 24.2	η < 0.1	η < 0.1	x: 0 m η = 1.8	η < 0.1	CUMPLE h = 24.2
N652/N732	$\bar{\lambda}$ < 2.0 Cumple	$\lambda_w \leq \lambda_{w,máx}$ Cumple	x: 0.932 m η = 0.9	x: 0 m η = 1.0	x: 0.932 m η = 5.8	x: 0.932 m η = 0.1	x: 0 m η = 5.6	η < 0.1	η < 0.1	η < 0.1	x: 0.932 m η = 6.4	η < 0.1	M_{tz} = 0.00 N.P.[1]	N.P.[2]	N.P.[2]	CUMPLE h = 6.4
N732/N692	$\bar{\lambda}$ < 2.0 Cumple	$\lambda_w \leq \lambda_{w,máx}$ Cumple	x: 0.932 m η = 4.3	x: 0 m η = 2.0	x: 0.932 m η = 9.3	x: 0.932 m η = 0.2	x: 0 m η = 5.6	η < 0.1	η < 0.1	η < 0.1	x: 0.932 m η = 13.9	η < 0.1	η < 0.1	x: 0 m η = 3.3	η < 0.1	CUMPLE h = 13.9
N692/N712	$\bar{\lambda}$ < 2.0 Cumple	$\lambda_w \leq \lambda_{w,máx}$ Cumple	x: 0.932 m η = 7.8	x: 0 m η = 2.9	x: 0.932 m η = 12.6	x: 0.932 m η = 0.3	x: 0 m η = 5.0	η < 0.1	η < 0.1	η < 0.1	x: 0.932 m η = 20.7	η < 0.1	η < 0.1	x: 0 m η = 5.0	η < 0.1	CUMPLE h = 20.7
N712/N662	$\bar{\lambda}$ < 2.0 Cumple	$\lambda_w \leq \lambda_{w,máx}$ Cumple	x: 0.98 m η = 9.2	x: 0 m η = 3.2	x: 0.98 m η = 13.6	x: 0.98 m η = 0.4	x: 0 m η = 1.8	η < 0.1	η < 0.1	η < 0.1	x: 0.98 m η = 23.2	η < 0.1	η = 0.1	x: 0 m η = 1.8	η < 0.1	CUMPLE h = 23.2
N653/N733	$\bar{\lambda}$ < 2.0 Cumple	$\lambda_w \leq \lambda_{w,máx}$ Cumple	x: 0.932 m η = 0.7	x: 0 m η = 1.0	x: 0.932 m η = 5.5	x: 0.932 m η = 0.1	x: 0 m η = 5.3	η < 0.1	η < 0.1	η < 0.1	x: 0.932 m η = 5.9	η < 0.1	M_{tz} = 0.00 N.P.[1]	N.P.[2]	N.P.[2]	CUMPLE h = 5.9
N733/N693	$\bar{\lambda}$ < 2.0 Cumple	$\lambda_w \leq \lambda_{w,máx}$ Cumple	x: 0.932 m η = 3.9	x: 0 m η = 1.8	x: 0.932 m η = 8.9	x: 0.932 m η = 0.2	x: 0 m η = 5.3	η < 0.1	η < 0.1	η < 0.1	x: 0.932 m η = 13.0	η < 0.1	M_{tz} = 0.00 N.P.[1]	N.P.[2]	N.P.[2]	CUMPLE h = 13.0
N693/N713	$\bar{\lambda}$ < 2.0 Cumple	$\lambda_w \leq \lambda_{w,máx}$ Cumple	x: 0.932 m η = 7.2	x: 0 m η = 2.6	x: 0.932 m η = 11.9	x: 0.932 m η = 0.3	x: 0 m η = 4.7	η < 0.1	η < 0.1	η < 0.1	x: 0.932 m η = 19.5	η < 0.1	M_{tz} = 0.00 N.P.[1]	N.P.[2]	N.P.[2]	CUMPLE h = 19.5
N713/N663	$\bar{\lambda}$ < 2.0 Cumple	$\lambda_w \leq \lambda_{w,máx}$ Cumple	x: 0.98 m η = 8.5	x: 0 m η = 2.9	x: 0.98 m η = 12.8	x: 0.98 m η = 0.4	x: 0 m η = 1.6	η < 0.1	η < 0.1	η < 0.1	x: 0.98 m η = 21.7	η < 0.1	η = 0.1	x: 0 m η = 1.6	η < 0.1	CUMPLE h = 21.7
N644/N674	$\bar{\lambda} \leq 3.0$ Cumple	$\lambda_w \leq \lambda_{w,máx}$ Cumple	η = 1.0	N_{tz} = 0.00 N.P.[2]	x: 0.163 m η < 0.1	x: 0 m η = 9.9	η < 0.1	x: 0.163 m η = 9.2	η < 0.1	η < 0.1	x: 0 m η = 10.9	η < 0.1	η < 0.1	η < 0.1	x: 0.163 m η = 7.4	CUMPLE h = 10.9
N674/N654	$\bar{\lambda}$ < 2.0 Cumple	$\lambda_w \leq \lambda_{w,máx}$ Cumple	η = 1.8	η = 1.1	x: 0 m η < 0.1	x: 0.163 m η = 6.5	η < 0.1	x: 0 m η = 2.7	η < 0.1	η < 0.1	x: 0.163 m η = 8.2	η < 0.1	η < 0.1	η < 0.1	x: 0.163 m η = 1.2	CUMPLE h = 8.2
N635/N665	$\bar{\lambda}$ < 2.0 Cumple	$\lambda_w \leq \lambda_{w,máx}$ Cumple	η = 1.4	η = 0.1	x: 0.163 m η < 0.1	x: 0 m η = 10.2	η < 0.1	x: 0.163 m η = 10.5	η < 0.1	η < 0.1	x: 0 m η = 11.6	η < 0.1	η = 0.1	η < 0.1	x: 0.163 m η = 10.6	CUMPLE h = 11.6
N665/N645	$\bar{\lambda}$ < 2.0 Cumple	$\lambda_w \leq \lambda_{w,máx}$ Cumple	η = 1.2	η = 0.9	x: 0 m η < 0.1	x: 0.163 m η = 5.7	η < 0.1	x: 0 m η = 1.9	η < 0.1	η < 0.1	x: 0.163 m η = 6.9	η < 0.1	η = 0.1	η < 0.1	x: 0 m η = 1.9	CUMPLE h = 6.9
N636/N666	$\bar{\lambda} \leq 3.0$ Cumple	$\lambda_w \leq \lambda_{w,máx}$ Cumple	η = 1.3	N_{tz} = 0.00 N.P.[2]	x: 0.163 m η < 0.1	x: 0 m η = 10.4	η = 0.1	x: 0.163 m η = 10.4	η < 0.1	η < 0.1	x: 0 m η = 11.7	η < 0.1	η < 0.1	η = 0.1	x: 0.163 m η = 10.4	CUMPLE h = 11.7
N666/N646	$\bar{\lambda}$ < 2.0 Cumple	$\lambda_w \leq \lambda_{w,máx}$ Cumple	η = 1.4	η = 1.0	x: 0 m η < 0.1	x: 0.163 m η = 6.1	η = 0.1	x: 0 m η = 2.2	η < 0.1	η < 0.1	x: 0.163 m η = 7.5	η < 0.1	η < 0.1	η = 0.1	x: 0 m η = 2.2	CUMPLE h = 7.5
N637/N667	$\bar{\lambda}$ < 2.0 Cumple	$\lambda_w \leq \lambda_{w,máx}$ Cumple	η = 1.3	η = 0.1	x: 0.163 m η < 0.1	x: 0 m η = 10.2	η = 0.1	x: 0.163 m η = 10.4	η < 0.1	η < 0.1	x: 0 m η = 11.5	η < 0.1	η < 0.1	η = 0.1	x: 0.163 m η = 10.4	CUMPLE h = 11.5
N667/N647	$\bar{\lambda}$ < 2.0 Cumple	$\lambda_w \leq \lambda_{w,máx}$ Cumple	η = 1.3	η = 0.9	x: 0 m η < 0.1	x: 0.163 m η = 5.9	η = 0.1	x: 0 m η = 1.9	η < 0.1	η < 0.1	x: 0.163 m η = 7.3	η < 0.1	η < 0.1	η = 0.1	x: 0 m η = 1.9	CUMPLE h = 7.3
N638/N668	$\bar{\lambda}$ < 2.0 Cumple	$\lambda_w \leq \lambda_{w,máx}$ Cumple	η = 1.3	η = 0.1	x: 0.163 m η < 0.1	x: 0 m η = 10.2	η = 0.1	x: 0.163 m η = 10.3	η < 0.1	η < 0.1	x: 0 m η = 11.5	η < 0.1	η < 0.1	η = 0.1	x: 0.163 m η = 10.3	CUMPLE h = 11.5
N668/N648	$\bar{\lambda}$ < 2.0 Cumple	$\lambda_w \leq \lambda_{w,máx}$ Cumple	η = 1.3	η = 0.9	x: 0 m η < 0.1	x: 0.163 m η = 5.8	η = 0.1	x: 0 m η = 2.0	η < 0.1	η < 0.1	x: 0.163 m η = 7.1	η < 0.1	η < 0.1	η = 0.1	x: 0 m η = 2.0	CUMPLE h = 7.1
N639/N669	$\bar{\lambda}$ < 2.0 Cumple	$\lambda_w \leq \lambda_{w,máx}$ Cumple	η = 1.3	η = 0.1	x: 0.163 m η < 0.1	x: 0 m η = 10.1	η = 0.1	x: 0.163 m η = 10.3	η < 0.1	η < 0.1	x: 0 m η = 11.4	η < 0.1	η < 0.1	η < 0.1	x: 0.163 m η = 7.2	CUMPLE h = 11.4
N669/N649	$\bar{\lambda}$ < 2.0 Cumple	$\lambda_w \leq \lambda_{w,máx}$ Cumple	η = 1.3	η = 0.9	x: 0 m η < 0.1	x: 0.163 m η = 5.7	η < 0.1	x: 0 m η = 2.0	η < 0.1	η < 0.1	x: 0.163 m η = 7.0	η < 0.1	η < 0.1	η < 0.1	x: 0 m η = 2.0	CUMPLE h = 7.0
N640/N670	$\bar{\lambda}$ < 2.0 Cumple	x: 0.082 m $\lambda_w \leq \lambda_{w,máx}$ Cumple	η = 1.3	η = 0.1	x: 0.163 m η < 0.1	x: 0 m η = 10.0	η < 0.1	x: 0.163 m η = 10.2	x: 0.082 m η < 0.1	η < 0.1	x: 0 m η = 11.3	η < 0.1	M_{tz} = 0.00 N.P.[1]	N.P.[2]	N.P.[2]	CUMPLE h = 11.3
N670/N650	$\bar{\lambda}$ < 2.0 Cumple	$\lambda_w \leq \lambda_{w,máx}$ Cumple	η = 1.3	η = 0.9	x: 0 m η < 0.1	x: 0.163 m η = 5.7	η < 0.1	x: 0 m η = 2.0	η < 0.1	η < 0.1	x: 0.163 m η = 6.9	η < 0.1	M_{tz} = 0.00 N.P.[1]	N.P.[2]	N.P.[2]	CUMPLE h = 6.9
N641/N671	$\bar{\lambda}$ < 2.0 Cumple	x: 0.082 m $\lambda_w \leq \lambda_{w,máx}$ Cumple	η = 1.3	η = 0.1	x: 0.163 m η < 0.1	x: 0 m η = 9.8	η < 0.1	x: 0.163 m η = 10.2	x: 0.082 m η < 0.1	η < 0.1	x: 0 m η = 11.2	η < 0.1	M_{tz} = 0.00 N.P.[1]	N.P.[2]	N.P.[2]	CUMPLE h = 11.2
N671/N651	$\bar{\lambda}$ < 2.0 Cumple	x: 0 m $\lambda_w \leq \lambda_{w,máx}$ Cumple	η = 1.2	η = 0.9	x: 0 m η < 0.1	x: 0.163 m η = 5.5	η < 0.1	x: 0 m η = 1.9	x: 0 m η < 0.1	η < 0.1	x: 0.163 m η = 6.7	η < 0.1	M_{tz} = 0.00 N.P.[1]	N.P.[2]	N.P.[2]	CUMPLE h = 6.7
N642/N672	$\bar{\lambda}$ < 2.0 Cumple	x: 0.082 m $\lambda_w \leq \lambda_{w,máx}$ Cumple	η = 1.3	η = 0.1	x: 0.163 m η < 0.1	x: 0 m η = 9.6	η < 0.1	x: 0.163 m η = 10.1	x: 0.082 m η < 0.1	η < 0.1	x: 0 m η = 10.9	η < 0.1	η < 0.1	η < 0.1	x: 0.163 m η = 7.9	CUMPLE h = 10.9
N672/N652	$\bar{\lambda}$ < 2.0 Cumple	$\lambda_w \leq \lambda_{w,máx}$ Cumple	η = 1.1	η = 0.7	x: 0 m η < 0.1	x: 0 m η = 5.5	η < 0.1	x: 0 m η = 1.8	η < 0.1	η < 0.1	x: 0 m η = 6.6	η < 0.1	η < 0.1	η < 0.1	x: 0 m η = 1.8	CUMPLE h = 6.6
N643/N673	$\bar{\lambda}$ < 2.0 Cumple	x: 0.082 m $\lambda_w \leq \lambda_{w,máx}$ Cumple	η = 1.4	η < 0.1	x: 0.163 m η < 0.1	x: 0 m η = 9.3	η < 0.1	x: 0.163 m η = 10.0	x: 0.082 m η < 0.1	η < 0.1	x: 0 m η = 10.7	η < 0.1	M_{tz} = 0.00 N.P.[1]	N.P.[2]	N.P.[2]	CUMPLE h = 10.7
N673/N653	$\bar{\lambda}$ < 2.0 Cumple	$\lambda_w \leq \lambda_{w,máx}$ Cumple	η = 0.9	η = 0.7	x: 0 m η < 0.1	x: 0 m η = 5.7	η < 0.1	x: 0 m η = 1.7	η < 0.1	η < 0.1	x: 0 m η = 6.6	η < 0.1	M_{tz} = 0.00 N.P.[1]	N.P.[2]	N.P.[2]	CUMPLE h = 6.6
N684/N694	$\bar{\lambda}$ < 2.0 Cumple	x: 0.172 m $\lambda_w \leq \lambda_{w,máx}$ Cumple	η = 1.8	η = 0.5	x: 0.343 m η < 0.1	x: 0 m η = 13.0	η < 0.1	x: 0.343 m η = 7.2	x: 0.172 m η < 0.1	η < 0.1	x: 0 m η = 14.8	η < 0.1	η = 0.1	η < 0.1	x: 0.343 m η = 7.2	CUMPLE h = 14.8
N675/N685	$\bar{\lambda}$ < 2.0 Cumple	$\lambda_w \leq \lambda_{w,máx}$ Cumple	η = 1.8	η = 0.5	x: 0.343 m η < 0.1	x: 0 m η = 12.6	η < 0.1	x: 0.343 m η = 7.0	η < 0.1	η < 0.1	x: 0 m η = 14.4	η < 0.1	η = 0.1	η < 0.1	x: 0.343 m η = 7.0	CUMPLE h = 14.4
N676/N686	$\bar{\lambda}$ < 2.0 Cumple	$\lambda_w \leq \lambda_{w,máx}$ Cumple	η = 1.8	η = 0.6	x: 0.343 m η < 0.1	x: 0 m η = 13.0	η < 0.1	x: 0.343 m η = 7.2	η < 0.1	η < 0.1	x: 0 m η = 14.9	η < 0.1	η = 0.1	η < 0.1	x: 0.343 m η = 7.2	CUMPLE h = 14.9
N677/N687	$\bar{\lambda}$ < 2.0 Cumple	$\lambda_w \leq \lambda_{w,máx}$ Cumple	η = 1.8	η = 0.5	x: 0.343 m η < 0.1	x: 0 m η = 12.8	η < 0.1	x: 0.343 m η = 7.1	η < 0.1	η < 0.1	x: 0 m η = 14.6	η < 0.1	η = 0.1	η < 0.1	x: 0.343 m η = 7.1	CUMPLE h = 14.6
N678/N688	$\bar{\lambda}$ < 2.0 Cumple	$\lambda_w \leq \lambda_{w,máx}$ Cumple	η = 1.8	η = 0.6	x: 0.343 m η < 0.1	x: 0 m η = 12.6	η < 0.1	x: 0.343 m η = 7.0	η < 0.1	η < 0.1	x: 0 m η = 14.4	η < 0.1	η = 0.1	η < 0.1	x: 0.343 m η = 7.0	CUMPLE h = 14.4
N679/N689	$\bar{\lambda}$ < 2.0 Cumple	$\lambda_w \leq \lambda_{w,máx}$ Cumple	η = 1.8	η = 0.6	x: 0.343 m η < 0.1	x: 0 m η = 12.5	η < 0.1	x: 0.343 m η = 6.9	η < 0.1	η < 0.1	x: 0 m η = 14.3	η < 0.1	η < 0.1	η < 0.1	x: 0.343 m η = 6.9	CUMPLE h = 14.3
N680/N690	$\bar{\lambda}$ < 2.0 Cumple	x: 0 m $\lambda_w \leq \lambda_{w,máx}$ Cumple	η = 1.8	η = 0.6	x: 0.343 m η < 0.1	x: 0 m η = 12.4	η < 0.1	x: 0.343 m η = 6.9	x: 0 m η < 0.1	η < 0.1	x: 0 m η = 14.1	η < 0.1	η < 0.1	η < 0.1	x: 0.343 m η = 3.9	CUMPLE h = 14.1
N681/N691	$\bar{\lambda}$ < 2.0 Cumple	N.P.[6]	η = 1.7	η = 0.5	M_{tz} = 0.00 N.P.[6]	x: 0 m η = 12.1	η < 0.1	x: 0.343 m η = 6.7	N.P.[6]	η < 0.1	x: 0 m η = 13.9	η < 0.1	M_{tz} = 0.00 N.P.[1]	N.P.[2]	N.P.[2]	CUMPLE h = 13.9
N682/N692	$\bar{\lambda}$ < 2.0 Cumple	x: 0.172 m $\lambda_w \leq \lambda_{w,máx}$ Cumple	η = 1.7	η = 0.5	x: 0.343 m η < 0.1	x: 0 m η = 11.7	η < 0.1	x: 0.343 m η = 6.5	x: 0.172 m η < 0.1	η < 0.1	x: 0 m η = 13.4	η < 0.1	η < 0.1	η < 0.1	x: 0.343 m η = 6.5	CUMPLE h = 13.4
N683/N693	$\bar{\lambda}$ < 2.0 Cumple	N.P.[6]	η = 1.6	η = 0.4	M_{tz} = 0.00 N.P.[6]	x: 0 m η = 11.1	η < 0.1	x: 0.343 m η = 6.2	N.P.[6]	η < 0.1	x: 0 m η = 12.7	η < 0.1	η < 0.1	η < 0.1	x: 0.343 m η = 5.2	CUMPLE h = 12.7
N704/N714	$\bar{\lambda}$ < 2.0 Cumple	x: 0.176 m $\lambda_w \leq \lambda_{w,máx}$ Cumple	η = 0.2	η < 0.1	x: 0.352 m η < 0.1	x: 0 m η = 6.6	η < 0.1	x: 0.352 m η = 3.1	x: 0.176 m η < 0.1	η < 0.1	x: 0 m η = 6.8	η < 0.1	η = 0.1	η < 0.1	x: 0.352 m η = 3.1	CUMPLE h = 6.8
N695/N705	$\bar{\lambda}$ < 2.0 Cumple	$\lambda_w \leq \lambda_{w,máx}$ Cumple	η = 0.2	η < 0.1	x: 0.352 m η < 0.1	x: 0 m η = 6.7	η < 0.1	x: 0.352 m η = 3.2	η < 0.1	η < 0.1	x: 0 m η = 6.9	η < 0.1	η = 0.2	η < 0.1	x: 0.352 m η = 3.2	CUMPLE h = 6.9
N696/N706	$\bar{\lambda}$ < 2.0 Cumple	$\lambda_w \leq \lambda_{w,máx}$ Cumple	η = 0.2	η < 0.1	x: 0.352 m η < 0.1	x: 0 m η = 6.8	η < 0.1	x: 0.352 m η = 3.2	η < 0.1	η < 0.1	x: 0 m η = 7.0	η < 0.1	η = 0.1	η < 0.1	x: 0.352 m η = 3.2	CUMPLE h = 7.0
N697/N707	$\bar{\lambda}$ < 2.0 Cumple	$\lambda_w \leq \lambda_{w,máx}$ Cumple	η = 0.2	η < 0.1	x: 0.352 m η < 0.1	x: 0 m η = 6.7	η < 0.1	x: 0.352 m η = 3.2	η < 0.1	η < 0.1	x: 0 m η = 6.9	η < 0.1	η = 0.2	η < 0.1	x: 0.352 m η = 3.2	CUMPLE h = 6.9
N698/N708	$\bar{\lambda}$ < 2.0 Cumple	$\lambda_w \leq \lambda_{w,máx}$ Cumple	η = 0.2	η < 0.1	x: 0.352 m η < 0.1	x: 0 m η = 6.7	η < 0.1	x: 0.352 m η = 3.2	η < 0.1	η < 0.1	x: 0 m η = 6.9	η < 0.1	η = 0.1	η < 0.1	x: 0.352 m η = 3.2	CUMPLE h = 6.9
N699/N709	$\bar{\lambda}$ < 2.0 Cumple	$\lambda_w \leq \lambda_{w,máx}$ Cumple	η = 0.2	η < 0.1	x: 0.352 m η < 0.1	x: 0 m η = 6.6	η < 0.1	x: 0.352 m η = 3.2	η < 0.1	η < 0.1	x: 0 m η = 6.8	η < 0.1	η = 0.1	η < 0.1	x: 0.352 m η = 3.2	CUMPLE h = 6.8

AJUNTAMENT D'OLERDOLA
Aquest document és una còpia simple del document electrònic original.

Codi Segur de Verificació:
62ffb294-fe9f-412a-95ff-e789b2359074
Origen: Administració
Identificador document: ES_L01081000_2026_28828185
Data d'impressió: 03/11/2026 13:44:57
Pàgina 199 de 247

SIGNATURES
1.- ESTEVE AYMERICH (R: J62755897), 27/07/2026 11:04

Listados

Cobriment de pista a Sant Pere Molanta (Olèrdola)

Fecha: 10/03/26

Barras	COMPROBACIONES (CTE DB SE-A)															Estado
	$\bar{\lambda}$	λ_w	N_t	N_c	M_t	M_z	V_z	V_y	M_tV_z	M_zV_y	NM_tM_z	$NM_tM_zV_yV_z$	M_t	M_tV_z	M_tV_y	
N700/N710	$\bar{\lambda}$ < 2.0 Cumple	$\lambda_w \leq \lambda_{w,max}$ Cumple	η = 0.2	η < 0.1	x: 0.352 m η < 0.1	x: 0 m η = 6.6	η < 0.1	x: 0.352 m η = 3.1	η < 0.1	η < 0.1	x: 0 m η = 6.7	η < 0.1	η < 0.1	η < 0.1	x: 0.352 m η = 3.1	CUMPLE h = 6.7
N701/N711	$\bar{\lambda}$ < 2.0 Cumple	N.P.[6]	η = 0.2	η < 0.1	M_{tz} = 0.00 N.P.[6]	x: 0 m η = 6.5	η < 0.1	x: 0.352 m η = 3.1	N.P.[6]	η < 0.1	x: 0 m η = 6.6	η < 0.1	M_{tz} = 0.00 N.P.[1]	N.P.[2]	N.P.[2]	CUMPLE h = 6.6
N702/N712	$\bar{\lambda}$ < 2.0 Cumple	x: 0.176 m $\lambda_w \leq \lambda_{w,max}$ Cumple	η = 0.2	η < 0.1	x: 0.352 m η < 0.1	x: 0 m η = 6.3	η < 0.1	x: 0.352 m η = 3.0	x: 0.176 m η < 0.1	η < 0.1	x: 0 m η = 6.5	η < 0.1	η = 0.1	η < 0.1	x: 0.352 m η = 3.0	CUMPLE h = 6.5
N703/N713	$\bar{\lambda}$ < 2.0 Cumple	x: 0.352 m $\lambda_w \leq \lambda_{w,max}$ Cumple	η = 0.2	η < 0.1	x: 0.352 m η < 0.1	x: 0 m η = 6.0	η < 0.1	x: 0.352 m η = 2.9	x: 0.352 m η < 0.1	η < 0.1	x: 0 m η = 6.2	η < 0.1	η < 0.1	η < 0.1	x: 0.352 m η = 2.3	CUMPLE h = 6.2
N724/N734	$\bar{\lambda}$ < 2.0 Cumple	x: 0.167 m $\lambda_w \leq \lambda_{w,max}$ Cumple	η = 2.1	η = 0.6	x: 0.335 m η < 0.1	x: 0 m η = 12.8	η < 0.1	x: 0.335 m η = 7.7	x: 0.167 m η < 0.1	η < 0.1	x: 0 m η = 14.8	η < 0.1	η < 0.1	η < 0.1	x: 0.335 m η = 6.0	CUMPLE h = 14.8
N715/N725	$\bar{\lambda}$ < 2.0 Cumple	x: 0.167 m $\lambda_w \leq \lambda_{w,max}$ Cumple	η = 2.0	η = 0.6	x: 0.335 m η < 0.1	x: 0 m η = 12.3	η < 0.1	x: 0.335 m η = 7.5	x: 0.167 m η < 0.1	η < 0.1	x: 0 m η = 14.3	η < 0.1	η = 0.1	η < 0.1	x: 0.335 m η = 7.5	CUMPLE h = 14.3
N716/N726	$\bar{\lambda}$ < 2.0 Cumple	x: 0 m $\lambda_w \leq \lambda_{w,max}$ Cumple	η = 2.1	η = 0.6	x: 0.335 m η < 0.1	x: 0 m η = 12.8	η < 0.1	x: 0.335 m η = 7.8	x: 0 m η < 0.1	η < 0.1	x: 0 m η = 14.9	η < 0.1	η < 0.1	η < 0.1	x: 0.335 m η = 7.8	CUMPLE h = 14.9
N717/N727	$\bar{\lambda}$ < 2.0 Cumple	$\lambda_w \leq \lambda_{w,max}$ Cumple	η = 2.1	η = 0.6	x: 0.335 m η < 0.1	x: 0 m η = 12.5	η < 0.1	x: 0.335 m η = 7.6	η < 0.1	η < 0.1	x: 0 m η = 14.6	η < 0.1	η < 0.1	η < 0.1	x: 0.335 m η = 7.6	CUMPLE h = 14.6
N718/N728	$\bar{\lambda}$ < 2.0 Cumple	$\lambda_w \leq \lambda_{w,max}$ Cumple	η = 2.1	η = 0.6	x: 0.335 m η < 0.1	x: 0 m η = 12.4	η < 0.1	x: 0.335 m η = 7.5	η < 0.1	η < 0.1	x: 0 m η = 14.4	η < 0.1	η < 0.1	η < 0.1	x: 0.335 m η = 7.5	CUMPLE h = 14.4
N719/N729	$\bar{\lambda}$ < 2.0 Cumple	x: 0 m $\lambda_w \leq \lambda_{w,max}$ Cumple	η = 2.0	η = 0.6	x: 0.335 m η < 0.1	x: 0 m η = 12.2	η < 0.1	x: 0.335 m η = 7.4	x: 0 m η < 0.1	η < 0.1	x: 0 m η = 14.3	η < 0.1	η < 0.1	η < 0.1	x: 0.335 m η = 4.3	CUMPLE h = 14.3
N720/N730	$\bar{\lambda}$ < 2.0 Cumple	x: 0.335 m $\lambda_w \leq \lambda_{w,max}$ Cumple	η = 2.0	η = 0.6	x: 0.335 m η < 0.1	x: 0 m η = 12.1	η < 0.1	x: 0.335 m η = 7.4	x: 0.335 m η < 0.1	η < 0.1	x: 0 m η = 14.1	η < 0.1	M_{tz} = 0.00 N.P.[1]	N.P.[2]	N.P.[2]	CUMPLE h = 14.1
N721/N731	$\bar{\lambda}$ < 2.0 Cumple	N.P.[6]	η = 2.0	η = 0.5	M_{tz} = 0.00 N.P.[6]	x: 0 m η = 11.9	η < 0.1	x: 0.335 m η = 7.2	N.P.[6]	η < 0.1	x: 0 m η = 13.8	η < 0.1	M_{tz} = 0.00 N.P.[1]	N.P.[2]	N.P.[2]	CUMPLE h = 13.8
N722/N732	$\bar{\lambda}$ < 2.0 Cumple	N.P.[6]	η = 1.9	η = 0.5	M_{tz} = 0.00 N.P.[6]	x: 0 m η = 11.4	η < 0.1	x: 0.335 m η = 7.0	N.P.[6]	η < 0.1	x: 0 m η = 13.4	η < 0.1	η < 0.1	η < 0.1	x: 0.335 m η = 5.9	CUMPLE h = 13.4
N723/N733	$\bar{\lambda}$ < 2.0 Cumple	N.P.[6]	η = 1.8	η = 0.4	M_{tz} = 0.00 N.P.[6]	x: 0 m η = 10.9	η < 0.1	x: 0.335 m η = 6.6	N.P.[6]	η < 0.1	x: 0 m η = 12.7	η < 0.1	M_{tz} = 0.00 N.P.[1]	N.P.[2]	N.P.[2]	CUMPLE h = 12.7
N813/N787	$\bar{\lambda}$ < 2.0 Cumple	$\lambda_w \leq \lambda_{w,max}$ Cumple	x: 1.839 m η = 6.9	x: 0 m η = 2.6	x: 1.839 m η = 0.6	x: 0 m η = 36.0	η = 0.2	x: 1.839 m η = 3.6	η < 0.1	η < 0.1	x: 0 m η = 43.0	η < 0.1	η = 1.0	η = 0.2	x: 1.839 m η = 3.6	CUMPLE h = 43.0
N787/N392	$\bar{\lambda}$ < 2.0 Cumple	$\lambda_w \leq \lambda_{w,max}$ Cumple	x: 0.15 m η = 6.9	x: 0 m η = 2.5	x: 0 m η = 0.7	x: 0.15 m η = 28.5	η = 1.1	x: 0.15 m η = 3.8	η < 0.1	η < 0.1	x: 0.15 m η = 35.8	η < 0.1	η = 7.4	η = 1.1	x: 0.15 m η = 3.9	CUMPLE h = 35.8
N388/N664	$\bar{\lambda}$ < 2.0 Cumple	$\lambda_w \leq \lambda_{w,max}$ Cumple	x: 0.387 m η = 0.2	x: 0 m η < 0.1	x: 0.387 m η = 0.2	x: 0 m η = 35.5	η = 0.3	x: 0 m η = 15.6	η < 0.1	η < 0.1	x: 0 m η = 35.5	η < 0.1	η = 0.2	η = 0.3	x: 0 m η = 15.6	CUMPLE h = 35.5
N804/N778	$\bar{\lambda}$ < 2.0 Cumple	$\lambda_w \leq \lambda_{w,max}$ Cumple	x: 1.839 m η = 6.3	x: 0 m η = 2.4	x: 1.839 m η = 0.2	x: 0 m η = 33.7	η = 0.1	x: 1.839 m η = 3.3	η < 0.1	η < 0.1	x: 0 m η = 40.1	η < 0.1	η = 0.4	η = 0.1	x: 1.839 m η = 3.3	CUMPLE h = 40.1
N778/N5	$\bar{\lambda}$ < 2.0 Cumple	$\lambda_w \leq \lambda_{w,max}$ Cumple	x: 0.15 m η = 6.3	x: 0 m η = 2.2	x: 0.15 m η = 0.2	x: 0.15 m η = 26.3	η = 0.9	x: 0.15 m η = 3.6	η < 0.1	η < 0.1	x: 0.15 m η = 32.8	η < 0.1	η = 8.1	η = 0.9	x: 0.15 m η = 3.7	CUMPLE h = 32.8
N1/N655	$\bar{\lambda}$ < 2.0 Cumple	$\lambda_w \leq \lambda_{w,max}$ Cumple	x: 0.387 m η = 0.1	x: 0 m η = 0.1	x: 0.387 m η = 0.3	x: 0 m η = 32.9	η < 0.1	x: 0 m η = 14.2	η < 0.1	η < 0.1	x: 0 m η = 33.2	η < 0.1	η = 0.4	η < 0.1	x: 0 m η = 14.2	CUMPLE h = 33.2
N805/N779	$\bar{\lambda}$ < 2.0 Cumple	$\lambda_w \leq \lambda_{w,max}$ Cumple	x: 1.839 m η = 6.4	x: 0 m η = 2.5	x: 1.839 m η = 0.5	x: 0 m η = 35.6	η = 0.2	x: 1.839 m η = 3.5	η < 0.1	η < 0.1	x: 0 m η = 42.4	η < 0.1	η = 0.5	η = 0.2	x: 1.839 m η = 3.5	CUMPLE h = 42.4
N779/N48	$\bar{\lambda}$ < 2.0 Cumple	$\lambda_w \leq \lambda_{w,max}$ Cumple	x: 0.15 m η = 6.4	x: 0 m η = 2.3	x: 0 m η = 0.5	x: 0.15 m η = 27.5	η = 0.9	x: 0.15 m η = 3.8	η < 0.1	η < 0.1	x: 0.15 m η = 34.0	η < 0.1	η = 3.9	η = 0.9	x: 0.15 m η = 3.9	CUMPLE h = 34.0
N44/N656	$\bar{\lambda}$ < 2.0 Cumple	$\lambda_w \leq \lambda_{w,max}$ Cumple	x: 0.387 m η = 0.1	x: 0 m η < 0.1	x: 0 m η = 0.1	x: 0 m η = 35.0	η = 0.3	x: 0 m η = 15.1	η < 0.1	η < 0.1	x: 0 m η = 35.1	η < 0.1	η = 0.3	η = 0.3	x: 0 m η = 15.1	CUMPLE h = 35.1
N806/N780	$\bar{\lambda}$ < 2.0 Cumple	$\lambda_w \leq \lambda_{w,max}$ Cumple	x: 1.839 m η = 6.4	x: 0 m η = 2.4	x: 0 m η = 0.1	x: 0 m η = 34.4	η < 0.1	x: 1.839 m η = 3.4	η < 0.1	η < 0.1	x: 0 m η = 41.0	η < 0.1	η < 0.1	η < 0.1	x: 1.839 m η = 3.4	CUMPLE h = 41.0
N780/N91	$\bar{\lambda}$ < 2.0 Cumple	$\lambda_w \leq \lambda_{w,max}$ Cumple	x: 0.15 m η = 6.4	x: 0 m η = 2.3	x: 0 m η < 0.1	x: 0.15 m η = 26.9	η < 0.1	x: 0.15 m η = 3.8	η < 0.1	η < 0.1	x: 0.15 m η = 33.4	η < 0.1	η = 0.5	η < 0.1	x: 0.15 m η = 3.8	CUMPLE h = 33.4
N87/N657	$\bar{\lambda}$ < 2.0 Cumple	$\lambda_w \leq \lambda_{w,max}$ Cumple	x: 0.387 m η = 0.1	x: 0 m η = 0.1	x: 0 m η = 0.1	x: 0 m η = 33.9	η = 0.1	x: 0 m η = 14.7	η < 0.1	η < 0.1	x: 0 m η = 34.0	η < 0.1	η = 0.3	η = 0.1	x: 0 m η = 14.7	CUMPLE h = 34.0
N807/N781	$\bar{\lambda}$ < 2.0 Cumple	$\lambda_w \leq \lambda_{w,max}$ Cumple	x: 1.839 m η = 6.3	x: 0 m η = 2.5	x: 0 m η = 0.1	x: 0 m η = 34.0	η < 0.1	x: 1.839 m η = 3.4	η < 0.1	η < 0.1	x: 0 m η = 40.4	η < 0.1	M_{tz} = 0.00 N.P.[1]	N.P.[2]	N.P.[2]	CUMPLE h = 40.4
N781/N134	$\bar{\lambda}$ < 2.0 Cumple	$\lambda_w \leq \lambda_{w,max}$ Cumple	x: 0.15 m η = 6.4	x: 0 m η = 2.4	x: 0 m η < 0.1	x: 0.15 m η = 26.6	η < 0.1	x: 0.15 m η = 3.7	η < 0.1	η < 0.1	x: 0.15 m η = 32.9	η < 0.1	η = 0.7	η < 0.1	x: 0.15 m η = 3.7	CUMPLE h = 32.9
N130/N658	$\bar{\lambda}$ < 2.0 Cumple	$\lambda_w \leq \lambda_{w,max}$ Cumple	x: 0.387 m η = 0.1	x: 0 m η = 0.1	x: 0 m η = 0.1	x: 0 m η = 33.5	η < 0.1	x: 0 m η = 14.5	η < 0.1	η < 0.1	x: 0 m η = 33.5	η < 0.1	η = 0.2	η < 0.1	x: 0 m η = 14.5	CUMPLE h = 33.5
N808/N782	$\bar{\lambda}$ < 2.0 Cumple	$\lambda_w \leq \lambda_{w,max}$ Cumple	x: 1.839 m η = 6.3	x: 0 m η = 2.5	x: 1.839 m η = 0.1	x: 0 m η = 33.6	η < 0.1	x: 1.839 m η = 3.3	η < 0.1	η < 0.1	x: 0 m η = 39.9	η < 0.1	M_{tz} = 0.00 N.P.[1]	N.P.[2]	N.P.[2]	CUMPLE h = 39.9
N782/N177	$\bar{\lambda}$ < 2.0 Cumple	$\lambda_w \leq \lambda_{w,max}$ Cumple	x: 0.15 m η = 6.3	x: 0 m η = 2.4	x: 0.15 m η < 0.1	x: 0.15 m η = 26.2	η < 0.1	x: 0.15 m η = 3.7	η < 0.1	η < 0.1	x: 0.15 m η = 32.5	η < 0.1	η = 0.6	η < 0.1	x: 0.15 m η = 3.7	CUMPLE h = 32.5
N173/N659	$\bar{\lambda}$ < 2.0 Cumple	$\lambda_w \leq \lambda_{w,max}$ Cumple	x: 0.387 m η = 0.1	x: 0 m η = 0.1	x: 0 m η = 0.1	x: 0 m η = 33.1	η < 0.1	x: 0 m η = 14.3	η < 0.1	η < 0.1	x: 0 m η = 33.2	η < 0.1	η = 0.2	η < 0.1	x: 0 m η = 14.3	CUMPLE h = 33.2
N809/N783	$\bar{\lambda}$ < 2.0 Cumple	$\lambda_w \leq \lambda_{w,max}$ Cumple	x: 1.839 m η = 6.2	x: 0 m η = 2.5	x: 1.839 m η = 0.1	x: 0 m η = 33.3	η < 0.1	x: 1.839 m η = 3.3	η < 0.1	η < 0.1	x: 0 m η = 39.5	η < 0.1	M_{tz} = 0.00 N.P.[1]	N.P.[2]	N.P.[2]	CUMPLE h = 39.5
N783/N220	$\bar{\lambda}$ < 2.0 Cumple	$\lambda_w \leq \lambda_{w,max}$ Cumple	x: 0.15 m η = 6.2	x: 0 m η = 2.3	x: 0.15 m η < 0.1	x: 0.15 m η = 26.0	η < 0.1	x: 0.15 m η = 3.6	η < 0.1	η < 0.1	x: 0.15 m η = 32.2	η < 0.1	η = 0.6	η < 0.1	x: 0.15 m η = 3.6	CUMPLE h = 32.2
N216/N660	$\bar{\lambda}$ < 2.0 Cumple	$\lambda_w \leq \lambda_{w,max}$ Cumple	x: 0.387 m η = 0.1	x: 0 m η = 0.1	x: 0 m η < 0.1	x: 0 m η = 32.7	η < 0.1	x: 0 m η = 14.1	η < 0.1	η < 0.1	x: 0 m η = 32.8	η < 0.1	η = 0.1	η < 0.1	x: 0 m η = 14.1	CUMPLE h = 32.8
N810/N784	$\bar{\lambda}$ < 2.0 Cumple	$\lambda_w \leq \lambda_{w,max}$ Cumple	x: 1.839 m η = 6.0	x: 0 m η = 2.3	x: 1.839 m η = 0.1	x: 0 m η = 32.5	η = 0.1	x: 1.839 m η = 3.2	η < 0.1	η < 0.1	x: 0 m η = 38.6	η < 0.1	M_{tz} = 0.00 N.P.[1]	N.P.[2]	N.P.[2]	CUMPLE h = 38.6
N784/N263	$\bar{\lambda}$ < 2.0 Cumple	$\lambda_w \leq \lambda_{w,max}$ Cumple	x: 0.15 m η = 6.1	x: 0 m η = 2.2	x: 0.15 m η < 0.1	x: 0.15 m η = 25.4	η < 0.1	x: 0.15 m η = 3.6	η < 0.1	η < 0.1	x: 0.15 m η = 31.4	η < 0.1	η = 0.4	η < 0.1	x: 0.15 m η = 3.6	CUMPLE h = 31.4
N259/N661	$\bar{\lambda}$ < 2.0 Cumple	$\lambda_w \leq \lambda_{w,max}$ Cumple	x: 0.387 m η = 0.1	x: 0 m η = 0.1	x: 0 m η = 0.1	x: 0 m η = 31.9	η < 0.1	x: 0 m η = 13.8	η < 0.1	η < 0.1	x: 0 m η = 32.1	η < 0.1	η < 0.1	η < 0.1	x: 0 m η = 13.8	CUMPLE h = 32.1
N811/N785	$\bar{\lambda}$ < 2.0 Cumple	$\lambda_w \leq \lambda_{w,max}$ Cumple	x: 1.839 m η = 5.8	x: 0 m η = 2.0	x: 1.839 m η = 0.2	x: 0 m η = 31.2	η = 0.1	x: 1.839 m η = 3.1	η < 0.1	η < 0.1	x: 0 m η = 37.0	η < 0.1	η = 0.1	η = 0.1	x: 1.839 m η = 3.1	CUMPLE h = 37.0
N785/N306	$\bar{\lambda}$ < 2.0 Cumple	$\lambda_w \leq \lambda_{w,max}$ Cumple	x: 0.15 m η = 5.8	x: 0 m η = 1.9	x: 0 m η = 0.1	x: 0.15 m η = 24.3	η = 0.1	x: 0.15 m η = 3.4	η < 0.1	η < 0.1	x: 0.15 m η = 30.1	η < 0.1	η = 0.5	η = 0.1	x: 0.15 m η = 3.4	CUMPLE h = 30.1
N302/N662	$\bar{\lambda}$ < 2.0 Cumple	$\lambda_w \leq \lambda_{w,max}$ Cumple	x: 0.387 m η = 0.1	x: 0 m η = 0.1	x: 0.387 m η = 0.1	x: 0 m η = 30.5	η < 0.1	x: 0 m η = 13.1	η < 0.1	η < 0.1	x: 0 m η = 30.7	η < 0.1	η = 0.1	η < 0.1	x: 0 m η = 13.1	CUMPLE h = 30.7
N812/N786	$\bar{\lambda}$ < 2.0 Cumple	$\lambda_w \leq \lambda_{w,max}$ Cumple	x: 1.839 m η = 5.3	x: 0 m η = 1.8	x: 1.839 m η = 0.5	x: 0 m η = 29.4	η = 0.2	x: 1.839 m η = 2.9	η < 0.1	η < 0.1	x: 0 m η = 34.8	η < 0.1	η = 0.6	η = 0.2	x: 1.839 m η = 2.9	CUMPLE h = 34.8
N786/N349	$\bar{\lambda}$ < 2.0 Cumple	$\lambda_w \leq \lambda_{w,max}$ Cumple	x: 0.15 m η = 5.4	x: 0 m η = 1.7	x: 0 m η = 0.5	x: 0.15 m η = 22.3	η = 1.0	x: 0.15 m η = 3.2	η < 0.1	η < 0.1	x: 0.15 m η = 27.9	η < 0.1	η = 3.8	η = 1.0	x: 0.15 m η = 3.2	CUMPLE h = 27.9
N345/N663	$\bar{\lambda}$ < 2.0 Cumple	$\lambda_w \leq \lambda_{w,max}$ Cumple	x: 0.387 m η = 0.1	x: 0 m η = 0.1	x: 0.387 m η = 0.1	x: 0 m η = 28.8	η = 0.1	x: 0 m η = 12.3	η < 0.1	η < 0.1	x: 0 m η = 29.0	η < 0.1	η = 0.1	η = 0.1	x: 0 m η = 12.3	CUMPLE h = 29.0
N430/N735	N.P.[5]	x: 0 m $\lambda_w \leq \lambda_{w,max}$ Cumple	N_{tz} = 0.00 N.P.[4]	N_{tz} = 0.00 N.P.[3]	x: 0 m η = 1.0	x: 0 m η = 0.1	x: 0 m η = 0.4	x: 0 m η < 0.1	x: 0 m η < 0.1	x: 0 m η < 0.1	x: 0 m η = 0.7	x: 0 m η < 0.1	M_{tz} = 0.00 N.P.[1]	N.P.[2]	N.P.[2]	CUMPLE h = 1.0
N516/N736	N.P.[5]	x: 0 m $\lambda_w \leq \lambda_{w,max}$ Cumple	N_{tz} = 0.00 N.P.[4]	N_{tz} = 0.00 N.P.[3]	x: 0 m η = 1.9	x: 0 m η = 0.1	x: 0 m η = 0.8	x: 0 m η = 0.1	x: 0 m η < 0.1	x: 0 m η < 0.1	x: 0 m η = 1.6	x: 0 m η < 0.1	M_{tz} = 0.00 N.P.[1]	N.P.[2]	N.P.[2]	CUMPLE h = 1.9
N526/N737	N.P.[5]	x: 0 m $\lambda_w \leq \lambda_{w,max}$ Cumple	N_{tz} = 0.00 N.P.[4]	N_{tz} = 0.00 N.P.[3]	x: 0 m η = 1.9	x: 0 m η = 0.1	x: 0 m η = 0.8	x: 0 m η = 0.1	x: 0 m η < 0.1	x: 0 m η < 0.1	x: 0 m η = 1.6	x: 0 m η < 0.1	M_{tz} = 0.00 N.P.[1]	N.P.[2]	N.P.[2]	CUMPLE h = 1.9
N536/N738	N.P.[5]	x: 0 m $\lambda_w \leq \lambda_{w,max}$ Cumple	N_{tz} = 0.00 N.P.[4]	N_{tz} = 0.00 N.P.[3]	x: 0 m η = 1.9	x: 0 m η = 0.1	x: 0 m η = 0.8	x: 0 m η = 0.1	x: 0 m η < 0.1	x: 0 m η < 0.1	x: 0 m η = 1.6	x: 0 m η < 0.1	M_{tz} = 0.00 N.P.[1]	N.P.[2]	N.P.[2]	CUMPLE h = 1.9
N546/N739	N.P.[5]	x: 0 m $\lambda_w \leq \lambda_{w,max}$ Cumple	N_{tz} = 0.00 N.P.[4]	N_{tz} = 0.00 N.P.[3]	x: 0 m η = 1.9	x: 0 m η = 0.1	x: 0 m η = 0.8	x: 0 m η = 0.1	x: 0 m η < 0.1	x: 0 m η < 0.1	x: 0 m η = 1.6	x: 0 m η < 0.1	M_{tz} = 0.00 N.P.[1]	N.P.[2]	N.P.[2]	CUMPLE h = 1.9

AJUNTAMENT D'OLERDOLA
Aquest document és una còpia simple del document electrònic original.

Codi Segur de Verificació:
62ffb294-fe9f-412a-95ff-e789b2359074
Origen: Administració
Identificador document: ES_L01081000_2026_28828185
Data d'impressió: 03/11/2026 13:44:57
Pàgina 200 de 247

SIGNATURES
1.- ESTEVE AYMERICH (R: J62755897), 27/07/2026 11:04



Listados

Cobriment de pista a Sant Pere Molanta (Olèrdola)

Fecha: 10/03/26

Barras	COMPROBACIONES (CTE DB SE-A)															Estado
	$\bar{\lambda}$	λ_w	N_t	N_c	M_y	M_z	V_z	V_y	M_yV_z	M_zV_y	NM_yM_z	$NM_yM_zV_yV_z$	M_t	M_tV_z	M_tV_y	
N556/N740	N.P.[5]	x: 0 m $\lambda_w \leq \lambda_{w,máx}$ Cumple	$N_{t,d}$ = 0.00 N.P.[4]	$N_{c,d}$ = 0.00 N.P.[3]	x: 0 m η = 1.9	x: 0 m η = 0.1	x: 0 m η = 0.8	x: 0 m η = 0.1	x: 0 m η < 0.1	x: 0 m η < 0.1	x: 0 m η = 1.6	x: 0 m η < 0.1	$M_{t,d}$ = 0.00 N.P.[1]	N.P.[2]	N.P.[2]	CUMPLE h = 1.9
N566/N741	N.P.[5]	x: 0 m $\lambda_w \leq \lambda_{w,máx}$ Cumple	$N_{t,d}$ = 0.00 N.P.[4]	$N_{c,d}$ = 0.00 N.P.[3]	x: 0 m η = 1.9	x: 0 m η = 0.1	x: 0 m η = 0.8	x: 0 m η = 0.1	x: 0 m η < 0.1	x: 0 m η < 0.1	x: 0 m η = 1.6	x: 0 m η < 0.1	$M_{t,d}$ = 0.00 N.P.[1]	N.P.[2]	N.P.[2]	CUMPLE h = 1.9
N576/N742	N.P.[5]	x: 0 m $\lambda_w \leq \lambda_{w,máx}$ Cumple	$N_{t,d}$ = 0.00 N.P.[4]	$N_{c,d}$ = 0.00 N.P.[3]	x: 0 m η = 1.9	x: 0 m η = 0.1	x: 0 m η = 0.8	x: 0 m η = 0.1	x: 0 m η < 0.1	x: 0 m η < 0.1	x: 0 m η = 1.6	x: 0 m η < 0.1	$M_{t,d}$ = 0.00 N.P.[1]	N.P.[2]	N.P.[2]	CUMPLE h = 1.9
N586/N743	N.P.[5]	x: 0 m $\lambda_w \leq \lambda_{w,máx}$ Cumple	$N_{t,d}$ = 0.00 N.P.[4]	$N_{c,d}$ = 0.00 N.P.[3]	x: 0 m η = 1.9	x: 0 m η = 0.1	x: 0 m η = 0.8	x: 0 m η = 0.1	x: 0 m η < 0.1	x: 0 m η < 0.1	x: 0 m η = 1.6	x: 0 m η < 0.1	$M_{t,d}$ = 0.00 N.P.[1]	N.P.[2]	N.P.[2]	CUMPLE h = 1.9
N596/N744	N.P.[5]	x: 0 m $\lambda_w \leq \lambda_{w,máx}$ Cumple	$N_{t,d}$ = 0.00 N.P.[4]	$N_{c,d}$ = 0.00 N.P.[3]	x: 0 m η = 1.9	x: 0 m η = 0.1	x: 0 m η = 0.8	x: 0 m η = 0.1	x: 0 m η < 0.1	x: 0 m η < 0.1	x: 0 m η = 1.6	x: 0 m η < 0.1	$M_{t,d}$ = 0.00 N.P.[1]	N.P.[2]	N.P.[2]	CUMPLE h = 1.9
N606/N745	N.P.[5]	x: 0 m $\lambda_w \leq \lambda_{w,máx}$ Cumple	$N_{t,d}$ = 0.00 N.P.[4]	$N_{c,d}$ = 0.00 N.P.[3]	x: 0 m η = 1.9	x: 0 m η = 0.1	x: 0 m η = 0.8	x: 0 m η = 0.1	x: 0 m η < 0.1	x: 0 m η < 0.1	x: 0 m η = 1.6	x: 0 m η < 0.1	$M_{t,d}$ = 0.00 N.P.[1]	N.P.[2]	N.P.[2]	CUMPLE h = 1.9
N415/N746	N.P.[5]	x: 0 m $\lambda_w \leq \lambda_{w,máx}$ Cumple	$N_{t,d}$ = 0.00 N.P.[4]	$N_{c,d}$ = 0.00 N.P.[3]	x: 0 m η = 1.0	x: 0 m η = 0.1	x: 0 m η = 0.4	x: 0 m η < 0.1	x: 0 m η < 0.1	x: 0 m η < 0.1	x: 0 m η = 0.7	x: 0 m η < 0.1	$M_{t,d}$ = 0.00 N.P.[1]	N.P.[2]	N.P.[2]	CUMPLE h = 1.0
N664/N813	$\bar{\lambda}$ < 2.0 Cumple	$\lambda_w \leq \lambda_{w,máx}$ Cumple	x: 0.6 m η = 6.8	x: 0 m η = 2.5	x: 0.6 m η = 0.2	x: 0 m η = 53.3	η = 0.2	x: 0.6 m η = 3.2	η < 0.1	η < 0.1	x: 0 m η = 60.2	η < 0.1	η = 4.4	η = 0.2	x: 0.6 m η = 3.3	CUMPLE h = 60.2
N655/N804	$\bar{\lambda}$ < 2.0 Cumple	$\lambda_w \leq \lambda_{w,máx}$ Cumple	x: 0.6 m η = 6.3	x: 0 m η = 2.2	x: 0 m η = 0.2	x: 0 m η = 49.0	η = 0.2	x: 0.6 m η = 2.8	η < 0.1	η < 0.1	x: 0 m η = 55.5	η < 0.1	η = 0.8	η = 0.2	x: 0.6 m η = 2.8	CUMPLE h = 55.5
N656/N805	$\bar{\lambda}$ < 2.0 Cumple	$\lambda_w \leq \lambda_{w,máx}$ Cumple	x: 0.6 m η = 6.5	x: 0 m η = 2.4	x: 0.6 m η = 0.4	x: 0 m η = 51.2	η = 0.3	x: 0.6 m η = 2.9	η < 0.1	η < 0.1	x: 0 m η = 57.8	η < 0.1	η = 0.8	η = 0.3	x: 0.6 m η = 2.9	CUMPLE h = 57.8
N657/N806	$\bar{\lambda}$ < 2.0 Cumple	$\lambda_w \leq \lambda_{w,máx}$ Cumple	x: 0.6 m η = 6.4	x: 0 m η = 2.3	x: 0.6 m η = 0.2	x: 0 m η = 50.1	η = 0.1	x: 0.6 m η = 2.9	η < 0.1	η < 0.1	x: 0 m η = 56.7	η < 0.1	η = 0.9	η = 0.1	x: 0.6 m η = 2.9	CUMPLE h = 56.7
N658/N807	$\bar{\lambda}$ < 2.0 Cumple	$\lambda_w \leq \lambda_{w,máx}$ Cumple	x: 0.6 m η = 6.3	x: 0 m η = 2.4	x: 0.6 m η = 0.1	x: 0 m η = 49.5	η < 0.1	x: 0.6 m η = 2.8	η < 0.1	η < 0.1	x: 0 m η = 55.9	η < 0.1	η = 0.8	η < 0.1	x: 0.6 m η = 2.8	CUMPLE h = 55.9
N659/N808	$\bar{\lambda}$ < 2.0 Cumple	$\lambda_w \leq \lambda_{w,máx}$ Cumple	x: 0.6 m η = 6.2	x: 0 m η = 2.4	x: 0.6 m η = 0.1	x: 0 m η = 48.9	η < 0.1	x: 0.6 m η = 2.8	η < 0.1	η < 0.1	x: 0 m η = 55.2	η < 0.1	η = 0.8	η < 0.1	x: 0.6 m η = 2.8	CUMPLE h = 55.2
N660/N809	$\bar{\lambda}$ < 2.0 Cumple	$\lambda_w \leq \lambda_{w,máx}$ Cumple	x: 0.6 m η = 6.2	x: 0 m η = 2.4	x: 0.6 m η = 0.1	x: 0 m η = 48.3	η < 0.1	x: 0.6 m η = 2.8	η < 0.1	η < 0.1	x: 0 m η = 54.5	η < 0.1	η = 0.8	η < 0.1	x: 0.6 m η = 2.8	CUMPLE h = 54.5
N661/N810	$\bar{\lambda}$ < 2.0 Cumple	$\lambda_w \leq \lambda_{w,máx}$ Cumple	x: 0.6 m η = 6.0	x: 0 m η = 2.2	x: 0.6 m η = 0.1	x: 0 m η = 47.2	η = 0.1	x: 0.6 m η = 2.7	η < 0.1	η < 0.1	x: 0 m η = 53.2	η < 0.1	η = 0.7	η = 0.1	x: 0.6 m η = 2.7	CUMPLE h = 53.2
N662/N811	$\bar{\lambda}$ < 2.0 Cumple	$\lambda_w \leq \lambda_{w,máx}$ Cumple	x: 0.6 m η = 5.8	x: 0 m η = 1.9	x: 0 m η = 0.1	x: 0 m η = 45.2	η = 0.1	x: 0.6 m η = 2.6	η < 0.1	η < 0.1	x: 0 m η = 50.9	η < 0.1	η = 0.4	η = 0.1	x: 0.6 m η = 2.6	CUMPLE h = 50.9
N663/N812	$\bar{\lambda}$ < 2.0 Cumple	$\lambda_w \leq \lambda_{w,máx}$ Cumple	x: 0.6 m η = 5.3	x: 0 m η = 1.7	x: 0.6 m η = 0.1	x: 0 m η = 42.0	η = 0.1	x: 0.6 m η = 2.3	η < 0.1	η < 0.1	x: 0 m η = 47.3	η < 0.1	η = 1.8	η = 0.1	x: 0.6 m η = 2.3	CUMPLE h = 47.3

Notación:

- *$\bar{\lambda}$: Limitación de esbeltez*
- *N_t: Resistencia a tracción*
- *N_c: Resistencia a compresión*
- *M_y: Resistencia a flexión eje Y*
- *M_z: Resistencia a flexión eje Z*
- *V_z: Resistencia a corte Z*
- *V_y: Resistencia a corte Y*
- *M_yV_z: Resistencia a momento flector Y y fuerza cortante Z combinados*
- *M_zV_y: Resistencia a momento flector Z y fuerza cortante Y combinados*
- *NM_yM_z: Resistencia a flexión y axil combinados*
- *$NM_yM_zV_yV_z$: Resistencia a flexión, axil y cortante combinados*
- *M_t: Resistencia a torsión*
- *M_tV_z: Resistencia a cortante Z y momento torsor combinados*
- *M_tV_y: Resistencia a cortante Y y momento torsor combinados*
- *x: Distancia al origen de la barra*
- *h: Coeficiente de aprovechamiento (%)*
- *N.P.: No procede*
- *λ_w: Abolladura del alma inducida por el ala comprimida*

Comprobaciones que no proceden (N.P.):

- *[1] La comprobación no procede, ya que no hay momento torsor.*
- *[2] No hay interacción entre momento torsor y esfuerzo cortante para ninguna combinación. Por lo tanto, la comprobación no procede.*
- *[3] La comprobación no procede, ya que no hay axil de compresión.*
- *[4] La comprobación no procede, ya que no hay axil de tracción.*
- *[5] La comprobación no procede, ya que no hay axil de compresión ni de tracción.*
- *[6] La comprobación no procede, ya que no hay momento flector.*
- *[7] La comprobación no procede, ya que no hay esfuerzo cortante.*
- *[8] No hay interacción entre momento flector y esfuerzo cortante para ninguna combinación. Por lo tanto, la comprobación no procede.*
- *[9] La comprobación no procede, ya que no hay momento flector que comprima un ala, de forma que se pueda desarrollar el fenómeno de abolladura del alma inducida por el ala comprimida.*

AJUNTAMENT D'OLERDOLA
Aquest document és una còpia simple del document electrònic original.

DOCUMENT
DOCUMENT REGISTRE UNIFICAT ENTRADA
ÒRGAN
SERVEIS TECNICS
REGISTRE D'ENTRADA
E2026005054
Codi Segur de Verificació:
62ffb294-fe9f-412a-95ff-e789b2359074
Origen: Administració
Identificador document: ES_L01081000_2026_28828185
Data d'impressió: 03/11/2026 13:44:57
Pàgina 201 de 247
SIGNATURES
1.- ESTEVE AYMERICH (R: J62755897), 27/07/2026 11:04

MT3. JUSTIFICACIÓ NORMATIVA D'OBLIGAT COMPLIMENT

AJUNTAMENT D'OLERDOLA
Aquest document és una còpia simple del document electrònic original.

DOCUMENT
DOCUMENT REGISTRE UNIFICAT ENTRADA
ÒRGAN
SERVEIS TECNICS
REGISTRE D'ENTRADA
E2026005054
Codi Segur de Verificació:
62ffb294-fe9f-412a-95ff-e789b2359074
Origen: Administració
Identificador document: ES_L01081000_2026_28828185
Data d'impressió: 03/11/2026 13:44:57
Pàgina 202 de 247
SIGNATURES
1.- ESTEVE AYMERICH (R: J62755897), 27/07/2026 11:04

Compliment del Codi Tècnic de l'Edificació

A l'entrada en vigor del Codi Tècnic de l'Edificació, CTE, es deroguen diverses normatives i per donar compliment a les noves exigències bàsiques s'han d'aplicar els documents bàsics, DB, que composen la part II del CTE.

DB-SE	**d'aplicació en aquest projecte,** veure memòria d'estructura
DB-SI	**d'aplicació en aquest projecte,** veure memòria d'estructura
DB-SUA	**d'aplicació en aquest projecte**
	SUA1: no és d'aplicació en aquest projecte
	SUA2: no és d'aplicació en aquest projecte
	SUA3: no és d'aplicació en aquest projecte
	SUA4: d'aplicació en aquest projecte, veure memòria constructiva
	SUA5: no és d'aplicació en aquest projecte
	SUA6: no és d'aplicació en aquest projecte
	SUA7: no és d'aplicació en aquest projecte
	SUA8: d'aplicació en aquest projecte
	SUA9: d'aplicació en aquest projecte
DB-HS	**d'aplicació en aquest projecte**
	HS1: no és d'aplicació en aquest projecte
	HS2: no és d'aplicació en aquest projecte
	HS3: no és d'aplicació en aquest projecte
	HS4: no és d'aplicació en aquest projecte
	HS5: d'aplicació en aquest projecte, veure memòria constructiva
DB-HE	**d'aplicació en aquest projecte**
	HE1: no és d'aplicació en aquest projecte
	HE2 RITE: no és d'aplicació en aquest projecte
	HE3: d'aplicació en aquest projecte, veure memòria constructiva
	HE4: no és d'aplicació en aquest projecte
	HE5: no és d'aplicació en aquest projecte
DB-HR	no és d'aplicació en aquest projecte

AJUNTAMENT D'OLERDOLA
Aquest document és una còpia simple del document electrònic original.

DOCUMENT
DOCUMENT REGISTRE UNIFICAT ENTRADA
ÒRGAN
SERVEIS TECNICS
REGISTRE D'ENTRADA
E2026005054
Codi Segur de Verificació:
62ffb294-fe9f-412a-95ff-e789b2359074
Origen: Administració
Identificador document: ES_L01081000_2026_28828185
Data d'impressió: 03/11/2026 13:44:57
Pàgina 203 de 247
SIGNATURES
1.- ESTEVE AYMERICH (R: J62755897), 27/07/2026 11:04

Document bàsic de Seguretat d'Utilització i Accessibilitat: DB-SUA

AJUNTAMENT D'OLERDOLA
Aquest document és una còpia simple del document electrònic original.

Codi Segur de Verificació:
62ffb294-fe9f-412a-95ff-e789b2359074
Origen: Administració
Identificador document: ES_L01081000_2026_28828185
Data d'impressió: 03/11/2026 13:44:57
Pàgina 204 de 247

SIGNATURES
1.- ESTEVE AYMERICH (R: J62755897), 27/07/2026 11:04

CTE Paràmetres del DB SU per donar compliment a les exigències de **Seguretat d'Utilització**

INSTAL·LACIÓ DE PROTECCIÓ AL LLAMP

SU-8

Cal omplir la fitxa si es vol adjuntar al projecte

Ref. del projecte 10/24

NECESSITAT DE LA INSTAL·LACIÓ

NO és necessària doncs:	* La freqüència esperada d'impactes (Ne) és inferior o igual al risc admissible de l'edifici (Na) → **Ne ≤ Na**		**Ne =**0,018318	**Na =**0,011000
SÍ és necessària doncs:	* La freqüència esperada d'impactes (Ne) és superior al risc admissible de l'edifici (Na) → **Ne > Na** *	✔		
	* Edificis amb **altura > 43m** *			
	* Edificis en els que es **manipulin substàncies** tòxiques, radioactives, altament inflamables o explosives. *			

PROCEDIMENT DE VERIFICACIÓ

Activat

N_e FREQÜÈNCIA ESPERADA D'IMPACTES DE L'EDIFICI

- **N_g :** (núm. impactes / any km²) Densitat d'impactes sobre el terreny — **Municipi:** Sant Pere Molanta, Olèrdola; N_g impactes / any km² : 5,00 — mapa 5,00
- **A_e :** (m²) Superfície de captura equivalent de l'edifici aïllat — es delimita per una línia traçada a una distància 3H de cada un dels punts del perímetre de l'edifici, sent H l'alçada de l'edifici en el punt del perímetre considerat: **7.327,00 m²**
- **C_1 :** Coeficient relacionat amb l'entorn

* edifici proper a altres edificis o arbres de la mateixa alçada o més alts →	$C_1 = 0,50$	✔
* edifici rodejat d'altres edificis més baixos →	$C_1 = 0,75$	
* edifici aïllat →	$C_1 = 1,00$	
* edifici situat a dalt d'un turó →	$C_1 = 2,00$	

▪ $N_e = N_g \times A_e \times C_1 \times 10^{-6}$ = 5,00 x 7.327,00 x 0.5 x 10^{-6} → **N_e = 0,018318 impactes /any**

N_a RISC ADMISSIBLE DE L'EDIFICI

- **C_2 :** coeficient segons tipus de **construcció**

Estructura metàl·lica i coberta:			Estructura formigó i coberta:			Estructura fusta i coberta:		
metàl·lica	$C_2 = 0,50$	✔	metàl·lica	$C_2 = 1,00$		metàl·lica	$C_2 = 2,00$	
formigó	$C_2 = 1,00$		formigó	$C_2 = 1,00$		formigó	$C_2 = 2,50$	
fusta	$C_2 = 2,00$		fusta	$C_2 = 2,50$		fusta	$C_2 = 3,00$	

- **C_3 :** coeficient segons el **contingut** de l'edifici

* edifici amb contingut inflamable →	$C_3 = 3,00$	
* edifici amb altres continguts →	$C_3 = 1,00$	✔

- **C_4 :** coeficient segons l'**ús** de l'edifici

* edifici no ocupat normalment →	$C_4 = 0,5$	
* edifici de pública concurrència, sanitari, comercial, docent	$C_4 = 3,00$	
* resta d'edificis →	$C_4 = 1,00$	✔

- **C_5 :** necessitats de **continuïtat de les activitats** que es desenvolupen en l'edifici

* edificis en els que els seu deteriorament pugui interrompre algun servei imprescindible (hospitals, bombers,...) →	$C_5 = 5,00$	
* edificis en els que els seu deteriorament ocasiona impactes ambientals greus →	$C_5 = 5,00$	
* resta d'edificis →	$C_5 = 1,00$	✔

▪ $N_a = \frac{5,5}{C_2 \times C_3 \times C_4 \times C_5} 10^{-3} = \frac{5,5}{0.5 \times 1 \times 1 \times 1} 10^{-3}$ → **N_a = 0,011000**

Determinació de l'Eficiència, E, de la instal·lació de protecció al llamp:

INSTAL·LACIÓ DE PROTECCIÓ AL LLAMP

▪ **EFICIÈNCIA DE LA INSTAL·LACIÓ, E**

$E \geq 1 - \frac{N_a}{N_e} = 1 - \frac{0.011}{0.018318}$ → **E ≥ 0.3994977617643848**

▪ **NIVELL DE PROTECCIÓ DE LA INSTAL·LACIÓ** segons el valor de la eficiència mínima de la instal·lació, E

El valor del nivell de protecció de la instal·lació condiciona les característiques dels sistemes externs de protecció contra el llamp.

4	**0 ≤ E < 0,80**	✔	→ la instal·lació de protecció contra el llamp **no és obligatòria**
3	**0,80 ≤ E < 0,95**		
2	**0,95 ≤ E < 0,98**		
1	**E ≥ 0,98**		
	* Edificis amb **altura > 43m**		→ la instal·lació de protecció contra el llamp **és obligatòria**
	* Edificis en els que es **manipulin substàncies** tòxiques, radioactives, altament inflamables o explosives.		

L'edifici No **disposarà d'un sistema de protecció al llamp**

Codi Tècnic de l'Edificació RD 314/2006 , RD 1371/2007 i les seves correccions d'errades (BOEs 20/12/2007 i 25/1/2008) Oficina Consultora Tècnica · Col·legi d'Arquitectes de Catalunya v.2 maig 2008

AJUNTAMENT D'OLERDOLA
Aquest document és una còpia simple del document electrònic original.

Codi Segur de Verificació:
62ffb294-fe9f-412a-95ff-e789b2359074
Origen: Administració
Identificador document: ES_L01081000_2026_28828185
Data d'impressió: 03/11/2026 13:44:57
Pàgina 205 de 247

SIGNATURES
1.- ESTEVE AYMERICH (R: J62755897), 27/07/2026 11:04

AJUNTAMENT D'OLERDOLA
Aquest document és una còpia simple del document electrònic original.

DECRET 135/1995 "Codi d'accessibilitat" i CTE DB SUA "Seguretat d'utilització i accessibilitat" juliol de 2010 Oficina Consultora Tècnica. COAC

Justificació de l'accessibilitat a l'edificació

Ús públic i ús privat
(no habitatge)

DB SUA / D135/95

	D. 135/1995 Codi d'accessibilitat	CTE DB SUA: SUA-9 Accessibilitat
ACCESSIBILITAT EXTERIOR 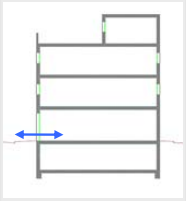 Comunicació de l'edificació amb: - via pública - zones comunes ext, elements annexos.	**EDIFICIS D'ÚS NO HABITATGE** **Edificis o establiments d'ús públic:** → **Itinerari adaptat o practicable** ☑ * segons ús de l'edifici → taula d'usos públics **Edificis o establiments d'ús privat:** → **Itinerari practicable** ☐ * edificis ≥ PB + 2PP * edificis amb obligatorietat de col·locació d'ascensor → **Itinerari adaptat** ☐ * edificis amb habitatges adaptats	**EDIFICIS D'ÚS NO HABITATGE** → **Itinerari accessible** per a **tots els edificis** ☑ (s'exclouen els habitatges unifamiliars aïllats i adossats sense elements comuns)
ACCESSIBILITAT VERTICAL Mobilitat entre plantes (**necessitat d'ascensor** o previsió del mateix) 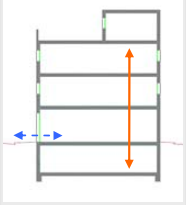 Comunicació de les entitats amb: - planta accés (via pública) - espais, instal·lacions i dependències d'ús comunitari	**EDIFICIS D'ÚS NO HABITATGE** **Edificis o establiments d'ús públic:** → **Itinerari adaptat o practicable** ☐ * segons ús de l'edifici → taula d'usos públics **Edificis o establiments d'ús privat:** ☐ → **Itinerari practicable:** * edificis ≥ PB + 2PP que no disposin d'ascensor * edificis amb obligatorietat de col·locació d'ascensor * aparcaments > 40places	**EDIFICIS D'ÚS NO HABITATGE** → **Itinerari accessible** amb **ascensor accessible** o rampa accessible, en els següents supòsits: ☐ * edificis > PB + 2PP * edificis / establiments amb Su > 200 m^2 (exclosa planta accés) * plantes amb zones d'ús públic amb Su > 100 m^2 * plantes amb elements accessibles
ACCESSIBILITAT HORITZONTAL Mobilitat **en una mateixa planta** 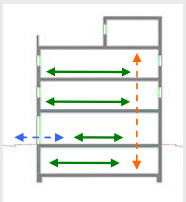 Comunicació punt d'accés a la planta amb: - les entitats o espais - instal·lacions i dependències d'ús comunitari	**EDIFICIS D'ÚS NO HABITATGE** **Edificis o establiments d'ús públic:** → **Itinerari adaptat o practicable** que comuniqui el punt d'accés de la planta amb: ☑ * elements adaptats → taula d'usos públics **Edificis o establiments d'ús privat:** → **Itinerari practicable** que comuniqui el punt d'accés de la planta amb: ☐ * entitats o espais * dependències d'ús comunitari	**EDIFICIS D'ÚS NO HABITATGE** → **Itinerari accessible** que comuniqui el punt d'accés de la planta amb: ☑ * zones d'ús públic * origen d'evacuació de les zones d'ús privat * tots els elements accessibles

Referència de projecte 10/24

AJUNTAMENT D'OLERDOLA
Aquest document és una còpia simple del document electrònic original.

Codi Segur de Verificació: 62ffb294-fe9f-412a-95ff-e789b2359074
Origen: Administració
Identificador document: ES_L01081000_2026_28828185
Data d'impressió: 03/11/2026 13:44:57
Pàgina 206 de 247

DOCUMENT
DOCUMENT REGISTRE UNIFICAT ENTRADA

ÒRGAN
SERVEIS TECNICS

SIGNATURES
1.- ESTEVE AYMERICH (R: J62755897), 27/07/2026 11:04

REGISTRE D'ENTRADA
E2026005054

Justificació de l'accessibilitat a l'edificació — Ús públic i ús privat (no habitatge) — DB SUA / D135/95

Itineraris

	ADAPTAT (D.135/1995) ☑	ACCESSIBLE (DB SUA) ☑	PRACTICABLE (D.135/1995) ☐
PARÀMETRES GENERALS	- **Amplada:** ≥ 0,90 m - **Alçada:** ≥ 2,10 m, lliure d'obstacles en tot el seu recorregut - **Canvis de direcció**: l'amplada de pas ha de permetre inscriure un ∅1,20 m - **Espai lliure de gir** a cada planta on es pugui inscriure un cercle de ∅1,50m. - **Paviment:** és no lliscant ☑	- **Amplada:** ≥ 1,20 m ☑ S'admet estretaments puntuals: A ≥ 1,00m per a longitud ≤0,50m i separat 0,65m de canvis direcció /forats de pas ☑ - **Alçada:** ≥ 2,20 m en general (2,10m per a ús restringit) - **Canvis de direcció:** no es contempla (amplada pas 1,20 m) - **Espai de gir:** ∅ ≥ 1,50 m (lliure d'obstacles) ☑ * al vestíbul d'entrada (o portal), * al fons de passadissos de >10m, * davant ascensors accessibles o espai per a previsió - **Paviment:** grau de lliscament segons ús i ubicació (SUA-1) ☑ * no conté elements ni peces soltes (graves i sorres) pelfuts-moquetes: encastats o fixats al terra * sols resistents a la deformació (permeten circulació i arrastrada d'elements pesats, cadires roda, etc, - **Pendent:** ≤ 4% (longitudinal) ☑ ≤ 2% (transversal) - **Senyalització dels itineraris accessibles:** **mitjançant símbol internacional d'accessibilitat, SIA i fletxes direccionals,** si es fa necessari en edificis d'ús privat quan hi hagi varis recorreguts alternatius. ☑ sempre en edificis d'ús públic **amb bandes de senyalització visuals i tàctil** ☐ sempre en edificis d'ús públic per a l'itinerari accessible que comunica la via pública amb els punts d'atenció o "crida" accessibles. (característiques segons SUA-9 2.2)	- **Amplada:** ≥ 0,90 m - **Alçada:** ≥ 2,10 m, lliure d'obstacles en tot el seu recorregut - **Canvis de direcció**: l'amplada de pas ha de permetre inscriure un cercle de ∅ 1,20 m.
PORTES garantiran	- **Amplada:** ≥ 0,80 m les portes de 2 o més fulles, una d'elles serà ≥ 0,80 m - **Alçada:** ≥ 2,00 m - **Espai lliure de gir**: a les dues bandes d'una porta es pot inscriure un ∅**1,50** m. (sense ser escombrat per l'obertura de la porta). S'exceptua a l'interior de la cabina de l'ascensor ☑ - **Manetes:** s'accionen mitjançant mecanismes de pressió o palanca. - **Portes de vidre:** ☑ * tindran un sòcol inferior ≥ 0,30m d'alçada, llevat de que el vidre sigui de seguretat. * visualment tindran una franja horitzontal d'amplada ≥ 0,05 m, a 1,50 m d'alçada i amb marcat contrast de color.	- **Amplada:** ≥ 0,80 m (mesurada en el marc i aportada per 1 fulla) ☑ (en posició de màx. obertura → amplada lliure de pas reduït el gruix de la fulla ≥ 0,78 m) ☑ - **Alçada:** ≥ 2,00 m - **Espai de gir:** a les dues bandes d'una porta hi ha un espai horitzontal ∅1,20 m. (sense ser escombrat per l'obertura de la porta) ☑ - **Mecanismes d'obertura i tancament:** ☑ * altura de col·locació : 0,80m ÷ 1,20m * funcionament a pressió o palanca i maniobrables amb una sola ma, o bé són automàtics * distància del mecanisme d'obertura a cantonada ≥0,30m - **Portes de vidre:** ☑ * classificació a impacte, com a mínim, (3 - B/C - 3) * si no disposen d'elements que permetin la seva identificació (portes, marcs) es senyalitzaran segons apartat 1.4 (DB SUA-2)	- **Amplada:** ≥ 0,80 m - **Alçada:** ≥ 2,00 m - **Espai lliure de gir**, a les dues bandes d'una porta es pot inscriure un cercle de ∅ **1,20** m, sense ser escombrat per l'obertura de la porta . (S'exceptua a l'interior de la cabina de l'ascensor) - **Manetes:** s'accionen mitjançant mecanismes de pressió o palanca.
GRAONS	- No hi ha d'haver cap escala ni graó aïllat. - **Accés a l'edifici:** S'admet un desnivell **≤ 2 cm** que s'arrodonirà o s'aixamfranarà el cantell a un màxim de 45º.	- No s'admeten graons ☑	- No inclou cap tram d'escala. - A les dues bandes d'un graó hi ha un espai lliure pla amb una fondària mínima de 1,20 m. L'alçada d'aquest graó és **≤ 14 cm**. - **Accés a l'edifici:** En els **edificis amb obligatorietat d'instal·lació d'ascensor**, només s'admet l'existència d'un graó, d'alçada **≤ 12cm**, a l'entrada de l'edifici.

Referència de projecte 10/24

AJUNTAMENT D'OLERDOLA
Aquest document és una còpia simple del document electrònic original.

Codi Segur de Verificació: 62ffb294-fe9f-412a-95ff-e789b2359074
Origen: Administració
Identificador document: ES_L01081000_2026_28828185
Data d'impressió: 03/11/2026 13:44:57
Pàgina 207 de 247

DOCUMENT REGISTRE UNIFICAT ENTRADA
ÒRGAN SERVEIS TECNICS
SIGNATURES 1.- ESTEVE AYMERICH (R: J62755897), 27/07/2026 11:04
REGISTRE D'ENTRADA E2026005054

Justificació de l'accessibilitat a l'edificació

Ús públic i ús privat (no habitatge)

DB SUA / D135/95

Itineraris

ADAPTAT (D.135/1995) ☑ **ACCESSIBLE** (DB SUA) ☑ **PRACTICABLE** (D.135/1995) ☐

	ADAPTAT (D.135/1995)	ACCESSIBLE (DB SUA)	PRACTICABLE (D.135/1995)
RAMPES	**- Pendents** - **longitudinal:** ≤ 12% trams < 3m de llargada ≤ 10% trams entre 3 i 10m de llargada ≤ 8% trams > 10m de llargada - **transversal:** S'admet ≤ 2% en rampes exteriors	**- Pendents** - **longitudinal:** ≤ 10% trams < 3m de llargada ≤ 8% trams < 6m de llargada 4< p ≤ 6% trams < 9m de llargada - **transversal:** ≤ 2% ☑	**- Pendents** - **longitudinal:** ≤ 12% per a trams ≤ 10 m de llargada - **transversal:** s'admet ≤ 2% en rampes exteriors
	- Trams: - La **llargada** de cada tram és ≤ 20 m. - En la **unió de trams** de diferent pendent es col·loquen replans intermedis. - A **l'inici i al final de cada tram** de rampa hi ha un replà de 1,50 m de llargada mínima. ☑	**- Trams:** - **llargada** màxima tram ≤ 9 m. - **amplada** ≥ 1,20m - rectes o amb radi de curvatura ≥ 30m - a **l'inici i al final de cada tram** hi ha una superfície horitzontal ≥ 1,20m de long. en la direcció de la rampa ☑	**- Trams:** - En els **dos extrems d'una rampa** hi ha un espai lliure amb una fondària de 1,20 m.
	- Replans: - Els **replans intermedis** tindran una llargada mínima de 1,50 m en la direcció de circulació.	**- Replans:** - entre **trams d'una mateixa direcció**: amplada ≥ la de la rampa, longitud ≥ 1,50 m (mesurada a l'eix) - entre **trams amb canvi de direcció**: l'amplada de la rampa no es reduirà - els passadissos d'amplada < 1,20m i les portes es situen a > 1,50m de l'arrencada d'un tram ☑	**- Replans:** (als dos extrems d'una rampa hi ha un espai lliure amb una fondària de 1,20 m)
	- Barreres protecció, Passamans i Elements protectors: - **Baranes:** a **ambdós costats** - **Passamans:** situats a una **alçada** entre 0,90 i 0,95m amb disseny anatòmic (permet adaptar la ma) i amb una **secció** igual o equivalent a la d'un tub rodó de ∅ entre 3 i 5 cm, separat ≥ 4 cm dels paraments verticals. - **Element de protecció lateral**: es disposa longitudinalment amb una alçària ≥ 10 cm per sobre del terra (evitar la sortida accidental de rodes i bastons)	**- Barreres de protecció, Passamans i Elements protectors:** - **Barrera protecció**: desnivell > 0,55m - **Passamans**: per a rampes amb: p ≥ 6% i desnivell > 18,5cm. * continus i als dos costats a una altura entre 0,90m - 1,10m, i * un altre a una altura entre 0,65 - 0,75m * trams de rampa de l > 3m → prolongació horitzontal dels passamans ≥ 0,30m en els extrems * seran continus, ferms i es podran agafar fàcilment, separats del parament ≥ 0,04m i el sistema de subjecció no interfereix el pas continu de la ma - **Elements de protecció lateral**: per als costats oberts de les rampes amb p ≥ 6% i desnivell > 18,5cm i amb una alçària ≥ 10 cm ☑	**- Barreres protecció, Passamans i Elements protectors:** - **Passamà:** com a mínim **a un costat** - El **passamà** està situat a una **alçada** entre 0,90 i 0,95 m.

Referència de projecte 10/24

AJUNTAMENT D'OLERDOLA
Aquest document és una còpia simple del document electrònic original.

Codi Segur de Verificació: 62ffb294-fe9f-412a-95ff-e789b2359074
Origen: Administració
Identificador document: ES_L01081000_2026_28828185
Data d'impressió: 03/11/2026 13:44:57
Pàgina 208 de 247

DOCUMENT
DOCUMENT REGISTRE UNIFICAT ENTRADA

ÒRGAN
SERVEIS TECNICS

SIGNATURES
1.- ESTEVE AYMERICH (R: J62755897), 27/07/2026 11:04

REGISTRE D'ENTRADA
E2026005054

Justificació de l'accessibilitat a l'edificació

Ús públic i ús privat (no habitatge)

DB SUA / D135/95

Itineraris

	ADAPTAT (D.135/1995) ☑	**ACCESSIBLE** (DB SUA) ☑	**PRACTICABLE** (D.135/1995)
ASCENSOR	- **Dimensions cabina** ☑ - sentit d'accés ≥ 1,40 m - sentit perpendicular ≥ 1,10 m	- **Dimensions cabina:** ☑ - **Su ≤ 1000m²** (exclosa planta accés) *1 porta o 2 enfrontades → 1,00 x 1,25m *2 portes en angle → 1,40 x 1,40m - **Su > 1000m²** (exclosa planta accés) *1 porta o 2 enfrontades → 1,10 x 1,40m *2 portes en angle → 1,40 x 1,40m	- **Dimensions cabina:** - sentit d'accés ≥ 1,20 m - sentit perpendicular ≥ 0,90 m - superfície ≥ 1,20 m2
	- **Portes** - **de la cabina:** són automàtiques - **del recinte:** són automàtiques - **amplada**: ≥ 0,80 m. - davant de les portes es pot inscriure un ∅1,50 m.	- **Paràmetres generals:** ☑ Compleix la norma UNE EN 81-70:2004 "*Accesibilidad a los ascensores de personas, incluyendo personas con discapacidad*".	- **Portes:** - **de la cabina:** són automàtiques - **del recinte:** podes ser automàtiques o manuals - **amplada**: ≥ 0,80 m. - davant de les portes es pot inscriure un ∅1,20 m sense ser escombrat per l'obertura de la porta
	- **Botoneres:** - **Alçada de col·locació**: entre 1,00 i 1,40 m respecte al terra. - Han de tenir la numeració en Braille o en relleu.	- **Botoneres:** ☑ - **Segons** norma UNE EN 81-70:2004 "*Accesibilidad a los ascensores de personas, incluyendo personas con discapacidad*".	- **Botoneres:** - **Alçada de col·locació**: entre 1,00 i 1,40 m respecte al terra
	- **Passamans:** - La cabina en disposa a una **alçada** entre 0,90 i 0,95 m. - Han de tenir un **disseny** anatòmic (permet adaptar la ma) amb una **secció** igual o equivalent a la d'un tub rodó de diàmetre entre 3 i 5 cm, separat, com a mínim, 4 cm dels paraments verticals.	- **Passamans:** ☑ - **Segons** norma UNE EN 81-70:2004 "*Accesibilidad a los ascensores de personas, incluyendo personas con discapacidad*".	
	- **Senyalització:** - Indicació del nombre de cada planta amb número en alt relleu (dimensió ≥10 x 10 cm) i col·locat a una alçada d'1,40m des del terra (al costat de la porta de l'ascensor)	- **Senyalització:** ☑ - mitjançant símbol internacional d'accessibilitat, SIA - indicació del nombre de la planta en Braille i aràbic en alt relleu col·locat a una alçada entre 0,80m i 1,20m (brancal dret en el sentit de sortida de la cabina)	

Referència de projecte 10/24

DOCUMENT
DOCUMENT REGISTRE UNIFICAT ENTRADA
ÒRGAN
SERVEIS TECNICS
REGISTRE D'ENTRADA
E2026005054

Codi Segur de Verificació:
62ffb294-fe9f-412a-95ff-e789b2359074
Origen: Administració
Identificador document: ES_L01081000_2026_28828185
Data d'impressió: 03/11/2026 13:44:57
Pàgina 209 de 247

SIGNATURES
1.- ESTEVE AYMERICH (R: J62755897), 27/07/2026 11:04

Escales. Configuració

	D'ÚS PÚBLIC (Adaptades) (D. 135/1995) ☐		D'ÚS PÚBLIC (DB SUA-1) ☐	
ESCALES	**- Amplada**	**≥ 1,00 m**	**- Amplada**	- en funció de l'ús i del nombre de persones, taula 4.1 SUA-1 ☐ - **≥ 1,00m si comunica amb una zona accessible**
	- Altura de pas	**≥ 2,10 m**	**- Altura de pas**	**≥ 2,20 m** ☐
	- Graons:	- frontal F ≤ 0,16m ☐ - estesa, E ≥ 0,30m (si la projecció en planta no és recta, l'estesa, E ≥ 0,30m a 0,40m de la part interior) - l'estesa no presenta discontinuïtats quan s'uneix amb l'alçària (no tenen ressalts)	**- Graons:**	- frontal 0,13 ≤ F ≤ 0,175m ☐ - estesa, E ≥ 0,28m - 0,54m ≤ 2F +E ≤ 0,70m (al llarg de tota l'escala) - la mesura de l'estesa no inclou la projecció vertical de l'estesa del graó superior - els graons no tenen ressalts (bocel) - graons amb frontal , vertical o formant un angle ≤ 15º amb la vertical, (per a edificis sense itinerari accessible alternatiu)
	- Trams:	- nombre de graons seguits ≤ 12.	**- Trams:**	- salvarà una altura ≤ 2,25m ☐ - podran ser rectes, corbats o mixtes (veure apartat 4.2.2 SUA-1, els usos pels quals només són rectes) - entre dues plantes consecutives d'una mateixa escala tots els graons tindran el mateix frontal - entre dos trams consecutius de plantes diferents el frontal podrà variar com a màxim ±10mm - tots els graons dels trams rectes tindran la mateixa estesa
	- Replans:	- Els **replans intermedis** tindran una llargada ≥ 1,20 m. ☐	**- Replans:**	- entre **trams d'una mateixa direcció**: amplada ≥ la de l'escala longitud ≥ 1,00 m (mesurada a l'eix) ☐ - entre **trams amb canvi de direcció**: l'amplada de l'escala no es reduirà - els passadissos d'amplada < 1,20m i les portes es situen a ≥ 0,40m de l'arrencada d'un tram - **replans de planta**: * senyalització visual i tàctil amb franja de paviment en l'arrencada dels trams. (0,80m de longitud en el sentit de la marxa; amplada la de l'itinerari i gravat direccional perpendicular a l'eix de l'escala) * portes i passadissos d'amplada < 1,20m, es situen a 0,40m del primer graó d'un tram.
	- Barreres de protecció, Passamans i Elements protectors:	- **Passamans:** a **ambdós costats** a una altura entre 0,90 i 0,95m ☐ * disseny anatòmic (permet adaptar la ma) i amb una **secció** igual o equivalent a la d'un tub rodó de ∅ entre 3 i 5 cm, separat ≥ 4 cm dels paraments verticals.	**- Barreres de protecció, Passamans i Elements protectors:**	- col·locació 1 costat escales amb desnivell > 0,55m i amplada ≤ 1,20m ☐ - col·locació 2 costat escales amb desnivell > 0,55m i amplada > 1,20m - passamà intermedi: trams amplada > 4m - altura de col·locació → 0,90m ÷ 1,10m - seran ferms i es podran agafar fàcilment, separats del parament ≥ 0,04m i el sistema de subjecció no interferirà el pas continu de la ma.

DECRET 135/1995 "Codi d'accessibilitat" i CTE DB SUA "Seguretat d'utilització i accessibilitat" juliol de 2010 Oficina Consultora Tècnica. COAC

AJUNTAMENT D'OLERDOLA
Aquest document és una còpia simple del document electrònic original.

DOCUMENT
DOCUMENT REGISTRE UNIFICAT ENTRADA
ÒRGAN
SERVEIS TECNICS
REGISTRE D'ENTRADA
E2026005054
Codi Segur de Verificació:
62ffb294-fe9f-412a-95ff-e789b2359074
Origen: Administració
Identificador document: ES_L01081000_2026_28828185
Data d'impressió: 03/11/2026 13:44:57
Pàgina 210 de 247
SIGNATURES
1.- ESTEVE AYMERICH (R: J62755897), 27/07/2026 11:04

Document bàsic de Salubritat: DB-HS

AJUNTAMENT D'OLERDOLA
Aquest document és una còpia simple del document electrònic original.

Codi Segur de Verificació:
62ffb294-fe9f-412a-95ff-e789b2359074
Origen: Administració
Identificador document: ES_L01081000_2026_28828185
Data d'impressió: 03/11/2026 13:44:57
Pàgina 211 de 247

SIGNATURES
1.- ESTEVE AYMERICH (R: J62755897), 27/07/2026 11:04

Ref. del projecte: 10/24

HS 5 EVACUACIÓ D'AIGÜES

Exigències bàsiques HS 5 Evacuació d'aigües *(art.13.5 Part I CTE)*

"Els edificis disposaran de mitjans adequats per a extreure les aigües residuals generades en ells de forma independent o conjunta amb les precipitacions atmosfèriques i amb els escorrentius".

PROPIETATS DE LA INSTAL·LACIÓ	**Objecte**	→ La instal·lació evacuarà únicament les aigües residuals i pluvials, no podent-se utilitzar per a l'evacuació d'altre tipus de residus. → S'evitarà el pas d'aires mefítics als locals ocupats mitjançant la utilització de tancaments hidràulics.	✔
	Ventilació	→ Es disposarà de sistema de ventilació que permeti l'evacuació dels gasos mefítics i garanteixi el correcte funcionament dels tancaments hidràulics.	✔
	Traçat	→ El traçat de les canonades serà el més senzill possible, amb distàncies i pendents que facilitin l'evacuació dels residus i seran autonetejables. S'evitarà la retenció d'aigües en el seu interior.	✔
	Dimensionat	→ Els diàmetres de les canonades seran els adients per a transportar els cabals previsibles en condicions segures.	✔
	Manteniment	→ Les xarxes de canonades es dissenyaran de forma que siguin accessibles per al seu manteniment i reparació, per a la qual cosa han de disposar-se a la vista o allotjades en forats o "patinets" registrables, o bé disposaran arquetes o registres.	✔

Codi Tècnic de l'Edificació RD 314/2006 , RD 1371/2007 i les seves correccions d'errades (BOEs 20/12/2007 i 25/1/2008) Oficina Consultora Tècnica · Col·legi d'Arquitectes de Catalunya v.3 abril 2008

AJUNTAMENT D'OLERDOLA
Aquest document és una còpia simple del document electrònic original.

DOCUMENT
DOCUMENT REGISTRE UNIFICAT ENTRADA
ÒRGAN
SERVEIS TECNICS
REGISTRE D'ENTRADA
E2026005054
Codi Segur de Verificació:
62ffb294-fe9f-412a-95ff-e789b2359074
Origen: Administració
Identificador document: ES_L01081000_2026_28828185
Data d'impressió: 03/11/2026 13:44:57
Pàgina 212 de 247
SIGNATURES
1.- ESTEVE AYMERICH (R: J62755897), 27/07/2026 11:04

Document bàsic d'Estalvi Energètic: DB-HE

AJUNTAMENT D'OLERDOLA
Aquest document és una còpia simple del document electrònic original.

Codi Segur de Verificació:
62ffb294-fe9f-412a-95ff-e789b2359074
Origen: Administració
Identificador document: ES_L01081000_2026_28828185
Data d'impressió: 03/11/2026 13:44:57
Pàgina 213 de 247

SIGNATURES
1.- ESTEVE AYMERICH (R: J62755897), 27/07/2026 11:04

versió Acrobat Exchange-Pro 6

PROJECTE BÀSIC ☐
PROJECTE BÀSIC i D'EXECUCIÓ ☒

HE ESTALVI D'ENERGIA.
DB-HE 3: Paràmetres per al compliment de les exigències bàsiques

En el cas del projecte bàsic i d'execució cal indicar les solucions adoptades per donar compliment a l'exigència

HE 3 EFICIÈNCIA ENERGÈTICA DE LES INSTAL·LACIONS D'IL·LUMINACIÓ

Exigència bàsica HE 3: Eficiència energètica de les instal·lacions d'il·luminació *(art.15.3 Part I CTE)*

"Els edificis disposaran d'instal·lacions d'il·luminació adequades a les necessitats dels seus usuaris i a la vegada eficaces energèticament disposant d'un sistema de control que permeti ajustar l'encesa a l'ocupació real de la zona, així com d'un sistema de regulació que optimitzi l'aprofitament de la llum natural, en les zones que reuneixin unes determinades condicions"

Àmbit d'aplicació INSTAL·LACIONS D'IL·LUMINACIÓ INTERIOR de:	**Edificis de nova construcció**		✔
	Rehabilitació d'edificis existents	→ Edificis existents amb superfície útil > 1000m² i en els que es renovi més del 25% de la superfície il·luminada	
	Reformes de: **- locals comercials** **- edificis d'ús administratiu**	→ quan es renovi la instal·lació d'il·luminació	
	S'exclouen:	→ Edificis i monuments amb valor històric o arquitectònic reconegut, quan el compliment de les exigències del HS-3 pugui alterar de manera inacceptable el seu caràcter o aspecte *	
		→ Construccions provisionals amb un període d'utilització previst ≤ 2anys *	
		→ Instal·lacions industrials, tallers i edificis agrícoles no residencials *	
		→ Edificis independents amb una superfície total < 50m² *	
		→ Interior dels habitatges *	
		→ Enllumenats d'emergència	

EXIGÈNCIA

VEEI (W/m²) * **Valor d'Eficiència Energètica de la instal·lació**

Es garantiran els valors límits fixats a continuació en funció de l'ús de cada zona i del grup al que pertany.
(el valor **inclou** la il·luminació general i la d'accent, **exclou** la d'il·luminació d'aparadors i zones d'exposició)

ZONES del GRUP 1: zones de **no** representació		**VEEI ≤**
- administratiu en general		**3,5**
- andanes d'estacions de transport		
- sales de diagnòstic *		
- pavellons d'exposicions o fires		
- aules i laboratoris *		**4,0**
- habitacions d'hospital *		**4,5**
- zones comunes *		
- magatzems, arxius, sales tècniques i cuines		**5,0**
- aparcaments		
- espais esportius *	✔	
- recintes interiors assimilables a Grup 1 i no descrits al llistat anterior		**4,5**
ZONES del GRUP 2: zones de representació		
- administratiu en general		**6,0**
- estacions de transport *		
- supermercats, hipermercats i grans magatzems		
- biblioteques, museus i galeries d'art		
- zones comunes en edificis residencials		**7,5**
- centres comercials (s'exclou les botigues) *		**8,0**
- hosteleria i restauració *		**10**
- religiós en general		
- sales d'actes, auditoris i sales d'ús múltiple i convencions; sales d'oci o espectacle, sales de reunions i sales de conferències *		
- botigues i petit comerç		
- zones comunes *		
- habitacions d'hotels, hostals, etc.		**12**
- recintes interiors assimilables a Grup 2 i no descrits al llistat anterior		**10**

SISTEMES DE CONTROL i REGULACIÓ de les instal·lacions d'il·luminació de les zones dels grups 1 i 2	▶ **Per a cada zona**	→ Es disposarà, com a mínim, d'un **sistema d'encesa i apagada manual**, a manca d'un altre sistema de control. (no s'accepta com a únic sistema de control, l'encesa i apagada des del quadre elèctric)	✔
	▶ **Per a zones d'ús esporàdic**	→ El control d'encesa i apagada s'haurà de fer per: **- sistema de control de presència**, o bé **- sistema de temporització**	
	▶ **Per a zones amb aprofitament de la llum natural** * **No és d'aplicació** a - zones comunes d'edificis residencials - habitacions d'hospital - habitacions d'hotels, hostals, etc.	→ **les lluminàries situades sota una lluerna:** Sempre	
		→ **la primera línia paral·lela de lluminàries situades a una distància < 3m de la finestra:** En zones amb tancaments de vidre a l'exterior o a patis/atris on es donin unes determinades relacions entre l'edifici projectat, l'obstacle exterior, la superfície vidrada d'entrada de llum i les superfícies interiors del local. **(DB HE-3 art. 2.2b)**	

AJUNTAMENT D'OLERDOLA
Aquest document és una còpia simple del document electrònic original.

DOCUMENT
DOCUMENT REGISTRE UNIFICAT ENTRADA
ÒRGAN
SERVEIS TECNICS
REGISTRE D'ENTRADA
E2026005054
Codi Segur de Verificació:
62ffb294-fe9f-412a-95ff-e789b2359074
Origen: Administració
Identificador document: ES_L01081000_2026_28828185
Data d'impressió: 03/11/2026 13:44:57
Pàgina 214 de 247
SIGNATURES
1.- ESTEVE AYMERICH (R: J62755897), 27/07/2026 11:04

Real Decreto 105/2008 i Decret 89/2010. Gestió de residus.

AJUNTAMENT D'OLERDOLA
Aquest document és una còpia simple del document electrònic original.

Codi Segur de Verificació:
62ffb294-fe9f-412a-95ff-e789b2359074
Origen: Administració
Identificador document: ES_L01081000_2026_28828185
Data d'impressió: 03/11/2026 13:44:57
Pàgina 215 de 247

SIGNATURES
1.- ESTEVE AYMERICH (R: J62755897), 27/07/2026 11:04

1 / 6 RESIDUS Obra Nova Oficina Consultora Tècnica. Col·legi d'Arquitectes de Catalunya octubre de 2010. V4 (Font: 'Guia d'aplicació del Decret 201/1994 - Programc

ESTUDI DE GESTIÓ DE RESIDUS

Obra nova

tipus
quantitats
codificació

DECRET 89/2010 pel qual s'aprova el Programa de gestió de residus de la construcció de Catalunya es regula la producció i gestió dels residus de la construcció i den deposició controlada dels residus de la construc

REAL DECRETO 105/2008 Regulador de la producció i gestió de residus de construcció i enderroc

IDENTIFICACIÓ DE L'EDIFICI

Obra:	COBRIMENT PISTA ESPORTIVA SANT PERE MOLANTA		
Situació:	C/ DE WILSON sn		
Municipi :	OLÈRDOLA	**Comarca :**	ALT PENEDÈS

AVALUACIÓ I CARACTERÍSTIQUES

Materials d'excavació (es consideren o no residus, mesurats sense esponjament)

Terres d'excavació	Codificació residus LER Ordre MAM/304/2002	Volum (m^3)	Densitat real (tones/m^3)	Pes (tones)	Volum aparent m^3
grava i sorra compacta		0,00	2,0	0	0
grava i sorra solta		0,00	1,7	0	0
argiles		25,50	2,1	54	31
terra vegetal		0,00	1,7	0	0
pedraplé		0,00	1,8	0	0
terres contaminades	170503	0,00	1,8	0	0
altres		0,00	1,0	0	0
Total excavació		**26 m^3**		**53,55 t**	**31 m^3**

Destí de les terres i materials d'excavació

	no es considera residu reutilització		és residu abocador
	mateixa obra	altra obra	
Els materials d'excavació que es reutilitzin a la mateixa obra o en una altra d' es consideren residu sempre que el seu nou ús pugui ser acr			
En una mateixa obra poden coexistir terres reutilitzades i terres portades a ab	no	no	si

Residus de construcció totals

Superfície construïda 1.532,00 m^2

	Codificació residus LER Ordre MAM/304/2002	Pes (tones/m^2)	Pes residus (tones)	Volum aparent (m^3/m^2)	Volum aparent (m^3)
sobrants d'execució		0,086	131,576	0,090	137,221
obra de fàbrica ceràmica	170102	0,037	0,000	0,041	0,000
formigó	170101	0,036	55,863	0,026	8,030
petris barrejats	170107	0,008	0,000	0,012	0,000
guixos	170802	0,004	0,000	0,010	0,000
altres		0,001	0,000	0,001	0,000
embalatges		0,004	6,537	0,029	43,705
fustes	170201	0,001	1,849	0,005	1,090
plàstics	170203	0,002	2,421	0,010	6,730
paper i cartró	170904	0,001	1,272	0,012	1,090
metalls	170407	0,001	0,996	0,002	4,780
Total residu edificació		0,090	**138,11t**	0,118	**180,93 m^3**

Desglòs de residus de construcció per tipus i fase d'obra en m^3

	fonaments/estructura	tancaments	acabats
formigóns, fàbrica, petris	8,03	0,00	0,00
fustes	1,09	0,00	0,00
plàstics	6,73	0,00	0,00
paper i cartró	1,09	0,00	0,00
metalls	4,78	0,00	0,00
altres		0,00	0,00
guix			0,00
Totals	**21,71 m^3**	**0,0(m^3**	**0,0(m^3**

AJUNTAMENT D'OLERDOLA
Aquest document és una còpia simple del document electrònic original.

Codi Segur de Verificació:
62ffb294-fe9f-412a-95ff-e789b2359074
Origen: Administració
Identificador document: ES_L01081000_2026_28828185
Data d'impressió: 03/11/2026 13:44:57
Pàgina 216 de 247

SIGNATURES
1.- ESTEVE AYMERICH (R: J62755897), 27/07/2026 11:04

2 / 6 RESIDUS Obra Nova Oficina Consultora Tècnica. Col·legi d'Arquitectes de Catalunya octubre de 2010. V4 (Font: "Guia d'aplicació del Decret 201/1994 - Progra

ESTUDI DE GESTIÓ DE RESIDUS

Obra nova
minimització
gestió dins obra

MINIMITZACIÓ

PROJECTE. durant l'elaboració del projecte s'han près les següents mesures per tal de minimitzar els residus

1.- Els sistema constructiu és industrialitzat i prefabricat, es munta en obra sense generar gairebé residus	-
2.- S'han optimitzat les seccions resistents de pilars, jàsseres, parets, fonaments, etc.	-
3.- L'adequació de l'edifici al terreny, genera un equilibri de moviments de terres	-
4.-	-
5.-	-
6.-	-

OBRA. a l'obra es duran a terme les accions següents

1.- Emmagatzematge adient de materials i productes	-
2.- Conservació de materials i productes dins el seu embalatge original fins al moment de la seva utilització	-
3.- Els materials granulars (graves, sorres, etc.) es dipositaran en contenidors rígids o sobre superfícies dures	-
4.-	-
5.-	-
6.-	-

GESTIÓ (obra)

Terres

Excavació / Mov. terres	Volum m³ (+20%)	Reutilització a la mateixa obra	Reutilització a altra autoritzada	Per portar a l'abocador
terra vegetal	0	0,00	0,00	0,00
graves/ sorres/ pedraplé	0	0,00	0,00	0,00
argiles	30,6	0,00	0,00	30,60
altres	0	0,00	0,00	0,00
terres contaminades	0			0,00
Total	**30,6**	**0,00**	**0,00**	**30,60**

SEPARACIÓ DE RESIDUS A OBRA. Cal separar individualitzadament en les fraccions seguents si la generació per cadascú d'ells a l'obra quantitats de ...

R.D. 105/2008	tones	Projecte	cal separar	tipus de residu
Formigó	80	8,03	no	inert
Maons, teules i ceràmics	40	0,00	no	inert
Metalls	2	4,78	si	no especial
Fusta	1	1,09	si	no especial
Vidres	1	inapreciable	no	no especial
Plàstics	0,5	6,73	si	no especial
Paper i cartró	0,5	1,09	si	no especial
Especials*	inapreciable	inapreciable	si	especial

***** Dins dels residus especials hi ha inclosos els envasos que contenen restes de matèries perilloses, vernissos, pintures, disolvents, desencofrants, etc... i els materials que hagin e dificilment quantificables, estan presents a l'obra i es separaran i tractaran a part de la resta de residus

Malgrat no ser obligada per tots els tipus de residus, s'han previst operacions de destria i recollida selectiva dels residus a l'obra er espais reservats pels següents residus

		R.D. 105/2008	**projecte***
Inerts	Contenidor per Formigó	no	no
	Contenidor per Ceràmics (maons,teules...)	no	no
No especials	Contenidor per Metalls	si	si
	Contenidor per Fustes	si	si
	Contenidor per Plàstics	si	si
	Contenidor per Vidre	no	no
	Contenidor per Paper i cartró	si	si
	Contenidor per Guixos i altres no especials	no	no
Especials	Perillosos (un contenidor per cada tipus de residu especial)	si	si

* A la cel·la **projecte** apareix per defecte el que determina com obligatori la legislació. Es permet la posibilitat d'incrementar les fraccions que se separen, per poder-ne millorar **separar si el R.D. ho obliga.**

AJUNTAMENT D'OLERDOLA
Aquest document és una còpia simple del document electrònic original.

DOCUMENT
DOCUMENT REGISTRE UNIFICAT ENTRADA
ÒRGAN
SERVEIS TECNICS
REGISTRE D'ENTRADA
E2026005054
Codi Segur de Verificació:
62ffb294-fe9f-412a-95ff-e789b2359074
Origen: Administració
Identificador document: ES_L01081000_2026_28828185
Data d'impressió: 03/11/2026 13:44:57
Pàgina 217 de 247
SIGNATURES
1.- ESTEVE AYMERICH (R: J62755897), 27/07/2026 11:04

ESTUDI DE GESTIÓ DE RESIDUS

Obra nova

gestió fora obra
pressupost

GESTIÓ (fora obra) els residus es gestionaran fora d'obra a:

Degut a la manca d'espai, les operacions de separació de residus les realitzarà fora de l'obra un gestor autoritzat	-
Instal·lacions de valorització	-
Dipòsit autoritzat de terres,enderrocs i runes de la construcció (abocador)	si

Tipus de residu i Nom ,adreça i codi de gestor del residu

tipus de residu	gestor	adreça	codi del gestor

PRESSUPOST

S'ha considerat pel càlcul del pressupost estimatiu :	Costos*	
Les previsions de separació de l'apartat de **gestió** i :	Classificació a obra: entre **12-16 €/m³**	12,00
Un esponjament mig de tot tipus de residu del 35%	Transport: entre **5-8 €/m³** (mínim 100 €)	5,00
La distància mitjana al abocador : 15 Km	Gestor: runa neta (separada): entre **4-10 €/m³**	4,00
Els residus especials i perillosos en bidons de 200 litres	Gestor: runa bruta (barrejat): entre **15-25 €/m³**	15,00
Contenidors de 5 m³ per cada tipus de residu	Especials**: **nº transports** a 200 €/ transport	1
Lloguer de contenidors inclòs en el preu	Gestor terres: entre **5-15 €/m³**	5,00
La gestió de terres inclou la seva caracterització***	Gestor terres contaminades: entre **70-90 €/m³**	70,00

* Els preus recollits per l'OCT s'han obtingut dels abocadors i valoritzadors de Catalunya, que han subministrat dades (2008-2009)

** Malgrat ser de difícil quantificació, sempre hi haurà residus especials a obra, per tant sempre caldrà una previsió de **nombre de transports** per a la seva correcta gestió

*** La caracterització de terres o de qualsevol residu, permet saber amb exactitut quins elements contaminants o no, i amb quines proporcions hi són presents (din independentment del volum de terres. Cost de cada caracterització 1000 euros.)

RESIDU Excavació	Volum m³ (+20%)	Classificació 12,00 €/m³	Transport 5,00 €/m³	Valoritzador / Abocador 5,00 €/m³	 70,00 €/m³
Terres	30,60	1.661,62	153,00	275,68	
Terres contaminades	0,00	-	-		0,00
Construcció	**m³ (+35%)**			**runa neta 4,00 €/m³**	**runa bruta 15,00 €/m³**
Formigó	10,84	-	100	-	162,60
Maons, teules i ceràmics	0,00	-	-	-	0,00
Petris barrejats	0,00	-	-	-	0,00
Metalls	6,45	77,40	100	25,80	-
Fusta	2,65	31,80	100	10,60	-
Vidres	inapreciable	-	-	-	0,00
Plàstics	9,08	108,96	100	36,32	-
Paper i cartró	2,65	31,80	100	10,60	-
Guixos i altres no especials	0,00	-	-	-	-
Perillosos Especials	inapreciable				200
		1.911,58	100,00	359,00	362,60

Elements Auxiliars

Casetes d'emmagatzematge	
Compactadores	
Matxucadora de petris	
Altres tipus de contenidors (per contenir líquids, beurades de formigó, etc..)	

El pressupost estimatiu de la gestió de residus és 2.733,18 €

El volum de residus aparent és de : **48,96 m³**

El pes dels residus és de : **62,40 tones**

El pressupost de la gestió de residus és de : **2.733,18 euros**

AJUNTAMENT D'OLERDOLA
Aquest document és una còpia simple del document electrònic original.

Codi Segur de Verificació:
62ffb294-fe9f-412a-95ff-e789b2359074
Origen: Administració
Identificador document: ES_L01081000_2026_28828185
Data d'impressió: 03/11/2026 13:44:57
Pàgina 218 de 247

SIGNATURES
1.- ESTEVE AYMERICH (R: J62755897), 27/07/2026 11:04

DOCUMENTACIÓ GRÀFICA. INSTAL.LACIONS PREVISTES : TIPUS I DIMENSIONS DE CONTENIDORS DE RESIDUS PER OBRES

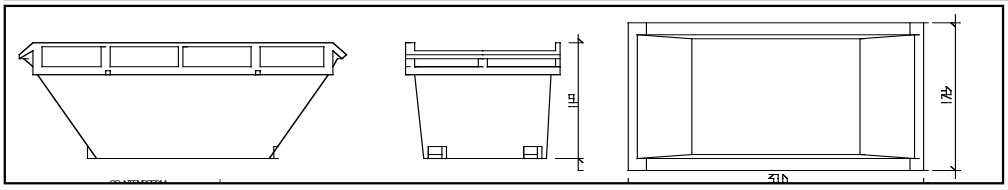

Contenidor 9 m^3 . Apte per a formigó, ceràmics, petris i fusta

unitats	1

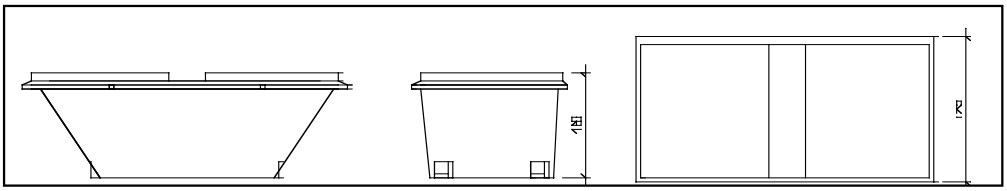

Contenidor 5 m^3 . Apte per a plàstics, paper i cartró, metalls i fusta

unitats	1

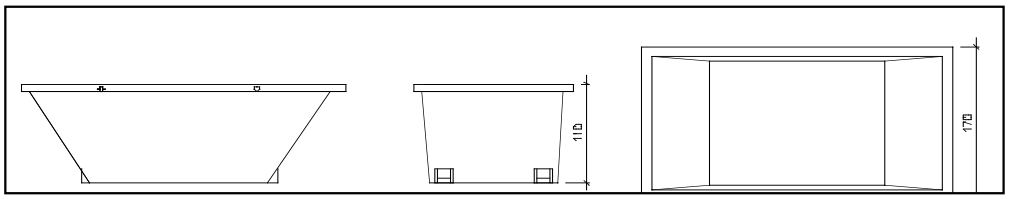

Contenidor 5 m^3 . Apte per a formigó, ceràmics, petris, fusta i metalls

unitats	1

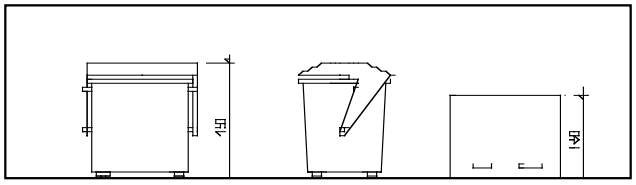

Contenidor 1000 L . Apte per a paper i cartró, plàstics

unitats	1

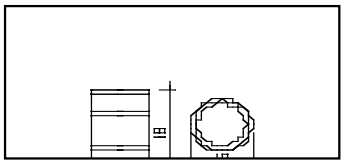

Bidó 200 L .Apte per residus especials

unitats	-

El **Reial Decret 105/2008**, estableix que cal facilitar plànols de les instal·lacions previstes per a l'emmagatzematge, maneig, sep operacions de gestió dels residus dins l'obra, si s'escau.

Donada la tipologia del projecte i per tal de no duplicar informació, aquests plànols d'instal·lacions previstes són a:

Estudi de Seguretat i Salut	-
Annex 1 d'aquest Estudi de Gestió de Residus	-

Posteriorment aquests plànols poden ser objecte d'adaptació a les característiques particulars de l'obra i els seus sistemes d'execuci de la direcció facultativa.

A més dels elements descrits, tal i com consta al pressupost, a l'obra hi haurà altres instal.lacions com :

Casetes d'emmagatzematge	-
Compactadores	-
Matxucadora de petris	-
Altres tipus de contenidors (per contenir líquids, beurades de formigó, etc..)	-
	-
	-

AJUNTAMENT D'OLERDOLA
Aquest document és una còpia simple del document electrònic original.

DOCUMENT
DOCUMENT REGISTRE UNIFICAT ENTRADA
ÒRGAN
SERVEIS TECNICS
REGISTRE D'ENTRADA
E2026005054
Codi Segur de Verificació:
62ffb294-fe9f-412a-95ff-e789b2359074
Origen: Administració
Identificador document: ES_L01081000_2026_28828185
Data d'impressió: 03/11/2026 13:44:57
Pàgina 219 de 247
SIGNATURES
1.- ESTEVE AYMERICH (R: J62755897), 27/07/2026 11:04

Les operacions destinades a la tria, classificació, transport i disposició dels residus generats a obra, s'ajustaran al que determina el Pla
Residus elaborat pel Contractista, aprovat per la Direcció Facultativa i acceptat per la Propietat.

Aquest Pla ha estat elaborat en base al Estudi de Gestió de Residus, que s'inclou al projecte.

Si degut a modificacions en l'execució de l'obra o d'altres, cal fer modificacions a la gestió en obra dels residus, aquestes modificacio
documentaran per escrit i seran aprovades, si s'escau, per la Direcció Facultativa i se'n donarà comunicació per a la se
Propietat.

AJUNTAMENT D'OLERDOLA
Aquest document és una còpia simple del document electrònic original.

DOCUMENT
DOCUMENT REGISTRE UNIFICAT ENTRADA
ÒRGAN
SERVEIS TECNICS
REGISTRE D'ENTRADA
E2026005054

Codi Segur de Verificació:
62ffb294-fe9f-412a-95ff-e789b2359074
Origen: Administració
Identificador document: ES_L01081000_2026_28828185
Data d'impressió: 03/11/2026 13:44:57
Pàgina 220 de 247

SIGNATURES
1.- ESTEVE AYMERICH (R: J62755897), 27/07/2026 11:04

FIANÇA

FIANÇA MUNICIPAL SEGONS DECRET 89/2010

Per les característiques del projecte, de com s'executarà l'obra i donades les operacions de minimització abans descrites, el càlcul inic
generació de residus, a efectes del càlcul de la fiança, s'estima que es podrà reduir en un percentatge del:

	Previsió inicial del Estudi	Percentatge de reducció per minimització	Previsió final del Estudi
Total excavació	53,55 tones		**-75,7 tones**
Total construcció	138,1 tones	50,0 %	**69,0 tones**

Si per les previsions del Pla de gestió de residus (que ha d'elaborar el contractista), es modifiquen les previsions de generació de residu

de modificació dels procediments de treball o en l'execució de les obres, aquest document s'actualitzarà i les noves dc

L'Ajuntament d'/de **OLÈRDOLA**

Càlcul de la fiança

Residus de excavació *	53,55 tones	11 euros/ tona	589,0 euros
Residus de construcció *	62,40 tones	11 euros/ tona	686,4 euros
		PES TOTAL DELS RESIDU	**116 tones**
		Total fiança	**1.275,45 euros**

* Trasvassar les dades dels totals d' excavació i construcció de la Previssió final de L'Estudi (apartat superior)

AJUNTAMENT D'OLERDOLA
Aquest document és una còpia simple del document electrònic original.

DOCUMENT
DOCUMENT REGISTRE UNIFICAT ENTRADA
ÒRGAN
SERVEIS TECNICS
REGISTRE D'ENTRADA
E2026005054
Codi Segur de Verificació:
62ffb294-fe9f-412a-95ff-e789b2359074
Origen: Administració
Identificador document: ES_L01081000_2026_28828185
Data d'impressió: 03/11/2026 13:44:57
Pàgina 221 de 247
SIGNATURES
1.- ESTEVE AYMERICH (R: J62755897), 27/07/2026 11:04

MT4. DADES DE L'OBRA

AJUNTAMENT D'OLERDOLA
Aquest document és una còpia simple del document electrònic original.

DOCUMENT
DOCUMENT REGISTRE UNIFICAT ENTRADA
ÒRGAN
SERVEIS TECNICS
REGISTRE D'ENTRADA
E2026005054
Codi Segur de Verificació:
62ffb294-fe9f-412a-95ff-e789b2359074
Origen: Administració
Identificador document: ES_L01081000_2026_28828185
Data d'impressió: 03/11/2026 13:44:57
Pàgina 222 de 247
SIGNATURES
1.- ESTEVE AYMERICH (R: J62755897), 27/07/2026 11:04

Manifestació d'obra completa

Els consultors externs, autors d'aquest projecte, Esteve Aymerich, Inés de Rivera i Ton Salvadó, manifesten expressament que el document de Projecte Bàsic i Executiu del Cobriment de la Pista Esportiva de Sant Pere Molanta, contempla una obra completa subsceptible d'ésser lliurada al públic, d'acord amb els articles 13 i 14 del Reglament d'obres, activitats i serveis dels ens locals (Decret 179/95 del 13 de juny).

AJUNTAMENT D'OLERDOLA
Aquest document és una còpia simple del document electrònic original.

DOCUMENT
DOCUMENT REGISTRE UNIFICAT ENTRADA
ÒRGAN
SERVEIS TECNICS
REGISTRE D'ENTRADA
E2026005054
Codi Segur de Verificació:
62ffb294-fe9f-412a-95ff-e789b2359074
Origen: Administració
Identificador document: ES_L01081000_2026_28828185
Data d'impressió: 03/11/2026 13:44:57
Pàgina 223 de 247
SIGNATURES
1.- ESTEVE AYMERICH (R: J62755897), 27/07/2026 11:04

Classificació del contratista

La categoria del contractista la determinarà l'Ajuntament d'Olèrdola en el plec de clàusules per a la contractació de l'obra.

AJUNTAMENT D'OLERDOLA
Aquest document és una còpia simple del document electrònic original.

DOCUMENT
DOCUMENT REGISTRE UNIFICAT ENTRADA
ÒRGAN
SERVEIS TECNICS
REGISTRE D'ENTRADA
E2026005054
Codi Segur de Verificació:
62ffb294-fe9f-412a-95ff-e789b2359074
Origen: Administració
Identificador document: ES_L01081000_2026_28828185
Data d'impressió: 03/11/2026 13:44:57
Pàgina 224 de 247
SIGNATURES
1.- ESTEVE AYMERICH (R: J62755897), 27/07/2026 11:04

Termini d'execució de les obres

El termini previst per a l'execució de l'obra complerta del Cobriment de la Pista Coberta de Sant Pere Molanta, és d'un total de SIS MESOS

AJUNTAMENT D'OLERDOLA
Aquest document és una còpia simple del document electrònic original.

DOCUMENT
DOCUMENT REGISTRE UNIFICAT ENTRADA
ÒRGAN
SERVEIS TECNICS
REGISTRE D'ENTRADA
E2026005054
Codi Segur de Verificació:
62ffb294-fe9f-412a-95ff-e789b2359074
Origen: Administració
Identificador document: ES_L01081000_2026_28828185
Data d'impressió: 03/11/2026 13:44:57
Pàgina 225 de 247
SIGNATURES
1.- ESTEVE AYMERICH (R: J62755897), 27/07/2026 11:04

MT5. ANNEX

AJUNTAMENT D'OLERDOLA
Aquest document és una còpia simple del document electrònic original.

DOCUMENT
DOCUMENT REGISTRE UNIFICAT ENTRADA
ÒRGAN
SERVEIS TECNICS
REGISTRE D'ENTRADA
E2026005054
Codi Segur de Verificació:
62ffb294-fe9f-412a-95ff-e789b2359074
Origen: Administració
Identificador document: ES_L01081000_2026_28828185
Data d'impressió: 03/11/2026 13:44:57
Pàgina 226 de 247
SIGNATURES
1.- ESTEVE AYMERICH (R: J62755897), 27/07/2026 11:04

Pla de Control de qualitat

El contingut del Pla de Control segons el CTE és el següent:

1.- Prescripcions sobre els materials. (CONTROL DE RECEPCIÓ EN OBRA)

- Característiques tècniques que han de reunir els productes, equips i sistemes que s'utilitzin en les obres, així com els condicionants del seu subministrament, recepció i conservació, emmagatzematge i manipulació, les garanties de qualitat i el control de recepció que s'hagi de realitzar incloent el mostreig del producte, els assaigs a realitzar, els criteris d'acceptació i rebuig, i les accions a adoptar i els criteris d'ús, conservació i manteniment.

2.- Prescripcions en quan a l'execució per unitats d'obra. (CONTROL D'EXECUCIÓ)

- Característiques tècniques de cada unitat d'obra indicant el seu procés d'execució, normes d'aplicació, condicions que han de complir-se abans de la seva realització, toleràncies admissibles, condicions d'acabat, conservació i manteniment, control d'execució, assaigs i proves, garanties de qualitat, criteris d'acceptació i rebuig.

3.- Prescripcions sobre verificacions en l'edifici acabat. (CONTROL DE L'OBRA ACABADA)

- S'indicaran les verificacions i proves de servei que s'hagin de realitzar per comprovar les prestacions finals de l'edifici.

Així doncs, podem dir que el Pla de Control de Materials i Execució d'obra ha de generar diversos tipus de controls, que són els següents:

Pels materials.

A1.- INSPECCIONS: Controls de recepció en obra de productes, equips i sistemes.
Tenen per objecte comprovar que les característiques tècniques dels productes, equips i sistemes subministrats satisfan el que s'exigeix en projecte.
Es faran a partir de:

- El control de la documentació dels subministrament, que com a mínim contindrà els següents documents:
Documents d'origen, full de subministrament i etiquetat.
Certificat de garantia del fabricant
Documents de conformitat o autoritzacions administratives, inclòs el marcat CE.

- El control mitjançant distintius de qualitat o avaluacions tècniques d'idoneïtat.

A2. ASSAIGS: Comprovació de característiques de materials segons el que estableix la reglamentació vigent. S'efectuarà d'acord amb els criteris establerts en el projecte o indicats per la DF.

Unitats d'obra.

B1. VERIFICACIONS. Operacions de control d'execució d'unitats d'obra. Es comprovarà l'adequació i conformitat amb el projecte.

B2. PROVES DE SERVEI. Assaigs de funcionament de sistemes complerts d'obra, un cop finalitzada aquesta. Seran les previstes en projecte o les ordenades per la DF i exigides per la legislació aplicable.

AJUNTAMENT D'OLERDOLA
Aquest document és una còpia simple del document electrònic original.

DOCUMENT
DOCUMENT REGISTRE UNIFICAT ENTRADA
ÒRGAN
SERVEIS TECNICS
REGISTRE D'ENTRADA
E2026005054
Codi Segur de Verificació:
62ffb294-fe9f-412a-95ff-e789b2359074
Origen: Administració
Identificador document: ES_L01081000_2026_28828185
Data d'impressió: 03/11/2026 13:44:57
Pàgina 227 de 247
SIGNATURES
1.- ESTEVE AYMERICH (R: J62755897), 27/07/2026 11:04

Passem tot seguit a enumerar les proves i controls mínimes que caldrà realitzar per tal de complir amb el que estableix el CTE en relació al Control de Materials i Execució, així com amb el Decret 375/88 de la Generalitat de Catalunya. En el Plec de Condicions es detallen amb més concreció els controls a realitzar.

LLISTAT MÍNIM DE PROVES I CONTROLS A REALITZAR.

1. SUBSISTEMA MOVIMENT DE TERRES.

- Excavació:
- Control de moviments de l'excavació.
- Control del material de replè i del grau de compactat.

- Gestió de l'aigua:
- Control del nivell freàtic.
- Anàlisi de les inestabilitats de les estructures soterrades a causa trencaments hidràulics.

- Millora o reforç del terreny:
- Control de las propietats del terreny posteriorment a la millora.

- Ancoratges al terreny:
- Segons norma UNE EN 1537:2001

2. SUBSISTEMA SOTA-RASSANT FONAMENTS.

2.1.- DADES PREVIES I DE MATERIALS.

- Estudi geotècnic.
- Anàlisi de les aigües, sempre que hi hagi indici que aquestes puguin ser àcides, salines o d'agressivitat potencial.
- Control geomètric del replanteig i nivell de la fonamentació. Fixació de les toleràncies segons DB SE C "Seguridad Estructural Cimientos".
- Control del formigó armat segons EHE "EHE Instrucción de Hormigón Estructural y DB SE C Seguridad Estructural Cimientos". (Veure apartat 3)
- Control de fabricació i transport del formigó armat. (Veure apartat 3)

3. SUBSISTEMA ESTRUCTURES DE FORMIGÓ ARMAT. EHE.

3.1 CONTROL DE MATERIALS

Control dels components del formigó segons EHE, la Instrucció per a la Recepció de Ciments, els Segells de Control o Marques de Qualitat i el Plec de Prescripcions Tècniques Particulars:
Ciment (Decret 375/88 de la Generalitat)
Aigua per pastar (Decret 375/88 de la Generalitat)
Àrids (Decret 375/88 de la Generalitat)
Altres components (abans de l'inici de l'obra)
Additius per a formigó (Decret 375/88 de la Generalitat)
Addicions per elaborar formigó: Cendres volants (Decret 375/88 de la Generalitat)
Addicions per elaborar formigó: Fum de sílice (Decret 375/88 de la Generalitat)

Pel formigó fet en obra (Decret 375/88 de la Generalitat)

Control de qualitat del formigó segons EHE i el Plec de Prescripcions Tècniques Particulars:

AJUNTAMENT D'OLERDOLA
Aquest document és una còpia simple del document electrònic original.

DOCUMENT
DOCUMENT REGISTRE UNIFICAT ENTRADA
ÒRGAN
SERVEIS TECNICS
REGISTRE D'ENTRADA
E2026005054
Codi Segur de Verificació:
62ffb294-fe9f-412a-95ff-e789b2359074
Origen: Administració
Identificador document: ES_L01081000_2026_28828185
Data d'impressió: 03/11/2026 13:44:57
Pàgina 228 de 247
SIGNATURES
1.- ESTEVE AYMERICH (R: J62755897), 27/07/2026 11:04

Resistència (Decret 375/88 de la Generalitat)
Consistència (Decret 375/88 de la Generalitat)
Durabilitat (Decret 375/88 de la Generalitat)
Pel formigó fet en obra (Decret 375/88 de la Generalitat)

Assaigs de control del formigó:
(Decret 375/88 de la Generalitat)
Modalitat 1: Control a nivell reduït
Modalitat 2: Control al 100 %
Modalitat 3: Control estadístic del formigó
Assaigs d'informació complementaria (en els casos contemplats per la EHE en els articles 72º i 75º i en 88.5, o quan així s'indiqui en el Plec de Prescripcions Tècniques Particulars).

Pel formigó fet en obra (Decret 375/88 de la Generalitat)

Control de qualitat de l'acer:
(Decret 375/88 de la Generalitat)
Control a nivell reduït:
Només per armadures passives.
Control a nivell normal:
S'ha de realitzar tant per armadures actives com a passives.
És l'únic vàlid per a formigó pretesat.
Tant per productes certificats com pels que no ho siguin, els resultats de control de l'acer han de ser coneguts abans de formigonar.
Comprovació de soldabilitat:
En el cas d'existir empalmes per soldadura

Altres controls:
Control de dispositius d'ancoratge i empalmes de soldadures posttesades.
Control de les beines i accessoris per les armadures de pretesat.
Control dels equips de tesat.
Control dels productes d'injecció.

3.2 CONTROL DE LA EXECUCIÓ

Nivells del control de l'execució:
(Decret 375/88 de la Generalitat)

Control d'execució a nivell reduït:
Una inspecció per cada lot en que s'ha dividit l'obra.
Control de recepció a nivell normal:
Existència de control extern.
Dues inspeccions per cada lot en que s'ha dividit l'obra.
Control d'execució a nivell intens:
Sistema de qualitat propi del constructor.
Existència de control extern.
Tres inspeccions per lot en que s'ha dividit l'obra.

Fixació de toleràncies d'execució.

Altres controls:
Control del tesat de les armadures actives.
Control d'execució de la injecció.
Assaigs d'informació complementària de l'estructura (proves de càrrega i d'altres assaigs no destructius)

AJUNTAMENT D'OLERDOLA
Aquest document és una còpia simple del document electrònic original.

DOCUMENT
DOCUMENT REGISTRE UNIFICAT ENTRADA
ÒRGAN
SERVEIS TECNICS
REGISTRE D'ENTRADA
E2026005054
Codi Segur de Verificació:
62ffb294-fe9f-412a-95ff-e789b2359074
Origen: Administració
Identificador document: ES_L01081000_2026_28828185
Data d'impressió: 03/11/2026 13:44:57
Pàgina 229 de 247
SIGNATURES
1.- ESTEVE AYMERICH (R: J62755897), 27/07/2026 11:04

4. SUBSISTEMA DE SOSTRES PREFABRICATS (Decret 375/88 de la Generalitat)

Control de la qualitat de la documentació del projecte:
El projecte defineix i justifica la solució estructural aportada.

Control de qualitat dels materials:
(Decret 375/88 de la Generalitat)

Certificat de qualitat de biguetes, entrebigat i del conjunt del sistema.

Recepció de materials:
(Decret 375/88 de la Generalitat)

Control de la correspondència entre la comanda i el subministrament mitjançant la comprovació de l'albarà.
Comprovació de l'autorització d'ús per cada sistema de sostre.
Es sol·licitarà, per cada sistema de sostre, la justificació documental del fabricant que justifiqui l'autorització d'ús. No caldrà fer aquesta comprovació si el sistema de sostre te un distintiu de qualitat oficialment reconegut.
Control del gravat del codi d'identificació de cada bigueta.
Control del bon estat aparent de les peces d'entrebigat.
Verificacions de les característiques geomètriques reflectides en l'autorització d'ús.
Comprovació de la compatibilitat entre biguetes i peces d'entrebigat.

Control de qualitat de muntatge i execució:
(Decret 375/88 de la Generalitat)

Control de l'apuntalament
Control de col·locació de les biguetes i revoltons
Control de la col·locació de les armadures
Control de l'abocat, compactació i curat del formigó
Control del desapuntalament

Control de qualitat de l'obra acabada
(Decret 375/88 de la Generalitat)

Control de nivells i replanteig
Control de fletxes, contrafletxes i toleràncies.

5. SUBSISTEMA ESTRUCTURES D'ACER. DB SE A.

Control de la qualitat de la documentació del projecte:
El projecte defineix i justifica la solució estructural aportada.

Control de qualitat dels materials:
(Decret 375/88 de la Generalitat)

Certificat de qualitat del material.
Procediment de control mitjançant assaigs per materials que presentin característiques no avalades pel certificat de qualitat.
Procediment de control mitjançant l'aplicació de normes o recomanacions de prestigi reconegut per materials singulars.

Control de qualitat de la fabricació:
(Decret 375/88 de la Generalitat)

AJUNTAMENT D'OLERDOLA
Aquest document és una còpia simple del document electrònic original.

DOCUMENT
DOCUMENT REGISTRE UNIFICAT ENTRADA
ÒRGAN
SERVEIS TECNICS
REGISTRE D'ENTRADA
E2026005054
Codi Segur de Verificació:
62ffb294-fe9f-412a-95ff-e789b2359074
Origen: Administració
Identificador document: ES_L01081000_2026_28828185
Data d'impressió: 03/11/2026 13:44:57
Pàgina 230 de 247
SIGNATURES
1.- ESTEVE AYMERICH (R: J62755897), 27/07/2026 11:04

Control de la documentació de taller segons la documentació del projecte, que ha d'incloure:
Memòria de fabricació
Plànols de taller
Pla de punts d'inspecció
Control de qualitat de la fabricació:
Ordre de les operacions i utilització d'eines adequades
Qualificació del personal
Sistema de traçat adient

Control de qualitat de muntatge:
Control de qualitat de la documentació de muntatge:
Memòria de muntatge
Plans de muntatge
Pla de punts d'inspecció
Control de qualitat del muntatge

6. SUBSISTEMA ESTRUCTURES D'OBRA DE FÀBRICA

Recepció de materials:
(Decret 375/88 de la Generalitat)

Peces:
Declaració del fabricant sobre la resistència i la categoria (categoria I o categoria II) de las peces.
Sorres
Ciments i cal
Morters secs preparats i formigons preparats
Comprovació de dosificació y resistència

Control de fàbrica:
(Decret 375/88 de la Generalitat)

Tres categories d'execució:
Categoria A: peces i morter amb certificació d'especificacions, fàbrica amb assaigs previs i control diari d'execució.
Categoria B: peces (llevat succió, retracció i expansió per humitat) i morter amb certificació d'especificacions i control diari d'execució.
Categoria C: no compleix algun dels requisits de B.

Morters i formigons de replè
(Decret 375/88 de la Generalitat)

Control de dosificació, barreja i posada en obra

Armadura:
(Decret 375/88 de la Generalitat)

Control de recepció i posada en obra

Protecció de fàbriques en execució:
(Decret 375/88 de la Generalitat)

Protecció contra danys físics
Protecció de la coronació
Manteniment de la humitat

AJUNTAMENT D'OLERDOLA
Aquest document és una còpia simple del document electrònic original.

DOCUMENT
DOCUMENT REGISTRE UNIFICAT ENTRADA
ÒRGAN
SERVEIS TECNICS
REGISTRE D'ENTRADA
E2026005054
Codi Segur de Verificació:
62ffb294-fe9f-412a-95ff-e789b2359074
Origen: Administració
Identificador document: ES_L01081000_2026_28828185
Data d'impressió: 03/11/2026 13:44:57
Pàgina 231 de 247
SIGNATURES
1.- ESTEVE AYMERICH (R: J62755897), 27/07/2026 11:04

Protecció contra gelades
Trava temporal
Limitació de l'alçada d'execució per dia

7. SUBSISTEMA ESTRUCTURES DE FUSTA

Subministrament i recepció dels productes:
Identificació del subministrament amb caràcter general:
Nom i adreça de l'empresa subministradora i del taller de serrat o fàbrica.
Data i quantitat del subministra
Certificat d'origen i distintiu de qualitat del producte
Identificació del subministra amb caràcter específic:
-Fusta serrada:
Espècie botànica i classe resistent.
Dimensions nominals
Contingut d'humitat
-Tauler:
Tipus de tauler estructural.
Dimensions nominals
-Element estructural de fusta encolada:
Tipus d'element estructural i classe resistent
Dimensions nominals
Marcat
-Elements realitzats a taller:
Tipus d'element estructural i declaració de capacitat portant, indicant condicions de recolzament
Dimensions nominals
Fusta i productes de la fusta tractats amb elements protectors:
Certificat del tractament aplicat, espècie de la fusta, protector emprat i núm. de registre, mètode d'aplicació, categoria del risc cobert, data del tractament, precaucions en front a mecanitzacions posteriors i informacions complementàries.
-Elements mecànics de fixació:
Tipus de fixació
Resistència a tracció de l'acer
Protecció front a la corrosió
Dimensions nominals
Declaració de valors característics de resistència a l'aixafament i moment plàstic per a unions fusta-fusta, fusta-tauler i fusta-acer.

Control de recepció en obra:
Comprovacions amb caràcter general:
Aspecte general del subministrament
Identificació del producte
Comprovacions amb caràcter específic:
-Fusta serrada
Espècie botànica
Classe resistent
Toleràncies en les dimensions
Contingut d'humitat
-Taulers:
Propietats de resistència, rigidesa y densitat
Toleràncies en les dimensions
-Elements estructurals de fusta laminada encolada:
Classe resistent
Toleràncies en les dimensions
-Altres elements estructurals realitzats en taller:
Tipus
Propietats

AJUNTAMENT D'OLERDOLA
Aquest document és una còpia simple del document electrònic original.

DOCUMENT
DOCUMENT REGISTRE UNIFICAT ENTRADA
ÒRGAN
SERVEIS TECNICS
REGISTRE D'ENTRADA
E2026005054
Codi Segur de Verificació:
62ffb294-fe9f-412a-95ff-e789b2359074
Origen: Administració
Identificador document: ES_L01081000_2026_28828185
Data d'impressió: 03/11/2026 13:44:57
Pàgina 232 de 247
SIGNATURES
1.- ESTEVE AYMERICH (R: J62755897), 27/07/2026 11:04

Toleràncies dimensionals
Planeïtat
Contrafletxes
-Fusta i productes derivats de la fusta tractats amb productes protectors:
Certificació del tractament
-Elements mecànics de fixació:
Certificació del material
Tractament de protecció
-Criteri de no acceptació del producte

8. TANCAMENTS I PARTICIONS

Control de qualitat de la documentació del projecte:
El projecte defineix i justifica la solució de l'aïllament aportada.

Subministra i recepció de productes:
Es comprovarà la existència de marcat CE.

Control d'execució en obra:
Execució d'acord amb les especificacions de projecte.
Es tindrà cura en les trobades dels diferents elements i, especialment, a la execució dels possibles ponts tèrmics integrats en els tancaments.
Posada en obra d'aïllaments tèrmics (posició, dimensions i tractament de punts singulars)
Posició i garantia de continuïtat en la col·locació de la barrera de vapor.
Fixació d'elements de fusteria per a garantir la estanqueïtat al pas d'aire i l'aigua.

9. INSTAL·LACIONS DE PROTECCIÓ I AÏLLAMENTS CONTRA INCENDIS

Control de qualitat de la documentació del projecte:
(Decret 375/88 de la Generalitat)

El projecte defineix i justifica la solució de protecció contra incendis aportada, justificant de manera expressa el compliment del "Documento Básico DB SI Seguridad en Caso de Incendio".

Subministra i recepció de productes:
(Decret 375/88 de la Generalitat)

Es comprovarà la existència de marcat CE.
Els productes s'ajustaran a les especificacions del projecte que aplicarà el que es recull en el "REAL DECRETO 312/2005", de 18 de març, pel què s'aprova la classificació dels productes de construcció i dels elements constructius en funció de les seves propietats de reacció i de resistència front al foc.

Control d'execució en obra:
(Decret 375/88 de la Generalitat)

Execució d'acord a les especificacions de projecte.
Verificació de les dades de la central de detecció d'incendis.
Comprovar característiques dels detectors, polsadors i elements de la instal·lació, així com la seva ubicació i muntatge.
Comprovar instal·lació i traçat de línies elèctriques, comprovant la seva alineació i subjecció.
Verificar la xarxa de canonades d'alimentació als equips de manega i sprinklers: característiques i muntatge.
Comprovar equips de manegues i sprinklers: característiques, ubicació y muntatge.
Prova hidràulica de la xarxa de manegues i sprinklers.
Prova de funcionament dels detectors i de la central.
Comprovar funcionament del bus de comunicació amb el lloc central.

AJUNTAMENT D'OLERDOLA
Aquest document és una còpia simple del document electrònic original.

DOCUMENT
DOCUMENT REGISTRE UNIFICAT ENTRADA
ÒRGAN
SERVEIS TECNICS
REGISTRE D'ENTRADA
E2026005054
Codi Segur de Verificació:
62ffb294-fe9f-412a-95ff-e789b2359074
Origen: Administració
Identificador document: ES_L01081000_2026_28828185
Data d'impressió: 03/11/2026 13:44:57
Pàgina 233 de 247
SIGNATURES
1.- ESTEVE AYMERICH (R: J62755897), 27/07/2026 11:04

10. SUBSISTEMES D'AILLAMENTS TÈRMICS I ACÚSTICS
(Decret 375/88 de la Generalitat)

Subministrament i recepció de productes:
Etiqueta identificativa indicant la classe de producte, el tipus i els espessors.
Els materials que vingui avalats per Segells o Marques de Qualitat haurien de tenir la garantia per part del fabricant del compliment dels requisits i característiques mínimes exigides pel CTE.
Les fibres minerals duran el segell INCE i ASTM-C-167 indicant les seves característiques dimensionals i la seva densitat aparent.

Control d'execució en obra:
Execució d'acord a les especificacions de projecte.
Tots els elements s'ajustaran al descrit en el DB HE 1.
L'element haurà d'anar protegit.
Caldrà evitar el pont tèrmic/acústic.
Control de la ventilació de la cambra si n'hi hagués.

11. SUBSISTEMES DE PROTECCIÓ FRONT A LA HUMITAT

Control de qualitat de la documentació del projecte:
El projecte defineix i justifica la solució d'aïllament aportada.

Subministrament i recepció de productes:
Es comprovarà l'existència de marcat CE.

Control d'execució en obra:
Execució d'acord a les especificacions de projecte.
Tots els elements s'ajustaran al descrit en el DB HS "Salubridad", en la secció HS 1 "Protección frente a la Humedad".
Es realitzaran proves d'estanqueïtat en la coberta.

12. SUBSISTEMA DE CONTROL AMBIENTAL. INSTAL·LACIONS TÈRMIQUES DE CALEFACCIÓ

Control de qualitat de la documentació del projecte:
El projecte defineix i justifica la solució d'aïllament aportada, justificant de manera expressa el compliment del "Reglamento de Instalaciones Térmicas (RITE)".

Subministra i recepció de productes:
Es comprovarà la existència de marcat CE.

Control d'execució en obra:
Execució d'acord a les especificacions de projecte.
Muntatge de canonada i passatubs segons especificacions.
Característiques i muntatge dels conductes d'evacuació de fums.
Característiques i muntatge de les calderes.
Característiques i muntatge dels terminals.
Característiques i muntatge dels termòstats.
Proves parcials d'estanqueïtat de zones ocultes. La pressió de prova no ha de variar, al menys, en 4 hores.
Prova final d'estanqueïtat (caldera connexionada i connectada a la xarxa de fontaneria). La pressió de prova no ha de variar, al menys, en 4 hores.

AJUNTAMENT D'OLERDOLA
Aquest document és una còpia simple del document electrònic original.

DOCUMENT
DOCUMENT REGISTRE UNIFICAT ENTRADA
ÒRGAN
SERVEIS TECNICS
REGISTRE D'ENTRADA
E2026005054
Codi Segur de Verificació:
62ffb294-fe9f-412a-95ff-e789b2359074
Origen: Administració
Identificador document: ES_L01081000_2026_28828185
Data d'impressió: 03/11/2026 13:44:57
Pàgina 234 de 247
SIGNATURES
1.- ESTEVE AYMERICH (R: J62755897), 27/07/2026 11:04

13. SUBSISTEMA DE CONTROL AMBIENTAL. INSTAL·LACIONS DE CLIMATITZACIÓ

Control de qualitat de la documentació del projecte:
El projecte defineix i justifica la solució de climatització aportada.

Subministrament i recepció de productes:
Es comprovarà la existència de marcat CE.

Control d'execució en obra:
Execució d'acord a les especificacions de projecte.
Replanteig i ubicació de maquines.
Replanteig i traçat de canonades i conductes.
Verificar característiques de maquines climatitzadores, fan-coils i refredadores.
Comprovar muntatge de canonades i conductes, així com alineació i distància entre suports.
Verificar característiques i muntatge dels elements de control.
Proves de pressió hidràulica.
Aïllament en canonades, comprovació de gruixos i característiques del material d'aïllament.
Prova de xarxes de desguàs de climatitzadors i fan-coils.
Connexió a quadres elèctrics.
Proves de funcionament (hidràulica i aire).
Proves de funcionament elèctric.

14. SUBSISTEMA SUMINISTRES. INSTAL·LACIONS DE FONTANERIA

Control de qualitat de la documentació del projecte:
El projecte defineix i justifica la solució de fontaneria aportada.

Subministrament i recepció de productes:
Es comprovarà l'existència de marcat CE.

Control d'execució en obra:
Execució d'acord a les especificacions de projecte.
Punt de connexió amb la xarxa general i escomesa
Instal·lació general interior: característiques de canonades i de vàlvules.
Protecció i aïllament de canonades tant encastades com vistes.

Proves de les instal·lacions:
Prova de resistència mecànica i estanqueïtat parcial. La pressió de prova no ha variar en, al menys, 4 hores.
Prova d'estanqueïtat i de resistència mecànica global. La pressió de prova no ha variar en, al menys, 4 hores.
Proves particulars en las instal·lacions de Aigua Calent Sanitària:

- Mesura de cabdal i temperatura en els punts d'aigua
- Obtenció del cabdal exigit a la temperatura fixada un cop obertes les aixetes estimades en funcionament simultani.
- Temps de sortida de l'aigua a la temperatura de funcionament.
- Mesura de temperatures a la xarxa.
- Amb l'acumulador a regim comprovació de les temperatures del mateix, en la seva sortida i en les aixetes.
- Identificació d'aparells sanitaris i aixetes.
- Col·locació d'aparells sanitaris (es comprovarà l'anivellació, la subjecció i la connexió).
- Funcionament d'aparells sanitaris i aixetes (es comprovarà les aixetes, les cisternes i el funcionament dels desguassos).
- Prova final de tota la instal·lació durant 24 hores.

AJUNTAMENT D'OLERDOLA
Aquest document és una còpia simple del document electrònic original.

DOCUMENT
DOCUMENT REGISTRE UNIFICAT ENTRADA
ÒRGAN
SERVEIS TECNICS
REGISTRE D'ENTRADA
E2026005054
Codi Segur de Verificació:
62ffb294-fe9f-412a-95ff-e789b2359074
Origen: Administració
Identificador document: ES_L01081000_2026_28828185
Data d'impressió: 03/11/2026 13:44:57
Pàgina 235 de 247
SIGNATURES
1.- ESTEVE AYMERICH (R: J62755897), 27/07/2026 11:04

15. SUBSISTEMA SUMINISTRES. INSTAL·LACIONS DE GAS

Control de qualitat de la documentació del projecte:
El projecte defineix i justifica la solució de gas aportada.

Subministra i recepció de productes:
Es comprovarà la existència de marcat CE.

Control d'execució en obra:
Execució d'acord a las especificacions de projecte.
Canonada d'escomesa a l'armari de regulació (diàmetre i estanqueïtat).
Passos de murs y forjats (col·locació de passatubs i vaines).
Verificació de l'armari de comptadores (dimensiones, ventilació, etc.).
Distribució interior canonada.
Distribució exterior canonada.
Vàlvules i característiques de muntatge.
Prova d'estanqueïtat i resistència mecànica.

16. SUBSISTEMA EVAQÜACIÓ. INSTAL·LACIONS DE SANEJAMENT

Control de qualitat de la documentació del projecte:
El projecte defineix i justifica la solució de les instal·lacions d'evacuació d'aigües residuals.

Subministrament i recepció de productes:
Es comprovarà la existència de marcat CE.

Control d'execució en obra:
Execució de acord a las especificacions de projecte.
Comprovació de vàlvules de desguàs.
Comprovació de muntatge dels sifons individuals i pots sifònics.
Comprovació de muntatge de canals i embornals.
Comprovació del pendent dels canals.
Verificar execució de xarxes de petita evacuació.
Comprovació de baixants i xarxa de ventilació.
Verificació de la xarxa horitzontal penjada i la soterrada (arquetes i pous).
Verificació dels dipòsits de recepció i d'elevació i control.
Prova estanqueïtat parcial.
Prova d'estanquitat total.
Prova amb aigua.
Prova amb aire.
Prova amb fum.

17. SUBSISTEMA EVAQÜACIÓ. INSTAL·LACIONS D'EXTRACCIÓ DE FUMS I GASOS.

Control de qualitat de la documentació del projecte:
El projecte defineix i justifica la solució d'extracció aportada.

Subministrament i recepció de productes:
Es comprovarà l'existència de marcat CE.

Control d'execució en obra:
Execució d'acord a les especificacions de projecte.
Comprovació de ventiladors, característiques i ubicació.
Comprovació de muntatge de conductes i reixes.
Proves d'estanqueïtat d'unions de conductes.
Prova de mesura d'aire.
Proves afegides a realitzar en el sistema d'extracció de garatges:

AJUNTAMENT D'OLERDOLA
Aquest document és una còpia simple del document electrònic original.

DOCUMENT
DOCUMENT REGISTRE UNIFICAT ENTRADA
ÒRGAN
SERVEIS TECNICS
REGISTRE D'ENTRADA
E2026005054
Codi Segur de Verificació:
62ffb294-fe9f-412a-95ff-e789b2359074
Origen: Administració
Identificador document: ES_L01081000_2026_28828185
Data d'impressió: 03/11/2026 13:44:57
Pàgina 236 de 247
SIGNATURES
1.- ESTEVE AYMERICH (R: J62755897), 27/07/2026 11:04

Ubicació de central de detecció de CO en el sistema de extracció dels garatges.
Comprovació de muntatge i accionament front la presència de fum.
Proves i posada en marxa (manual i automàtica).

18. SUBSISTEMA CONNEXIONS. INSTAL·LACIONS ELÈCTRIQUES

Control de qualitat de la documentació del projecte:
El projecte defineix i justifica la solució elèctrica aportada, justificant de manera expressa el compliment del "Reglamento Electrotécnico de Baja Tensión i de les Instruccions Tècniques Complementàries.

Subministrament i recepció de productes:
Es comprovarà l'existència de marcat CE.

Control d'execució en obra:
Execució d'acord a les especificacions de projecte.
Verificar característiques de caixa transformador: envans, fonamentació-recolzaments, terres, etc.
Traçat i muntatges de línies repartidores: secció del cable i muntatge de safates i suports.
Situació de punts i mecanismes.
Traçat de rases i caixes en la instal·lació encastada.
Subjecció de cables i senyalització de circuits.
Característiques i situació d'equips d'enllumenat i mecanismes (marca, model i potència).
Muntatge de mecanismes (verificació de fixació i anivellament)
Verificar la situació dels quadres i del muntatge de la xarxa de veu i dades.
Control de troncals i de mecanismes de la xarxa de veu i dades.
Quadres generals:
Aspecte exterior i interior.
Dimensions.
Característiques tècniques dels components del quadre interruptors, automàtics, diferencials, relès, etc.)
Fixació d'elements i connexionat.
Identificació i senyalització o etiquetat de circuits i les seves proteccions.
Conexionat de circuits exteriors a quadres.
Proves de funcionament:
Comprovació de la resistència de la xarxa de terra.
Comprovació d'automàtics.
Encès de l'enllumenat.
Circuit de força.
Comprovació de la resta de circuits de la instal·lació enllestida.

19. SUBSISTEMA D'ENERGIES RENOVABLES. INSTAL·LACIONS DE A.C.S. AMB PANNELLS SOLARS

Control de qualitat de la documentació del projecte:
El projecte defineix i justifica la solució de generació de aigua calent sanitària (ACS) amb pannells solars.

Subministra i recepció de productes:
Es comprovarà la existència de marcat CE.

Control d'execució en obra:
Execució de acord a las especificacions de projecte.
La instal·lació s'ajustarà al que es descriu en la "Sección HE 4 Contribución Solar Mínima de Agua Caliente Sanitaria".

AJUNTAMENT D'OLERDOLA
Aquest document és una còpia simple del document electrònic original.

DOCUMENT
DOCUMENT REGISTRE UNIFICAT ENTRADA
ÒRGAN
SERVEIS TECNICS
REGISTRE D'ENTRADA
E2026005054
Codi Segur de Verificació:
62ffb294-fe9f-412a-95ff-e789b2359074
Origen: Administració
Identificador document: ES_L01081000_2026_28828185
Data d'impressió: 03/11/2026 13:44:57
Pàgina 237 de 247
SIGNATURES
1.- ESTEVE AYMERICH (R: J62755897), 27/07/2026 11:04

Instruccions d'ús i manteniment

Detall

Projecte: COBRIMENT PISTA ESPORTIVA SANT PERE MOLANTA

Emplaçament	
Adreça: C/ De Wilson, sn. Sant Pere Molanta	
Codi Postal: 08734	Municipi: Olèrdola
Urbanització:	Parcel·la:

Promotor	
Ajuntament d'Olèrdola	DNI/NIF: P-0814400-H
Adreça: Avinguda Catalunya, 12	
Codi Postal: 08754	Municipi: Olèrdola

Autor/s projecte	
Nom:	Núm. col.:
ESTEVE AYMERICH SERRA	22.348/4
INÉS DE RIVERA MARINEL.LO	30.028/4
TON SALVADÓ CABRÉ	17.852/7
L'arquitecte/es: Signatura/es	

Lloc i data:	BARCELONA	a	24	de	MARÇ	de	2026

Visats oficials

AJUNTAMENT D'OLERDOLA
Aquest document és una còpia simple del document electrònic original.

DOCUMENT
DOCUMENT REGISTRE UNIFICAT ENTRADA
ÒRGAN
SERVEIS TECNICS
REGISTRE D'ENTRADA
E2026005054
Codi Segur de Verificació:
62ffb294-fe9f-412a-95ff-e789b2359074
Origen: Administració
Identificador document: ES_L01081000_2026_28828185
Data d'impressió: 03/11/2026 13:44:57
Pàgina 238 de 247
SIGNATURES
1.- ESTEVE AYMERICH (R: J62755897), 27/07/2026 11:04

Introducció

Amb la finalitat de garantir la seguretat de les persones, el benestar de la societat i la protecció del medi ambient, l'edificació ha de rebre un ús i un manteniment adequats per conservar i garantir les condicions inicials de seguretat, habitabilitat i funcionalitat exigides normativament. Cal per tant que els seus usuaris, siguin o no propietaris, respectin les instruccions d'ús i manteniment que s'especifiquen a continuació.

L'ús incorrecte i/o la no realització de les operacions de manteniment previst a l'edifici pot comportar:

- La pèrdua de les garanties i assegurances atorgades a l'edificació.
- L'envelliment prematur de l'edifici, amb la conseqüent depreciació del seu valor patrimonial, funcional i estètic.
- Aparicions de deficiències que poden generar situacions de risc als propis usuaris de l'edifici o a tercers amb la corresponent responsabilitat civil.
- La reducció de les despeses en reparacions en ser molt menys costosa la intervenció sobre una deficiència detectada a temps, mitjançant unes revisions periòdiques.
- Una davallada en el rendiment de les instal·lacions amb els conseqüents augments de consums d'energia i de contaminació atmosfèrica.
- La pèrdua de seguretat de les instal·lacions que pot comportar la seva interrupció o clausura.

L'obligatorietat de conservar i mantenir els edificis està reflectida en diverses normatives, entre les que es destaquen:

- Codi Civil.
- Codi Civil de Catalunya
- Llei d'Ordenació de l'edificació, Llei 38/1999 de 5 novembre.
- Codi Tècnic de l'Edificació, Reial Decret 314/2006 de 17 de març.
- Llei de l'Habitatge 24/1991 de 29 de novembre.
- Legislacions urbanístiques estatals i autonòmiques.
- Legislacions sobre els Règims de propietat.
- Ordenances municipals.
- Reglamentacions tècniques.

SOBRE LES INSTRUCCIONS D'ÚS I MANTENIMENT

Les instruccions d'ús i manteniment formaran part de la documentació de l'obra executada que, juntament amb el projecte – el qual incorporarà les modificacions degudament aprovades -, el Pla de manteniment, l'acta de recepció de l'obra i la relació dels agents que han intervingut en el procés edificatòri, conformaran el contingut bàsic del Llibre de l'Edifici. Aquest llibre serà lliurat pel promotor als propietaris i usuaris, els quals estaran obligats a rebre'l, conservar-lo i transmetre'l.

Instruccions d'ús:

Les instruccions d'ús inclouen totes aquelles normes que han de seguir els usuaris – siguin o no propietaris - per desenvolupar a l'edifici, o a les seves diverses zones, les activitats previstes per a les quals va ser projectat i construït.

AJUNTAMENT D'OLERDOLA
Aquest document és una còpia simple del document electrònic original.

DOCUMENT
DOCUMENT REGISTRE UNIFICAT ENTRADA
ÒRGAN
SERVEIS TECNICS
REGISTRE D'ENTRADA
E2026005054
Codi Segur de Verificació:
62ffb294-fe9f-412a-95ff-e789b2359074
Origen: Administració
Identificador document: ES_L01081000_2026_28828185
Data d'impressió: 03/11/2026 13:44:57
Pàgina 239 de 247
SIGNATURES
1.- ESTEVE AYMERICH (R: J62755897), 27/07/2026 11:04

Els usos previstos a l'edifici són els següents:

Ús principal:	**Situació:**
PISTA ESPORTIVA	**PLANTA BAIXA**
Usos subsidiaris:	**Situació:**

Instruccions de manteniment:

Les instruccions de manteniment contenen les actuacions preventives bàsiques i genèriques que cal realitzar a l'edifici perquè conservi les seves prestacions inicials de seguretat, habitabilitat i funcionalitat.

L'adaptació a l'edifici en concret de les instruccions de manteniment quedaran recollides en el Pla de manteniment. Aquest formarà part del Llibre de l'edifici i incorporarà la corresponent programació i concreció de les operacions preventives a executar, la seva periodicitat i els subjectes que les han de realitzar, tot d'acord amb les disposicions legals aplicables i les prescripcions dels tècnics redactors del mateix. Els propietaris i usuaris de l'edifici deuran portar a terme el Pla de manteniment de l'edifici encarregant a un tècnic competent les operacions programades pel seu manteniment.

Al llarg de la vida útil de l'edifici s'anirà recollint tota la documentació relativa a les operacions efectuades pel seu manteniment així com totes les diferents intervencions realitzades, ja siguin de reparació, reforma o rehabilitació. Tota aquesta documentació esmentada s'anirà consignant al Llibre de l'Edifici.

A continuació es relacionen els diferents sistemes que composen l'edificació fent una relació de les seves instruccions d'ús i manteniment específiques.

Fonaments – Elements de contenció

I.- INSTRUCCIONS D'ÚS:

Condicions d'ús:

La fonamentació de l'edifici pot transmetre al terreny una càrrega limitada. Per no alterar la seva seguretat estructural i la seva estanquitat cal que es mantinguin les condicions de càrrega i de salubritat previstes per a les quals s'ha construït l'edifici.

Intervencions durant la vida útil de l'edifici:

En el cas d'intervencions que impliquin la reforma, reparació o rehabilitació dels fonaments i/o dels elements de contenció de terres, caldrà el consentiment de la propietat o del seu representant, el projecte d'un tècnic competent, el compliment de les normatives vigents i la corresponent llicència municipal.

Incidències extraordinàries:

- Les fuites de la xarxa d'aigua o de la xarxa de clavegueram s'han de reparar immediatament. L'acció continuada de l'aigua pot lesionar la fonamentació i/o modificar les condicions resistents del subsòl.
- Les alteracions dels terrenys propis (plantació d'arbres, moviments de terres, entre d'altres) o de terrenys veïns (noves construccions, túnels i carreteres, entre d'altres) poden afectar les condicions de treball dels fonaments i dels elements de contenció de terres.

AJUNTAMENT D'OLERDOLA
Aquest document és una còpia simple del document electrònic original.

DOCUMENT
DOCUMENT REGISTRE UNIFICAT ENTRADA
ÒRGAN
SERVEIS TECNICS
REGISTRE D'ENTRADA
E2026005054
Codi Segur de Verificació:
62ffb294-fe9f-412a-95ff-e789b2359074
Origen: Administració
Identificador document: ES_L01081000_2026_28828185
Data d'impressió: 03/11/2026 13:44:57
Pàgina 240 de 247
SIGNATURES
1.- ESTEVE AYMERICH (R: J62755897), 27/07/2026 11:04

- Si es detecten lesions (oxidacions, despreniments, humitats, esquerdes, etc.) en algun element vist de la fonamentació, de contenció de terres, o element constructiu directament relacionat, s'ha d'avisar als responsables del manteniment de l'edifici perquè prenguin les mesures adients.

II.- INSTRUCCIONS DE MANTENIMENT:

Els diferents components de la fonamentació tindran un manteniment periòdic d'acord amb el Pla de manteniment.

De forma general, es tindran en consideració les següents operacions:

- Inspeccions tècniques dels fonaments i dels elements de contenció.
- Revisions del correcte funcionament dels murs de contenció enterrats d'acord amb el grau de impermeabilització exigit.

Estructura

I.- INSTRUCCIONS D'ÚS:

Condicions d'ús:

L'estructura pot resistir una càrrega limitada d'acord amb el seu ús previst en el projecte. Per no alterar el seu comportament i les seves prestacions de seguretat cal que no es facin modificacions, canvis d'ús i que es mantinguin les condicions previstes de càrrega i de protecció al foc per a les quals s'ha construït l'edifici.

Aquesta prescripció inclou evitar, entre d'altres, la realització de regates o obertures de forats en parets de càrrega o en altres elements estructurals, la sobreposició de paviments pesants sobre els existents (augment de les càrregues permanents), la incorporació d'elements pesants (entre d'altres: caixes fortes, jardineres, piscines, dipòsits i escultures), i la creació d'altells o l'obertura de forats en sostres per intercomunicació entre plantes.

Les sobrecàrregues d'ús dels sostres s'han calculat en funció de l'ús previst a les diferents zones de l'edifici i no poden superar els valors següents:

Categoria d'ús		**Subcategoria d'ús**		Càrrega uniforme kN/m^2–(Kg/m^2)	Càrrega concentrada kN - (Kg)	Càrrega lineal kN/m-(Kg/m)
A	Zones residencials	A1	Habitatges i zones d'habitacions en hospitals i hotels	2 – (200)	2 – (200)	–
			Zones d'accés i evacuació (escales, replans i portals)	3 – (300)	–	–
			Baranes, força horitzontal aplicada a 1,20m d'alçada o sobre la vora superior de l'element si està a menys altura	–	–	0,8 – (80)
		A2	Trasters	3 – (300)	2 – (200)	–
			Zones d'accés i evacuació (escales, replans i portals)	4 – (400)	–	–
			Baranes, força horitzontal aplicada a 1,20m d'alçada o sobre la vora superior de l'element si està a menys altura	–	–	0,8 – (80)

AJUNTAMENT D'OLERDOLA
Aquest document és una còpia simple del document electrònic original.

DOCUMENT
DOCUMENT REGISTRE UNIFICAT ENTRADA
ÒRGAN
SERVEIS TECNICS
REGISTRE D'ENTRADA
E2026005054
Codi Segur de Verificació:
62ffb294-fe9f-412a-95ff-e789b2359074
Origen: Administració
Identificador document: ES_L01081000_2026_28828185
Data d'impressió: 03/11/2026 13:44:57
Pàgina 241 de 247
SIGNATURES
1.- ESTEVE AYMERICH (R: J62755897), 27/07/2026 11:04

B	Zones administratives		Zones administratives	2 – (200)	2 – (200)	–
			Zones d'accés i evacuació (escales, replans i portals)	3 – (300)	–	–
			Baranes, força horitzontal aplicada a 1,20m d'alçada o sobre la vora superior de l'element si està a menys altura	–	–	0,8 – (80)
C	Zones de reunió (llevat les superfícies corresponents als usos A,B i D)	C1	Zones amb taules i cadires	3– (300)	4– (400)	–
			Baranes, força horitzontal aplicada a 1,20m d'alçada o sobre la vora superior de l'element si està a menys altura	–	–	0,8 – (80)
		C2	Zones amb seients fixes	4 – (400)	4 – (400)	–
			Baranes, força horitzontal aplicada a 1,20m d'alçada o sobre la vora superior de l'element si està a menys altura	–	–	0,8 – (80)
		C3	Zones sense obstacles que impedeixin el lliure moviment de les persones com vestíbuls d'edificis públics, administratius, hotels, sales d'exposicions en museus, etc.	5 – (500)	4– (400)	–
			Baranes, força horitzontal aplicada a 1,20m d'alçada o sobre la vora superior de l'element si està a menys altura	–	–	1,6 - (160)
		C4	Zones destinades a gimnàs o activitats físiques	5– (500)	7– (700)	
			Baranes, força horitzontal aplicada a 1,20m d'alçada o sobre la vora superior de l'element si està a menys altura	–	–	1,6 - (160)
		C5	Zones d'aglomeració (sales de concert, estadis, etc.)	5– (500)	4 – (400)	
			Baranes, força horitzontal aplicada a 1,20m d'alçada o sobre la vora superior de l'element si està a menys altura	–	–	3 - (300)
D	Zones comercials	D1	Locals comercials	5– (500)	4 – (400)	–
		D2	Supermercats, hipermercats o grans superfícies	5– (700)	7 – (500)	–
E	Zones tràfic i aparcament per a vehicles lleugers (pes total <30kN –3.000Kg)			2 – (200)	20 – (2.000)	–
	Baranes, força horitzontal aplicada a 1,20m d'alçada o sobre la vora superior de l'element si està a menys altura			–	–	1,6 - (160)
F	Cobertes accessibles d'ús solament privadament			1– (100)	2 – (200)	
	Baranes, força horitzontal aplicada a 1,20m d'alçada o sobre la vora superior de l'element si està a menys altura			–	–	1,6 - (160)
G	Cobertes accessibles exclusives per conservació	G1	Cobertes amb inclinació inferior a 20º	1– (100)	2– (200)	–
		G2	Cobertes amb inclinació superior a 40º	0	2 – (200)	–
			Baranes, força horitzontal aplicada a 1,20m d'alçada o sobre la vora superior de l'element si està a menys altura	–	–	0,8 – (80)
Balcons volats per tots els usos (s'especificarà la sobrecàrrega d'ús corresponent a la categoria d'ús amb la que es comuniqui i la càrrega vertical a la vora)				.....	–	2 – (200)
Porxos, voreres i espais de trànsit sobre un element portant o un terreny que dona empentes sobre altres elements estructurals			zones privades	1– (100)	–	–
			zones públiques	3 – (300)	–	–
Magatzem (s'haurà d'especificar la sobrecàrrega mitjana i, si s'escau, la distribució de la càrrega de les diferents zones i col·locar una placa amb el valor adoptat)				.....	–	–
Biblioteca (s'haurà d'especificar la sobrecàrrega mitjana i, si s'escau, la distribució de la càrrega de les diferents zones i col·locar una placa amb el valor adoptat)				.....	–	–
S'han reduït sobrecàrregues d'acord amb els valors del Document Bàsic SE-AE del CTE ?					SI	NO

Característiques de vehicles especials: .....

Les accions permanents, les deformacions admeses - incloses, si s'escau, les del terreny - així com els coeficients de seguretat i, les reduccions de sobrecàrregues adoptades estan contemplades en la memòria d'estructures del projecte.

Intervencions durant la vida útil de l'edifici:

En el cas d'intervencions que impliquin la reforma, reparació o rehabilitació de l'estructura, caldrà el consentiment de la propietat o del seu representant, el projecte d'un tècnic competent, el compliment de les normatives vigents i la corresponent llicència municipal.

Per a les reposicions dels elements que tinguin una durada més curta que la pròpia estructura (recolzaments, juntes, drenatges, pintures, proteccions, etc.) i amb la finalitat de no alterar les prestacions inicials s'utilitzaran productes d'iguals o similars característiques als originals.

AJUNTAMENT D'OLERDOLA
Aquest document és una còpia simple del document electrònic original.

DOCUMENT
DOCUMENT REGISTRE UNIFICAT ENTRADA
ÒRGAN
SERVEIS TECNICS
REGISTRE D'ENTRADA
E2026005054
Codi Segur de Verificació:
62ffb294-fe9f-412a-95ff-e789b2359074
Origen: Administració
Identificador document: ES_L01081000_2026_28828185
Data d'impressió: 03/11/2026 13:44:57
Pàgina 242 de 247
SIGNATURES
1.- ESTEVE AYMERICH (R: J62755897), 27/07/2026 11:04

Neteja:

En cas de desenvolupar treballs de neteja o protecció, s'analitzarà l'efecte que puguin tenir els productes emprats sobre els elements estructurals afectats. En qualsevol cas, s'adoptaran les instruccions d'ús i manteniment donades pel fabricant.

Incidències extraordinàries:

- Els degoters de les cobertes, les fuites de la xarxa d'aigua o de la xarxa de desguàs s'han de reparar immediatament. L'acció continuada de l'aigua pot lesionar l'estructura.
- S'avisarà als responsables del manteniment de l'edifici si es detecten lesions (oxidacions, despreniments, humitats, esquerdes, etc.) en els elements estructurals, en les seves proteccions o en els components que suporta (envans, paviments, obertures, entre d'altres) perquè prenguin les mesures oportunes.

II.- INSTRUCCIONS DE MANTENIMENT:

Els diferents components de l'estructura tindran un manteniment periòdic d'acord amb el Pla de manteniment.

De forma general, es tindran en consideració les següents operacions:

- Inspeccions tècniques de l'estructura.
- Revisions i/o reposicions dels elements que tinguin una durada més curta que la pròpia estructura (recolzaments, juntes, drenatges, pintures, proteccions, etc.).

Cobertes

I.- INSTRUCCIONS D'ÚS:

Condicions d'ús:

Tipus de coberta i ús :	**Situació:**
XAPA GRECADA GALVANITZADA TIPUS EUROMODUL 44	**COBERTA**

Les cobertes s'utilitzaran exclusivament per a l'ús previst en el projecte, mantenint les prestacions de seguretat i salubritat especifiques per a les quals s'ha construït l'edifici.

A les cobertes en general no està permesa la col·locació d'elements aliens que puguin representar una alteració del seu sistema d'estanquitat vers l'aigua i del seu comportament tèrmic o acústic, o una disminució de la seva seguretat enfront les caigudes.

Als terrats, les terrasses o balcons - tant comuns com privatius - no està permesa la formació de coberts, emmagatzematge de materials, grans jardineres, mobles, etc., que puguin representar una sobrecàrrega excessiva per a l'estructura. Les jardineres i torretes tindran per sota un espai de ventilació que pugui facilitar la correcta evacuació de les aigües pluvials i evitar l'acumulació de brutícia i d'humitats. No es premés l'abocament als desguassos de productes químics agressius com olis, dissolvents, lleixius, benzines, etc.

AJUNTAMENT D'OLERDOLA
Aquest document és una còpia simple del document electrònic original.

DOCUMENT
DOCUMENT REGISTRE UNIFICAT ENTRADA
ÒRGAN
SERVEIS TECNICS
REGISTRE D'ENTRADA
E2026005054
Codi Segur de Verificació:
62ffb294-fe9f-412a-95ff-e789b2359074
Origen: Administració
Identificador document: ES_L01081000_2026_28828185
Data d'impressió: 03/11/2026 13:44:57
Pàgina 243 de 247
SIGNATURES
1.- ESTEVE AYMERICH (R: J62755897), 27/07/2026 11:04

Intervencions durant la vida útil de l'edifici:

En el cas d'intervencions que impliquin la reforma, reparació o rehabilitació de les cobertes, caldrà el consentiment de la propietat o del seu representant, la supervisió d'un tècnic competent, el compliment de les normatives vigents i la corresponent llicència municipal.

Si a la coberta s'instal·len noves antenes, equips d'aire condicionat, tendals, tanques o, en general, aparells que requereixen ser fixats, caldrà consultar a un tècnic competent per tal que la subjecció no afecti al sistema d'impermeabilització, a les baranes o les xemeneies. Sí, a més a més, aquestes noves instal·lacions necessiten un manteniment periòdic caldrà preveure, al seu voltant, els mitjans i les proteccions adequades per tal de garantir la seguretat i d'evitar desperfectes durant les operacions de manteniment.

Per a les reposicions dels elements que tinguin una durada més curta que la pròpia coberta (juntes, proteccions, etc.), s'utilitzaran productes idèntics als existents o d'equivalents característiques que no alterin les seves prestacions inicials.

Neteja:

Les cobertes s'han de mantenir netes i lliures d'herbes.

Incidències extraordinàries:

- Si s'observen lesions (degoters i humitats) en els sostres sotacoberta caldrà avisar als responsables del manteniment de l'edifici perquè prenguin ràpidament les mesures oportunes. Els degoters afecten a curt termini a l'habitabilitat de la zona afectada i a mig termini poden afectar a la seguretat de l'estructura.
- Després de grans xàfecs, vendavals, pedregades i nevades, etc. caldrà:
  - Comprovar que les ventilacions de la coberta no quedin obstruïdes i estiguin en bon estat.
  - Revisar i netejar la coberta i comprovar desguassos i morrions.
  - No llençar la neu de les cobertes al carrer.
  - Comprovar les fixacions dels elements ubicats a les cobertes (antena TV, tendals, xemeneies, etc.) i l'estat dels elements singulars de la coberta (lluernes, claraboies, entre d'altres).

II.- INSTRUCCIONS DE MANTENIMENT:

Els diferents components de les cobertes i els seus elements singulars (xemeneies, lluernes, badalots, etc.) tindran un manteniment periòdic d'acord amb el Pla de manteniment.

De forma general, es tindran en consideració les següents operacions:

- Inspeccions tècniques de la coberta.
- Revisions de l'estat de conservació de la teulada o de la protecció de la impermeabilització.
- Revisions de l'estat de conservació dels punts singulars (juntes de dilatació, trobades amb paraments verticals, buneres o canals, ràfecs, sobreexidors, ancoratges d'elements, elements passants, obertures i accessos, careners, aiguafons o claraboies, entre d'altres).

AJUNTAMENT D'OLERDOLA
Aquest document és una còpia simple del document electrònic original.

DOCUMENT
DOCUMENT REGISTRE UNIFICAT ENTRADA
ÒRGAN
SERVEIS TECNICS
REGISTRE D'ENTRADA
E2026005054
Codi Segur de Verificació:
62ffb294-fe9f-412a-95ff-e789b2359074
Origen: Administració
Identificador document: ES_L01081000_2026_28828185
Data d'impressió: 03/11/2026 13:44:57
Pàgina 244 de 247
SIGNATURES
1.- ESTEVE AYMERICH (R: J62755897), 27/07/2026 11:04

Instal·lació d'electricitat

I.- INSTRUCCIONS D'ÚS:

Condicions d'ús:

La instal·lació d'electricitat s'utilitzarà exclusivament per a l'ús projectat, mantenint-se les prestacions de seguretat i de funcionalitat específiques per a les quals s'ha dissenyat la instal·lació.

Situació caixa general de protecció de l'edifici:	
ESCOMESA QUADRE	
Tipus comptadors:	**Situació:**

Pel correcte funcionament i manteniment de les condicions de seguretat de la instal·lació no es pot consumir una potència elèctrica superior a la contractada. Caldrà doncs considerar la potència de cada aparell instal·lat donada pel fabricant per no sobrepassar – de forma simultània - la potència màxima admesa per la instal·lació.

Els armaris o cambres de comptadors d'electricitat no han de tenir cap element aliè a la instal·lació. Aquests recintes estan tancats amb clau i són d'accés restringit al personal de la companyia de subministrament, a l'empresa que faci el manteniment i, en cas d'urgència, al responsable designat per la propietat. En el cas de l'existència a l'edifici d'un Centre de Transformació de l'empresa de subministrament, l'accés al local on estigui ubicat serà exclusiu del personal de la mateixa.

El quadre de dispositius de comandament i protecció de l'habitatge, local o zona es composa bàsicament pels dispositius de comandament i protecció següents :

- L'ICP (Interruptor de Control de Potència) és un dispositiu per controlar que la potència realment demandada pel consumidor no sobrepassi la contractada.
- L'IGA (Interruptor General Automàtic) es un mecanisme que permet el seu accionament manual i que està dotat d'elements de protecció contra sobrecàrregues i curtcircuïts.
- L'ID (Interruptor Diferencial) es un dispositiu destinat a la protecció contra contactes indirectes de tots els circuits (protegeix contra les fuites accidentals de corrent): Periòdicament s'ha de comprovar si l'interruptor diferencial desconnecta la instal·lació.
- Cada circuit de la distribució interior té assignat un petit interruptor automàtic o interruptor omnipolar magneto tèrmics que el protegeix contra els curt circuits i les sobrecàrregues.

Per a qualsevol manipulació de la instal·lació es desconnectarà el circuit corresponent.

Les males connexions originen sobre-escalfaments o espurnes que poden generar un incendi. La desconnexió d'aparells s'ha de fer estirant de l'endoll, mai del cable.

Intervencions durant la vida útil de l'edifici:

En el cas d'intervencions que impliquin la reforma, reparació o rehabilitació de les instal·lacions elèctriques comunes, caldrà el consentiment de la propietat o del seu representant, el compliment de les normatives vigents, les prescripcions de la companyia de subministrament i la seva execució per part d'un instal·lador autoritzat.

AJUNTAMENT D'OLERDOLA
Aquest document és una còpia simple del document electrònic original.

DOCUMENT
DOCUMENT REGISTRE UNIFICAT ENTRADA
ÒRGAN
SERVEIS TECNICS
REGISTRE D'ENTRADA
E2026005054
Codi Segur de Verificació:
62ffb294-fe9f-412a-95ff-e789b2359074
Origen: Administració
Identificador document: ES_L01081000_2026_28828185
Data d'impressió: 03/11/2026 13:44:57
Pàgina 245 de 247
SIGNATURES
1.- ESTEVE AYMERICH (R: J62755897), 27/07/2026 11:04

A les cambres de bany, vestuaris, etc., s'han de respectar els volums de protecció normatius respecte dutxes i banyeres i no instal·lar ni mecanismes ni d'altres aparells fixos que modifiquin les distàncies mínimes de seguretat.

Neteja:

Per a la neteja de làmpades i lluminàries es desconnectarà l'interruptor magneto tèrmic del circuit corresponent.

Incidències extraordinàries:

- Si s'observen deficiències en la xarxa (mecanismes i/o registres desprotegits, làmpades foses en zones d'ús comú, etc.) s'ha d'avisar als responsables de manteniment per tal de que es facin urgentment les mesures oportunes.
- Cal desconnectar immediatament la instal·lació elèctrica en cas de fuita d'aigua, gas o un altre tipus de combustible.

II.- INSTRUCCIONS DE MANTENIMENT:

Els diferents components de xarxa d'electricitat tindran un manteniment periòdic d'acord amb el Pla de manteniment.

De forma general, es tindran en consideració les següents operacions:

- Revisió i neteja de cambres o armaris de comptadors.
- Depenent de l'ús i de la potència instal·lada, s'haurà de revisar periòdicament la instal·lació.

Si no és fa el manteniment o la instal·lació presenta deficiències importants, l'empresa subministradora o la que desenvolupi les inspeccions de manteniment estan obligades a tallar el subministrament per la perillositat potencial de la instal·lació.

Tots els aparells connectats s'han d'utilitzar i revisar periòdicament seguint les instruccions de manteniment facilitades pels fabricants.

Instal·lació de desguàs

I.- INSTRUCCIONS D'ÚS:

Condicions d'ús:

La instal·lació de desguàs s'utilitzarà exclusivament per a l'ús projectat, mantenint les prestacions de salubritat i de funcionalitat específiques per a les quals s'ha dissenyat la instal·lació.

L'inodor no es pot utilitzar com a abocador d'escombraries on llençar elements (bosses, plàstics, gomes, compreses, draps, fulles d'afaitar, bastonets, etc.) i líquids (greixos, olis, benzines, líquids inflamables, etc.) que puguin generar obstruccions i desperfectes en els tubs de la xarxa de desguàs.

En general per desobstruir inodors i desguassos, en general, no es poden utilitzar àcids o productes que els perjudiquin ni objectes punxeguts que poden perforar-los.

Intervencions durant la vida útil de l'edifici:

AJUNTAMENT D'OLERDOLA
Aquest document és una còpia simple del document electrònic original.

DOCUMENT
DOCUMENT REGISTRE UNIFICAT ENTRADA
ÒRGAN
SERVEIS TECNICS
REGISTRE D'ENTRADA
E2026005054
Codi Segur de Verificació:
62ffb294-fe9f-412a-95ff-e789b2359074
Origen: Administració
Identificador document: ES_L01081000_2026_28828185
Data d'impressió: 03/11/2026 13:44:57
Pàgina 246 de 247
SIGNATURES
1.- ESTEVE AYMERICH (R: J62755897), 27/07/2026 11:04

En el cas d'intervencions que impliquin la reforma, reparació o rehabilitació de la xarxa de desguàs, caldrà el consentiment de la propietat o del seu representant, el compliment de les normatives vigents, i l'execució d'una empresa especialitzada.

Neteja:

Els sifons dels aparells sanitaris o de les buneres sifòniques de les terrasses s'han de netejar i, per evitar mals olors, comprovar que no hi manca aigua.

Incidències extraordinàries:

- Si es detecten males olors (que no s'han pogut eliminar omplint d'aigua els sifons dels aparells sanitaris o de les buneres de les terrasses), o pèrdues en la xarxa de desguàs vertical i horitzontal, s'ha d'avisar als responsables del manteniment de l'edifici perquè prenguin les mesures correctores adients. Les fuites de la xarxa de desguàs s'han de reparar immediatament per operaris competents, ja que l'acció continuada de l'aigua pot malmetre l'estructura, la fonamentació i/o modificar les condicions resistents del subsòl.
- Quan s'observin obstruccions o una disminució apreciable del cabal d'evacuació es revisaran els sifons i les vàlvules.
- Les alteracions dels terrenys propis (plantació d'arbres, moviments de terres, entre d'altres) i/o veïns (noves construccions, túnels i carreteres, entre d'altres) poden afectar els escorrentius del terreny i per tant el sistema de desguàs.

II.- INSTRUCCIONS DE MANTENIMENT:

Els diferents components de xarxa de clavegueram tindran un manteniment periòdic d'acord amb el Pla de manteniment.

De forma general, es tindran en consideració les següents operacions:

- Revisió de la instal·lació.
- Neteja d'arquetes.
- Revisió i neteja d'elements especials: separadors de greix, separadors de fangs i/o pous i bombes d'elevació

AJUNTAMENT D'OLERDOLA
Aquest document és una còpia simple del document electrònic original.

DOCUMENT
DOCUMENT REGISTRE UNIFICAT ENTRADA
ÒRGAN
SERVEIS TECNICS
REGISTRE D'ENTRADA
E2026005054
Codi Segur de Verificació:
62ffb294-fe9f-412a-95ff-e789b2359074
Origen: Administració
Identificador document: ES_L01081000_2026_28828185
Data d'impressió: 03/11/2026 13:44:57
Pàgina 247 de 247
SIGNATURES
1.- ESTEVE AYMERICH (R: J62755897), 27/07/2026 11:04

aquesta és l'última plana de la Memòria Tècnica de la “Modificació del Projecte Bàsic i Executiu del Cobriment de la Pista Esportiva de l’Escola Rossend Muntané a Sant Pere Molanta”.

STEM arquitectes

Esteve Aymerich, Inés de Rivera
arquitectes
Barcelona, març de 2026

AJUNTAMENT D'OLERDOLA
Aquest document és una còpia simple del document electrònic original.